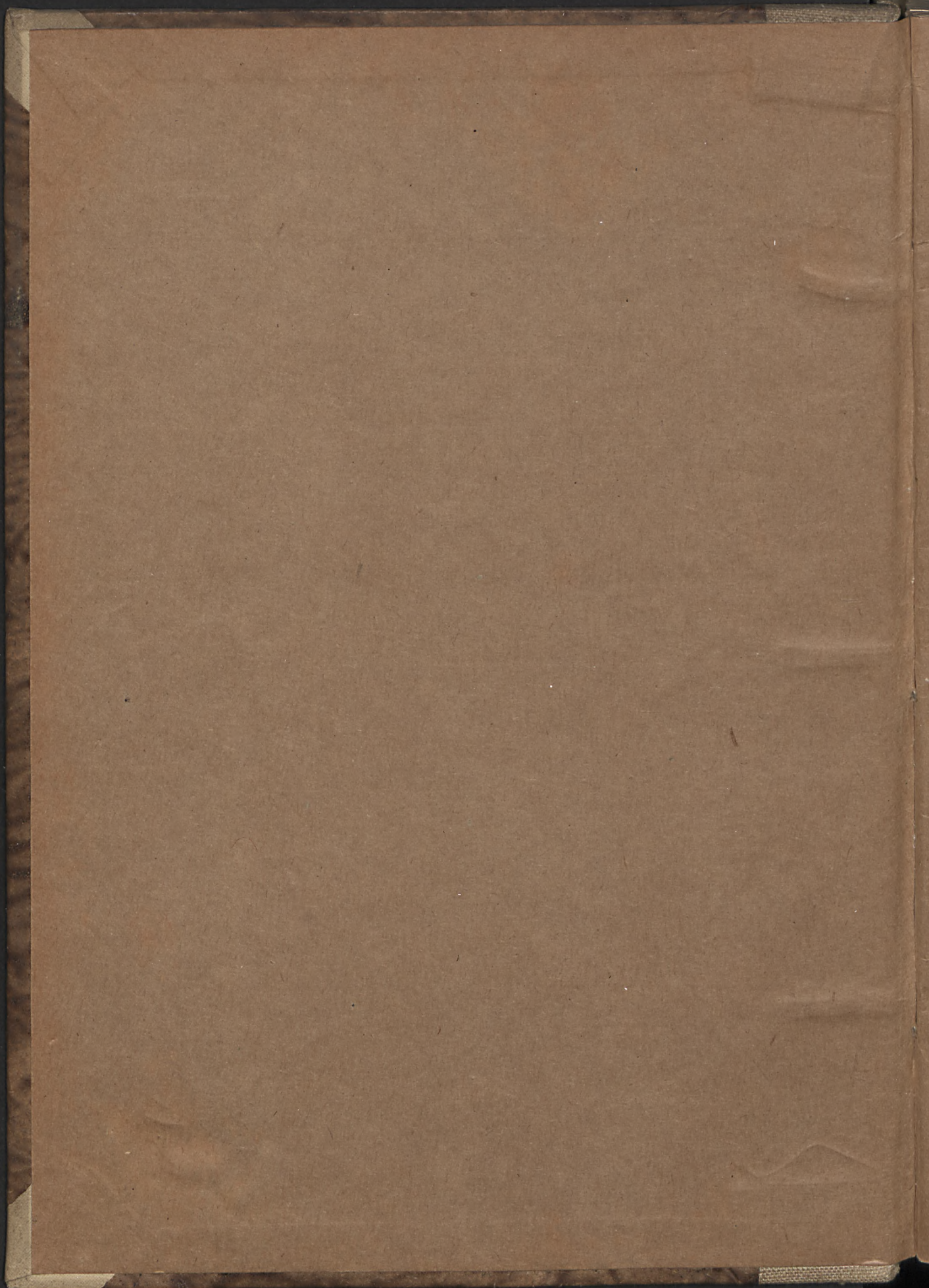
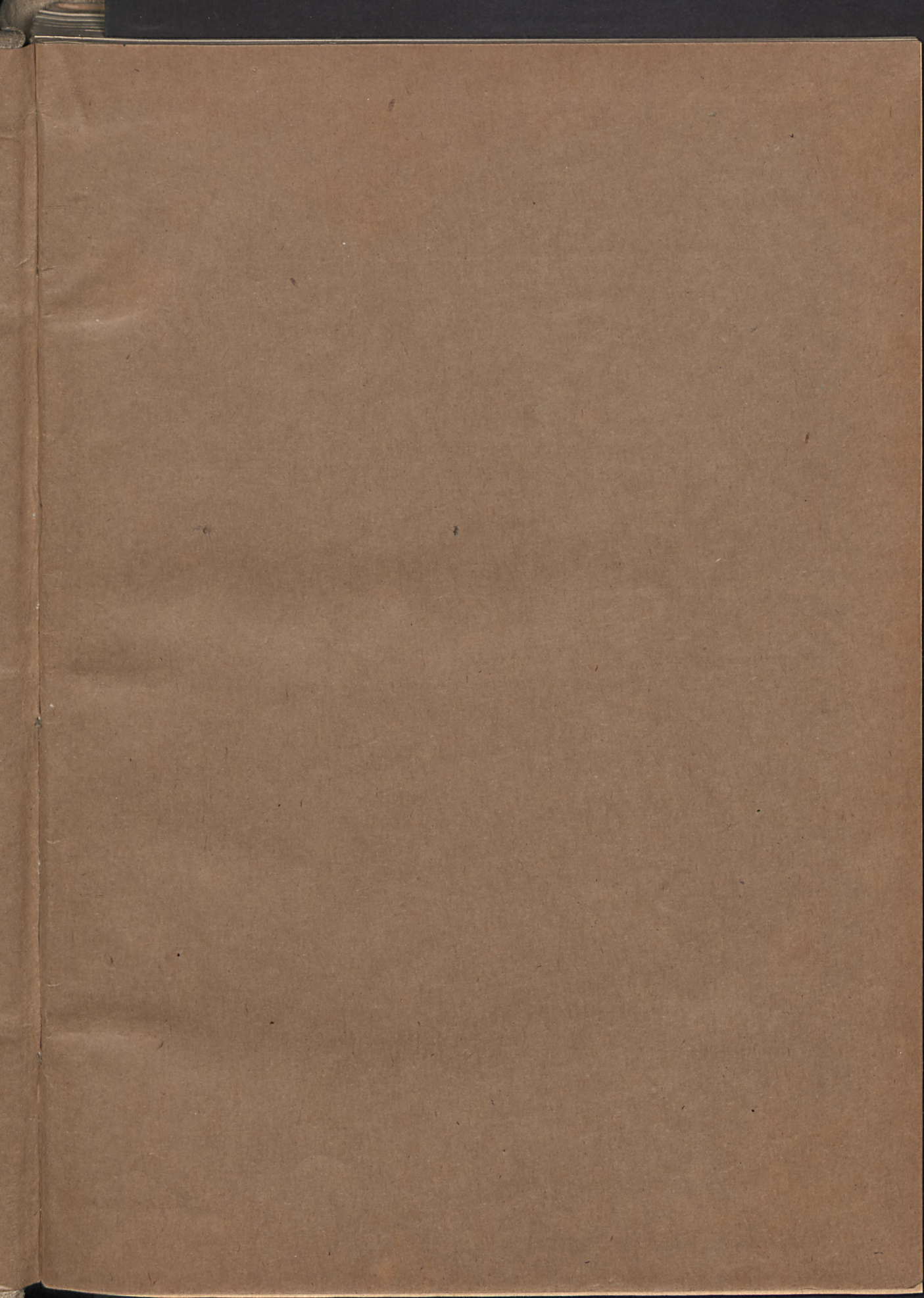


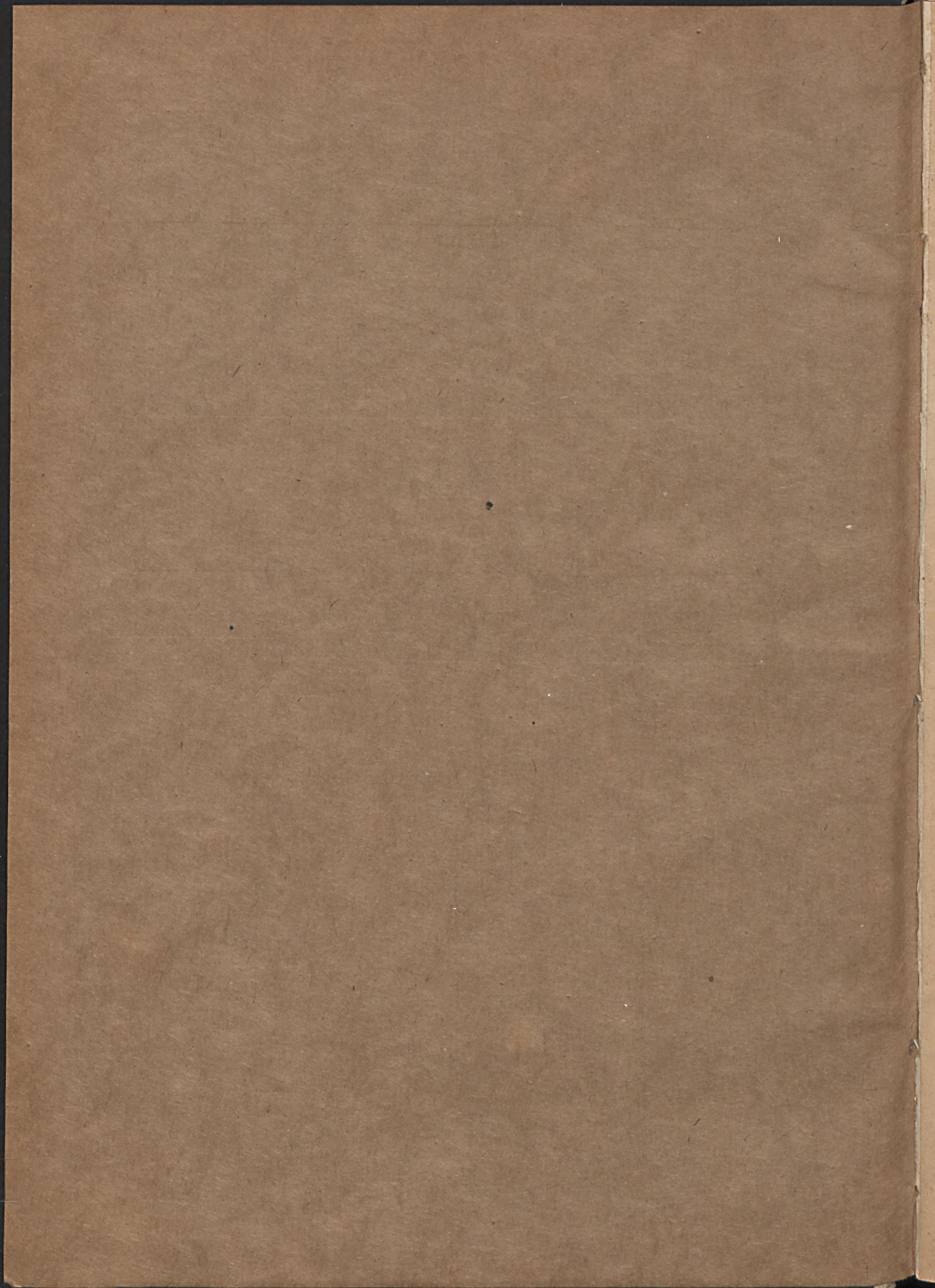
Mittell.

U. G. A.

25





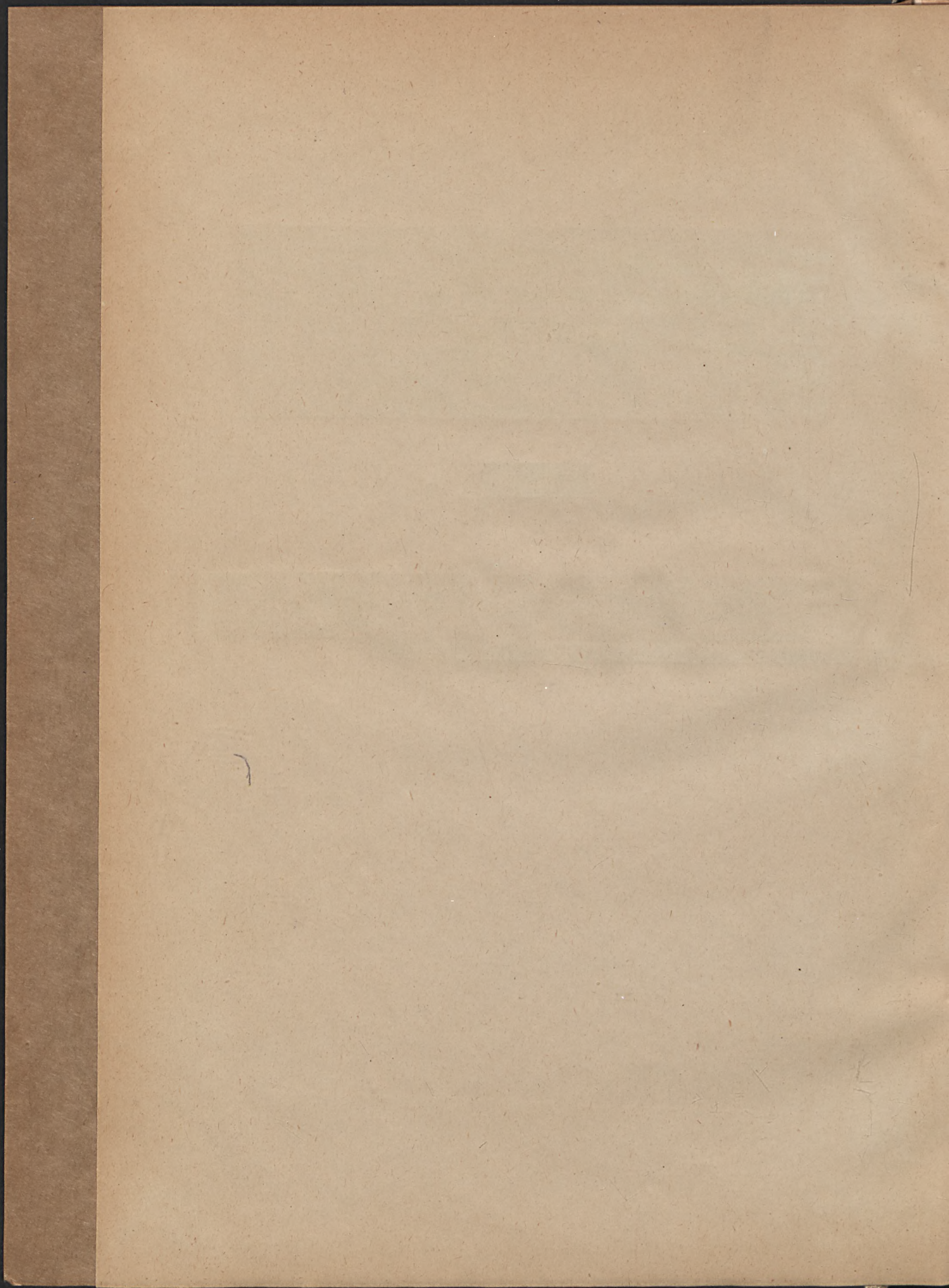


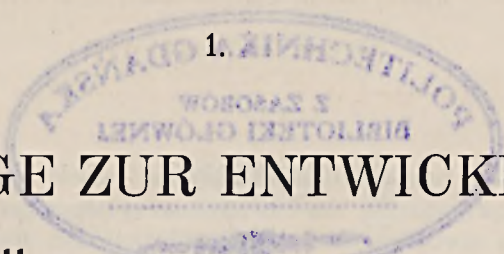


MITTEILUNGEN  
AUS DEM  
JAHRBUCH DER KGL. UNGARISCHEN GEOLOGISCHEN ANSTALT

XXV. BAND,

Bd. XXV. 1. LÖRENTHEY, E. Beitr. z. Entw. d. Eozäns u. s. Fauna in Nordalbanien. (2 Taf.) [2·50]. — 2. PONGRÁCZ A. Über foss. Termiten Ungarns. (3. Taf.) [2· ] — 3. HORUSITZKY, H. Hydrogeologie u. nat.-ökonom. Zukunft d. Thermen v. Tata u. Tóváros. (Mit geol. Karte.) [2·50]. — 4. SCHRETER, Z. Die lauen Thermen v. Eger (Erlau). (Mit geol. Karte.) [1·20]. — 5. PRINZ, Gy. Beitr. z. Glaziologie Zentralasiens. (4 Taf. u. 57 Textfig.)





1.

# BEITRÄGE ZUR ENTWICKLUNG DES EOZÄNS UND SEINER FAUNA IN NORDALBANIEN

VON

EMERICH LÖRENTHEY

MIT DEN TAFELN I-II. UND 4 FIGUREN IM TEXTE

Mitt. a. d. Jahrb. d. kgl. ungar. Geol. Anstalt, XXV. Bd. 1. Heft.

*Bibl. Kat. Nauk o Ziemi  
Dep. Nr. 11*

~~Wpisano do inwentarza  
ZAKŁADU GEOLOGII~~

~~Dział B Nr. 167  
Data 20. II 1947~~





*Erschienen am 26. V. 1926.  
Ungarisch im Jahre 1917,  
als Band XXV., Heft 1. der Zeitschrift  
„A m. kir. Földtani Intézet Évkönyve“.*



Dr. Baron FRANZ NOPCSA hat bei Škjezi, Bušati und Medua mehrere interessante Versteinerungen gesammelt und mir mit topographischen und geologischen Skizzen der betreffenden Lokalitäten sowie erläuternden Notizen zur Bearbeitung übergeben.<sup>1</sup>

Die folgenden Zeilen enthalten die Beschreibung dieses Materiales.

### I. ŠKJEZI.

Das Eozän ist im allgemeinen als feiner brauner flyschartiger, stellenweise von Kalkadern durchzogener Sandstein entwickelt, in dem Nummuliten-führende Grobkalkbänke eingelagert sind. Das Streichen der Schichten ist Nordwest-Südost, das Fallen Südwest, weiterhin aber auch Nordost.

An dieser Stelle wurde und zwar nur in den Grobkalkbänken *Nummulites (Gümbelia) aturica-lenticularis* gefunden. (Fig. 1.)

### II. BUŠATI.

Wie aus Figur 1. ersichtlich, erhebt sich etwas nordwestlich von Škjezi und westlich des Einkehrhauses von Bušati der Bušati-Berg (Mali Bušati).

An seinem Fusse findet sich lockerer, gelber, feiner Sandstein, unter dem mächtiger blauer Tegel auftritt, in dem gerundete, faustgrosse Kalkgerölle eingebettet sind. Diese enthalten folgende Korallen:

*Phyllangia epithecalis* n. sp.

*Goniastrea* sp. ind.

*Heterastrea Michelottina*

*Heliastrea* sp.

Unter dem blauen Tegel fand NOPCSA folgende Schichtenserie: 0·5 m Konglomerat, 0·4 m blauen Tegel, darunter 0·5 m Konglomerat,

<sup>1</sup> Da das Manuskript obiger Arbeit von LÖRENTHEY in 1917. abgeschlossen wurde, die Arbeit infolge wiederiger Umstände in deutscher Sprache aber erst jetzt herausgegeben werden kann, ist sie im stratigraphischen Teile etwas veraltet. Dem Übelstande wurde durch in eckige Klammern aufgenommene Notizen abzuhelpen getrachtet.

das aus durchschnittlich nussgrossen Elementen besteht, unter denen Jaspis dominiert, aber auch Kreidekalk, ja sogar ein feiner brauner Sandstein vorkommt, den NOPCSA für Eozän hält. Unter diesem Konglomerat folgt 15 m blauer Tegel, dann 0.5 m Konglomerat, dann 0.5 m Mergel, dann wieder Konglomerat usw. Dieser Schichtenkomplex

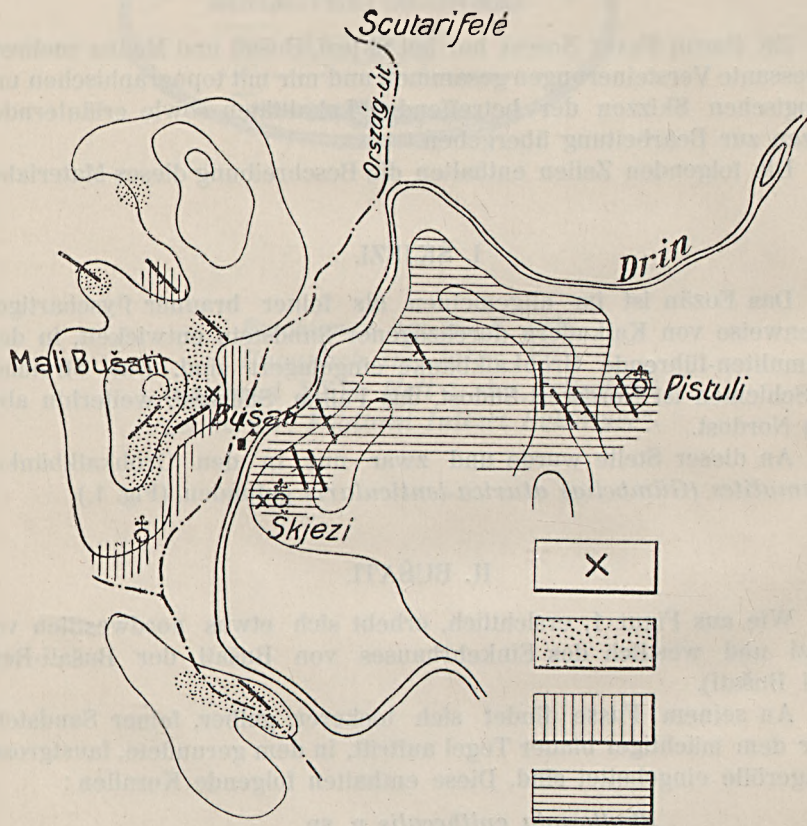


Fig. 1. Geologische Skizze der Umgebung von Skjezi. X Petrofakten-Fundort.

1. Grobes Konglomerat, 2. blauer Ton, 3. sandiger mittelcozäner „Flysch“.

weicht durch sein nordost-südwestliches Streichen von jenem bei Škjezi ab, das Verhältnis dieser Schichten zu jenen von Škjezi ist aber noch ungeklärt. [Es dürfte sich um einen Bruch handeln. Baron NOPCSA.] Beim weiteren Aufsammeln von Fossilien wird man vor Augen zu halten haben, dass die Kalkgerölle des Tegels sicher älter sind als der Tegel selbst und dass dies daher auch für die Fossilien gelten könnte.

## III. SAN GIOVANNI DI MEDUA.

Analog wie an der Küste Montenegros, kann man auch in der Umgebung von Medua einen allmählichen Übergang des marinen Eozäns in die gleichfalls marine Kreide konstatieren. Dieser Übergang erschwert, da sowohl die Kreide als auch das Eozän in der Fazies weisser Kalke entwickelt ist, die kartographische Trennung beider Formationen.

Gegen oben wird die Abtrennung dieser beiden Komplexe dadurch wesentlich erleichtert, dass die höheren Eozänhorizonte in Grobkalk-, Sandstein-, Mergel und Tegelfazies entwickelt sind. In der Bucht von Medua bilden diese jüngeren Horizonte eine kleine, gegen Norden durch einen Bruch abgeschnittene Synklinale. (Fig. 2.)

Die St. Johannes (Šn. Gjini) geweihte Kapellenruine von Medua steht auf hellkaffeebraunem, dickbankigem, dichtem Kalk, der gegen oben in einen bei der Verwitterung gelblichen Knollenkalk übergeht. Aus diesem Knollenkalk, dessen Dünnschliffe von Foraminiferenquerschnitten wimmeln, sammelte Baron NOPCSA folgende interessante Makrofauna:

*Schizaster* sp.

*Schizaster* sp.

*Spondylus* ind. sp.

*Ostrea* ind. sp.

*Cerithium (Terebralia)* sp. (cfr. *robusta* DAINELLI)

*Nautilus* sp.

*Nautilus parallelus* SCHAFFH.

*Harpactocarcinus punctulatus* DESM.

*Harpactocarcinus quadrilobatus* DESM.

Überlagert wird der Knollenkalk von einer zwei Meter mächtigen Bank massigen Kalkes und darauf folgt scheinbar fossilleerer sandiger Mergel, der eine Mächtigkeit von ungefähr 20 m erreicht. Oben wird der Komplex durch eine 0.3 m mächtige Sandsteinbank abgegrenzt, die zahlreiche Foraminiferen enthält. Das Hangende bildet ein blauer Tegel von sehr bedeutender, aber nicht gemessener Mächtigkeit, der zahlreiche *Lithothamnium*-Knollen enthält.

NOPCSA glaubt in diesem Tegel den Kern einer Synklinale zu erkennen, denn wenn man von der St. Johanneskapelle auf den Hang emporsteigt, gelangt man nach dem Tegel neuerdings in ein sandiges, hier allerdings Pflanzendetritus-führendes Niveau, darüber wieder auf lichten untereozänen oder vielleicht sogar oberkretazischen Kalk. Das Fallen der Schichten ist an dieser Stelle invers zu jenem bei der Kapellenruine selbst. Diesem Schichtenkomplex ganz analoge Schichten finden sich auch in dem Tale Kmeta Baldrens und zwar bei der erst von NOPCSA auf einer Karte eingetragenen Ortschaft Toroviči. [Spätere

Forschungen haben gezeigt, dass zwischen dem dichten hellen Nummuliten-Kalk und dem *Rudisten*-führenden Kalk mehrerorts, so z. B. bei Kakariči und Toroviči noch ein roter, Bohnerz-führender Lehm auftritt, der auf einer Erosionsfläche des Rudistenkalkes aufliegt. Baron NOPCSA.] Zu einer genaueren Altersbestimmung des Knollenkalkes von Medua reichen die von NOPCSA gesammelten Fossilien infolge ihres schlechten Erhaltungszustandes nicht aus. Von dem einen wohlerhaltenen Fossile *Harpactocarcinus punctulatus* DESM., dessen massenhaftes Vorkommen

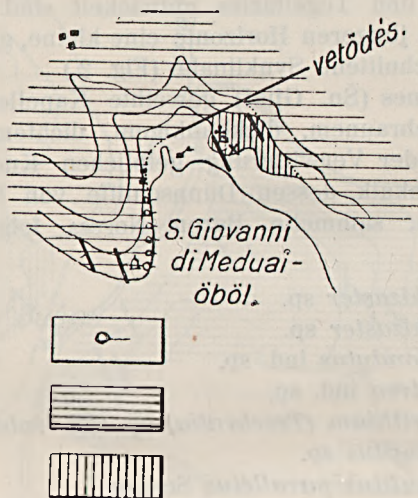


Fig. 2. Geologische Skizze der Umgebung von Medua. ○— Mineralquellen, 1. Kreta-zischer u. untereozäner Kalkstein, 2. obereozäner Ton, Sandstein und Grobkalk; vetödés = Verwerfung.

für diese Stelle charakteristisch zu sein scheint, wissen wir, namentlich auf Grund meiner 1898. publizierten, die tertiären Krebse Ungarns behandelnden Arbeit, dass es vom Untereozän bis an das Ende des Eozäns auftritt.<sup>1</sup>

Eine stratigraphische Absonderung der verschiedenen Varietäten dieser Art ist auch OPPENHEIM nicht gelungen. In seiner Arbeit über die Priabonaschichten schreibt dieser Verfasser über diese Spezies:<sup>2</sup> „Eine spezifische Abgrenzung dieser jüngeren Vorkommnisse von den älteren erwies sich trotz aller Bemühungen meinerseits als unmöglich, ich kann nach

<sup>1</sup> LÖRENTHEY: Beiträge zur Decapodenfauna des ungarischen Tertiärs. (Természettudományi Füzetek, XXI.) — 1898.

<sup>2</sup> OPPENHEIM: Die Priabonaschichten und ihre Fauna. (Palaeontographica, Bd. XLVII. p. 281.) 1901.

dieser Richtung nur die Resultate LÖRENTHEY'S bestätigen.“ Das zweite wohlerhaltene Fossil: *Harpactocarcinus quadrilobatus* DESM. ist in ähnlicher Weise langlebig, denn es ist vom Mitteleozän bis zum obersten Eozän, ja vielleicht sogar noch aus dem Mitteloligozän bekannt.

Auf diese Weise lässt sich das genauere Alter des fossilführenden Untertertiärs von Medua nur durch einen Vergleich der Fauna und der stratigraphischen Schichtenfolge mit jener relativ nahe gelegener und genau untersuchter Gegenden fixieren. Auf Grund eines solchen Vergleiches kann man sehr leicht erkennen, dass die Fazies und die Fauna des Untertertiärs von Medua dieselbe ist, wie jene des istrischen und dalmatischen mittleren Eozäns.

Am interessantesten gestaltet sich so ein Vergleich, wenn man zum Beispiel das Eozän von Rozzo als Vergleichsobjekt heranzieht, denn es wirkt die Ähnlichkeit beider geradezu verblüffend. Mit der Entwicklung des Eozäns von Rozzo haben uns zuerst D. G. STACHE,<sup>1</sup> dann F. MANEK<sup>2</sup> und SCHUBERT<sup>3</sup> bekannt gemacht, ferner lieferten auch OPPENHEIM,<sup>4</sup> TONIOLO<sup>5</sup> und andere Angaben über diese Fauna.

Betrachten wir vor allem die geologischen Verhältnisse dieser Gegend. Das Mitteleozän beginnt hier nach SCHUBERT mit den „imperforatus-Kalken“. In den imperforatus-Kalken spielt ausser *Nummulites* auch *Orbitolites complanata* eine recht bedeutende Rolle. Auf den imperforatus-Kalken lagert der Hauptnummulitenkalk, den STACHE „Hauptalveolinen- und Nummulitenkalk“ nannte. In diesem beginnt *Gümbelia aturica (perforata)* mit ihren Varianten zu dominieren, daneben sind aber für diesen Komplex *Hantkenia complanata-Tschichatcheffi*, *Assilina spira*, *Orthophragmina ephippium*, *Velates Schmideliana* usw. charakteristisch. Das Hangende des Hauptnummulitenkalkes bilden Mergel und Sandsteinschichten, die STACHE wegen des massenhaften Vorkommens von *Harpactocarcinus punctulatus* „Krabbenmergel“ nannte. SCHUBERT nennt diesen durch knollig-wulstige Verwitterung erkennbaren Horizont „Knollen-(Krabben-)Mergel“ und hebt hervor, dass er zwar nicht sehr mächtig sei, aber eine recht ausgedehnte Verbreitung

<sup>1</sup> G. STACHE: Die Eozängebiete von Innerkrain und Istrien. 2. Folge (Jahrb. d. k. k. Geol. R.-A. Bd. XIV.) 1864. — Die liburnische Stufe, I. (Abhandl. d. k. k. Geol. R.-A. 1889.)

<sup>2</sup> MANEK: Die Fundorte von Eozänfossilien bei Rozzo unweit Pinguente (Istria). Neue Fundorte von Eozänfossilien (Verhandl. d. k. k. Geol. R.-A. 1905).

<sup>3</sup> R. J. SCHUBERT: Zur Stratigraphie des istrisch-norddalmat. Mitteleozäns. (Jahrb. d. k. k. geol. R.-A. Bd. LV.) 1905.

<sup>4</sup> OPPENHEIM: Über einige alttertiäre Faunen der österr.-ungar. Monarchie. (Beitr. z. Palaeont. Oesterr.-Ung. Bd. XIII.) 1901.

<sup>5</sup> A. R. TONIOLO: L'Eocene dei dintorni di Rozzo in Istria e la sua fauna. (Palaeontographica Italica XV.) 1909.

habe. In Dalmatien soll der in Istrien in diesem Horizont sehr häufige *Harpactocarcinus punctulatus* nur selten vorkommen.

Auf diesen Horizont lagert sich bei Rozzo lockerer gelblicher bis bläulicher Mergel mit dünnen eingelagerten Sandschichten. Dieser Komplex scheint fossillener zu sein, stellenweise entwickelt er sich aber zu einer Globigerina-Fazies, in der *Clavulina Szabói* auftritt. *Clavulina Szabói* wurde lange für eine das Unteroligozän charakterisierende Form gehalten, in Dalmatien tritt sie aber schon im Mitteleozän auf. Später konnte ich nachweisen, dass sie nicht nur an der Adria eine Leitform der mitteleozänen Ablagerungen ist, sondern auch in den gleichalten Bildungen des Bakony auftritt. Da die rezente *Clavulina angularis* d'ORB. nur ihre Variante ist, handelt es sich um eine sehr langlebige Form, die als Leitfossil eines bestimmten Horizontes nicht verwendbar ist. Der obere sandige und Kalkbänke enthaltende Teil des eben geschilderten Komplexes enthält in der Umgebung von Rozzo eine reiche Fauna. Oben schliesst die ganze Schichtenserie mit küstennahen Konglomeraten ab, in denen noch immer *Nummulites (Gümbelia) aturica* (= *N. perforata*), *Nummulites (Hantkenia) complanata*, ferner Assilinen und Orthophragminen auftreten. Wenn wir die ungefähr gleichalten Schichten von Medua mit diesem Komplex vergleichen, gelangen wir zu dem überraschenden Resultat, dass die Schichtenfolge an diesen beiden von einander weit entfernt gelegenen Orten in allem und jedem übereinstimmt.

Diese Übereinstimmung besteht darin, dass auch das Profil von Medua mit hellem, kaffeehörigen, dichten Hauptnummulitenkalk beginnt, darauf folgt *Harpactocarcinus* enthaltender Knollenkalk, worauf Mergel, dann noch höher sandige, Foraminiferen enthaltende Schichten lagern.

Leider gelang es nicht aus den höheren sandigen Schichten Fossilien zu bekommen und so konnte ich mich vorläufig noch nicht überzeugen, ob sich auch hier — wie in Dalmatien — Globigerinen oder Clavulinen vorfinden. Auch dieser Horizont ist in Istrien (Rozzo) und Dalmatien in gleicher Weise entwickelt, da er hier aus globigerinenhaltigen, im übrigen aber fossilarmen, z. T. sandige Schichten einschliessenden Mergelbänken besteht.

Ein Unterschied zwischen Rozzo und Medua ist darin gelegen, dass die Schichtenreihe bei Rozzo mit küstennahen Konglomeraten abschliesst, deren Fauna mit jener des Hauptnummulitenkalkes identisch ist (*Nummulites (Gümbelia) aturica*, *Nummulites (Hantkenia) complanata*, Assilinen und Orthophragminen), wogegen bei Medua das oberste Glied ein in tieferem Wasser abgelagerter Ton ist, der in seiner tieferen Partie allerdings zahlreiche *Lithothamnium*-Knollen enthält.

Der Umstand, dass die beiden *Harpactocarcinus*-Spezies, *quadrilobatus* DESM. und *punctulatus* DESM. bei Medua unter den gleichen

<sup>1</sup> LÖRENTHEY: Bemerkung zu der alttertiären Foraminiferenfauna Ungarns. (Math. u. Naturwiss. Berichte aus Ungarn, Bd. XXVI. Heft 2. p. 152—167. u. T. I.)

geologischen und stratigraphischen Begleitumständen massenhaft auftreten, wie in Norddalmatien und Istrien, beweist das gleiche Alter der sie enthaltenden Schichten.

So kann man mit vollkommener Sicherheit das Alter des Eozäns von Medua als mittleres Mitteleozän (mittleres Lutetien) bestimmen, das den Schichten V. und VI. von Rozzo entspricht (TONIOLO, p. 244).

Die Fauna, die Schichtenfolge und die Fazies des mittleren Eozäns ist in Istrien und Nord-Dalmatien dieselbe. SCHUBERT betont,<sup>1</sup> dass nach der Ablagerung des Hauptnummulitenkalkes und des zu ihm zu zählenden Krabbenmergels in Istrien und Nord-Dalmatien eine Senkung des Meeresbodens erfolgte, denn der auf den Krabbenmergel folgende Globigerinenmergel ist die Ablagerung eines tieferen Meeres. Auch bei Medua traf dieselbe Bodensenkung ein, während aber bei Rozzo in Istrien nach der Globigerinen-Phase bald wieder eine Hebung des Meeresbodens eintrat, — worauf das Konglomerat von Rozzo hinweist, — erfolgte diese Hebung weiter im Süden bei Medua erst in einer späteren Zeit.

Dies zeigt, dass sich das Meer während des Mitteleozäns im Gebiete der heutigen Adria von Norden gegen Süden zurückzog und infolgedessen die positive Strandverschiebung im Norden bedeutend früher einer negativen Strandverschiebung Platz machte, als weiter im Süden.

Das Alter des Eozänkomplexes von Medua war auf diese Weise genau fixierbar, etwas schwieriger ist aber schon die Altersbestimmung der Schichten von Škjezi und noch schwieriger ist endlich jene der Schichten von Bušati.

Da das mitteleozäne Alter des mit Grobkalkbänken wechsellagernden Flyschsandsteines von Škjezi auf Grund des darin auftretenden *Nummulites (Gümbelia) aturica-lenticularis* fixiert ist, möchte ich ihn, obzwar Belege hierfür vorläufig noch fehlen, für gleichalt mit den höchsten Tonschichten von Medua halten. Betreffs der Schichten von Bušati herrscht eine grössere Unsicherheit vor. Es geben weder ihre petrographische Entwicklung, noch ihre ärmliche Fauna Anhaltspunkte für Vergleiche.

Auch Baron NOPCSA konnte, wie schon erwähnt wurde, das Alter der Schichten nicht fixieren. Er meint, dass ein weiteres Aufsammeln an dieser Stelle nötig wäre und hebt hervor, dass nicht nur die mit den Korallen zusammen vorkommenden Gerölle, sondern eventuell auch die Korallen älter sein könnten, als der sie einschliessende Ton.

Für eine Altersbestimmung kommt als neue Spezies die *Phyllangia epithecalis* überhaupt nicht in Betracht. Dasselbe gilt auch für die ihr aufgewachsene *Goniastrea* und für die *Heliastrea*, denn beide sind spezifisch nicht bestimmbar.

<sup>1</sup> Zur Stratigraphie des istrian. nord-dalmatin. Mitteleozän, p. 163.

Dies ist unsomehr zu bedauern, als alle Formen mit Ausnahme der *Heliastrea* nicht eingeschwemmt zu sein scheinen, denn sie sind Formen, die sich mit ihrer runzeligen Epitheca in den Meeresschlamm zu fixieren pflegen. Ihre Organisation entspricht auf diese Weise völlig dem Sedimente, in dem sie angetroffen wurden und da sie ferner auch nicht abgewetzt sind, glaube ich, dass sie sich auf primärer Lagerstätte befinden.

Bei Bušati sind nur die etwas abgewetzte und abgerundete *Heterastrea Michelottina* CAT. und eine *Heliastrea* sp. eingeschwemmte Formen.

Da *Heterastrea Michelottina* eine oligozäne Form ist (Castell-Gomberto, St. Lorenzo, Reiter-Schichten), müssen die sie einschliessenden Schichten jungtertiären Alters sein und sogar wenn wir annehmen, dass sich diese Form bei Bušati auf primärer Lagerstätte befände, gelangen wir höchstens ins ältere Oligozän.

In Albanien betrachten einige Forscher die Schichten von Derven sowie den am Plöčaberg aufgeschlossenen Flyschkomplex für jüngeres Palaeogen und zwar für Castell-Gomberto oder Priabonien. OPPENHEIM schreibt (Priabona-Schichten, p. 304): „Der einzige Punkt, welcher auf der Balkanhalbinsel bisher eine Fauna dargeboten hat, die sich derjenigen des Priabonakomplexes nähert, ist die Umgegend von Burgas; hier hat TOULA (Geol. Untersuch. im östl. Balkan etc. Denkschrift d. k. Akad. Bd. 59. p. 409, 1892.) Fossilien gesammelt, die von kompetenten Beurteilern, wie COSSMANN, zuerst als Bartonien angesehen wurden, bis v. KÖNEN auf ihre Beziehungen zu dem norddeutschen Unteroligozän hinwies. (Üb. Unteroligoz. v. Burgas, Sitzb. d. k. Akad. Bd. 102, 1893.) Diese Fauna enthält in ihren Pleurotomen und Einzelkorallen entschiedene Anklänge an diejenige der blauen Mergel um Possagno. Ob sie indessen gleichalterig oder um ein geringes jünger ist, darüber muss die Entscheidung weiteren Einzelstudien überlassen bleiben. Dagegen kann heute bereits mit Bestimmtheit behauptet werden, dass die Mergel von Haskowo in Ostrumelien, in welchen BONTSCHIEFF (Das Tertiär Beck. v. Haskowo, Bulgarien; Jahrb. d. k. k. Geol. R.-A. 46. 1896) Priabonien-Sedimente zu erblicken geneigt war, ebenso typisches Mitteleozän sind, wie der grösste Teil des Alttertiärs in Bosnien und der Herzegowina (Dolnja Tuzla und Umgegend von Mostar) und in der Moldau (SAVA ATHANASIU Üb. Eozänfaun. a. d. nordmold. Flyschzone. Verh. d. k. k. Geol. R.-A. 1899), wie wohl die überwiegende Mehrzahl der von d'ARCHIAC seinerzeit untersuchten thrazischen Vorkommnisse, wie alle alttertiären Schichten, welche ich (OPPENHEIM) weiter westlich im österreichischen Küstenland, im Friaul und in Venetien östlich der Piave aus der Literatur und aus eigener Anschauung kenne“.

Man erkennt aus dieser Auseinandersetzung, dass jüngere Tertiärschichten als Mitteleozän am Balkane grösstenteils unbekannt sind,

wogegen bei Skutari im Flysch ausser Obereozän auch Unteroligozän, ja vielleicht sogar jüngere Schichten auftreten. Im übrigen erwähnt OPPENHEIM in der erwähnten Arbeit, dass er in den obersten Schichten des Monte Promina in Dalmatien Oligozänfossilien (*Pecten Bronnii* MAY) antraf und mit diesen Schichten muss man daher wohl die Bušati-Schichten parallellisieren.

Da MUNIER CHALMAS 1891 nachweisen konnte, dass auch in der Umgebung von Vicenza das Mitteleozän in seiner tieferen Partie vorwiegend kalkig, in seiner höheren Partie (III. Gruppe, MUNIER CHALMAS) aber mergelig und flyschartig entwickelt ist, so hat die gleichartige Entwicklung des Palaeogens im Gebiete der Adria eine sehr ausgedehnte Verbreitung.

[Diesen Ausführungen LÖRENTHEY's ist hinzu zu fügen, dass nach dem vorzeitigen Tode dieses Gelehrten E. NOVAK in Mittel- und Südalbanien marines Oligozän und Untermiozän antraf, dessen Alter allerdings mehr auf Grund seiner stratigraphischen Lage als auf Grund seiner Fossilien bestimmt wurde. Immerhin haben sich auch Lepidocyclinen gefunden. Dies zeigt, dass die Vollständigkeit der posteoazänen marinen Sedimente von Süden nach Norden abnimmt und da auch der untereoazäne Bauxit (Laterit) Dalmatiens, der schon bei Medua nur als dünne, wenig auffallende Lage vorkommt, weiter im Süden völlig fehlt, so gilt diese Regel wohl auch für das ganze Eozän. Vom gleichfalls marinen Oligozän Innermazedoniens, das namentlich durch die Arbeiten KOSSMAT's bekannt wurde, unterscheidet sich das albanische gut dadurch, dass es sich mit dem Eozän verbindet, während letzteres in Innermazedonien fehlt. Baron NOPCSA.]

### 1. *Phyllangia epithecalis* nov. sp.

(Taf. I, Fig. 3. und Taf. II, Fig. 4. u. 4. a.)

Die Kolonie bildet einen flachen Knollen, der nur an der oberen Seite Polypindividuen trägt, während die untere Seite mit einer runzeligen, dicken Epithekalschicht überzogen ist. Die durchschnittlich 2—3 mm Durchmesser zeigenden, kleinen röhrenförmigen Individuen heben sich aus der Umgebung auf ca 2 mm heraus, sie sind von sehr wechselnder Gestalt, meist rund, häufig aber länglich, zusammengedrückt und einigermassen schief stehend. Die Oberfläche ist abwechselnd von stärkeren und schwächeren körnigen Längsleisten bedeckt. Die mässig tiefen Kelche sind meist von einem scharfen Rand umgeben. Die Achse erscheint bisweilen körnig, zumeist aber schwammig. Die grösseren Sternblätter haben vier vollständige Kreise (mit 48 Sternblättern). Von den im allgemeinen dünnen Sternblättern sind gewöhnlich 12 ungefähr gleicher Ausbildung bis zur Säule reichend, etwas dicker und sich bis zum Sternrand erhebend. Der obere Rand dieser Blätter erscheint sehr

fein gekörnelt. So teilt sich das Innere des Kelches in 12 gleiche Systeme. In den kleineren Systemen fehlen die Sternblätter des vierten Kreises, die in einzelnen Systemen (28—36 Sternblätter) auch überhaupt klein und dünn sind.

Diese interessante Form ist der nächste Verwandte der von REUSS beschriebenen *Phyllangia alveolaris* Rss., obwohl sie in der Hinsicht, dass sie unten mit einer runzeligen Epitheka überzogen ist, von der *Phyllangia alveolaris* abweicht, sie weicht aber auch in der Hinsicht ab, dass die Säule der Individuen bei meiner Art schwammig, bei *Phyll. alveolaris* hingegen derb ist und gewöhnlich aus 1—3 länglichen Knoten besteht.

Meine Form liesse sich, eben auf Grund der runzeligen Epitheka, vielleicht auch in einen besonderen Genus einteilen (den geringen Unterschied an der Säule auch nicht in Betracht gezogen); mit Rücksicht darauf aber, dass auch die Zugehörigkeit der nächsten verwandten Art, der *Phyll. alveolaris* zum *Phyllangia*-Genus nicht sicher ist, insofern auch die Ausbildungsweise der freien Enden der primären Sternblätter nicht vollständig bekannt ist, beschreibe ich die Art unter dem Namen *Phyllangia*, da ich die Zahl der Gattungen nicht vermehren will und namentlich auch, weil die Struktur der Sternblätter sich nicht deutlich ausnehmen lässt. Es sind nämlich sowohl der Kelch, als auch die Zwischenräume zwischen den einzelnen Individuen mit kalkigem Sand erfüllt und die einzelnen Sandkörner haben sich so tief in die Sternblätter eingedrückt, dass man nicht wissen kann, ob die hie und da sichtbare Körnelung nicht auf den Erhaltungszustand zurückzuführen ist.

**Fundort:** Das einzige gut erhaltene Exemplar mit 130—170 mm Durchmesser dieser interessanten Art erhielt ich aus dem blauen, wahrscheinlich oligozänen Ton von Bušati, wo es, wie es scheint, durch die epithekale Schichte mit dem schlammigen Boden des Meeres verbunden lebte.

## 2. *Goniastrea* sp. ind.

(Taf. II. Fig. 5.)

An den Rand meines Exemplares von *Phyllangia epithecalis*, mit ihm auf eine gemeinsame Epitheka aufgewachsen, findet sich eine kleine, im ganzen aus einigen Individuen bestehende *Goniastrea*-Kolonie. Die kleine rundliche Kolonie ist an der Oberfläche ziemlich gewölbt, ihre Individuen sind unregelmässig vielseitig, mit einem Durchmesser von 4—5 mm. Der Kelch ist trichterartig tief und demzufolge sind die Kelche an den gemeinsamen Rändern scharf. Die Achse erscheint derb, die Sternblätter körnig. Dieses mangelhaft erhaltene Exemplar erinnert sehr an die von REUSS aus den San Giovanni Ilarione-Schichten beschrie-

bene *Goniastrea Cocchii* Rss.<sup>1</sup>, ob es aber tatsächlich diese ist, kann ich zufolge des mangelhaften Zustandes meines Exemplares nicht feststellen.

**Fundort:** Einen einzigen kleinen, aus einigen Individuen bestehenden, aufgewachsenen Knollen bekam ich aus dem wahrscheinlich oligozänen blauen Ton von Bušati, der mit der vorigen Art auf einer gemeinsamen Epitheka aufgewachsen, auf dem schlammigen Boden des Meeres hier lebte.

### 3. *Heterastrea Michelottina* CAT.

1856. *Heterastraea Michelottina* CAT. — CATULLO: Terr. die sed. della Venezia.  
1868. *Isastraea affinis* Rss. — REUSS: Paläont. Stud. I, p. 44. Taf. XIII. Fig. 3.  
1889. *Heterastraea Michelottina* CAT. — REIS: Korallen der Reiter-Schichten. (Geogn. Jahreshefte, II. p. 151, Taf. IV. Fig. 26).  
1902. *Heliastrea columnaris* Rss. v. *tenuis* — ELODIA OSASCO: Contribuz. allo studio dei coralli cenosoici del Veneto. (Palacontogr. Italica, vol. VIII. p. 105).  
1903. *Heterastraea Michelottina* CAT. — P. OPFENHEIM: Bemerkungen zu der neuen Korallenarbeit der Signorina OSASCO. (Centralblatt f. Min. Geol. u. Paläont. Jahrg. 1903. Nr. 15. p. 488).

Unter dem erhaltenen Material befindet sich auch das Bruchstück eines grösseren, zum Teil abgewetzten Knollens, welches ich nur zu dieser Art rechnen kann. Auch auf Grund dieses Exemplares kann ich die Behauptung von REUSS bekräftigen, dass die Säule oben Narben zeigt, während sie weiter unten schwammig ist; es finden sich nämlich fast ganz erhaltene Kelche, in denen die Achse mit dünnen Narben besetzt ist, während in den mehr abgeriebenen Kelchen die schwammige Achse mehr als die Hälfte des Kelches einnimmt, ebenso wie das auch Fräulein OSASCO zeichnet.

**Fundort:** Das zum Teil abgeriebene Bruchstück eines grösseren, etwas abgeflachten Knollens erhielt ich aus dem wahrscheinlich oligozänen blauen Ton von Bušati, wohin er möglicherweise eingeschwemmt wurde.

### 4. *Heliastrea* sp.

Ich bekam ein grösseres Bruchstück dieses Genus, das sich wegen seinem mangelhaften Erhaltungszustand spezifisch nicht bestimmen lässt. Die Kelche sind nämlich mit abgeriebenem Sandkörnern erfüllt, die sich ohne Verletzung der Sternblätter aus dem Kelch nicht

<sup>1</sup> REUSS: Paläontologische Studien über die älteren Tertiärschichten der Alpen. III. Abteil. Die fossilen Anthozoen der Schichtengruppe v. S. Giovanni Ilarione und von Ronca. (Denkschr. d. k. Akad. d. Wiss. in Wien, Bd. 33, p. 32, Taf. I. II. Fig. 1.) 1874. — REUSS: Die fossilen Anthozoen d. Schichtengruppe v. S. Giovanni Ilarione (Paläont. Studien üb. d. älteren Tertiärschicht. d. Alpen. III. Abt. p. 14, Taf. XI. Fig. 2.) 1874.

herauspräparieren lassen und folglich das Studium der inneren Struktur nicht gestatten.

**Fundort:** Es ist dies das einzige, wahrscheinlich oligozäne Exemplar von Bušati aus blauen Ton, in den es möglicherweise eingeschwemmt wurde.

#### 5. *Schizaster*, 2 sp.

Ich bekam zwei mangelhafte Exemplare, die zwei verschiedenen, ziemlich grossen Arten angehören, leider sind sie aber so schlecht erhalten, dass sie näher nicht bestimmbar sind. Es mag sein, dass das eine Exemplar eventuell nicht einmal ein *Schizaster*, sondern der Vertreter irgend eines nahen Verwandten ist.

**Fundort:** Die Exemplare beider Arten stammen aus dem knolligen Krabbenreste-führenden mitteleozänen Kalkmergel von Medua.

#### 6. *Spondylus* sp. ind.

Ein einziger, fehlerhafter, schlecht erhaltener Steinkern befindet sich in dem zur Aufarbeitung erhaltenen Material, den ich, da seine dachähnlich scharfen Rissen nicht gleichstark und an den stärksten die Spuren kräftiger Stacheln vorhanden sind, nur als *Spondylus* betrachten kann, der aber zu einer näheren Bestimmung völlig ungenügend ist.

**Fundort:** Ein Exemplar aus dem mitteleozänen, Krabbenreste-führenden, knolligen Kalkmergel von Medua.

#### 7. *Ostrea* sp. ind.

Die Oberfläche des einzigen, ziemlich dickschaligen, mangelhaft erhaltenen Exemplares ist glatt, man sieht daran nur die abgeriebenen Zuwachsstreifen und so ist eine nähere Bestimmung ganz unzulässig.

**Fundort:** Aus dem Krabbenreste-führenden knolligen, mitteleozänen Kalkmergel von Medua erhielt ich ein Exemplar.

#### 8. *Cerithium* (*Therebralia*) sp. (cfr. *robusta* DAINELLI.)

Zwei mächtige, dickschalige *Cerithium*-artige Reste befinden sich in dem von Medua erhaltenen Material. Die Schale ist ganz verwittert, so dass nicht nur die oberflächliche Verzierung nicht rein auszunehmen ist, sondern selbst die Nahtlinien sich schwer von den Rippen der Querverzierung unterscheiden lassen. Dass die Oberfläche von kräftigen Querkanten bedeckt ist, das sieht man an den Steinkernpartien sehr schön; hie und da sieht man auch Quernarben, wenigstens an den kräftigeren Kanten.

All das, was man an den beiden schlecht erhaltenen Exemplaren sehen kann, stimmt am besten mit den von DAINELLI<sup>1</sup> vom dalmatinischen Monte Promina unter dem Namen *Terebralia robusta* beschriebenen Formen überein. Meine Formen lassen sich auch bei ihrem schlechten Erhaltungszustand nicht mit DAINELLI'S Art identifizieren, aber auch die Altersverschiedenheit widerspricht dem, dass die Arten der beiden Fundstellen ident seien, da DAINELLI'S Exemplare aus dem unteren Miozän des M. Promina, die von Baron NOPCSA gesammelten beiden Exemplare hingegen aus dem Mitteleozän herkommen. Jedenfalls ist aber die Ähnlichkeit die Grösse betreffend, so augenscheinlich, — beide sind cc. 100—110 mm hoch und cc. 45—50 mm breit, — dass zwischen den Formen der beiden Fundorte mindestens eine nahe Verwandtschaft besteht.

**Fundort:** Aus dem Krabbenreste-führenden, knolligen, mittelozänen Kalkmergel von Medua, zwei Exemplare.

### 9. Nautilus sp.

(Taf. II. Fig. 3.)

Ich erhielt ein kleines Exemplar mit fehlerhafter Schale, auf der selbst die Färbung erhalten blieb; man sieht nämlich sehr schön, dass auf gelblichbraunem Grund rötliche Zungen sich längs der Zuwachsstreifen hinziehen, so dass man sagen kann, dass die Verzierung im Ganzen mit dem heute lebenden *Nautilus pompilius* L. übereinstimmt. Das Haus ist oval, ungleichförmig, asymmetrisch eingerollt. Die letzte Windung ist nur um wenig niedriger, als die übrigen Windungen zusammengekommen. Die Windungen umfassen einander stark und verbreitern sich in der Nabelgegend schwach flügelartig. Dieser Flügel um den Nabel herum bildet als Mundrand einen Halbmond und begrenzt an der rechten Seite einen engen und tiefen Nabel, während an der linken Seite des Gehäuses, der asymmetrischen Einrollung zufolge, wie es scheint, kein offener Nabel vorhanden war. Die vorhergegangene Windung dringt in den unteren Teil der Mundöffnung verhältnismässig breit, aber nicht sehr tief ein, so dass die Mundöffnung abgestumpft spitz und etwas schief halbmondförmig wird. Die sich aus dem verhältnismässig tiefen, senkrecht wandigen Nabel erhe-

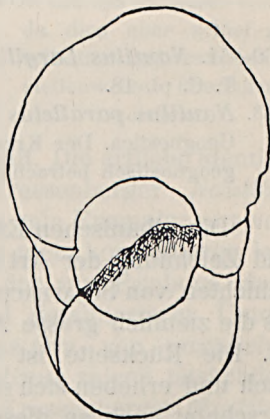


Fig. 3.

<sup>1</sup> G. DAINELLI: Il miocene inferiore del Monte Promina in Dalmazia. (Palaeont. Italica, vol. VII. p. 274. Tav. XXXII. Fig. 10—11.) 1901.

benden Kammerscheidewände ziehen sich an der Schale in nahezu ganz gerader Linie zum andern, sehr seicht und trichterartig erscheinenden Nabel hinüber; nur an der breiten runden Rückenseite ist eine kaum wahrnehmbare, schwache und breite Bucht der Kammernaht vorhanden. Das einzige mangelhafte Exemplar ist 55 mm hoch, die Breite beträgt 33 mm, die Höhe der Mundöffnung 23 mm, die Nabelweite cca 7 mm.

Dieser wahrscheinlich neuen Art steht der aus dem fraglichen Miozän von NEAR GEELONG (Victoria, Australia) beschriebene *Nautilus geelongensis* FOORD<sup>1</sup> sowohl durch die Form des Gehäuses, wie durch den Verlauf der Kammernaht am nächsten. Der Hauptunterschied besteht darin, dass *Nautilus geelongensis* symmetrisch eingerollt und so an beiden Seiten symmetrisch, das albanische Exemplar hingegen ungleichförmig eingerollt und folglich unsymmetrisch ist.

**Fundort:** Ich erhielt ein einziges mangelhaftes, aber mit der Schale erhaltenes Exemplar dieser interessanten Form aus dem mitteleozänen, Krabbenreste-führenden, knolligen Kalkmergel von San Giovanni di Medua, in deren Gesellschaft unter anderen auch die folgende flachere Art, *Nautilus parallelus* SCHAFH. lebte.

#### 10. *Nautilus parallelus* SCHAFH.

(Taf. I. Fig. 1. und 2, T. II. Fig. 1. u. 2.)

1850—51. *Nautilus Largilliertanus* D'ORB. — D'ORBIGNY: Paléontologie française, T. C. pl. 18.

1863. *Nautilus parallelus* SCHAFH. — SCHAFHÄUTL K. E.: Süd-Bayerns Lethaea Geognostica. Der Kressenberg und die südlich von ihm gelegenen Hochalpen geognostisch betrachtet in ihren Petrefakten. Leipzig, 1883.

Die albanischen Exemplare stimmen in Bezug auf die Beschreibung und Zeichnung der Art mit dem aus den Kressenberger gleichalterigen Schichten von SCHAFHÄUTL beschriebenen *N. parallelus* insofern überein, als die ziemlich grosse Art von verkehrt verlängerter eiförmiger Gestalt ist. Die Rückseite ist schwach gewölbt, die Seiten sind entsprechend flach und erheben sich schwach gegen den breiten Nabel hin. Tatsächlich „erscheint auch an diesen die sichtbare vorletzte Windung, welche in die Fläche der Mundöffnung hinaufsteigt, als ein sehr charakteristischer, hoher, abgestumpfter Kegel mit beinahe flachen Seiten“. (Siehe die Textabbildung 4.) Die Nahtlinien neigen sich bis zum ersten Drittel der

<sup>1</sup> FOORD: Catalogue of the fossil Cephalopoda in the British Museum. Part. II. Nautiloidea. p. 332. Fig. 69. London. 1891.

Höhe des Gehäuses in schwachem Bogen nach rückwärts und bilden weiterhin von hier in flachem Bogen stärker nach vorn geneigt, auf der Rückseite wieder einen flachen, schwach nach vorn gerichteten Bogen. „Der Rücken lässt bei wohl erhaltenen Exemplaren Anlage zur Undulierung bemerken“.

Diese Charaktere, ja selbst auch die Gewelltheit der Rückseite, die man an SCHAFHÄUTL'S Zeichnung nicht sieht, sind auch an meinen Exemplaren schön zu sehen.

Meine albanischen Exemplare sind dickschalig und von rötlichbrauner Farbe. Sie sind etwas kleiner, als die Kressenberger Exemplare. Die Masse meiner Exemplare sind folgende:

	I.	II.
Durchmesser .....	83—110	mm
Nabelweite .....	14—16	„
Windungshöhe .....	37—43	„
Windungsbreite .....	36—38	„

Ich muss bemerken, dass keines der albanischen Exemplare ganz gut erhalten ist, da an dem einen zwar auch die Wohnkammer, obwohl mangelhaft, vorhanden ist, während an dem anderen auch Luftkammern fehlen.

FUCHS<sup>1</sup> erwähnt unter dem Namen *Nautilus parallelus* eine Art aus dem Kalinowkaer Eozän, welche Schichten FUCHS mit den Kressenberger und Biarritzer Eozänschichten für gleichalterig hält. Die artliche Identität dieses Kalinowkaer Exemplares mit dem Kressenberger *Nautilus parallelus* lässt sich nicht feststellen, weil FUCHS sein Exemplar nur von der Seite zeichnet so dass sich die Artcharaktere nicht kontrollieren lassen. Nach FUCHS ist seine Kalinowkaer Art mit der von Priabona identisch, welche neuerdings OPPENHEIM<sup>2</sup> auf Grund detaillierterer Untersuchung unter dem Namen *Nautilus vicentinus* Opp. von *parallelus* unterschied. Die Kammernähte von *Naut. vicentinus* zeigen tatsächlich den gleichen Verlauf, wie beim albanischen und Kressenberger *Nautilus parallelus*, auch ist der Nabel weit, so dass man die weiteren Windungen in ihm sieht und an der letzten Windung ist an den Kammernähten gleichfalls eine starke Anschwellung sichtbar. Der Rückenrand des

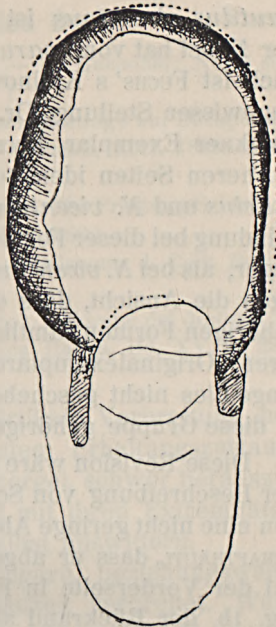


Fig. 4. Das kleinere Exemplar von vorn gesehen, an dem man die Dicke der Wand des Gehäuses sieht; da dies aber schief geschnitten ist, erscheint es stellenweise übermäßig verdickt.

<sup>1</sup> TH. FUCHS: Die Conchylienfauna der Eozänablagerungen von Kalinowka, p. 3. Taf. II. Fig. 2.

<sup>2</sup> OPPENHEIM: Die Priabonaschichten und ihre Fauna, p. 253, T. III. Fig. 11-12.

*Nautilus vicentinus* ist indess breiter, als der des *N. parallelus* und der Nabel hat vom *parallelus* abweichend einen ohrartigen Rand. Demnach ist FUCHS's Kalinowkaer Exemplar der Art nach noch immer in ungewisser Stellung. Dr. VICTOR VOGL<sup>1</sup> ist der Ansicht, dass dieses Kalinowkaer Exemplar FUCHS's mit seinem *Nautilus Szontaghi* VOGL mit flacheren Seiten identisch ist, insofern er gleichfalls flacher als *N. parallelus* und *N. vicentinus* ist. Seiner Ansicht nach wächst die Höhe der Windung bei dieser Form FUCHS's plötzlich an, ferner ist der Nabel etwas enger, als bei *N. vicentinus* (DE ZIGNO) OPP. Diese Unsicherheiten rechtfertigen die Ansicht, dass die in den Formenkreis des *Nautilus parallelus* gehörigen Formen sämtlich mit dem *N. parallelus* zusammen, auf Grund ihrer Originalexemplare einer Revision zu unterziehen sind. Solange dies nicht geschehen ist, lässt sich ein definitives Urteil über die in diese Gruppe gehörigen Formen nicht aussprechen.

Diese Revision wäre umso notwendiger, da sich schon beim Vergleich der Beschreibung von SCHAFHÄUTL's *Nautilus parallelus* mit den Abbildungen eine nicht geringe Abweichung zeigt. Vom Rückenrand sagt nämlich SCHAFHÄUTL, dass er abgeplattet sei und tatsächlich ist er auch als solcher auf der Vorderseite in Fig. 1c. dargestellt, während auf der Hinterseite Fig. 1b. der Rückrand abgerundet ist, wie dies auch an beiden albanischen Exemplaren der Fall ist.

Aus gleichalterigen Schichten, aus dem istrischen Eozän der Gegend von Rozzo, erwähnt TONIOLO (Palaeont. Italica, XV.) den *Nautilus disculus* DESM. Dieser weicht schon durch den engeren Nabel, besonders aber durch den zugeschärften Rückenrand von meinen albanischen Exemplaren wesentlich ab, ja auch in dem Verlauf der Kammernähte zeigt sich ein gewisser Unterschied, indem bei *Nautilus disculus* die Kammernähte weniger wellenförmig verlaufen.

Da auch hier, wie an den meisten Fundorten, die vorherbesprochene bauchige und diese schlankere Art zusammen gefunden wird, denkt man unwillkürlich an einen Geschlechtsunterschied und es ist nicht unmöglich, dass die vorige bauchige Art das weibliche Exemplar dieses *N. parallelus* ist.

**Fundort:** Ich erhielt zwei, mit Schale versehene, aber gebrochene Exemplare aus dem mitteleozänen, Krabbenreste-führenden, knolligen Kalkmergel von San Giovanni di Medua.

<sup>1</sup> VOGL: Studien aus d. Kreise der eozänen Nautiliden. (Földt. Közl. Bd. 38. 1908). — Neuere Beiträge z. Kenntn. d. alttert. Nautiliden Ungarns. (Centralbl. f. Min. Geol. etc. 1910).

### 11. *Harpactocarcinus punctulatus* DESM.

1895. *Cancer (Harpactocarcinus) punctulatus* DESM. — DE GREGORIO: Notes sur certains crustacés eocéniques, p. 10. Tav. I. Fig. 1.
1898. *Harpactocarcinus punctulatus* DESM. — LÖRENTHEY: Beiträge zur Decapodenfauna des ungarischen Tertiärs. (Természetrázi Füzetek, XXI. 1898. Siehe ebendahier die vorausgegangene Literatur.)
1901. *Harpactocarcinus punctulatus* DESM. — OPPENHEIM: Die Priabona-Schichten u. ihre Fauna etc. (Palaeontographica, Bd. XLVII. p. 280.)
1908. *Harpactocarcinus punctulatus* DESM. — FABIANI: Palaeont. d. Colli Berici. (Mem. Soc. It. d. Science, Bd. XL. p. 210.)
1909. *Harpactocarcinus punctulatus* DESM. — TONIOLO: L'Eocene dei dintorni di Rozzo in Istria e la sua fauna. (Palaeontographica Italica, Bd. XV. p. 292. Tav. XXVI. Fig. 3.)

Diese kosmopolitische und eine grosse vertikale Verbreitung besitzende Art findet sich in verhältnismässig gutem Erhaltungszustand. Obwohl ihre Exemplare aus dem harten Kalkmergel schwer herauszubekommen sind, sieht man doch, dass sie meist mit ihren Extremitäten erhalten sind und in den meisten Fällen von selbst auswittern.

Von Albanien hinauf bis Piszke in Mittelungarn, beziehungsweise vielleicht bis Rózsahégy war diese Art zur Eozänzeit verbreitet. Während aber um die Mitte des Eozäns in den *Harpactocarcinus*-Schichten (Krabbenmergel) diese Tiere von Albanien und Norditalien bis zum Bakony, beziehungsweise vielleicht bis Rózsahégy lebten, erreichten sie am Ende des Eozäns, in Ungarn bis in die Gegend von Piszke wandernd, den Gipfelpunkt ihrer Entwicklung.

Bezüglich der Form ist diese Art sehr veränderlich, darum figurierten auch einzelne ihrer Gestaltsabänderungen unter verschiedenen Namen, wie *Harp. rotundatus* M.EDW., *Harp. ovalis* M.EDW. Aus Albanien kenne ich den Typus, der aber — nach den erhaltenen Exemplaren zu urteilen — hier viel kleiner geblieben ist, als überall weiter nördlich. Das Vorkommen von Piszke ausgenommen lebte diese Art überall mit dem folgenden *Harpactocarcinus quadrilobatus* zusammen, also zu Anfang des Eozäns, während am Ende dieser Zeit, wenigstens auf dem Gebiete Ungarns, diese Art sich allein, ohne *H. quadrilobatus* findet.

**Fundort:** Drei Exemplare erhielt ich aus den mitteleozänen, knolligen, Krabbenreste-führenden Kalkmergel von San Giovanni di Medua, wo diese Art mit dem *Harpactocarcinus quadrilobatus* zusammen horizontbezeichnend ist.

### 12. *Harpactocarcinus quadrilobatus* DESM.

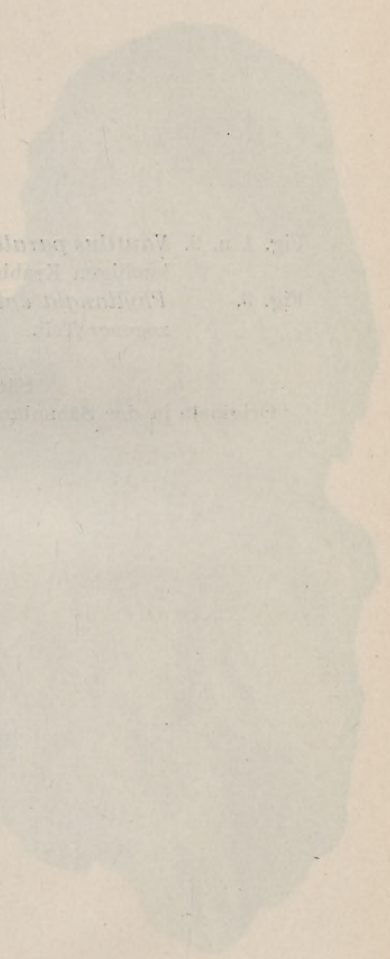
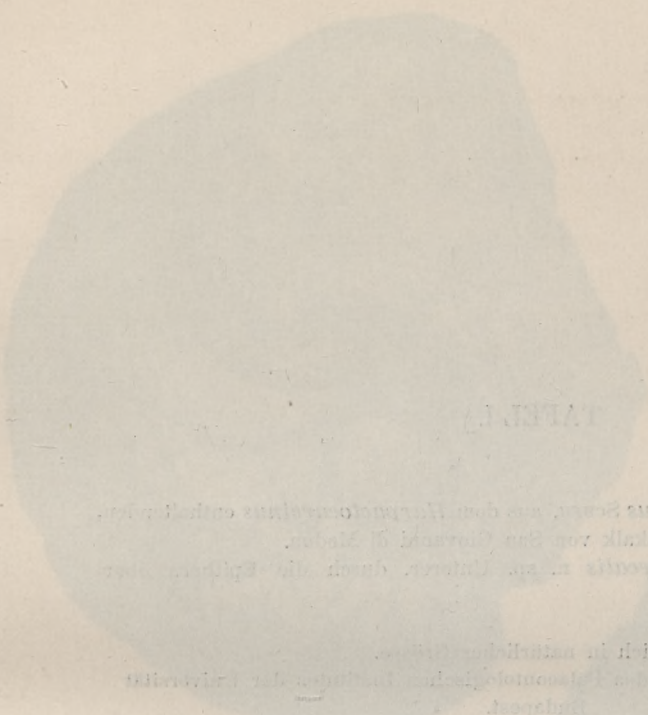
1847. *Cancer Pratti* et *Cancer Sismondae* M.EDW. — D'ARCHIAC: Hist. progr. géologie. III. p. 804.
1861. *Xanthopsis Kressenbergensis* MEY. — v. MEYER: Tert. Decap. a. d. Alpen, p. 156. Taf. XVI. Fig. 12—14.

1895. *Cancer (Plaeocarpilius) Gichelionsis* DE GREG. — GREGORIO: Crust. eocéniques, p. 14. Pl. 4. Fig. 3.
1898. *Harpactocarcinus quadrilobatus* DESM. — LÖRENTHEY: Beiträge zur Decapodenfauna des ungarischen Tertiärs. (Természetrázi Füzetek, XXI. 1898. Siehe ebendort die frühere Literatur.)
1909. *Harpactocarcinus quadrilobatus* DESM. — TONIOLO: L'Eocene d. dintorni di Rozzo, p. 293. Tav. XXVI. Fig. 4.

Diese kosmopolitische und gleichfalls in recht grosser vertikaler Verbreitung auftretende Art erhielt sich in gutem Zustand, zumeist samt Extremitäten. Ihre horizontale Verbreitung ist, seitdem es mir gelungen ist festzustellen, dass auch *Xanthopsis Kressenbergensis* nichts anderes ist als *Harp. quadrilobatus* — wie ich das in meiner in kurzer Zeit erscheinenden Monographie der fossilen Krebse ausführe — im ganzen übereinstimmend, ihre vertikale Verbreitung aber ist kleiner, wie jene des *Harpactocarcinus punctulatus*; während aber *Harp. punctulatus* DESM. vom unteren Eozän bis zum obersten Eozän lebte, ist *Harp. quadrilobatus* DESM. mit voller Gewissheit nur vom mittleren an bis zum oberen Eozän bekannt. Ausserdem findet sich *Harp. quadrilobatus* von Albanien bis Rózsahegy und Kressenberg, wogegen *Harp. punctulatus* von Albanien bis Piszke, respective wahrscheinlich bis Rózsahegy und westlich bis in die Schweiz (Thunsee) verbreitet ist. Während im Bakony und bei Rózsahegy diese beiden Arten zusammen lebten, lebte in der Schweiz und in den jüngsten Piszkeer Schichten *Harp. punctulatus* allein.

**Fundort:** Sieben Exemplare von genügend guter Erhaltung erhielt ich aus dem knolligen, Krabbenreste-führenden, mitteleozänen Kalkmergel von San Giovanni di Medua, wo diese Art mit *Harpactocarcinus punctulatus* zusammen als häufigstes und charakteristischestes, horizontbezeichnendes Petrefakt auftritt.





TAFEL I.

- Fig. 1 u. 2. *Nautilus parallelus* SCHFF. aus dem *Harpactocarcinus* enthaltenden, knolligen Krabbenkalk von San Giovanni di Medua.  
Fig. 3. *Phyllangia epithecalis* n. sp. Unterer, durch die Epitheca überzogener Teil.

Sämtlich in natürlicher Grösse.

Originale in der Sammlung des Palaeontologischen Institutes der Universität Budapest.



1.

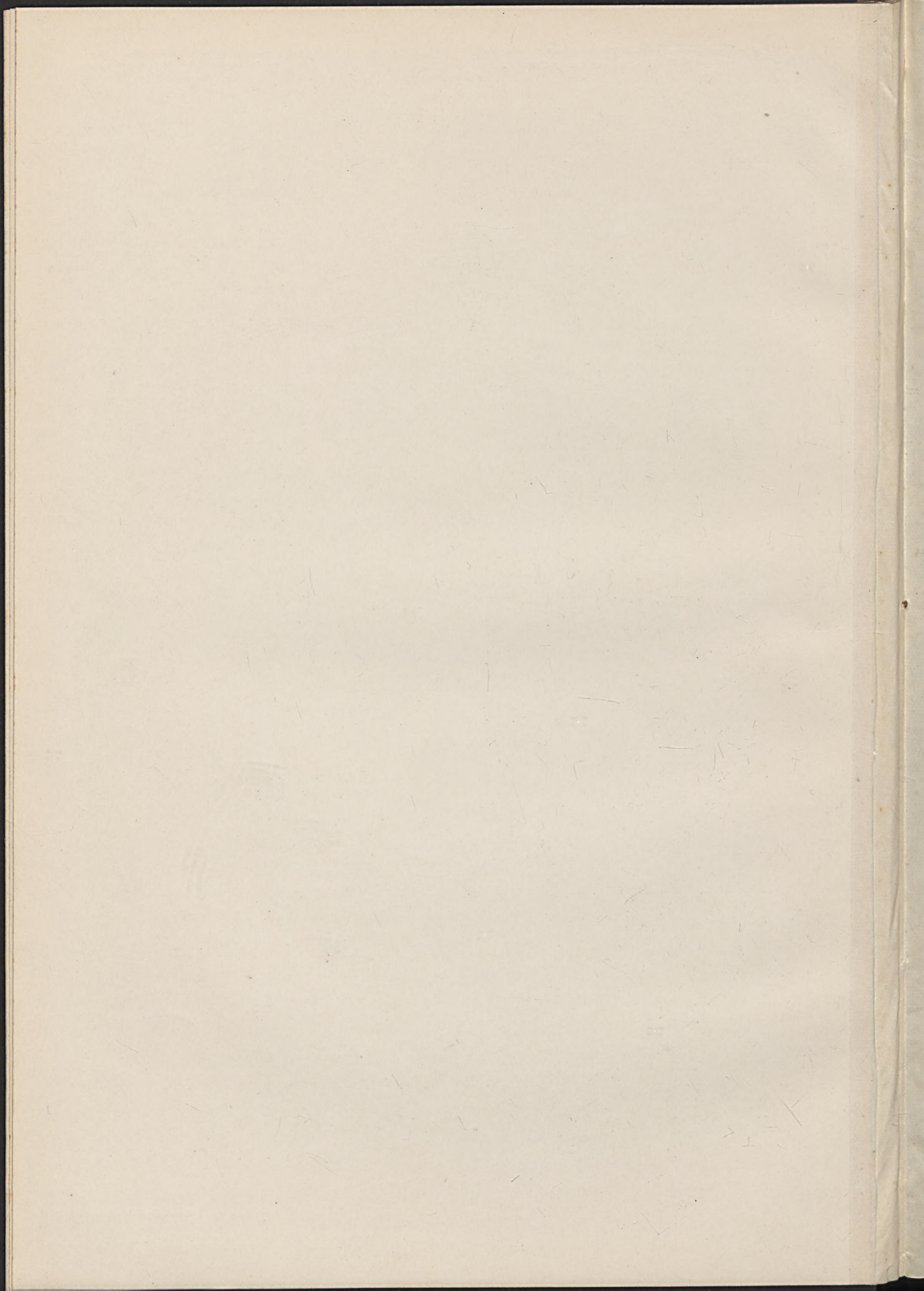


3.



2.





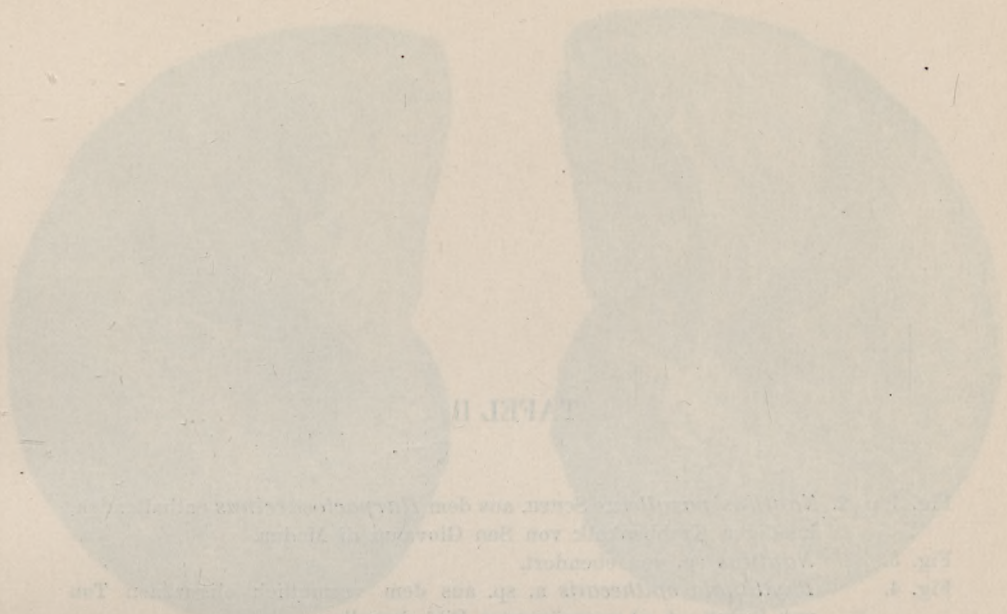
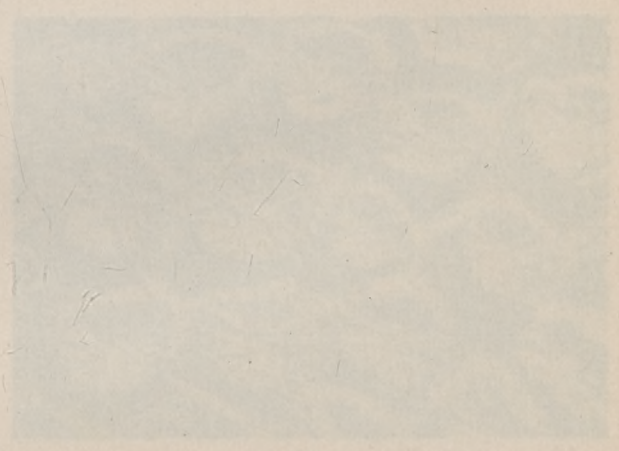


TABLE II

Faint, illegible text, likely bleed-through from the reverse side of the page.



## TAFEL II.

- Fig. 1 u. 2. *Nautilus parallelus* SCHEFF. aus dem *Harpactocarcinus* enthaltenden,  
knolligen Krabbenkalk von San Giovanni di Medua.  
Fig. 3. *Nautilus* sp. von ebendort.  
Fig. 4. *Phyllangia epithecatis* n. sp. aus dem vermutlich oligozänen Ton  
von Bušati; 4. a) vergrössertes Bild desselben.  
Fig. 5. *Goniastrea* sp. ind. von ebendort.

Sämtlich in natürlicher Grösse.

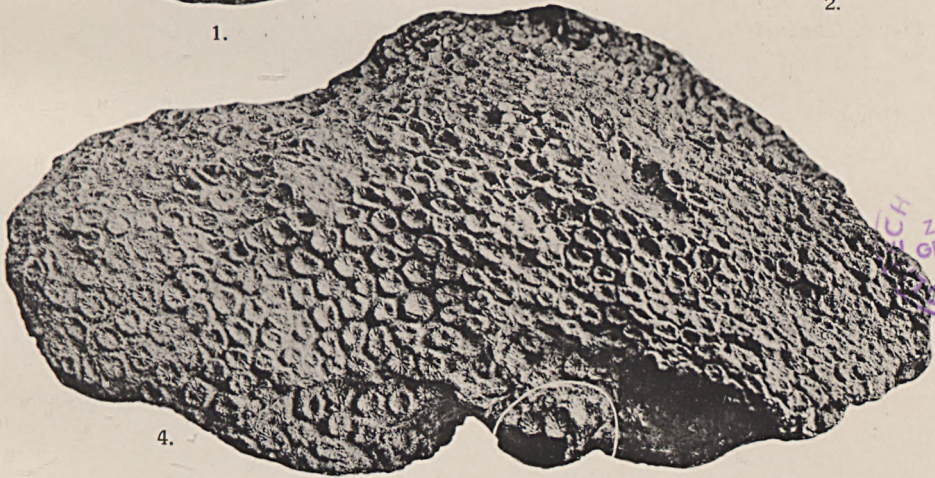
Originale in der Sammlung des Palaeontologischen Institutes der Universität  
Budapest.



1.



2.

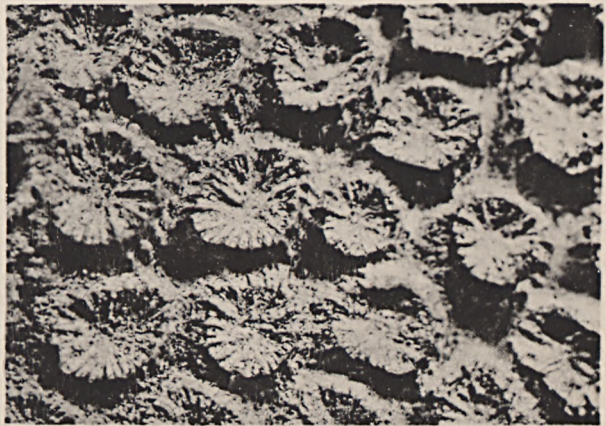


4.

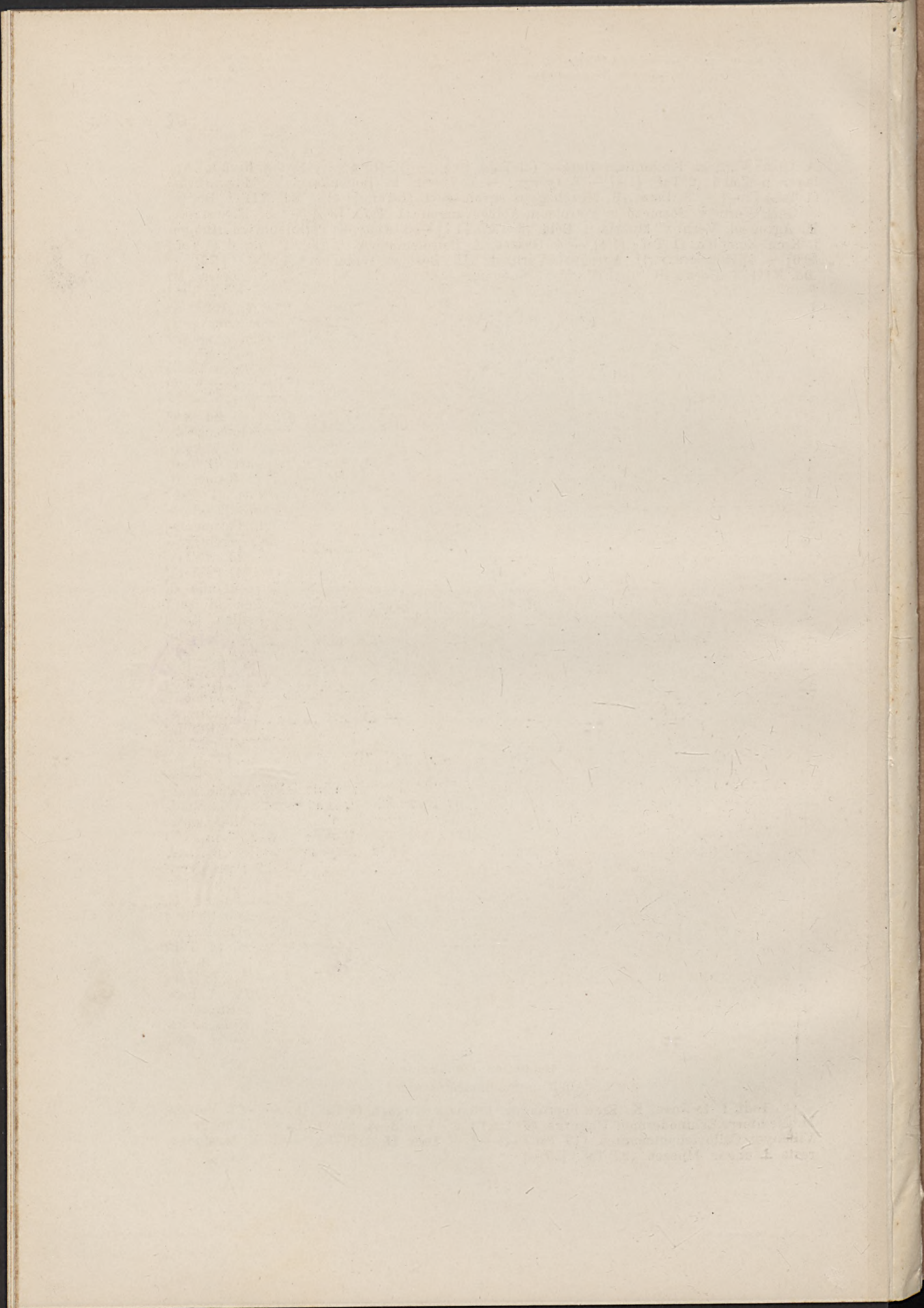
5.



3.



4a.



2.

# ÜBER FOSSILE TERMITEN UNGARNS

VON

DR. A. PONGRÁCZ



MIT DEN TAFELN III—V.

Mitt. n. d. Jahrb. d. kgl. ungar. Geol. Anstalt, XXV. Bd. 2. Heft.

Wpisano do inwentarza  
ZAKŁADU GEOLOGII

Dział. B Nr. 167

Dnia 20.11 1947

ÜBÉR FOSSILE  
TEJEMITEN UNGARIS

*Vom Verfasser wesentlich umgearbeitete deutsche Ausgabe einer unter dem Titel „Uj harmadidőszaki termeszfaj Radobojról“, als Heft 2, Bd. XXV. der Zeitschrift „M. kir. Földtani Intézet Évkönyve“ im Jahre 1917 in ungarischer Sprache erschienenen Aufsatzes.*



*Ausgegeben am 24. Juni 1926.*



Die ersten Bausteine zur Kenntnis der fossilen tertiären Termitenfauna lieferten die bahnbrechenden Arbeiten von CHARPENTIER, PICTET-BARABAN und HAGEN, denen es gelang, auf Grund eines reichhaltigen Materials Einblicke in die europäische Termitenfauna zu gewinnen und eine nicht unbedeutende Anzahl von Arten als Denkmünzen des Werdeganges der Termitenwelt noch im Jahre 1856 nachzuweisen. Schon damals reihten genannte Forscher die fossilen europäischen Termiten in drei Gattungen und zwar in *Kalotermes*, *Termopsis* und *Eutermes* ein, welche Einteilung auch gegenwärtig keiner größeren Berichtigungen bedarf. Von den neuen Arten scheint für unsere Fauna *Eutermes gracilis* wichtig zu sein, die im Jahre 1873 von GERMAR irrtümlich als *Hemerobius antiquus* beschrieben und von PICTET richtig in die Gattung *Eutermes* gestellt wurde, mit der Bemerkung, daß diese Art unseren rezenten Arten *T. lucifugus* und *flavipes* sehr nahe stehe.

Damit ist der erste sichere Beweis für den engen Zusammenhang der fossilen und rezenten europäischen Fauna erbracht, der aber erst im weiteren Verlaufe unserer Forschungen voll zur Geltung kam. Schon im Jahre 1847 erkannte der schweizer Palaeontologe HEER an verschiedenen in Bernstein und bei Radoboj in Kroatien gefundenen Termiten Merkmale rezenter Arten. Demnach steht *T. pristinus* CHARP. mit *T. molestus* BURM., *T. obscurus* HEER mit *T. testaceus* L. in Verwandtschaft, während HEER sich über die Verwandtschaftsverhältnisse von *T. procerus* nicht äußerte.

Fast siebenzig Jahre waren seit diesen Untersuchungen vergangen, als KURT VON ROSEN eine Termitenart aus dem Miozän von Radoboj unter dem Namen *Mastotermes croaticus* beschrieb. Aus seinen interessanten Schilderungen geht hervor, daß schon im älteren Tertiär Termitenarten auftauchten, die von den bisher beschriebenen fossilen Arten in mehreren Beziehungen abwichen und ältere Merkmale aufwiesen. Diese Merkmale sind schon aus der Abbildung von *Termes Haidingeri* in GOLDENBERG'S Palaeontographia ersichtlich, HEER schrieb denselben jedoch keine Bedeutung zu. Erst KURT VON ROSEN gelang es an dieser Gattung, — die gegenwärtig nur einen einzigen Vertreter in Australien hat, und durch die vier fossilen Arten *M. Batheri*, *anglicus*, *ournemouthisis* und den von COLLINS beschriebenen *M. Wheeleri* vertreten ist, — Merkmale der Gattung *Mastotermes* zu erkennen. Letztere gehören dem älteren Tertiär an, während ROSEN für den jüngeren, miozänen *M. croaticus* die Gattung *Miotermes* aufstellte.

Die Lückenhaftigkeit der palaeontologischen Funde, ferner die Richtung der Systematiker, denen es hauptsächlich darum zu tun war, die rezenten Arten bloß in systematischen Betrachtungen zu behandeln, ermöglichte uns jedoch keine weiteren Einblicke in die Entfaltung der Fauna zu gewinnen. Als ich nun vor einigen Jahren, Dank der Direktion der königl. ung. Geol. Anstalt zu Budapest und des freundlichen Entgegenkommens des Herrn TIVADAR KORMOS in die angenehme Lage kam, die interessante, wenn auch nicht sehr reichhaltige Sammlung durchprüfen zu können, fesselte meine Aufmerksamkeit ein Abdruck eines Hinterflügels, an dem schon bei oberflächlicher Betrachtung Spuren eines, für die Gattung *Mastotermes* charakteristischen Analfeldes zu erkennen waren. Damals dachte ich, daß diese Art mit *M. croaticus* identisch sei, nach eingehender Prüfung gelang es mir jedoch festzustellen, daß dieselbe durch das Vorhandensein eines dritten Astes des Radius von *M. croaticus* ziemlich abweicht. Somit konnte ich nicht umhin, in diesem Abdrucke eine neue, *M. croaticus* jedoch sehr nahe stehende Art zu erblicken. Bei der ersten Beschreibung derselben<sup>1</sup> war ich über den Fundort dieses Fossils nicht genau unterrichtet und so stellte ich für diese Art auch auf Grund des Geäders die neue Gattung *Pliotermes* auf. Seitdem wissen wir, daß diese Art, sowie auch die meisten von HEER beschriebenen Fossilien, die im Mergelschiefer auftauchen, dem unteren Miozän angehören. Sie dürften zu einer Zeit gelebt haben, als sich die letzten Wellen eines Binnenmeeres zurückzogen und das Land, — wie aus den Spuren einer marinen Vegetation (Seetang etc.) ersichtlich — noch nicht ganz trockengelegt war.

Von diesem Fossil ist leider nur ein unvollkommener Rest vorhanden, der die habituellen Merkmale dieser Art nicht erkennen läßt.

Nach der Beschaffenheit des Hinterflügels gehört diese Art der Gruppe *Mastotermatinae* an, deren fossile Vertreter, — wie aus *M. anglicus*, *ournemouthensis* u. *Batheri* ersichtlich — einen ziemlich reichen Radial- und Kubitalkomplex trugen. Bei *M. croaticus* sind diese Merkmale stark reduziert und so war es bisher schwierig, diese Art den übrigen fossilen *Mastotermiden* anzuknüpfen. Diese Lücken soll nun *P. hungaricus* ausfüllen, der einerseits noch die Spuren des reicheren Radialkomplexes der ältesten Termiten beibehalten hat, andererseits aber schon auf eine engere Verwandtschaft mit dem jedenfalls jüngeren *M. croaticus* hindeutet.

#### Gen. nov. PLIOTERMES PGR.

Subcosta des Hinterflügels mangelhaft erhalten; dieselbe erreicht kaum  $\frac{1}{4}$  der Länge des Flügels; Radius entsendet drei Sektoren, die fast parallel mit dem Flügelrande verlaufen. Media zweigt schon weit

<sup>1</sup> Új harmadidőszaki termeszfaj Radobojáról Földt. Int. Évkönyve, XXV. 1917. p. 25–36. (Nur. ung.)

vor der Mitte ab und bildet zwei gabelige Äste. Kubitus weist auf eine sehr reichhaltige Verzweigung hin. Die anale Erweiterung des Flügels ist bei vorliegendem Reste nicht erhalten, die Beschaffenheit und der Verlauf des ganzen Kubital- und Radialkomplexes spricht aber zweifellos dafür, dass eine solche vorhanden war.

#### *Pliotermes hungaricus* PGR.

Von dieser Art befindet sich in der Sammlung der königl. ung. Geol. Anstalt ein rechter Hinterflügelrest eines Männchens auf Mergelschiefer. Das Analfeld ist leider nicht deutlich zu erkennen.

Gesamtlänge 28 mm, grösste Breite 10 mm.

Verlauf der *Costa* nicht deutlich zu verfolgen.

*Radius* hat drei Äste, die voneinander in ziemlich gleicher Entfernung parallel mit dem Flügelrande verlaufen.

*Media* verläuft fast marginal und entsendet drei divergierende Sektoren, die gabelig enden. Der mittlere scheint rudimentär zu sein, der Hauptstamm ist auch gabelig. Der dritte Ast dieses Stammes ist für diese Art charakteristisch und fehlt bei *M. croaticus* ROSEN. Ähnlichen Bau hat auch *M. bournemouthisensis* ROSEN, nur trägt der Hauptstamm eine längere Gabel und die rudimentären Sektoren sind nicht zu verfolgen.

Auch der *Kubitalkomplex* stimmt mit jenem des *M. croaticus* nicht überein, da bei *P. hungaricus* der 2. Ast nicht rudimentär ist, der 3. hingegen — im Vergleich mit der reichlichen Verzweigung desselben bei *M. croaticus* — sehr einfach erscheint.

Sämtliche Äste enden gabelig, die 3 ersten sind voneinander weiter entfernt, als die übrigen. Der 5. Ast scheint sich mit dem 4. und 6. an der Basis zu vereinigen.

1. *Analader* bildet einen verdickten Hauptast mit kleinen Fahnenadern, die auf das Vorhandensein einer Erweiterung hindeuten. Die darauffolgende 2. *Analader* ist zwar nicht deutlich, aber vorhanden. (*Subanalader*.)

Auch an *Quer- und Netza dern* ist der Flügelrest verhältnismäßig reich, ebenso an *Schaltadern*, die auf ursprüngliche Merkmale hinweisen. Die *Queradern* sind vorwiegend im Medialfeld entwickelt und bilden ein unregelmäßiges Netzwerk.

\* \* \*

Über die Verwandtschaftsbeziehungen der *Mastotermitinae* zu den höheren Termiten ist folgendes zu bemerken:

Schon im Oligozän tritt uns der erste und älteste Vorläufer der *Termopsinae*: *Termopsis Bremii* PICT. entgegen, der sich in den Grundzügen seines Flügelbaues auf das engste an die *Mastotermitinae* anschließt und uns zugleich über die Herkunft dieser Gruppe Auf-

schlüsse geben kann. Die allgemeine Reduktion der Radial- und Medialpartie ist bei dieser Art leicht wahrzunehmen, noch mehr bei *Termopsis procerus*, obzwar letztere Art, wie aus der Rekonstruktion ROSEN'S ersichtlich, noch das Gepräge der Mastotermitiden beibehielt. Diese Art besitzt nämlich eine reichliche Verzweigung des Radius, besonders am vorderen Flügel, wo sogar noch eine gabelige Spaltung der Media und zwei Sektoren zu verfolgen sind.

Eine weitere Stufe der phylogenetischen Entwicklung des Geäders bezeugen die Parallelgruppen *Eutermes* und *Calotermes*, bei welchen sich eine Trennung und Verschiebung der Kubitalpartie von dem Radialkomplex, ferner die allmähliche Reduktion der Media bemerkbar macht. Diese Trennung ist schon bei einigen *Hodotermes*-Arten angedeutet, die noch die Verzweigungen des Radius besitzen. Es steht uns nahe anzunehmen, daß auch die Spaltung dieser Gruppe wahrscheinlich noch während des älteren Miozäns, oder sogar bereits im Oligozän eingetreten ist.

*Calotermes Berendti* PICT. vereinigt noch Merkmale von *Termopsis* und *Calotermes*, wonach wir annehmen können, daß schon im Oligozän die Spaltung dieser Gattungen stattfand.

Bezüglich der *Eutermes*-Arten scheinen mir *Eutermes pristinus*, *debilis*, *fossarum* und *pusillus* phylogenetisch jüngere Arten zu sein. In welcher Weise dieselben mit der Gruppe *Termopsinae* verknüpft sind, das bleibt jedoch einstweilen noch eine offene Frage.

Daß *Pliotermes hungaricus* phylogenetisch älter ist, als *M. croaticus*, scheint bloß durch das Vorhandensein eines reichlichen Medialkomplexes bewiesen zu sein. Bei *P. hungaricus* bildet die Media eine geräumige obere Gabel, die bei *M. croaticus* nicht zu verfolgen ist. *P. hungaricus* ist aber noch bei weitem nicht zu den ältesten Termiten zu rechnen. Als solche sind *M. Batheri*, *ournemouthisensis*, *anglicus* und der neuerdings von COLLINS beschriebene *M. Wheeleri* zu betrachten, der vom Verfasser in die Nähe von *M. anglicus* gestellt wurde.

Die Verwandtschaftsverhältnisse der drei Arten können wir vorläufig nicht ins klare legen, höchstens feststellen, daß *M. anglicus* in der Beschaffenheit des Geäders dem eozänen *Mastotermes bournemouthisensis* viel näher steht, als *M. Batheri*.

Demnach entrollt sich aus unseren bisherigen Untersuchungen beifolgender Stammbaum (Taf. V.) der Arten, der selbstverständlich hypothetisch ist. Demnach nehmen die *Mastotermitinae*, wie dies auch aus der Palaeontologie ersichtlich ist, die tiefste Stellung ein, aus denen die Gruppen *Termopsinae* und *Metatermitinae* ohne Schwierigkeit abzuleiten sind. Es ist nun interessant, das Aufblühen, die Entfaltung und die Verwandtschaftsbeziehungen der Gruppen während der geologischen Perioden zu verfolgen (s. auch Tabelle). Die Mastotermitiden erreichten im Eozän und



erhalten. Das Gegenteil ist bei den Kalotermitiden der Fall, die sich wahrscheinlich schon im Eozän von *Eutermes*-ähnlichen Vorfahren ablösten und später nach zwei phylogenetischen Richtungen spalteten, von denen die eine zu den *Calotermes*-Arten, die andere, wie wir aus der Palaeontologie unterrichtet sind, erst später, im Pleistozän zur Gruppe der *Termitinae* führte, die erst in der Gegenwart einen grossen Aufschwung nahm und an Arten am reichsten vertreten ist.

\* \* \*

Bei den Termiten des Tertiärs, hat — wie aus den fossilen Resten hervorgeht, — die Differenzierung der einzelnen Kasten noch nicht den Höhepunkt erreicht. Zwar begegnen wir schon bei den afrikanischen Kopaltermiten neben geflügelten Geschlechtstieren auch Arbeitern und sogar großköpfigen Soldaten, das Fehlen der ungeflügelten Geschlechtstiere deutet jedoch auf eine primitive Einrichtung des Staates hin. Da wir die vollkommene Differenzierung der Kasten gegenwärtig nur bei denjenigen Arten antreffen, die auch die kunstvollsten Baue anfertigen, so scheint zwischen Baukunst, Arbeitsteilung und Differenzierung ein enger Zusammenhang zu bestehen. Es ist also zu vermuten, daß die Termiten einerseits durch die Verarmung gewisser Vegetationen während der Diluvialperiode, andererseits auch infolge der Arbeitsteilung veranlaßt wurden, das Innere der Bäume zu verlassen und vielleicht auch die kunstvollsten und gewaltigsten Bauten als Zeugnisse der höheren Arbeit-Differenzierung und Koloniegründung auszuführen.

#### LITERATUR.

- BERENDT, G. C.: Die im Bernstein befindlichen organischen Reste der Vorwelt. II. Abt. Die im Bernstein befindlichen Neuropteren der Vorwelt. Berlin, 1856. (von PICTET.)
- CHARPENTIER, T.: Über einige fossile Insekten aus Radoboj in Kroatien. (Acta Acad. Leop. Carol. XX. Wien.)
- COLLINS, R. L.: A lower eocene Termite from Tennessee. (Am. Journ. Sc. 1925. IX. p. 406—410.)
- GIEBEL, C. G.: Insekten der Vorwelt. 1856.
- HAGEN: Über die Neuropteren der Bernsteinafauna. (Verh. Zool. Bot. Ges. 1854. p. 221—232.)
- HANDLIRSCH, A.: Die fossilen Insekten. Leipzig, 1906—1908.
- PONGRÁCZ, S.: Új harmadidőszaki termeszfaj Radobojáról. M. kir. Földtani Intézet Évkönyve. XXV. 2. 1917. p. 25—35.
- ROSEN, K. v.: Die Fossilen Termiten. Eine kurze Zusammenfassung der bis jetzt bekannten Funde. (2. Intern. Congr. of Entomology. Oxford. Vol. II. 1913. p. 318—335.)
- SCUDDER, S.: The Tertiary Insects of North America. (Rep. U. S. Geol. Surv. Territ. 1891. Vol. 13.)



PLATE III

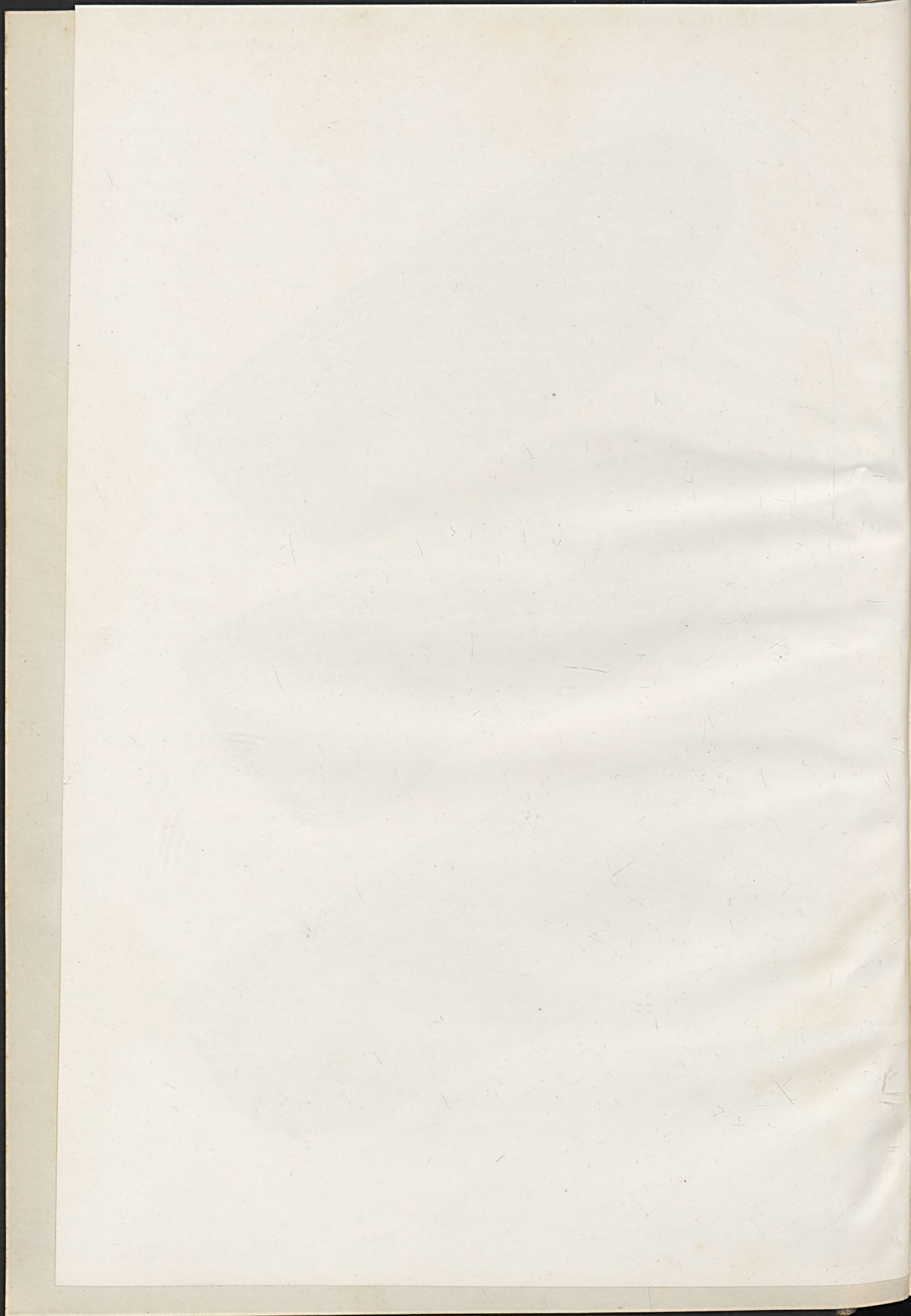
Geological map of the Gdansk region showing the distribution of various geological formations. The map includes labels for different geological units and their spatial relationships.

TAFEL III.

- a) Hinterflügel von *Pliotermes hungaricus* PGR.  
b) Hinterflügel von *Mastotermes bournemouthensis* ROSEN.  
c) Hinterflügel von *Mastotermes croaticus* ROSEN.

(Teilweise Rekonstruktion.)







VI. 1872

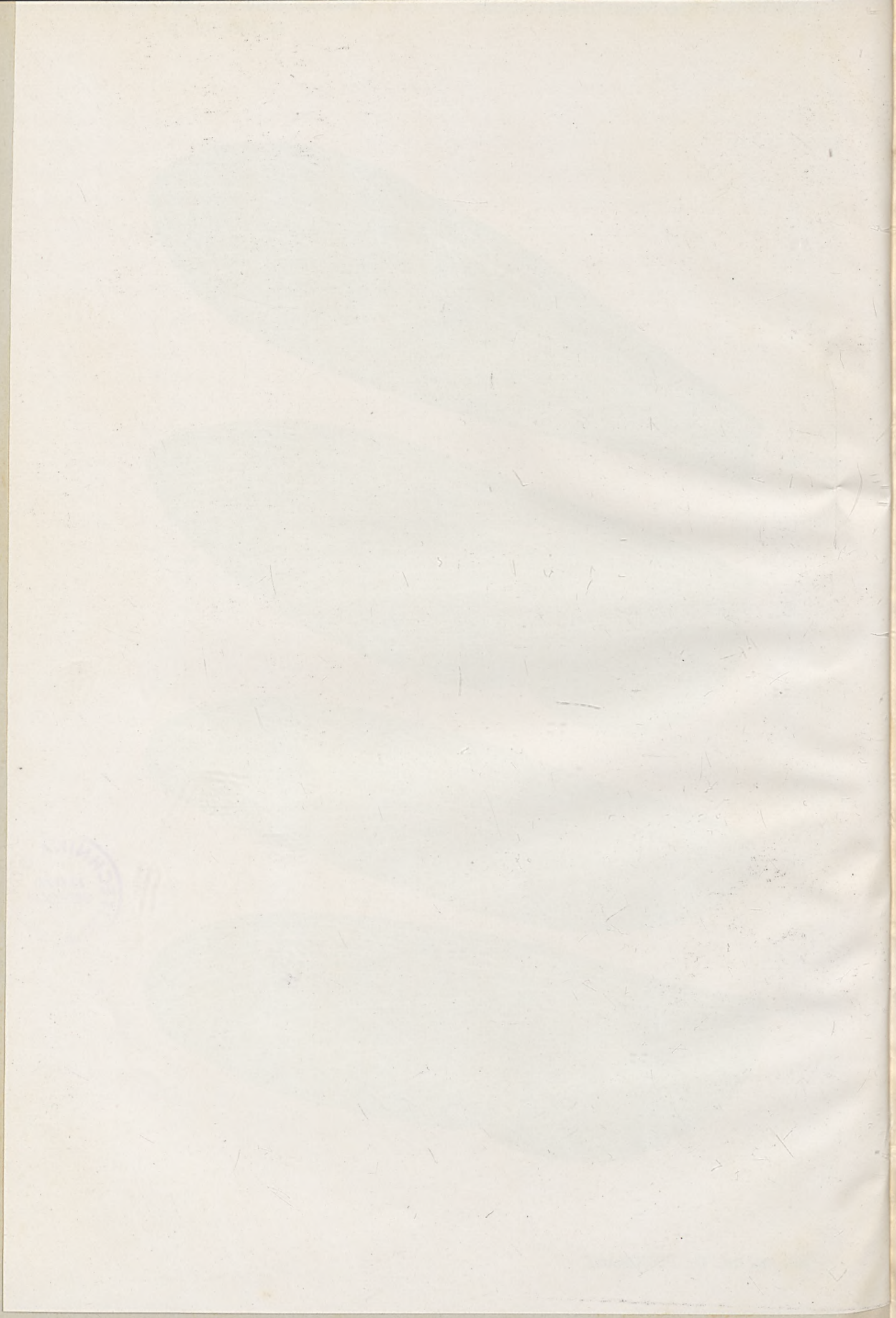


TAFEL IV.

- a) Vorderflügel von *Eutermes gracilis* PICT.
- b) Hinterflügel von *Mastotermes darwiniensis* FROG.
- c) Hinterflügel von *Hodotermes ochraceus* BURM.
- d) Hinterflügel von *Miotermes procerus* HEER.

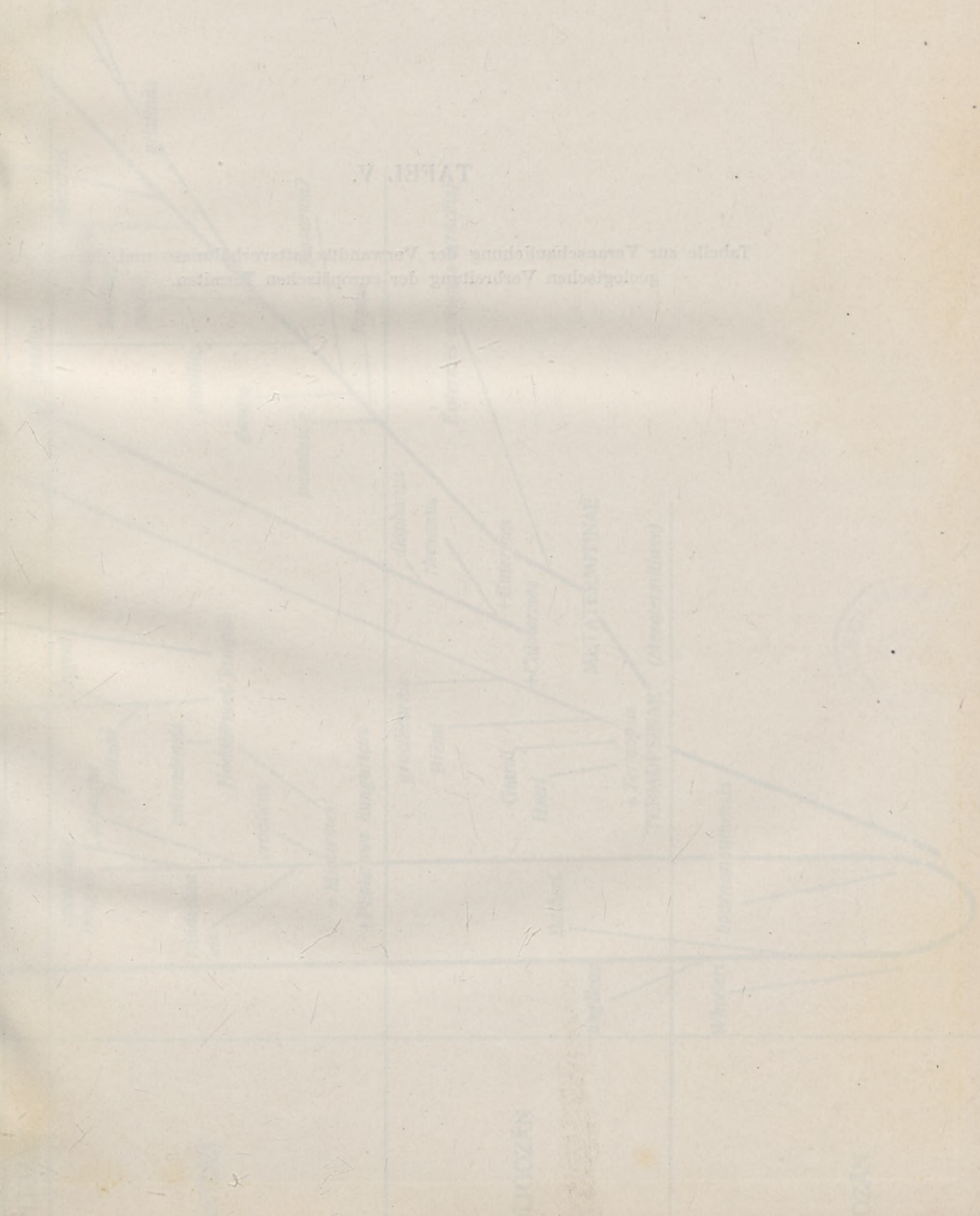
(Teilweise Rekonstruktion.)





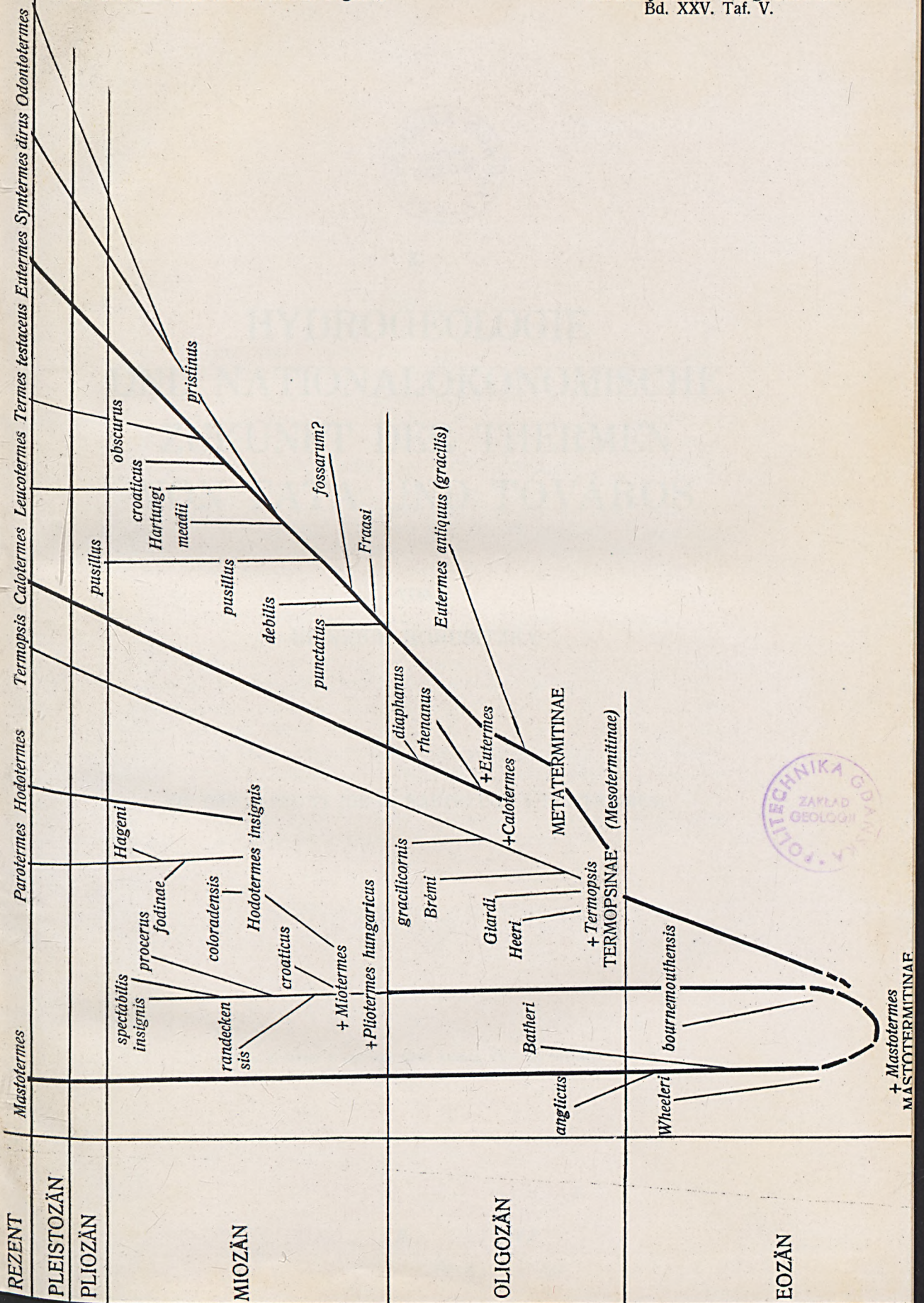
TABELL V.

Tabell zur Veranschaulichung der Verwandtschaftsverhältnisse der geologischen Verbindung der europäischen Staaten.



TAFEL V.

Tabelle zur Veranschaulichung der Verwandtschaftsverhältnisse und der geologischen Verbreitung der europäischen Termiten.







3.

HYDROGEOLOGIE  
UND NATIONALÖKONOMISCHE  
ZUKUNFT DER THERMEN  
VON TATA UND TÓVÁROS

VON

HEINRICH HORUSITZKY

MIT DER TAFEL VI. (GEOL. KARTE) UND 8 TEXTFIGUREN.

Mitt. a. d. Jahrb. d. kgl. ung. Geol. Anstalt, XXV. Bd. III. Heft.

Wpisano do inwentarza  
ZAKŁADU GEOLOGII

Dział B Nr. 167

Dnia 20. II 1947



HYDROGEOLOGIE  
UND NATIONALÖKONOMISCHE  
ZUKUNFT DER THERMEN

*Erschienen in ungarischer Sprache  
im Jahre 1923 als Band XXV., Heft 3. der Zeitschrift  
„A m. kir. Földtani Intézet Évkönyve“.*

---

*Ausgegeben im August 1926.*

---



## VORWORT.

Im Sommer des Jahres 1919 hätte ich die geologischen Landes-  
aufnahmen im südlichen Teil des Komitates Komárom fortsetzen sollen.  
Nachdem dies der schwierigen Verhältnisse zufolge auf dem betreffenden  
Gebiet nicht zulässig schien, wandte ich mich mit dem Ersuchen an  
die Direktion der Geologischen Anstalt, mir das Studium der ergiebigen  
Thermalquellen von Tatatóváros und ihrer Umgebung in hydrogeolo-  
gischer Hinsicht zu gestatten.

Bevor ich das Ergebnis meiner diesbezüglichen Studien schildere,  
komme ich der angenehmen Pflicht nach, sowohl Herrn Dr. v. SZONTAGH,  
unserem hochgeschätzten Vicedirektor, als auch Herrn Dr. v. PALFY,  
meinem lieben Kollegen, meinen besten Dank auszudrücken, daß sie  
mir das Studium dieser für das ganze Land höchst wichtigen und in  
hydrogeologischer Beziehung so bedeutenden Gegend ermöglichten.

Meines aufrichtigen Dankes versichere ich auch die Gutsverwal-  
tung der gräflich ESZTERHÁZY FRANZ' Domänen, sowie den Magistrat der  
Stadt Tatatóváros für die Beflissenheit, mit der sie meine Arbeit unter-  
stützten und mir behilflich waren. Von großem Nutzen war mir bei der  
Zusammenstellung dieser Abhandlung die mir gütigst zur Verfügung  
gestellte, bisher noch nicht publizierte geologische Karte meines lieben  
Freundes, Gymnasialprofessor Dr. FERDINAND v. KOCH, wofür ich selben, als  
auch Herrn JOHANN KRISZT, Verwalter der gräflich ESZTERHÁZYSchen Fab-  
riken, der mir mit verschiedenen Daten zur Wassermessung an die  
Hand ging, auch an dieser Stelle aufrichtigen Dank zolle.

---



## EINLEITUNG.

Die vorliegende Abhandlung, welche die hydrogeologischen Verhältnisse der Umgebung von Tatatóváros beschreibt, ist weit davon entfernt, vollkommen zu sein. Diese Gegend ist von unserem Gesichtspunkt aus so interessant und mannigfach, in tektonischer und in hydrogeologischer Hinsicht so vielfältig und kompliziert, daß deren Bearbeitung einen weitaus größeren Aufwand an Zeit beanspruchen würde, um der gestellten Aufgabe völlig Herr zu werden. Ich betrachte diese bescheidene Arbeit bloß als Vorläufer zu späteren, erschöpfenden Forschungen, welche hoffentlich im Laufe der Zeiten unternommen werden und sind daher die Ergebnisse meiner Untersuchungen auch nur beiläufig zu nehmen und werden künftig wohl noch manche Änderung erfahren. Mein Zweck war bloß die hierortigen Verhältnisse im allgemeinen zu schildern, mit der Absicht, einen Einblick in die Zukunft von Tatatóváros zu gewähren. Ich beschränke mich in diesem Bericht direkt auf die Umgebung der Stadt Tatatóváros und deren Thermalquellen.

Im 1. Abschnitt spreche ich über die menschlichen Ansiedelungen dieser Gegend. Dies hielt ich deshalb für zweckmäßig, um zu zeigen, daß die Thermalquellen schon in der Steinzeit die Menschen an sich zogen. Nach Glanzperioden der Kultur folgten dunkle Zeiten und dementsprechend wurden auch die Thermen mehr oder minder hoch eingeschätzt.

Im 2. Abschnitt machen wir uns mit den geologischen und stratigraphischen Verhältnissen der Gegend bekannt. Hier werden die mesozoischen Bildungen des Kalvarienhügels von Tata, sowie die darüber folgenden tertiären und pleistozänen Ablagerungen besprochen.

Der 3. Abschnitt erläutert die tektonischen Verhältnisse der Gegend, denen die Quellen ihren Ursprung verdanken. Wir haben es hier zufolge der in zwei Richtungen verlaufenden Bruchlinien mit schachbrettartigen Verwerfungen zu tun, an deren Grenzen die Quellen hervorbrechen.

Im 4. Abschnitt bemühe ich mich, die Entwicklungsgeschichte der Quellen und deren Charakter zu zeichnen, namentlich daß hier die Thermen gemischten Charakters erst im frühen Tertiär ihre Wirksamkeit begannen.

Im 5. Abschnitt folgt die Beschreibung der einzelnen Quellen. Ich habe selbe mit Bezug auf die Bruchlinien in gewisse Gruppen zusammengefaßt, innerhalb welcher ich die einzelnen Quellen aufzähle. Je nach den mir zu Gebote stehenden Daten ist die Beschreibung der

Quellen länger oder kürzer. Am meisten befaßte ich mich mit den Thermen, die im Englischen Park ihren Ursprung nehmen und deren eine auch chemisch analysiert ist.

Der 6. Abschnitt gibt eine Zusammenfassung der früheren Kapitel nebst einer beiläufigen Angabe der Wassermenge der Thermen, welche sich nach ungefähren Berechnungen auf 2—2 $\frac{1}{2}$  Millionen Hl per Tag beläuft.

Der 7. Abschnitt behandelt in Kürze den zu erhoffenden national-ökonomischen Aufschwung von Tatatóváros, namentlich daß durch intensiven Ackerbau, sowie durch Hebung der Industrie an der Hand des dortigen Bergbaues und schließlich durch den Ausbau eines schiffbaren Kanals zwischen Tata und Dunaalmás die ganze Umgebung einen ungeahnten Aufschwung nehmen und die Stadt ein Luftkur- und Badeort ersten Ranges werden könnte.

### 1. DIE ANSIEDELUNGEN DES QUELLENGEBIETES.

Das von den mächtigen Karpathen begrenzte Ungarland weist an mehreren Orten die Spuren des Urmenschen aus dem Pleistozän, d. h. Diluvium auf. Hierauf bezügliche Funde gewann man überwiegend aus Höhlen, aber auch auf einzelnen Hügeln, immer entlang des Wasserlaufes fanden sich Spuren des Urmenschen vor, der von solchen Stätten auszog, um die nötige Nahrung zu beschaffen und nach ermüdender, wenn auch ergiebiger Jagd oder Fischerei hierher zurückkehrte zu seiner Heimstätte, wo er sich geborgen fühlte.

Eine solche Ansiedelung war in der grauen Vorzeit die mesozoische Felseninsel von Tata, welche ringsum von Sümpfen umgeben war und nur aus südwestlicher Richtung, vom wellenförmigen, mit Wasseradern durchsetzten Hügelland aus zugänglich war. Rings um den Felsen aber entsprangen mächtige Thermalquellen aus der Tiefe und dieser Umstand eben bewog schon die Menschen der Steinzeit sich hier anzusiedeln und haben wir die Gewißheit — auf Grund reichhaltiger Funde — daß der Kalvarienhügel von Tata schon eine Kolonie des Urmenschen war.

Die Erzeugnisse der steinzeitlichen Industrie von Tata umfassen verschiedene Spitzen, Beile, Klinsen, Kratzer und Schaber, welche zusammen mit Mikrolithen und unbearbeiteten, abgesprengten Abfällen gefunden wurden. Nach Dr. Kormos' Ansicht gehört diese Paläolithkultur in das spätere Moustérien. Die gleichzeitig zutage geförderten Reste von *Felis spelaea*, *Megaceros giganteus*, *Bison priscus*, *Rhinoceros antiquitatis*, *Elephas primigenius* stammen von Säugetieren aus dem Pleistozän. (Kormos 46.) Wenn wir nun die stratigraphischen Verhältnisse in Betracht ziehen und das Pleistozän innerhalb seiner Gliederung in einen unteren und einen oberen Abschnitt in drei glaziale, zwei interglaziale und ein postglaziales Zeitalter teilen, so ist die Paläolithindustrie von Tata ins Oberpleistozän zu rechnen, d. h. zu Beginn

der Lößperiode u. zw. in die erste interglaziale Periode, als das Klima gemäßigt, eher trocken war und mehr oder weniger Niederschläge aufwies. (HORUSITZKY 42.)

Ebenso, wie aus der Steinzeit, sind uns auch aus der Bronze- und Kupferzeit Spuren erhalten geblieben, welche beweisen, daß dieses Gebiet auch damals bevölkert war. (GYULAY 27; REISSIG 36:391.)

Mit der Einwanderung der Kelten beginnt das Eisenzeitalter. Nach den Kelten ergreifen die Römer Besitz von Pannonien, dem jetzigen „Dunántúl“ (= Transdanubien). Von den Römern haben wir schon bedeutend mehr Daten, welche sich auf Tata und seine Umgebung beziehen. Sie nannten den großen Teich „lacus felix“ und die an seinem Ufer erbaute Ortschaft „ad lacum felicem“. Auch machten sie sich das Wasser zu nutze. (ORTVAY 14 I. Band p. 459. WENCEL 13 394.)

Zwei größere, architektonische Denkmäler aus damaliger Zeit zeugen von der hohen Kulturstufe, auf welcher die Römer standen. Das eine war die 15 km lange Wasserleitung, welche das Wasser der jetzt „Lo Presti“ genannten Quelle in die Stadt Brigetio leitete, wo jetzt die Ortschaft Ószöny liegt. Damals war Brigetio ein ständiges römisches Lager.

Das andere ist der mächtige, mit Quadersteinen ausgelegte Damm (1330 Klafter lang, 20 Klafter breit, 4—5 Klafter hoch), mittels dessen man das Wasser staute, um gegebenen Falles, bei feindlichen Angriffen, die Umgebung der Stadt Brigetio zu versumpfen. (SÖRÖS 37 31; MOHL 38 7.)

Nach der, ungefähr 400 Jahre andauernden Herrschaft der Römer, folgten die Hunnen, welche an 50 Jahre, dann die Ostgoten und Longobarden, welche 100 Jahre hier hausten. Im IX. Jahrhunderte tauchen die zum ural-altaischen, türkisch-tatarischen Stamm gehörenden Avaren auf, während deren Herrschaft auch die Slaven einwanderten. (REISSIG 36 395.)

Seit der Landesnahme (896) bewohnen Ungarn dieses schöne, quellenreiche Gebiet. Während der Regierung König STEFANS des Heiligen wurde die Abtei der Benediktiner Mönche errichtet und seinen imposanten Quellen verdankte wohl die Stadt Tata den Vorzug, als Domizil der Geistlichen zu dienen. Nach schriftlicher Überlieferung soll angeblich ein böhmischer Aristokrat, Namens DEODATUS oder THEODATUS, der Erzieher und Taufpathe STEFANS gewesen sein und soll ihm später der König in dankbarer Zuneigung das jetzige Tata und seine große Umgebung mit allen damit verbundenen Rechten verliehen haben. DEODATUS fühlte sich nicht als rechtmäßiger Eigentümer des wahrhaft fürstlichen Besitzes und schenkte die Herrschaft dem Benediktinerorden behufs Errichtung der Kloster-Abtei. Daraufhin benannte König STEFAN der Heilige den Ort des Stüftes und den dazugehörigen Meierhof „Tata“, wie er seinen gottesfürchtigen Erzieher und Taufpathen zu nennen pflegte. (W. L. 38—14, MOHL 38 9.)

Im Schutze der Benediktiner-Abtei nahm die Bevölkerung stetig zu. Aber als Marktleck („oppidium“) figuriert Tata trotzdem erst im 13. Jahrhundert. Weitere, auf die Thermen bezügliche Daten haben wir aus den Jahren 1234—1270, laut welchen die Benediktiner-Abtei mehrere Wassermühlen besaß, was darauf schliessen läßt, daß zu dieser Zeit jedenfalls schon Agrikultur betrieben wurde. Die Diözese von Veszprém erwarb hier im Jahre 1244 eine Mühle. (VENDE 33 126.) Ein im Jahre 1269 ausgefertigter Donationsbrief König BÉLA's des IV. an die Gäste von Füzitő erwähnt ein Thermalwasser: Calida aqua (warmes Wasser), welches zwischen Tata und Füzegtő zu finden ist. (ORTVAY 14 173.)

Die beispiellos schöne Quellengegend bewog schon König SIGISMUND um das Jahr 1400 dazu, am Ufer des Teiches eine Burg zu bauen. Der alten Zeitschrift „Tudományos Gyűjtemény“ (= Wissenschaftliche Sammlung) entnehme ich folgenden Passus: „Comaromio duobus milliariibus germ. occurit Data, seu Tata, vulgo Dotis praesidium multa eaque scaturienti aqua incinctum“, das heißt: zwei deutsche Meilen von Komárom liegt Data oder Tata, genannt die Festung Dotis, welche von vielen rieselnden Wässern umgeben ist. (W. L. 312.)

Im Jahre 1465 vergrößerte König MATTHIAS die Burg; er legte einen großen Fischteich an und gestaltete die nächste Umgebung zu einem Lustgarten. Von dieser Zeit an bis zum Tage der verhängnisvollen Schlacht von Mohács, unter der Regierung der aus verschiedenen Dynastien stammenden ungarischen Herrscher (1411—1526), war die königliche Hofhaltung häufig und längere Zeit in Tata, wodurch die Wohlhabenheit der glücklichen Bevölkerung wuchs und die verschiedensten Industriezweige gediehen. In der Landesgeschichte werden aus dieser Zeit, bereits zwei Gemeinden von den beiden Ufern des Teiches erwähnt, nämlich Tata und Tóváros. (VENDE 33 126.)

In der Zeit 1526—1686, von der Katastrophe bei Mohács angefangen bis zur Rückeroberung von Budavára (Ofen), hatte Tata viel zu leiden. Das Interesse für die Quellen blieb aber auch unter der Türkenherrschaft aufrecht und es entstanden zwei Bäder unter dem Regime der Moslims, trotzdem sie eigentlich nur vorübergehenden Aufenthalt in der quellenreichen Gegend nahmen. Das eine Bad errichteten sie auf dem Grund und Boden der gewesenen Abtei, im Hofe des gegenwärtigen Nonnenklosters und nannten es Mönchsbad. Das zweite ist das jetzige gräfliche Bad, welches seinen ehemaligen Namen, Türkenbad, beibehalten hat. (MOHL 3849.)

Im Laufe der Zeiten wechselten die Besitzer der Herrschaft Tata; nach der gräflichen Familie CSAKY erwirbt es der Wiener Bürger KRAPFF, von welchem es im Jahre 1727 Graf JOSEF ESZTERHÁZY käuflich an sich bringt, dessen Nachkommen bis auf den heutigen Tag dieses Gut beibehielten. Graf JOSEF ESZTERHÁZY war als guter Landwirt bald damit im Klaren, daß die versumpfte Gegend in gesundheitlicher Hinsicht vieles

zu wünschen übrig läßt, kam aber auch zur Erkenntnis, wie vorteilhaft die Kanalisierung d. h. Entwässerung seines Grundbesitzes und die Regulierung der reichen Wasseradern auch in anderer Beziehung wäre. Diesen Erwägungen folgte alsbald die Tat. Mit den nötigen Vorarbeiten betraute er den Ingenieur MIKOVINYI, nach dessen Plänen er im Jahre 1747 einen Teil der Quellwasser in einen Teich von 600 Joch Umfang sammelte. Auch entwässerte er einen Teil des durch den Öregtő (Alter Teich) und die „Fényes“-Quellen versumpften Gebietes und gewann dadurch mehrere tausend Joch fruchtbaren Ackerlandes zwischen Tata-tóváros, Füzitő, Naszály und Dunaalmás, welches „Regio cisterciensis“, das heißt Wassergegend benannt war. Der Abzugkanal ist 4 km lang und führt noch heute den Namen MIKOVINYI'S (REUSZ 34176.)

Die durch öftere feindliche Angriffe teilweise zerstörte Burg ließ Graf NIKOLAUS ESZTERHÁZY im Jahre 1815 wieder herstellen. Auch die Schaffung des in seiner Art einzigen „Englischen Parkes“ knüpft sich an den Namen des edlen Grafen, der die ausgedehnten Anlagen als Rahmen für den wunderschönen, 45 Joch großen „Csekető“ (Cseke-Teich) bestimmte, welcher inmitten des Parkes durch zwei Quellen gespeist wird, welche ihren Ursprung bei Tóváros haben. Die größere Quelle bildet einen kleinen Teich, in welchem die *Nymphaea coerulea* Sow. seit 1876 mit Erfolg gezüchtet wird. (LOVASSY 2641.)

In der Monographie des Komitates Komárom wird die Schwimmschule von Tatatóváros erwähnt, deren Wasser die Temperatur von 16° R. aufweist (p. 137) und an anderer Stelle ist Tata sogar als Luftkurort bezeichnet (p. 185).

In jüngster Zeit (1886) kamen die Quellen von Tata in den Sitzungen der Ungarischen Akademie der Wissenschaften und des Naturwissenschaftlichen Vereines zur Sprache, als es sich um die endgültige Wasserversorgung der Hauptstadt handelte. Von verschiedenen beachtenswerten Plänen fand das Projekt des Architekten ADOLF FESZTY den meisten Anklang, der mit dem schier unberechenbaren Wasserreichtum der Quellen von Tata die Wasserleitungsfrage von Budapest zu lösen gedachte. Die tägliche Wassermenge, welche in Tata dem Boden entspringt, beträgt nach BALLÓ ungefähr 287.000 m<sup>3</sup> und würde auf der 78 km langen Leitungsstrecke durch den natürlichen Wärmeverlust von 20° C auf 14° C abgekühlt und dadurch genießbar gemacht. (BALLÓ 16. 136. und 19282.)

Diesen fertig ausgearbeiteten Plan gegenüber machte STOCZEK seine Einwendungen, indem er den Beweis erbrachte, daß sich das Wasser auf seinem Leitungswege von 30 stündlicher Dauer im besten Falle bloß auf 17·5° C abkühlen würde und, wenn man die gewünschte niedrigere, wenn auch nur 15° C betragende Temperatur gewinnen wollte, müßte das Gefälle der Leitung so vermindert werden, daß die Leitung des Wassers von Tata bis Budapest 5 Tage dauern müßte. (STOCZEK

18 168. u. 169; 24223.) Zu diesem Resultat gelangte er durch genaue Berechnungen, wobei er auf Grund des fertigen Planes die Distanz, die Kühlfläche der Leitung, die Zeitdauer etc. in Betracht nahm. STOCZEK's Argumenten gegenüber unterblieb dann auch die Ausführung des Projektes, die Wasserleitung mit den Quellen von Tata zu speisen.

Einigermaßen ausführlicher beschreibt die Quellen Professor Dr. KARL KOMÁROMI, auf dessen Daten ich mich im Texte berufen werde. Über die Thermen von Tata und Tóváros ist, — abgesehen von einfachen Erwähnungen in hauptsächlich geologischen und hydrographischen Fachschriften —, kaum irgendwo etwas zu lesen. Gegenwärtig sind die Quellen und ihre Umgebung leider in einem recht verwahrlosten Zustand<sup>1)</sup>, doch will ich hoffen, daß die richtige Glanzepoche der Thermen von Tatatóváros noch kommen wird.

## 2. DIE GEOLOGISCHEN UND STRATIGRAPHISCHEN VERHÄLTNISSE DES THERMALQUELLENGEBIETES.

Bis zu dem Zeitpunkte, als vor 10 Jahren von Dr. FERDINAND V. KOCH und Dr. AUREL LIFFA in dieser Gegend detaillierte geologische Aufnahmen

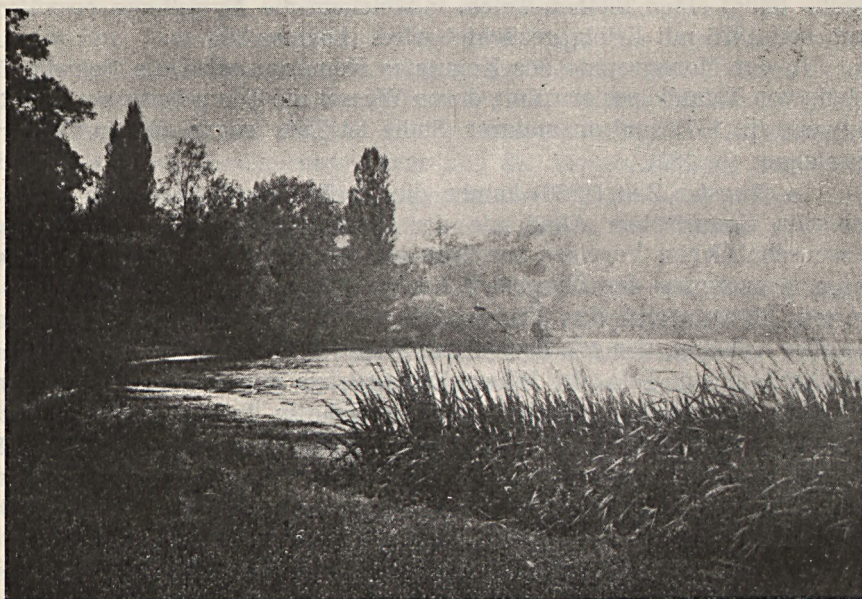


Fig. 1

Ufer des „Cseke“-Teiches.

unternommen wurden, finden wir kaum irgendwelche geologische Aufzeichnungen über die Quellen von Tata und ihre Umgebung. Kürzere Angaben verdanken wir dem Buche BEUDANT's (2.), ferner den Aufzeich-

<sup>1)</sup> Vieles hat sich seither vorteilhaft geändert. (Redakt.)

nungen von KORNHUBER (5.), sowie den geologischen Beobachtungen HANTKEN's aus dem Dunántul (Transdanubien). Geologisch wurde die Gegend zuerst von PETERS (7.) und dem ungarischen Staatsgeologen BENJAMIN WINKLER kartiert (15.), welch' letzterem die in den 70-er Jahren veröffentlichte geologische Karte der Umgebung von Tata im Maßstab 1 : 144.000 zu verdanken ist.

Neuerlich betraute der Direktor der kgl. ung. Geologischen Anstalt, Dr. LUDWIG V. LÓCZY den Breslauer Geologen JOHANN STAFF mit dem Auftrag, das Gerecse-Gebirge geologisch detailliert aufzunehmen, dessen diesbezügliche Arbeit im Jahre 1906 auch veröffentlicht wurde. (29.) Bedauerlicherweise befaßte sich STAFF mit den Bildungen des Kalvarienhügels von Tata blutwenig, obzwar diese mesozoische Scholle in engem Zusammenhange mit den Bildungen des Gerecse-Gebirges steht. In den Bereich der Detailaufnahmen der kgl. ung. Geol. Anstalt trat Tata und seine Umgebung erst im Jahre 1908, als dort Dr. AUREL LIFFA arbeitete. Selbstverständlich beschränkte er sich nicht allein auf das engere Gebiet von Tata, sondern durchstreifte die ganze Gegend, das Gerecse-Gebirge mit inbegriffen, wobei er auf Grund seiner persönlichen Erfahrungen in der Arbeit STAFF's manches berichtigen mußte. Die von LIFFA verfertigte geologische Karte im Maßstab von 1 : 25.000 ist noch nicht publiziert. (LIFFA 41.)

Gleichzeitig mit LIFFA arbeitete auch Gymnasialprofessor Dr. FERDINAND V. KOCH in der Gegend von Tata. Er beschränkte sich jedoch bloß auf die Erforschung des Kalvarienhügels, daher wir seiner Tätigkeit die ausgiebigsten Daten über den mesozoischen Hügel verdanken. Leider fehlt der äusserst wertvollen Arbeit die dazugehörige Karte. (KOCH 40.)

Vor Ausbruch des Weltkrieges befaßte sich auch Dr. KOLOMAN KULCSÁR mit dem Mittel-Lias des Gerecse-Gebirges, wobei er die Ansichten Dr. KOCH's bekräftigt. (49.) Aus der Feder Dr. FERDINAND V. KOCH's und Dr. AUREL LIFFA's sind uns die geologischen Verhältnisse von Tata und seiner Umgebung im allgemeinen so gut bekannt, daß ich an dieser Stelle die ausführliche Beschreibung unterlasse. Ich beschränke mich hier vielmehr auf die geologische Schilderung des unmittelbaren Quellengebietes, soweit dies zum Verständnis der weiteren Kapitel nötig ist. Gleichzeitig füge ich meiner Arbeit eine hydrogeologische Karte bei, welche ich nach den Aufnahmen von Dr. KOCH und Dr. LIFFA zusammenstellte.

An der linken Seite des Tales von Galla — hier „Általér“ (Által-Bach) genannt, — welches das Gerecse- und Vértes-Gebirge trennt, erhebt sich im Gebiet der Stadt Tata eine isolierte Scholle geringen Umfanges, in deren Umkreis die Thermalquellen hervorbrechen. Der Fels erreicht 140—166 m über dem Meeresspiegel und liegt beinahe im gleichen Niveau mit dem übrigen welligen Hügelland der Gegend. Das Tal des Általér liegt am südöstlichen Ende des Nagytó (Großer

Teich) von Tata 130 m, — und am nordwestlichen Ende ungefähr 127 m hoch. Von hier aus erweitert sich das Tal; es hat in seiner 10 km. betragenden Länge ein Gefälle von 20 m und geht allmählig ins Donau-Alluvium über.

Der Kalvarienhügel von Tata ist als Vorläufer des Ungarischen Mittelgebirges zu betrachten, welcher sich von dem hügeligen Terrain durch seine Höhe zwar nicht, wohl aber durch seinen geologischen Aufbau von der Umgebung unterscheidet, in dem er in seinen stratigraphischen Verhältnissen völlig mit dem Mittelgebirge übereinstimmt.

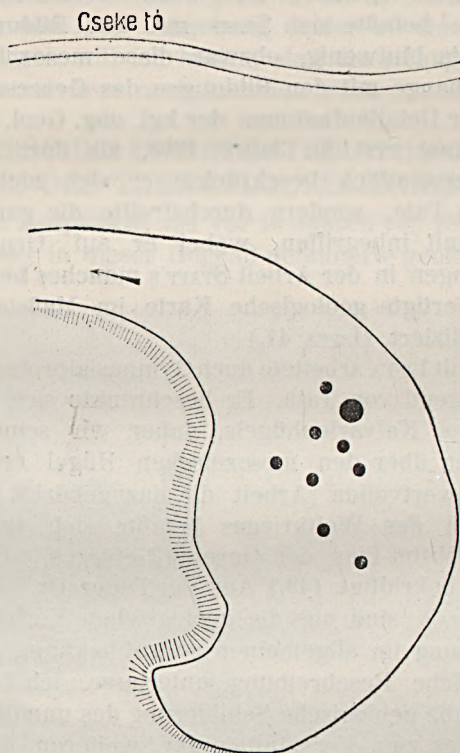


Fig. 2.

Situationsplan der Grossen Quelle des Englischen Parkes,\*  
mit den Quellentrichtern.

Die älteste Bildung dieser isolierten Scholle ist der in die obere Trias gehörige Dachsteinkalk. Dieser grauweiße, dichte Kalkstein kommt am südwestlichen Rande des Kalvarienhügels in 0.6—1 m mächtigen Bänken vor, welche in der Fazekasgasse stufenartig zutage treten. Der auf der östlichen Seite unter dem konkordant aufliegenden Lias lagernde Kalkstein ist Dr. LIFFA'S Ansicht nach Dachsteinkalk, nach den eingehenderen Untersuchungen Dr. KOCH'S gehört er jedoch in den

unteren Lias. (LIFFA 41 144.) Der Triaskalkstein ist auf Grund seiner Petrefakte: *Megalodus* cfr. *Tofanae* HOERN. var. *gryphoides* GUMB. und *Megalodus Mojsvári* GUMB. nach Dr. FERD. v. KOCH's Angabe der rhätischen Stufe zuzuschreiben. (KOCH 40 257.)

Der rötliche Jurakalkstein oben am Hügel und an dessen östlichem und nördlichem Abhänge wird von Dr. KOCH seiner Fauna und Lagerungsverhältnissen nach folgendermaßen eingeteilt: Zum Unterlias gehören die hellrötlichen, dichten, Brachiopoden- und die roten Cephalopoden-Kalksteine. Zum Mittel-Lias zählen die dunkelroten Krinoiden-Kalksteine. Aus dem unteren Dogger stammen braunrote, knollige, feuersteinführende Kalke, aus dem oberen Dogger manganhaltige und aus dem Malm-Tithon hornsteinführende Kalksteine. (KOCH 40 258-269.) Übrigens enthält jede Schichte reichlich Petrefakte, welche sowohl von Dr. KOCH, als auch von KULCSÁR eingehend untersucht wurden. Letzterer beschreibt im Zusammenhang mit dem Mittel-Lias des Gerece-Gebirges auch die paleontologischen Verhältnisse der Felseninsel von Tata. (KULCSÁR 49.)

Zu den mesozoischen Gebilden gehört schließlich der kretazische Glaukonitkalkstein, welchem in dem Aufbau des Kalvarienhügels gleichfalls eine wichtige Rolle zufiel. Der bläuliche, respektive grünliche Kalkstein bildet auf der nördlichen und nordöstlichen Seite des Hügels Bänke in einer Gesamtmächtigkeit von 40-50 m. Derselbe Kalkstein tritt in der Nähe des städtischen Brunnens und im Graben des Schlosses zutage, wo seine mächtigen Bänke das Fundament der Festungsmauern bilden. Der darin vorhandenen reichen Fauna zufolge rechnet Dr. KOCH diese Kalksteinbildungen ins Neokom. (KOCH 40 269.)

Die mesozoischen Ablagerungen bilden im allgemeinen überall das Fundament, auf dem die Stadt Tatatóváros erbaut ist. An der Oberfläche sind diese wohl nur im östlichen Stadtteil, ungefähr bis zum Kirchenplatz zu verfolgen, aber daß sie sich in verdecktem Zustand auch weiter gegen Westen bis zu den Gärten hin erstrecken, ist an der dortigen auffallenden Böschung zu ersehen, aus der ähnliche Thermensquellen. Es fragt sich nun, welche Bildungen es sind, die bis zum westlichen Rande des Hügels reichen? Wahrscheinlich sind es Kalksteine aus der Trias, dem Jura und der Kreide und zwar am südlichen Teil hauptsächlich Trias, am nördlichen Teil vorwiegend Jura und dazwischen Kreidekalkstein. Genaue Grenzlinien derselben könnte man nur nach eingehender Besichtigung sämtlicher Keller feststellen und habe ich auf der Karte die Grenzen der einzelnen Schichten daher nur beiläufig verlängert.

Die benachbarten Schichten des Hügels stammen teilweise aus dem Pliozän, teilweise aus dem Pleistozän und Holozän.

Zum Pliozän gehören: die pannonisch-pontischen Ton- u. Mer-

gelschichten, welche in der Ziegelei, bei der Mündung der Komáromi-Strasse aufgeschlossen sind und viele Petrefakte aufweisen; außerdem

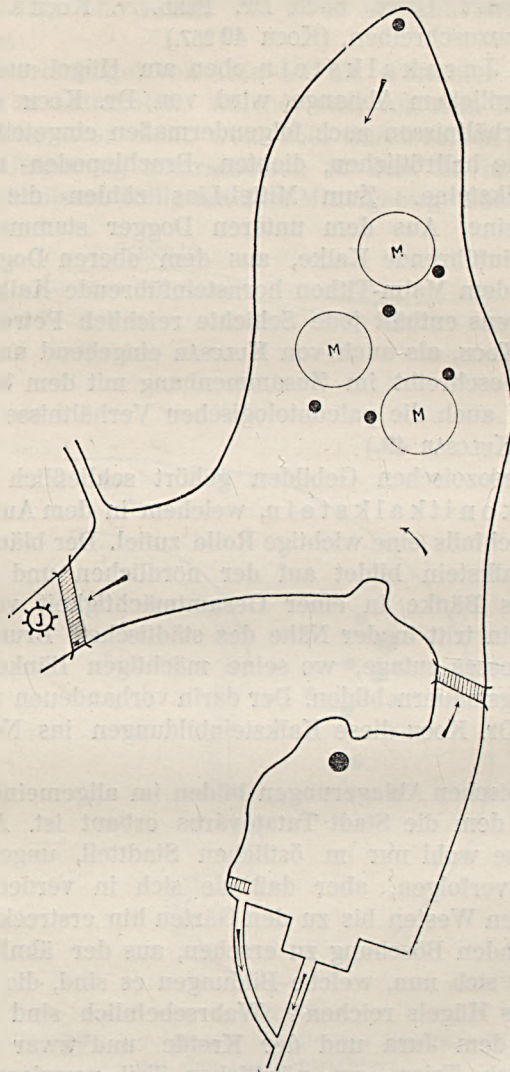


Fig. 3. Situationsplan der Kleinen Quelle des Englischen Parkes, mit den Quellentrichtern, M = künstliche Inseln, J = Jenő-Mühle.

treten sie im reformierten Friedhofe, dann am südlichen Ufer des großen Teiches, sowie auch an anderen Stellen zutage. Ebenso findet sich in der herrschaftlichen Ziegelfabrik nächst der Station Tatakert (Tata-Garten), unweit der Ortschaft Baj pontischer Ton bis zu einer Mächtigkeit von 12 m. Überall enthält der Ton mehr-weniger Petrefakte. (LIFFA 30.

172 und 41145) Die „Fényes“-Quellen sowohl, als auch die Quellen des Englischen Parkes fördern auch pannonischen Sand zutage, welcher hier in geringer Tiefe lagert. Ebenfalls zum Pliozän gehörig ist der levantinische Schotter, der sich auf den Hügeln vorfindet. Sein Ursprung bildet den Gegenstand vielfacher Debatten. Dieser Schotter lagert in der Umgebung von Tata ebenso, wie auch sonst überall hauptsächlich auf den Hügeln und bildet das unmittelbare Hangende der jüngsten pontischen Bildungen. Der Schotter enthält zwar Fragmente der *Congeria unguia caprae* MÜNST., sowie anderer pontischer Schnecken- und Muschelarten, aber ausnahmslos in abgewetztem Zustande. Hauptsächlich auf Grund dieser Petrefakten, aber auch seiner stratigraphischen Lage zufolge zählen einzelne Forscher den Schotter zu den pontischen Schichten. (LIFFA 41146.)

Manche sind geneigt, diesen Schotter zum Pleistozän zu rechnen. Ich hingegen bin der Ansicht, daß er nur aus dem levantinischen Zeitalter stammen kann und zwar aus der Periode, als der Donaustrom die Nagymaros-Visegráder Gebirgskette durchbrach. Die in dem Schotter vorhandenen pontischen Petrefakte sind dort bereits auf sekundärer Lagerstätte, was auch ihre auffallende Abgenützteit beweist.

Daß aber der Schotter nicht aus dem Diluvium stammt, das folgt wieder aus seinen stratigraphischen Verhältnissen, denn in dieser Gegend erreichte die Donau niemals eine derartige Höhe. Dieser Schotter läßt sich in ostwestlicher Richtung von der Ortschaft Baj bis zur Gemeinde Bana verfolgen, u. zw. überall auf der Höhe der pontischen Hügel, wo er durch das von Norden und Nordwesten daherströmende Schmelzwasser der Gletscher zu Beginn der levantinischen Zeit abgelagert wurde. (HORUSITZKY 5015.)

Zum Pleistozän (Diluvium) gehören: Kalktuff, Sand und Löß.

Der Kalktuff, respektive Quellenkalk lagert an beiden Ufern des Nagytó (Großer Teich). Neben dem Ordenshaus der Piaristen befindet er sich in ziemlicher Höhe. Der untere Teil des Kalktuffs ist bäkig und dicht, der obere Teil hingegen löcherig und locker. Als Knochenfundort ist er schon seit dem Jahre 1818 bekannt, aus welcher Zeit er durch PAUL KIS und KORNUBER erwähnt wird. (KIS 1146, 553.) Neuestens befaßte sich Dr. KORMOS mit den Fundort von Tata, der in der Gesellschaft von *Elephas primigenius* BLUMB., *Rhinoceros antiquitatis* BLUMB., *Bison priscus* BOJ., *Megaceros giganteus* BLUMB., *Felis spelaea* GOLDF., *Ochotona pusillus* PALL. und anderer Wirbeltiere, primitive Feuersteinbeile und Feuerstätten fand. Unter den Mollusken finden sich — seiner Angaben nach — häufig *Melanopsis*- und *Neritina*-Arten vor. (4623.)

Am nördlichen Ufer des Nagytó (Großer Teich) ragt der Kalktuff in das Teichbecken hinein. Weiter nördlich erstreckt er sich vom Ordenshaus der Kapuziner beinahe bis zur Eisenbahn. Letzterer Kalktuffleck ist auf unseren bisherigen Karten nicht verzeichnet. Kalktuff ist außer-

dem in den Ortschaften Szöllös, Baj und Szomod vorhanden, wo Dr. SCHRETER ebenfalls eine reiche Fauna sammelte. Auf den Hügeln von Dunaalmás bildet der Kalktuff ähnlich mächtige Bänke, wie in Tata, nur ist jener, wie durch Dr. SCHRETER erwiesen wurde, levantinischen Ursprunges, während dieser aus dem Pleistozän stammt. Dr. SCHRETER führt weiterhin aus, daß die Überreste der in den Kalksteinbrüchen vorgefundenen pleistozänen Wirbeltiere größtenteils gar nicht aus dem Kalkstein herrühren, sondern aus den sandigen und lehmigen Ablagerungen, welche die häufig bedeutenden Klüfte desselben ausfüllen und daher viel jüngere Bildungen sind. (51543.)

Nun können wir uns die über den Kalktuff lagernden Sandstein- und Schotter-Konglomeratschichten erklären, welche nach LIFFAIS Ansicht dem Pleistozän angehören (32165.), jedoch von mir als levantinisch bezeichnet werden, wie ich das vom Schotter schon früher bemerkte.

Die Schotterdecke der höheren Hügel stammt ebenso aus dem levantinischen Zeitalter, wie die höher gelegenen Kalktuffe, wogegen die pleistozänen Kalktuffe und Schotterterrassen in diesem Gebiet überall ein niedrigeres Niveau einnehmen.

Der Sand lagert auf beiden Seiten des Tales. Stellenweise kommt er unter dem bereits erwähnten Kalktuff von Tata zum Vorschein, stellenweise bildet er den Oberboden oder lagert unterhalb der Lößdecke. Von Bánhida bis Tata, in der Umgebung von Naszály, weiterhin am linkseitigen Talufer, in nordwestlicher Richtung von Vértessomlyó, über Szöllös und Baj, beinahe bis Dunaalmás ziehen sich die diluvialen Sandschichten dahin. Der Donau entlang ist unter dem Sand eine pleistozäne Schotterterrasse anzutreffen, die aber im genannten Tale nicht mehr vorhanden ist.

Die Punkte, ausgenommen, wo ältere Schichten hervortreten, herrscht in den übrigen Teilen des hügeligen Gebietes der Löß, welchen wir in nordöstlicher und südwestlicher Richtung von den sich längs der beiden Talufer dahinziehenden Sandhügelzügen vorfinden. Der Löß ist zum Teil typisch, zum Teil sandig, doch läßt sich zwischen beiden keine scharfe Grenze ziehen, weil die eine Art unmerklich in die andere übergeht. Im großen Ganzen kann man nur bemerken, daß der Löß am linkseitigen Talufer gegen Norden sandiger ist, als im südlichen Teil, wo er als typischer Löß auftritt. Hier, wie dort, weist er mehrweniger Petrefakte auf. Die charakteristischste Fauna stammt von Baj, wo der Löß unterhalb der Gärten, in einer Mächtigkeit von 3—5 m aufgeschlossen ist. Von den hier vorhandenen 17 Spezies sind *Hyalina (Polita) pura* AND., *Campylaea (Arionta) arbustorum* L. var. *alpestris* PFR., *Clausilia (Kuzmicia) parvula* STUD., *Clausilia (Kuzmicia) pumila* L. Arten, die im Alföld bereits als ausgestorben zu betrachten sind. Sämtliche Spezies leben am Lande u. zw. mit Vorliebe auf Wiesen und in Auen, an trockenen oder minder feuchten Stellen. Außer

den früher genannten Arten ist hier auch *Buliminus (Napaesus) Montanus* DRAP. anzutreffen, welcher mir sonst noch von Törökbecse bekannt ist. (HORUSITZKY 48 155.)

Holozän ist das ganze Tal von Tata, welches bei der Puszta von Füzitő ins Alluvium der Donau übergeht. Dem Tal entlang fließt ein



Fig. 4.

Bassin der Kleinen Quelle des Englischen Parkes.

Bach, welcher vor dem „Nagytó“ aus der Verbindung des Átalér und Galla-Baches entsteht. In Tatatóváros nimmt er das Wasser der dortigen Quellen in sich auf und fließt dann teilweise im „Kühtreiberbach“, d. h. dem Fluß von Tata, teilweise im Öreg-csatorna, welcher auch Mikovinyi-Kanal genannt wird, weiter, bis er bei Dunaalmás und Füzitő in die Donau mündet. Während das Tal anfänglich bis zum „Nagytó“ kaum 500 m breit ist, erweitert es sich von Tatatóváros an-



gefangen und erreicht schließlich eine Breite von über 2 km. Der rezente Kalktuff oder Wiesenkalk lässt sich fast lückenlos längs des Tales verfolgen und wird von den übrigen Sedimenten des Baches überdeckt. Mit Ausnahme der beiden Quellen des Englischen Parkes, welche, wie erwähnt, aus Sand hervortreten, brechen alle übrigen Quellen im alluvialen Tal hervor.

### 3. TEKTONISCHE VERHÄLTNISSE.

Um in die tektonischen Verhältnisse unseres beschränkten Gebietes Einblick zu gewinnen, ist es geraten, etwas weiter zu schweifen, um auch die Physiognomie des Vértes- und Gerecse-Gebirges zu studieren, denn nur dadurch läßt sich die tektonische Konstruktion der kleinen, isolierten Felseninsel erklären. Beim Einblick in die Karte ist eine gewisse Regelmäßigkeit im Aufbau dieses Berg- und Hügellandes augenfällig. Der Gebirgskamm verläuft in NNO—SSW-licher Richtung und wird von den SSO—NNW-lichen Tälern nahezu rechtwinkelig zerschnitten. Mit diesen beiden Richtungen fallen die Hauptbruchlinien zusammen, mit welchen tektonischen Linien auch die Talbildung eng zusammenhängt. Auch unser kleines Gebiet gliedert sich nach diesen Linien, indem die NNO—SSW-lich verlaufende Trias-Jura-Scholle durch senkrechte transversal Verwerfungen durchschnitten wird. Die Hauptbruchlinie, die hier beinahe von Norden gegen Süden verläuft, ist parallel mit der Hauptbruchlinie des Gerecse-Gebirges. In dieselbe Bruchlinie fallen die oberhalb der Gemeinde Szomod, nördlich von den Quellen von Tata befindlichen Kalktuffe, als Ablagerungen einstiger Quellen, sowie weiterhin die gegenwärtigen Quellen von Dunaalmás. Auch das Tal von Tata fällt in die SSO—NNW-liche Bruchlinie, längs welcher der Reihe nach die Quellen hervorbrechen.

Auf Grund detaillierter geologischer Aufnahmen im Dunántúl ist es bereits erwiesen, daß die Depression westlich vom Gerecse-Gebirge, welche durch jüngere Tertiär- und Quartärsedimente erfüllt ist, mehrere solche gestaffelte Verwerfungen aufweist. Ebenso ist es bekannt, daß auf diesem Gebiete die Hauptbruchlinie durch mehrere Querbrüche durchkreuzt wird, wodurch die Verwerfungen hier einen schachbrettartigen Charakter erhalten. Die Quellen treten an den Schnittpunkten der Bruchlinien zutage.

STAFF (29.) behandelt in seinem Werke die Bruch- und Verwerfungslinien des Gerecse-Gebirges bloß im allgemeinen, wogegen FERDINAND V. KOCH (40.) die tektonischen Verhältnisse des Kalvarienhügels bereits ausführlicher erörtert. KOCH schreibt hierüber folgendes: „Unser Gebiet durchqueren zwei Längsverwerfungen in NNW—SSO-licher Richtung; die eine über den Anfang der Hullám-Gasse gegen den jüdischen Friedhof und die zweite vom Tanoda-Platz gegen den

katholischen Friedhof verlaufend. Das Zwischengebiet ist durch abgesunkenen Neokom-Kalkstein ausgefüllt. Die im Schloßgraben hervortretenden Neokom-Kalksteinbänke, sowie die am nordöstlichen Gebiet, unterhalb des Nagytó, im gräflichen Park hervorbrechenden Quellen lassen vermuten, daß sich die Verwerfungen auch hier wiederholen. Auch läßt sich annehmen, daß senkrecht auf die NNW—SSO-lichen Verwerfungen ein Querbruch vorhanden ist.“ (KOCH 40 272—274).

Auf dem kaum 1 Km<sup>2</sup> betragenden Gebiete können wir außer den bereits erwähnten beiden Längsverwerfungen noch mehrere ähnliche parallele Bruchlinien beobachten. Südlich davon, am Rande der Scholle erwähnt KOCH einen ähnlichen Neokomfleck zwischen zwei parallelen Längsverwerfungen. Am nordöstlichen Rande der Scholle ist ebenfalls eine Bruchlinie anzunehmen, welche parallel mit den beiden Bruchlinien verläuft, die den Neokomkalk des Schloßfelsens begrenzen.

Vom Kalvarienhügel südwestlich und nordöstlich sind daher Stafelbrüche anzutreffen. Das gleiche Bild zeigt der nordwestliche und südöstliche Rand des Hügels. Auch hier ist der Hügel von beiden Seiten von je einer Bruchlinie begrenzt, welche parallel mit dem tektonischen Bruche verläuft, der den „Feneketlen tó“ („Bodenloser Teich“) und die „Fényes“-Quellen durchquert. Wenn wir nebenstehende Karte studieren, machen wir die Beobachtung, daß entlang der obgenannten beiden Bruchlinien die meisten Quellen zutage treten und namentlich sind jene Punkte bemerkenswert, wo sich die Bruchlinien kreuzen, dort brechen nämlich die stärkeren Quellen hervor, deren Wasser auch reicher an Kohlensäure ist. Ebenso, wie im Mesozoikum, kommen auch in Pliozän Verwerfungen vor; selbstverständlich sind letztere das Ergebnis jüngerer Erdbeben und Erdstürzungen, welche durch die quartären Sedimente derart ausgeglichen wurden, daß sie an der Oberfläche in der Gegenwart nicht mehr wahrzunehmen sind. Nichtsdestoweniger bestimmten in erster Linie die tektonischen Verhältnisse die Physiognomie der Gegend, welche dann durch die verheerenden und zugleich aufbauenden Wasserkräfte weiter modelliert wurde. Natürlich haben auch die äolischen Kräfte ihren Anteil daran, welche in dieser Gegend ebenfalls ansehnliche Spuren hinterließen.

Es bleibt uns nur noch übrig, von dem Alter der Verwerfungen zu sprechen. Die von STAFF (29.), KOCH (40.) und auch TAEGER im Vértes-Gebirge gesammelten Erfahrungen stimmen im Endresultat gänzlich überein.

Allgemeiner Ansicht nach erfolgten die großen Verwerfungen des Ungarischen Mittelgebirges nach dem Neokom und während der Eozänperiode. Nach einer gewissen Pause war unser Gebiet im Miozän, d. h. nach SCHAFARZIK am Ende des unteren Mediterrans und zu Beginn des oberen Mediterrans neuerlichen großen Erschütterungen ausgesetzt, wobei gleichzeitig auch die Andesite des Ungarischen Mittelgebirges

hervorbrachen. Im darauffolgenden Pliozän waren die tektonischen Kräfte ebenfalls tätig. In diesem Zeitalter erfolgte die Eruption der Basalte



Fig. 5.

Der eine Abfluss der Kleinen Quelle des Englischen Parkes, durch die Ruinen.

längs des Balatonsees, auch entstanden in den pontischen Sedimenten mehrere Verwerfungen, welche bis in die Gegend von Tata reichten.

Nach dem Ausbruch der Basalte verursachten nur mehr die

Erdbeben Störungen, welche auch in der Gegenwart noch die Lagerung der einzelnen Schichten beeinflussen können.

Das Ergebnis der kräftig wirkenden tektonischen Faktoren sind die Brüche, welche sich schon vom levantinischen Zeitalter angefangen zu Tälern erweiterten. In diesen Tälern finden sich die Quellen, welche anfangs in einem höheren Niveau hervorbrachen, späterhin aber stufenweise sanken. Im folgenden wollen wir nun zur Entwicklungsgeschichte der Quellen und deren Charakter übergehen.

#### 4. DIE ENTWICKLUNGSGESCHICHTE DER THERMALQUellen UND DEREN CHARAKTER.

Die Entstehung der Quellen läßt sich auch zeitlich mit den im vorigen Kapitel beschriebenen Bruchlinien in Zusammenhang bringen, obzwar Beweise hierfür nicht erbracht sind.

Die ältesten Spuren der Thermalquellen des Ungarischen Mittelgebirges sind nach FERENCZI (52 364–365) bis ins untere Oligozän zurückzuleiten. Von diesem Zeitalter angefangen haben die Quellen von höherer Temperatur und Konzentration bis an das Ende des pontischen Zeitalters noch kieselsäurehaltige Sedimente abgelagert, die auch Fluorit und Baryt aufwiesen. Nachdem die Spuren derselben in der Gegend von Tata unbekannt sind, läßt es sich vermuten, daß die dortigen Quellen im Tertiär, bis zum Ende des pontischen Zeitalters noch nicht vorhanden waren, außer man betrachtet die an der Grenze der Kreideformation vorgefundenen Hornsteingebilde als Ablagerungen solcher Quellen. Vom Ende des pontischen Zeitalters, hauptsächlich aber aus levantinischen Zeiten, finden wir schon Quellenprodukte in Form mächtiger Kalktuffbänke und zwar auf den zwischen Tata und Dunaalmás befindlichen Hügeln. Diese Kalktuffbänke stammen aus levantinischer Zeit (SCHRÉTER 51543). Diese Quellen entsprangen seiner Zeit in einer Höhe von ungefähr 230 m über dem Adriatischen Meeresspiegel. Der levantinische Kalktuff wurde solange ununterbrochen abgelagert, bis sich die Erosionstäler nicht soweit vertieften, daß auch die Thermalquellen auf ein niedrigeres Niveau herabsinken mußten. Dieser Vorgang fällt schon in das pleistozäne Zeitalter, als von den weniger konzentrierten Thermen nur mehr Kalktuff abgelagert wurde, u. zw. in einer Höhe von 130–140 m, wo dieses Gestein auch heute noch gebrochen wird. Mit Ausnahme der „Fényes“-Quellen stammen die übrigen Thermen von Tata aus dem frühen Pleistozän. Die „Fényes“-Quellen halte ich späteren Ursprunges, teils ihrer Lage zufolge (120 m ü. d. Adria), teils jenem Umstand zufolge, daß in ihrer direkten Umgebung keine Spur vom pleistozänen Kalktuff vorhanden ist. Die Kalktuffablagerung der gegenwärtigen Thermalquellen ist bescheiden. Die Quellen von Tata können daher als postvulkanische Erscheinungen

der in der Balatongegend zuletzt erfolgten Basalteruptionen betrachtet werden, die ihre völlige Ausgestaltung den späteren häufigen Erdbeben verdanken.

Welcher Ursache zufolge und aus welcher Tiefe die Quellen an die Erdoberfläche gelangen, darüber bestehen abweichende Ansichten. Früher war man der Meinung, daß das Wasser der emporsteigenden und der springenden Quellen durch hydrostatischen Druck emporgetrieben wird. Diese Ansicht wurde aber schon verschiedentlich angefochten und läßt sich auch in Bezug auf die Quellen von Tata nicht aufrecht erhalten, da wir wissen, daß der Höhenunterschied zwischen den Reservoirien der an Wasser reichen mesozoischen Kalksteine und Dolomite des Ungarischen Mittelgebirges und den in Tatatóváros hervorbrechenden Quellen nicht ausreicht, um das Aufsteigen des Wassers im Sinne der kommunizierenden Röhren erklären zu können.

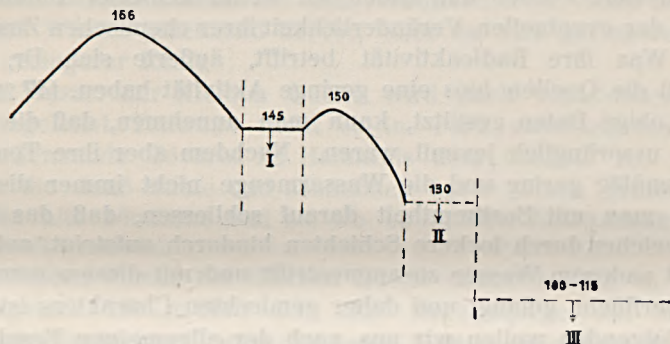
Die andere Ansicht stammt von PÁLFFY (3916.), nach welcher die atmosphärischen Niederschläge durch die Klüfte des Gesteins bis zu einer undurchlässigen Schicht hinabsickern, dort erwärmt und durch den Druck der Dämpfe an die Oberfläche getrieben werden. Obzwar diese Hypothese noch nicht gänzlich erprobt ist, hat sie viel Wahrscheinlichkeit an sich und ist der ersteren Ansicht vorzuziehen.

Noch schwieriger festzustellen ist es, aus welcher Tiefe das Wasser stammt, wenn es sich um ein Gemisch in der Tiefe sich erwärmender atmosphärischer Niederschläge und des unterirdisch zirkulierenden heißen Wassers handelt.

Wenn man die neutrale Zone in Anbetracht der dortigen Jahresdurchschnittstemperatur von  $10^{\circ}\text{C}$  in einer Tiefe von 10 m fixiert und den geothermischen Gradienten mit 30 m feststellt, so muß das  $20^{\circ}\text{C}$  warme Wasser aus einer Tiefe von 310 m kommen. Dies entspricht auch ungefähr der Tatsache. Soweit es mir durch annähernde Berechnungen auf Grund von Profilen der artesischen Brunnen in der Umgebung von Érsekújvár, Ürmény und Tornócz gelungen ist festzustellen, hat das aus den pliozänen Schichten kommende Wasser bis 150 m Tiefe bei einem geothermischen Gradienten von 28 m eine Temperatur von  $10\text{--}15^{\circ}\text{C}$ , während das aus 150—400 m Tiefe emporsteigende Wasser bei einem geothermischen Gradienten von 37 m  $16\text{--}22^{\circ}\text{C}$  erreicht. Wenn man nun die beiden aus verschiedenen Zonen stammenden geothermischen Gradienten in Betracht zieht, hätte das Wasser bis zu 150 m Tiefe  $15^{\circ}\text{C}$ , während das  $20^{\circ}\text{C}$  warme Wasser aus 335 m Tiefe kommen müßte. (HORUSITZKY 508.) Selbstverständlich ist die Tiefe nur nach beiläufiger Schätzung anzugeben, denn bei den artesischen Brunnen des Kis Magyar Alföld (Kleine Ungarische Tiefebene) stellte es sich heraus, daß die Temperatur des Wassers in ein und derselben wasserführenden Schicht, an verschiedenen Stellen bedeutende Unterschiede zeigte. Daher ist die Möglichkeit nicht

ausgeschlossen, daß der angegebene Gradiens der Quellen von Tata nicht total verläßlich ist. Die verschiedene Temperatur hängt auch davon ab, aus welcher Schicht das Wasser stammt, durch welche Ablagerungen hindurch es an die Erdoberfläche dringt und hauptsächlich wie viel atmosphärisches Wasser es unterwegs aufnimmt.

Die Feststellung der wirklichen Ursache, welcher die Quellen von Tata ihre Entstehung verdanken, sowie die genaue Bestimmung der Tiefe, aus der sie stammen, erfordert also noch weitere Beobachtungen. Wie ersichtlich, hat man es bei den Quellen von Tata nicht nur mit direkt aus der Tiefe aufsteigendem Wasser zu tun, nachdem



F. 6.

Die längs der Bruchlinien abgesunkenen Schollen der Felseninsel von Tata, mit den Höhen über der Adria, 166 = Kalvarien-Hügel (Jura); 145 = I. abgesunkene Scholle (Neokom); 150 = Hügel des Gymnasiums (Jura); 130 = II. abgesunkene Scholle (Neokom); 100-115 = III. abgesunkene Scholle (Neokom).

es sich unterwegs mit anderen Wässern vereint und gemischt an die Oberfläche gelangt. Wenn wir von der Hypothese ausgehen, nach welcher EDUARD SUESS sämtliche Quellen in zwei Hauptgruppen, u. zw. in juvenile und vadose gliedert, können wir keine einzige der Quellen von Tata in die eine oder die andere Gruppe reihen (28.), sondern wollen uns Dr. SCHRÉTER anschließen, welcher eine dritte Gruppe aufstellte, in welche er die Quellen gemischten Charakters aufnahm. (45 183.)

Nach den Feststellungen von SUESS und später JACZEWSKY gehören jene Quellen zu den juvenilen, deren Temperatur, chemische Zusammensetzung und Rythmus beständig gleich bleibt, während die vadosen Wasser im Laufe eines Jahres in diesen Eigenschaften gewisse größere oder geringere Änderungen erleiden. Die Tatsache, daß die meißten ursprünglich juvenilen Quellen während ihres Aufstieges mehr oder minder große Mengen vadosen Wassers aufnehmen, veranlaßte SCHRÉTER seine Gruppe aufzustellen.

Pünktliche, eingehende, aus verschiedener Zeit stammende Beobachtungen mangeln uns gegenwärtig noch in Bezug auf die Quellen

von Tata. Bevor noch diese Studien in Angriff genommen werden, läßt sich jedoch vorderhand schon folgendes feststellen. Die Quellen fließen ziemlich gleichmäßig und zeigen eine rhythmische, bloß sekundlich wechselnde Effluktion, ihre Temperatur ist nicht sehr veränderlich. Ihr Wasserquantum ist nicht ganz beständig. Die Quellen sind von kleineren Schwankungen abgesehen, auch größeren Abweichungen unterworfen. Nach Professor THAN ist das Quellwasser im wesentlichen eine dünne Lösung von Kalk- und Magnesium-Bikarbonat, welche außerdem freie Kohlensäure enthält. (22146.) Zwei Quellen enthalten auch Schwefelhydrogen. Die Quellen sind bisher bloß von THAN und BALLÓ analysiert worden und haben wir weiter keinerlei Anhaltspunkte bezüglich der eventuellen Veränderlichkeit ihrer chemischen Zusammensetzung. Was ihre Radioaktivität betrifft, äußerte sich Dr. FROHNER dahin, daß die Quellen bloß eine geringe Aktivität haben. (47 25.)

Auf obige Daten gestützt, kann man annehmen, daß die Quellen von Tata ursprünglich juvenil waren. Nachdem aber ihre Temperatur verhältnismäßig gering und die Wassermenge nicht immer die gleiche ist, kann man mit Bestimmtheit darauf schließen, daß das juvenile Wasser, welches durch lockere Schichten hindurch aufsteigt, auf seinem Wege mit vadosem Wasser zusammentrifft und mit diesem gemischt an die Erdoberfläche gelangt und daher gemischten Charakters ist.

Im folgenden wollen wir uns nach der allgemeinen Beschreibung mit den einzelnen Quellen befassen.

## 5. BESCHREIBUNG DER EINZELNEN QUELLEN.

Die einzelnen Quellen lassen sich nach ihren Bruchlinien in 10 Gruppen einteilen.

### Die Quellen des Englischen Parkes und des Nagytó.

Im nordöstlichen Teile von Tóváros, zwischen der Hattyúliget-Gasse und dem Bahndamm liegt der herrschaftliche Park, in dessen Mitte der Cseketó (Teich) von einem unbedeutenden kleinen Bach gespeist wird, der von der Gemeinde Baj kommt und zeitweise gänzlich austrocknet. Der Teich wird hauptsächlich von den dort befindlichen zwei Quellen versorgt.

Die beiden Quellen befinden sich auf der südwestlichen Seite des Teiches, östlich und westlich von dem dort erbauten Kastell. Die Haupt- oder Große Quelle liegt östlich vom Schloße und bietet mit den dort blühenden blauen Wasserrosen einen bezaubernden Anblick. Westlich von ihr entspringt die Kleine Quelle.

Die Große Quelle bildet bei ihrem Ausfluß einen 2—3 m tiefen kleinen Teich, in dessen Bette man dort, wo das kristallklare Wasser aufsteigt, den mitgebrachten grauen, feinen Sand blinken sieht. Von hier fließt das Wasser in nördlicher, bald nordwestlicher Richtung gegen

den westlich gelegenen Ausgang des Parkes, wo es entweder in den Cseketó oder in die Schwimmschule von Tóváros geleitet wird.

Der von der Kleinen Quelle gebildete Teich ist bloß 1—2 m tief. Die Quelle bricht in der Nähe des Ufers, neben der kleinen Amorfigur, in mächtigem Strahl und mit solcher Kraft aus der Tiefe empor, daß sie die ungefähr 2 m betragende Wassersäule durchdringend, sich noch cca 2—3 Centimeter über den Wasserspiegel erhebt. An ihrem Ursprung ist die Quelle so tief, daß die 4 m lange Stange, die ich an dieser Stelle hinabließ, nicht den Grund erreichte. Dem kleinen Teiche ganz ähnlich ist ein zweiter kleiner Teich, nördlich von jenen, welcher durch einen kurzen Graben mit ihm verbunden wird. Auch in diesem kommt das Wasser glucksend hervor, aber in viel geringerer Menge und mit geringerer Kraft.

Das Wasser der Kleinen Quelle wird nach verschiedenen Richtungen abgeleitet. Teilweise fließt es im Park zwischen dem Schloß und der Gemeinde Tóváros im Halbkreis dem Cseketó zu, teilweise treibt es die Jenő-Mühle und schließlich hat es einen dritten Abfluß gegen das alte römische Bad zu, wo es in den Ableitungskanal der Großen Quelle mündet.

Die beiden Teiche der Kleinen Quelle befinden sich in gleicher Höhe ungefähr 140 m über dem Adr. Meeresspiegel auf hügeligem pleistozänen Sandgebiet. Unter der kaum 5—8 m mächtigen Pleistozändecke lagert pannonisch-pontischer Sand, welchen die Quellen bei ihrem Austritte wolkenartig mit sich führen. Das Pliozän ist hier nach meiner Schätzung auch nur von geringer Mächtigkeit.

Das Gebiet beider Quellen kann als eine abgerutschte Staffel längs der dritten NO—SW-lichen Bruchlinie angesehen werden. Die erste abgerutschte Staffel des Neokomkalksteines — nördlich vom Kalvarienhügel — liegt ungefähr 145 m über dem Spiegel der Adria. An der Stelle, wo das Schloß erbaut ist, befindet sich die zweite abgerutschte neokome Kalksteinbank, welche 15 m tiefer liegt, als die zuerst erwähnte und wenn wir die dritte Verwerfung auch auf 15—30 m schätzen wollen, so wäre der Neokomkalkstein an der Stelle, wo die Quellen aufbrechen, in 115—100 m Höhe gelagert, wonach die pannonischen Schichten hier nur eine Mächtigkeit von 25—40 m besitzen dürften.

Die beiden Quellen durchbrechen daher die pliozänen und pleistozänen Schichten und treten längs der NNW—SSO-lichen Bruchlinie aus dem Neokomkalkstein hervor. WINKLER (15 292.) verdanken wir in Bezug auf die Quellen die ersten hydrogeologischen Daten, der darüber folgendes schreibt: „Auf dem Gebiet von Tata und Tóváros dringen unterhalb der diluvialen Schichten mehrere warme Quellen ans Tageslicht, von welchen die interessantesten und an Wasser reichsten jene zwei Quellen sind, welche sich im herrschaftlichen Park befinden und deren eine binnen 24 Stunden ungefähr 1300—1500 Eimer 16—17° R Temperatur aufwei-

sendes Wasser liefert.“ Nach WINKLERS schwacher Einschätzung wäre dies bloß eine Menge von 70—83 m<sup>3</sup> Wasser, den Eimer mit 0·543 oder aber 0·566 Hl. gerechnet.

STOCZEK schätzt in seiner Abhandlung bloß die für die geplante Wasserleitung von Budapest in Betracht kommende Wassermenge auf 120.000 m<sup>3</sup> täglich. (18 168.)

MATHIAS BALLÓ äußert sich über die Wassermenge der Quellen von Tata folgendermaßen: „Der Wasserreichtum der Quellen ist schier unberechenbar. In Tata selbst steigen täglich rund 287.000 m<sup>3</sup> Wasser auf. (19 282.)

Nach KOMÁROMI beträgt die gesamte Wassermenge der beiden Quellen im Englischen Park 1366 Liter in der Sekunde, was einem täglichen Quantum von 118.000 m<sup>3</sup> entspricht. (43 18.) Weitere Daten fehlen über diesen Punkt und die angeführten Daten scheinen auch nicht ganz einwandfrei zu sein, denn einerseits schwankt die angegebene Wassermenge, andererseits wissen wir nicht, auf welche Quellen sich die Angaben beziehen. Die von KOMÁROMI stammenden Daten sind jedoch annehmbar. Daß die Wassermenge der beiden Quellen variiert, ist aus den unten folgenden Schwankungskurven ersichtlich.

Es ist möglich, daß zur Zeit, als WINKLER seine Aufzeichnungen machte, die eine Quelle tatsächlich bloß 0·05 m<sup>3</sup> Wasser per Minute lieferte. Laut mündlicher Überlieferungen versiegte nämlich eine der Quellen beiläufig in der Mitte des verflossenen Jahrhunderts gänzlich, um erst nach einer einmonatlichen Frist wieder tätig zu werden. Auf Grund der gegenwärtigen und der in den Jahren 1901—1906 vorgenommenen täglichen Messungen scheint mir die von WINKLER angegebene Wassermenge doch zu gering.

Der Inspektor der herrschaftlichen Fabriken, JOHANN KRISZT hat meine Arbeit mit sehr wertvollen Daten unterstützt, die er persönlichen Erfahrungen verdankte. KRISZT hat nämlich an der Großen Quelle 6, an der Kleinen 4 Jahre hindurch täglich die ausfließende Wassermenge gemessen. Das Wasser der Großen Quelle hatte in dem 2·9 m breiten Abflußkanal eine 0·30—0·45 m pro Sek. betragende Geschwindigkeit bei einer Wassersäule von ungefähr 0·45 Meter. Den Abfluß der Kleinen Quelle beobachtete KRISZT in dem 0·42 breiten Kanal derselben, wo das Wasser per Sekunde eine Geschwindigkeit von 1·5 m hatte. Die Wassersäule betrug hier durchschnittlich 0·23 m. Die beigefügten Wasserkurven zeigen mit Ausnahme der Jahre 1901—1906 bloß kleinere Schwankungen. Bei der Großen Quelle beträgt die Schwankung erfolgter Messungen nach:

Im Jahre	1901	---	---	---	---	0·35—0·48	m
„	„	1902	---	---	---	0·42—0·48	„
„	„	1903	---	---	---	0·43—0·45	„
„	„	1904	---	---	---	0·41—0·46	„
„	„	1905	---	---	---	0·43—0·46	„
„	„	1906	---	---	---	0·35—0·52	„

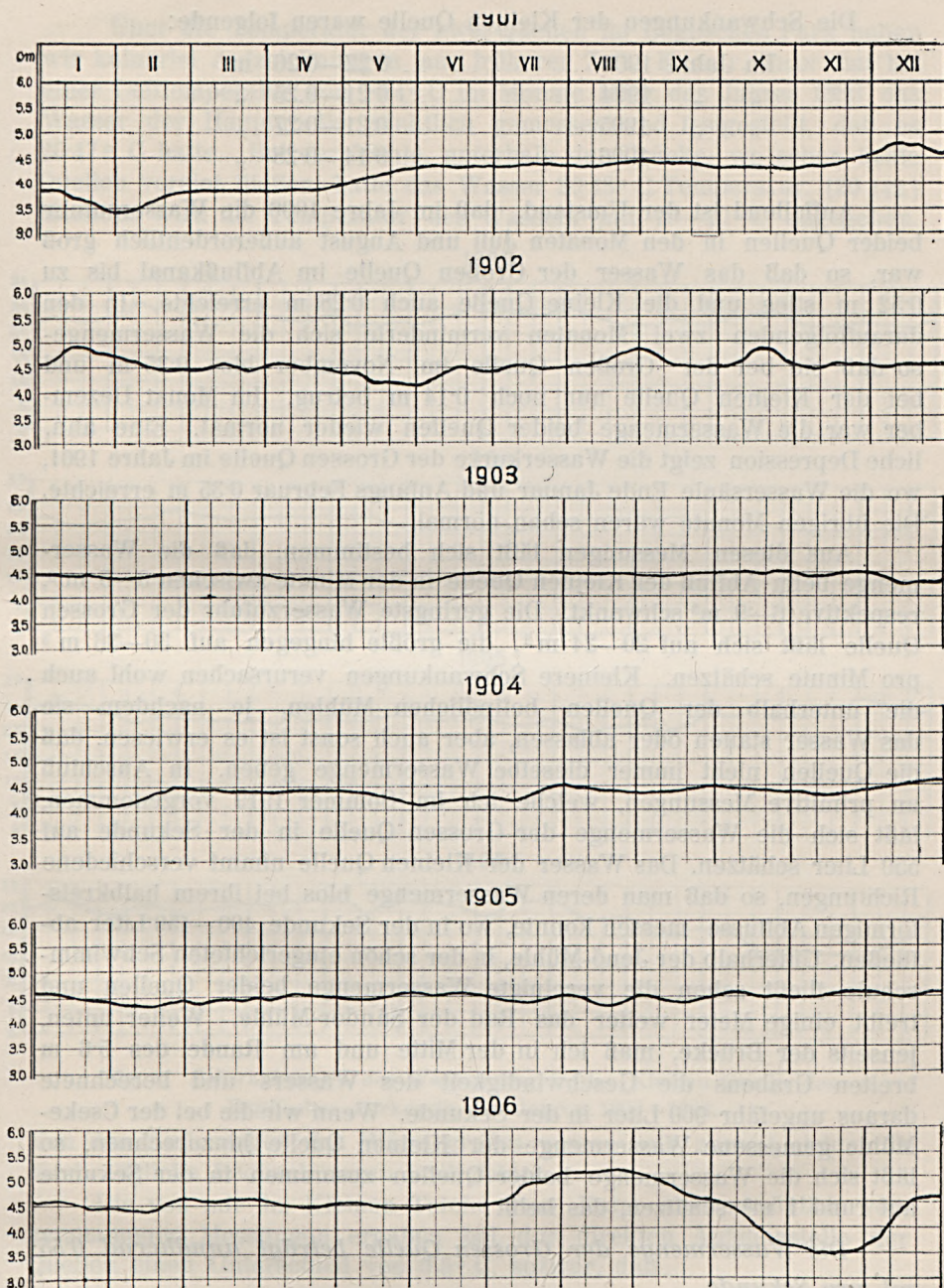


Fig. 7.

Schwankungen des Wasserspiegels der Grossen Quelle des Englischen Parkes  
in den Jahren 1901—1906.

Die Schwankungen der Kleinen Quelle waren folgende:

Im Jahre 1903	...	...	...	0.22—0.26	m
„ „ 1904	...	...	...	0.21—0.25	„
„ „ 1905	...	...	...	0.21—0.27	„
„ „ 1906	...	...	...	0.14—0.28	„

Auffallend ist der Umstand, daß im Jahre 1906 die Wasserzufuhr beider Quellen in den Monaten Juli und August außerordentlich groß war, so daß das Wasser der Großen Quelle im Abflußkanal bis zu 0.52 m stieg und die Kleine Quelle auch 0.28 m erreichte. In den darauffolgenden zwei Monaten verminderte sich die Wassermenge so daß sie bei der Großen Quelle im November bloß 0.35 m und bei der Kleinen Quelle nur noch 0.14 m betrug. Im Monat Dezember war die Wassermenge beider Quellen wieder normal. Eine ähnliche Depression zeigt die Wasserkurve der Großen Quelle im Jahre 1901, wo die Wassersäule Ende Januar und Anfangs Februar 0.35 m erreichte. Die übrigen Monate waren schon normal.

Aus diesen Messungen läßt sich bestimmen, daß die Wassermenge beim Abfluß der Kleinen Quelle in der Minute zwischen 3—5 m<sup>3</sup>, respektive 6—9 m<sup>3</sup> schwankt. Die geringste Wasserzufuhr der Großen Quelle läßt sich auf 20—24 m<sup>3</sup>, die größte hingegen auf 30—36 m<sup>3</sup> pro Minute schätzen. Kleinere Schwankungen verursachen wohl auch die unterhalb der Quellen befindlichen Mühlen, je nachdem sie das Wasser stauen oder ablassen, aber auch sonst ist es erwiesen, daß die Quellen nicht immer dieselbe Wassermenge geben. In Anschluß an primitive Messungen, welche ich im Sommer 1919 vorgenommen, läßt sich die Wassermenge der Großen Quelle in der Sekunde auf 550 Liter schätzen. Das Wasser der Kleinen Quelle nimmt verschiedene Richtungen, so daß man deren Wassermenge bloß bei ihrem halbkreisförmigen Abflusse messen konnte, wo in der Sekunde 400—450 Liter abfließen. Unterhalb der Jenő-Mühle, in der schön eingerichteten Schwimmschule fließt schon die vereinigte Wassermenge beider Quellen und treibt einige Meter weiter das Rad der Sándor-Mühle. Weiter unten, jenseits der Brücke, maß ich in der Mitte und am Rande des 5.6 m breiten Grabens die Geschwindigkeit des Wassers und berechnete daraus ungefähr 900 Liter in der Sekunde. Wenn wir die bei der Cseke-Mühle gemessene Wassermenge der Kleinen Quelle hinzurechnen, so läßt sich die Wassermenge beider Quellen zusammen in der Sekunde auf rund 1 m<sup>3</sup> schätzen, das heißt:

*Die Wassermenge der Großen Quelle beträgt annähernd 0.55 m<sup>3</sup> pro Sekunde.*

*Die Wassermenge der Kleinen Quelle beträgt annähernd 0.45 m<sup>3</sup> pro Sekunde.*

Über die Temperatur der zwei Quellen im Englischen Park haben wir keinerlei Aufzeichnungen aus früherer Zeit. KARL V. THAN hat bei einer Lufttemperatur von  $14.4^{\circ}\text{C}$  im Monate März des Jahres 1886 das Wasser der Hauptquelle pünktlich gemessen und festgestellt, daß es  $20.47^{\circ}\text{C}$  hatte. Bei der Mühle, unterhalb der Brücke, wo schon beide Quellen vereint fließen, hatte das Wasser  $20.48^{\circ}\text{C}$  Temperatur. (20 142.) Meistens wird die Temperatur des Wassers mit  $19-20^{\circ}\text{C}$  angegeben.

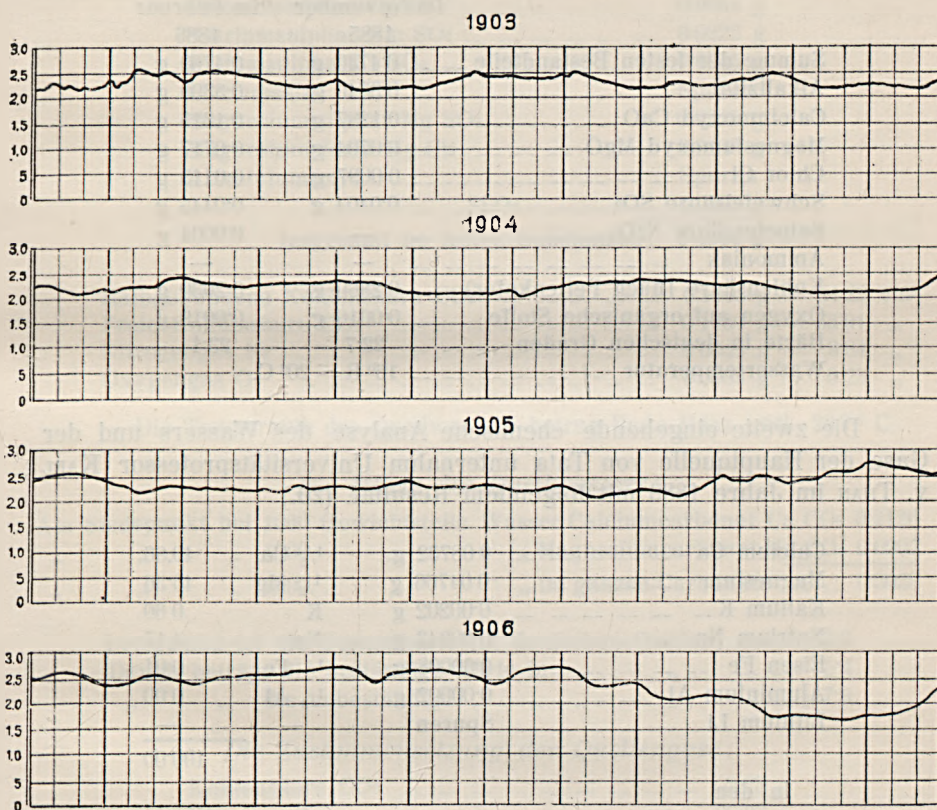


Fig. 8. Schwankungen des Wasserspiegels der Kleinen Quelle des Englischen Parkes in den Jahren 1903—1906.

Von den Änderungen des Wärmegrades wissen wir zurzeit nichts, da diesbezügliche Beobachtungen noch fehlen.

Die von mir im Kleinen Teiche vom Kahn aus persönlich vorgenommenen Messungen ergaben bei der direkten Aufsteigstelle der Quellen einen Unterschied von  $0.5^{\circ}\text{C}$ , sozwar, daß

das Wasser der Grossen Quelle eine Temperatur von  $20^{\circ}\text{C}$   
 „ „ „ Kleinen „ „ „ „ „  $20.5^{\circ}\text{C}$   
 aufwies. Zu gleicher Zeit betrug die Lufttemperatur  $25^{\circ}\text{C}$ .

Gehen wir nun auf die chemische Zusammensetzung des Wassers über.

Die ersten chemischen Analysen über das Wasser der Parkquellen haben wir von MATHIAS BALLÓ, der dieselben in den Jahren 1885 und 1886 verfertigte. (16127).

1000 g Wasser enthält:

	Im November 1885	Im Februar 1886
Summe der festen Bestandteile	0.4740 g	0.4760 g
Alkalizität	0.3340 g	0.3390 g
Calciumoxyd CaO	0.1287 g	0.1315 g
Magnesiumoxyd MgO	0.0704 g	0.0717 g
Chlor Cl	0.0097 g	0.0113 g
Schwefelsäure SO <sub>3</sub>	0.0404 g	0.0445 g
Salpetersäure N <sub>2</sub> O <sub>5</sub>	—	0.0004 g
Ammoniak	—	—
Kohlensäure (nach Pettenkofer)	0.2860 g	0.2030 g
Oxygen auf organische Stoffe	0.0016 g	0.0019 g
Härte in deutschen Graden	22.7	23.1
Wassertemperatur	16° R = 20° C.	

Die zweite eingehende chemische Analyse des Wassers und der Gase der Hauptquelle von Ta'ra unternahm Universitätsprofessor KARL V. THAN im Jahre 1886 mit folgendem Resultat. (20.)

Calcium Ca	0.08732 g	1/2 Ca	49.86
Magnesium	0.04766 g	1/2 Mg	45.36
Kalium K	0.00202 g	K	0.60
Natrium Na	0.00843 g	Na	4.17
Eisen Fe	0.00008 g	1/2 Fe	0.01
Aluminium Al	0.00002 g	1/3 Al	0.00
Lithium Li	Spuren	—	—
			100.00

In den

Carbonaten (CO <sub>3</sub> )	0.23115 g	1/2 (CO <sub>3</sub> )	87.99
Chloriden Cl	0.00770 g	Cl	2.48
Sulfaten (SO <sub>4</sub> )	0.03920 g	1/2 (SO <sub>4</sub> )	9.32
Phosphaten (PO <sub>4</sub> )	0.00024 g	1/3 (PO <sub>4</sub> )	0.08
Fluoriden Fl	0.00022 g	Fl	0.13
			100.00

SiO<sub>2</sub> 0.01033 g 1/2 SiO<sub>2</sub> 3.90

Insgesamt an festen Substanzen: 0.43437 g

Ammoniak, Nitrate, Nitrite, als auch organische Stoffe sind nicht einmal in Spuren vorhanden.

Die chemische Zusammensetzung der Hauptquelle von Tatatóváros:

Calciumcarbonat $\text{Ca CO}_3$	0.2126 g
Magnesiumcarbonat $\text{Mg CO}_3$	0.1426 g
Ferrocyanat $\text{Fe CO}_3$	0.0002 g
Natriumcarbonat $\text{Na}_2 \text{CO}_3$	0.0028 g
Calciumphosphat $\text{Ca}_3 (\text{PO}_4)_2$	0.0005 g
Calciumfluorid $\text{Ca F}_2$	0.0005 g
Calciumsulfat $\text{Ca SO}_4$	0.0064 g
Natriumsulfat $\text{Na}_2 \text{SO}_4$	0.0222 g
Kaliumsulfat $\text{K}_2 \text{SO}_4$	0.0045 g
Lithiumsalze	Spuren
Magnesiumsulfat $\text{Mg SO}_4$	0.0215 g
Magnesiumchlorid $\text{Mg Cl}_2$	0.0103 g
Aluminiumoxyd	Spuren
$\text{Si O}_2$	0.0103 g
Insgesamt an festen Substanzen:	0.4344 g

Halbgebundene Kohlensäure $\text{CO}_2$	0.1695 g	= 84.22 $\text{cm}^3$
Freie Kohlensäure $\text{CO}_2$	0.1060 g	= 53.91 „
Nitrogengas $\text{N}_2$	0.0048 g	= 3.84 „
Oxygengas $\text{O}_2$	0.0003 g	= 0.23 „

Die Temperatur des Quellwassers betrug Ende März 1886 20.7° C.

*Die Härte des Quellwassers:*

Am Siedepunkt bei 1000 Gewichtsteile Wasser	Calciumcarbonat $\text{Ca CO}_3$	0.2126
„ „ „ 1000 „	„ Magnesiumcarbonat $\text{Mg CO}_3$	0.0907
„ „ „ 1000 „	„ im ganzen Carbonate	0.3033

Demgemäß ist die Gesamthärte (in deutschen Graden)	23.3
Davon beträgt die beständige Härte in „ „	5.4
„ „ die unbeständige „ „ „ „	17.9

*Die Zusammensetzung der Quellengase:*

Kohlensäure $\text{CO}_2$	2.73
Nitrogen $\text{N}_2$	96.27
Oxygen $\text{O}_2$	1.00
Zusammen	100.00

Professor THAN faßt das Ergebnis seiner chemischen Untersuchungen in folgendem zusammen:

„Die Hauptquelle von Tata besteht vornehmlich aus einer dünnen Lösung von Kalk- und Magnesiumbicarbonat, ausserdem enthält sie zum  $\frac{1}{20}$  Teil des Kubikinhaltes freie Kohlensäure. Ammoniak, Nitrite und Nitrate, sowie organische Substanzen fehlen gänzlich.“

(40 168.)

Bei der Analyse handelte es sich in erster Linie um die Prüfung der Qualität des nach Budapest zu leitenden Trinkwassers, wobei vor allem die Reinheit und der Härtegrad desselben in Betracht kam. Professor VINCENZ WARTHA äußert sich hierüber auf folgende Weise (21 167.): „Meiner Ansicht nach ist die Alkalizität des Wassers, d. h. der Zahlenwert, welcher anzeigt, wieviel Normalsäure 1 l des betreffenden Wassers bedarf, um die vorhandenen alkalisch reagierenden Salze zu neutralisieren, nicht nur in industrieller Beziehung, sondern auch von gesundheitlichem Standpunkt von großer Bedeutung. Zur Neutralisierung der in 1 l Tataer Wasser enthaltenen alkalischen Salze sind  $7.7 \text{ cm}^3$  normale Salzsäure, bei dem Wasser der Schießpulvermühle in Óbuda (Altöfen)  $7.8 \text{ cm}^3$  nötig. Das Wasser von Káposztásmegyér ist nicht viel weicher und trotzdem die Alkalizität der gegenwärtigen Wasserleitung bis auf 4 Grad steigt, ist das Wasser von Tata auch in dieser Beziehung von guter Qualität“.

DR. JOSEF V. SZABÓ (17 138.) hat gegen die Qualität des Wassers von Tata ebenfalls nichts einzuwenden, nur macht er darauf aufmerksam, daß diese dolomitische Bicarbonatlösung, in welcher die viele Kohlensäure den Kalk und das Magnesium in gelöstem Zustand erhält, in der Wasserleitung häufig Unannehmlichkeiten verursachen würde. Die freie Kohlensäure würde sich nämlich langsam verflüchten und dementsprechend der Kalk sich ablagern, Kalktuffschichten bildend, sowie dies auch in der Umgebung von Tata-Tóváros sichtbar ist. Je langsamer die Bewegung des Wassers wäre und je mehr es mit der Luft in Berührung käme, in umso größerem Maße geschähe die Ablagerung, namentlich bei einem so kalkhaltigen Wasser, wie das von Tata ist.

Die dritte Bedingung des guten Trinkwassers ist dessen entsprechende Temperatur, welche nicht mehr als  $10-12^\circ \text{C}$  haben sollte. In diesem Punkte war man nicht einig, ob das Wasser von Tata auf seinem Wege bis Budapest von  $20^\circ \text{C}$  sich auch entsprechend abkühlen würde, um genießbar zu werden und die hierüber erwarteten Zweifel bewogen endlich den Magistrat der Hauptstadt dazu, von der geplanten Wasserleitung abzusehen. (Siehe BALLÓ 16 123., 19 281.; WARTHA 21 168.; STOCZEK 18 168. und 189. und 24 223.)

Zuletzt wollen wir der Radioaktivität der Quellen von Tata Erwähnung tun. ROMAN FROHNER, welcher sich mit der Radioaktivität der weniger warmen Thermen aus der Umgebung von Budapest befaßte, untersuchte auch die Quellen von Tata, doch fand er selbe in so geringem Maße aktiv, daß er weitere diesbezügliche Untersuchungen einstellte. (47 25.)

#### Die Quellen des Grossen Teiches.

In dem zwischen Tata und Tóváros befindlichen Großen Teich brechen drei Quellen hervor, welche denselben mit Wasser versorgen.

Außerdem speist den Teich auch der „Általér“, welcher in den südöstlichen Teil mündet. Das Wasser des Großen Teiches fließt an dessen nordwestlicher Seite ab und vereint sich unterhalb der Gemeinde alsbald mit den zwei Quellen, welche aus dem Englischen Park kommen, um dann in dem „Kühtreiber“ genannten Bach weiterzufließen. Der Große Teich beträgt 600 Joch und dient zur Fischzucht, weshalb sein Wasser mit künstlichen Dämmen gestaut wird. Der Teich wird im Interesse der Fischerei alle 3—4 Jahre entwässert. Dies geschah auch im Herbst des Jahres 1919 und hatte ich somit Gelegenheit, die derart freigelegten Quellen zu besichtigen. Die grösste Quelle tritt unterhalb des Schloßes, in der Nähe des mächtigen Staudammes hervor. Beim Dammbau hat man diese Quelle künstlich eingefafßt. Die Mündung des Quellentrichters liegt in einer Höhe von 117 m ü. d. M. und ist gewöhnlich von einer 4—5 m betragenden Wassersäule überdeckt, so daß man die Quelle bei normalem Wasserstand gar nicht bemerkt.

Beim Entwässern des Teiches leitet man das Quellwasser in südwestlicher Richtung in den 1 m breiten Abflußkanal des Általér; seine Geschwindigkeit beträgt 45 m pro Sek. Die Geschwindigkeit des abgelaufenen Wassers bei dem kaum merklichen Gefälle demonstriert deutlich die Kraft, mit welcher die Quelle hervorbricht. Das Wasser scheint hier direkt aus dem neokomen Kalk zu kommen, der das Fundament des Schloßes bildet. Mit Bezug auf die bereits erwähnten drei Verwerfungsstufen ist der Ursprung der Quelle in jener Bruchlinie zu suchen, welche die zweite abgerutschte Scholle begrenzt. Die im Umkreis der Quelle sichtbaren Kalktuffablagerungen stammen aus dem Pleistozän, als dieselbe in nordwestlicher Richtung noch einen freien Ablauf hatte. Ob die ganze Wassermenge der unterhalb des Schloßes hervorbrechenden Quelle in den Teich fließt oder sich irgendwo, unterhalb des Baues teilweise in den Schloßgraben ergießt, konnte ich nicht feststellen. Aber der sichtbare Abfluß allein genügt, um die Quelle in die Kategorie der größeren Quellen zu zählen. Die eingefafste Quelle hat zwar nicht so viel Wasser, wie die zwei Quellen im Englischen Park, aber beiläufiger Schätzung nach *beträgt die, per Sekunde ablaufende Wassermenge 180—200 l, was einer täglichen Menge von ungefähr 15—16.000 m<sup>3</sup> entspricht.* Der Pumpbrunnen am künstlichen Damm vor dem Schloß, wird von obiger Quelle gespeist. Die Temperatur des Wassers beträgt direkt beim Ausfluß 21° C, bei einer gleichzeitigen Lufttemperatur von 11° C.

Zwei weitere Quellen, welche eigentlich Zwillingsquellen sind, treten in der nordöstlichen Ausbuchtung des Teiches, unweit des Ufers ans Tageslicht. Die zwei Quellen sind kaum 100 m von einander entfernt. Beide sind unbedeutend. Das Wasser quillt zwar aus der Tiefe, doch hat es auch vom Ufer einigen Zufluß. Die Umgebung der zwei Quellen besteht aus rezenten, sandigen Teichsedimenten. Wie mächtig

diese Sanddecke ist und wie weit darunter die älteren Schichten lagern, läßt sich nur beiläufig bestimmen. Wahrscheinlich ist das Profil dieser Quelle mit jenen der beiden Quellen im Englischen Park identisch, jedoch mutmaßlich mit Ausnahme des Pleistozäns, so daß unter dem dünnen Holozän unmittelbar pannonischer Ton und Sand folgen dürfte. Nachdem die zwei Quellen in die III. Staffel der abgerutschten Tafeln gehören, wo der neokome Kalkstein in 100—115 m vorkommt, ist dessen pannonische Decke hier bloß auf 13—28 m zu schätzen.

Die Wassermenge beider Quellen schätze ich nicht höher als *16—17 l pro Sek., was einem täglichen Abfluss von 1400 m<sup>3</sup> entspricht.* Das Wasser der einen, wie der andern Quelle hatte 19° C bei einer Lufttemperatur von 11° C.

### Die nördlichen Quellen der Felseninsel.

An der nördlichen Bruchlinie des bereits häufig erwähnten mesozoischen Felsens erwähnen wir folgende Quellen:

Der Csurgó-Brunnen. Neben dem Wege, zwischen dem Ordenhaus der Piaristen und dem Schloß von Tata, am Fuße des Felsens, 130 m über der Adria befindet sich der Csurgó-Brunnen, aus welchem einstens reichlich Wasser floß. Im Sommer des verflossenen Jahres hatte er nur mehr spärlich Wasser, welches sich in einem kleinen Graben ansammelte, der in den Großen Teich mündet. Die Quelle bricht an der Grenze des Liaskalksteins und des pleistozänen Kalktuffes hervor, als Überbleibsel jener einstigen größeren Quelle, von welcher die beim Piaristengymnasium befindliche mächtige Kalktuffablagerung herrührt. Das Brunnenwasser bricht aus jener Bruchlinie hervor, welche sich entlang der II. abgerutschten Staffel von NNW gegen SSO erstreckt. Unterhalb des Kalktuffes lagert pleistozäner Sand und weiter pontische Schichten, welche wohl kaum einige Meter mächtig sein dürften.

Das Wasser hat bloß 15° C und ist daher bedeutend kälter, als die bisher besprochenen Thermen. Auch die Wassermenge ist bedeutend geringer, denn der Brunnen liefert täglich nicht mehr, als 8—10 m<sup>3</sup> Wasser.

Die Schloß-Quelle. Diese besorgt den Wasserbedarf des ganzen Schloßes, fließt auch reichlicher, als obige und schätze ich die tägliche Menge des auslaufenden Wassers auf 80—90 m<sup>3</sup>. Die Quelle entstammt der schon erwähnten Bruchlinie und hat ebenfalls die Temperatur von 15° C.

Die Quelle des gräflichen Bades („Türkenbad“) ist um vieles ausgiebiger, als die bisherigen. Das Marmorbecken ist ungefähr 15 m lang und 4,5 m breit und das Wasser steigt darin binnen dritthalb Stunden bis zu einer Höhe von 145 cm. KOMÁROMI (43 21.) stellte fest, daß die Wassermenge in der Sekunde 3,6 l beträgt, das macht täglich 311 m<sup>3</sup> aus. Ich maß 3,5 l per Sekunde, oder 300 m<sup>3</sup> per Tag. Das Wasser ist

kristallklar, kohlenensäurehaltig und hat 20·5° C, ist daher wärmer, als alle anderen, aus derselben Bruchlinie stammenden Quellen. Die höhere Temperatur des Wassers und sein Reichtum an Kohlensäure ist dem Umstand zuzuschreiben, daß die Quelle an der Kreuzungsstelle zweier Verwerfungen hervorbricht. Die günstige Lage der Quelle wurde nach der Tradition bereits von den Römern erkannt, die dort ein Bad eingerichtet haben sollen.

Ober der Badequelle erhebt sich ein hübsches Gebäude, über dessen Eingang eine ovale Marmortafel mit folgender Aufschrift angebracht ist: *Amore nationis Hungaricae — ut sanitati illius provideatur — salubria ista balnea Tatensis Comes Josephus Esterházy e rudibus erigit.*

Die Quelle im *Piaristengarten*. In derselben Bruchlinie, nur weiter nordwestlich, am nordwestlichen Rande des Hügels liegt der *Piaristengarten*, in dessen südlichem Winkel eine kleinere Quelle hervortritt, welche per Tag höchstens 51 m<sup>3</sup> Wasser liefert. Ihre Temperatur ist dieselbe, wie bei den übrigen, mit Ausnahme der Quelle vom *Türkenbad*, das heißt 15° C. Neben der Quelle ist ein kleineres Bassin, wo sich das Wasser ansammelt und im Sommer als angenehmes Bad dient. Diese Quelle stammt auch aus dem *Jurakalkstein*.

*Lo Presti-Quelle*. Die vom Felsenplateau kommende Quelle ist eine der höhergelegenen von Tata. Die Quelle tritt jener Bruchlinie entlang zutage, neben welcher die I. neokome Kalksteinscholle abgerutscht ist. Nicht weit entfernt von derselben zieht sich eine zweite Bruchlinie in nordsüdlicher Richtung entlang des Felsenrandes. Die starke Quelle befindet sich 140 m über dem Spiegel der *Adria*. Sie ist mit einem viereckigen Bassin versehen, aus welchem schon die Römer das Quellenwasser in die Stadt *Brigetio* leiteten. *Brigetio* war das jetzige *Ószóny*. Später wurde dort die *Benediktiner-Abtei* erbaut und verwendete man das vorhandene Wasserbecken zum Baden. Daher stammt die noch heutzutage ab und zu gebrauchte Benennung: *Barátfürdő* (Mönchsbad). Die historisch berühmte Quelle bildet gegenwärtig das Eigentum der Nonnen, denen das Grundstück Nr. 3 in der *BERZSENYI-Gasse* gehört, in dessen rückwärtigem, gegen die *Fürdő-Gasse* zu liegenden Teile sich die Quelle befindet.

Das Becken ist 20 m lang und 6 m breit; die Quelle entspringt in der Mitte des Bassins, welches sich nach Messungen von *KOMÁROMI* binnen 5 Stunden füllt. Das Becken ist 1·5 m tief; die tägliche Wassermenge beträgt ungefähr 864 m<sup>3</sup>. (43 20.)

Die Temperatur des Wassers zeigt beim Abfluß in den benachbarten *Küchergarten* 19° C.

Von hier fließt die Quelle in das gegenüber der *Katona-Gasse* gelegene kleine *Wannenbad* von Tata und fließt mit der Quelle des gräflichen Bades vereint durch den rückwärtigen *Schloßhof* dem *GHCZY-*

Garten zu und mündet schließlich in den Abflußkanal des Großen Teiches.

Der Name der Quelle wird mehrfach gedeutet. Einer Ansicht nach wurde sie nach ihrem einstigem Eigentümer benannt, anderer Meinung nach stammt ihr Name von dem lateinischen *oprimo-ere*, welches Verbum „auf- oder niedersteigen“ bedeutet.

### Die Quellen des Tales „Kertekalja“.

Die Bruchlinie, welche sich am südlichen, das heißt südwestlichen Rande des Kalvarienhügels erstreckt, ist durch den Kertekalja-Bach angedeutet. Im Nachstehenden wollen wir uns mit den Quellen befassen, welche entlang jener Bruchlinie hervortreten. Ganze Serien von Quellen gibt es hier, beinahe in jedem Garten bricht eine mehr-minder warme Quelle hervor. Die Reihe der Quellen eröffnet jene, welche sich an der Ecke des Fahrweges und der Nagykerti-Gasse befindet; diese kann auch als der Ursprung des Kertekalja-Baches betrachtet werden. Zwischen der Nagykerti- und Komáromi-Gasse nimmt der Bach seinen Weg nach Nordwesten und biegt dann, die Richtung ganz gegen Norden nehmend, in den Ördög(Teufels-)kanal ein. Unterwegs nimmt der Bach noch mehrere Quellen in sich auf, und zw. zuerst die „Kismosó“ (Kleine Wasch-)Quelle und die Kismosócsurgó-Quelle. Dann folgen bis zum Steinbrunnen vier laue Quellen und weiterhin noch vier bedeutendere Quellen.

Wir wollen uns mit jeder derselben befassen.

Die K i s m o s ó - Q u e l l e an der Ecke der beiden bereits erwähnten Gassen gelegen, befindet sich in 140 m Höhe ü. d. Adria.

Die Quelle bricht direkt an der Grenze des Triaskalksteins hervor. Das Wasser sammelt sich in einem 5 m breiten und 6 m langen Becken, in welchem die Weiber Wäsche reinigen. In der Mitte des Beckens quillt an mehreren Stellen das Wasser hervor, welches kristallklar ist. Die Quelle ist nicht unbedeutend, da sie *täglich* 725 m<sup>3</sup> Wasser liefert, dessen Temperatur 18,5° C beträgt.

Der K i s m o s ó - C s u r g ó liegt bloß einige Schritte weiter unten. Aus dem gemauerten Brunnen fließt das Wasser nicht ständig, manchmal ist der Druck so gering, daß das Wasser das Brunnenausflußrohr, welches sich in 1/2 m Höhe befindet, gar nicht erreicht. In diesem Fall wird das Wasser aus dem Brunnen geschöpft oder gepumpt. Das Brunnenwasser hat eine Temperatur von 18° C.

K o c s i - G a s s e Nr. 19. Am westlichen Ende des Grundstückes finden wir, dem Tale zuschreitend, die erste Quelle. (Eigentümer MICHAEL PACZ). Der Ausfluß der Quelle ist nicht bedeutend und hat das Wasser bei einer Lufttemperatur von 4–5° C gemessen, 15° C.

N a g y k e r t - G a s s e Nr. 21. Nordwestlich von ersterer, ebenfalls auf der rechten Seite des Tales quillt die im Besitze von SIGISMUND BARNA

befindliche Quelle. Die Wassermenge ist unbedeutend, die Temperatur 16° C.

Komáromi-Gasse Nr. 4. (Eigentümer JAKOB SCHWARCZ). In der Nähe der erwähnten Quellen sind noch mehrere vorhanden, mit dem geringeren Wärmegrad von 6—8° C. Wir erwähnen an dieser Stelle noch die am oben erwähnten Grunde befindliche, ziemlich vernachlässigte Quelle, deren Temperatur bei 4° C gemessen, 11° C betrug. Sie hat kaum einen Abfluß und dient das Wasser nur zum Gießen der benachbarten Gründe.

Komáromi-Gasse Nr. 6. (Eigentümer SIGISMUND KELLNER). Unweit des Kertekalja-Baches, am unteren Ende des angegebenen Grundstückes bricht das 13·5° C warme Wasser hervor, welches auch nur zum Gießen benützt wird.

Steinbrunnenquelle. Ungefähr 200 m von dem „Kismosó“ entfernt, auf der linken Seite des Kertekalja-Baches und zugleich an der tiefsten Stelle des Kókkút(Steinbrunnen)weges befindet sich die ummauerte Quelle mit zwei Ausflußröhren. Das Wasser hat eine Temperatur von 18° C. Der Brunnen liegt 138 m ü. d. Meeresspiegel. Aus den zwei Röhren fließt per Minute ungefähr  $\frac{1}{2}$  l Wasser, was täglich einer Menge von 43—46 m<sup>3</sup> entspricht. Ein Teil des Wassers scheint aber durch die Mauer zu sickern, daher man die Wassermenge höher einschätzen kann. Das Wasser hatte sowohl bei 10° als 25° gemessen 18° C.

Komáromi-Gasse Nr. 14. (Eigentümer ALEXANDER HANÁK.) Am Ende des Grundstückes an der rechten Seite des Baches entspringt die Quelle, welche der Eigentümer in ein Becken von 4 × 4 m sammelt, wo sich angenehm baden läßt. Das Wasser läuft in einem kleineren Graben dem Bache zu. Die Wassermenge ist nach Angabe von KOMÁROMI nicht groß, denn die Quelle liefert nicht einmal 1 l Wasser in der Sekunde, das macht per Tag ungefähr 80 m<sup>3</sup>. (43 41.) Die Temperatur des Wassers beträgt 15° C.

Die Pöce-Quelle. Am benachbarten Grunde, das heißt am rückwärtigen Teile des Hauptplatzes, Komáromi-Gasse Nr. 16, befindet sich eine etwas ausgiebigere Quelle, welche nach KOMÁROMI in der Sekunde 4 l Wasser liefert, das kommt einer täglichen Menge von 345 m<sup>3</sup> gleich. (43 21.) Das Quellwasser hat ein Bassin von 9 m<sup>2</sup>, welches in den Sommermonaten ein ganz angenehmer Platz zum Baden ist. Das Wasser ist ziemlich kohlenensäurehältig und wärmer, als die vorher besprochenen Quellen u. zw. im Sommer, sowie im Winter 20·5° C. Seine Beschaffenheit gleicht ungefähr dem Wasser des Gräflichen Bades, welches ebenfalls viel Kohlensäure enthält.

Komáromi-Gasse Nr. 18. (Eigentümer BODROGI.) Die Quelle ist von einem 6 m langen und 3 m breiten Becken umgeben. Das Wasser weist ebenfalls Kohlensäure auf und hat eine Temperatur von 20·5° C. Im Sommer dient das Bassin als willkommene Badegelegenheit. Das Quellwasser fließt in den Kertekalja-Bach. Besagte Quelle wird von KOMÁ-

ROMI „Mihályi“-Quelle genannt und erreicht nach seiner Berechnung per Sekunde kaum 9 l. Dies genügt um die Quelle zu den großen Quellen zu zählen, nachdem sie in tägliche Menge umgerechnet 777 m<sup>3</sup> Wasser gibt. (43 22.)

Komáromi-Gasse Nr. 24. (Eigentümer ALEXANDER NAGY.) Von den Quellen, welche in dem Kertekalja-Tale aus ein und derselben Bruchlinie hervorbrennen, ist diese die bedeutendste. Die Quelle, besser gesagt Quellengruppe ist in ein Becken von 18 m Länge und 9 m Breite eingefasst. Die Hauptquelle befindet sich am nördlichen Ende des Bassins, wo das kristallklare Wasser eine Temperatur von 20·5<sup>0</sup> C hat. Das Wasser des daneben befindlichen Kiskút (Kleiner Brunnen) hat bloß 19<sup>0</sup> C und das am südlichen Teile eindringende Wasser zeigt gar nur 16<sup>0</sup> C. Nach Messungen von KOMÁROMI gibt die Quelle in der Sekunde 15 l Wasser, was einem täglichen Ausfluß von 1296 m<sup>3</sup> gleichkommt. (43 22.)

Die größere Wassermenge und höhere Temperatur der letzten beiden Quellen läßt sich damit erklären, daß sie an der Kreuzung zweier Bruchlinien hervortreten, wo das Wasser mit vermehrter Kraft in die Höhe dringt und sich folglich unterwegs mit weniger vadosem Wasser vermischt. In dem Kertekalja-Tale sind außer den erwähnten warmen Quellen auch solche, welche eine viel niedrigere Temperatur haben und werde ich auf diese Quellen noch zurückkommen.

#### Die Quellen am Westrand der Felseninsel.

Entlang der Bruchlinie, welche sich am westlichen Rand des Kalvarienhügels dahinzieht, finden wir von Norden gegen Süden folgende Quellen: die im Piaristengarten befindliche Quelle (15<sup>0</sup> C), die Quelle im Hofe der jüdischen Schule, den MENICH-Brunnen, die Quelle im Garten SZALAY, im Hofe von MICHAEL PACZ, den Csurgó-Brunnen und die große Quelle des „Kismosó“. Die erste, als auch die drei letzten fallen zugleich in die NW—SO-liche Bruchlinie und wurden schon im vorhergehenden Kapitel besprochen.

Die übrigen drei Quellen treten gleichfalls an der Kreuzung zweier Bruchlinien zutage, von denen eine mit der NNW—SSO-lichen Bruchlinie identisch ist, entlang welcher die früher erwähnte I. neokome Kalksteinscholle abgerutscht war. Die im Hofe der jüdischen Schule befindliche Quelle und die Quelle des MENICH-Brunnens fallen in die Bruchlinie, welche sich am nördlichen Rande der abgerutschten Kalkscholle hinzieht, während die Lo-Presti- und SZALAY-Quelle am südwestlichen Rande derselben ebenfalls bereits besprochen wurden.

Die Quelle im Hofe der jüdischen Schule. Im Hofe der jüdischen Schule in der Fördő(Bad)gasse hinter dem Grundstück Katona(Soldaten-)gasse Nr. 4, direkt an der äußeren Grenze des mesozoischen Felsens, 132 m über der Adria liegt die gänzlich verwahrloste

Quelle, deren Temperatur  $18.5^{\circ}$  C beträgt. Die Quelle fließt nicht reichlich und verläuft unbenutzt in einem kleinen Graben.

Der MENICH-Brunnen liegt westlich von obiger Quelle in einem etwas tieferen Niveau am schmalen Pfad, der entlang der Gärten führt, ebenfalls am westlichen Rande des mesozoischen Felsens. Der Brunnen ist schön gemauert und nach dem ehemaligen Kreisarzt von Tata Dr. JOHANN MENICH benannt, der ihn im Jahre 1898 errichten ließ; das Wasser rieselt fortwährend und giebt in der Sekunde  $\frac{1}{4}$  l, was einer täglichen Menge von  $21 \text{ m}^3$  entspricht. Die Temperatur des Wassers beträgt  $17^{\circ}$  C.

SZALAY-Quelle. An der Biegung der Fördő(Bad-)gasse, im Hofe des Hauses Nr. 6 (Eigentum des Tischlermeisters SZALAY), dringt aus einer Felsenböschung das Wasser empor, welches ein schön ausgemauertem Brunnen aufnimmt. Die Temperatur der kleinen Quelle beträgt bloß  $12.5^{\circ}$  C, daß ich sie trotzdem an dieser Stelle anführe, geschieht mit Rücksicht auf den Ort ihres Ursprunges und auch deshalb, weil das Wasser immerhin um  $2.5$  Grade wärmer ist, als die jährliche Durchschnittstemperatur der Luft. Von den übrigen, entlang des Felsenrandes und in seiner Nähe hervorbrechenden Quellen, welche bloß  $6-8^{\circ}$  C oder höchstens  $10^{\circ}$  C aufweisen, spreche ich in einem späteren Kapitel.

#### Die Quellen des „Laposkert“ (Ebener Garten).

In diesem Abschnitt folgt die Beschreibung jener Quellen, welche sich zwischen den Gärten ungefähr  $200 \text{ m}$  westlich vom Felsenrande entfernt, auf flachem Boden befinden und entlang der nord-südlichen Bruchlinie, welche mit der vorher erwähnten parallel läuft, an die Erdoberfläche gelangen. Hier erwähne ich bloß die Thermalquellen, die übrigen werden später besprochen.

Die Quelle des Pfarrgartens. Neben dem Kertekalja-Bach liegt der zur röm.-kath. Pfarre gehörende Garten, wo am Kreuzungspunkte zweier Bruchlinien eine schöne Quelle hervorbricht. Das Becken, welches das ziemlich reichlich fließende Wasser sammelt, ist  $7 \text{ m}$  lang,  $6 \text{ m}$  breit und wird auch zum Baden benützt. Die große Quelle wäre sehr entsprechend, um an dieser Stelle ein hübsches Bad einzurichten. Die Temperatur des Wassers beträgt beim Ausflusse des kleinen Beckens  $20.5^{\circ}$  C. Die tägliche Wassermenge beläuft sich ungefähr auf  $250 \text{ m}^3$ .

Die Quelle des STEFAN HERCEG. Südlich von der vorher erwähnten, am benachbarten Grunde jenseits des Fußpfades, befindet sich eine ähnliche Quelle von  $17^{\circ}$  C, deren Wasser überhaupt nicht benützt wird.

Die Quelle des ANTON SZLUKOVÁNYI. Weiter gegen Süden gelangt man zum Garten Komáromi-Gasse Nr. 35 (Eigentümer ANTON SZLUKOVÁNYI). In einem kleinen ummauerten Becken tritt hier eine Quelle zutage, deren  $15^{\circ}$  C warmes Wasser nur zum Gießen verwendet wird.

In dieselbe N—S-liche Bruchlinie gehört auch die Quelle BODROGI, welche ebenfalls entlang des Kertekalja-Baches zutage tritt. (Komáromi-Gasse Nr. 18.) Sie gehört infolge ihres auffallenden Gehaltes an Kohlensäure zu den bedeutenderen Quellen und wurde schon in einem früheren Kapitel besprochen.

### Die „Fényes“-Quellen.

Zwei Kilometer nordwestlich von der röm.-kath. Kirche von Tata liegt in der Mittellinie des Tales der sog. Feneketlen-tó (Bodenloser Teich) und 1 km weiter NNW-lich treten die imposantesten Quellen des ganzen Gebietes, die sogenannten „Fényes“-Quellen zutage. Die beiden entfernteren gehören zu Tóváros, während die beiden näher befindlichen, sowie auch die Quelle des Feneketlen-tó zu Tata gehören. In Bezug auf die Quellen ist dies der berühmteste Teil von Tata-Tóváros, wo man sich an der Schönheit dieser Naturerscheinungen von Herzen ergötzen kann, ein Ort, der durch seinen unberührten Reiz eine mächtige Anziehungskraft auszuüben vermag. Auf diesem Fleck Erde kann jeder Forscher die reichen Schätze der Natur genießen und ist es einem unbegreiflich, daß diese Stätte von Sachverständigen nicht mehr gewürdigt wird.

Das kristallklare Wasser der Quelle geht in einem breiten Graben über und ist überall derart durchsichtig, daß man auf seinen Boden den kleinsten Gegenstand deutlich ausnehmen kann. Mit dieser Eigenschaft hängt wohl der Name der Quelle „Fényes“ (glänzend) zusammen.

Die „Fényes“-Quellen befinden sich ungefähr in der Mitte des zwei Kilometer breiten Tales ziemlich nahe zu einander in einer verlassenem Gegend, so daß die Besichtigung der Quellen in den meisten Fällen unterlassen wird. Im Sommer jedoch erfreuen sich die Quellen großen Zuspruches von Seiten der Jugend der Schwestergemeinden, welche dort ihr kostenloses erfrischendes Bad genießt.

Von der Réti-malom (Wiesenmühle) her hingegen suchen viele den Ort auf, um den Hanf weichen zu lassen. Die Quellen sind von Wiesen und Hutweiden umgeben, daher sich hauptsächlich Hirtenknaben an den Naturschönheiten dieses Erdenwinkels erfreuen, welche das Hervortreten der mächtigen Quellen bewundern können, als auch ihren reichen Kohlensäuregehalt zu beobachten vermögen und zu Winterszeit den prächtigen Anblick des dampfenden Wassers in den kleinen Teichen der Quellen haben.

Die Quellen sind in einer Höhe von 119·5 m über der Adria gelegen. Die mit Nr. 28 bezeichnete Quelle ist ihrem Umfange nach die größte. Der kleine kristallklare Teich ist 2—3 m tief, der alle 10—20 Sekunden hervorsprudelnde Wasserstrahl bringt ordentliche Sandwolken mit sich. Solch kraterartige Stellen, von wo der Wasserstrahl mit mehrweniger Kraft hervordringt, sind hier mehrere. Dieses Naturschauspiel

geht nicht in gleichen Interwallen vor sich, sondern erfolgt oft mit größter Vehemenz nacheinander und dauert mitunter bloß einige Sekunden.

Nicht weit von diesem Ort, einige Meter südlich von der Biegung, stoßen wir auf die Ausbuchtung des Abflußkanals. Dieser Teil des Kanals ist derart von Schilf und Rohr überwuchert, daß die dortige Quelle bei ihrem Ursprung gar nicht zugänglich ist. Das Vorhandensein der Quelle beweist jedoch der Umstand, daß die mit ihr aufsteigenden Gase auf der ganzen Oberfläche des kleinen Teiches perlen. Die Quelle entspricht meiner Auffassung nach jener, welche KOMÁROMI in seiner Arbeit als „vak forrás“ (Blinde Quelle) bezeichnet. (4312.)

Mit viel größerer Gewalt bricht sich die mit der Nummer 30 bezeichnete Quelle Bahn. Der runde Teich dieser Quelle ist zwar kleiner, jedoch tiefer als obiger. Im Durchschnitt ist die Quelle 3 m tief und an den Ausbruchstellen sogar 5 m. An dieser Stelle sind die am mächtigsten hervorsprudelnden Quellen des ganzen Gebietes zu beobachten. Die starken Wasserstrahlen sind hier am meisten kohlenensäurehaltig. Wie aus dem bis zum Boden durchsichtigen Wasser des Teiches zu ersehen ist, dringt das Wasser aus der 50 cm im Durchmesser erreichenden Öffnung mit solcher Gewalt hervor, daß es sogar 2—3 cm über die Oberfläche steigt, wo sich die kleineren und größeren Gasblasen verflüchtigen. Die Wasserstrahlen führen naturgemäß ein größeres Quantum von reinen Quarzsand mit sich, welcher sich langsam sowohl im Teiche als auch in dem Abflußkanal ablagert. In dem kleinen Teiche sind mehrere solche Ausbruchstellen des Wassers vorhanden.

Den bisherigen ähnlich ist die mit Nummer 31 bezeichnete Quelle, welche in demselben Kanal nur einige Meter weiter unten zutage tritt. Das Wasser ist nicht so reich an Kohlensäure, auch sprudelt es nicht so stark hervor, ansonsten stimmt es mit den übrigen Quellen überein.

Das Wasser sämtlicher Quellen hat die gleiche Temperatur. Ich nahm die Messungen im Kahne, bei jeder einzelnen Ausbruchstelle vor und kam zu dem Ergebnis, daß sowohl die Quelle Nr. 28 und Nr. 30 als auch die Quelle Nr. 31 22° C aufweist.

Von sämtlichen Quellen fließt das Wasser in einen Graben, welcher dasselbe westlich und dann nordwestlich von der letzten Quelle in die Richtung der Réttalom (Wiesenmühle) und der Gemeinde Naszály zu leitet. Nicht weit von der mit Nummer 31 bezeichneten „Fényes“-Quelle erweitert sich der Graben, welcher demzufolge zum Baden geeignet ist. Ungefähr in der Mitte zwischen dieser kleinen Badestelle und der Réttalom erweitert sich der Kanal abermals und es werden hierher große Mengen von Hanf zum Weichen gebracht. Zwischen den beiden erweiterten Kanalteilen fließt das Wasser in einem 6·5 m breiten, durchschnittlich 0·4 m tiefen Kanal und legt in der Minute ungefähr 32 m zurück. Auf Grund dieser beiläufigen Zahlen läßt es sich annähernd

berechnen, daß sämtliche hier angeführte Fényes-Quellen *in einer Sekunde insgesamt 1350 l Wasser* liefern, was einer *täglichen Menge von 116.640 m<sup>3</sup>* gleichkommt.

KOMÁROMI bemerkt in bezug auf die Wassermenge der Fényes-Quellen folgendes:

„Das kristallklare Wasser fließt unweit der Vereinigung der Quellen mit außerordentlicher Geschwindigkeit, in dem durchschnittlich 2 m breiten und 1·2 m tiefen Graben dahin und gibt 284·23 l in der Sekunde.“ (43 12.)

Wir verfügen auch über eine chemische Analyse der Fényes-Quellen, welche MATTHIAS BALLÓ in seinem Aufsatz: „Zur Frage des Trinkwassers von Budapest“ veröffentlichte. Seinen Angaben nach ist das kalkhältige Wasser frei von jedweden organischen Substanzen und reich an Kohlensäure. Seine Härte beträgt in deutschen Graden ausgedrückt 21·1—24·8. (16 127.)

Was die Radioaktivität des Wassers betrifft, hat Dr. ROMAN FROHNER erklärt, daß dieselbe eine so geringe sei, daß er weitere Untersuchungen für zwecklos hält. (47 28.)

Die chemische Zusammensetzung der Fényes-Quellen nach MATTHIAS BALLÓ: (16 127.)

1000 g Wasser der Fényes-Quelle enthält folgende Bestandteile:

	Im November 1885	Im Feber 1886
Summe der festen Bestandteile	0·4990 g	0·5020 g
Alkalizität	0·3610 „	0·3650 „
Calciumoxyd CaO	0·1333 „	0·1357 „
Magnesiumoxyd MgO	0·0774 „	0·0809 „
Chlor Cl	0·0168 „	0·0159 „
Schwefelsäure SO <sub>3</sub>	0·0406 „	0·0446 „
Salpetersäure N <sub>2</sub> O <sub>5</sub>	—	—
Ammoniak	—	—
Kohlensäure (nach Pettenkofer)	0·0290 g	0·2120 g
Oxygen auf die organischen Substanzen	0·0022 „	0 0010 „
Härte in deutschen Graden	24·1 „	24·8 „

### Der Feneketlen Tó (Bodenloser Teich).

Süd—südwestlich von den Fényes-Quellen, ungefähr in 1 km Entfernung befindet sich der sogenannte Feneketlen Tó. Inmitten der Wiesen liegt der kleine kreisförmige Teich, rings von Schilf umgeben. Sein Durchmesser beträgt 30 m. Das Wasser ist trübe und kann man daher nicht auf den Grund des Teiches sehen. Man erzählt sich Wunder von der Tiefe des Teiches, und um mir Gewißheit darüber zu verschaffen, habe ich den ganzen Teich mittels Kahn befahren. Die Maßschnur drang in der Mitte des Teiches am tiefsten, wo selbe in 10 m Tiefe im Schlamm stecken blieb. Nahe dem Teichufer hingegen war das Wasser bloß 4 m

tief. Aus den Messungen ließ sich folgern, daß das Teichbecken trichterförmig ist. Es ist anzunehmen, daß die den Boden des Teiches ausfüllende Schlammschicht einige Meter beträgt, aber ich schätze seine Mächtigkeit doch nicht höher als auf 2—4 m, demzufolge die Tiefe des Teiches mit 12—15 m zu berechnen ist.

Aus dem Teiche kommt bloß eine kleine Wasserader und wenn das Wasser nicht auch an anderen, ringsum befindlichen morastigen Stellen durchsickert, sondern bloß durch den kleinen Graben abgeleitet wird, so ist die Quelle des Teiches gegenwärtig schon sehr unbedeutend. Daß die Quelle in der Vergangenheit bedeutend mehr Wasser hatte, beweist die Tiefe des Trichters.

Die Temperatur der Quelle betrug in der Mitte des Teiches gemessen 22° C bei einer Atmosphäre von 24° C. Ob das Wasser an und für sich 22° C hat, oder aber von der Sonne erwärmt wurde, konnte ich nicht bestimmt feststellen.

Ich halte für sehr wahrscheinlich, daß diese Quelle den übrigen ähnlich ist, trotzdem ich auf der glatten Oberfläche des Teiches nicht die geringste Bewegung bemerkte; ebenso konnte ich das Aufsteigen des Wassers nicht sehen.

Sowohl die „Fényes“-Quellen, als auch der „Feneketlen tó“, haben ihren Ursprung in einer NNO—SSW-lichen Hauptbruchlinie, welche parallel mit jenen zwei Bruchlinien läuft, von denen die eine sich am westlichen Rande des mesozoischen Felsens dahinzieht, während die andere die Quelle des Pfarrgartens durchquert. Die Querbrüche betreffend gehört der Feneketlen tó in jene Bruchlinie, welche die I. abgesunkene Scholle des mesozoischen Felsens begrenzt. Bei den „Fényes“-Quellen aber kommen wir auf jene Bruchlinie zurück, von welcher bei der III. abgerutschten Scholle die Rede war. Die Quellen hier brechen also wie die meisten starken Quellen bei der Kreuzung zweier Bruchlinien hervor, weshalb sie auch so reich an Kohlensäure sind. Die aus dem mesozoischen Kalkstein stammenden Quellen gelangen durch die pontisch-pannonischen Schichten und dünnen Ablagerungen des Holozäns hindurch an die Erdoberfläche.

#### Gemeisselte und gegrabene Brunnen artesischen Charakters.

Auch die Brunnen der wasserreichen Stadt weichen von den gewöhnlich bekannten Brunnentypen ab, weshalb wir, wenn auch nicht alle, so doch einige davon erwähnen wollen. Der Wasserstand der Brunnen, welche auf dem Kalksteinhügel und zwar in der Umgebung des Piaristengymnasiums, in der Fazekas-Gasse, am Kossuth- oder Hauptplatz und in den nahen Gärten in Jura- und Kreidekalkstein gegraben sind, behauptet überall das gleiche, absolute Niveau, unabhängig davon, wie hoch der betreffende Brunnen über dem Meeresspiegel gelegen ist.

Eigene Beobachtung und eingesammelte Daten führten zu dem interessanten Resultat, daß in höher gelegenen Brunnen der Wasserspiegel tiefer und umgekehrt, in tiefer gelegenen Brunnen der Wasserspiegel näher zur Erdoberfläche anzutreffen ist. Dies weist darauf hin, daß sämtliche Brunnen dieser Gegend unter ein und demselben hydrostatischen Druck stehen, daher auch ihr Wasserstand mit vereinzelt kleinen Abweichungen der gleiche ist und überall dieselbe Höhe über dem Spiegel des Adriatischen Meeres erreicht. Dies war der Beweggrund, warum ich die Brunnen in gewisser Beziehung mit den artesischen Brunnen vergleiche. Die in Stein gearbeiteten Brunnen nenne ich „gemeißelt“, die in losen Schichten befindlichen „gegraben.“

Pünktliche Daten habe ich über den gemeißelten Brunnen im Hofe des Ordenshauses der Piaristen. Dieser wurde im Jahre 1833 angelegt. Als man nach schwerer Arbeit bis zur Tiefe von 20 m gelangte und angeblich noch weiter bohrte, traf man plötzlich auf eine mächtige Quelle, deren Wasser im Schachte die Höhe von 10 m erreichte. Kräftiges Pumpen verursachte kein Sinken des Wassers. Die Öffnung des Brunnens liegt 154 m ü. d. Adria, der Wasserspiegel erwies sich 10 m tiefer, also in ein einer Höhe von 144 m als beständig. Der Brunnen ist in Liaskalkstein gemeißelt, aber nachdem derselbe hier nicht sehr mächtig ist, dürfte sein Wasser schon vom Dachsteinkalk herrühren. Die Temperatur des Wassers beträgt 15° C. Ein ähnlicher Brunnen ist der BARTHA-Brunnen, welcher sich nahe zum alten Gebäude des Gymnasiums in einer kleinen Sackgasse befindet und gleichfalls in den Jura- oder vielleicht Dachsteinkalk hinabreicht. Dieser Brunnen ist nur circa 2 m tiefer gelegen, so daß der Wasserspiegel bloß 8 m von der Erdoberfläche entfernt ist, daher auch das Wasser dieses Brunnens bis in die Höhe von 144 m gedrückt wird. Angeblich fließt das Wasser unweit des Brunnengrundes seitlich ein und kommt aus einer größeren Höhle, deren Teich den Brunnen speist. Das Wasser hat 15° C.

Ebenfalls in Jurakalkstein gehauen ist der Gemeindebrunnen vor dem Gebäude des Stuhlrichteramtes, welcher mit den übrigen Brunnen übereinstimmt, mit Ausnahme der Wassertemperatur, welche bei einer Atmosphäre von 5° C gemessen, bloß 12° C hat.

Südwestlich von diesen Brunnen, in der abgesunkenen neokomen Kalksteinscholle sind ebenfalls gemeißelte Brunnen anzutreffen. Bei diesen ist der Wasserspiegel aber schon etwas tiefer gelegen. Ein solcher ist der in der Fazekas-Gasse vor dem Hause Nr. 29 befindliche Brunnen, welcher Vöröskút (Roter Brunnen) genannt wird und angeblich 10 m tief ist. Die Temperatur des Wassers beträgt 17° C. In derselben Gasse, in einzelnen Höfen der Häuser sind noch ähnliche Brunnen, deren Tiefe angeblich zwischen 8—13 m variiert. In Jurakalkstein ist auch der am Hauptplatz, vor der röm.-kath. Kirche befindliche Brunnen gehauen. Der Brunnen liegt zirka 142 m über dem

Meeresspiegel und hat schon 2 m unter der Erdoberfläche Wasser. Der Brunnen ist sehr ausgiebig. Das Wasser hat 13° C.

Wie aus Vorausgegangenem ersichtlich, gehören diese Brunnen gewissermassen schon zu den lauen Thermalwässern, indem sie im Vergleiche zu der jährlichen Durchschnittstemperatur der Atmosphäre, doch um 2—5° C wärmer sind. Es steht außer Zweifel, daß sich diese Brunnen unter hydrostatischem Drucke befinden, indem ihr Wasser bis in die Höhe von 139—144 m über dem Meeresspiegel hinaufsteigt.

Einen ähnlichen Charakter haben zwei andere Brunnen, welche nicht in Kalkstein gehauen, sondern in den unter einer dünnen Pleistozändecke lagernden pontischen Ton (Lehm) gegraben sind. Beide Brunnen befinden sich in der Nagykert-utca (Große Gartengasse) nahe zueinander; der eine im Hofe des Hauses Nr. 53, der andere im Hause der Milchgenossenschaft. Die Brunnen befinden sich 138 m über der Adria und sind beide bloß 5—6 m tief. Es ist mir nicht bekannt, ob man auf ihrem Grunde nicht bereits auf Dachsteinkalk stieß; doch scheint es nicht ausgeschlossen, daß sie ihr Wasser direkt aus diesem Gestein gewinnen. In beiden Brunnen dringt das Wasser bis an die Erdoberfläche und läuft über. Aus dem einen fließt das Wasser in den vor der Schmiede befindlichen Graben, aus dem andern läuft es aus dem Brunnenrohr, welches in circa 1 m Höhe angebracht ist. Das Wasser dieses rieselnden Brunnens ist eisenhaltig und beträgt täglich ungefähr 12 m<sup>3</sup>. Die Temperatur beider Brunnenwasser beträgt 14° C.

#### Schwefelwasserstoffhaltige Quellen.

In Tata-Tóváros sind uns zwei solche Quellen bekannt. Die eine gehört zu Tóváros und liegt zwischen den beiden Schwestergemeinden, die andere befindet sich ungefähr 200 m weiter westlich in Tata, neben der Einfriedung der herrschaftlichen Gärtnerei, am Ende des Gartens, welcher zur Wohnung des Domänen Direktors gehört. Erstere nennt man mit Bezug darauf, daß das Wasser — abgesehen von der Zeit, wo der große Teich entwässert wird — fortwährend überläuft: „Büdös Csurgó“ (Stinkender Riesel), während die zweite unter dem Namen „Büdöskút“ (Stinkbrunnen) bekannt ist, aus welchem das Wasser entweder geschöpft oder gepumpt wird.

Die Umgebung des Büdöskút-Brunnens wird eben nach dem Brunnen, Büdöskút-Rain genannt. Dr. AURÉL LIFFA hörte auch von einem Brunnen, welcher sich angeblich am Rande des großen Teiches, in der Nähe der herrschaftlichen Geflügelzuchterei befindet. (41 143.) Ich konnte diesen Brunnen weder finden, noch Aufschluß über denselben erlangen. Wahrscheinlich handelt es sich um den Brunnen vom Büdöskút-Rain und beruht die Angabe Dr. LIFFA's auf einem Irrtum.

Ob die zwei schwefelhaltigen Quellen gemeinsamen Ursprunges sind, darüber können Zweifel auftauchen. Auf den juvenilen Ursprung

der Búdöskút-Quelle deutet der Schwefel hin, als einem Bestandteil des Wassers, der — falls er nicht aus der Zersetzung organischer Substanzen her stammt — für diese Kategorie bezeichnend ist. Es ist zwar zu bemerken, daß die Quelle keinen bedeutenden Schwefelgehalt aufweist, hingegen aber bekannt, daß trotz der sonst konstanten Zusammensetzung der juvenilen Quellen, gerade das Schwefelhydrogengas sich mit der Zeit vermindern kann. Seiner Temperatur nach ist die Búdöskút-Quelle zu den lauen Thermen zu rechnen, nachdem sie beim Abflusse  $18^{\circ}$  C zeigt.

Diese Quellen erinnern vielfach an jene von Dunaalmás, wo nach Angabe von LIFFA zwei schwefelige Quellen vorkommen. Die eine unweit der Bahnstation von Dunaalmás ist im Besitze der Abtei von Klosterneuburg, die andere, östlich von ersterer in der Nähe der reformierten Kirche gelegen, tritt am Ufer der Donau hervor. (32150.) Die Wassermenge dieser Quellen übertrifft jene der Quellen von Tatatóváros und auch ihre Temperatur ist höher:  $22^{\circ}$  C.

Die Quelle des Búdöscsurgókút bricht unbedingt längs der die mesozoische Scholle durchquerenden Bruchlinie hervor, wo den abgerutschten Neokomkalkstein pontisch-pannonische Sedimente und weiterhin eine dünne Holozänschichte decken.

Die Wassermenge der Quelle konnte ich nicht messen, da der Nagy Tó im Herbst entwässert wurde, in welchem Falle das Wasser nicht bis zum Ausflußrohr hinaufsteigt. Es beginnt aber von neuem gleichmäßig zu rieseln, sobald durch Füllung des Nagytó der nötige hydrostatische Druck gesichert wird.

Beiläufiger Schätzung nach, entsprechend des dünnen Wasserstrahles, der aus dem eingemauerten Rohre dringt, gibt die Quelle in der Sekunde ungefähr 0.15 l Wasser.

Die zweite Quelle, deren Wasser nach Schwefel riecht: ist der Búdöskút. Dieser Brunnen liegt schon etwas entfernter vom pleistozänen Ufer und befindet sich inmitten sumpfiger Wiesen. Das Wasser steht im Brunnen 0.5—1 m unter der Oberfläche und wird meistens geschöpft, weil die Pumpe nicht immer funktioniert. Es ist nicht ausgeschlossen, daß das Wasser, wie jenes der ersten Quelle, juvenil ist. Dagegen spricht aber seine niedere Temperatur, welche im Herbst, bei einer Atmosphäre von  $5^{\circ}$  C bloß  $12.5^{\circ}$  C erreichte. Außerdem macht die Umgebung des Brunnens den Eindruck, als ob der Schwefelgehalt des Wassers eher von der Zersetzung organischer Substanzen des benachbarten Oberbodens, als aus der Tiefe der Erde herrühren würde. Schädlich ist der Genuß der Quelle auf keinen Fall, die Mineralquelle wird in der Gemeinde mit Vorliebe benützt. Die genaue chemische Analyse beider schwefelhaltigen Quellen wäre jedenfalls sehr erwünscht. KOMÁROMI erwähnt auch zwei schwefelhaltige Quellen, von denen eine zweifellos mit dem von uns bereits beschriebenen Búdöscsurgókút-Brunnen identisch

ist, die andere östlich von der Cifra-Mühle, am Boden des aus dem Teiche kommenden Abflußkanals hervortreten soll. Von dem Vorhandensein der letzteren hatte ich seiner Zeit leider keine Kenntnis und unterblieb daher die Besichtigung derselben. Die Quelle übt angeblich Brechreiz aus, sie hat den unangenehmen Geruch verdorbener Eier und auch einen schwach säuerlichen Geschmack. Die Temperatur des Wassers hat 20° C. (43 19.)

In Bezug auf die Herkunft des Schwefelgehaltes der Quellen bemerkt KOMÁROMI, daß derselbe aus der Zersetzung organischer Substanzen herkommen dürfte. Der organische Schwefelwasserstoff mischt sich aber jedenfalls mit thermalem Wasser, so daß man es hier mit Mineralquellen gemischten Charakters zu tun hat.

Schon um in diese Frage Klarheit zu bringen, wäre es angezeigt, die schwefelhaltigen Quellen von Tatatóváros zum Gegenstand weiteren Studiums zu machen.

#### Einige kalte Quellen und gewöhnliche Brunnen.

Sowohl am westlichen Rande des Felsens, als auch in den umliegenden Gärten gibt es zahlreiche gegrabene Brunnen, oder auch nur seichte Gruben, in welchen sich gewöhnliches, nicht thermales Wasser sammelt. Von dem Hause Berzsenyi-Gasse Nr. 1 bis zum Kossuth-Platz Nr. 18 befinden sich im Hofe oder Garten fast sämtlicher Häuser Brunnen, deren Temperatur 6—9° C beträgt. Ähnlich sind die Verhältnisse in der Umgebung des Pfarrgartens, wo in dem seicht gegrabenen Gruben der benachbarten Gärten die Temperatur des Wassers bei einer Atmosphäre von 5° C gemessen, bloß 6—10° C betrug.

Auch im Kertekalja-Tale, wo wir Schritt für Schritt auf Thermen stoßen, gibt es einige kalte Quellen, welche nur 6—9° C haben. Da die Brunnen gewöhnlich bloß 1 m tief sind und das Wasser meistens bis an die Oberfläche reicht, ist ihre Temperatur jährlichen, ja sogar täglichen Schwankungen unterworfen.

Trotzdem die Temperatur dieser Brunnen die Temperatur der neutralen Zone dieses Gebietes kaum erreicht, bleibt die Entscheidung, ob nicht dennoch wenigstens bei einem Teil dieser Brunnen auch thermales Wasser sich dem Grundwasser beimischt, weiteren diesbezüglichen Untersuchungen vorbehalten.

Am südlichen Abhange des Hügels untersuchte ich zwei Brunnen, von welchen sich der eine vor dem Hause Nr. 10 der Környei-Gasse befindet, der andere der am Viehmarkt gelegene städtische Radbrunnen ist. Das Wasser beider Brunnen hat 11° C. Auffallend ist die Tiefe des letzteren, welche angeblich 35 m beträgt; das Wasser steht darin 12 m hoch. Dieser Brunnen ist nach der Karte von Prof. KOCH in Kreidekalkstein gehauen.

Am südwestlichen Rande des Nagytó untersuchte ich gleichfalls

zwei gegrabene Brunnen, von welchen der eine — in der herrschaftlichen Meierei an der Grenze des Kalktuffs befindliche — sein Wasser aus den pontischen Ablagerungen unterhalb des pleistozänen Sandes bekommt. Der andere Brunnen befindet sich neben der herrschaftlichen Geflügelzuchterei. Die Temperatur des ersteren beträgt  $13^{\circ}$  C, der Brunnen ist angeblich 8 m tief und der Wasserstand 4 m, während der andere Brunnen bloß 5 m Tiefe und eine Wassersäule von ungefähr 3 m aufweist. Das kristallklare Wasser im Garten des Ordenshauses der Kapuziner, nahe zum nordwestlichen Ufer des Nagytó kommt aus Kalktuffschichten. Die Temperatur des Brunnenwassers hat  $13^{\circ}$  C. Die namentlich angeführten Brunnen verdienen insofern besondere Beachtung, als ihre Temperatur die jährliche Durchschnittstemperatur ( $10^{\circ}$  C) um 1—2 Grade übertrifft.

#### VI. ÜBERSICHT UND ZUSAMMENFASSUNG DER BESCHRIEBENEN QUELLEN.

Bevor ich die aufgezählten Quellen ihrer gemeinsamen Eigenschaften nach zusammenfasse, sei es mir gestattet, die wesentlichen Daten in der umstehenden Tabelle vorzuführen (siehe pag 83—85 [49—51]).

Die Umgebung von Tatatóváros ist eine Gegend, die ihresgleichen sucht. Die herrlichen Quellen, welche hier aus der Tiefe der Erde in so großer Zahl und verhältnismäßig in beschränktem Umkreis hervorbrechen, erregen jedermanns Bewunderung. Die größten Thermen kommen aus der oberen Trias, deren Schichten sowohl im Gerecse-, als auch im Vértes-Gebirge das Grundgestein bilden und teilweise aus Dachsteinkalk, teilweise aber aus Hauptdolomit bestehen. Die Gipfel des Gebirgszuges am östlichen Rande des Beckens erreichen — von Süden gegen Norden — folgende Höhen: der Nagysomlyó-Berg 415 m, der Dobó-Berg, nördlich von Ágostyán 412 m und der östlich befindliche Gorba von Ágostyán 431 m, der Gorba von Tardos 506 m, der Hügelzug zwischen Tolna und Szóllós 300—548 m. und zwar: der Bartosvég 537 m, der Öreg Kovács 503 m, der Hólyagos-Berg 448 m. Dann das zwischen Felsőgalla und Bodajk aufgebaute Grundgebirge, sowie Felsőcsákány 415 m, Körtvélyes 481 m, Hiú-Berg 422 m, der Rote Berg von Gesztés 418 m und Wolfstriebe 404 m. Der alte Bükk oberhalb der Burgruine Csákvár 422 m, die Berge bei Pusztaminszent 300—414 m, die Grenze des Grundgebirges oberhalb Csóka 300—400 m und der Csóka-Berg 479 m.

Während also die Anhöhen und Gipfel des Gebirgszuges am östlichen Rand des Beckens von Tata 300—500 m erreichen, liegt das Becken der Quellen von Tata in einer Höhe von rund 150 m über der Adria.

Die Ausbruchstellen der Quellen befinden sich in der Höhe von 120—140 m und in einzelnen Brunnen dringt das Wasser sogar bis

## A) Tabelle der lauen Thermalquellen.

Bezeichnung der Quellen auf der Karte	Die Benennung der Quellen	Höhe über der Adria m	Temperatur °C	Wassermenge		
				in 1 Sekunde		In 24 Stunden
				Liter	Kubikmeter	
	<i>Im Englischen Park :</i>					
1.	Nagy forrás (Grosse Quelle) ---	140	20	550	0·55	47·520
2.	Kis „ (Kleine „ ) ---	140	20·5	450	0·45	58·880
	<i>Die Quellen des Nagytó (Grosser Teich) :</i>					
3.	Die grosse Burgquelle ---	127	21	183·3	0·1833	15·837
4.	Zwillingsuferquelle ---	128	19	8·3	0·0082	717
5.	„ ---	128	19	8·3	0·0083	717
	<i>Die Quellen am nördlichen Rand der Felseninsel :</i>					
6.	Der Csurgókút (Csurgó-Brunnen) ---	—	15	0·1	0·0001	8·6
7.	Die Schlossquelle ---	—	15	1·0	0·001	86·4
8.	Die Türkenbadquelle ---	—	20·5	3·5	0·035	302·4
9.	Die Piaristengartenquelle ---	—	15·0	0·6	0·0006	51·8
	<i>Plateauquellen :</i>					
10.	Lo Presti-Quelle ---	140	19·0	10·0	0·01	864·0
	<i>Die Quellen unterhalb der Gärten .</i>					
11.	Die Kismosó-Quelle ---	140	18·5	8·4	0·0084	7·257
12.	Der Csurgó-Brunnen der Kismosó-Quelle ---	—	18·0	0·15	0·00015	13·0
13.	Die Quelle des MICHAEL PÁCZ (Kocsi-Gasse Nr. 19) ---	—	15·0	0·2	0·0002	17·2
14.	Die Quelle des SIGISMUND BARNA (Nagykert-Gasse Nr. 21) ---	—	16·0	0·2	0·0002	17·2
15.	Die Quelle des JAKOB SCHWARZ (Komáromi-Gasse Nr. 4) ---	—	11·0	0·15	0·0015	13·0
16.	Die Quelle des KELLNER ZSIGMOND (Komáromi Gasse Nr. 6) ---	—	13·5	0·15	0·00015	13·0
17.	Kökút(Steinbrunnen)quelle (im Kökút-köz) ---	138	18·0	0·54	0·00054	46·4
18.	Die Quelle des ALEXANDER HANÁK (Komáromi Gasse Nr. 14) ---	—	15·0	0·94	0·00894	81·2
19.	Die Pöce-Quelle (Komáromi-Gasse Nr. 16) ---	—	20·5	4·0	0·004	345·6
20.	Die Quelle des BODROGI (Komáromi-Gasse Nr. 18) ---	—	20·5	9·0	0·009	777·6
21.	Die Quelle des ALEXANDER NAGY (Komáromi-Gasse Nr. 24) ---	—	20·5	15·0	0·015	1296·0
	<i>Die westlichen Quellen der Felseninsel :</i>					
22.	Die Quelle im Hofe der jüdischen Schule ---	—	18·5	0·3	0·0003	25·9

Bezeichnung der Quellen auf der Karte	Benennung der Quellen	Höhe über der Adria m	Temperatur °C	Wassermenge		
				in 1 Sekunde		in 24 Stunden
				Liter	Kubimeter	
23.	Der MENICH-Brunnen	131	17.0	0.25	0.00025	21.6
24.	Die SZALAY-Quelle (Fürdő-(Bad)- Gasse Nr. 6)	—	12.5	0.25	0.00025	21.6
<i>Die Quellen der ebenen Gartenfläche:</i>						
25.	Die Quelle des Pfarrgartens	—	20.5	3.0	0.003	259.0
26.	" " " STEPHAN HERCZEG (Komáromi-Gasse Nr. 37)	—	17.0	0.6	0.0006	52.2
27.	Die Quelle des ANTON SZLUKOVÉNYI (Komáromi-Gasse Nr. 33)	—	15.0	0.5	0.0005	43.0
<i>Die „Fényes“-(Glanz)-Quellen:</i>						
28.	Die grosse „Fényes“-Quelle von Tóváros	119.5	22.0	1350.0	1.35	116640.0
29.	Die kleine „Fényes“-Quelle von Tóváros	119.5	22.0			
30.	Die grosse „Fényes“-Quelle von Tata	119.0	22.0			
31.	Die kleine „Fényes“-Quelle von Tata	119.0	22.0			
32.	Die Quelle des Feneketlen tó (Bo- denloser Teich)	120.0	22.0			
<i>Gemeißelte und gegrabene Brunnen artesischen Charakters:</i>						
33.	Der Piaristenbrunnen	154.0	15.0			
34.	Der BARTA-	153.0	15.0			
35.	Der Vörösbrunnen (Farkas-Gasse)	151.0	17.0			
36.	Der Gemeindebrunnen vor dem Stuhlrichteramt	—	12.0			
37.	Der Hauptplatzbrunnen vor der Kirche	142.0	13.0			
38.	Der Brunnen in der Nagykert- Gasse Nr. 5)	138.0	14.0	0.1	0.0001	8.6
39.	Brunnen der Milchgenossenschaft	138.0	14.0	0.14	0.00014	12.0
<i>Schwefelhaltige Quellen:</i>						
40.	Der Búdös Csburgó-Brunnen	128.0	18.0	0.15	0.00015	13.0
41.	Der Búdös-Brunnen	126.0	12.5	—	—	—
	Die Búdös-Quelle vor der Czifra- Mühle	—	—	—	—	—



Kalkes erhielten gleichzeitig auch ein stärkeres Gefälle gegen Westen, respektive Norden, wodurch das Hervorbrechen der Quellen nur begünstigt wurde. So entstanden die in nahezu geraden Linien verlaufenden Quellenserien, deren auffälligste im Kertekalja-Tal zu beobachten ist.

Auch die Wassermenge der Quellen ist auf tektonische Gründe zurückzuleiten, es läßt sich feststellen, daß die reichsten Quellen an solchen Stellen hervortreten, wo die Hauptbruchlinien von Nebenbrüchen durchkreuzt werden. Diese in Kreuzpunkten aufsteigenden Quellen besitzen auch eine höhere Temperatur, da sie sich offenbar mit weniger vadosem Wasser vermischen. Für den vorwiegend juvenilen Ursprung der Quellen spricht auch die chemische Analyse, nach der Calciumphosphat, Calciumfluorid und Silicate für das Wasser bezeichnend sind, was mit einigem Vorbehalt auch für die schwefeligen „Büdös“-Quellen gültig ist.

Da sich aber sämtliche Quellen auf ihrem unterirdischen Weg mit mehr-weniger vadosem Wasser vermengen, sind sie als Quellen gemischten Charakters zu bezeichnen.

Die schwache Radioaktivität der Quellen läßt sich außer ihrem vadosen Charakter auch damit erklären, daß sie aus einer solchen Kalkstein-Dolomitengegend stammen, in deren Nähe weder Granit noch Urschiefer lagert. Die Radioaktivität der Quellen aber hängt hauptsächlich mit dem Granit und den Nebenbestandteilen desselben, sowie Monazit, Horit u. s. w. zusammen. Ihrem gemischten Charakter entsprechend ist die laue Temperatur der Quellen auch verschieden, abgesehen von jenen Bassins und seichten Gruben, in welche bedeutende Mengen des obersten Grundwassers gelangten und die gewöhnlich die Temperatur der umgebenden Atmosphäre annehmen. Der Wärmegrad der übrigen Quellen wechselt zwischen 12—22° C.

Die durchschnittliche Jahrestemperatur der Luft beträgt 10° C, weshalb die einen höheren Wärmegrad aufweisenden Wasser von den normalen Verhältnissen abweichen.

Einige Quellen des Kertekalja-Tales, dann die Wässer, welche aus dem Kalkstein hervordringen und schließlich die Quelle des „Büdöskút“ besitzen eine Temperatur von 12—13° C.

Die 13° aufweisenden Wässer brechen aus pontischen Schichten hervor. 14° C haben die bis zum Niveau der Nagykert-Gasse heraufdringenden zwei Brunnen, deren Wasser aller Wahrscheinlichkeit nach aus dem Dachsteinkalk herrührt und sich mit aus den pliozänen Ablagerungen stammendem Wasser mischt.

Eine Temperatur von 15—17° C haben die Quellen am nördlichen Rande des Felsens und im Kertekalja-Tale. Einen ähnlichen Wärmegrad besitzen die beiden Quellen des Laposkert, der MENICH-Brunnen und die in Jurakalkstein gemeißelten Brunnen.

Die Kismosó-Quelle und der in der Nähe befindliche Csurgó-Brunnen, der Steinbrunnen und der Büdöscsurgó haben 18° C.

Die zwei kleinen Quellen des Nagytó, sowie die Lo Presti-Quelle haben bei ihren Ausfluß 19° C.

Die Temperatur von 20—21° C erreichen die meisten Quellen und zwar: die Quelle im Englischen Park, die Quelle des Türkenbades; im Kertekalja-Tale die Pöce-, BODROGI- und die beim Hause von ALEXANDER NAGY hervorbrechende, Quelle im Garten der röm. kath. Pfarre. Die Höchsttemperatur von 22° C weisen sämtliche „Fényes-Quellen“ auf.

Sämtliche angeführte laue Quellen dürften ursprünglich 22° C besitzen und hängt ihre wechselnde Temperatur nur davon ab, in welchem Maße Grundwasser dazu kommt. Interessant ist auch die Beobachtung der Kohlensäurebläschen, nämlich je kohlenensäurehaltiger die Quellen sind und eine je grössere Wassermenge sie haben, umso höher ist ihre Temperatur und mit umso größerer Kraft brechen sie hervor. Das läßt sich in erster Linie an den drei „Fényes-Quellen“ beobachten, dann auch an den beiden Quellen des Englischen Parkes, an der Quelle des Türkenbades und an den wärmeren Quellen des Kertekalja-Tales. Von den mit größter Kraft hervorsprudelnden Quellen will ich die kleine Quelle des Englischen Parkes und die mit Nr. 30 bezeichnete „Fényes“-Quelle besonders hervorheben, deren Wasser sich — eine zwei bis drei Meter mächtige Wassersäule durchdringend — 1—2 cm über den Wasserspiegel erhebt.

Die Quellwässer sind ursprünglich alle kristallklar. An den Ausbruchstellen schweben die weißen Quarzkörner gleich Wolken in dem Wasser, um sich alsbald am Boden der Becken niederzulassen, wo sie im Umkreis der Quelle einen blendend weißen Teppich bilden. Ammoniak, Nitrate, Nitrite, sowie jedwelche organische Substanzen sind in dem vollkommen reinen Wasser nicht einmal in Spuren vorhanden, weshalb das Wasser in gesundheitlicher Richtung vollkommen einwandfrei ist. Der Kohlensäuregehalt desselben aber trägt dazu bei, das Wasser zum Trinken und Baden besonders geeignet zu machen.

Diese Äußerung beschränkt sich natürlich nur auf die Quellen, deren Wasser chemisch analysirt wurde, doch glaube ich, daß bei keiner der Quellen ein bedeutender Unterschied zu beobachten wäre. — Besonders wichtig ist der Wasserreichtum dieser Gegend. Wenn wir die Quellen nach abnehmender Wassermenge zusammenstellen, gelangen wir zu nachstehender Tabelle:

## Die Wassermenge der lauen Thermalquellen.

Bezeichnung der Quellen auf der Karte	Benennung der Quellengruppen	Wassermenge		
		in 1 Sekunde	in 24 Stunden	
		Liter	Kubikmeter	Kubikmeter
28, 29, 30, 31, 32	„Fenyés“-Quellen	1000—1400	1·0—1·4	86.400—120.960
1, 2	Die Quellen im Englischen Park	1000—1200	1·0—1·2	86.400—103.680
3, 4, 5	Die Quellen im Grossen Teiche	170—200	0·17—0·2	14.688—17.280
11—21	Die Quellen des Kerekalja-Tales	40—50	0·04—0·05	3456—4320
10, 22, 23, 24	Die Lo Presti- und in der Nähe befindlichen Quellen	10·5—11	0·0105—0·011	909—950
6, 7, 8, 9	Die Quellen der Felseninsel	4·4—5	0·0044—0·005	380—432
25, 26, 27	Die Quellen unterhalb der Gärten	4—4·5	0·004—0·0045	345—388
38, 39	Die zwei artesischen Brunnen in der Nagykert-Gasse	0·2—0·25	0·0002—0·00025	17—21
40, 41	Schwefelhältige Quellen	0·2—0·25	0·0002—0·00025	17—21
	Quantum des ausfliessenden Quellwassers	2229·3—2870·97	2·229305—2·87097	192.612—248.052

Die gesamte Wassermenge der lauen Thermen beläuft sich auf 22·3—28·7 hl in der Sekunde, was binnen 24 Stunden 2,000.000—2,500.000 Hektoliter entspricht.

Wenn wir zu diesen Zahlen noch das Wasser der lauen und sonstigen Brunnen, sowie die Wassermenge des in den Nagytó mündenden Általér hinzurechnen, läßt sich die gesamte Wassermenge der Tatatóvároser Gegend in der Sekunde mit 35 hl, das heißt per Tag mit rund 3,000.000 hl bewerten.

#### DIE ZUKUNFT DER QUELLENGEGEND IN NATIONAL- ÖKONOMISCHER BEZIEHUNG.

Eine günstiger gelegene, von der Natur mit verschiedenen Schätzen reicher bedachte Gegend als Tatatóváros läßt sich selbst in unserem schönen Ungarlande kaum denken. Zur Entfaltung der Ökonomie und Industrie, als auch zur intensiven Betätigung des Bergbaues in der weiteren Umgebung bietet sich hier die schönste Gelegenheit, wozu die Ausgestaltung der nötigen Verkehrswege bloß eine Frage der Zeit wäre, mit der gleichzeitig der Handelsverkehr Schritt halten würde, was wieder die Zahl der Bevölkerung vermehren und die Gemeinden vergrößern und sogar einigen davon ein städtisches Gepräge verleihen würde. All diese Chancen kämen auch Tatatóváros zugute, welches seiner angenehmen Lage zufolge bei richtiger Ausnützung der Quellen sich zu einem Erholungs- und Badeort ersten Ranges entwickeln würde.

Auf die gegenwärtig bestehenden Ökonomie- und Industrieverhältnisse übergehend, will ich in Kürze zusammenfassen, auf welcher Basis man die Gegend reformieren müßte, um die angegebenen Ziele ehemöglichst erreichen zu können.

Von den landwirtschaftlichen Zweigen wäre die Viehzucht, die Milchwirtschaft, Grünzeug- und Obstkultur bis zur größten Intensität zu steigern. Die Kultur von Hanf und Lein, eventuell Reis wäre ebenfalls angeraten. Neben der bereits bestehenden Fischzucht wäre auch an eine zweckmäßige Krebsenzucht zu denken. Im Zusammenhange damit wäre auf den Schutz der im Aussterben befindlichen Wasservögel ein besonderes Gewicht zu legen. Nicht zu verachtende Faktoren wären auch die Bienen- und Geflügelzucht. Zur Hebung all dieser landwirtschaftlichen Zweige würde das reichlich vorhandene Thermalwasser das seine dazu beitragen.

In industrieller Beziehung wären die verschiedenen Tonindustrien einzuführen. Bau- und Dachziegel, verschiedene Abzugsrohre, einfache Töpferwaren, gebranntes und ungebranntes Geschirr, Majolika und Steingut könnte hier erzeugt werden. Ein anderer Erwerbszweig wäre die Lederindustrie, auch Hanfspinnereien wären am Platze, ebenso wie eine Stärkefabrik und andere verschiedene chemische Anlagen, zu welchen sich das laue Wasser vorzüglich eignen würde.

Die Anwendung der vorhandenen Wasserkräfte wäre eine der wichtigsten Faktoren in diesem großzügig angelegten Entwicklungssystem der Gegend von Tatatóváros. Die höchstgelegenen Quellen befinden sich nämlich 140 m über dem Meeresspiegel, die benachbarte Gegend im Umkreis von 2—4 km erreicht bloß die Höhe von 120—130 m. Das Gefälle der Quellen beträgt daher auf 2—4 km Entfernung 10—20 m. Die Wasserkraft stand übrigens schon im 13. Jahrhundert in Verwendung, indem schon aus dieser Zeit schriftliche Aufzeichnungen über die Wassermühlen von Tatatóváros bestehen. Gegenwärtig besitzt die Gemeinde außer 11 Wassermühlen eine auf Wasserkraft basierte, jetzt eingestellte Maschinenwerkstätte, sowie eine neue Fabrikanlage. Im Nachstehenden führe ich die Wassermühlen der Reihe nach an und zwar: die Jenő-Mühle in nächster Nähe der kleinen Quelle des Englischen Parkes, an der Vereinigung der beiden Quellen, die Sándor- und Miklós-Mühle, die Mühle von Tóváros, die „Öreg Kalló“- , „Pötörke“- , Josef- und Nepomucenus-Mühle. Die erwähnte verlassene Maschinenwerkstätte befindet sich neben der Öreg Kalló-Mühle und die neue gegenwärtige Anlage wurde hinter dem Ordenshause der Kapuziner errichtet. In der Nachbarschaft desselben befindet sich die Säge, welche ebenfalls mit Wasserkraft betrieben wird. Neben dem Cseketó ist die Mühle gleichen Namens und bei dessen Abflußkanal die Pacsirta(Lerchen)mühle. Direkt am Ufer des Nagytó steht eine der ältesten Mühlen: die Cifra-Mühle. Die Mühlenindustrie besitzt also hier eine große Vergangenheit und würde bei zeitgemäßer Ausnützung der Wasserkräfte einer blühenden Zukunft entgegensehen.

In Verbindung mit der Industrie seien auch die Möglichkeiten erwähnt, die der Vertrieb der Mineralwässer, u. zw. sowohl des schwefelhaltigen, als auch des in der Nähe von Tömördpusztá vorkommenden Bitterwassers bieten würde.

Bergbau wurde seinerzeit in Tatatóváros selbst betrieben, von wo man den unter den Namen Tataer Marmor bekannten guten Baustein in den Verkehr brachte. Solche Steinbrüche waren: am Schweinemarkt im Triaskalkstein; am Kalvarienhügel im Liaskalkstein; dann oberhalb des Judenfriedhofes und in der Hullám-Gasse im Kreidekalkstein und neben dem Gymnasium im pleistozänen Quellenkalk angelegt.

An eine Neuaufnahme der Steinbruchindustrie ist teils wegen der Erschöpfung des Materials, teils wegen der dort entstandenen Stadtteile nicht zu denken.

Umso bedeutender sind die Bergwerke der Umgebung und wenn sie sich auch nicht in direkter Nähe von Tatatóváros befinden, haben sie doch einen großen Einfluß auf die Entwicklung der Stadt. Die bekannten Kohlenbergwerke liegen in Tatabánya, in Felsőgalla und Környe. In Piszke (Pisznice) und Tardos sind Marmorbrüche im Betrieb.

Der Dachsteinkalk des Gerecse-Gebirges wird für Kalkbrennereien gebrochen. Eine wichtige Rolle spielen außerdem die Steinbrüche neben Szöllös und Ágostyán, zwischen Szomod und Dunaalmás, bei Dunaszentmiklós und Süttő, wo levantinischer und pleistozäner Quellenkalkstein gewonnen wird.

Außer der Lehmgrube der Ziegelfabrik von Tóváros ist pontischer Ton und pleistozäner Löß auch noch an zahlreichen Stellen dieser Gegend anzutreffen. Außerdem sind in der Umgebung von Tatatóváros in genügender Zahl Schotter- und Sandgruben vorhanden. Zur Entwicklung intensiver Landwirtschaft, als auch zur Förderung größerer Industrieanlagen sind gute Verkehrsmöglichkeiten unerlässlich. Eisenbahn ist vorhanden, die Gegend liegt an der Hauptlinie Budapest—Bruck—Wien, auch ist die Donau in der Nähe, was der Gegend ebenfalls zum Vorteil dient. Der Donaustrom ist nur 9—10 km von Tatatóváros entfernt. Durch die Verbindung der Donau mit Tóváros mittels eines Kanals, welcher sämtliche entbehrlichen und gebrauchten Wasser von Tóváros in sich aufnehmen und zwischen Dunaalmás und Füzitő in die Donau leiten würde, kämen die Vorteile der Wasserstraße noch unmittelbarer zur Geltung. Der Kanal könnte durch ein System von Schleußen auch für die Schifffahrt zugänglich gemacht werden. Propellerartige kleinere Personen- und Frachtschiffe würden den Verkehr leicht abwickeln.

Wie bereits wiederholt erwähnt, ist die Gegend zur Etablierung einer Erholungsstätte und Badekolonie wie geschaffen. Über Wasser verfügt die Gegend in reichlichem Maße und in einer für Badezwecke sehr entsprechenden Qualität. Die Gegend ist hügelig; das Terrain zwischen Tóváros und Dunaalmás liegt 200—300 m über dem Meeresspiegel und auch südwestlich vom Tal von Tata zieht sich ein 140—200 m hohes Hügelland dahin. Die Ausgestaltung der großen Badestadt wäre jedenfalls in nördlicher Richtung, gegen Szomod und Dunaalmás zu empfehlenswert, deren Mittelpunkt, das heißt Hauptbadeanstalten bei den „Fényes“-Quellen und in der Umgebung des Csekető zu etablieren wären. Das Bad der am südwestlichen Teile zu errichtenden ruhigeren Villenkolonie würde mit dem Wasser der Kertekalja-Quellen zu versorgen sein.

Gegenwärtig wird das Wasser bloß auf die primitivste Art zum Baden verwendet und das auch nur im N gytő, in den Bassins einiger Quellen des Kertekalja-Tales und in dem Abflußkanal der „Fényes“-Quellen. Eine hübsch eingerichtete Schwimmschule befindet sich nur beim Abfluß der Quellen des Englischen Parkes, zwischen der Jenő- und der Sándor-Mühle. Als einziges Privatbad ist das alte Türkenbad zu erwähnen.

Am nördlichen Teile der Badestadt wären Fichtenanlagen zu pflanzen, nachdem der Wind von dieser Seite freien Zutritt hat. Um

dem herrschenden Wind gewißermaßen Einhalt zu gebieten, wären dichtere Alleen in NO—SW-licher Richtung anzulegen.

Bei der Anlage des großartig gedachten Luftkur- und Badeortes ließen sich auch noch die Quellen von Dunaalmás in den Kreis der Berechnungen ziehen, deren Wasser den lauen Quellen von Tatatóváros verwandt ist.

Als Ort eines projektierten großen Sanatoriums brachte ich im Jahre 1897 der betreffenden Baukommission Tata in Vorschlag. Leider wurde mein Antrag nicht berücksichtigt, vielmehr in der Gegend zwischen Vác und Esztergom Umschau gehalten. Nachdem die Erbauung dieser Anstalt bis jetzt nur als Projekt besteht und noch kein endgültiger Entschluß gefaßt wurde, erlaube ich mir dem Staate meinen Vorschlag neuerlich in Erinnerung zu bringen mit dem Ansuchen, Tata diesbezüglich zum Gegenstand eingehenden Studiums zu machen.

Wenn irgendwo im Lande, so ist bei Tata der Ort zu finden, welcher durch Naturschönheiten und vielfachen Reichtum ausgezeichnet, neben intensiverem Land- und Gartenbau, mannigfacher Industrie und regem Bergbau dazu angethan ist sich nicht nur zu einem Luftkur- und Badeort von Bedeutung, sondern auch zu einer Großstadt zu entfalten.

## LITERATUR.

1. 1818. PAUL KISS : Rövid földleírás, Bécs. (Nur ung.)
2. 1822. F. S. BEUDANT : Voyage minéralogique et géologique en Hongrie pendant l'année 1818, Vol. I—III. et Atlas, Paris, 1822.
3. 1833. W. L. : Némelly ösmeretek a Győri Püspökmegyéről. (Tudományos Gyűjtemény, 1833. évf. VI. k. p. 8—14.) (Nur ung.)
4. 1856. JOHANN SZAIFF : Tata mint volt és van. (A tatai gymn. 1855—56. évi Tudósítványa.) (Nur ung.)
5. 1857. A. KORNBUBER : Umgebung von Tata. (Verhandlungen des Vereines für Naturkunde zu Pressburg. II. Jahrg. 1. Heft. Sitzungsb., p. 53)
6. 1859. F. ROMER : Paläontologische Notizen. (Verhandl. des Vereines für Naturkunde zu Pressburg. III. Jahrg. 1. Heft. Sitzungsb. p. 16.)
7. 1859. R. PETERS : Die Umgebung von Visegrád, Gran, Totis und Zsámbék. (Jahrb. d. k. k. geol. Reichsanstalt. X. B. p. 483.)
8. 1861. M. v. HANTKEN : Geologiai tanulm. Buda és Tata között. (Math. és természettud. közlem. I. köt. p. 220 ) (Nur ung.)
9. 1865. M. v. HANTKEN : Az újszöny—pesti Duna és a fehérvárbudai vasút befogta terület földtani leírása. (Math. és természettud. közlem. III. köt. p. 391.) (Nur ung.)
10. 1870. BARON D. MEDNYÁNSZKY : A mész geológiai és technikai jelentősége Magyarországon. (A Magy. Tud. Akad. Értesítője. IV. évf. p. 146.) (Nur ung.)
11. 1871. M. v. HANTKEN : Die geol. Verh. d. Graner Braunkohlengebietes. (Mitteil. an dem Jahrb. d. kön. ung. R.-A. I. B.)
12. 1874. I. BERNÁTH : Adatok magyarországi ásványvíz-isméjéhez. (Akad. közlem. XIII. köt. p. 253—257.) (Nur ung.)
13. 1879. GUSZTAV WENCZEL : Tata fénykora. (Akad. Értekezések, VIII. köt. 9. szám.) (Nur ung.)
14. 1882. THEODOR ORTVAY : Magyarország régi vízrajza a XIII. század végéig I—II. köt. Budapest. (Nur ung.)
15. 1883. B. WINKLER : Die geolog. Verhältnisse des Gerecse- und Vértesgebirge (Földtani Közlöny. XIII. B.)
16. 1886. MATTHIAS BALLO : Budapest főváros ivóvízkérdése. (Math. és természettud. Értesítő. IV. köt. p. 123.) (Nur ung.)
17. 1886. JOSEF V. SZABO : Budapest ivóvízkérdéséhez. (Math. és természettud. Értesítő. IV. köt. p. 138.) (Nur ung.)
18. 1886. J. STOCZEK : A tatai forrásvizek lehüléséről a csatornafalakkal való érintkezés következtében. (Természettud. Közlöny. XVIII. k. p. 168. és 189.) (Nur ung.)
19. 1886. MATTHIAS BALLO : Budapest főváros ivóvízkérdéséről. (Természettud. Közl. XVIII. köt., p. 281.) (Nur ung.)
20. 1886. KARL V. THAN : A tatatóvárosi főforrás kémiai vizsgálata. (Math. és természettud. Értesítő. V. köt. p. 142 és 171.) (Nur ung.)
21. 1887. VINCENS WARTHA : A budapesti ivóvíz kérdéséhez. (Math. és természettud. Értesítő. V. köt. p. 162.) (Nur ung.)

22. 1887. KARL v. THAN: A tatatóvárosi forrásvizek elemzéséről. (Természettud. Közlöny. XIX. köt. p. 148.) (Nur ung.)
23. 1887. VINCENZ WARTHA: Az ivóvíz kérdéséhez. (Természettud. Közlöny, XIX. köt., p. 223.) (Nur ung.)
24. 1887. JOSEF STOCZEK: A meleg forrásvizek lehülése. (Természettud. Közlöny, XIX. köt. p. 223.) (Nur ung.)
25. 1888. NIKOLAUS ROHRBACHER: Tata története. I—II. Band. Tata. (Nur ung.)
26. 1900. ALEXANDER LOVASSY: A keszthelyi Hévíz tündérrózsái. (A Balaton tudom. tanulmányozásának eredményei. II. köt. II. rész, 2. szakasz. p. 41.)
27. 1902. R. GYULAI: Komárom vármegye őskora. (A komárom vm.-i és városi muzeumegylet 1901—2. évi Értesítője.) (Nur ung.)
28. 1902. EDUARD SUSS: Über heisse Quellen. (Verh. d. Ges. deutsch. Naturf. und Ärzte Leipzig und Internationale Mineralquellen-Zeitung Wien. Nr. 55—56.)
29. 1907. JOHANN STAFF: Beiträge z. Stratigraphie und Tektonik des Gerecsegebirges. (Mitth. a. d. Jahrb. d. kgl. ung. geol. R.-A. XV. B. 3. Heft.)
30. 1907. AUREL LIFFA: Geolog. Notizen aus dem Gerecsegebirge und dessen Umgebung. (Jahresbericht d. kgl. ung. geol. R.-A. für 1906. p. 187.)
31. 1907. AUREL LIFFA: Bemerkungen zur stratigraphischen Teil der Arbeit Hans v. Staffs „Beiträge zur Stratigraphie und Tektonik des Gerecsegebirges“. (Mitteil. a. d. Jahrb. d. kgl. ung. R.-A. XVI. B. 1. Heft.)
32. 1907. AUREL LIFFA: Geolog. Notizen aus der Umgebung von Nyergesujfalu und Neszmély. (Jahresb. d. kgl. ung. geol. R.-A. für 1907. p. 168.)
33. 1907. ALADÁR VENDE: Komárom vármegye községei. (Komárom vm. monografiája, p. 126.) (Nur ung.)
34. 1907. JULIUS RUISZ: Komárom vm. mezőgazdasága és állattenyésztése. (Komárom vm. monografiája, p. 176.) (Nur ung.)
35. 1907. Komárom vm. ipara, kereskedelme, közlekedése és bányászata. (Komárom vm. monografiája, p. 226.) (Nur ung.)
36. Dr. EDUARD REISZIG: Komárom vm. története. (Komárom vm. monografiája, p. 389.) (Nur ung.)
37. 1907. PANKRACIUS SÖRÖS: Komárom vidéke és Brigetio a 18. század közepén. (Komárom vm. és városi muzeum-egylet 197. évi Értesítője, p. 31.) (Nur ung.)
38. 1909. ADOLF MOHL: Tata plébánia története, Győr. (Nur ung.)
39. 1909. MORITZ PÁLFY: Über das Aufsteigen der Thermalwasser an die Oberfläche. (Földt. Közlöny, XXXIX. B. pag. 108.)
40. 1909. FERDINAND KOCH: Die geolog. Verhältnisse des Kalvarienhügels von Tata. (Földt. Közlöny, XXXIX. B. pag. 285.)
41. 1910. Dr. AUREL LIFFA: Geologische Notizen aus der Umgebung von Tata und Szóly. (Jahresbericht der kgl. ung. geolog. R.-A für 1908, pag. 156.)
42. 1910. HEINRICH HORUSITZKY: Kísérlet a pleisztocén-korszak felosztására. (A magy. kir. Földt. int. népszerű kiadványai, II köt., 3. füz.) (Nur ung.)
43. 1910. KARL KOMÁROMI: A tatai völgy földrajzi és földtani viszonyai és a völgy nevezetesebb forrásai. (A magyarországi Kegyestanítórend tatai gynnáziumának Értesítője az 1909—10. tanévről.) (Nur ung.)
44. 1911. LEONARD JACZEWSKI: Kritische Übersicht der Materialien zur Erforschung der physisch-chemischen Natur der Wasserquellen. (Mitteilungen aus dem Jahrb. d. kgl. ung. R.-A. XIX. B. 5. Heft.)

45. 1912. ZOLTÁN SCHRÉTER: Die Spuren der Tätigkeit tertiärer und pleistozäner Thermalquellen im Budaer Gebirge. (Mitteil. a. d. Jahrb. d. kgl. ung. R-A. XIX, B. 5. Heft.)
46. 1912. Dr. THEODOR KORMOS: Die paläolithische Ansiedelung bei Tata (Mitteil. a. d. Jahrb. der kgl. ung. geolog. R-A. XX. B. 1. H.)
47. 1913. ROMÁN FROHNER: A Budapest környéki alacsonyabb hőfokú hévizek radioaktivitásáról, Budapest. (Nur ung.)
48. 1912. HEINRICH HORUSITZKY: Die agrogeologischen Verhältnisse des Staatsgestütspräsidiums Kisbér. (Mitteil. a. d. Jahrb. d. kgl. ung. geolog. R-A. XX. B. 4. Heft.)
49. 1914. KOLOMAN KULCSÁR: Die mittelliassischen Bildungen des Gerecsegebirges. (Földt. Közlöny XLIV. B. pag. 150.)
50. 1914. HEINRICH HORUSITZKY: Vágselye, Nagysurány, Szencz und Tallós. (Erläuterung zu den agrogeologisch kolorierten Blättern, Zone 13, Col. XVIII. und Zone 13, Col. XVII. im Masstabe 1:75000. — Herausgeg. v. d. kgl. ung. g. R.-A.)
51. 1916. ZOLTÁN SCHRÉTER: Vorläufiger Bericht über die Untersuchung der an den Rändern des Budaer Gebirges und des Gerecse-Gebirges vorkommenden Süßwasserkalke. (Jahrb. d. kgl. ung. geolog. R.-A. für 1915, pag. 583.)
52. 1925. STEFAN FERENCZI: Daten zur Geologie des Buda-Kovácsier Gebirges. (Földtani Közlöny [Geol. Mitteilungen], 1925. IV. pag. 349.)





INHALTSVERZEICHNIS

Vorwort ..... 1

Einleitung ..... 2

1. Die Ausdehnung des Gesteins ..... 3

2. Die geologischen und stratigraphischen Verhältnisse des Thoralgebietes ..... 4

3. Tektonische Verhältnisse ..... 5

4. Die Entstehungsgeschichte des Thoralgebietes und deren Charaktere ..... 6

5. Beschreibung der einzelnen Quellen ..... 7

6a) Die Quellen der höchsten Tälern und des Nördens ..... 8

6b) Die Quelle des großen Tals ..... 9

6c) Die nördlichen Quellen des Thoralgebietes ..... 10

6d) Die Quellen des Tales, Kattfalle ..... 11

6e) Die Quellen im Westen des Thoralgebietes ..... 12

6f) Die Quellen am „Lagerort“ (Löhner, Gärten) ..... 13

6g) Die „Föhner“-Quellen ..... 14

6h) Der Föhnersee (Hörselner Talm) ..... 15

6i) Gesteine und gesteinsmechanischer Charakter ..... 16

7. Schwefelwasserstoffhaltige Quellen ..... 17

8. Kalte kalte Quellen und gewöhnliche Bäder ..... 18

9. Übersicht und Zusammenfassung der beschriebenen Quellen ..... 19

10. Die Zukunft der Hydrogeologie in geologischen Gebieten ..... 20

## INHALTSVERZEICHNIS.

---

Vorwort .....	37 (3)
Einleitung .....	39 (5)
1. Die Ansiedelungen des Quellengebietes .....	40 (6)
2. Die geologischen und stratigraphischen Verhältnisse des Thermalquellen- gebietes .....	44 (10)
3. Tektonische Verhältnisse .....	52 (18)
4. Die Entwicklungsgeschichte der Thermalquellen und deren Charakter ..	55 (21)
5. Beschreibung der einzelnen Quellen .....	58 (24)
Die Quellen des Englischen Parkes und des Nagytó .....	58 (24)
Die Quelle des grossen Teiches .....	66 (32)
Die nördlichen Quellen der Felseninsel .....	68 (34)
Die Quellen des Tales „Kertekalja“ .....	70 (36)
Die Quellen am Westrand der Felseninsel .....	72 (38)
Die Quellen am „Laposkert“ (Ebener Garten) .....	73 (39)
Die „Fényes“-Quellen .....	74 (40)
Der Feneketlen tó (Bodenloser Teich) .....	76 (42)
Gemeisselte und gegrabene Brunnen artesischen Charakters ..	77 (43)
Schwefelwasserstoffhaltige Quellen .....	79 (45)
Einige kalte Quellen und gewöhnliche Brunnen .....	81 (47)
6. Übersicht und Zusammenfassung der beschriebenen Quellen ..	82 (48)
7. Die Zukunft der Quellengegend in nationalökonomischer Beziehung ..	89 (55)

---

# TATA ÉS TÓVÁROS

hidrogeologiai térképe.

Koch N. dr. és Liffa A. dr.  
felvérelei nyomán  
készítette:

HORUSITZKY HENRIK  
1919 - ben.

Méreték: 1:25,000



Hydrogeologische Karte

von

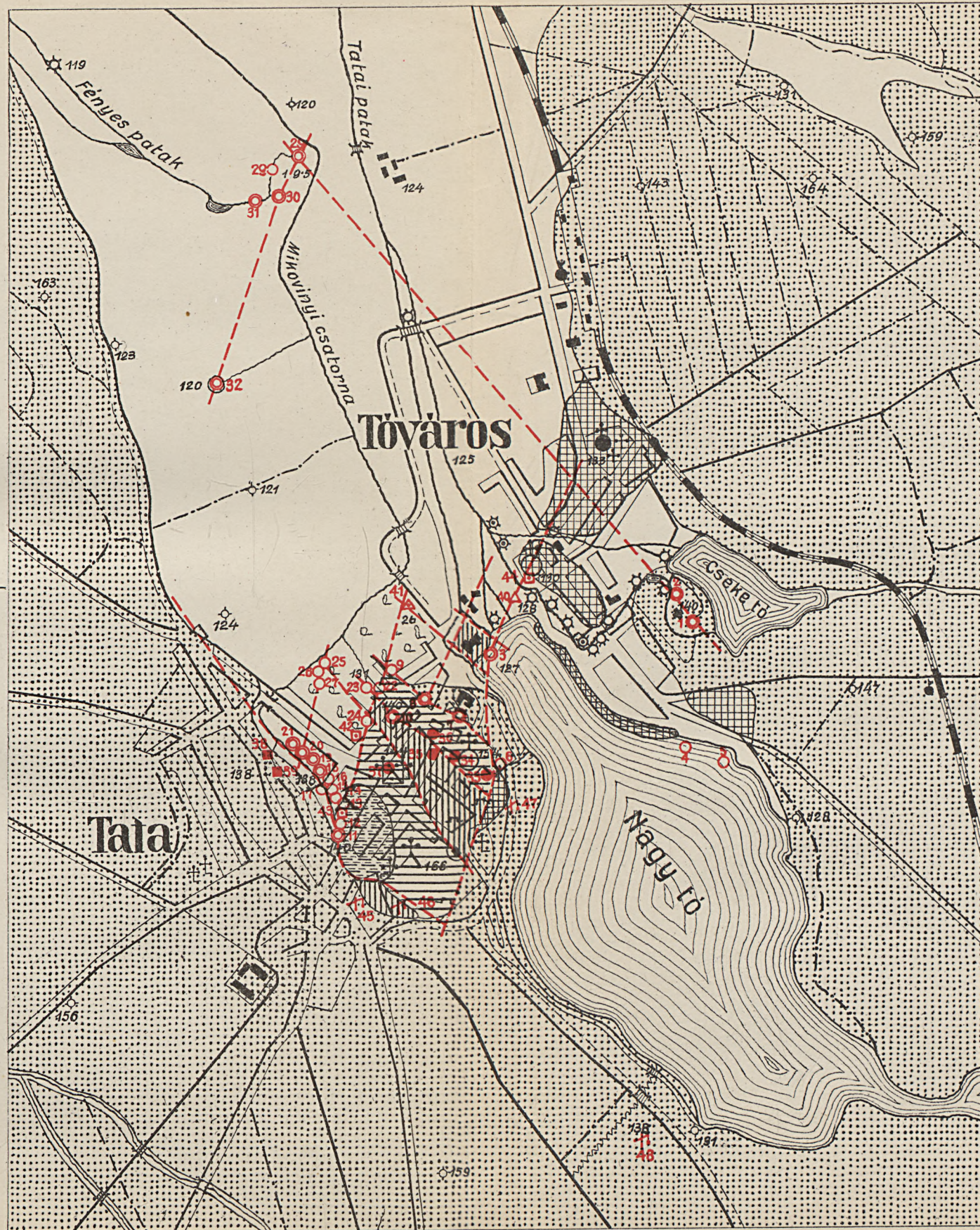
TATA UND TÓVÁROS

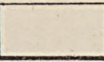
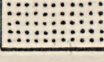
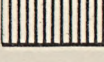
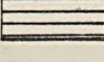
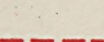
Nach Aufnahmen von  
Dr. F. Koch und Dr. A. Liffa  
entworfen von:

HEINRICH HORUSITZKY

i. J. 1919.

Massstab: 1:25,000.



-  Holocén  
*Holozän*
-  Édesvizi mészkő  
*Süßwasserkalk*
-  Plio-és pleisztocén  
takaró  
*Plio-und pleistozäne  
Decke*
-  Kréta mészkő  
*Kreidekalk*
-  Júra mészkő  
*Jurakalk*
-  Triász mészkő  
*Triaskalk*
-  Vizi malom  
*Wassermühle*
-  Ipartelep  
*Fabriksanlage*
-  Törésvonal  
*Bruchlinie*
-  Nagy hőforrás  
*Grosse Therme*
-  Kis hőforrás  
*Kleine Therme*
-  Kénés forrás  
*Schwefelquelle*
-  Kénés kút  
*Schwefelbrunnen*
-  Langyosvizű vésett  
kút  
*Gemeisselte Hemither-  
me*
-  Langyosvizű ásott kút  
*Begrabene Hemitherme*
-  Hidegvizű forrás  
*Kalte Quelle*
-  Hidegvizű kút  
*Kalter Brunnen*





4.

DIE  
LAUEN THERMEN VON EGER  
(ERLAU)

VON

ZOLTÁN SCHRÉTER

MIT DER TAFEL VII. UND 2 FIGUREN IM TEXTE.

Mitt. a. d. Jahrb. d. kgl. ungar. Geol. Anstalt, XXV. Bd. 4. Heft.

Wpisano do inwentarza  
ZAKŁADU GEOLOGII

Dział B Nr. 167

Dnia 20. II. 1947



DIE

Erschienen in ungarischer Sprache  
im Jahre 1923, als Band XXV., Heft 4. der Zeitschrift  
„A m. kir. Földtani Intézet Évkönyve“.

SOLTAJN SCHREIBER

Ausgegeben im September 1926.

MIT DER TABELLE VON DEN FUNDAMENTALEN IM TRAKTAT

1926. szeptember 15. Budapest, Magyar Tudományos Akadémia Könyvtára



Das Borsod—Heveser Bükk-Gebirge ist ein altes, aus paläozoischen und mesozoischen Schichten aufgebautes Inselgebirge, welches an den Rändern, gegen die umliegenden tertiären Becken von mächtigen Verwerfungen begrenzt wird. Entlang den, diese Randbrüche begleitenden mächtigen Verwerfungen entspringen an mehreren Punkten aus der Tiefe laue Thermen, deren Tätigkeitsbeginn offenbar noch bis Ende des jüngeren Tertiärs zurückzuführen ist. Solche laue Thermen sind die „Tapolca“ bei Diósgyőr, und die „Tapolca“ bei Görömböly, die Quellen bei Kács, die „Latorvízfő“ und die Thermen in Eger. Von den Angeführten ist eine der interessantesten und wichtigsten die Thermengruppe in Eger, die im Folgenden eingehender besprochen wird.

#### DER GEOLOGISCHE BAU DER UMGEBUNG DER THERMEN IN EGER.

Bei sämtlichen Quellenuntersuchungen ist allenfalls die Kenntnis der geologischen Verhältnisse als wichtigster Ausgangspunkt zu betrachten. Die Stadt Eger liegt am SW-Ende des Bükk-Gebirges, wo das Grundgebirge allmählig gegen das Alföld (die Große Ungarische Tiefebene) in die Tiefe sinkt; hier entspringen, im inneren der Stadt auch die lauen Thermen. (Siehe beiliegende geologische Karte und die Abhandlung Nr. 9.)

Die älteste Bildung, die in dieser Umgebung vorkommt, ist ein lichter, oder dunkelgrauer, manchmal hornsteinführender, zerklüfteter Kalkstein der *Mitteltrias*. Aus diesem sind die über die Stadt ragenden SW-Ausläufer des Bükk-Gebirges, die Berge Kiseged und Nagyeged und die etwas weiterliegende Maße des Várhegy (Schloßberg) erbaut. Es ist unzweifelhaft, daß auch in der Tiefe unterhalb der Stadt Eger derselbe Kalkstein, als Fortsetzung der Maße des Kiseged vorhanden ist, der jedoch infolge Verwerfungen tiefer gesunken und von jüngeren Bildungen verdeckt worden ist. Dieser Kalkstein ist der eigentliche Ursprungsort der lauen Thermen.

Darüber lagert der teilweise weiße, oder graulichweiße, manchmal gelbliche, oder bräunliche Kalkstein des *Obereozäns*. An der SO-Seite des Bükk-Gebirges überdeckt er in verhältnismäßig geringer Mächtigkeit den Triaskalkstein. Es ist nicht zu bezweifeln, daß auch die niedergesunkenen Triaskalksteinschollen durch ihn verdeckt sind. Eozäne

Kalke treten aus dem Oligozängebiet am „Almagyar“, nächst des Grabens unterhalb der bürgerlichen Schießstätte zutage. Diese sind hauptsächlich deswegen wichtig, weil ihr Vorhandensein einerseits die Anwesenheit einiger größerer Verwerfungen andeutet, andererseits aber, weil bekanntlich weiter unten in minderer Tiefe schon die triadischen Kalksteine folgen. Der Eozänkalkstein wird in den niedergesunkenen Teilen des Grundgebirges von den Schichten des *Unteroligozäns* überlagert. Zu unterst sind stellenweise dünne Schichten von Mergel vorzufinden; jedoch werden diese älteren Bildungen in großer Ausdehnung und Mächtigkeit von *Kisceller*-(Kleinzeller) *Ton* überdeckt. Diese Tonschichtengruppe hat in hydrogeologischer Beziehung eine besonders große Bedeutung, da sie gegen die Oberfläche die wasserabsperrende Schichte der in den Trias- und Eozänkalksteinen angehäuften Thermalwässer bildet.

Oberhalb des Kisceller Tones folgt die aus Sand, Sandstein und Ton bestehende, ziemlich mächtige Schichtenreihe des *Oberoligozäns*, die nachher vom weißem *Rhyolithuff* („mittlerer Rhyolithuff“) überlagert wird. Letzterer ist gegen S und O von der Maklarer Vorstadt in bedeutender Menge vorzufinden, woselbst darin zahlreiche Steinbrüche angelegt und Keller erbaut sind. Dasselbe Gestein bildet auch den Untergrund des westlichen Teiles der Stadt Eger. Auch der am SAMASSA-Platz gelegene, 248 m tiefe artesische Brunnen ist — nach den am Stadthaus aufbewahrten Bohrproben, mit Ausnahme der zu oberst liegenden, einige Meter mächtigen, schotterigen Sandschichte — in demselben Gestein abgeteuft.

In der Umgebung des Fertő-Tales, SW-lich von Eger sind in geringer Ausdehnung dem *Vindobonien* angehörende gelbe Sande vorzufinden; südöstlich von der Stadt, an der linken Seite des Ostoros-Tales aber erstrecken sich ebenfalls nur in untergeordnetem Maße, zur selben Stufe gehörige, marine Fossilien führende *Andesittuffe*. Im Hangenden dieser letzteren tritt an beiden Lehnen des südlichen Teiles vom Ostoros-Tal und in der Umgebung des Fertő-Berges der zur *sarmatischen Stufe* gereichte „*obere Rhyolithuff*“ zutage.

Die Schichtengruppe der *pannonischen* (*pontischen*) Stufe besteht aus wechsellagerndem Ton, feinkörnigem Sand und untergeordnetem Sandstein. In der Stadt Eger stoßt diese Schichtengruppe längs einer von N gegen S fortlaufenden Verwerfungslinie an die Oligozänschichtengruppe und an Rhyolithuff. Diese überlagert der *pleistozäne* (*diluviale*) *Süßwasserkalk*, als Ausscheidung ehemaliger Thermen. Im Tale des Eger-Flusses zieht sich eine diluviale Schotterterrasse dahin, die eine ältere Ablagerung des Flusses darstellt. Sämtliche Schichtengruppen werden in Form einer unebenen Decke, von pleistozän-holozänem, braunem Ton (*nyirok*) bedeckt, der den vorzüglichen Boden des Egerer Weinberges bildet. Zum Schluß sind im Tale des Eger-Flusses und seiner

Nebenbäche die jetzigen Fluß- und Bachablagerungen: Schotter, Sand und Schlamm vorzufinden.

### DIE TEKTONIK DER UMGEBUNG DER THERMEN UND DIE ENTSTEHUNG DER THERMEN.

Die aus paläozoischen, mesozoischen Gebilden und untergeordnetem eozänen Kalkstein aufgebaute Masse des Bükk-Gebirges ist gegen die Große Ungarische Tiefebene, beziehungsweise nach SW gegen das Mátra-Gebirge längs zahlreicher, verschieden großer Verwerfungen treppenförmig in die Tiefe gesunken. Diese niedergesunkenen Schollen wurden nachher von jüngeren Formationen, nämlich von Sedimenten des Oligozäns, Miozäns und Pliozäns überlagert. Die das Bükk-Gebirge durchquerenden Hauptverwerfungslinien liegen — zu mindest im SW-lichen Teil — in der Richtung NO—SW und sind demnach parallel dem Streichen des Gebirges, oder aber stehen sie senkrecht zu diesem und haben die Richtung NW—SO oder N—S.

Diese Verwerfungen durchschneiden nicht allein das emporragende alte Massiv des Bükk-Gebirges, sondern durchqueren zu wiederholtenmalen auch das umliegende, aus alt- und jungtertiären Bildungen erbaute Hügel-land. Die mehrfach gekreuzten Verwerfungslinien häufen sich gerade in der Nähe von Eger, am südwestlichen Rande des Bükk-Gebirges, so daß hier ein recht kompliziertes Bruchsystem entstanden ist, wo an einigen mehr geöffneten Stellen die Thermen emporsteigen. Es ist unzweifelhaft, daß die Thermen nicht aus einer einzigen Spalte, sondern einem System sich kreuzender Hauptverwerfungen und einer Anzahl kleinerer, parallel oder quer verlaufender Nebenspalten entspringen. (Siehe Fig. 2.) Diese Bruchlinien sind jedoch an der Oberfläche nicht überall sichtbar, da selbe in den leicht denudierbaren Gebilden oft ganz verschwinden. Dennoch wird die Richtigkeit der obigen Erläuterung durch das gehäufte Auftreten der Quellen erhärte, die sich in verschiedenen Richtungen gruppieren; ferner durch die Verbreitung der, den Ort einstiger Quellen bezeichnenden Süßwasserkalke. Letztere haben im großen und ganzen wohl eine N—S-liche Verbreitung, trotzdem aber ist es sehr wahrscheinlich daß, die Quellen, — welche die Kalktuffe erzeugt haben — nicht längs einer einzigen von N nach S verlaufenden Bruchlinie, sondern an den Kreuzungspunkten mehrerer NNO—SSW-licher Verwerfungen emporgestiegen sind.

Die gegenwärtigen lauen Thermen entspringen aus etwa drei parallelen NNW—SSO-lichen und aus etwa drei, die vorigen schiefwinkelig schneidenden, NO—SW-lichen Verwerfungsspalten, beziehungsweise aus deren Schnittpunkten. Wahrscheinlich sind die Thermen an jenen Stellen, wo die Spalten einander kreuzen, am ergiebigsten und am wärmsten. Am auffallendsten ist dies an den Quellen der Schwimmschule für

Männer und der Spiegelbäder zu konstatieren, wo sich die Quellen augenmerklich in der Richtung NNW—SSO rangieren. Unter den Spiegelbädern durchquert vermutlich noch ein ONO—WSW-licher Bruch die erwähnte Spalte, weil hier einerseits die Thermen auch außerhalb des Spiegelbades — im sogenannten „Groschenbade“ — in einer größeren Gruppe aufsteigen, andererseits aber die Thermen des Spiegelbades unter sämtlichen in Eger vorkommenden, die wärmsten sind.

Eine zweite, mit der vorherigen parallel verlaufende NNW—SSO-liche Spalte ist jene, welcher die Quellen der sogenannten „Damenschwimmschule“ und die des ELISABETH-Bades entspringen. Wahrscheinlich fällt auch die nächst der Blechfabrik emporsteigende kleine Quelle in die südliche Verlängerung dieser Bruchlinie; ferner aber dürfte auch das Wasser der mit Nr. 5 und Nr. 2 bezeichneten, nördlich gelegenen Brunnen seine höhere Temperatur der entlang dieser Bruchlinie aufsteigenden Therme verdanken. Es ist nicht zu bezweifeln, daß die Bruchlinie, welche die unterhalb der Schießstätte auftauchende eozäne Kalkscholle gegen NW abgrenzt, auch die „Damenschwimmschule“ durchquert, die ihre größere Wassermenge offenbar dieser Kreuzung zu verdanken hat. Zugleich kann man aber auch beobachten, daß die Wassertemperatur jener Brunnen, die längs dieser NO—SW-lichen Linie angelegt sind, von der gewöhnlichen abweichend etwas höher ist. Wahrscheinlich wurde gelegentlich der Fundamentierung des linkseitigen Pfeilers, der über den Fluß gebauten Brücke, das laue Thermalwasser ebenfalls in der Verlängerung der obigen Bruchlinie aufgeschlossen. Es ist jedoch zu bemerken, daß an letzterer Stelle wahrscheinlich der Fall einer Kreuzung mit einer neueren NNW—SSO Bruchlinie vorliegt, in deren nördliche Verlängerung die Kalktuffablagerungen der Festung Eger und Tetemvár fallen. Die Quellen der einstigen Domkapitelwäscherei (des sogenannten „Kis melegvíz“) reihen sich endlich entlang einer NO—SW-Linie, die wahrscheinlich auch von einem NNW—SSO-lichen Bruch durchquert wird.

#### Die Entstehung der Thermen von Eger

kann ebenso wie bei anderen ähnlichen Thermalquellen (z. B. jenen von Budapest) folgendermaßen erklärt werden:

Die in den naheliegenden Eozän- und Triaskalksteingebieten des Bükk-Gebirges fallenden Niederschläge sickern in das Gestein hinab und verschwinden in den Spalten, Klüften und Höhlen der Kalksteine. Durch das von mehr-weniger offenen Spalten durchsetzte Kalkgebirge dringen die Niederschläge immer tiefer, bis zu den wasserundurchlässigen Liegendschichten hinab, über welchen sie sich dann ansammeln. Der wasserführende Kalkstein ist teilweise eozänen, teilweise mitteltriadischen Alters; besonders im letzteren häuft sich unterirdisches Wasser auf. Die wasserundurchlässige Grundlage liefern unzweifelhaft

die Tonschiefer des Karbons. Das absickernde Wasser bewegt sich in der Kalksteinmasse nicht nur abwärts, sondern breitet sich auch seitwärts aus und dringt auch über einzelne Verwerfungen hin, in unter jüngeren Deckenbildungen liegende Schollen ein, welchen tiefer liegenden Regionen eine weitere Ansammlung ermöglicht wird. Hier gelangt das Wasser zugleich unter größeren hydrostatischen Druck.

Das in solche größere Tiefen hinabdringende Wasser übernimmt die dort vorherrschende höhere Temperatur und dringt, sobald es längs der Verwerfungen einen offenen Aufstieg findet, infolge des hydrostatischen Druckes und der Spannungskraft seiner Gase an die Oberfläche. Diese Theorie des Aufstieges kann wohl in mehreren Punkten angezweifelt werden, da aber an der Entstehung und dem Aufstieg der

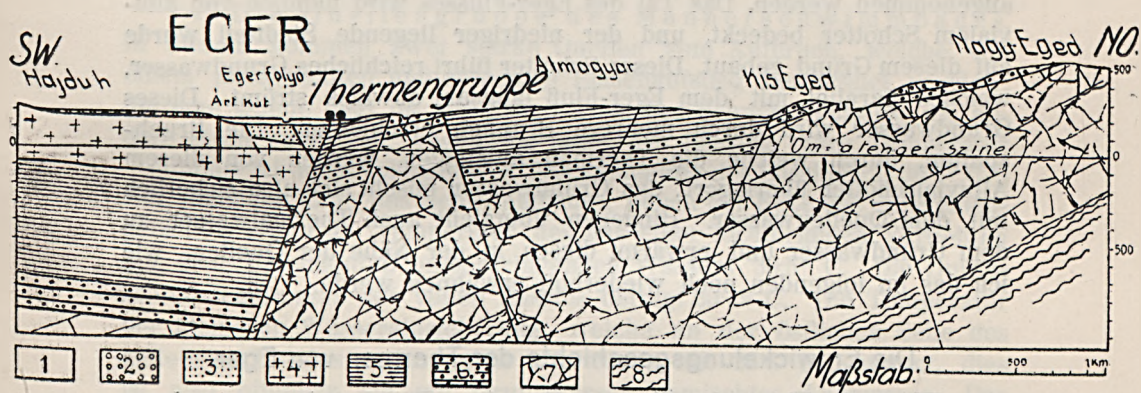


Fig. 1.

#### Geologisches Profil durch die Thermengruppe von Eger.

1. Holozän. 2. Pleistozän. 3. Pannonische (Pontische) Stufe. 4. Mittlerer Rhyolittuff. 5. Unteres und oberes Oligozän. 6. Oberes Eozän. 7. Mittlere Trias. 8. Karbon.

Thermen ausser den vielen komplizierten, geologischen, chemischen und physischen Ursachen wahrscheinlich auch solche Faktoren teilnehmen, deren Erkennung und Feststellung im allgemeinen noch nicht möglich zu sein scheint, müssen wir mit der älteren Theorie vorliebnehmen, solange diese nicht durch eine einwandfrei begründete, bessere ersetzt wird.

Nach dieser Theorie also, im Falle wir die Maximaltemperatur der Egerer Thermen auf  $31^{\circ}$  C, die absolute Höhe des Niederschlagsin-sickerungsgebietes (Nagy-Eged, Várhegy) auf 500 m, den geothermischen Gradienten der Erdrinde auf  $1^{\circ}$  C per 33 m, endlich die Temperatur des versickernden Wassers durchschnittlich auf  $9^{\circ}$  C setzen, müßte der Niederschlag im Trias-Kalkstein mindestens 700–800 m tief

unter die Oberfläche eindringen, um die Temperatur der Thermen von Eger annehmen zu können.

Wahrscheinlich mischt sich den aufsteigenden Thermen unterwegs auch das kalte Wasser einzelner höher gelegener Wasserhorizonte bei, weshalb wir annehmen dürfen, daß die Thermalwässer noch größeren Tiefen entstammen, wo sie eine entsprechend höhere Temperatur annehmen können. Es wäre z. B. möglich, daß aus der westlich von den das Wasser emporleitenden NNW—SSO-lichen Verwerfungen herabgesunkenen jüngeren Schichtenreihe und zwar aus den pannonischen Sandschichten und dem Rhyolittuff kaltes Wasser zu den längs der Bruchlinien aufsteigenden Thermalwässern hinzulieft. Die Mischung des Wassers der jüngsten Alluvialschotter mit den Thermen muß auf jeden Fall angenommen werden. Das Tal des Eger-Flusses wird nämlich von alluvialem Schotter bedeckt, und der niedriger liegende Stadtteil wurde auf diesem Grund gebaut. Dieser Schotter führt reichliches Grundwasser, welches parallel mit dem Eger-Fluß langsam abwärts strömt. Dieses Grundwasser wird durch mehrere Brunnen erschlossen. Die Bruchspalten, durch welche die Thermen aufsteigen, werden von diesem Alluvialschotter überlagert; das Grundwasser mischt sich also sicherlich mit dem Quellenwasser. Hingegen überzieht auch Thermalwasser zu dem Grundwasser und erwärmt dieses in der Nähe der Quellen, wie ich das im folgenden noch wiederholt erwähnen werde.

### Die Entwicklungsgeschichte der Thermen von Eger.

Wann die Thermalquellen von Eger ihre Tätigkeit begannen, kann sicher nicht bestimmt werden. Wahrscheinlich schon während der levantinischen Zeit, im Pleistozän aber ganz bestimmt. Sie kamen auf der tiefsten pleistozänen Oberfläche (circa 170—175 m über dem Meere) der alten Ebene des Ur-Egerflusses zum Vorschein und bildeten offenbar kleinere-größere Moraste, in welchen sich der Kalktuff abgelagerte. Die Oberfläche des Kalktuffes liegt circa 20 m über dem jetzigen Talniveau. In den lauwarmen Wässern der Moraste und Teiche lebte eine interessante Tierwelt, die in vielen Beziehungen noch ein levantinisches Gepräge besaß. Trotz der klimatischen Abkühlung waren hier mehrere, aus älteren Epochen zurückgebliebene Relikten-Arten (*Neritina Prevostiana*, *Melanopsis acicularis*, *Corbicula fluminalis*) aufzufinden, es entstanden sogar interessante Variationen und neue Arten (*Melanopsis Dobóii*, *M. Legányii*.)

In der zweiten Hälfte des Pleistozäns vertieften sich die Täler sehr rasch und mit der absinkenden Erosionsbasis kamen auch die Quellen an tieferen Punkten zum Vorschein. Dieser Prozeß setzte sich im Holozän und im Laufe der historischen Zeit fort, so daß heute die Quellen bedeutend südlicher und in tieferen Niveaus hervortreten

(153 m ü. d. Meere), während die einstigen Quellenabsätze die Stadt terrassenförmig umgeben. In den jetzigen Thermen lebt von den erwähnten Reliktenarten keine mehr und konnte ich bloß das Vorkommen von *Valvata piscinalis* und *Gulnaria ovata* feststellen, die übrigens auch schon im Kalktuff aufzufinden sind.

#### AUSFÜHRLICHE BESCHREIBUNG DER LAUEN THERMEN-GRUPPE UND DIE TEMPERATUR DER QUELLEN.

Die Thermen von Eger — wie ich dies schon erwähnte — entspringen den Spalten mehrerer sich kreuzender Bruchlinien. Entlang der westlicheren Bruchlinie NNW—SSO-licher Richtung kommen folgende Quellen zum Vorschein:

1. Die Quellengruppe des Männerschwimmbades. In diesem kommen zwei starke Quellen zum Aufbruch, welche von einem massenhaften und ständigen Blasenanstieg bezeichnet werden; die eine Quelle liegt im nördlichen Teile des Schwimmbassins, die andere etwas südöstlich, gegen die Mitte des Bassins. Ihre Temperatur bestimmte ich nach vollständiger Trockenlegung des Bassins auf  $30.7^{\circ}$  C.\*) Am südlichen Ende des Schwimmbades, neben der Ecke des Spiegelbadgebäudes ergab die Temperatur des aus einer lochförmigen Vertiefung bei dem Bassinabfluß empordringenden Wassers  $30.5^{\circ}$  C. Die Durchschnittstemperatur des vollen Bassins beträgt  $30.4^{\circ}$  C. Die Temperatur der kleineren Wassereinsickerung, welche an der östlichen Seite des entleerten Bassins wahrnehmbar ist, wurde mit  $28.6^{\circ}$  C bestimmt, dies ist also offenbar ein mit Grundwasser gemischtes Lauwasser. Das jetzige Schwimmbassin war noch vor einigen Jahren bloß ein von drei Seiten mit einer Steinwand umringter Teich, in welchem die *Nymphaea rubra* reichlich gedieh. Diese Pflanze wurde vom Egerer Apotheker EUGEN ERDÖS im Jahre 1905 aus den Thermen von Héviz (bei Keszthely) hierher gebracht, ist also kein Relictum. Ihre Blätter überdeckten seinerzeit den Teich vollkommen und trugen die Pflanzen in der zweiten Hälfte des Sommers zahlreiche Blüten. Bei der Aufbauung des Schwimmbades mußte man diese schöne Wasserpflanze ausrotten; etliche Exemplare leben heute noch im Abflußkanal. Die Egri Városfejlesztő r. t. (A.-G. für die Förderung der Stadt Eger) ließ diesen Teich im Jahre 1920 zu einem schönen Schwimmbade ausbauen, deren größte Länge 38 m, größte Breite 33 m, die Wasseroberfläche  $1015 \text{ m}^2$  beträgt.

2. Die Quellengruppe des Spiegel- und Wannenschwimmbades der Egri Városfejlesztő A.-G. Unter den Thermen von

\*) Die Temperaturmessungen wurden am 25. Mai 1921, unter Mitwirkung des Herrn Oberlehrers Dr. E. NOSZKY, der an diesen Studien teilnahm, vorgenommen.



Die Wassertemperatur des vollen Bassins ist durchschnittlich  $30.8^{\circ}$  C. Am Orte der Quellenaufbrüche steigen in unregelmäßigen Zeitabschnitten viele Luftblasen auf, als ob das Wasser sieden möchte, während sonst der Blasenanstieg sehr gering ist.

3. Die Quellen des sog. „Groschenbades“. Neben dem erwähnten Badegebäude wird für die ärmere Bevölkerung das sog. „Groschenbad“ erhalten, wo auch etliche Quellen aufbrechen. In dieser Gegend, wo eben mehrere Quellen erscheinen, wird die Hauptbruchlinie NNW—SSO-licher Richtung wahrscheinlich durch eine NO—SW-liche Querspalte gekreuzt. Das ehemalige Bad der „Sultana VALIDE“ (wo heute das Haus DOBÓ-Gasse Nr. 13 steht), dürfte in die NNW-liche Verlängerung der Bruchlinie fallen.

Die folgenden Quellen brechen entlang einer anderen, östlicher liegenden, jedoch auch NNW—SSO-lich ziehenden Bruchlinie empor.

4. Die Quellengruppe des Damenschwimbades. In diesem Bad kann man an zahlreichen Punkten des breiten Wasserspiegels Luftblasen beobachten; der stärkste Blasenanstieg, also die stärkste Wasserquellung liegt in der Mitte des Bassins, wo auch die größte Temperatur gemessen werden kann. Hier erreicht nämlich die Wassertemperatur  $27.4^{\circ}$  C, während sie in den anderen Teilen des Bassins nur  $27—27.2^{\circ}$  C beträgt. Die Quellen des jetzigen Damenschwimbades gebrauchten einst die Gerber, auch wurden sie zugleich als Wäscherei benützt. Schon im Jahre 1856 wurden sie vom Erzbischof BARTAKOVICS zu einem Schwimmbad umgebaut. Die jetzige Wasseroberfläche beträgt  $560\text{ m}^2$ . Die Városfejlesztő A.-G. als Besitzer beabsichtigt dieses Schwimmbad zu einem 50 m langen, 20 m breiten großen Bassin umzubauen, welches mit seinen 1000 Quadratmetern eines der prächtigsten Schwimmbäder nicht nur in Ungarn, sondern in ganz Mitteleuropa sein wird, da es ja wegen seinem lauwarmen Wasser vom Frühjahr bis Spätherbst benützt werden kann.

5. Südlicher, auf einem benachbarten Grundstück befanden sich einst die Quellen des ELISABETH-Bades. Die eigentliche Hauptquelle war im sog. „rituellen“ Spiegelbade, wo ein schwacher Luftblasenanstieg beobachtet werden konnte. Die Temperatur des Wassers beträgt nach meiner Bestimmung hier nur  $26.2^{\circ}$  C. Das Wasserquantum war auch zu gering, wahrscheinlich aus diesem Grunde wurde hier noch ein artesischer Brunnen abgetäuft, auf den ich noch zu sprechen komme. Bei dem Umbau des Bades (1922) wurden die Spiegelbäder eingestellt und die Quelle verstopft, gegenwärtig liefert also der artesischer Brunnen das Badewasser. Im Hofe des Badegebäudes dürfte einst ebenfalls ein freies Bad oder Waschhaus existiert haben, was die beim Umbau ausgegrabenen alten Holzpfähle beweisen.

6. In die südliche Verlängerung dieser Bruchlinie fällt die kleine laue Quelle, welche im Mühlgraben, am Fusse der Mauer

des Blechfabrikgebäudes zum Vorschein kommt. (Die durch die unten besprochenen Quellen der Wäscherei führende Bruchlinie dürfte ebenfalls zu dieser Quelle ziehen.) Die Quelle wurde gelegentlich einer Reparatur des Fabriksgebäudes zum Aufbruch gebracht (von der NW-Ecke circa 10 m Entfernung). Man verstopfte sie damals, aber später kam sie wieder zum Vorschein. Ihre Temperatur ist 25·8° C.

7. In der Wäscherei der Városfejlesztő A.-G. (ehemalige Domkapitel-Wäscherei) fallen die Quellen offenbar in die Richtung eines NO—SW-lichen (4—16<sup>h</sup>) Bruches. Zwei Quellengruppen liegen im Bassin der Wäscherei; die Temperatur der südlichen beträgt 27° C, jene der nördlichen 26·5° C. Auch außerhalb des Wäschereibassins brechen südwestlich kleinere Quellen hervor. Die Wäscherei war bis vor kurzem in vernachlässigtem Zustande, wurde aber vor nicht langer Zeit hergerichtet; gleichzeitig erfolgte eine Erhöhung des älteren Wasserniveaus, so daß heute die Wasserhöhe im Bassin 60—80 cm beträgt. Infolgedessen versumpfte das vom Wäschereibassin NO-lich liegende Gebiet; auch hier kamen kleinere Quellen zum Vorschein, in einer Linie, welche ebenfalls die Richtung der Verwerfungslinie bezeichnet. Die Temperatur der größten dieser Quellen wurde mit 26·2° C gemessen. Obzwar diese Quellen verstopft und dieser Teil des Hofes aufgeschüttet wurde, brach das Thermalwasser neuerdings dennoch auf und die Versumpfung dauert weiter.

8. Endlich sei erwähnt, daß nach den Mitteilungen des Herrn Direktors BARÁNY, dem damaligen Ingenieur der Stadt, im Jahre 1908, gelegentlich der Fundamentierung des linken Pfeilers der über den Eger-Fluß führenden Brücke, eine wasserreiche Therme erschlossen wurde, die man natürlich wieder verstopfen mußte. Dieser Aufbruch liegt vermutlich im Kreuzungspunkte einer anderen, NNW—SSO-lichen und der durch das Damenschwimmbad ziehenden NO—SW-lichen Bruchlinie. Es mußte ferner beurteilt werden, ob der an der westlichen Seite des erzbischöflichen Gartens sich befindende Teich (Eislaufplatz) nicht auch durch aus der Tiefe stammende laue Quellen gespeist wird? Diese Annahme ist jedoch nicht haltbar, da dieser zwecks Errichtung eines Eisplatzes aufgedämmte kleine Teich das aus der Stadt ab rinnende Kanalwasser aufnimmt, welches eine Mischung von Regen- und Schmutzwasser bildet, also vom hygienischen Standpunkt aus unbedingt schädlich ist. Im Winter friert das Wasser hier zu; dieser Umstand allein genügt schon, um feststellen zu können, daß es keinen unterirdischen warmen Zufluß haben kann.

Im folgenden möchte ich noch den jetzigen Zustand der Thermen und Bäder darstellen:

Die Entwässerung des Damenschwimmbades geschieht durch den neben der Brücke in den Eger-Fluß einmündenden Kanal; der beständige Wasserüberschuß fließt in SW-licher Richtung durch einen unter-

irdischen Kanal in den sog. Mühlgraben ab. Dieses Wasser dient der Schrott-Mühle zur Triebkraft. Das Wasser aus dem Männerschwimmbad fließt größtenteils zur Mühle hinüber, wo es sich mit dem Wasser des Damenschwimmbades vereinigt, während sich ein anderer Teil mit den Wässern des Groschen- und Spiegelbades zusammen über die Schleuse enternt. Ein kleiner Teil wird über den Mühlgraben in die „Spülungswäscherei“ geleitet, von wo es in den Mühlgraben abrinnt (dort, wo die Wäscherei eingerichtet ist). Der normale Wasserüberfluß der Spiegelbäder fließt im sog. Bewässerungskanal ab. Der Wasserüberfluß des ELISABETH-Bades und der Wäscherei der Városfejlesztő A.-G. wird in den toten Mühlengraben abgeleitet. Einst trieb dieses Grabenwasser unter Zuhilfenahme einer Wassersperre des Eger-Baches die sogenannte „Lötyögő“-Mühle.

### ÄLTERE TEMPERATURBESTIMMUNGEN.

Die Temperatur der Thermen von Eger wurde vom Jahre 1829 angefangen mehreren Messungen unterzogen. Wenn wir diese Daten miteinander und mit den neuesten Bestimmungen vergleichen, so finden wir zwischen ihnen größere oder kleinere Abweichungen. Das ist nicht unbedingt darauf zurückzuführen, daß die eine oder andere Temperaturbestimmung nicht genügend pünktlich vorgenommen wurde, oder die Thermometer nicht vollkommen verläßlich funktioniert hätten. Dies deutet vielmehr darauf hin, daß die Wassertemperaturen im Laufe der Zeit Schwankungen ausgesetzt waren. Solches konnte man auch bei anderen Thermen erfahren, z. B. bei denen in Budapest oder Karlsbad (Sprudelquelle 72·5—74·8° C, der THERESIEN-Brunnen 52·8—62·5° C im Laufe von 25 Jahren).

Über die erste genaue Temperaturbestimmung der Thermen von Eger berichtet P. KITAIBEL (2205) im Jahre 1829, nach Angaben des Apothekers SZOVITS. Demnach war die Quelltemperatur des Gerberteiches (derzeit Wäscherei der Városfejlesztő Aktienges.) 22° R (27·5° C), die der Quellen des am Hofe des Csillag-(Stern)-Wirtshauses befindlichen Teiches (des jetzigen Damenschwimmbades) 19·75° R (24·8° C), die der Spiegelbäder 25° R (31·25° C). FEJES (3.) teilt die Temperaturangaben von KITAIBEL mit und bemerkt, daß zu seiner Zeit (1839) die Temperatur der Spiegelbäder trotz aller Veränderungen der Lufttemperatur beständig 25° R (31·25° C) war. Auch WACHTEL (4.) erwähnt nach KITAIBEL und FEJES 25° (31·25° C) (1859). K. CHYZER (5.) bezeichnet die Quelltemperatur im Jahre 1885 als 31·2° C, im Jahre 1887 als 30·7—32·4° C. BOLEMAN gibt im Jahre 1896 ebenfalls, offenbar nach CHYZER, 30·7—32·4° C an. (6.)

Im Werke „Österreich-Ungarn in Wort und Bild“ Band VI. bezeichnet A. PLATTHY die Thermentemperatur der Bäder von Eger mit

31° C. CSEREY (7.) bestimmte die Quellentemperatur mehreremale und zwar in verschiedenen Monaten, weshalb seine Angaben sehr beachtenswert sind. Nach seinen Beobachtungen war im Jänner 1896 bei — 3° C Lufttemperatur, die Wassertemperatur der im Bassin Nr. 5 des erzbischöflichen Bades aufbrechenden Quellen 31° C, die des Damenschwimmbades beim Abfluß 25° C. Im Mai desselben Jahres war bei 16·89° C atmosphärischer Temperatur die Temperatur des Wasserbassins im erzbischöflichen Bade 32·65° C, während die des Schwimmbades 27·50° C betrug. Im Jänner 1897 war die Temperatur der Bassinquelle 31·25° C, das Wasser des Schwimmbades jedoch beim Abfluß 25° C. Im Mai d. J. hatte bei 11° C atmosphärischer Temperatur das Bassinwasser des erwähnten Bades 32·45° C, das Wasser des Schwimmbades aber 27·50° C.

Im Bande „Heveser Komitat“ auf der 4. Seite des Werkes: „Ungarns Komitate und Städte“ gibt A. KALOVITS (1909) irrtümlich eine Temperatur von 22—24° C an.

WESZELSZKY (12.) bestimmte die Temperatur des Spiegelbades mit 32° C, endlich Verfasser am 27. September 1915 mit 31·5° C.

#### DIE CHEMISCHEN EIGENSCHAFTEN DER THERMEN UND DER AUFSTIEGENDEN GASE.

Die erste genaue Beschreibung der Thermen haben wir dem Arzt SAMUEL DOMBI zu verdanken; er untersuchte zum erstenmal die Thermen vom chemischen Standpunkte aus und beschrieb ausführlich das Resultat seiner Untersuchungen, sowie die Heilwirkungen dieser Wässer in einem lateinischen Werke. (1.) Dieses Werk ist in Anbetracht des Zeitpunktes seiner Erscheinung (1766) jedenfalls sehr beachtenswert. Später untersuchte Apotheker ANDREAS ADLER (1826) die Quellen. (3 u. 4.) Kurz danach teilt KITAIBEL eine chemische Analyse der Quellenwasser mit (1829), wonach dieselben Kohlensäure und kohlensauren Kalk enthalten (2 T 2. 205. weiters 3 u. 4.) Die Untersuchungen setzte im J. 1838 ABEL JOHN fort. (3 u. 4.) CHYZER schreibt in den Jahren 1885 und 1887 (5.), daß die Badewässer reine, laue Thermen sind, deren Rückstand in einem Liter Wasser 0·325 gr. beträgt. BOLEMAN erklärt sich ähnlicherweise (1896) (6.). Auch A. CSEREY unterzog die Thermen von Eger einer chemischen Untersuchung (7.); deren Resultate die folgenden waren:

Das Wasser ist sehr rein und vollkommen geruchlos. Wenn man es in freier Luft stehen läßt, trübt es sich nicht, am Glasboden setzt sich dagegen ein gelblicher Satz ab, welcher aus kohlensaurem Kalk (Aragonit) besteht. Die dicke Ausscheidung an den Bassinwänden besteht aus kohlen- resp. schwefelsaurem Kalk. Das spezifische Gewicht des Wassers wurde mit dem GAY-LUSSAC-Pyknometer mehrmals bestimmt

und variierte bei einer äußeren Temperatur von  $16.5^{\circ}\text{C}$  zwischen  $1.001-1.0008$ .

Nach CSEREY ist die chemische Zusammensetzung des Bassinwassers im bischöflichen Bade Nr. 5. die folgende :

	In 1000 Gewichtsteilen p. m.
a) Schwefelsaures Kalium .....	0.007988
Chlorkalium .....	0.007918
Chlornatrium .....	0.009487
Bromnatrium .....	0.000113
Phosphorsaures Natrium .....	0.000147
Natriumbikarbonat .....	0.002762
Lithium .....	0.001502
Kalk .....	0.183407
Strontium .....	0.000429
Magnesium .....	0.009801
Ferrum .....	0.004862
Kieselsäure .....	0.053051
Zusammen .....	<u>0.362476</u>
b) Freie Kohlensäure .....	0.212731
Nitrogen .....	0.012345
Oxygen .....	0.004121
Summe der Bestandteile .....	<u>0.591673</u>

Quantitativ unbestimmbar sind : das kohlensaure Baryum, Schwefelwasserstoff (zeitweise in größeren Mengen) und Spuren organischer Stoffe.

Nach CSEREY stimmt der Rückstand des Wassers im Damenschwimmbade mit dem im erzbischöflichen Bade Nr. 5. vollkommen überein, doch ist die Menge der freien Kohlensäure viel geringer, dagegen sind hier mehr organische Stoffe vorhanden.

Im Jahre 1914 unterzog J. WESZELSKY die Quellenwässer der erzbischöflichen Spiegel- und Wannenbäder einer chemischen Untersuchung. Demnach sind die chemischen Eigenschaften dieser Wässer folgende.

Das Wasser schmeckt angenehm, ist geruchlos, sehr rein, und vollkommen klar.

Die in einem Kilogramm Wasser gefundenen gelösten Bestandteile sind :

Kalium .....	K .....	0.00142 gr
Natrium .....	Na .....	0.00925 "
Lithium .....	Li .....	Spuren
Magnesium .....	Mg .....	0.00723 "
Calcium .....	Ca .....	0.10196 "
Ferrum, Aluminium .....	Fe, Al .....	Spuren
Chlorid .....	Cl .....	0.00486 "
Sulphat .....	SO <sub>4</sub> .....	0.02946 "
Hydrocarbonat .....	HCO <sub>3</sub> .....	0.32910 "
Siliciumdioxid .....	Si O <sub>2</sub> .....	0.01359 "
Summe der gelösten festen Bestandteile ..		<u>0.49587 gr</u>

Im Wasser gelöste (freie) Kohlensäure  $\text{CO}_2 = 0.1622 \text{ gr} = 75.35 \text{ CO}_2$ . Im einem Liter Wasser gelöste Radiumemanation  $2.2 \times 10^{-6}$  Milli-curie (12).

c) Die im Wasser gelösten festen Bestandteile zu aequivalenten Prozenten berechnet:

Ca	85.14 %	$\text{HCO}_3$	88.19 %
Mg	9.71 „	$\text{SO}_4$	10.03 „
Na	6.56 „	Cl	1.78 „
K	0.59 „		100.00 %
	<u>100.00 %</u>		

Die Bestandteile nach der üblichen Weise zu Salzen gruppiert:

In 1000 gr Wasser findet man:	
Kaliumchlorid	KCl 0.00271 gr
Natriumchlorid	Na Cl 0.00425 „
Natriumhydrocarbonat	Na $\text{HCO}_3$ 0.02763 „
Lithiumhydrocarbonat	Li $\text{HCO}_3$ Spuren
Magnesiumhydrocarbonat	Mg $(\text{HCO}_3)_2$ 0.04345 „
Calciumhydrocarbonat	Ca $(\text{HCO}_3)_2$ 0.36249 „
Calciumsulphat	Ca $\text{SO}_4$ 0.04176 „
Ferrum und Aluminiumoxyd	Spuren
Siliciumdioxyd	Si $\text{O}_2$ 0.01359 „
Zusammen	0.49587 gr

Mit der Untersuchung der aus dem Wasser aufsteigenden Gase beschäftigte sich zuerst CSEREY, der hierüber folgendes schreibt. Das Wasser perlt ununterbrochen, besonders im erzbischöflichen Bade. Vom Wasserboden steigen haselnuß-, nuß- und eiergrosse Luftblasen an die Oberfläche, welche aus kohlensäurereicher Luft bestehen.

Nach WESZELSZKY ist die Zusammensetzung der im Wasser befindlichen Gase die folgende:

Nitrogen	N	93.2 Vol.
Kohlensäure	$\text{CO}_2$	5.4 „
Oxygen	O	1.4 „
Zusammen		<u>100.00 Vol.</u>

Die Radiumemanation der Gase beträgt  $8.2 \times 10^{-6}$  Millicurie (12.) in einem Liter.

Auf Grund alldessen gehören die Thermen von Eger, wie auch diejenigen von Gastein, Menyháza, Keszthely-Hévíz und die der Budapest GELLÉRT- und Rudas-Bäder zu den indifferenten Thermen.

Die Thermalquellen von Eger enthalten erhebliche Quantitäten Radiumemanation. Der Emanationsinhalt der aus dem Wasser aufsteigenden Gase ist aber noch um vieles größer, was schon deswegen vorteilhaft ist, da nach den ärztlichen Untersuchungen die Heilwirkung

der durch Einatmung in den Organismus gelangenden Radiumemanation zu verdanken ist.

Im Pleistozän — wie bereits erwähnt — setzte sich aus diesen Quellen eine große Kalktuffmasse ab. In kleinerer Quantität fällt hie und da auch heute noch Kalktuff aus. So z. B. wird die ständige Niveaulinie der Spiegelbäder durch eine binnen Jahrzehnten auf den Seitenwänden abgelagerte, dünne Kalktuffschicht bezeichnet. Bei dem artesischen Brunnen des ELISABETH-Bades setzte sich an den über dem Wasserspiegel gelegenen Rohrteil aus dem herabsickernden Wasser eine dicke Kruste ab, welche sich von oben gegen die Wasseroberfläche zu verdickt, unter der Oberfläche aber schnell abnimmt.

Nach den Untersuchungen von WESZELSZKY (12) bestehen die in den Quellen aufsteigenden Luftblasen aus Nitrogen und Oxygen, untergeordnet aus Kohlendioxyd, also wesentlich aus Luft. Offenbar wurde diese durch das schnell sickernde Regenwasser von der Oberfläche mitgebracht. WACHTEL und FEJES (3) und (4) erwähnen, daß an den Quellen des Spiegelbades, besonders nach der Entleerung, ein schwacher Schwefelhydrogengeruch wahrnehmbar ist. Während meiner Beobachtungen konnte ich wie auch CSEREY dies nicht konstatieren.

#### DIE WASSERQUANTITÄT DER THERMEN.

Über diese gibt uns zum ersten Male M. FEJES (1839) ziemlich pünktliche Angaben. Demnach gab die Quelle des Csillag-(Stern)-Wirtshauses 2.42 Kubikfuß Wasser pro Sekunde ab. Im Spiegelbad Nr. 1—4 dringt 1.80, im Spiegelbade Nr. 6, 0.95 Kubikfuß und im großen Teiche (Männerschwimmbad) 1.85 Kubikfuß Wasser pro Sekunde empor. Diese Quellen liefern also — ohne den Quellen am Hofe der Gerberei (Wäscherei der Városfejlesztő A.-G) — 4.1 Eimer Wasser pro Sekunde, in einer Stunde 14.760, in 24 Stunden 354.240 Eimer = 198.377.4 Hektoliter Wasser. Seit diesen Messungen fanden meines Wissens keine genauen Bestimmungen statt. Im Bande „Heveser Komitat“ des Werkes „Oest.-Ungarn in Wort und Bild“ Seite 4, gibt KALOVITS die Wasserquantität der Quellen mit 24.000 m<sup>3</sup> in 24 Stunden an. Auch in der neuesten Zeit wurde die Wasserquantität der Quellen bloß durch Schätzungen festgestellt; man beobachtete den Zeitraum, in welchem die entleerten Bassins — deren Inhaltsraum bekannt war — wieder voll wurden. Nach der Mitteilung des Direktors BĀRĀNY kann die Wasserquantität der Thermen von Eger im folgenden angegeben werden.

Die gesamte Wassermenge der Schwimmschulen für Frauen und Herren und der Spiegelbäder beträgt täglich etwa 140—160.000 hl; die des ELISABETH-Bades circa 10.000 hl, worin auch das tägliche Wasserquantum des artesischen Brunnens inbegriffen ist. Die Wassermenge jener Quellen, die die Wäscherei der Városfejlesztő A.-G. speisen,

ist bisher noch nicht genau bekannt, dürfte aber in 24 Stunden etwa 40—50.000 hl ausmachen. Die neben der Blechfabrik aufsteigende kleine Quelle dürfte täglich cca 1000 hl Wasser abgeben. Nach Summierung der oben angeführten Zahlen, ergießen die Thermen von Eger täglich etwa 206.000 hl Wasser, welche Angabe mit jener von FEJES, beziehungsweise KALOVITS ziemlich übereinstimmt.

Die Wassermenge der Thermen von Eger ist also ziemlich bedeutend. Zwecks Vergleichung sei folgendes angeführt. Die gesamte Wassermenge der auf natürlichem Wege emporsteigenden Thermen von Budapest beträgt täglich 495.000 hl, wovon auf die Gruppe des GELLÉRT-(Blocks)-Berges 22.200 hl, auf jene des JOSEFS-Berges aber 320.000 hl entfällt; der Rest verteilt sich zwischen den kleineren und kühleren Quellen. Die Wassermenge sämtlicher Quellen in Karlsbad beträgt täglich etwa 350.000 hl.

#### DIE BOHRUNG ARTESISCHER BRUNNEN.

Der damalige Besitzer des ELISABETH-Bades ließ im Jahre 1870 in der Nähe der Hauptquelle einen artesischen Brunnen bohren, welcher nach Angaben von J. HALAVÁTS 43·47 m tief ist, täglich 2152 Eimer (= 1205 hl) Wasser gibt, dessen Temperatur 24° R (= 30° C) beträgt. Gegenwärtig ergießt sich das Wasser durch ein etwa 45 m hohes Rohr in ein darüber befindliches Reservoir, woraus dann die Wannebäder versehen werden, der Bedarf an Trinkwasser bestritten, ein Teil aber auch zur Erzeugung von Sodawasser verwendet wird. Die Temperatur dieses Wassers beträgt nach einer Messung am 26. Mai 1921 beim Einfluß in das Reservoir 27° C.

Man versuchte auch an anderen Stellen der Stadt artesische Brunnen zu bohren, jedoch mit wenig Erfolg. Infolge der Initiative und Opferwilligkeit des jetzigen Domprobstes G. CSEKÓ ließ die Stadt am ESZTERHÁZY-Platz im Winter 1908—9 einen artesischen Brunnen errichten. Der Bohrer schlug nach den am Stadthaus aufbewahrten Mustern bis 6.60 m Tiefe braunen, humosen tonigen Sand und Kiesel durch; in der Tiefe von 6.60—170 m wurden verschiedenartige Schichten des Rhyolithuffs angetroffen. Weiter unten wurde die Bohrung bis zum Grunde des Bohrloches, d. h. bis zur Tiefe von 248 m — nach Mitteilungen des damaligen städtischen Oberingenieurs G. BÁRÁNY — ebenfalls im Rhyolithuff fortgesetzt. Wasser wurde zuerst in einer Tiefe von 38—40 m erbohrt, nachher bei 70—80 m, jedoch nur wenig und es stieg nur unbedeutend. Endlich aus einer Tiefe von etwa 240 m sprang das Wasser reichlich empor, das aber nur bis cca 2 m unterhalb der Oberfläche stieg.

Auch der Eigentümer der PRESZLER'schen Spiritusfabrik ließ einen artesischen Brunnen im Fabriksgebäude bohren. Die Bohrung wurde in Oligozänschichten bis 330 m abgeteuft; aus der Tiefe von 228 m

wurde nach der von K. BAUER durchgeführten chemischen Analyse jodhaltiges Wasser gewonnen. Gegenwärtig bricht das Wasser nur periodisch, stoßweise aus dem 1·5 m hohen Rohre hervor und beträgt angeblich 6—7 hl per Tag, kann aber durch Pumpen bis auf 4—5 m<sup>3</sup> gesteigert werden.

#### DIE WIRKUNG DER ERDBEBEN AUF DIE THERMEN.

Der Vollständigkeit halber kann jene Wirkung nicht außer Acht gelassen werden, die unlängst das ziemlich starke Erdbeben auf die Thermen ausübte. Am 26. Juni 1903 um 5 Uhr 28 Minuten war in Eger ein großes Erdbeben wahrzunehmen, das sich auf das Gebiet der Komitate Heves, Borsod, Gömör, Nógrád und zum Teil auch Szolnok und Szabolcs erstreckte. Das Epicentrum des Erdbebens war nach RETHLY (8.) Eger, wo dasselbe eine Stärke VIII—IX<sup>0</sup> (Skala FOREL-MERCALLI) erreicht hat. Infolge des Bebens sprangen die Quellen des Damenbades — nach Angaben des damaligen Oberingenieurs G. BARÁNY und des Schwimmmeisters MATTHIAS ÁDAM — mit enormer Kraft empor und stiegen beinahe 1 m hoch über den Wasserspiegel, wobei zugleich ein milchweißer Schlamm mitgebracht wurde, der das ganze Schwimmbad überflutete; gleichzeitig aber brach auch vom Boden des damaligen Teiches — des jetzigen Herrenschwimmbades — ein gelblich-roter Schlamm empor. Diese Erscheinung dauerte etwa 10 Minuten, hernach beruhigte sich das Wasser und wurde erst am anderen Tage wieder klar. Jenes Gerede, daß Schwefelgase und schwefelhaltige Flüssigkeit hervorgebrochen wären, entspricht — laut den Beobachtungen der Obengenannten — der Wahrheit nicht. Das Erdbeben äußerte sich (nach RETHLY) in mehrmals wiederholten, stoßweisen Bewegungen, deren NW—SO-Richtung also mit jener der Spalten, aus denen die Quellen entspringen, ziemlich übereinstimmt.

Es ist nun offenbar, daß entlang jener tieferreichenden Spalten, aus denen auch die Quellen emporsteigen, eine Verschiebung entstanden ist, wodurch sich eine größere Menge des Wassers plötzlich Bahn brechen und gleichzeitig Schlamm mitreißen vermochte.

Ebenso wurde nach Angabe des Direktors G. BARÁNY zuletzt im August 1922 die Wirkung des Erdbebens an einer der Quellen beobachtet. Am 12. August gegen 3 Uhr nachmittags war ein schwaches, stoßweises Beben zu verspüren. Die nördliche Quelle des Herrenschwimmbades hat als Folge der Wirkung, einen gelblich-roten Schlamm emporgerissen, wovon das Wasser des Schwimmbades ganz trübe wurde. Am 2. August um 4 Uhr 30—40 M. Früh wurde ein etwas stärkeres Beben konstatiert. Als Folge dessen sprang die nördliche Quelle des Herrenbades in der Stärke eines menschlichen Rumpfes etwa 0·5 m hoch über den Wasserspiegel des Bades empor und wallte nachher noch einigemal stark auf. Das emporsteigende Wasser brachte abermals einen gelblich-roten

Schlamm zutage, wovon das Wasser trüb wurde, um sich erst nach drei Tagen wieder zu klären. Angeblich wäre auch die Temperatur des Wassers um einige Grade gestiegen. Es ist auffallend, daß diese Erscheinung nur bei dieser einzigen Quelle allein zu beobachten war.

#### DIE GRUNDWÄSSER UND DIE THERMEN. DIE TEMPERATUR DER BRUNNENWÄSSER NÄCHSTER UMGEGEND.

Wie aus vorgehender Beschreibung der geologischen Verhältnisse zu ersehen, entspringen die Thermen nicht unmittelbar den Verwerfungsspalten, sondern quellen durch ältere Gebilde und den alluvialen sandigen Schotter empor, der die Spalten überdeckt. Es ist nun offenbar, daß sich den Thermen unbedingt das im Schotter zirkulierende Grundwasser beimengt und umgekehrt Thermalwasser in das Grundwasser sickert. Auch ist es höchst wahrscheinlich, daß das Thermalwasser außer den bekannten Punkten auch noch an anderen Stellen der Spalten emporsteigt, in Ermangelung eines Weges zur Oberfläche jedoch genötigt ist sich dem Grundwasser beizumengen.

Die Richtigkeit dieser Voraussetzungen wollte ich damit beweisen, daß ich die Wassertemperaturen der Brunnen in der Umgebung untersuchte. Die Resultate sind — von N gegen S fortschreitend — die folgenden:

1. Brunnen am Holzdepôt von FISCHER (Gólya-Gasse Nr. 3.): 13·4° C.
2. Brunnen in der sog. „KANITZ“-Kaserne: 16·8° C.
3. Brunnen im Hause USZODA-Gasse Nr. 1.: 15·2° C.
4. Die Tiefe des im Hause USZODA-Gasse Nr. 3. befindlichen Brunnens ist circa 3·70 m, die Wasseroberfläche steht unter der äußeren Oberfläche 1·7 m tief, Temperatur: 17·8° C.
5. Die Tiefe des im Hause USZODA-Gasse Nr. 8. befindlichen Brunnens ist circa 4·50 m, Wasseroberfläche 2 m tief, Temperatur: 22·2° C.
6. Die Tiefe des im Hause USZODA-Gasse Nr. 7. befindlichen Brunnens ist 3·70, Wasseroberfläche 1·70 m tief, Temperatur: 18·6° C.
7. Die Tiefe des im Hofe der erzbischöflichen Wäscherei (Füüdö-Gasse Nr. 3.) befindlichen Brunnens ist 5·50 m, Wasseroberfläche circa 2 m tief, Temperatur: 21° C. In der Umgebung kann man angeblich schon in der Tiefe von 2 m überall warmes Wasser finden.
8. Die Tiefe des im Hause TIMÁR-Gasse Nr. 1. befindlichen Brunnens ist circa 3·70 m, Wasseroberfläche 1·70 m tief, Temperatur: 17·6° C.
9. Die Temperatur des neben der Mühle der VÁROSFEJLESZTÖ A.-G. befindlichen Brunnens ist 20·8° C. Wahrscheinlich dürfte das jener Brunnen sein, den KITABEL und FEJES erwähnen.
10. Die Tiefe des im Hause KERTÉSZ-Gasse Nr. 7. befindlichen Brunnens ist circa 4·60 m, Wasseroberfläche circa 2·60 m tief, Temperatur 14·6° C. Dieser Brunnen ist sehr wasserreich.

11. Die Tiefe des Brunnens im Hause Remény-Gasse Nr. 9. ist 4·5 m, die Wasseroberfläche 1 m tief, Temperatur 16·6° C.

12. Die Temperatur des Brunnenwassers im Hause Remény-Gasse Nr. 2. ist 21·8° C.

13. Die Temperatur des Pumpbrunnens im Fabrikshof (Remény-Gasse Nr. 2.): 23·4° C.

14. Ebendort im rückwärtigen Teile des Hofes befindlicher Brunnen: Tiefe 3—4 m, Höhe der Wassersäule circa 2 m, Temperatur 21·4° C.

15. Im Hofe der Blechfabrik (Remény-Gasse Nr. 5.) steht ein Schwengelbrunnen, dessen Tiefe 3·2 m ist; Wasseroberfläche 2·5 m unter der äusseren Oberfläche, Temperatur: 15·8° C.

Die Temperatur all dieser Brunnen ist also höher, als die jährliche Durchschnittstemperatur (9·3° C), was unzweifelhaft dahin deutet, daß das Wasser dieser Brunnen durch beigemischte Thermen erwärmt wird.

Außerdem untersuchte ich die Temperatur etlicher weiter liegender Brunnen. Namentlich: das Wasser des im Hofe Dobó-Gasse Nr. 2. befindlichen Pumpbrunnens, dessen Temperatur ich 12·8° C fand. In diesem Hause war angeblich in den Türkenzeiten ein Bad. Es scheint, daß auch FEJES diesen Platz meint, indem er, sich auf den Historiker LADISLAUS GOROVE berufend, folgendes schreibt: „Vom jetzigen Bade aufwärts, in nördlicher Richtung, gleich am Fusse der Festung — gegenüber dem sog. langen Keller — existierte nach den Überlieferungen ehemals in einem Hause gleichfalls eine Therme.“

Nach BREZNAY fand man in den fünfziger Jahren des vorigen Jahrhunderts, als die Nebenlokalitäten im Hofe des benannten Hauses — vier niedrige spitzbogenartige Kammern — niedergerissen wurden, unterhalb dieser mit schönen geschnitzten Steinen und teilweise mit rotem Marmor ausgekleidete Wasserbehälter. Als man diese reinigte, brach in einem derselben eine wasserreiche Quelle hervor, welche nur mit vieler Mühe verstopft werden konnte. Auch G. BARÁNY bestätigt, daß er gelegentlich einer amtlichen Untersuchung um 1900 auch einen geschnitzten, in die Senkgrube eingemauerten Marmorblock fand, welchen er für einen Gesimsstein des Bassins hielt. Sehr wahrscheinlich dürfte dieses Bassin mit dem vom türkischen Weltreisenden EVLIA CSELEBI beschriebenen Bade der Sultana VALIDE identisch sein.

Der im Hofe der PRESZLER'schen Spiritusfabrik befindliche Brunnen ist 12 m tief und reicht offenbar in die Oligozänschichten hinab. Seine Wasseroberfläche liegt 4—5 m unter der äußeren Oberfläche; Temperatur 12° C.

Der Brunnen des in der DEÁK FERENC-Gasse befindlichen Hauses von G. BARÁNY ist 17 m tief. Dieser durchsticht oben eine 50—60 cm dicke humose Sandschichte, darunter folgen 1·50 m Ton, dann

2 m Schotter. Der Brunnen drang unterhalb dieser Pleistozänschichten bis in den Rhyolithuff hinab, aus welchen das Wasser reichlich hervorbrach. Die Höhe der Wassersäule schwankt nach Jahreszeiten zwischen 4–10 m. Die Temperatur stellte ich am 4. April 1923 mit 10·8° C fest.

Der neben dem Eislaufplatz nördlich liegende Schwengelbrunnen ist 3·30 m tief, die Wasseroberfläche steht 2·0 tief; Temperatur 12·2° C.

Trotzdem die Temperatur der erwähnten Brunnenwässer höher ist, als die hiesige durchschnittliche Jahrestemperatur, sind dieselben dennoch als solche einfache unterirdische Wässer zu betrachten, auf welche die Thermen schon keinen erkennbaren Einfluß ausüben können.

### DIE THERMEN VON EGER IN DER GESCHICHTE UND GEGENWART.

Die Thermen von Eger kennt und benützt die Menschheit wahrscheinlich schon seit den ältesten Zeiten. Man kann behaupten, daß die Stadt Eger ihre Entstehung teilweise auch diesen Thermen zu verdanken hat. Sicherlich wurden diese Thermen schon in den Zeiten der Könige des ÁRPAD-Hauses benützt; auch der Historiker GOROVE schreibt, daß die Bäder von Eger schon vor dem Einzug der Türken benützt wurden.

Auch SAMBUCUS\*) und ISTVÁNFY\*\*) erwähnen in ihren Beschreibungen der türkischen Belagerung (1522) das warme Bad der Festung Eger. Als die Türken später die Stadt eroberten, nahmen sie als viel badendes Volk diese Thermen in ihre Fürsorge.

Nach dem Historiker ST. KATONA ließ VERNAUT (vielleicht ARNAUTH?) Pascha hier ein schönes Badehaus erbauen. EVLIA CSELEBI, türkischer Weltreisender, schreibt, daß die Stadt Eger während seines dortigen Aufenthaltes (1665) schon drei Bäder besaß; das eine für Männer, das andere für Frauen (Sultana VALIDE'S-Bad), und das dritte für Tiere. Jenes achteckige Bassin, welches auch jetzt noch im Badegebäude der Városfejlesztő A.-G. vorhanden ist, dürfte auch aller Wahrscheinlichkeit nach das Becken des türkischen Bades gewesen sein, was auch das eigentümliche Mauerwerk zu beweisen scheint. Dieses Bassin wurde behufs ökonomischerer Ausnützung durch zwei Kreuzwände in vier Spiegelbäder geteilt (Alte Spiegelbäder 1–4), und so gebrauchte man es bis 1923, als der jetzige Besitzer die Kreuzwände demolieren ließ und den alten Zustand wieder herstellte. Dieses schöne, alte Becken ist jetzt das lauwarmer Bassin des Dampfbades.

Nach dem Auszuge der Türken aus Ungarn verminderte sich die Frequenz der Bäder dermaßen, daß die Badegebäude infolge Mangels

\*) SAMBUCUS: *Rerum ad Agriam gestarum narratio* 1558.

\*\*) ISTVÁNFY: *Pann. hist. de rebus hungaricis*. 1622. Liber XVIII. pag. 209.

an Pflege und Aufsicht successive einzustürzen begannen. Später jedoch ließ Bischof ESZTERHÁZY die Gebäude ausbessern (1770) und auch zwei Badezimmer bauen; demzufolge konnte KORABINSZKY von den Thermen von Eger schreiben: \*) „... sind heut zu Tagen in großem Ansehen.“ (1786.) Erzbischof PYRKER läßt das Bad neuerdings erweitern und verschönern (1827), so daß das badelustige Publikum massenhaft zuströmt. Jetzt begann man diese Thermen auch von wissenschaftlichem Standpunkte zu untersuchen, wie das früher schon oftmals erwähnt wurde. In dieser Zeit erscheint die erste genaue Beschreibung der Thermen in ungarischer und deutscher Sprache von MICHAEL FEJES (1830) (3.), in Anbetracht seiner Zeit jedenfalls eine höchst wertvolle Arbeit. FEJES schreibt, daß die Bäder von Eger stark frequentiert wurden.

Als Arzt deutet er auf zahlreiche Krankheiten hin, welche mit Hilfe dieser Thermen mit gutem Erfolge geheilt wurden. Unzweifelhaft erreichten diese Thermen in jener Zeit den Glanzpunkt ihrer Geschichte.

In den nachfolgenden Zeiten erwähnen noch A. S. KOVÁCS (1841), D. WAGNER (1843) die Thermen von Eger, ausführlicher schreiben hierüber WACHTEL (1859) (4.), sowie die vorzüglichen Balneologen CHYZER (1887) (5.) und BOLEMAN (1896) (6.). Besonders hervorzuheben ist die Erklärung CHYZER-S, wonach der Aufschwung dieser vorzüglichen Bäder als unbedingt wünschenswert zu betrachten wäre. Tatsächlich können diese, einst für bequem gehaltenen Badelokalitäten mit ihren Einrichtungen den heutigen Zeiten und Ansprüchen kaum entsprechen und wird dadurch Eger als Badeort gegenwärtig vollkommen außer Acht gelassen.

In neuesten Zeiten überließ der opferwillige Erzbischof L. SZMRECSANYI das Bad samt Mühle, Wäscherei und Damenschwimmbad dem Publikum von Eger, welches im Jahre 1918 mit etlichen Interessenten von Eger und Budapest die Egri Várostejlesztő A.-G. gründete, mit dem Zwecke, die Bäder den heutigen Zeiten und Anforderungen entsprechend auszubauen. Leider wurde die Verwirklichung dieser schönen Pläne durch die dazwischen gekommenen Weltereignisse unmöglich gemacht und mußte man diese der Zukunft überlassen. Den einstigen „warmwässerigen Teich“ jedoch baute im Frühjahr 1920 obgenannte Aktiengesellschaft in ein neues Herrenschwimmbad um (1015 m<sup>2</sup> Wasseroberfläche), welches vom Publikum stark besucht wird.

Die Thermen von Eger sind in der Balneologie Ungarns unzweifelhaft zu einer großen Rolle berufen. Ihre Wasserquantität, genügend hohe Temperatur und vorteilhafte Lage bestimmen sie in jeder Hinsicht dazu. Hiefür spricht auch der Umstand, daß die Bäder in einer solchen bedeutenderen Provinzstadt gelegen sind, welche zahlreiche Ärzte, eine ansehnliche Intelligenz, Bibliotheken, Theater, Parkanlagen, Zerstreuungs-

\*) KORABINSZKY: Geogr.-hist. und Produktenlexikon von Ungarn. 1786. pag. 163.

und Ausflugsorte besitzt. Die Umgebung der Stadt ist angenehm, das Klima milde (die jährliche Durchschnittstemperatur beträgt  $9.30^{\circ}\text{C}$ , ist also jener von Budapest gleich), der Eisenbahnverkehr günstig. Die Kranken- und Erholungsbedürftigen können also hier alle ihre Bedürfnisse finden. Die erste Bedingung zur Aufblühung der Bäder von Eger wäre vor Allem der Ausbau der übrigen Bäder, sowie ein den heutigen Zeiten entsprechender Comfort. Dies kann aber nur durch die Erbauung eines modernen Badehotels erreicht werden.

Von großer Bedeutung sind endlich die Thermen von Eger vom Standpunkte der Radiumemanation. Die aus den Quellen hervorbrechenden Gase enthalten eine beträchtliche Quantität von Radiumemanation (per  $1.82 \times 10^{-6}$  Millicurie = 22.55 Macheeinheit), abgesehen von der im Wasser gelösten Radiumemanation. Diese mit den Gasblasen aufbrechende Radiumemanation könnte man einfach auffangen und in ein Inhalatorium leiten, von wo sie mittels Einathmung in den Organismus der Kranken geleitet werden könnte. In Anbetracht dessen, daß die guten Erfolge der Radiumemanationstherapie täglich bekannter werden, dürfen wir mit vollstem Recht annehmen, daß man dem Aufschwung der Bäder von Eger durch zweckmäßige Ausnützung der Radiumemanation in wirksamer Weise Vorschub leisten könnte.

## LITERATUR.

1. S. DOMBI: Relatio de mineralibus inelyti com. Borsodiensis aquis etc. Vindobonae 1766.
2. P. KITAI BEL: Hydrographia Hungariae Tom. II. pag. 205. 1829.
3. M. FEJES: Die Erlauer Bäder in medizinischer und topographischer Beziehung. Eger, 1839.
4. D. WACHTEL: Ungarns Kurorte und Mineralquellen. Ödenburg, 1859 pag. 162.
5. K. CHYZER: Die namhafteren Kurorte und Heilquellen Ungarns. pag. 5. Stuttgart, 1887.
6. ST. BOLEMAN: Ungarns Kurorte und Mineralquellen. pag. 37. Budapest, 1896.
7. A. CSEREY: „Az Egri melegvíz“ chemiai elemzése. (Az egri m. k. áll. fő-reáliskola VII. Értésítője az 1896—97. isk. évről. — Eger, 1897. p. 3—7.) (Nur ungarisch erschienen.)
8. A. RETHLY: Erdbebenbeobachtungen im Königreiche Ungarn im Jahre 1903. Jahrbuch d. ung. Anstalt für Meteorologie und Erdmagnetismus. Bd. XXXIII. 1903. II. Teil.
9. Z. SCHRÉTER: Die geol. Verhältnisse der Umgebung von Eger. Jahresbericht der kgl. ung. Geologischen Anstalt für 1912. Budapest.
10. J. WESZELSZKY: Az ásványos vizek radioaktivitásáról, (Magyar Chemiai Folyóirat. XXIII — 1917. p. 116. und Magyar Balneologiai Értesítő, X. 1917. Nr. 11, p. 2) — (Nur ungarisch erschienen.)

## INHALTSVERZEICHNIS.

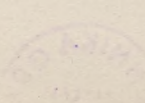
Der geologische Bau der Umgebung der Thermen in Eger .....	103	(3)
Die Tektonik der Umgebung der Thermen und die Entstehung der Thermen .....	105	(5)
Die Entstehung der Thermen von Eger .....	106	(6)
Die Entwicklungsgeschichte der Thermen von Eger .....	108	(8)
Ausführliche Beschreibung der lauen Thermengruppe und die Temperatur der Quellen .....	109	(9)
Ältere Temperaturbestimmungen .....	113	(13)
Die chemischen Eigenschaften der Thermen und der aufsteigenden Gase .....	114	(14)
Die Wasserquantität der Thermen .....	117	(17)
Die Bohrung artesischer Brunnen .....	118	(18)
Die Wirkung der Erdbeben auf die Thermen .....	119	(19)
Die Grundwässer und die Thermen. Die Temperatur der Brunnenwässer nächster Umgegend .....	120	(20)
Die Thermen von Eger in der Geschichte und Gegenwart .....	122	(22)
Literatur .....	124	(24)

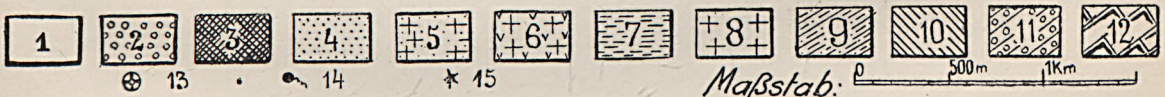


Das Verhalten der ...  
...  
...

**INHALTSVERZEICHNIS**

1. Einleitung	1
2. Die Grundlagen der ...	10
3. Die ...	20
4. Die ...	30
5. Die ...	40
6. Die ...	50
7. Die ...	60
8. Die ...	70
9. Die ...	80
10. Die ...	90
11. Die ...	100
12. Die ...	110
13. Die ...	120
14. Die ...	130
15. Die ...	140
16. Die ...	150
17. Die ...	160
18. Die ...	170
19. Die ...	180
20. Die ...	190
21. Die ...	200
22. Die ...	210
23. Die ...	220
24. Die ...	230
25. Die ...	240
26. Die ...	250
27. Die ...	260
28. Die ...	270
29. Die ...	280
30. Die ...	290
31. Die ...	300
32. Die ...	310
33. Die ...	320
34. Die ...	330
35. Die ...	340
36. Die ...	350
37. Die ...	360
38. Die ...	370
39. Die ...	380
40. Die ...	390
41. Die ...	400
42. Die ...	410
43. Die ...	420
44. Die ...	430
45. Die ...	440
46. Die ...	450
47. Die ...	460
48. Die ...	470
49. Die ...	480
50. Die ...	490
51. Die ...	500
52. Die ...	510
53. Die ...	520
54. Die ...	530
55. Die ...	540
56. Die ...	550
57. Die ...	560
58. Die ...	570
59. Die ...	580
60. Die ...	590
61. Die ...	600
62. Die ...	610
63. Die ...	620
64. Die ...	630
65. Die ...	640
66. Die ...	650
67. Die ...	660
68. Die ...	670
69. Die ...	680
70. Die ...	690
71. Die ...	700
72. Die ...	710
73. Die ...	720
74. Die ...	730
75. Die ...	740
76. Die ...	750
77. Die ...	760
78. Die ...	770
79. Die ...	780
80. Die ...	790
81. Die ...	800
82. Die ...	810
83. Die ...	820
84. Die ...	830
85. Die ...	840
86. Die ...	850
87. Die ...	860
88. Die ...	870
89. Die ...	880
90. Die ...	890
91. Die ...	900
92. Die ...	910
93. Die ...	920
94. Die ...	930
95. Die ...	940
96. Die ...	950
97. Die ...	960
98. Die ...	970
99. Die ...	980
100. Die ...	990

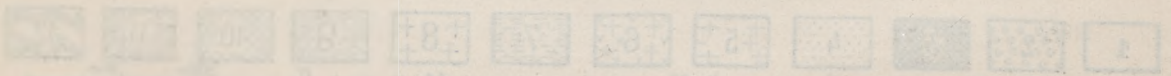
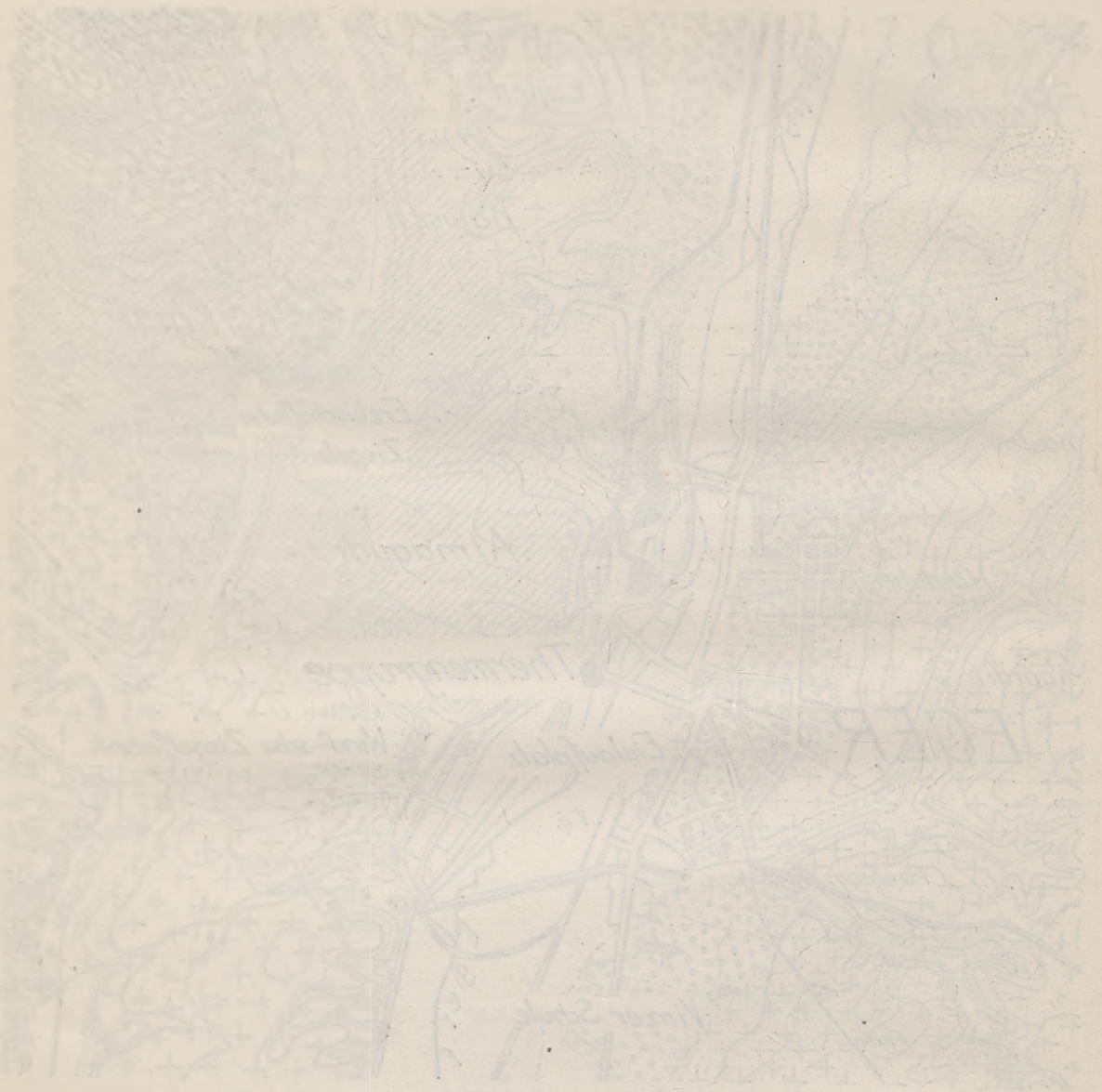




**Geologische Karte der Umgebung von Eger (Erlau).**

1. Holozän. 2. Pleistozäne Terrasse. 3. Pleistozäner Kalktuff. 4. Pannonische (Pontische) Stufe.
5. Oberer Rhyolithuff. 6. Andesittuff. 7. Vindobonische Stufe. 8. Mittlerer Rhyolithuff.
9. Oberes Oligozän. 10. Unteres Oligozän. 11. Oberes Eozän. 12. Mittlere Trias. 13. Artesische Bohrung. 14. Quellen. 15. Fossilien-Fundorte.





Geologische Karte der Umgebung von Koltan  
1. Koltan, 2. Koltan, 3. Koltan, 4. Koltan, 5. Koltan, 6. Koltan, 7. Koltan, 8. Koltan, 9. Koltan, 10. Koltan, 11. Koltan, 12. Koltan





5.

EINLEITUNG

BEITRÄGE  
ZUR  
GLAZIOLOGIE ZENTRALASIENS

DIE PLEISTOZÄNE VERGLETSCHERUNG DES ZENTRALEN  
TIENSCHAN, DES ÖSTLICHEN PAMIR UND WESTLICHEN KÜENLUN  
SOWIE DIE POSTGLAZIALEN KLIMAVERÄNDERUNGEN

VON

GYULA PRINZ

MIT DEN TAFELN VIII–XII. UND 57 FIGUREN IM TEXTE

Mitt. a. d. Jahrb. d. kgl. ungar. Geol. Anstalt, XXV. Bd. 5. Heft

Wpisano do inwentarza  
ZAKŁADU GEOLOGII

Dział B Nr. 167

Data 20 II 1947



BELTARTALOM  
A  
GLAZIOLÓGIAI KÖZLEMÉNYEK

Erschienen in ungarischer Sprache  
im Jahre 1916, als Band XXIV., Heft 2. der Zeitschrift  
„A m. kir. Földtani Intézet Évkönyve“.

GYULA PRINS

MIT DREI TAFELN UND ZWÖLF FIGUREN IM TEXTE

Ausgegeben am 31. Juli 1927.

1927. július 31. Budapest, Magyar Tudományos Akadémia Könyvtára

Magyar Tudományos Akadémia  
Könyvtára  
Budapest, V. u. 10. sz. utca  
1927. július 31.



## EINLEITUNG.

Zentralasien, sowie im allgemeinen die östlich der Karpaten sich erhebenden Gebirge ermöglichen zahlreiche Beobachtungen, ohne deren Kenntnis es kaum gelingen dürfte, die mit der Geschichte des ungarischen Pleistozäns verknüpften Probleme einer Lösung entgegenzuführen. Ich kann hier auf Aussprüche L. v. Lóczy's hinweisen,<sup>1</sup> in denen ähnliche Ansichten zum Ausdruck gelangen. Jene Reihe glaziologischer Arbeiten, welche von den eingehendst untersuchten Alpen über den Kaukasus, den Hindukus und den Pamir-Tianschan zum Kuenlün führt, erbringt den Beweis dafür, dass die grossen klimatologischen Probleme unabhängig von einander behandelt, kaum eine Lösung erlauben. In der erwähnten Serie von Abhandlungen nehmen die Forschungen L. v. Lóczy's im Kuenlün und diejenigen M. v. Déchy's im Kaukasus einen würdigen Platz ein.

Vorliegende Arbeit bringt ausschliesslich die glaziologischen Resultate meiner Forschungen in Zentralasien. Ein etwas umfangreicher Abschnitt dieser Resultate erschien im Jahrg. 1909, Heft 1—3 der Mitteilungen d. k. k. Geogr. Ges. in Wien unter dem Titel „Die Vergletscherung d. nörd. Teiles d. zentr. Tien-schan-Gebirges“. Einen kleineren Abschnitt: „Beiträge zur Morph. d. Kuldschaer Nan-Schan“ veröffentlichte ich in Jahrg. 1910, Heft 2—3 derselben Zeitschrift. Eine Zusammenfassung der Resultate erschien im Jahrg. 1909, bzw. 1910 des „Tud. Akad. Math. Term. Tud. Értesítő“. Die erwähnten beiden Abhandlungen gehören eigentlich zu vorliegender Arbeit, es waren Umstände persönlicher Natur, die mich veranlassten, sie vor der Zeit zu veröffentlichen.

Es sei auch an dieser Stelle erwähnt, dass ich den grössten Teil meiner ersten Reise — mit Ausnahme der Winterexkursion — mit Unterstützung des Herrn Dr. GEORG v. ALMÁSY, ja teilweise in dessen Gesellschaft machte. Ein beträchtlicher Teil der Reisekosten meiner zweiten Expedition wurde mir von der Ungarischen Akademie der Wissenschaften gütigst zur Verfügung gestellt.

---

<sup>1</sup> Magyarország negyedkori klimaváltozásairól. A m. kir. Földt. Int. népszerű kiadványai. II. köt., 3. füz., p. 72. (Über die quartären Klimaschwankungen Ungarns. Populäre Schriften der kgl. ung. Geologischen Reichsanstalt, Bd. II., Heft 3, S. 72.)



EINLEITUNG

Zunächst sei im allgemeinen die Stellung der Karpaten sich  
erhebend (siehe: entsprechende zehnte Beobachtung, ohne deren  
Kontext es kaum möglich dürfte, die mit der Geschichte des nördlichen  
Prestige verbundenen Probleme einer Lösung entgegenzuführen. Ich  
kann hier auf Aussprüche L. v. Löw's hinweisen, in denen ähnliche  
Ansichten zum Ausdruck kommen. Eine Reihe geographischer Arbeiten,  
welche von den einschlägigen Forschern, wie den Karpaten-  
den Hingabe und den Karpaten-Forschern zum Ausdruck bringt, enthält  
den Beweis dafür, dass die großen klimatischen Probleme nördlich  
als von einander abhängig, kaum eine Lösung erfordert. In der erwähn-  
ten Serie von Abhandlungen nehmen die Forschungen L. v. Löw's im  
Kontext und diejenigen M. v. Löw's im Kontext einen wichtigen  
Platz ein.

Vorliegende Arbeit drückt ausschließlich die geographischen Be-  
trachtungen in Karpaten. Ein etwas unvollständiger  
Abschnitt dieser Resultate erschien im Jahre 1903, Heft 1-3 der Mit-  
teilungen d. k. k. Geogr. Ges. in Wien unter dem Titel: Die Vegetation  
von A. v. Löw, d. k. k. Geogr. Ges. Wien, Wien, 1903. Diese Resultate  
Abhandlung, welche zum Teil d. k. k. Geogr. Ges. Wien, Wien, 1903.  
Ich habe im Jahre 1910, Heft 2-3 derselben Zeitschrift, eine Zusammen-  
fassung der Resultate erschienen im Jahre 1907 bzw. 1910 des. Jah. Acad.  
Math. Tern. Teil, Wien. Die erwähnten beiden Abhandlungen geben  
einige Angaben zu vorliegenden Arbeit, es waren folgende geographische  
Namen die nicht verstanden, sie vor der Zeit zu veröffentlichen.

Es sei auch an dieser Stelle erwähnt, dass ich den größten Teil  
meiner Arbeit in Bälne - mit Ausnahme der Winterkuren - mit Unter-  
stützung des Herrn Dr. v. Löw, Wien, geleistet habe. In dessen Gesellschaft  
wurde der wichtigste Teil der Beobachtungen meiner zweiten Expe-  
dition durchgeführt. Die geographischen Arbeiten der W.  
geographischen Institut zur Verfügung gestellt.

1. Manuskript verwahrt in der Bibliothek d. k. k. Geogr. Ges. Wien.  
2. Manuskript d. k. k. Geogr. Ges. Wien, Wien, 1903.  
3. Manuskript d. k. k. Geogr. Ges. Wien, Wien, 1903.

## BESCHREIBENDER TEIL.

### A) Der Nordabhang des Terskei-Alatau.

#### 1. Das Quellgebiet des Tekes.

Zwischen den Bergen des Tschuwartal und Ulabaschi betritt der Tekes ein breites Tal. Dieser Abschnitt des Tekes-Laufes ist eine schöne Terrassenlandschaft, welche das Gebiet pleistozäner Vergletscherung von der Beckenreihe des Issikul-Tekes scheidet. Über die Fluvioglazialterrassen des Tekes, sowie über den genetischen Zusammenhang dieser und der Becken hatte ich bereits Gelegenheit in einer meiner Abhandlungen zu berichten.<sup>1</sup> Gegen das Quellgebiet des Tekes zu, in geringer Entfernung von der Mündung des Tiek-Flusses, verschwinden die Terrassen plötzlich. Oberhalb der Mündung des Tiek folgt ein kleines Schluchttal, welches im Krinoidenkalk des Unterkarbons und dem aufgelagerten, lebhaftgrünen Porphyrituff eingeschnitten ist. Oberhalb der Schlucht, in einer Höhe von etwa 2550 *m* über dem Meere stiess ich auf die ersten Spuren des einstigen Gletschers. Mächtige Granitblöcke liegen zwischen den aus Karbonkalk und Porphyrituff aufgebauten Berghängen. Zwar fand ich in Kürze den rosafarbenen Granit auch anstehend vor, an den Berghängen gewahrte ich jedoch keinerlei Spuren von Bergrutsch und auch die zerstreute Anordnung der Blöcke deutet auf die Arbeit des Gletschers hin.

Die ersten wahrscheinlichen Gletscherspuren befinden sich demnach auch hier bereits in der Waldzone; die obere Grenze der Nadelwälder kann hier nämlich auf 3000 *m* geschätzt werden. An dieser Grenze trifft man Gletscherspuren an, die auf eine Stirnmoräne schliessen lassen, welche bei weitem sicherer zu erkennen ist, als die erstgenannte. Hier ändert sich auch bereits das Aussehen des Tales, die Talsohle wird breiter, verflacht und verringert ihr Gefälle. Je höher wir steigen, umso schöner entfaltet sich vor unseren Augen der verlassene Boden des einstigen Gletschers. Die Länge des glazialen Trogtalabschnittes des Tekes beträgt etwa 6 *km*. Der Tekes-Pass befindet sich in einer Höhe von 3200 *m*, er ist flach; eine seengesäumte Rückenlandschaft breitet

<sup>1</sup> Gy. PRINZ: Die Vergletscherung des nördlichen Teiles des zentralen Tianschan-Gebirges. (Mitteil. d. k. k. geogr. Ges. i. Wien, 1909.)

sich hier aus, umgeben von ebenfalls bloss 3500–3600 *m* Höhe erreichenden Berggipfeln. An den Hängen der letzteren reihen sich Hängetäler, Kare aneinander, die jedoch derzeit durchwegs unterhalb der Grenze dauernder Schneebedeckung liegen.

Auf dem flachen Rücken des Tekes-Passes befinden sich 18–20 kleinere, dunkle Seen. Die kleineren erreichen eine Fläche von 100–150 *m*<sup>2</sup>; der grösste, kreisförmige, dessen Durchmesser etwa 50 *m* betragen mag, wird von den Kirgiskajsaken Karakul genannt. Die mit Seen übersäte Rückenlandschaft ist echter Moränenboden.

Das Moränenfeld des Tekesbaschi bricht an seinem Südostrande jäh ab und wird durch eine etwa 100 *m* hohe, steile Bergwand von dem in der Tiefe sich dahinschlängelnden Koksaj-Tale getrennt. Es muss demnach das Bett des pleistozänen Tekesbaschi-Gletschers nach dem

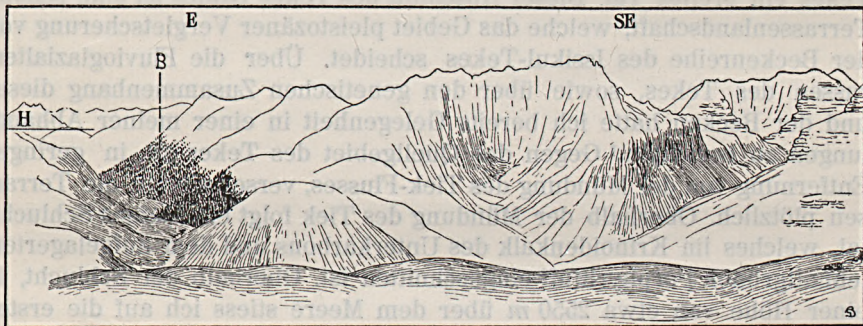


Fig. 1. Grosse Moräne des Tekesbaschi (im Vordergrund B = Fluviales Erosionstal des Bordokakpak. In der Richtung SE ein Kar, westlich davon Urtalboden, unterhalb desselben Muldental aus der Burkhanzeit. Rechts horizontales, rotes Tertiärkonglomerat. H. = 3300 *m*.

Schmelzen des Eises der Schauplatz überaus interessanter Veränderungen gewesen sein.

Das Tal des Bordokakpak ist V-förmig, die Talsohle somit rein fluvialen Ursprungs; die südlichen, also nach Norden blickenden Abhänge sind von Nadelwäldern bedeckt. In diesem Tale stürzt das Wasser, seines grossen Gefälles wegen in Kaskaden abwärts und ist daher — nach Angabe der Kirgisen — wenigstens bis Juli nicht passierbar. Auf dem höchsten Moränenhügel des Tekesbaschi stehend, sah ich zwei Täler von meinem Aussichtspunkte ausgehen, eines nach Nordwesten, dieses liess unzweifelhafte Spuren eines 6 *km* langen Gletschers der Burkhanzeit erkennen, ein anderes nach Osten, in welchem die Spur des pleistozänen Gletschers nur durch die etwas unterhalb meines Aussichtspunktes sich erstreckenden, durch das Eis bewirkten Exkavationen bezeichnet wird, aber auch diese befinden sich hoch über der Talsohle, oben an den Berghängen.

Östlich des Koksaj-Tales war ein weites Firnbecken das Sammelgebiet des pleistozänen Tekes-Gletschers. Es ist dies ein flaches, breites, in Muldentäler gegliedertes, mächtiges Becken, dessen Ausdehnung ich auf wenigstens 50  $km^2$  veranschlagen muss. Dieses einstige Firnbecken ist auf dem in Fig. 2., besonders aber in Fig. 3. skizzierten Panorama sehr gut sichtbar.

Die Gebirgsstruktur des Gebietes pleistozäner Vergletscherung kann ich in Anbetracht der schnellen Reise natürlich nur flüchtig skizzieren, nichtsdestoweniger steht mir diese in ihren Hauptzügen doch ziemlich klar vor Augen. Oberhalb der Tiek-Mündung fand ich über dem Krinoidenkalk des Unterkarbons grünen Porphyrituff und über diesem, den auf Analogien gestützt als oberkarbonisch bestimmten, hell-geblichgrauen Kalkstein. Unter dem Unterkarbon liegt rosa Granit. Es bereitet keinerlei Schwierigkeiten, die Lagerungsverhältnisse dieser Gebilde an den Berghängen selbst weiter zu verfolgen, da ihre Farben auffallend kontrastieren. Im Tekes-Tale aufwärts gehend tritt das rote Konglomerat in stetig wach-

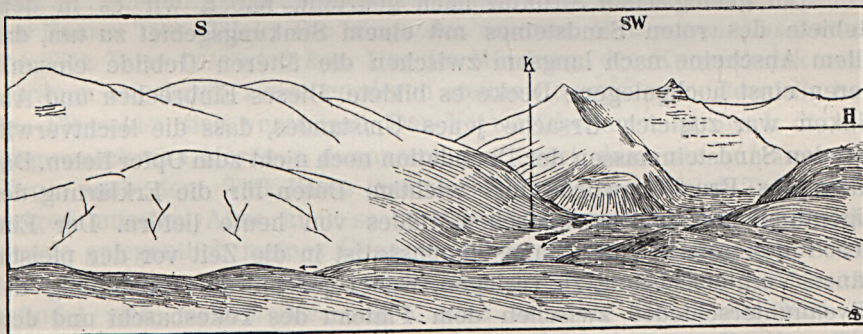


Fig. 2. (Fortsetzung d. Fig. 1.) Grosse Moräne des Tekesbaschi (im Vordergrund) und Muldental des Koksaj (K). Im Hintergrund eisgeformte Erhebung in Form eines Brotlaibes.

sender Menge im Gerölle des Flüsschens auf. In dem Konglomerat wieder herrscht der Granit vor. Dann wieder tritt Kalk des Unterkarbons als anstehendes Gestein in enger Verbindung mit porphyritischen Gesteinen auf. In dem sich zusehends verflachenden Tale gewinnt allmählich der Moränenboden das Übergewicht. An der Stelle der Unterwaschung des Tekesbaschi-Plateaus durch den Koksaj-Fluss, treten horizontalgelagerte, rote Konglomeratbänke zu Tage. Die den Koksaj und Tekesbaschi unmittelbar umgebenden Berge sind fast ausschliesslich aus rotem Sandstein und Konglomerat aufgebaut, die sich auf dem bereits vorhandenen Grundgebirge ablagerten, beginnend bei etwa 3000  $m$  absoluter Höhe, in einer Mächtigkeit von 4–500  $m$ . Das pleistozäne Firnbecken ist in rotes Konglomerat eingebettet. In ganzer Höhe des nordöstlich vom Koksaj befindlichen ersten Berges sind in horizontaler Lagerung die Schichten des

Sandsteins zu sehen. Der benachbarte zweite Berg (auf Panoramaskizze Fig. 1. in SE-Richtung) jedoch verrät vom Scheitel bis zur Sohle das Fehlen des Sandsteins, obschon er sich in gleichem Niveau mit ersterem befindet. Die Sandsteinbänke stossen gegen Nordost auf Gebilde höheren Alters.

Ich durchquerte das Koksaj-Becken gegen den Kubergenty-Pass zu (3520 *m*) in gerader Richtung nach Süden. Auf dem Grunde des Koksaj fand ich in Kürze unter dem roten Sandstein den für die Schichtgruppe des Unterkarbons bezeichnenden Kalkstein, die Lagerungsverhältnisse der Schichten konnte ich jedoch wegen den geringen Dimensionen des Aufschlusses nicht bestimmen. Auch gegen Süden enden auf dem Kubergenty-Pass die mächtigen roten Sandsteinlager, da vertikalgerichtet gepresste, grünlichgraue und lilafarbene tonige Sandsteine auftreten.

Der rote Sandstein stösst demnach sowohl im Osten, als auch im Süden auf ältere Gebilde.

Der geologischen Struktur nach geurteilt, haben wir es in dem Gebiete des roten Sandsteines mit einem Senkungsgebiet zu tun, das allem Anscheine nach langsam zwischen die älteren Gebilde einsank, deren einst hochgelegene Decke es bildete. Dieses Einbrechen und Absinken war zugleich Ursache jenes Umstandes, dass die leichtverwitternden Sandsteinmassen der Denudation noch nicht zum Opfer fielen. Das Alter des Bruches würde uns wichtige Daten für die Erklärung des eigentümlichen hydrographischen Bildes von heute liefern. Der Einbruch der ganzen roten Sandsteinmasse ist in die Zeit vor der pleistozänen Vergletscherung zu verlegen, wobei jedoch die Entstehung des Niveauunterschiedes zwischen dem Plateau des Tekesbaschi und dem Boden des Koksaj-Tales unerklärt bleibt. Auf dem Grunde des Koksaj-Tales tritt unter dem roten Sandstein schon das Unterkarbon hervor, so dass wir hier das tiefste Niveau des roten Sandsteines vor uns haben, während unter dem Plateau des Tekesbaschi das Unterkarbon sich noch nicht vorfindet. Der Koksaj befindet sich demnach dem Plateau gegenüber verhältnismässig eher höher als tiefer. Ich bin daher geneigt anzunehmen, dass der Grund des Niveauunterschiedes in der Wirkung der Austragung zu suchen sei (Fig. 3.).

Nach alledem halte ich es für wahrscheinlich, dass der Tekes-Gletscher seinen Ursprung aus dem Firnbecken des Koksaj nahm. In der Richtung gegen den Bordokakpak mag der Tekes-Gletscher einen Abfluss besessen haben, der infolge seines bedeutenden Gefälles, ganz wie heute, der Schauplatz einer ausserordentlich energischen, rückwärtsschreitenden Erosion gewesen sein mag. Der Tekes-Gletscher jedoch lagerte seine Geschiebe auf den derzeitigen Tekesbaschi ab, während durch die schmale Öffnung des Bordokakpak bloss Schmelzwässer talwärts strömten. Gelegentlich des Gletscherrückganges blieben bei verhältnismässig geringem

Gefälle die Schmelzwässer zwischen den in grosser Menge zurückgelassenen Moränen des Tekesbaschi eingeschlossen, während sie in der Richtung gegen den Bordokakpak munter hervorsprudeln konnten. Auf diese Weise war die Möglichkeit der stetigen Vertiefung der Bordokakpak-Scharte gegeben, die allmählich den Koksaj ganz in ihren Bereich zog. Der gegenwärtige, etwa 100 *m* betragende Niveauunterschied des Koksaj scheint gegenüber dem Tekesbaschi-Plateau zwar etwas zu gross, als dass dessen Entstehung durch die verhältnismässig kurze Zeit währende Erosion erklärt werden könnte, aber ermöglicht scheint sie trotzdem, durch den leichten Zerfall des Sandsteines.

Der Tekes-Gletscher mag demnach eine Länge von wenigstens 15 *km* besessen haben.

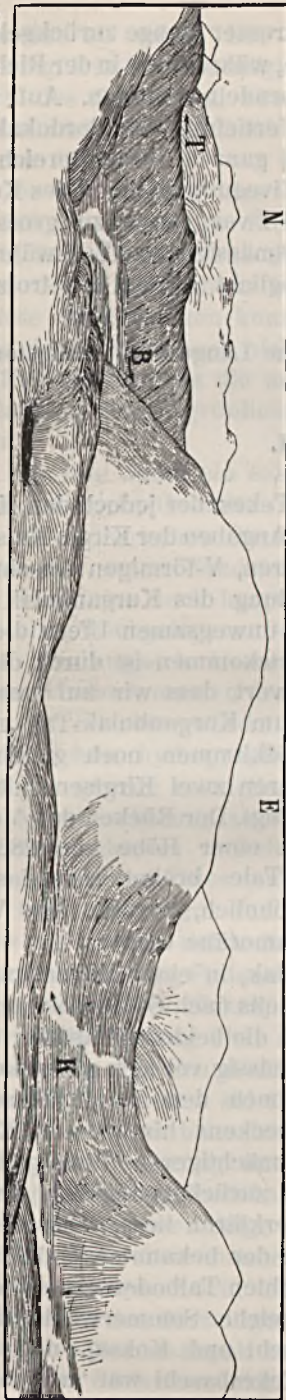
## 2. Das Tiök-Tal.

Der erste linksseitige Nebenfluss des Tekes, der jedoch den Hauptfluss an Bedeutung weit übertrifft, führt nach Angaben der Kirgis-Kajsaken den Namen Tiök (Tijek). Die Länge des unteren, V-förmigen Abschnittes des Tiök-Tales beträgt 6 *km*. Um die Mündung des Kurganbulak sind Moränen angehäuft, zwischen deren steilen unwegsamen Ufern die beiden Flösschen sich vereinigen. Das Vorwärtskommen ist durch die tief ausgewaschenen Moränen dermassen erschwert, dass wir auf unserem Wege nach dem Tiök-Passe ihretwegen zum Kurganbulak-Tal emporsteigen mussten. Aber auch so ist das Pfadklettern noch gefährlich; gerade gelegentlich meines Überganges waren zwei Kirgisen mit dem Abhäuten eines abgestürzten Pferdes beschäftigt. Der Rücken der Moräne befindet sich meinen Messungen nach in einer Höhe von 2820 *m*. Hinter der Stirnmoräne im Kurganbulak-Tale breitet sich das Tal aus und die Nadelwälder bleiben, wie gewöhnlich, zurück. Die Waldgrenze reicht bloss bis zum Fusse der Stirnmoräne empor.

Oberhalb der Mündung des Kurganbulak, in einer Entfernung von 2.5 *km*, findet eine Gabelung des Tales einesteils nach Ostnordost, andersteils nach West statt. Hier also vereinten sich die beiden Gletscher, deren Rückgang — wie es scheint — nicht gleichmässig vor sich gehen konnte. Darauf weisen die Spuren eines in dem nach dem Passe führenden Tal befindlichen, längst verschütteten Seebeckens hin, dessen Entstehung möglicherweise aus der von dem mächtigeren Hauptgletscher auf die Schmelzwässer des bereits weiter zurückgegangenen zweiten Gletschers ausgeübten Stauwirkung sich erklären liesse. Dieser obere Abschnitt des Tiök-Tales trägt das Gepräge der bekannten Muldentäler. Frischgrüne Matten nehmen den breiten feuchten Talboden ein, auf denen die Vieh- und Rossherden der Kirgisen reiche Sommerweide finden.

Gegenwärtig sind weder im Tekesbaschi und Koksaj, noch aber im Tiök-Tal Firnfelder vorhanden. Am Tekesbaschi war zwar am 18.

Fig. 3. Grosse Seitenmoräne (im Vordergrund) des Koksaj-Tales (K) und unterwaschene Seitenwand der moränenbedeckten, see-reichen Talniederung (Kara-köl) des Tekesbaschi (T). B = Talanfang des Bordokakpak. T = Tekes-Pass, Aussichtspunkt f. d. Fig. 1. u. 2.



Juli 1906, alles mit frischem Schnee bedeckt, freilich bei aussergewöhnlicher Witterung. Im Tiëk-Tale traf ich am 23. August 1906, an günstig gelegener schattiger Stelle freilich, ein perennierendes Schneefeld; an die bis 3600—3700 m hohen Berggipfel liegen noch unterhalb der Schneegrenze.

Anfangs des unteren Endes des obersten Abschnittes des Tiëk-Tales, nimmt das Tal eine Wendung fast genau nach Osten. An dieser Wendung des Tales ist die Höhe der Wasserscheide des Kokdscher und Tekes eine ganz geringe. Das Tiëk-Tal wird durch einen bloß 50—60 m hohen, eisgeschrammten Hügellücken von einem der Nebentäler des Kokdscher getrennt, welches wahrscheinlich mit jenem Tale der FRIEDERICHSEN-schen Karte identisch ist, das den Namen Tek (Tiëk?) führt. Vom Tiëk-Pass aus ist diese Wasserscheide, sowie das Quellgebiet des Kokdscher-Tek gut sichtbar. Die Länge des Trogtales im oberen Abschnitte des Tiëk beträgt von den unterhalb des 3450 m hohen Passes gelegenen Rundhöckern an bis zur Windung 5 km und senkt sich auf 3250 m. In der Fortsetzung desselben Muldentales befindet sich ein anderes, mit entgegengesetztem, etwas steilerem Gefälle, das vom ersteren durch die erwähnte niedere Wasserscheide getrennt wird. Wohl nicht an Ort und Stelle, sondern als ich schon daheim die physiographischen Bilder verglich, fiel es mir ein, dass dieses Tal in nächster Nähe eine gute Analogie der hydrographischen Eigentümlichkeit des Tekesbaschi bieten könnte. Hätte der pleistozäne Gletscher des „Tek“ im Kokdscher-Tale eine hohe Stirnmoräne abgelagert, u. zw. so, dass sich seine Wasserstauten, hätte das Schmelzwasser die niedere Wasserscheide durchbrochen. Natürlich bleibt immer noch der eigentümliche

Unterschied zwischen den beiden Tälern bestehen, dass es sich hier um das Zusammentreffen zweier Täler in der Tiefe, dort aber um die Unterbrechung eines Tales in der Mitte handelt.

### 3. Das Kokdscher-Tal.

Die vom Mintör-Syrt zu Tale fließenden Gewässer nimmt der Kokdscher (Karkara) auf. Zweimal bot sich mir Gelegenheit den oberen Abschnitt des Kokdscher-Tales zu sehen. Am 19. Juli des Jahres 1906 führte mich mein Weg vom Tekesbaschi über den Kubergenty-Pass zur Mündung des Mintör-Flusses und von da zurück auf den Kakpak-Pass und am 24. August desselben Jahres, als ich das ganze, zwischen dem Tiök-

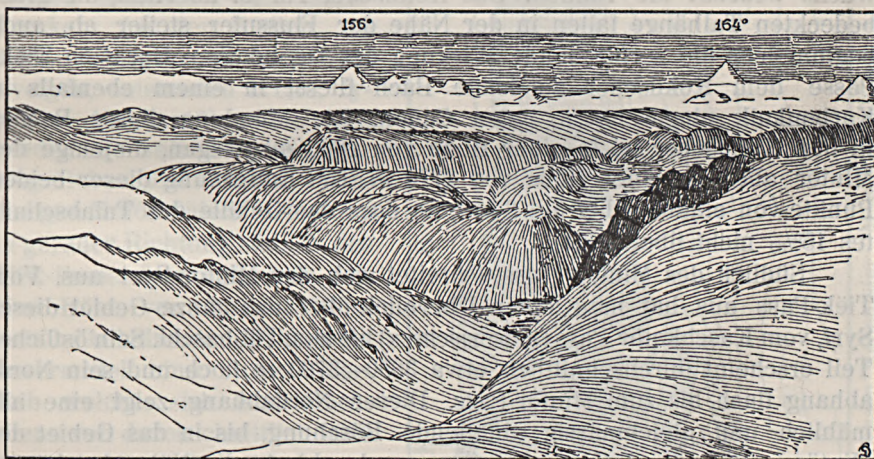


Fig. 4. Mintör-Syrt vom Kubergenty-Pass aus gesehen. Im Vordergrund Muldentäler der Kokdscher-Gegend.

Pass und dem Westende des Mintör-Syrt gelegene, in der Luftlinie 25 km breite Tal durchquerte.

Die Form des vom Kubergenty-Pass, also von der Wasserscheide des Kokdscher und Koksaj (Bordokakpak) gegen Süden führenden Tales, ist die einer regelmässigen Mulde. Die Höhe des Passes beträgt 3530 m, der Talausgang befindet sich neben dem Kokdscher-Flusse in 3170 m Höhe.

Vom Kubergenty-Pass aus öffnet sich eine herrliche Aussicht gegen Südosten auf den Mintör-Syrt und das Adirtör-Gebirge, sowie die Aschutör-Kette. Dem Passe gegenüber, in süd-südöstlicher Richtung (164°) sieht man das glaziale Muldental des Mintör Flusses (Djaktasch). Zwischen dem Mintör und dem Kakpak-Syrt erheben sich abgerundete Höckerberge, die den Anschein erwecken, als wäre ihre Eisdecke erst jetzt zerschmolzen.

Dieser Teil des Quellgebietes des Kokdscher erhebt sich über die Grenze der Nadelwälder, an den Talhängen und auf den Syrt-Plateaus breiten sich feuchte Wiesen aus (Fig. 5).

Vom Kubergenty-Pass sah ich das Bild der östlichen Hälfte des Mintör-Syrt, sowie des Westrandes des Kakpaksyrt. Vom Tiek-Pass aus aber, also etwa 8 *km* weiter nach Westen, konnte ich die Gegend in der Richtung des Mintör- und Kokdscher-Zusammenflusses überblicken. Auf dem Zwischenland des Mintör- und Kokdscher-Flusses erhebt sich eine aus Karbonkalk bestehende Gebirgskette; sie besitzt, wie ich vom Tiëk-Passe aus beobachten konnte, Pässe, deren Höhe 3200—3500 *m* und Gipfel, deren Höhe 3500—3800 *m* betragen. Die Hänge der Gebirgskette sind mässig steil, ihre Wasserrisse flach und breit. Spärlicher Graspflanzenwuchs bedeckt die Halden. Das Kokdscher-Tal ist übertieft, die grasbedeckten Talhänge fallen in der Nähe der Flussufer steiler ab, auch beginnt hier die zerfurchende Wirkung der Denudation. Der vom Tiëk-Passe dem Kokdscher zueilende Bach fliesst in einem ebenfalls in Karbonkalk eingesenkten, tiefen Cañon. Die Mündung dieses Baches in den Kokdscher ist in einer Höhe von 2800 *m* gelegen, diejenige des Mintör aber in einer Höhe von 2770 *m*. Die Entfernung dieser beiden Punkte von einander beträgt 2 *km*, so dass das Gefälle des Talabschnittes 15‰ nicht übersteigt.

Südlich des Mintör-Flusses breitet sich der Mintör-Syrt aus. Vom Tiëk-Pass aus hat man einen Überblick über das ganze Gebiet dieses Syrt, vom Kaschkatör-Pass (FRIEDERICHSEN) bis zum Tübbaschi. Sein östlicher Teil erscheint durchschnittlich etwa 3650—3700 *m* hoch und sein Nordabhang flach bis zum Mintör-Pass. Dieser Nordabhang zeigt eine allmählich und gleichmässig abfallende Böschung, bis in das Gebiet des Mintör- und Jaktasch-Zusammenflusses, also bis in die Nähe des Längstales, woselbst der Syrt plötzlich sein Ende erreicht und in steilen Wänden abstürzt. Dieser Aussenrand des Syrt stellt, wie dies auf Fig. 5. ersichtlich, ein Gebiet starker erosiver Wirkung dar. Die Gipfel der im Wege der Erosion entstandenen Berge jedoch fallen in die verlängerte Linie der Syrt-Abdachung, so dass auf diese Weise die Gipfel der das Haupttal umsäumenden Berge mit dem Mintör-Syrt in einer Fläche liegen. Die diese gedachte Fläche zerteilenden Erosionsgräben sind muldenförmig, zeigen Spuren glazialer Tätigkeit, ja selbst die umliegenden Berge sind abgeschliffen, abgerundet. Schärfere Felskämme, Felsrücken sind, den Rand des Haupttales ausgenommen, nirgends zu erblicken.

Das Haupttal nämlich ist einigermassen übertieft, so, dass die Gliederung der unterwaschenen Talhänge leicht vor sich geht. Aus diesen meinen Beobachtungen erhellt, dass der Abhang des Mintör-Syrt sich einst gleichmässig bis auf den Boden des Kokdscher-Tales erstreckte, u. zw. im präglazialen Zeitalter und dass pleistozäne Gletscher flache Muldentäler herausarbeiteten, endlich, dass sich der Fluss des Talbodens

im Pleistozän oder nach demselben verjüngte und sein Tal übertiefte. Die westlich vom Mintör-Syrt, vom Kokdscher-Fluss ausgehende Gliederung der grossen Denudationsebene nimmt eine an Breite stetig wachsende Fläche ein. Das Syrt-Plateau gliedert sich allmählich in Gebirgsketten, die sich in Form langer Rippen dem immer mehr nach Norden sich wendenden Kokdscher-Tale nachstrecken. An den Stellen, wo diese Gebirgsketten sich verzweigen, entstanden breite, typische Nischentäler, die sich wieder in ebenfalls breiten, umfangreichen und ziemlich flachbodigen Muldentälern fortsetzen. In gerader Richtung südlich des Tiék-Passes folgt unterhalb der, eine Höhe von 3650–3700 *m* stets beibehaltenden Hochebene unvermittelt eine Stufe, unterhalb welcher sich eine Hochebene von durchschnittlich 3250 *m* ausbreitet. Die Gliederung dieses letzteren Plateaustückes ist der des ersteren gegenüber sehr gering, die durch das abfliessende Wasser in die sanftgeböschten Hänge des Plateaurandes eingeschnittenen Risse zeigen unbedeutende Tiefen. Es liegt hier klar vor Augen, welche grosse Veränderung im Antlitz der Hochebene eine einfache Hebung des Gebirges um 400 *m*, oder das Sinken der Erosionsbasis um denselben Betrag hervorruft.

Die wenig gegliederten Teile der monotonen Hochebene sind

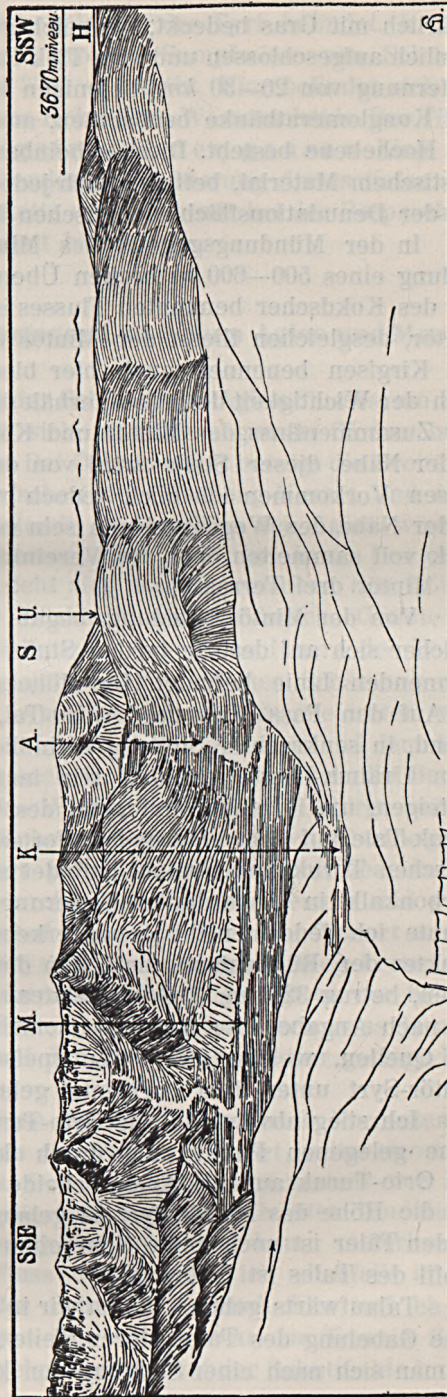


Fig. 5. Blick auf den Kokdscher (K) und dessen Nebentäler. M = Mintör-Fluss. A = Ajasu-Tal. U = Uralma-Tal.

natürlich mit Gras bedeckt; die reich gegliederten Teile hingegen sind ziemlich aufgeschlossen und vom Tiëk-Pass aus konnte ich selbst in einer Entfernung von 20—30 *km* diejenigen horizontal gelagerten Sandstein- und Konglomeratbänke beobachten, aus denen die Decke dieses Teiles der Hochebene besteht. Diese scheinbar horizontalen Gesteinsbänke aus klastischem Material, befinden sich jedoch allem Anscheine nach in einer mit der Denudationsfläche identischen Lagerung.

In der Mündungsgegend des Mintör und Kokdscher kam es zur Bildung eines 500—600 *m* breiten Überschwemmungsgebietes. Nicht das Tal des Kokdscher benannten Flusses ist das Haupttal, sondern das des Mintör, desgleichen fließt der Mintör in einem Nebental des Jaktasch. Die Kirgisen benennen auch hier bloss die Wege und Weiden und je nach der Wichtigkeit derselben, erhält das Haupttal verschiedene Namen. Der Zusammenfluss des Mintör und Kokdscher geht im Niveau vor sich. In der Nähe dieser Stelle wird von den Kirgisen Salz gewonnen, von dessen Vorkommen ich mich jedoch nicht überzeugte, wenn gleich es in der Nähe des Weges gelegen sein musste, da auch meine Leute einen Sack voll sammelten. Vor der Vereinigung mit dem Kokdscher besitzt der Mintör drei Terrassen.

Von der Mintör-Mündung begab ich mich auf den Uralma-Pass, welcher sich auf der die beiden Stufen des Mintör-Syrt von einander trennenden Linie befindet. Die Höhe dieses Passes beträgt kaum 3100 *m*. Auf den Pass führt das Ajusu-Tal, in welchem westöstlich streichend, in senkrechter Stellung befindliche Phyllite aufgeschlossen sind. Vom Uralma-Pass brauchten wir insgesamt bloß 25—30 *m* abwärts-zusteigen, um in einem Muldental des Uralmabaschi unseren Weg zum Turuk-Tale auf dem unteren Syrt fortsetzen zu können. Auf dem Rücken zwischen Turuk und Uralma befindet sich auf den Phylliten hellgrauer Karbonkalk in diskordanter Lagerung; die Schichtung des letzteren konnte ich jedoch nicht genau erkennen. Die Erhebung des höchsten Punktes der Rückenlandschaft, den die Hügel selbst nicht mehr überragen, betrug 3280 *m*. Auf dem Plateau befindet sich eine nasse Wiese, die nach Angaben der Kirgisen niemals austrocknet. Es scheint, dass die Quellen, welche die Wiese speisen, aus der höheren Stufe des Mintör-Syrt unter dem horizontal gelagerten Sandstein hervorbrechen.

Ich stieg abwärts in das Orto-Turuk-Tal, bis zu dessen in 2860 *m* Höhe gelegenen Punkte, um durch das zweite, das westliche Quelltal des Orto-Turuk auf die Wasserscheide des Saridschas und Kokdscher, auf die Höhe des Mintör-Syrt zu gelangen. Bei der Vereinigung dieser beiden Täler ist noch keine Spur einer Baumvegetation vorhanden, das Profil des Tales ist U-förmig.

Talaufwärts gehend finden wir in der Höhe von 2950 *m* eine neuerliche Gabelung des Tales, deren Teile jedoch bloss kurze Rinnsale sind, da man sich nach einer Steigung von kaum 20 *m* schon wieder ausser-

halb des Tales und auf dem Rückenplateau des Syrt befindet. In 3000 *m* Höhe stand ich inmitten einer grossen Sumpfwiese von Schüsselform, deren Südrand sich bis zu 3350 *m* erhebt. Hier befindet sich der Törujruk-Pass, sowie die Saridschas-Kokdscher-Wasserscheide. Der Törujruk-Pass ist also der niedrigste auf der ganzen Linie des Terskei-Alatau. Zur eingehenderen Schilderung dieses tiefen Einschnittes der mächtigen Gebirgskette wird sich mir bei der Besprechung des Saridschas-Gebietes Gelegenheit bieten.

#### 4. Der Nordabhang der Gebirgsgegend zwischen Agias und Musart.

Zwischen Ochotnitschij und der Schlucht des Agias-Flusses, am Südrande des Tekes-Beckens lehnt sich eine riesengrosse, 65 *km* lange Trümmerhalde an das Gebirge an. Bei Ochotnitschij beträgt die Breite der Trümmerhalde kaum 2 *km*, zwischen den Tschong-Musart und Aksu Flüssen 10—12 *km*, an ihrem Ostende in der Nähe des Agias wird sie wieder schmaler, bleibt aber immer noch 7—8 *km* breit. Der obere Rand der Halde der Schuttzone zieht sich ständig zwischen den Höhenlinien 2000—2100 *m* hin, ohne Rücksicht auf das östliche Gefälle des Tekes-Beckens. Das Gefälle der Schuttzone gegen das Innere des Tekes-Beckens zu, ist ein ziemlich gleichmässiges, meiner Schätzung nach beträgt es 100 *m* auf je 3·5 *km*. Am Fusse der Schuttzone treten viele wasserreiche Quellen zu Tage. Zwischen Tschong-Musart und dem Aksu allein zählen die Kirgisen deren sechzig, worauf wohl auch die Benennung „Dalum Bulak“ hinzielt. Das Wasser der aus dem Gebirge heraustretenden kleineren Flüsse und Bäche versiegt auf dem Schuttbande gänzlich, das der grösseren durchquert jedoch, wenngleich mit bedeutender Einbusse an Wassergehalt, das durchlässige Trümmergestein und gräbt tiefe Betten in dasselbe. So schuf sich der Kitschine-Musart an der Stelle, wo ihn der von Ochotnitschij zum Agias führende Weg kreuzt, ein Bett von 10 *m* Tiefe. Den Mukurmutu-Flüssen gelingt es nur bei beträchtlicher Wassermenge den Gesteinschutt zu passieren, was ja auch der Umstand beweist, dass sie auf der Trümmerhalde nur geringe Erosionsarbeit leisten können.

Längs der Mukurmutu-Flüsse führt der Pfad nach Nordosten an den Fuss der Schütthalde, da sich der Tschong-Musart weiter stromaufwärts nirgends durchwatet lässt. Der Tschong-Musart zerteilt sich hier in 7—8 Arme und bildet ein wenigstens tausend *m* breites Inundationsgebiet. Dieses Überschwemmungsgebiet wird von kaum meterbreiten Ufern eingesäumt. Den Aksu-Fluss durchwatete ich ebenfalls in der Gegend des unteren Randes der Schütthalde, auch hier traf ich auf keinerlei nennenswerte Terrassen. Bis hieher war das Terrain flach, jenseits des Aksu-Flusses aber gelangten wir auf der Schütthalde immer

höher emporsteigend in welliges Hügelland, in ein Gebiet lössbedeckter Schotterhügel.

Zwischen dem Temirgenbulak, einem linksseitigen Nebenflusse des Agias und dem Tekes-Becken erhebt sich ein Vorgebirge bis zur Höhe von 3260 *m*. Der Nordhang dieses Vorgebirges ist steil, auf einer Halde von 3·5 *km* erklimmt der Saumpfad die Höhe von 800 *m*, das heisst die Böschung ist etwa eine 23<sup>0</sup>/<sub>100</sub>-ige.

Der Hang ist ganz mit Nadelwald bedeckt. In der Höhe von 2820 *m* erreicht man den Rand eines Plateaus, das in breite, schüsselförmige Täler zerfällt, welche von 3000—3200, am höchsten Punkte 3600 *m* hohen, kuppigen Hügeln umgeben sind. In den schüsselförmigen Tälern fehlen die Nadelwälder, ihre Gewässer durchbrechen den äusseren, in der Richtung des Tekes-Beckens gelegenen Rand in steilwandigen Schluchten. Diese Physiognomie steht in keinem orogenetischen Zusam-

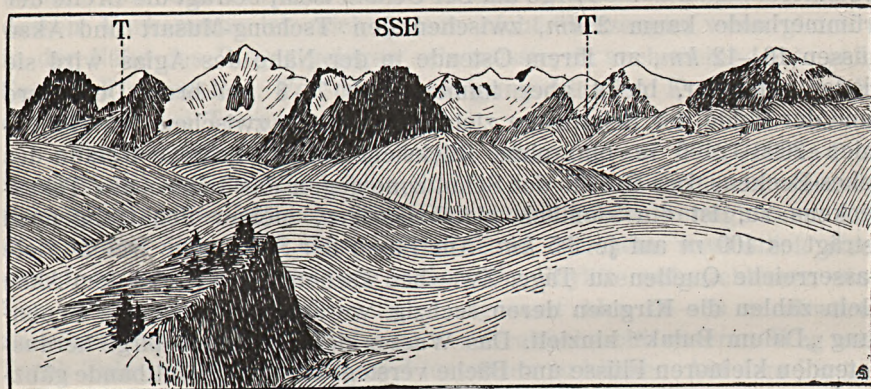


Fig. 6. Plateau des Tschedschinbulak mit Spuren glazialer Erosion.  
T = Temirgenbulak-Tal.

menhang mit den tektonischen Verhältnissen. An dem Aufbau des in Rede stehenden Vorgebirges nehmen kristalline Urgesteine und Karbonkalkablagerungen teil. Die alten kristallinen Gesteine, namentlich Muskovit-Gneis mit Granulit und amphibolhaltigem Quarzdiorit befinden sich in saigerer Stellung, so dass ihre Schichtenköpfe auf den flachen Hügelgipfeln zu Tage treten. Die Kalkgesteine des Karbons wieder streichen durch die Ebene, ohne diesen Umstand im Antlitz der Gegend zum Ausdruck gelangen zu lassen. Das nackte Felsgestein ist bloss von einer dünnen Verwitterungskruste bedeckt, obzwar den Verwitterungsprozessen keine grossen Hindernisse im Wege stehen. Die obgenannten Gesteine bekunden der Verwitterung gegenüber verschiedenen Widerstand und doch gelangt dies im Antlitz der Täler nicht zum Ausdruck. Das Gesagte zusammenfassend, scheint es uns zweifelsohne eine Tatsache, dass das flache Plateau seine Gestalt in jüngster Zeit angenommen hat, u. zw. infolge

der Arbeit des pleistozänen Eises. Das Wirkungsgebiet des pleistozänen Eises stellt die Skizze Fig. 6. dar.

Das eisgeschliffene Plateau wird durch ein tiefes Tal, das Temirgembulak-Tal von dem im Süden sich erhebenden Hochgebirge geschieden, dem wir den Namen Zwillings-Gebirge beilegen wollen. Die pleistozänen Eismassen des Tschedschinbulak-Plateaus entstammten zweifelsohne diesem Gebirge. Einige Tage später hatte ich Gelegenheit von der Mitte des Tekes-Beckens aus, sowie aus dem Kaschan-Tal zu beobachten, dass die Höhe der Gipfel des Zwillings-Gebirges zwischen 4200—4300 *m* eine annähernd gleiche sei. Zwischen den Gipfeln befinden sich schöne, grösstenteils gänzlich mit Firnschnee erfüllte Nischentäler. Die untere Schneegrenze muss hier wohl zwischen die Höhenlinien 3500—3600 *m* verlegt werden.

Auch hier stehen wir einer, der des Tekesbaschi ähnlichen Situation gegenüber. Senkrecht zur Bewegungsrichtung des pleistozänen Eises bildet sich ein Flusstal, das die Schmelzwässer des zurückweichenden Gletschers in entgegengesetzter Richtung abzapft, während das Plateau von diesen Wässern isoliert wird.

Der höchstgelegene Punkt des Tschedschinbulak-Plateaus befindet sich auf der Wasserscheide des Aksu. Das sich uns hier darbietende Bild zeigt den Mittellauf des Aksu. Hier gelang es mir hinein zu blicken zwischen die inneren Bergriesen, welche sich schon bedeutend über 5000 *m* erheben. Selbstverständlich sind die Gipfel vollkommen firnbedeckt und mächtige Hängegletscher streben dem Boden der Kare zu. Die zentralen Gebirgsketten senden mächtige Nebenkämme in der Richtung des Tekes-Beckens aus, jedoch können die zwischen diesen Kämmen talwärts eilenden Schmelzwässer nicht geradeaus an den Rand des Beckens gelangen. In der südwestlichen Fortsetzung des Tschedschinbulak-Plateaus erheben sich ähnliche Plateaus zu ähnlicher Höhe, diese wurden durch die Gewässer des Aksu bloss in einer einzigen Schlucht durchbrochen. In dieser Pforte des Aksu vereinigen sich sämtliche Flüsse. Die Plateaus sind auch in der genannten Richtung unbewaldet. Die obere Waldgrenze befindet sich allenthalben in 2800—2860 *m* Höhe und zeigt so geringe Schwankung, dass sie vom Plateaurande aus betrachtet als gerade Linie erscheint.

Aus dem Inneren des Tekes-Beckens, aus der Mündungsgegend des Tschekirte in den Aksu, bietet sich ein sehr guter Ausblick auf das Bergland zwischen Agias und Aksu. Die fluviatilen Ablagerungen der Mitte des Tekes-Beckens bilden eine glatte Terrassenfläche. Das am Rande des Beckens dem Gebirge entführte Geschiebe bildet eine allmählich gegen das Gebirge ansteigende, in verschwommen ineinander greifende Hügel zerlegte Schuttkegelzone. Die Schuttzone verschlingt das Wasser sofort, sie zeigt, gegenüber den frischen, grünen Wiesen der Alluvialebene, ein dürres, trostloses Bild in gelbem Farben-

ton und ist zwischen 1800—2000 *m* gelegen. Zwischen den Höhenlinien von 2000—2800 *m* an den Nordwänden zieht sich die Zone der Nadelwälder hin. Die Berghänge sind grösstenteils sehr steil, was den Anstieg für eine Karawane mit Pferden überaus beschwerlich gestaltet. Zwischen den Höhenlinien 2800—3000 *m* folgt dann die oben beschriebene Plateaurihe, die bis zum Tale Tschong-Musart reicht.

Hier sei erwähnt, dass gegenüber meinem Beobachtungspunkte die Kaschan-Plateaus am Nordrande des Tekes-Beckens ebenfalls in ähnlicher Höhe, mit 2700—2800 *m* beginnend, sich gegen Norden bis 3000—3100 *m* erheben.

### 5. Das Suku-Tal.

Unter den Tälern des Nordabhanges des Terskei-Alatau war es das Suku, das zuerst beschrieben wurde, da SEMJONOW 1857 in diesem auf den grossen Narin-Syrt gelangte. Am 19. September 1906 bot sich mir Gelegenheit nahe östlich vom Suku-Passe den Kaschkatör-Pass zu überschreiten. Der Pass zeigt in etwa 10 *km* Breite das gleiche Niveau. In der Hauptkette des Terskei-Alatau befindet sich zwischen steilen Felswänden ein langgestreckter — cañonartiger — Engpass, dessen Boden sich in 3800 *m* Höhe befindet und fast durchwegs von Seen bedeckt ist. Ich sah in demselben grössere und kleinere Seen, deren längster etwa 2 *km* mass. Von den Felswänden reichen Firnvorhänge bis etwa 50 *m* über den Talboden. Auf dem Boden der Talenge befinden sich eisgeschliffene Rundhöcker und zwischen diesen Schutt in grosser Menge, hauptsächlich mächtige Granitblöcke. Als Gestein der Talwände fand ich bloss Kalkstein und Tonschiefer, Granit jedoch tief unten im nördlichen Kaschkatör-Tale und auf dem Arabel-Syrt. Wenn jedoch der Granit auch teilnimmt am Aufbau der Felswände, so ist dies in der Nachbarschaft des Granitschuttes und der Granitblöcke sicherlich nicht der Fall. Es scheint mir daher ausser Zweifel zu stehen, dass die Granittrümmer aus dem Inneren des Grossen Narin-Syrt durch das Eis hierher verfrachtet wurden.

Am Ende der Talenge befindet sich eine Schuttanhäufung von riesigen Dimensionen. Es kam hier zur Bildung einer 3 *km* langen und 500 *m* hohen Moränenmasse, bestehend aus Blöcken verschiedener Gesteine und verschiedentlichster Grösse. Meine Aneroidmessungen ergaben als Höhe des Moränenfusses 3270, des Moränenrückens aber 3780 *m*. Unterhalb der grossen Moräne wendet sich das Tal gänzlich nach Westen. Am 19. September 1906, als ich diese Gegend beging, herrschte ein heftiger Schneesturm, der mich in meinen Beobachtungen nicht unerheblich behinderte. Insgesamt konnte ich soviel feststellen, dass ich in einem breiten Muldentale etwa 5 *km* nach Westen vorwärts kam, als sich das Tal plötzlich verengte, V-Form annahm und, dass zugleich die

ersten zerstreuten Nadelbäume auftraten. Dieser Punkt dürfte etwa in 2950 *m* Höhe gelegen sein.

**Zusammenfassung.** Über einige Täler des Nordabhanges des Zentralen-Tienschan habe ich meine glaziologischen Beobachtungen schon a. a. O. veröffentlicht.<sup>1</sup>

Vereint mit diesen, fasse ich nun die Daten der 12 durchforschten Täler in einer Vergleichstabelle zusammen. Die Grenzen der V und U-förmigen Talabschnitte denke ich mir — wie ich dies in meiner bereits genannten Veröffentlichung dargetan — in ein und derselben Zeit entstanden, welche Grenzen die Grenzen der letzten Vereisung bezeichnen. Auffallend ist, dass diese Grenze im Türgen-Aksu- und Kokdscher-Tale im Verhältnis zu den übrigen sehr tief gelegen ist. Eigentümlich ist ferner die bedeutende Höhe der Gletscher des Suku-Kaschkatör. Der Grund für letzteren Umstand ist wohl in der topographischen Lage zu suchen. In der Umgebung des Kaschkatör besorgen das Sammeln des Firns keine Kare, sondern es sammelt sich Plateauais, dieses aber entsendet keine längeren Gletscher, da seine Bewegung eine überaus langsame ist. Die obere Grenze der Nadelhölzer zeigt auffallend grosse Schwankungen; zwischen dem Türgen-Aksu und dem Kakpak beträgt der Unterschied 550 *m*. Den Grund hiefür kann ich weder im heutigen Klima, noch im Gestein suchen, da ja diese in beiden Tälern dieselben sind. In meiner erwähnten Arbeit habe ich schon darauf hingewiesen, dass zwischen der oberen Nadelwaldgrenze und der Grenze der U und V-förmigen Talabschnitte ein Zusammenhang besteht.

### I. Vergleichstabelle.

Namen der Täler	Obere Grenze der Steppenweiden	Obere Grenze des Laubwaldes	Obere Grenze der Nadelbäume	Untere Grenze der Schneefelder	Ende des Gletschers	Grenze der V- und U-förmigen Täler	Stürrmoränen	
							I. ?	II. 3270
1. Suku-Kaschkatör ..	2280	2500	2950	3900	3850	2900	I. ?	II. 3270
2. Dscherges ---	2250	2350	?	—	—	2800?	—	—
3. Bostschuk ---	2200	2300	?	—	—	—	—	—
4. Türgen-Aksu ---	2200	—	2700 <sup>2</sup>	?	3455 <sup>2</sup>	2650	II. 2650	III. 2743
5. Tüb ---	2300	—	?	?	?	?	?	?
6. Kokdscher ---	?	?	?	?	?	?	?	?
7. Tekes-Tiek ---	2150	2350	2800	3240	—	2820	I. 2820	—
8. Tekes-Tekesbaschi ---	2150	2350	3000	—	—	3000	I. 2550	II. 3000
9. Kakpak-Karaköl ---	2250	?	3250	3450	3380	3250	I. ?	II. 3250
10. Kakpak-Igilik ---	2250	?	3060	—	—	3060	?	?
11. Bayumkol-Aschutör ---	2150	2200	2820	3450	3320	2800	?	?
12. Narinkol ---	2000	2000	3150	3200	3380	2800	I. 2800	?
13. Tschedschinbulak ---	2000	—	2820	3260	—	2800	?	?
14. Agias ---	2120	—	?	?	?	?	?	?

<sup>1</sup> Dr. Gy. PRINZ. Die Vergletscherung des nördl. Teiles d. Zentr. Tienschan-Gebirges. Mitteil. d. k. k. geog. Ges. 1909. 1—3.

<sup>2</sup> FRIEDERICHSEN.

<sup>3</sup> Auf blosser Schätzung beruhende Angabe. Möglich, dass diese Grenze noch tiefer gelegen ist, keinesfalls höher.

Unterhalb der Grenze der V und U-förmigen Talabschnitte stösst man jedoch noch an verschiedenen Punkten auf Reste einstiger Stirn-  
moränen.

Die heutigen Gletscher sind mit jenen der Pleistozänzeit im selben Tale in folgender Tabelle verglichen.

Name des Gletschers	Heutige Länge	Länge im Pleistozän während der letzten Burkhan-Vereisung
1. Suku-Kaschkatör -- --	Hängegletscher	12 km
2. Türgen-Aksu -- -- --	Kargletscher	27 "
3. Tekes-Tiëk -- -- -- --	0	15 "
4. Tekesbaschi -- -- -- --	0	15 " 1
5. Kakpak, Karakölsai -- --	1-1.5 km	11 "
6. Westlicher Igilik -- --	0	4 "
7. Bajum-Aschutör -- -- --	10-12 km	20-22 "
8. Narinkol -- -- -- -- --	2-3 "	6-7 "
9. Tschedschinbulak -- --	0	5 " 2

## B) Das Gebiet des Saridschas-Kumarik.

### 1. Der Saridschas oberhalb der Mündung des Kölü.

Über die östliche Hälfte des Saridschas-Syrt gab FRIEDERICHSEN ausführlicheren Bericht, als ich in der Lage bin zu geben, da ich dieses Gebiet bloß an einer kurzen Linie berührte. Ausserdem fällt der bedeutendste Teil der Forschungen MERZBACHER's gerade in dieses Gebiet und wenn die Forschungsergebnisse des letzteren im Druck vorliegen werden, dürfte dieser Teil des Tienschan wohl zu den am besten bekannten gehören. Ein grosser Teil meiner Reiseroute wurde noch von niemandem begangen, der sich zugleich auch mit glaziologischen Beobachtungen befasst hätte.

Der bisher bekannte tiefste Pass des Terskei-Alatau, der Töruj-ruk-Syrt, ist so tief gelegen (3350 m), dass wohl keiner der Tienschan-Forscher hoffte einen solchen zu entdecken. In dem bisher für schwer zugänglich gehaltenen Saridschas, könnte auf der von mir entdeckten Route mit Leichtigkeit ein Fahrweg, ja sogar ein Schienenweg gebaut werden. Dieser niedere Abschnitt des Gebirgsrückens schwankt auf

<sup>1</sup> Zusammen mit dem rezenten Koksai.

<sup>2</sup> Längs des Plateaus das natürliche Gefälle in Betracht gezogen. Wenn wir die Länge von den grösseren Kar-Tälern des südlich des Temirgenbulak gelegenen Zwillings-Gebirges an rechnen, deren Firn den Tschedschinbulak-Gletscher speisten, 6-8 km.

einer Strecke von 10—12 *km* zwischen Höhen von 3350—3500 *m* und findet sich auf diesem keine Stelle, wo man zu Pferde nicht bequem weiterkäme.

Unterhalb des Törujuk-Passes zieht sich auf der Seite des Saridschas, gleichlaufend mit diesem Flusse, in einer Höhe von 3100—3200 *m*, eine 2—3 *km* breite, wellige Terrasse hin. Die Südwand dieser Terrasse wird durch jene Felswände gebildet, welche FRIEDERICHSEN auf seiner Karte mit der Aufschrift „steil abfallende Kohlenkalkwände“ versieht. Im übrigen ist auf dieser Karte auch das Bild dieser Terrasse treffend wiedergegeben, obzwar ihrer im Texte nicht Erwähnung getan wird. Nach FRIEDERICHSEN befindet sich der Saridschas-Syrt zwischen dem Schilun und Tüs ebenfalls in 3100 *m* Höhe (Karas-Pass 3150 *m*) und aus seinen Angaben erhellt, dass die Oberfläche dieses Syrt entgegen der heutigen Flussrichtung des Saridschas gegen Nordosten geneigt ist. Oberhalb der Nordufer des Saridschas-Flusses erheben sich die Karbonkalkwände bis zu etwa 120—150 *m* Höhe, bestehend aus stark gefalteten, gepressten Schichten. In der Gegend der Tüs-Mündung erweitert sich das Tal und an schönen Rundhöckern sind hier die Spuren einstiger Gletscher zu erkennen.

Vom Tüs fließt der Saridschas in gerader Linie gegen die Belkara-Mündung. Während FRIEDERICHSEN für den Oberlauf des Saridschas nachweisen konnte, dass der Hauptfluss sein Tal übertiefte, befinden sich hier sämtliche linksseitigen Nebenflüsse: der Korumdu, Belkara, Schulun in einem Niveau mit dem Saridschas.

Der Saridschas wird schon von der Korumdu-Mündung an von Terrassen eingesäumt, während in 2800 *m* Höhe die Laubwaldzone, in der Form kümmerlichen Gesträuches ihren Anfang nimmt. Das Flussbett, ist eng, die Transportfähigkeit des Flusses eine ganz bedeutende so, dass wir längs des Flusses vergebens Glazialablagerungen suchen. Die letzten Gletscherspuren führen im Flussbett bis zur Korumdu-Mündung (2900 *m*). Nach FRIEDERICHSEN finden sich auf dem südlichen Syrt in 3100—3150 *m* Höhe überall Spuren glazialer Akkumulation und der Arbeit des Eises, was überaus wahrscheinlich klingt, denn unterhalb des Törujuk-Passes fand auch ich auf eine allgemeine Vergletscherung hinweisende Verhältnisse.

In der Gegend des Ottukbaschi zieren den Terskei-Alatau auch heute noch Eisströme. Wie weit diese im Pleistozän vordrangen, ist noch unbekannt. FRIEDERICHSEN teilt diesbezüglich keine Daten mit, ich selbst aber bereiste dieses Gebiet im November, zu einer Zeit, da alles mit Schnee bedeckt war. Das Talbild gibt keinen entschiedenen Aufschluss. Das Törpü-Syrt erreicht zwischen den Tälern Ottuk- und Kölü eine Höhe von 3630 *m* (nach FRIEDERICHSEN 3708 *m*). Allem Anscheine nach mag es einst vergletschert gewesen sein, da sich in der gegen den Ottuk zu gelegenen Seite kleine „Kar“-ähnlichen Nischentäler befinden.

## 2. Kölü.

Während ich über den östlichen Teil des Saridschas-Gebietes nur wenig Daten sammeln konnte, war meine Reise im Kölü-Tale von grösserem Erfolg begleitet, besonders aus dem einen Grunde, weil ich hier länger verweilend, auch die beiden grössten der Seitentäler begehen konnte.

Der vom Törpü-Syrt in das Kölü-Tal führende Graben ist besonders in seinem mittleren Abschnitt sehr steil. Ihm gegenüber ist das Kölü-Tal als übertieft zu betrachten, worauf schon FRIEDERICHSEN hingewiesen hat.<sup>1</sup> Der Grund hiezu ist jedoch, wie ich beobachten konnte, in der seitlichen Erosion des Kölü zu suchen und ist demnach keine allgemeine glaziologische Erscheinung, denn sämtliche südlichen Täler, selbst die kleineren, erreichen den Kölü im Niveau, ganz ebenso, wie

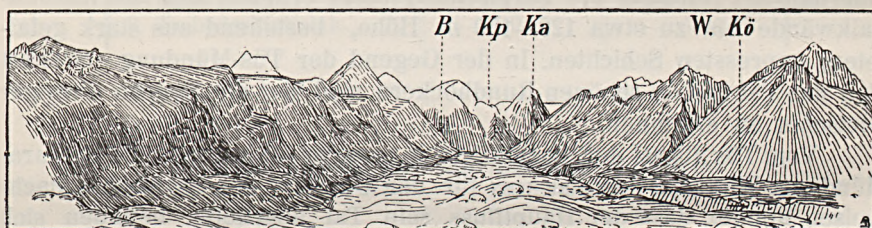


Fig. 7. Blick von der grossen Stirnmoräne des Kölü-Tales talaufwärts.

B = Bordo, Kp = Kölü-Pass, Ka = Karakol, Kö = Kölü-Fluss.

die südlichen Nebenflüsse des Saridschas. Bloss die nördlichen zeigen ein steiles Gefälle.

Auch auf die Terrassen im Unterlauf des Kölü wurde meine Aufmerksamkeit schon von FRIEDERICHSEN gelenkt. FRIEDERICHSEN entdeckte im Sargolot (Sarakulot)-Tale eine Moräne und unter derselben Fluvioglazialterrassen. Die drei Terrassen des Kölü sind + 2 bis 3, + 76, + 107 m, an anderen Stellen + 9, + 59, + 129 m über dem Talboden gelegen. Die zweite ist als Hauptterrasse anzusehen, die erste ist heute noch in

<sup>1</sup> Cit. lib. p. 88. Es sei mir gestattet hier auf einen, einiges Missverständnis verursachenden Schreibfehler hinzuweisen. Fig. 23. in FRIEDERICHSEN's Werk soll vom Autor laut erklärendem Text aus geringer Höhe über dem 2823 m hoch gelegenen Talboden aufgenommen worden sein, allem Anscheine nach in der Richtung talaufwärts. Nun kam aber der Text auf p. 88 auch so verstanden werden, dass die Ansicht in der Umgebung der Törpü-Mündung aufgenommen wurde. Desgleichen wäre laut erklärendem Text der fragliche Talabschnitt des Kölü über der Waldzone gelegen und soll trotzdem mit „Steppengras“ bewachsen sein. Statt Waldzone wäre an dieser Stelle obere Grenze des Laubwaldes zu lesen. Der schmale Streifen der Nadelwälder endet auch laut Angaben des Autors, blos in 2903 m Höhe (s. Karte des Autors und p. 89).

steter Umlagerung begriffen. Von der dritten sind an zahlreichen Stellen nur mehr Spuren vorhanden. Der Fluss hat sich in der zweiten Terrasse einen Cañon gegraben. Der Durchmesser einzelner Blöcke erreicht ein Meter, auch diese sind abgerundet.

Im Zwischenland der beiden Sargolot konnte ich drei Terrassen feststellen und zwischen diesen Schuttkegel. An dieser Stelle aber ist

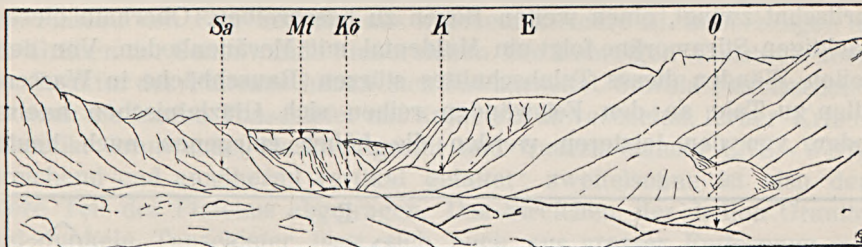


Fig. 8. Blick von der grossen Stirnmoräne des K<sub>ö</sub>lü, talabwärts. Sa = Sarkartina, Mt = Mollah-Turm, Kö = K<sub>ö</sub>lü-Fluss, K = K<sub>ü</sub>ndük-Tal, O = Orrojbulak.

die erste Terrasse mächtig entwickelt. Und wenn ich auch die am rechten Ufer des K<sub>ö</sub>lü befindlichen Terrassen nicht gemessen habe, kann ich doch behaupten, dass hier die erste Terrasse wenigstens 30 m hoch ist. Vergleichen wir die Beobachtung mit den Angaben FRIEDERICHSEN's, so zeigt

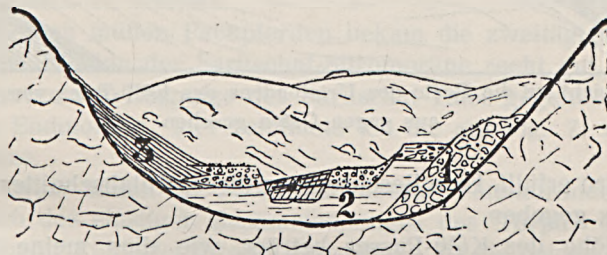


Fig. 9. Ein Querschnitt des Saritschat-Tales. — 1. Seitenmoräne, 2. Seeton, darüber Schotterterrassen in Wechsellagerung mit 3. — Schutthalden.

sich, dass die I. Terrasse talaufwärts allmählich abnimmt, während die II. zunimmt.

Westlich des Törpü ist der Mollah der nächstgelegene Nebenfluss. FRIEDERICHSEN konstatierte an der Mollah-Mündung das Vorhandensein einer Moräne. Ich untersuchte jenen Schuttdamm, den der Fluss zwischen dem mächtigen Mollah-Turm und der Granit-Gebirgswand durchbricht, konnte jedoch darin nur die auch in den Höhen der unmittelbaren Umgebung sichtbaren Gesteine finden. Ich beobachtete, dass der Mollah-Turm selbst ein abgestürzter, mächtiger Felsblock ist. Diese Seite des K<sub>ö</sub>lü-Tales ist übrigens Schauplatz grosser Bergstürze. Etwa drei km westlich vom

Mollah-Turm wird der Weg aufs neue von einem mächtigen Bergsturz verlegt. Natürlich ist es trotzdem nicht ausgeschlossen, dass FRIEDERICHSEN'S Ansicht dennoch zu Recht besteht.

An der Mündung des Sari chat-Flusses jedoch schwindet jeder Zweifel, hier fand ich in 2970 (FRIEDERICHSEN 3050) *m* Höhe eine der schönsten pleistozänen Stirnmoränen. (Fig. 7. u. 8.). Die grosse Stirnmoräne beginnt bereits unterhalb des Saritschat-Tales, in dem sie den Saritschat zwingt, einen weiten Bogen zu beschreiben. Oberhalb dieser mächtigen Stirnmoräne folgt ein Muldental mit Moränenboden. Von den steilen Wänden dieses Talabschnittes stürzen Rauschbäche in Wasserfällen zu Tale, an den Felswänden reihen sich Glazialnischen aneinander, von den letzteren werden die höher gelegenen auch heute

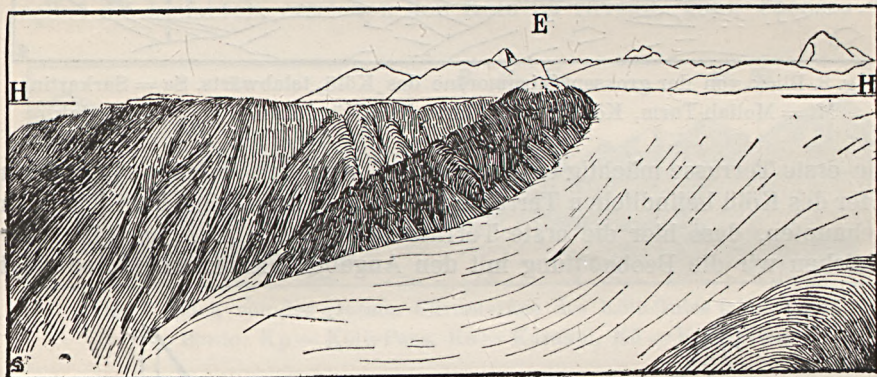


Fig. 10. Aussicht auf die Reste des Urtalbodens des Kölü-Tales vom Kölü-Passe aus gegen Osten gesehen.

noch vom Firn erfüllt. Eine Beschreibung dieses Talabschnittes hat bereits FRIEDERICHSEN gegeben.

Die Höhe des Kölü-Passes beträgt, wie dies meine Messungen zeigen, 4100 *m* (FRIEDERICHSEN 4209 *m*). An seiner Ostseite fand ich schon in 3450 *m* Höhe perennierende Schneefelder (29. Aug. 1906) und in 3630 *m* erreichte ich das Zungengebiet des vom Kölü-Passe niederfließenden Eisstromes.

FRIEDERICHSEN überschritt den Pass während eines Schneesturmes, mich begünstigte das schönste Wetter, so, dass ich das herrliche Panorama ungestört geniessen konnte. Besonders im Osten zeigte sich mir ein morphologisches Bild, dessen Klarheit und charakteristische Züge mich erstaunen liessen. Ich wusste bereits aus den Beobachtungen der vorgehenden Tage, dass die das Kölü-Tal einsäumenden 1000 *m* hohen, wirklich großartigen Felswände nur die Seiten eines weitläufigen Plateaus bilden. Nun befand ich mich in gleicher Höhe mit diesem Plateau und konnte unbehindert das ganze überblicken. Mit unbewaffnetem Auge

betrachtet, erscheint das Plateau fast vollkommen horizontal gelagert, nur das Horizontglas zeigte, dass es sich gegen die weissen, 5000 *m* hohen Gipfel des im Süden emporstrebenden K l tau einigermassen erhebt. Die Breite des Plateaus betr gt etwa 2–3 *km*, es steigt aber bis zum Fusse des K l tau um kaum 100 *m* an. Die bis 5000–5500 *m* hohen Gipfel und die nach meiner Sch tzung 4500–4800 *m* hohen Scharten des K l -Tau ragen scharf genug hinter demselben empor. Derzeit ist das Plateau von Firn bedeckt, aus welchem kleinere Gletscherzungen in die Gr ben der Seitenw nde hinabreichen. Die bisherigen Ansichten  ber die Struktur des Plateaus haben sich bewahrheitet. Sowohl FRIEDERICHSEN, als auch ich fanden Tonschiefer mit Kalkstein abwechselnd, ferner Krinoidenkalk, Grauwacke, Muskowitgranit und Quarzit st ndig ENE–WSW streichend und ann hernd vertikal gefaltet: zweifelsohne ist also der obere Teil des Plateaus abgetragen. Das Streichen der hellen Granite und dunkeln Tonschiefer l sst sich auch aus grosser Entfernung mit freiem Auge verfolgen. (Fig. 10.)

Die wertvollsten Beobachtungen konnte ich an jenen beiden Tagen anstellen, an welchen ich — vor der  berschreitung des K l -Passes — eine Exkursion in das Saritschat- und Karakolt r-Tal unternahm. Von Norden her m nden breite, grosse T ler in den K l , w hrend die im S den m ndenden blos kurze H nget ler sind. Ich erhoffte daher besseren Erfolg durch eine Untersuchung der Talprophile an den H ngen des Terskei-Alatau zu erzielen.

Auch meinen m den Packpferden bekam die zweit gige Rast auf den pr chtigen Weiden der Saritschat-Stirnmor ne recht gut.

Wir lagerten dem Eingange des Saritschat-Tales gegen ber auf der obgenannten Endmor ne; hier zeichnete ich die auf Fig. 7. u. 8. dargestellte Skizze.

Gegen Osten bilden die Felsw nde  berall Plateaur nder.

Bez glich des einstigen Zusammenhanges des T rp - und Arpat ktir-Syrt scheint keinerlei Zweifel obzuwalten, da die beiden blos durch die Schlucht des K l  von einander getrennt sind. Das „K l “-Tal zeigt unterhalb der grossen Endmor ne des Saritschat keinen deutlich U-f rmigen Querschnitt, hingegen ist dies oberhalb der Endmor ne entschieden der Fall. Aus der Skizze erhellt, dass die glatte Seitenwand des Muldentales die Seitent ler abschneidet. Der Rand des Plateaus ist auch in der Richtung des Oberlaufes im K l -Tal gut sichtbar. Die glatten, an Eisschliff erinnernden Bergh nge und Rundformen der Berge sind  berall gut erkenntlich.

Das Saritschat-Tal ist das linke Seitental des K l , jedoch kann bloss dessen unterer Abschnitt als Quertal angesprochen werden, der obere Abschnitt des Tales ist nach Westen gerichtet und f llt auf diese Weise dessen Achse mit der tektonischen Achse, beide aber mit der Streichrichtung des Terskei-Alatau zusammen. Der untere Abschnitt des



Tales ist ein Glazialtrog. Die pleistozäne Vergletscherung hatte das K6lü-Tal erreicht, es haben demnach K6lü- und Saritschat-Gletscher zusammen an dem Aufbau der grossen Stirnmoräne mitgewirkt (Taf. X.).

Die grosse Saritschat-Stirnmoräne bildet also sowohl für den K6lü als auch für den Saritschat ein eindämmendes Hindernis. Im Saritschat-Tale folgt hinter dem Moränendamm ein breiter, Weichland bildender Talboden. Hier gelangt in jüngster Zeit Terrassenschotter zur Ablagerung, während von den Berghängen Granitschuttkegel zum Talboden herabreichen. Der umstehend gegebene Querschnitt lässt zwei Terrassen erkennen, die sich jedoch nicht überall im Tale nachweisen lassen, es scheint mir dies eine Folge der Laufveränderung des Flusses gelegentlich der Durchbrechung der Stirnmoräne zu sein. Unter dem Terrassenschotter

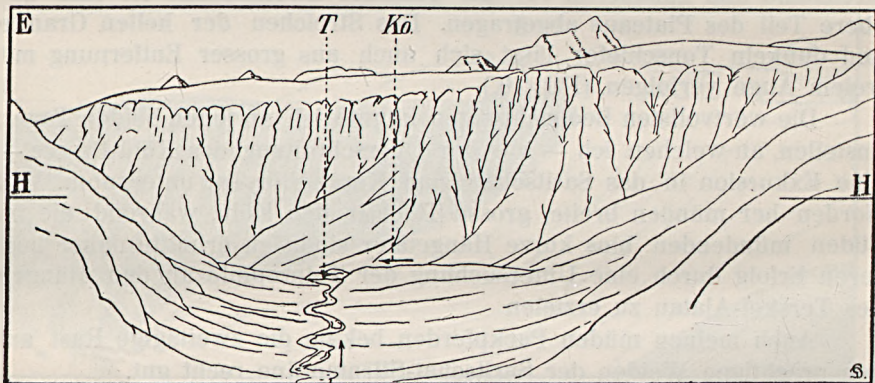


Fig. 11. Unteres Trogtal des Saritschat. Im Hintergrund die Seitenwand der K6lü-Hochebene. T = Stirnmoräne vor der Mündung des K6lü-Flusses (K6.).

befinden sich in dicken Schichten blaugraue und gelbe Tone. Der rückgehende Gletscher liess hinter der grossen Endmoräne einen Stausee zurück, dessen Abzapfung erst möglich war, nachdem es den Schmelzwässern gelungen die Moräne zu durchbrechen. Die Ablagerung des Tones mag sich in diesem See vollzogen haben (Fig. 9.).

An den Berghängen treten etwas höher Kargletscher auf und nehmen im Zusammenhange damit die Schuttkegel der Berghänge an Ausdehnung zu. Vormalis mögen trockene Rachen die Tallehne zerschnitten haben, jetzt stürzen Rauschbäche talwärts. In 3160 m Höhe fand ich noch eine talsperrende Moränenanhäufung. Hinter dieser beobachtete ich ein aufgeschüttetes Seebecken von etwa anderthalb km Länge, das die Gewässer dreier Täler aufnimmt. Dieses obere Seebecken des Saritschat vereinigt die Schmelzwässer der drei Saritschat-Gletscher (Taf. X. —42° 10' —78° 43'),

Die Täler der drei Gletscher verlaufen vom oberen Seebecken ausgehend in SW, W und NNW-Richtung. Die W und NNW-lichen



führen keine Namen, da diese von den Kirgisen nicht besucht werden. Das SW-Tal, in dessen weitem Trogtal sich ausgezeichnete Weiden befinden, trägt den Namen „Sartör“. Im Zwischenland des Saritschat (Haupttal) und Sartör erstieg ich die Bergwand und konnte aus einer Höhe von 3350 *m* das ganze Saritschat-Tal bis zum Kölü überblicken. Ich gewann aufs neue die Überzeugung, dass dieser Talabschnitt ein typisches Trogtal sei. Ich sah die große Stirnmoräne, sowie die südlich des Kölü gelegene, grosse Felswand und über derselben das gegen Osten an Ausdehnung stetig zunehmende Firnplateau (Fig. 11.).

Über die Gletscher des Saritschat gewann ich von einem anderen, in 3400 *m* Höhe gelegenen Punkte aus einen Überblick, als ich mich über endlose Bergstürze und sozusagen in Bewegung befindliche Schuttkegel hinwegarbeitend, endlich eine entsprechende Stelle gefunden hatte. Umso grössere Befriedigung brachte mir der Anblick des auf Tafel IX. dargestellten Landschaftsbildes, als Lohn meiner Bemühungen. Ich kletterte auf einen Granitfels, der von den steilen Wänden auf die Schuttkegel abgestürzt war. Am Fusse des Schuttkegels rauschte ein Bach, welcher die im grünen Trogtale des Sartör ruhig sich hinwindenden Schmelzwässer in das obgenannte obere Seebecken abzapfte. Auf dem grünen Rasen des Sartör lagen Steinblöcke verschiedener Grösse, den Rand desselben bildete eine dunkelgraue Schuttzone. An seiner Südseite ragten gelblichgraue Granitwände empor, während das am oberen Rande der Wände grünlich blinkende, weisse Tafeleis darauf hindeutete, dass sich auch über den steilen Berghängen eine firnbedeckte Hochebene ausbreitet. Am oberen Abschnitt des Sartör erheben sich vollständig in Eis gehüllte Berge von relativ geringer Höhe (4000—5000 *m*). Die Höhe der Schneegrenze schätzte ich auf 3500 *m*, es ist jedoch leicht möglich, dass dies ein viel zu niedriger Wert ist, da aus der Entfernung schwer wahrzunehmen ist, ob sich dem unteren Rand des Firnfeldes nicht etwa ein breiteres Schneeband anschließt. Jedenfalls muss hier erwähnt werden, dass wir den 27. Aug. hatten und Neuschnee noch nicht gefallen war. Wenn die neuen Schneemassen nicht den Sommer überdauern wollten, mussten sie sich mit dem Schmelzen eilen, da es bloss einige Wochen waren bis zum Winteranfang. Der Sartör-Gletscher scheint nicht bedeutend zu sein, mag aber immerhin 3—4 *km* messen. Das Gletscherende befindet sich zwischen den Höhenlinien 3500—3600 *m*, dies konnte ich mit dem Nivellierinstrument einwandfrei feststellen. Der Rand des grünlichweissen Eises ist in 3600 *m* Höhe gelegen, unter diesem jedoch bemerkte ich dunkeln Gesteinschutt, von dem ich nicht genau feststellen konnte, ob er als abgelagerte Moräne zu betrachten sei, oder ob er noch das Eis durchsetzt.

Der mittlere Gletscher endet bloss um ein Geringes über dem 3400 *m* Niveau, reicht also jedenfalls tiefer herab, als jener des Sartör. Vor diesem Gletscher haben sich Moränenhügel gebildet; zwischen den Moränenhügeln und einer vom Gletscherende etwa 1 *km* entfernten grösseren

und unversehrten Stirnmoräne befindet sich ein aufgefülltes Seebecken. Das Niveau desselben liegt in 3400 *m* Höhe. Zwischen dem mittleren und dem Sartör-Gletscher ist eine mächtige, allem Anscheine nach aus Tonschiefer bestehende Synklinale sichtbar, eine zweite Synklinale beginnt nördlich des mittleren Gletschers. Die beiden Gletscher befinden sich demnach an Stelle der vernichteten Antiklinale.

Am tiefsten reicht der dritte Gletscher herab, fast in das gleiche Niveau meines Aussichtspunktes (3400 *m*). Dies jedoch hat einen lokalen, orographischen Grund. Das Bett des nördlichen Gletschers befindet sich in ähnlicher Höhe mit den beiden vorerwähnten, es befindet sich blos in näherer Lage zu dem „oberen Seebecken“ des Saridschas-Tales, somit ist dessen unterer Abschnitt bedeutend steiler. Der den beiden erstgenannten Tälern entstammende, pleistozäne grosse Gletscher stiess gerade auf das dritte Tal, um sich dort selbst aus seiner ursprünglich östlichen Richtung nach Südosten zu wenden. Vielleicht war es die Seitenerosion des pleistozänen Gletschers, welche das Tal auf dieser Seite ausweitete, ferner entstand die Stufe infolge Übertiefung des Haupttales. Derzeit beendet der dritte Gletscher etwa in 3600 *m* Höhe seinen ungestörten Lauf, wobei er — falls nun ein flaches Trogtal folgte, wohl in Kürze auch enden würde. Nun gelangt aber hier der Gletscher gerade an den Rand der erwähnten Stufe und stürzt demzufolge auf 3400 *m* Höhe herab. Die Schmelzwässer erreichen, Kaskaden bildend, auf kurzer Bahn in 3160 *m* Höhe den Boden des oberen Seebeckens.

Die Länge des heutigen (rezenten) Gletschers des Saritschat mag wenigstens 4–6 *km* betragen, kann aber möglicherweise auch noch bedeutender sein; es war mir nämlich wegen der Talbiegung nicht möglich dessen Firnsammelbecken zu sehen, so, dass ich auch seine Länge nicht abschätzen konnte. Vom Sartör-Gletscher bis zum Kölü-Tal beträgt die Entfernung etwa 12 *km*, der Gletscher war also zur Zeit der letzten Vereisung um diesen Betrag länger.

Am folgenden Tage, dem 28. Aug. 1906 unternahm ich eine Exkursion in ein anderes, das unbedingt grösste Seitental des Kölü, in das Karakoltör.

Prschewalsk erhielt seinen alten Namen von diesem Tal, das vom Nordhang des Terskei-Alatau zum Issikkul führt. ALMÁSY und BORGHESE besuchten dieses nördliche Karakol-Tal und besonders ALMÁSY's schöne Beschreibung giebt uns ein ziemlich gutes Bild von demselben. Durch letzteren erfahren wir, dass die pleistozäne Vergletscherung des nördlichen Karakol ein weites Gebiet umfasste und, dass sich über der Schätzungsweise auf 3100 *m* angesetzten, heutigen Waldgrenze ein glaziales Trogtal von vielen Kilometern ausdehnt. BORGHESE gelangte hier auch auf den Rücken des Terskei-Alatau, nach seinen Angaben in 4200 *m* Höhe.<sup>1</sup> FRIEDERICHSEN entdeckte an der Südseite des Terskei-Alatau bei-

<sup>1</sup> Die Höhenbestimmung ist Resultat einer Aneroidmessung ohne Korrektion.

läufig auf dem Meridian des nördlichen Karakol die Täler „Aschutör“ und „Karagoltyr“ (= Karakoltör). In beiden Fällen war ein kirgisischer Jäger namens KUDAJ-GILDI der Informator, welcher 1900 dem Prinzen BORGHESE, 1902 FRIEDERICHSEN und 1906 ALMÁSY Dienste leistete. ALMÁSY unterschätzte einigermassen die Ausdehnung der im Karakol-Tale befindlichen Gletscher. Es müssen sich in diesem Abschnitte des Nordabhanges des Terskei-Alatau sehr ausgedehnte Gletscher befinden, worauf auch der aussergewöhnliche Wasserreichtum der Flüsse hinweist. Mein Plan war anfangs über diesen BORGHESE'schen Pass die Nordseite des Terskei-Alatau zu erreichen. Es lockte mich dabei auch der Umstand, dass es mir auf diese Weise möglich gewesen wäre, ein vollständiges geologisches Profil von dieser mächtigen Gebirgskette aufzunehmen. Zwar erwies sich dieses Vorhaben als unausführbar, jedoch hatte der auf die Erforschung einer Übergangsmöglichkeit verwendete Tag zahlreiche glaziologische Resultate zu verzeichnen. Ich entdeckte im Kölü-Karakol-Tale ansehnliche Eisströme.

Die Kölü- und Karakoltör-Mündung ist ein Moränengebiet. Von Süden, dem Kölütai kommend schliesst sich den früheren als dritter der Ottuktasch-Bach an. Der grösste Teil der Moränen entstammt augenscheinlich dem Karakol-Tale und scheint eine um die Mündung abgelagerte Stirnmoräne zu sein. Der Karako!-Fluss von heute ist vor der Vereinigung mit dem Kölü durch die Moränen gezwungen eine ähnliche Windung nach Osten zu vollführen, wie der Saritschat. Die Wassermenge des rezenten Karakol übertrifft jene des Kölü wenigstens um das Doppelte, so, dass eigentlich der erstere als Hauptfluss zu betrachten ist.

Der untere Abschnitt des Kölü-Karakoltör ist ein in nordwestlicher Richtung verlaufendes, vierzehn Kilometer langes, U-förmiges Trogtal. Etwa drei Kilometer oberhalb der Vereinigung mit dem Kölü wird das Tal neuerdings durch eine Stirnmoräne abgesperrt. Diese Moräne drängt den Fluss ganz an die rechte Seite des Tales. Ihre Sohle befindet sich in 3170, ihr Rücken in 3230 *m* Höhe. Das Moränenmaterial ist Kalkstein, rötlicher und schwarzer Tonschiefer, Granit. Letzterer herrscht vor. Hinter der Stirnmoräne folgt in 3180 *m* Höhe ein in Kilometer Länge aufgeschüttetes Seebecken. Der folgende Kilometerabschnitt des Tales ist von Grundmoränenschutt bedeckt und darauf folgt ein doppeltes, aufgeschüttetes Seebecken in 3225 *m* Höhe. Bis hieher rieseln bloss kleine Bächlein über die Talhänge, schöne Wasserfälle bildend. Beim doppelten Seebecken erblickte ich in der Höhe den ersten Kargletscher. Das doppelte Seebecken endet in einer Höhe von 3260 *m*. Hier entsteht der Fluss des Karakol-Tales aus der Vereinigung zweier mächtiger Gletscherbäche. Ein wirklich grossartiges Alpenpanorama öffnete sich meinem Blicke. Das Tal verläuft noch ein Stück gegen Nordwesten, dann aber tritt plötzlich an Stelle des von Moränenschutt bedeckten Weichlandes das silbergrüne Gletschereis. Eine Stirnmoräne von Bedeutung fehlt. Der Gletscher fliesst

fast unmittelbar auf den grünen Rasen, den das Schmelzwasser in grosser Menge überschwemmt, obzwar ein kühles, trübes Wetter herrschte. Das Thermometer zeigte selbst zu Mittag bloss  $5^{\circ}$  C. Der zweite Gletscherbach, der um nichts geringer ist, als der erste, stürzt an der Seite des Tales vom Rücken einer Moräne herab. Die letztere ist etwa 400 *m* hoch und aus dieser ungeheuren Höhe eilt mit ohrenbetäubendem Brausen der Bach abwärts, den schönsten der bisher bekannten Wasserfälle des Tienschan bildend.

Ich komm auf der linksseitigen Stirnmoräne des im Haupttale befindlichen Gletschers aufwärts, bis ich in 3620 *m* Höhe einen entsprechenden Aussichtspunkt fand. Hier zeichnete ich inmitten eines ausgebrochenen Schneesturmes eine noch nicht veröffentlichte Skizze. Die ganze Pracht der Gletscherwelt tat sich vor mir auf. Das dahinjagende Schneegewölk verbarg hie und da wohl einen Teil des Landschaftsbildes, trotz alledem aber gelang es mir das ganze Panorama zusammenzustellen. Ich befand mich zu Füssen eines ausserordentlich steilen, fast senkrecht scheinenden, wild zerrissenen Kalkberges. An den Felswänden stürzten kleine Wasserfälle nieder, hinweisend auf den zwischen den Gipfeln eingebetteten Firn. In der Richtung gegen Nord-Nordost war die Aussicht unbehindert. Der hinter mir emporragende Berg trieb nach Norden an Höhe sich allmählich verringernde Felsrippen, während in nördlicher, gegen Westen etwas abweichender Richtung etwa zwei Kilometer von meinem Aussichtspunkte entfernt, aufs neue eine mächtige Kalkwand emporragte. Zwischen dieser Kalkwand und dem oben erwähnten Berg, etwa 150 *m* unter dem Rücken der Moräne befand sich ein mächtiger Gletscher. Es schien mir, dass dieser, den ich Kölü-Karakol-Gletscher No. III. nenne, von einem niederen, höchstens 3800 *m* hohen Rücken komme, der die Hauptwasserscheide des Terskei-Alatau (zugleich auch die des Tarim und des Aralo-Kaschpischen-Beckens) bildet. Auf dem Gletscher selbst also liesse sich zu Fusse der Hauptrücken leichterdinge erreichen. Falls meine Annahmen mich nicht trügen, das heisst, wenn der Gletscher tatsächlich diesem Rücken entstammt und sich nicht aus einem westlich gelegenen Längstal hervorstreckt, kann seine Länge auf 6 *km* geschätzt werden.

Am rechten Ufer des Kölü-Karakol-Gletschers No. III. zieht sich in WSW-Richtung ein Gebirge hin, dessen mittlere Gipfelhöhe meiner Schätzung nach 4500—4600 *m* betragen mag. In den Seitenwänden dieses Gebirges sind die Kare- und Zirkustäler mit Firnschnee bis zum Rand gefüllt und während die Gletscherzungen bis an den Fuss des Gebirges herabreichen, fliessen einzelne auf den Rücken des Kölü-Karakol-Gletschers No. I. (S. Taf. X.). Der No I., oder Haupttalgletscher entspringt im Südwesten einem augenscheinlich sehr ausgedehnten Firnsammelbecken. Dieses Becken wird von Berggipfeln, deren Höhe weit über 5000 *m* ansteigt, umgeben, unter ihnen befindet sich ein wenigstens

6000 *m* hoher Riese, zweifelsohne der höchste Gipfel des Terskei-Alatau. Der grosse Gletscher nimmt seinen Lauf erst nach Nordosten, dann nach Osten, nach Vereinigung mit dem III. Gletscher aber nach Südosten und endet nicht weit vom grossen Wasserfall in 3300 *m* Höhe, reicht also tiefer, als die Gletscher Semenow (3412), Iniltschek (3450) und Muschetow (3330), ebenso tief also, als der Kolpakowsky-Gletscher. Auf seinem Rücken von mehr, als ein Kilometer Breite folgen einander die Giessbäche der Schmelzwässer in tiefen Rinnen. Die Länge des grossen Gletschers beträgt wenigstens 15 Kilometer.

Der II. Kölü-Karakol-Gletscher speist mit seinen Schmelzwässern den grossen Wasserfall, endet aber bereits in 3600 *m* Höhe. Augenfällig ist das geringere Gefälle seines Tales, gegenüber jenem des grossen Gletschers. Heute blickt er vom Rücken seiner alten Stirnmoräne auf das um 400 *m* tiefere Tal des grossen Gletschers herab.

### 3. Der Saridschas unterhalb der Kölü-Mündung und das Terekti-Tal.

Im heutigen Sammelgebiete des Saridschas trug ich noch zu Beginn meiner Winterreise Beobachtungen zusammen. Aus der Zeit dieser Reise stammt auch das erste geologische Profil, bezüglich des Gebietes zwischen den Mündungen des Kölü und Akschirjak, das jenen der Alpentunnele ähnelt, da es, wie jene, durch die Gebirgsketten, hier des Mittleren Tienschan in gerader Linie gelegt ist.

Im unteren Abschnitt des Ottuk-Tales fanden sich keine Spuren pleistozäner Vergletscherung. Die pleistozänen Gletscher des Terskei-Alatau reichten auch an diesem Ort kaum bis 3000 *m* Höhe, nämlich von der Gegend des Türgen-Aksu bis beiläufig zur Mündung des nördlichen Berkut, wahrscheinlich bis zu jenem Punkte, wo das Trogtal in eine steilwandige Schlucht übergeht (beiläufig 3100 *m*). Bei der Mündung des Ottuk nimmt der Saridschas eine Wendung nach Süden, um so, wie er sich aus der engen Schlucht heraus arbeitet, sogleich zwischen Fluvio-glazialterrassen seinen Lauf fortzusetzen. Besonders schön entfalten sich die letztgenannten Terrassen in der Gegend der Kölü-Mündung.

Leider stand mir damals keine wissenschaftliche Ausrüstung mehr zur Verfügung, so, dass ich in Ermangelung eines Aneroid-Barometers anstatt Vergletscherungsstudien bloss über die Resultate flüchtiger Beobachtungen berichten kann. Diese erwähne ich jedoch bloss um die durch Messungen nachgewiesenen Angaben zu bekräftigen und Vergleichsmaterial zu liefern.

Unterhalb der Kölü-Mündung verlässt der Saridschas endgültig das Gebiet pleistozäner Vergletscherung. Nun aber, gelegentlich der Durchbrechung sämtlicher Gebirgsketten des Mittleren Tienschan nimmt er

die Schmelzwässer der grösstenteils riesenhaften Gletscher der Längstäler auf. Die Wirkung der pleistozänen Vergletscherung auf die Physiographie und die Ablagerungen des Flussbettes bleibt immer noch bedeutend.

Die dreifache Terrasse aus der Kölü-Gegend begleitet den Saridschas bis zur Tschong-Taldu-Mündung.

Die dreifache Terrasse ist auch auf Skizze 12. dargestellt. Oberhalb der Tschong-Taldu-Mündung im Saridschas-Tale sind die drei Terrassen noch vorhanden, so zwar, dass sich die erste Terrasse etwa 30–40 *m* über dem Flussbette befindet. Diese Felsterrasse ist infolge Übertiefung des Flussbettes entstanden. Die zweite Terrasse jedoch, 30–40 *m* über der ersten gelegen, ist bereits fluvio-glazialen Ursprungs und demnach auch in den Nebentälern vorhanden, besonders gut erhalten im Tschong-Taldu. Die Entstehung der dritten Terrasse ist nicht leicht zu erklären. Solange uns nicht eingehendere Untersuchungen zur Verfügung stehen, ist der nächstliegende Gedanke wohl der, dass sie Überreste von Tälern der Vor-Burkhan-Zeit darstellen. Etwa 200 *m* über dem Saridschas, sich bloss in ihren Hauptzügen dem heutigen Flusse anschmiegend, zieht sich diese Terrasse über der grossen Schlucht hin, im Tschong-Taldu und weiter nördlich. Sie tritt als Teile einer mehr-weniger ausgedehnten Rückenlandschaft auf, die an den Felswänden zu kleben scheinen. Stellen wir uns aber Höhenangaben der Syrte und Firnplateaus, der Kölü- und Saridschas-Gegend zusammen, gelangen wir zu recht überraschenden Resultaten. Vom Gebiete des Kölü-Passes bis zu den Adirtör- und Törpusyrten breitet sich — von den Flusstälern abgesehen — eine Riesenmulde aus, deren Süd-, West- und Nordränder in etwa 4200 *m* Höhe gelegen sind und deren tiefste Linie die Richtung des Kölü-Cañons bezeichnet. Diese Mulde besitzt ein kaum allmählich zunehmendes Gefälle nach Osten zu und endet am Quertal des Saridschas in etwa 3600 *m* Solenhöhe. Ihre Breite beträgt im Durchschnitt 20 *km*, ihre Länge 60 *km*. Die Kölü-Mulde endet jedoch am Quertal des Saridschas nicht gänzlich. Sie setzt sich zusehends schmaler werdend und auf die Südseite des Terskei-Alatau sich stützend, über das Berkut-Tal hinaus, fort bis an die Quellgegend des Itschkeletasch, wo sie am Töruruk-Syrt bis auf 3400 *m* Höhe herabsteigt. Von hier gegen Osten steigen die Müntör und die Kakkak-Felsen wieder auf 3400–3800 *m* an. All diese Gebiete wurden von der pleistozänen Vereisung beherrscht.

Der Saridschas fliesst von Beginn an um etwa 400–1000 *m* tiefer eingegraben, als die Mulde gelegen ist. Rechts vom Flusse befinden sich in dieser Höhe die Felsen, während sich auf dem linken Ufer in 150–200 *m* Höhe der Saridschas-Syrt ausbreitet. FRIEDERICHSEN konnte hier in 3100–3300 *m* Höhe die Spuren glazialer Wirkung beobachten. Ich selbst fand an der Tüs-Mündung in 3050 *m* Höhe eisgeschrammte Rundhöcker, während es mir nicht gelang flussabwärts irgend welche Spuren glazialer Wirkung aufzufinden. Die grösste Ausbreitung der Semenow und Musch-

ketow-Gletscher kann bis zum Höhenpunkte 2800 gerechnet werden. Die FRIEDERICHSEN'schen Glazialsuren finden ihre Erklärung offenkundig im Anwachsen der kleineren Gletscher des Saridschasintau.

Die orometrischen Werte des Saridschas-Syrt legen nach FRIEDERICHSEN Zeugnis dafür ab, dass das Gefälle des Syrt von West, Süd und Ost im gleichen Sinne gegen die Tüs-Mündung zu abnimmt. FRIEDERICHSEN bestimmte östlich vom Karagity in der dem Saridschas-Flusse entgegengesetzten Richtung 3310, 3170, 3150 *m*. Während also der Saridschas seinen Lauf nach Westen nimmt, befindet sich im Norden ein höher gelegener Urtalboden, im Süden aber ein niedrigerer mit entgegengesetztem Gefälle.

In der grossen Schlucht des Saridschas sind die Teile des Urtalbodens bedeutend tiefer gelegen und weisen ein südliches Gefälle auf.

Von der über dem Tschong-Taldu-Tal heute hoch gelegenen Fläche des Urtalbodens aus, überblickt man die westlichen Berge des Saridschasintau vom Tess-Passe an gerechnet, dergleichen das östliche Ende des Kölütai mit dem Ede-Gipfel, sowie die Gegend bis zum Quellgebiet des Tschong-Taldu. Überall Nischentäler glazialen Ursprungs, unter dem Ede-Gipfel befinden sich tief herabreichende, vorhangartige Kargletscher.

Der Eisvorhang einer jener oberhalb der Mündung des Tschong-Taldu-su vom Ede-Gipfel sich abzweigenden kurzen, hohen Bergrücken, findet seine Fortsetzung in einem schwarzen, schlammigen Strom von Gesteinschutt, der fast bis zur oberen Grenze der Nadelwälder herabreicht. Die grosse Entfernung verhinderte mich daran festzustellen, ob ich es hier mit einem grossartigen Beispiel der von ALMÄSY entdeckten schlammigen Schuttströme des Saridschas-Gebietes zu tun habe, welche bloss infolge von Durchtränkung mit Wasser auf der steil geneigten Ebene in Bewegung geraten, oder mit dem schuttgefüllten unteren Abschnitte eines Gletschers.

Gelegentlich der Begehung der berühmten grossen Schlucht des Saridschas fanden die erwähnten Tatsachen Bestätigung. Die in der Gegend der Tschong-Taldu-Mündung befindliche III. Terrasse findet sich auch in der Schlucht vor, ist also jünger, als der Durchbruch selbst. In der Schlucht fehlen die Fluvioglazialterrassen, somit auch die II. Terrasse, vollkommen. Die Spuren der I. Terrasse aber begleiten den Uferand des steilwandigen Cañons. (S. Reisesk. a. Zentralasien. VII.).

Im Zwischenland des Saridschas und Iniltschek Zusammenflusses breitet sich ein nach meiner Schätzung 200—300 *m* hohes Hügelland aus, dessen Ausdehnung einige Kilometer beträgt. Es dämmerte bereits, als ich die ermüdende Felskletterei in der Schlucht einstellte und daher auch nicht in der Lage war, mir über die Natur dieser mächtigen Schuttanhäufungen Klarheit zu verschaffen. Ringsumher erheben sich steile Felswände, es ist also nicht ausgeschlossen, dass es sich um das Resultat eines Felssturzes von grösserem Umfange handelt, obzwar es sich auch um den Schutt-

kegel des Saridschas handeln kann, der sich gelegentlich der Entstehung des Cañons gebildet haben mag.

Sowohl der Iniltschek als auch der Saridschas wird von je drei Terrassen begleitet. Die dritte, oberste Terrasse ist in beiden Tälern eine denudierte, wellige, von fluviatilen Ablagerungen teilweise entblösste Felsterrasse. Besonders gut sind diese Terrassen von der Mündungsgegend des Terekti aus sichtbar. Hier, nachdem ich die dritte Terrasse erklimmen, fand ich die Gewissheit, dass die den Saridschas und Iniltschek begleitenden Terrassen einen Urtalboden darstellen. Spuren glazialer Tätigkeit konnte ich hier nicht auffinden, solche müssen übrigens schon längst wieder vernichtet worden sein, falls sie vorhanden waren. Von Wichtigkeit jedoch ist die Feststellung dessen, dass das Gefälle dieser obersten Terrasse flussaufwärts viel langsamer ansteigt, als das des Saridschas von heute und somit talabwärts relative immer höher wird.

Das Terekti-Tal wurde von FRIEDERICHSEN entdeckt. Der pleistozäne Gletscher war um sechs Kilometer länger, als der heutige. Die Moränen wurden durch Flusswässer um- und neuerdings abgelagert. Ich konnte bloss den unteren Abschnitt des Terekti begehen, unterhalb des von FRIEDERICHSEN erwähnten, in 3060 *m* Höhe gelegenen Punktes bis auf etwa 5 *km* Entfernung. Der untere 5 *km* Abschnitt des Tales fällt in die Zone der Laubbäume. Über diesem folgt ein 11 *km* langes V-förmiges Tal mit Nadelwald, das durch ein U-förmiges Muldental abgelöst wird. Dies ist jener Ort, welcher laut meinem Itinerar vom FRIEDERICHSEN'schen 3060 *m* Punkte 5 *km* entfernt sein mag und kann — falls das Gefälle des Muldentales ein gleichmässiges ist — seine Höhe auf 2950 *m* geschätzt werden.

Unterhalb der Mündung des Iniltschek und Terekti bis zum Zusammenfluss des Kaündü und Ütschkül ist das Saridschas-Tal geräumig, breit, sozusagen beckenartig und von Terrassen begleitet (Fig. 12.). Auch im Kaündü-Tale befinden sich einige Terrassen. Die obersten (III.) sind Reste eines Urtalbodens. Diese Terrassen befinden sich bereits in sehr bedeutender Höhe. Weit entfernt von der Kaündü-Mündung, ein bis zwei Meilen diesseits derselben, beobachtete ich eigentümliche, sanftgeneigte Abhänge, welche möglicherweise Reste des mit Terrasse III. bezeichneten Urtalbodens darstellen (Fig. 12. u. 13.). Die Schotter des Kaündü sind bei der Mündung deltaartig ausgebreitet. Nach der hier vorliegenden riesenhaften Schutthäufung geurteilt, besass der Saridschas bei der Kaündü-Mündung vormals ein übertiefes Bett. Dieser Umstand erklärt die Entstehung der zwischen der Terrasse II. und I. befindlichen Terrasse IIa. Das Material der Terrassen unterzog ich keiner direkten Untersuchung, jedoch liess sich schon aus der Entfernung wahrnehmen, dass die II. Terrasse aus ungleichförmigem Schutt bestehe. Wo eine Unterwaschung durch den Saridschas stattfand, entstanden Erdpyramiden, woraus erhellt, dass im Aufbau der Terrasse grosse, in die lehmige Masse der Ablagerung eingebettete Felsblöcke eine bedeutende Rolle spielen. Da dieses Material

zweifelsohne aus dem Kaündü stammt, liegt der Gedanke an eine umgelagerte Moräne nahe. Das Material der I. Terrasse ist gemischter, grober Flussschotter.

Die Terrassen des Kaündü werden am Eingang des Tales durch den Saridschas abgeschnitten. Zwischen dem Kaündü und dem Ütschkül sind die drei Terrassen sichtbar. Unterhalb der Mündung des Ütschkül betritt der Saridschas abermals eine enge Schlucht. Die beiden unteren Terrassen bleiben hier sofort aus. Der Strom gelangt stellenweise zwischen fast senkrechte Felswände. Der steile Felshang erhebt sich jedoch kaum 100–150 m über den Strom, verflacht sich dort und geht in die III. Terrasse über. Der Urtalboden begleitet auch hier den Strom in seinem heutigen Verlauf. Zwischen den Mündungen des Ütschkül und des Akschirjak wird der Saridschas durch einem verhältnismässig niedrigen (+ 4–500 m hohen) Bergrücken, dem Orokhertau gezwungen, einen mächtigen Bogen zu beschreiben. Der tiefste Punkt des Orokhertau dürfte nach meiner Schätzung kaum viel niedriger, als 2800 m sein. Der südliche Nachbar des Kaündü-Tales: das Taldibulak-Tal leitet die Schmelzwässer der Gletscher des Ütschat-Gebirges in den Saridschas ab. Dem Taldibulak gegenüber zeigt der Saridschas auch heute ein übertieftes Bett. Der untere Abschnitt des Tales ist steil, mit Wasserfällen, doch folgt alsbald ein V-förmiger, mit Nadelwälder

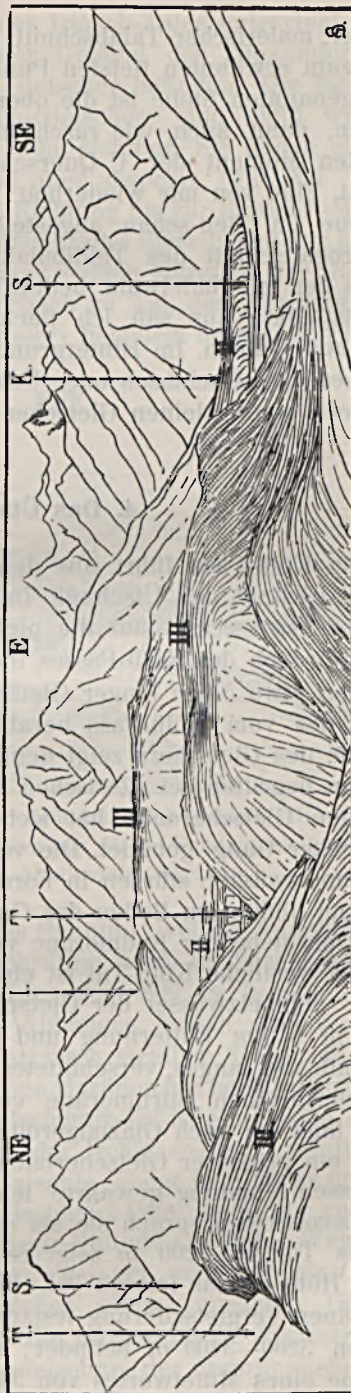


Fig. 12. Terrassenlandschaft des Saridschas zwischen den Mündungen des Imiltschek und Kaündü. III. Talboden aus der Zeit vor der Burkhan-Vergletscherung. II. Fluvio-glazialterrassen aus der Burkhan-Zeit. T = Terekti-Tal, S = nördliche Schlucht des Saridschas, I = Imiltschek-Tal, K = Kaündü-Tal.

bedeckter, malerischer Talabschnitt. Dieser reicht nicht erheblich höher, als bis zum erwähnten tiefsten Punkt des Orokertau hinauf. Von der zuletzt genannten Stelle ist die obere Grenze der Nadelwälder gut zu erkennen, dann auch, wie rasch im Zusammenhang mit dem soeben erwähnten Moment der U-Querschnitt des Tales in einen V-förmigen übergeht. Eine von mir wiederholt angestellte Beobachtung, die durch jede neue im Tien-schan angestellte nur bestätigt wurde. Der obere, Glazialtrogsabschnitt des Taldibulak ist augenscheinlich noch weniger steil, als der mit Nadelwald bedeckte mittlere Abschnitt; von meinem Aussichtspunkte aus sah ich flache, abgerundete, grasbedeckte Berg Rücken und Lehnen. Im Hintergrund erheben sich die drei eisbedeckten Bergriesen des Üschtasch oder Üschtschat, zwischen denen man auch heute noch einen kleinen Gletscher findet.

#### 4. Das Ütschkül-Tal.

Der Kölü-Pass führt aus dem Kölü-Tal in das Irtasch-Tal, den oberen Abschnitt des Ütschkül. In diesem oberen Abschnitt sammelte als erster FRIEDERICHSEN auf die pleistozäne Vergletscherung bezügliche Daten. Nördlich des Kölü-Passes fließt heute ein aus zwei Firnmulden gespeister, etwa 5 km langer Gletscher nach Westen. Wir mussten den Rücken des vom Kölü-Pass herabkommenden Gletschers überqueren. Das Ende des Gletschers zeigt deutlich, dass der Gletscher derzeit im Rückzuge begriffen sei. Zwischen der grossen Stirnmoräne und dem derzeitigen Gletscherende hat sich in Folge der Regression ein etwa 30 m breiter Gang gebildet. Die vom Rücken des Gletschers kommenden Schmelzwässer stürzen in Form von Wasserfällen an der Eiswand herab und bilden am Boden des Ganges vereinzelte kleine Seen, bevor sie im Geschiebe der Endmoräne versiegt.

Das westliche Kölü-Tal ist eine Glazialmulde, in welcher sich derzeit die Schmelzwässer der Gletscher sammeln. Unterhalb des Kölü-Passes in 6 km Entfernung und 3520 km Höhe, fand ich ein nahezu anderthalb km langes, verschüttetes Seebecken, das seine Entstehung einer pleistozänen Stirnmoräne verdankt. Auch unterhalb dieser Endmoräne fand ich noch Glazialgerölle. Knapp unterhalb der Stirnmoräne mündet ein grösserer Gletscherbach in den westlichen Kölü und unterhalb dessen Mündung gewährte ich vom Eis verfrachtete Felsblöcke. Auch FRIEDERICHSEN sprach sie als solche an. Weiter unten aber verengt sich das Tal, bei 3200 m zeigt es bereits die V-Form und mündet in 2830 m Höhe in das Irtasch-Tal. Es war mir nicht möglich die Grenze pleistozäner Vergletscherung festzustellen, sicher ist bloss, dass sie sich zwischen 3200—3400 m befindet; auf diese Weise komme ich zu der Annahme eines Mittelwertes von 3300 m.

Das Gewässer Ütschkül-saj des Irtasch-Tales entspringt von der Hauptkette des Terskei-Alatau, in der Gegend des Alexander-Berges, wo sich auch heute noch mächtige Gletscher befinden. Die Reste einer Stirnmoräne des pleistozänen Irtasch-Gletschers sind nicht weit oberhalb der Kölü-Mündung, in 2830 *m* Höhe sichtbar. Sie bilden eine grasbedeckte Hügelreihe, welche das Tal quer absperrt. (Taf. X.)

Das Irtasch-Tal streicht in N-S Richtung bis zur Ischigart-Mündung. Von seinem östlichen Abhange kommen kleine Rieselbäche aus kleineren Kargletschern, vom westlichen Abhang jedoch stürzt in der Reihe der kleineren auch ein grosser Gletscherbach zu Tal, dem die Kirgisen den Namen Djaman-su (= schlechtes Wasser) beigelegt haben. Im Pleistozän

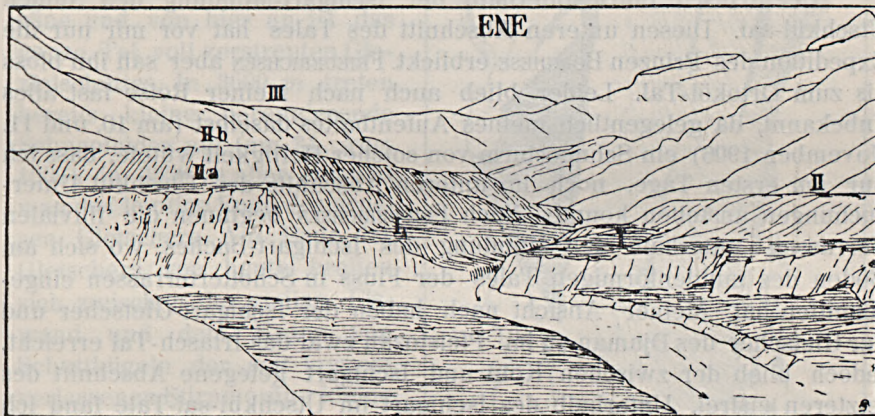


Fig. 13. Terrassen des Saridass an der Mündung des Kaündü. III. = Talboden aus der Zeit vor der Burkhan-Vergletscherung. II. = Fluvioglazialterrassen aus der Burkhan-Zeit. I. = Altalluviale Terrassen.

erreichte der Djaman-su-Gletscher das Haupttal, welche Annahme durch eine mächtige Moränenanhäufung bekräftigt wird. In diesem Abschnitte des Irtasch wird der Fluss von einer 500–800 *m* breiten Terrasse begleitet, am Fusse des östlichen Abhanges jedoch sind auch noch Spuren anderer, höher gelegener Terrassen sichtbar. Der in der Umgebung der Ischigart-Mündung befindlichen Moränen hat bereits FRIEDERICHSEN Erwähnung getan (l. c. p. 105). Das Ischigart-Tal ist eine breite, in flache Hügel zerlegte, geneigte, südlich von der Ischigart-Kette, nördlich vom Akschirjak begrenzte Ebene. Die Talsohle endet in 2780 *m* und steigt bis 3860 *m* Höhe. Nicht weit vom Ischigart-Pass entfernt, endet das Ischigart-Tal plötzlich beim Tschagir-Kaündü-Quertal. Wenn man das Ischigart-Tal aufwärts wandert, gelangt man auf eine feuchte Wiese, in welcher man ganz sicher einen einstigen Gletscherboden erkennt. Tschagir-Kaündü ist die orographische Fortsetzung des Ischigart-Tales und Ischigart ist zweifelsohne der ursprüngliche Unter-

Abschnitt des Tschagir-Kaündü, welchen dieser nach dem Durchbruch durch den Ischigart-tau verlässt. Infolge allmählicher Übertiefung seines Bettes entstand der derzeit vorhandene Niveau-Unterschied von 400 *m*. Der Tschagir-Kaündü-Gletscher mag von hier aus diesen, damals wohl noch bedeutend geringeren Niveau-Unterschied ausgefüllt haben und auf diese Weise konnte der Uraltboden den auf den Tschagir-Kaündü entfallenden Niederschlag nochmals aufnehmen und zwar in Gestalt eines Eisstromes. So etwa könnte die Anfüllung des Ischigart-Tales mit Moränen erklärt werden. Die soeben erwähnte interessante morphologische Eigentümlichkeit stellt meine im Jahrg. 1908. der „Földrajzi Közlemények“ auf Seite 361. befindliche kleine Skizze dar.

Der Irtasch führt unterhalb der Ischigart-Mündung den Namen Ütschkül-sai. Diesen unteren Abschnitt des Tales hat vor mir nur die Expedition des Prinzen BORGHESE erblickt. FRIEDERICHSEN aber sah ihn bloss bis zum Ortoköl-Tal. Leider blieb auch nach meiner Reise fast alles unbekannt, da gelegentlich meines Aufenthaltes daselbst (am 10. und 11. November 1906) ein Schneesturm von solcher Heftigkeit wütete, dass ich nur am ersten Tage, noch im unteren Abschnitt des Ütschkül Untersuchungen anstellen konnte. Nach FRIEDERICHSEN beginnen die fluvialen Terrassen unterhalb der Mündung des Ischigart-Baches, wo sich am Boden des muldenförmigen Tales der Fluss in Schotterterrassen eingeschnitten hat. Meiner Ansicht nach haben der Ischigart-Gletscher und der Gletscher des Djaman-su im Pleistozän zwar das Irtasch-Tal erreicht, jedoch blieb der zwischen Kölü und Ischigart gelegene Abschnitt des letzteren eisfrei. Unterhalb des Ischigart im Ütschkül-sai-Tale fand ich keinerlei Spuren glazialer Arbeit.

##### 5. Das Akschirjak-Tal und der Kumar-Abschnitt des Saridschas.

Südlich des Ischigart-tau befindet sich das Sammelbecken des Akschirjak-Flusses. Das Ischigart-tau und das Dschanart-Gebirge erheben sich in stellenweise bis zu 40 *km* Entfernung von einander. Die Quellen der den Akschirjak speisenden Flüsse entspringen am Rande des grossen Narinsyrt, im Borkoldaj-Gebirge, grösstenteils jedoch im Dschanart-Gebirge.

An der Nordseite des Ischigart-tau erinnern kleine Glazialnischen daran, dass sie im Pleistozän vereist waren. Unterhalb des Ischigart-Passes befindet sich das bereits erwähnte Kaündü-Tal, dessen pleistozäner Gletscher den oberen, in die Richtung der Achse des Ischigart-Tales fallenden Abschnitt in dem Masse auffüllte, dass seine Schmelzwässer auch in den Ütschkül rieselten. Im Kaündü-Tale entdeckte ich unterhalb der gegen das Ischigart-Tal sich erhebenden Scheidewand in geringer Entfernung und 3340 *m* Höhe eine ausgezeichnet erhaltene Stirnmoräne.

Diese sperrt in einer Breite von etlichen hundert Metern das ganze Tal. (Taf. X. Gletscher „Ka“). Unterhalb der Stirnmoräne ist das Bett des Kaündü breit, schotterreich, zwischen steilen, cañonartigen Wänden. Oberhalb der grossen Stirnmoräne beginnt die Mulde des pleistozänen Gletschers. In der Höhe von 3460 *m* befinden sich Reste einer zweiten Stirnmoräne und von hier an ist das ganze Tal voll zerstreuten Glazialschuttes. In 3600 *m* treten bereits kleine perennierende Schneefelder auf (am 31. Aug. 1906), in 3650 *m* aber erreicht man das heutige Ende des grossen Gletschers. Am Ende des Gletschers von heute breiten sich zwischen der steilen Eiswand und dem Kranz von Schutthügeln der seit kurzem verlassenen Stirnmoräne kleine Seen aus. Der Kaündü — richtiger Tschagir-Kaündü-Gletscher ist von ziemlicher Ausbreitung. Er bietet aus einer Höhe von 3800 *m*, von einem hervorragenden Punkte seiner Seitenmoräne gesehen, einen wirklich imposanten Anblick. (Fig. 14.) Der Tschagir-Kaündü-Gletscher wird nicht durch ein Firnfeld abgeschlossen, sondern das Eis häufen die aus den Nebentälern kommenden Eisströme auf der Sohle des Haupttales an. Von Norden erhält es besonders grosse Firnmassen, welche dem Hauptgletscher eine eigentümliche asymmetrische Form verleihen. Die von den oberen Sei-

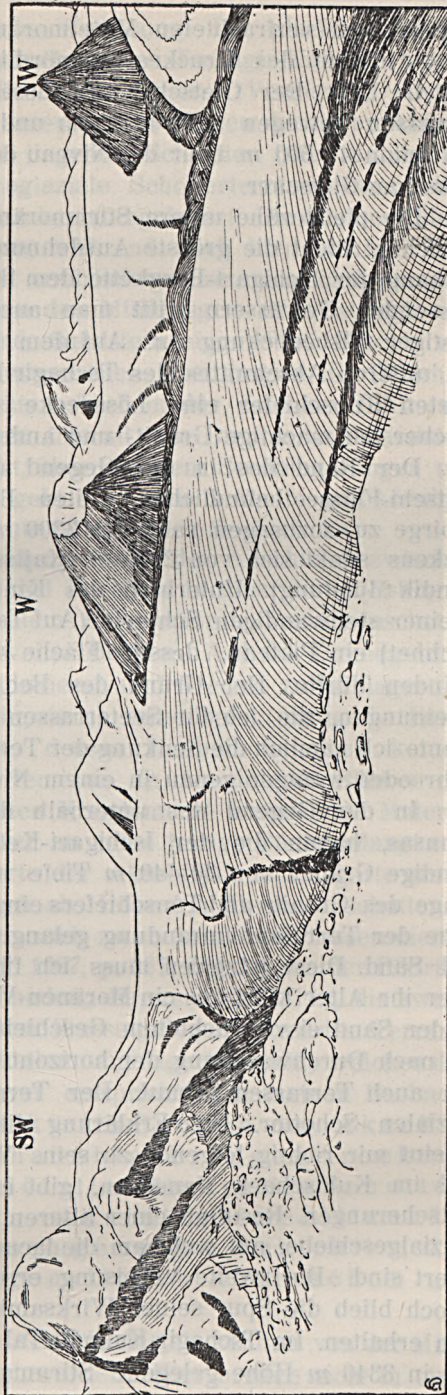


Fig. 14. Der Tschagir-Kaündü-Gletscher.

tengletschern verfrachteten Mittelmoränen gelangen talabwärts allmählich — infolge des Druckes des nördlichen Gletschers — alle auf das südliche Ufer. Der Gletscher ist ausserordentlich breit, die mächtigen Eismassen bewegen sich langsam und die Spitzen und Grate erheben sich kaum 4—500 *m* über das Niveau derselben. Es ist dies ein typischer Tienschan-Gletscher.

Die pleistozäne untere Stirnmoräne (3340 *m*) des Tschagir-Kaündü bezeichnet nicht die grösste Ausdehnung der Vergletscherung. Auf dem Südhang der Ischigart-Bergkette, dem flachen Bergrücken zwischen den fliessenden Gewässern trifft man auch in 3300—3400 *m* Höhe Spuren einstiger Eisbedeckung an. Auf dem flachen Gebirgsrücken, oberhalb des unteren Abschnittes des Tschagir-Kaündü, bedeckt die steil aufgefalteten Tonschiefer eine Lössdecke und sandige Seeablagerung, in welcher ich mächtige Granit- und andere Blöcke fand.

Der Rand des in der Gegend der Mündung der Tschagir- und Kajtschi-Flüsse befindlichen, weiten Beckens richtet sich gegen das Gebirge zu, sozusagen nach der 3300 *m* Isohypse. Die tiefste Linie des Beckens senkt sich von 2900 *m* (Kajtschi-Mündung) auf 2820 *m* herab (Kindik-Mündung). Unterhalb des Kindik zerschneidet der Akschirjak in einer steilwandigen Schlucht (Auf Taf. X. ist diese durch: ..... bezeichnet) ein Plateau, dessen Fläche sich ebenfalls in 3300 *m* Höhe befinden dürfte. Der Grund des Beckens zeigt deutlich Terrassenerscheinungen, die ich für Seeterrassen ansah. Mit meinem Nivellierglas konnte ich nämlich die Senkung der Terrassen nicht feststellen, sie lagen mehr oder weniger genau in einem Niveau.

In der Gegend des unterhalb des Ischigart-Passes befindlichen Usunsas, haben die der Ischigart-Kette entströmenden Bäche steilwandige Gräben von 30—40 *m* Tiefe und ähnlicher Breite in die Felsänge des Granits und Tonschiefers eingegraben. Sobald die Bäche in die Nähe der Terrassenumrandung gelangen, liegt ihr Bett in Granitbreccia und Sand. Diese letzteren muss ich für lacustre Ablagerungen halten. Über ihr Alter klärt uns ein Moränen-Vorkommen auf. Im Tale Usunsas ist der Sand eisverfrachtetem Geschiebe aufgelagert. Der Usunsas-Bach hat nach Durchwaschung der horizontalen Breccia- und Sandablagerungen auch Terrassen gebaut. Der Terrasse aufliegend fand ich fluvioglazialen Schotter. Die Erklärung dieses beobachteten Vorkommens scheint mir richtig folgende zu sein. Wie auf den nördlichen Hängen und im Kuldschaer Nanschan, gibt es auch hier Spuren zweier Vergletscherungen. Resultat einer älteren, mächtigeren Vereisung ist jenes Glazialgeschiebe, auf welchem die lacustren Akschirjak-Sedimente abgelagert sind. Die zweite Vereisung erreichte den Usunsas nicht mehr, jedoch blieb die Spur seiner Wirksamkeit in den fluvioglazialen Schottern erhalten. Im Tschagir-Kaündü-Tal fand ich ähnliche Erscheinungen. Die in 3340 *m* Höhe gelegene Stirnmoräne bezeichnet augenscheinlich

die grösste Ausdehnung der zweiten Vereisung. Die glazialen Ablagerungen der über dem unteren Abschnitt des Tschagir-Kaündü befindlichen Hügelrücken aber sind Reste einer älteren Vereisung. An der Usunsas-Mündung befinden sich unter der erwähnten lacustren Ablagerung ältere, ebenfalls horizontal liegende Schichten roten Sandsteins, hier wurde die pleistozäne fluvioglaziale Schotterterrasse unmittelbar auf den ausgewaschenen, roten Sandstein abgelagert. Die oben erwähnte lacustre Ablagerung fehlt hier also, während doch hier sich die Mitte des Beckens befindet, wo diese ja natürlicherweise am mächtigsten sein sollte. Der Akschirjak ist zwischen den Mündungen des Tschagir und Kajtschi in die rote Breccia und Sandstein eingebettet. Breccia und Sandstein sind als aus dem ausgewaschenen Gesteinsgrus des fleischroten Granits entstanden zu betrachten. Auch in der östlichen Hälfte des Beckens befindet sich zu unterst überall rote Breccia und Sandstein derselben Farbe, oder Konglomerat, über welchem Seeablagerungen und Löss folgen. Die Seeablagerung geht an vielen Orten in grobkörnigen Schotter über, ein Zeichen der Aufschüttung des Seebeckens.

Oberhalb der Tschagir-Mündung fliesst der Akschirjak zwischen den flachen Rücken des Tastara und Karakija in einer tiefen Schlucht. Oberhalb dieser folgt ein von rotem Konglomerat, Terrassenschotter und Gebirgsschutt ausgefülltes zweites Becken. Auf das Grundgebirge gelangte zuerst rotes Hanhai-Konglomerat und Breccia zur Ablagerung, dann in schwacher Diskordanz ein, durch seine helle, graugelbe Farbe weithin unterscheidbares Gerölle, dessen Hauptmasse noch keinem Transport durch Wasser unterworfen war. In den unteren Bänken des Gerölles herrscht das aus dem roten Konglomerat stammende Material vor, welches wohl durch Bergrutsch an seine jetzige Stelle gelangt sein mag. Dieses Bruchgestein abradierte der Akschirjak und lagerte grobkörnigen Terrassenschotter dadurch ab. Über dem Terrassenschotter ist neuerdings Gebirgsgeröll sichtbar und zwar in Gestalt auserodierter Hügel (Siehe Földr. Közlem. Jahrg. 1907, p. 367, Fig. 6.). An der Bikirtik-Mündung sind drei Terrassen vorhanden, die erste ist 5–6 m, die zweite 20 m, die dritte 30–35 m über dem Flusse gelegen. Die dritte Terrasse bildet das erwähnte, an einigen Stellen umgelagerte Geröll, welches den Terrassenschotter bedeckt. Letzterer entspricht nach meinen Beobachtungen der zweiten Terrasse. Im Bikirtik-Becken des Akschirjak folgt den alten Hanhai-Ablagerungen trockene Schuttanhäufung, dann plötzlich fluviatile Schotterablagerung. Dieser folgt neuerdings Geröllanhäufung. Das Hanhai bildet noch geneigte Schichten, die pleistozänen Ablagerungen liegen aber schon ungestört.

Die Spuren des Urtalbodens des Akschirjak können von der Mündungsgegend des Bedel an verfolgt werden. Hier breiten sich in etwa

3400 m Höhe Plateaus aus, die wir als Teile des Urtalbodens anzusehen haben. Der Akschirjak fließt heute in einem 200 m tiefen Cañon, unterhalb des erwähnten Talbodens. Der Talboden ist eine Mulde mit nordwestlich gerichteter Achse und senkt sich bis zur Kajtschi-Mündung, bis auf 3150 m, bis zur Kindik-Gegend auf 3100 m; unterhalb des Terek-Akköl-Tales konnte ich 2930 m messen. Der Talboden vereint sich glatt mit dem Urtalboden des Saridschas. Auf dem Urtalboden des Akschirjak fließt der Fluss heute entweder in tiefen Cañons, oder windet sich in abgesunkenen Becken. Das Zeitalter der Einsackung dieser Becken ist wenigstens das pliozäne, da das Bikirtik-Hanhai sich ihm bereits anschliesst, als Füllung des Beckens.

Zwischen dem Tschagir und dem Bikirtik-Becken des Akschirjak erhebt sich der 3600—3700 m hohe, flache

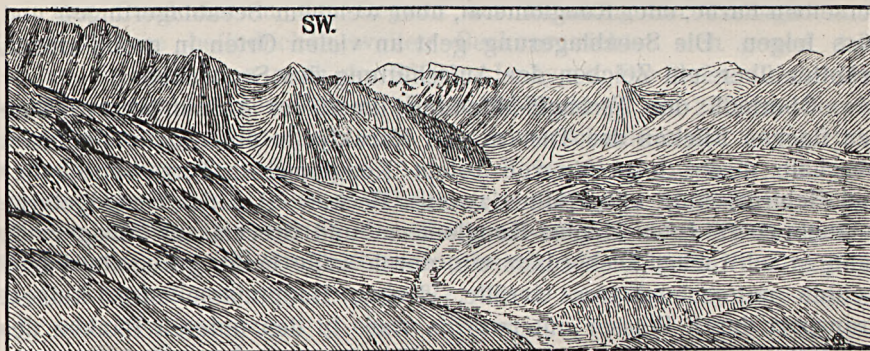


Fig. 15. Die Stirnmoräne des Borkoldaj. (Im Hintergrunde Tafeleis.)

Gebirgsrücken des Tastaratau. Auf demselben konnte ich zwar die Spuren pleistozäner Vergletscherung nicht einwandfrei feststellen, jedoch ist es wahrscheinlich, dass im Pleistozän Firnfelder auf ihm ausgebreitet lagen und deren Rinnsale mögen wesentlich zu der Bildung der in seinen Abhängen tief ausgewaschenen Gräben beigetragen haben,

Längs der tiefsten Linie des Haupttales des Akschirjak fand ich von der Bedel-Mündung an keinerlei Spuren, die auf glaziale Wirksamkeit schliessen liessen. Umso schönere Spuren entdeckte ich jedoch in den Seitentälern, sowohl in dem des Tschagir-Kaündü, als auch in den folgenden. Der Oberlauf des Tschagir-Flusses ist noch unerforscht. Das ihm westlich benachbarte Nebensammelgebiet ist das des Ischtik-Flusses. Der Ischtik selbst, dann sein ihm ebenbürtiges Seitental Boralbasch,

sind heute eisfrei, während der um vieles ansehnlichere Borkoldaj-Fluss aus dem Hängegletscher des Plateau-Eises auf dem wenigstens 4500 *m* hohen Jekaterina-Berg entspringt. Die Täler Ischtik und Boralbasch liegen zwischen 3300 und 3600 *m* Höhe. Flache, grasbewachsene Berghänge umsäumen sie. Hie und da liegt ein Felsblock. Die Züge des Bildes lassen glaziale Wirkungen ahnen, ich konnte jedoch keinerlei handgreifliche Beweise dafür finden. Das Fehlen der auffallenden Glazialspuren ist jedoch bloss ein negativer Beweis für die neue, die zweite Vereisung, denn die erste Vereisung, die die zweite an Ausbreitung unbedingt übertrifft, hat bloss sporadisch Spuren hinterlassen. Die Beobachtung wird durch den Umstand ausserordentlich erschwert, dass die erste Vergletscherung zweifelsohne ein bereits stark denudiertes Gebirge antraf, die Erosionsbasis des Urialbodens hochgelegen, das Gefälle ein geringes und auf diese Weise die gerölltransportierende Betätigung des Eises eine unverhältnismässig geringere war. Ich werde auf diese wichtige Frage noch zurückkommen.

Der obere Abschnitt des Borkoldaj-Tales war gelegentlich des zweiten Vorrückens zweifelsohne vereist. Ich überschritt den zwischen dem Bosdjalpak und Borkoldaj Tälern befindlichen, 4000—4200 *m* hohen Gebirgsrücken auf einem Pass von 3980 *m* Höhe, den am 8. September 1906 schon frischer Schnee bedeckte. Hier schmilzt der Schnee kaum für ein-zwei Wochen im Jahre und eine ganz unbedeutende Vergrösserung des Niederschlages und Verminderung der Temperatur würde genügen, um die Firnbildung zu ermöglichen. Der Jekaterina-Berg, von KAULBARS zu Ehren der Zarin KATHARINA so genannt, kann meiner Schätzung nach die Höhe von nahezu 4500 *m* erreichen, seinen flachen Rücken bedecken mächtige Firnmassen. Das zusammenhängende Firngebiet, vom Pass aus mit dem Nivellierfernrohr geschätzt, reicht etwa bis auf die Höhe von 4100 *m* herab. Die Sohle des Borkoldaj-Tales ist heute von Schutt glazialen Ursprunges erfüllt. Etwas oberhalb der Turabulak-Mündung, in 3350 *m* Höhe, also in gleicher Höhe mit der untersten Stirnmoräne des Tschagir-Kaündü, beginnt die Borkoldaj-Moräne und bedeckt hier das Tal in bedeutender Mächtigkeit.

Die drei Täler des Bedel, Bosdjalpak und Kogrim vereinigen sich unterhalb des Passes Kizilmojnok (3520 *m*). An der Mündungsstelle dieser drei Täler befindet sich ein mit rotem Konglomerat ausgefülltes Becken. Die dicken Bänke des Konglomerats zeigen unregelmässige Anordnung. Das Konglomerat bildet von dem in den Bosdjalpak mündenden Ksil-Tschirkó-Tale her einen flachen Schuttkegel mit 5 *km* Durchmesser. Dieser Schuttkegel bedeckte das Bosdjalpak-Tal und ist bis an den Fuss des Borkoldaj-Gebirges angehäuft. Hie und da ragen Felsen des Karbon-Kalkes aus ihm hervor. Das Fallen der Konglomeratbänke zeigt im allgemeinen 5°. Im Bedel-Tale, oberhalb der Mündung, bis zu 2—3 *km* Entfernung, soweit ich in

der Flussrichtung sehen konnte, zeigt das Konglomerat ein Fallen von 5–10°. Auch der Name des Kizilmojnok-Passes stammt vom roten Konglomerat. In letzteres haben die Flüsse 5–10 *m* tiefe Cañons gewaschen, über den Wänden des Cañons jedoch breitete sich eine weite Terrasse aus, bedeckt von mehr-weniger horizontal gelagerten, durch ihre schmutzighellgraue Farbe sich von dem Konglomerate scharf abhebenden Schottern. Grosse Massen junger Schotterablagerungen fand ich im Kogrim-Tale, sowie auch in dem unterhalb der Kogrim-Mündung gelegenen, kleinen Mördsen-Becken. Während das Material des roten Konglomerates vom wohlbekannten, dunkelgrauen Kalk des unteren Karbons und dem mit dem Kalk verkitteten Granitgrus gebildet wird (lokal vorhandene Gesteine) finden sich in den jungen Schottern sehr verschiedene Gesteine der Südketten des Tienschan. Im Kogrim-Tale befindet sich eine Terrasse, im Mördsen-Becken mehrere, jedoch schwer bestimmbare, auch im Bosdjalpak und Bedel sah ich bloss eine. Das aus dem Gesagten geschaffene Bild zeigt uns, dass das in 3300–3500 *m* Höhe ruhende Becken von der pleistozänen Vereisung nicht erreicht wurde, sondern dass die Schmelzwässer der den Borkoldaj- und Bedel-Gebirgsketten entströmenden, angewachsenen Gletscher das Becken des Hanhai-Konglomerats ausgefüllt und auf diese Weise einen See hervorgerufen haben.

Der 3980 *m* hohe Pass des Borkoldaj-Gebirges gelangte, wie ich bereits erwähnte, unter eine Firndecke. Von diesem Pass aus konnte ich die Ausdehnung der am Südabhang einst hinabgeströmten Gletscher nicht genau bestimmen. Das Tal beginnt mit einem breiten Zirkus, aus welchem sich eine Glazialmulde bis 3640 *m* erstreckt, wo sie die Gestalt eines fluvialen Erosionstales annimmt. Dies besitzt jedoch bloss den Wert des wahrscheinlichen, da ich weder Moränen, noch aber andere, einwandfreie Spuren glazialer Tätigkeit vorfand. Im oberen Abschnitt des Bosdjalpak-Tales bleibt die etwa 3600 *m* hohe Wasserscheide des Akschirjak und Üsüנגegusch unter der Grenze der zweiten, s. g. Burkhan-Vergletscherung. Hingegen können im ersten nördlichen Nebental des Bosdjalpak kleinere Gletscher vorhanden gewesen sein. Das Quellgebiet des Kogrim besteht aus zwei Tälern, deren nördliches den Namen Karabel führt. Diese beiden Täler vereinigen sich in 3490 *m* Höhe. Bis an die Mündungsstelle, ja noch darüber hinaus erstreckt sich der Terrassenschotter. Unterhalb des 3830 *m* hohen Karabel-Passes befindet sich zweifelsohne ein Zirkustal glazialen Ursprungs, dessen Sohle in 3600 *m* Höhe gelegen ist. Unterhalb des Zirkus des Karabel befinden sich geschrammte, eisgerundete Gesteine, in 3550 *m* Höhe aber treten schon Terrassen auf. Demnach liegt die Grenze pleistozäner Vereisung zwischen den Höhen von 3550–3600 *m*.

Der Karabel-Pass führt in das Bikirtik-Tal. Der Pass sitzt einem

Tonschieferrücken auf, dessen Gipfel sich bis zu 4200—4300 *m* erheben und auf welchen auch Firnfelder vorhanden sind.

Das unterhalb des Karabel-Passes befindliche Tal ist ein Nebental des Bikirtik, welches in 3350 *m* Höhe in das des Bikirtik einmündet. Das Zirkustal auf der östlichen Seite des Karabel-Passes erreicht 3470 *m*. Die Burkhan-Vereisung reichte nicht tiefer herab. Das Gebiet des Hauptgletschers des Bikirtik-Tales ist mir nicht bekannt. Unterhalb des Karabel ist das Bikirtik-Tal breit. Zur Linken ist die Talwand felsig und wird vom Wasser des Bikirtik unterwaschen. Zur Rechten zieht sich einige hundert *m* breit ein grösstenteils wasserdurchfeuchteter Schuttgürtel hin, den ich, während meiner Reise, für eine Moräne betrachtete. Auf der Ostseite des Tales erhebt sich ein durch Kartäler

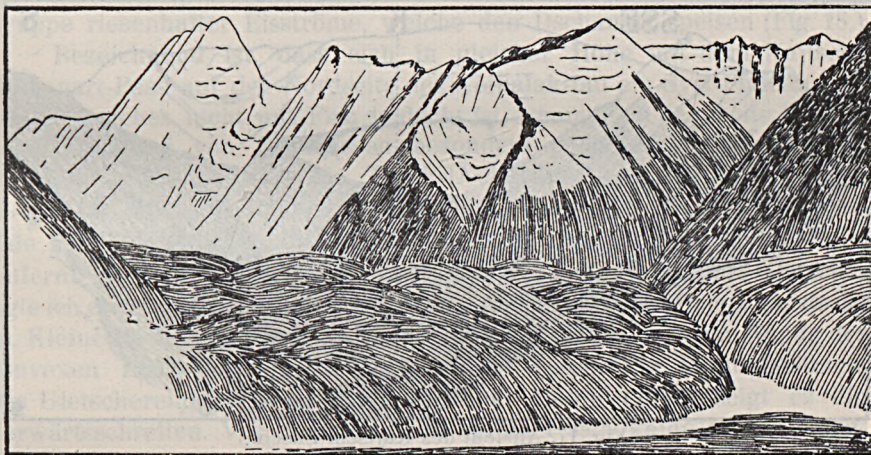


Fig. 16. Die Stimmoräne des Ajre. (Im Vordergrund der Kajtschi-Fluss.)

verziertes, sonst wenig gegliedertes Gebirge. Aus den Kartälern eilen Bäche in den Bikirtik. Der Schuttgürtel scheint aus den Ablagerungen der den Kartälern entspringenden Gletscher entstanden zu sein. Nur das tiefe Niveau (3200 *m*) lässt dieses Vorkommen verdächtig erscheinen. Offenbar haben wir es hier mit dem Resultat fluvioglazialer Umwaschung zu tun.

Das Tastarata-Plateau setzt sich jenseits der Akschirjak-Schlucht („Tscholok-Kaptschagaj“) in dem Karakija-Bergrücken fort. Die Tiefe der Schlucht beträgt 240 *m*, über ihr breitet sich die pleistozäne Urtal mulde aus, welche sich mit 10—12<sup>o</sup>/<sub>o</sub>-er Steigung zur Nordseite des Kukurtuk-Gebirges hinzieht. Das Kukurtuk-Gebirge ist auch heute noch voller Kargletscher. Der unterste Abschnitt des Kajtschi-Flusses ist ein 5 *km* langer Granitcañon. Weiter oben weitet sich das Tal zwar etwas aus, da seine Wände an Steilheit verlieren, jedoch ist das enge Bett

der Terrassenbildung nicht günstig. Anderthalb *km* oberhalb des auf das Vorkommen von Zwergtannen hinweisenden „Törujruk“-Tales in 3090 *m* Höhe, sperrt ein aus Schutt bestehender Damm das Tal, hinter diesem fand ich ein aufgeschüttetes Seebecken von geringerer Ausdehnung (Länge 1 *km*). Das Tal verliert in dieser Gegend allmählich den Charakter einer Schlucht und das vorhin noch enge Bett wird von einem breiten Streifen Alpenwiese abgelöst. Bei der Mündung des „Jetschkilütör“, beobachtete ich in 3190 *m* Höhe, ein zweites ähnlich grosses, aufgeschüttetes Seebett.

Wahrlich, ein grossartiges Bild der Moränen-Landschaft zeigt sich dem Beobachter an der Mündung der Flüsse Kajtschi und Ajre in 3300 *m* Höhe. Das Ajre-Tal wird an seiner Mündung durch

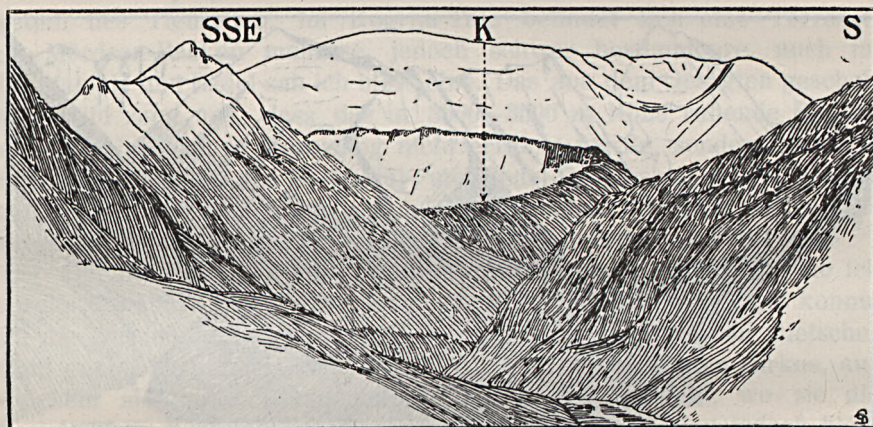


Fig. 17. Ansicht des Kajtschi-Baschi.

K = Kajtschi-Pass.

einen mächtigen Moränendamm gesperrt (Fig. 16.), dessen frisches Äussere einen scharfen Gegensatz bildet zu den verwaschenen Umrissen der beiden unteren Stirnmoänen. Das Ajre-Tal ist im Ganzen ein typisch glaziales Muldentale. Auch heute noch hat es ausgedehnte Gletscher aufzuweisen und auch seine Wassermenge übertrifft jene des oberen Kajtschi. Der Fluss hat den grossen Moränendamm bereits vollkommen durchsägt, so dass er sich mit dem Kajtschi im Niveau vereint. Der Gletscher des oberen Kajtschi mag im Pleistozän ebenfalls kleiner gewesen sein, da ich oberhalb der Ajre-Mündung nahezu vier *km* zurücklegen musste, bis ich in 3450 *m* Höhe auf die Stirnmoäne gleichen Alters des Kajtschi stiess. Auch hinter dieser Moäne befindet sich ein aufgeschüttetes Seebett. Jenseits der Stirnmoäne drang ich noch 3 *km* in dem mit Glazialschutt erfüllten Muldentale vor, bis zu dem Punkte, von welchem aus der Kajtschi-Pass bereits sichtbar ist (Fig. 17.). Ich fand für die Höhe dieses Punktes 3540 *m* und nach meiner

Schätzung kann die Höhe des Passes nicht mehr als 4100 *m* betragen, auch ist er, wie von diesem Punkte aus leicht zu beurteilen, ziemlich bequem.

Aus dem Kajtschi-Tal ging ich über einen sehr schwierigen, 4020 *m* hohen Pass in das Dschanart-Tal. Die Westseite des Passes (gegen das Kajtschi-Tal) ist mit Glazialschutt bedeckt. Von Süden kommt von einem etwa 4500 *m* hohen Gipfel ein kleiner Eisstrom, (S. Taf. X. westlich v. „D.I.“) den die Kante des Passes entzwei teilt; ein Zweig strömt dem Kajtschi, der andere dem Dschanart zu. Die gegen den Kajtschi zu herabhängende Gletscherzunge reicht bis 3740 *m* herab. Vom Pässe aus konnte man mittels des Nivellierrohres beobachten, dass die kleinen Kartäler alle bereits mit Firn erfüllt waren und dass sich die Kargletscher noch tiefer erstrecken. Gegen Osten aber eröffnete sich ein Ausblick auf eine Gruppe riesenhafter Eisströme, welche den Dschanart speisen (Fig. 18.).

Bezeichnend ist, dass sich in gleicher Höhe mit dem Kajtschi-Dschanart-Pass auf der Nordseite des Kölkalak-tau ein Syrt-Plateau ausbreitet, welches nicht mit Firn bedeckt ist, wenngleich das weite Plateau zur Anhäufung von Firnmassen besonders geeignet erscheint. Umso mächtiger entfalten sich die Tujuk-Dschanart-Gletscher. Vier, einzeln 15–20 *km* lange, je 1000–1500 *m* breite, fließen dem Tujuk-Dschanart-Tale zu. Die Gletscher bleiben kaum einige hundert *m* vom Haupttale entfernt (Taf. X. u. Fig. 18.). Auf dem I. Tujuk-Dschanart-Gletscher legte ich etwa  $2\frac{1}{2}$  *km* zurück. Ich traf hier abermals schöne Gletschertische an. Kleine Bäche eilen auf der breiten Eisfläche dahin, um am Rande des konvexen Eisrückens in Gestalt kleiner Wasserfälle herabzustürzen. Das Gletscherende liegt in 3670 *m* Höhe. Heute (1906) zeigt es ein Vorwärtsschreiten. Vor dem Eisstrom befindet sich keine frische Stirn-*moräne*. Die auf dem Rücken des Eisstromes verfrachteten Felsstücke stürzen fast vor unseren Augen an der steilen Vorderwand des Gletschers in die Tiefe, hingegen ist Schutt kaum vorhanden, da der im Wachstum befindliche Gletscher alles unter sich begräbt. Unterhalb des Gletschers folgt in der Entfernung von einigen hundert *m* ein von Schmelzwasser durchtränktes Schlamm- und Schotterfeld, jenseits desselben aber ein aus Rundhöckern gebildeter, eisgeschliffener Felsrücken, in welchen das sich ansammelnde Schmelzwasser einen tiefen Cañon geschnitten hat.

Der II. Tujuk-Dschanart-Gletscher reicht bis auf 3500 *m* herab. Der III. Tujuk-Dschanart-Gletscher spaltet sich in zwei Teile, das Schmelzwasser des einen Teiles vereinigt sich mit dem Gletscherbache des II. Eisstromes, der andere Teil jedoch sendet sein, dem in 3450 *m* Höhe gelegenen Gletscherende entströmendes Wasser unmittelbar in das Haupttal. Unterhalb dieser Eisströme zieht sich ein von *Moränen* erfülltes Trogtal in nordöstlicher Richtung hin. Das Ende des IV. Tujuk-Dschanart-Gletschers befindet sich in 3550 *m* Höhe. Vor diesem erhebt sich aber eine nahezu hundert *m* hohe *Stirn-*moräne**, welche die *Stirn-*

wand des Eisstromes vollkommen bedeckt. Die Höhe der Stirnmoräne bedeutet die Mächtigkeit des Gletschers und müssen wir somit das Ende des Eisstromes eigentlich in 3450 *m* ansetzen. Von dem über diesen Gletscher sich erhebenden grossen Berg hängen ansehnliche Eisvorhänge herab. Der nördliche Eisvorhang reicht ebenfalls bis auf 3450 *m* herab. Unterhalb des IV. Gletschers fand ich in 3450 *m* Höhe ein zugeschüttetes Seebett, welches von dem benachbarten Vorhanggletscher durch eine Mittelmoräne getrennt ist. Die Mittelmoräne geht über in eine Stirnmoräne, welche die Schmelzwässer der beiden Eisströme durchbrechen, um dann aus etwa 170 *m* Höhe in Gestalt von Wasserfällen in das Haupttal hinabzustürzen. Letzteres erreichen sie in 3280 *m* Höhe. Der IV. Eisstrom entspringt nicht einem firnanhäufenden Zirkustale, sondern bedeckt den Hauptrücken gänzlich, so dass man

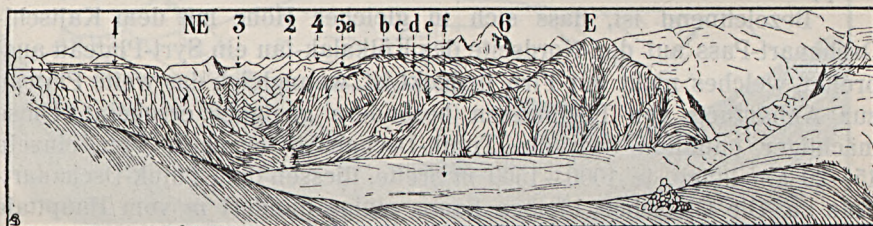


Fig. 18. Das Trogtal des Dschanart. 1. = Tosma-Plateau; 2. = Dschanart-Fluss; 3. = Dschanart-Pass; 4. = Alaajgir-Tal; 5a—f. = Die Dschanart-Gletscher; 6. = Der MERZBACHER-Berg (der Höchste Gipfel zwischen dem Bedel und Kumaryk cca 6000 *m* hoch). Niveau des Beobachtungspunktes (horiz. Linie) = 4200 *m*.

auf demselben wahrscheinlich ganz bequem emporsteigen kann; die ihn speisenden Firnfelder befinden sich zwischen den Seitenrücken. Die nördlichen (linksseitigen) Nebentäler des Tujuk-Dschanart-Haupttales sind die Kurgak-Tujuk, das nördliche Gebirge wird Kōlkaktau genannt. Das letztere ist, wie bereits erwähnt, ein Syrt-Plateau (s. Tosma-Syrt auf Fig. 18.), welches vereiste Rücken geringer Höhe zieren. Auch bei den Eingängen der Kutgak-Tujuk-Täler befinden sich Moränen. Das Haupttal Tujuk-Dschanart wird in 3150 *m* Höhe wiederum durch eine Stirnmoräne gesperrt. Der Tujuk-Dschanart vereinigt sich weiter unten mit dem Alaajgir-Flusse und unterhalb desselben in 2970 *m* Höhe endet die pleistozäne Moräne als Talsperre. In 2925 *m* Höhe traf ich ein aufgeschüttetes Seebett an, konnte jedoch nicht feststellen, ob der See glazialen Ursprungs sei, oder ob ihn eine Bergrutschung hervorgerufen. In 2890 *m* Höhe vereinigen sich Dschanart und Sujak, zwei Flüsse gleichen Ranges. Im Tale des letzteren führt angeblich der Weg auf den Dschanart-Pass. In 2780 *m* Höhe trifft man bereits Laubbäume und Steppengräser (*Lasiogrostis*) an, jedoch wird in 2710 *m* Höhe das Tal noch von einem Schuttdamm abgesperrt, den ich geneigt wäre für den

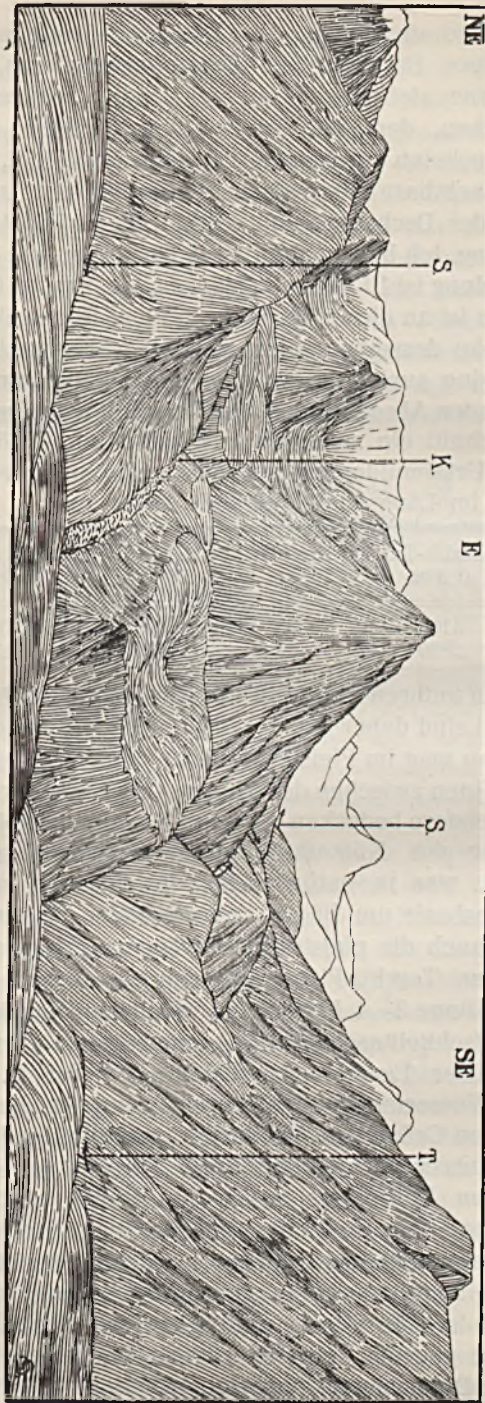
Rest einer älteren Stirnmoräne anzusehen. Die östliche Talseite verrät nämlich die Möglichkeit eines Bergrutsches nicht ohne weiteres, die westliche wiederum, die zwar steilwandig ist, scheint ausschliesslich aus einem Gestein zu bestehen, dem das Gemisch des Schuttes nicht entspricht. Meine Annahme scheint durch jene Tatsache bekräftigt, dass unterhalb dieses Ortes recht achtbare Fluvioglazialterrassen ihren Anfang nehmen. Bei der Mündung des Dschanart und Akschirjak befindet sich eine grosse Schotteranhäufung. Ich beobachtete zwei Terrassen, die erste oberhalb der Dschanart-Mündung ist 10 *m* hoch (2426 *m*), die zweite 65 *m* (um 2490 *m*). Der Urtalboden ist an dieser Stelle in 2570 *m* Höhe gelegen und die zerschnittenen Stücke desselben sahen aus, als wären sie Reste einer III. Terrasse. Ich beging auch den zwischen die Mündungen des Kajtschi und Dschanart fallenden Abschnitt des Akschirjak. Wie ich bereits erwähnte, ist dieser Talabschnitt ein zwischen Ischigart-tau und Kōlkalkak-tau befindlicher, in die Urtalmulde eingeschnittener Cañon. Letzterer und die Urtalmulde weisen im Längsschnitt folgende Daten auf:

	Kindik-Tal 0 <i>km</i>	Terekti 13 <i>km</i>	Aktschi 18 <i>km</i>	Mündung 32 <i>km</i>
1. Urtalmulde -- -- -- --	3100	3030	2930	2570
2. Cañon, heute -- -- -- --	2820	2680	2600	2415

Die steilen Talwände im unteren Abschnitt des Akschirjak erschweren die Terrassenbildung und sind daher nur zerstreute Spuren derselben vorhanden. Der Kōlkalkak-tau mag im Pleistozän bis an den Bergfuss vereist gewesen sein, da die Moränen zwischen den Tälern Aktschi und Terekti bis zu 3030 *m* herabreichen. Letztere bedecken die roten Konglomeratbänke.

Der nördliche Abhang des Kōlkalkak-tau ist bedeutend mehr gegliedert, als der südliche, was ja natürlich ist, da sich auf seiner nördlichen Seite die Erosionsbasis um 700 *m* tiefer befindet, als auf der südlichen. Ausserdem war auch die pleistozäne Vereisung auf der nördlichen mehr entwickelt. Der Terekti-Fluss entspringt aus zwei Eisströmen mittlerer Grösse. (Länge 3—4 *km*). Seine westlichen Nachbarn der Taldü, Taschketschü, Etschkelitasch (Taf. X.) entspringen ebenfalls ausgedehnteren Gletschern. Der Eisstrom des Taldü, (auf Taf. X. der grösste), mag nach der Wassermenge des Flusses geurteilt, den des Terekti wohl übertreffen. Den Cañon des Akschirjak umsäumt im Süden ein 3400—3600 *m* hoher, kurzer Granitklippenzug. Südlich desselben breitet sich in 3300—3450 *m* Höhe eine einige *km* breite, erodierte Pflanze aus, die zweifelsohne das Bett des pleistozänen Gletschers gewesen. Der Eisstrom bewegte sich in westlicher Richtung. Die Pflanze wird von Moränen bedeckt, zwischen denen sich eintrocknende, kleine Seen befinden. Der „Akköl“ ist 200 *m* breit und 400 *m* lang (Taf. X. = schwarz). Seiner Farbe nach geurteilt, mag er bereits seicht sein, sein Bett dürfte früher grössere Dimensionen besessen haben. Der Karaköl,

Fig. 19. Die Kumaryk-Schlucht, mit der grossen Terrasse des Saridschas.  
S—S = Saridschas-Fluss, K = Kumar, T = Terekti.



5 km vom Akköl entfernt, ist ein zwerghaftes Relikt ( $30 \times 30 m$ ) eines einst ausgedehnteren Sees. (Taf. X. = Punkt.) Der Spiegel des ersteren befindet sich in 3490 m, der des zweiten in 3350 m Höhe. Unterhalb des Karaköl führt ein mit Glazialschutt bedeckter Abhang zu dem Tschagir-Becken des Akschirjak, an dessen Rand Löss und die bereits erwähnte, horizontale, feinkörnige, lakustrine Ablagerung auf Bänken der roten Breccia und des Konglomerats liegen. Bezeichnend für das Becken ist, dass hier den Akschirjak eine Terrasse begleitet.

Es erübrigt noch den Kumar-Abschnitt des Saridschas zu besprechen. Während man die oberhalb des Kölü, zwischen Kölü und Iniltschek und unterhalb des Ütschkül gelegenen Schluchten des Saridschas nur dann zu begehen vermag, wenn es die Eisverhältnisse des Flusses im Winter erlauben, konnte ich in den Kumar-Abschnitt bereits anfangs September eindringen, als die ständig kühle Witterung dies ermöglichte.

Der Saridschas war am 3. September um 6 m niedriger an der

Mündung des Akschirjak, als sein diesjähriger Hochwasserstand, was die Hochwassermarken an den Felsen bewiesen. Infolge dieses Umstandes gelangte am Ufer des Flusses ein schmales Schuttband aufs Trockene. Eine ausführliche Kartenskizze dieses Gebietes (1:150,000) veröffentlichte ich im Jahrg. 1908, p. 14. der Földr. Közl. Eben da auf Seite 16. gab ich auch ein Landschaftsbild der Gegend. Die Physiognomie des Tales wird durch den Urtalboden bestimmt, den das Eiszeitalter und dann die jüngeren wirksamen Faktoren nur in Einzelheiten veränderten. Das zwischen Dschanart und Kumaryk (Taf. X.) befindliche Gebirge zieren Hängegletscher und einige mittelgrosse Eisströme. Von der Akschirjak-Mündung an nimmt die Höhe dieses Gebirges stetig zu. Die ersten vier Täler entspringen aus firnlosen Nischen und der Terekti-Fluss ist der erste, der bereits aus zwei Gletschern ausströmt. Die in der Umgebung des Terekti befindlichen Berggipfel erheben sich nicht hoch über den Rücken. Die Schartung ist gering. Einem der Gipfel entströmt ein Vorhanggletscher, der sein nischenartiges Bett vollkommen ausfüllt. Unterhalb des Gipfels bildet die Urtalwand ein breites Plateau, auf welchem sich der vorhingenannte Vorhanggletscher, nachdem er es erreicht, fächerartig ausbreitet. Das Plateau selbst ist eine grasbedeckte, sanft nach Nordosten geneigte, dann aber plötzlich mit steilem Felshang zum Terekti-Flusse abfallende Fläche. Diesen Felshang nennen die Kirgizen „Üschtschoko.“ Die andere Seite des Terekti-Tales ist ebenso steil und jenseits derselben folgt auf's neue die durch den Terekti unterbrochene schiefe Ebene des Urtalbodens. Diese Ebene erleidet zwischen den Tälern Ördösch und Terekti in etwa 2700 *m* Höhe eine neuerliche Unterbrechung. Nun folgen wieder steile Berghänge von 300—350 *m* Höhe. Unterhalb derselben zieht sich eine Fluvioglazialterrasse hin, deren Höhe bei dem Ojkajin-Tale 2410 *m*, oberhalb der Terekti-Mündung 2320 *m* beträgt. Es ist dies die III. Terrasse des Saridschas, welche heute etwa hundert *m* über dem Flusse gelegen ist. Die Oberfläche der dritten Terrasse ist wellig und ziemlich breit. Im windungsreichen Tale des Saridschas befinden sich noch zwei kleinere Terrassen von je 10 *m*, die dem heutigen Lauf des Flusses genau folgen. — Das Kumar-Tal nimmt seinen Ursprung ebenfalls aus Glazialnischen. Vor den Nischen befinden sich Schuttanhäufungen in grosser Masse. Auch der untere Talabschnitt ist von Schutt bedeckt und es scheint, als hätten die Schmelzwässer die Moränen des oberen Talabschnittes in den tiefer gelegenen Abschnitt herabgeschwemmt.

**Zusammenfassung.** Auch von allgemein-klimatologischem Standpunkte aus ist es von Bedeutung, dass südlich vom Hauptrücken des Terskei-Alatau, bereits im Inneren des Mittleren-Tienschan, sich plötzlich die Einwirkung des Herzens von Asien, des Tarim-Beckens bemerkbar macht. Die obere Grenze der Steppenflora verschiebt sich von 2000—2200 *m* Durchschnittshöhe ohne Übergang auf 2800—3000 *m*, und

bleibt bloss in der Nähe der höchsten Bergriesen, in nächster Nachbarschaft grosser Firngebiete, etwas unter derselben. Dem gegenüber zeigt die heutige Firngrenze grössere Allmählichkeit im Zunehmen der Höhe gegen Süden. Während in den nördlichen Tälern des Terskei-Alatau im Nachbargebiet des Kantengri die den Sommer überdauernden Schneefelder bis auf das Niveau von 3200—3600 *m* herabreichen, je nach den Insulationsverhältnissen, konnte ich diesbezüglich auch in den nördlich gelegenen Tälern des Saridschas Höhenwerte von 3450—3700 *m*, in den südlich gelegenen aber solche von 3700—4000 *m* bestimmen. Das Resultat hievon ist dann freilich auch ein ganz auffallendes. Die breiten Zonen der Nadelwälder, die schönen Galerie-Wälder fehlen in der Saridschas-Gegend, an ihrer Stelle erscheinen diese Gehölze bloss zerrissen, beschränkt auf kleine Flecken. Die Niveaudifferenz zwischen der oberen und unteren Grenze des Nadelwaldes schrumpft von 700—1000 *m* auf 100—300 *m* zusammen, so dass die Zone der Alpenmatten mit jener der Steppenflora fast in unmittelbare Nachbarschaft gerät. Beobachtungen dieser Art ist eine grössere Bedeutung beizumessen, wenn wir zu einer richtigen Lösung der Frage des pleistozänen Klimas gelangen wollen.

## II. Vergleichstabelle.

Name des Tales	Obere Grenze der Steppengräser	Obere Grenze der Laubwälder	Obere Grenze der Nadelwälder	Untere Grenze der Schneefelder	Gletscher-Ende	Grenze der V- und U-förmigen Täler	Stirnmoränen
1. Saridschas	2800	2800	3200?	?	3330	2900	
2. Kölü	2800	2800	2900	3450	3630	2970	II <sub>1</sub> 2970, II <sub>2</sub> 3100
3. Kölü-Saritschat	—	—	—	3500	3400	2970	{ II <sub>1</sub> 2970, II <sub>2</sub> 3160 III <sub>1</sub> 3400
4. Kölü-Karakoltör	—	—	—	3500	3300	—	{ — II <sub>2</sub> 3100, II <sub>3</sub> 3170
5. Saridschas-Torekti	2650?	2650?	2950?	?	?	2950	? ?
6. Ütschkül	2600?	2600?	?	?	3300	2830	II 2830
7. Ütschkül-Kölü (Westlicher Kölü)	—	—	—	?	3800	3200	II 3520
8. Djaman-ssu	—	—	—	?	?	2800	II 2800
9. Ischigart	—	—	—	?	?	2780	II 2780
10. Tschagir-Kaündü	—	—	—	3600	3650	?	II <sub>1</sub> 3340, II <sub>2</sub> 3460
11. Borkoldaj-Akschirjak	2800?	2800	—	3980	3800	3350	II 3350
12. Bosdjalpak	—	—	—	3980	—	3640	?
13. Kogrim	—	—	—	?	?	3550	—
14. Bikirtik	—	—	—	?	?	3470	II 3200 ? Nebental
15. Kajtschi-Ajre	—	—	—	3700	?	3090	{ II <sub>1</sub> 3090, II <sub>2</sub> 3190, II <sub>3</sub> 3300, II <sub>4</sub> 3450
16. Dschanart	2780	2780	—	3700	3450	2970	{ I 2710?, II <sub>1</sub> 2970 II <sub>2</sub> 3150
17. Akschirjak-Torekti	3100	3100	—	?	?	3300	?

? = Unsichere Messungen.

In der II. Vergleichstabelle bedeutet „Grenze der V- und U-förmigen Täler“ auch in diesem Falle die grösste Ausdehnung der Gletscher der Burkhan-Zeit. Der Niveauunterschied zwischen den heutigen Gletscherenden und den untersten Stirnmooränen der Burkhan-Zeit zeigt eine grosse Regelmässigkeit. MACHATSCHEK<sup>1</sup> erwähnt gelegentlich der kritischen Besprechung meiner früheren Publikationen, dass die von mir mitgeteilten Daten, wegen ihrer abweichenden Werte schwer zur Bildung von Mittelwerten verwendbar sind. Es sei hier bemerkt, dass bei dem Versuche Mittelwerte zu bilden, die Zahlenreihe in Kategorien zu zerlegen ist. Die Wertunterschiede der bis zu den flachen Talsohlen reichenden Eisströme sind viel geringer, als diejenigen jener, welche sich auch im Pleistozän auf verhältnismässig steileren Talhängen befanden. Im Saridschas-Gebiet sind die Wertunterschiede der grossen Talgletscher geringer, als die der kürzeren. Nachfolgende Reihenfolge dürfte auch von allgemeinem Gesichtspunkte aus auf Interesse Anspruch erheben.

Gletscher	Ende des Gletschers von heute	Niveau-Unterschied in der Burkhan-Zeit
1. Kolpakovskij-Ütschkül --	3300	470
2. Kölü-Karakoltör ---	3300	430
3. Muschetov-Saridschas --	3330	430
4. Kölü-Saritschat ---	3400	430
5. Dschanart ---	3450	480
6. Oberer-Kölü ---	3630	660
7. Ütschkül-Kölü ---	3800	600

In dieser Reihenfolge stammt die Höhenbestimmung der Kolpakovskij- und Muschetov-Gletscher nicht von mir.

Das nicht sehr bedeutende Sinken der Firngrenze der Burkhan-Zeit genügte jedoch sehr ausgedehnte Gebiete mit Firn zu überziehen. Die beigegebenen kleinen Kartenskizzen veranschaulichen die Differenz der beiden Vergletscherungen (Tafel X.).

Im Saridschas-Gebiet fand ich ebenfalls Spuren, die ich bemüssigt bin wiederum für solche, einer älteren Vergletscherung das Wort redend, anzusehen. Wenngleich ich keine Erklärung für das sporadische Vorkommen dieser Spuren geben kann, fällt es mir doch schwer an ihrem glazialen Ursprung zu zweifeln. Im Dschanart-Tale unterhalb der als 2970 *m* bestimmten, untersten Burkhan-Stirnmooräne fand ich in 2710 *m* Höhe Schuttanhäufungen, die ich glaube für Reste einer älteren Stirnmooräne halten zu müssen. In ihren eingehenden, für mich ehrenden Kritiken, haben FRIEDERICHSEN und MACHATSCHEK den glazialen Ursprung dieser älteren Schutte und Formen, wenn auch nicht entschieden, doch in Zweifel gezogen. Aus meinen früheren Veröffentlichungen kann jeder-

<sup>1</sup> l. c. p. 98.

mann die Überzeugung gewinnen, dass ich selbst mich tests sehr vorsichtig in dieser Frage geäußert habe. Im gegebenen Falle hätte also der Akkija-Gletscher des Dschanart-Tales um 260 *m* tiefer herabgereicht, als sein Nachkomme aus der Burkhan-Zeit.

### C) Das Gebiet des Taragaj-Narin.

#### 1. Der Nordrand des Taragaj.

Der obere Abschnitt der Syr-darja ist uns unter dem Namen „Narin“ bekannt. Das Quellgebiet des Narin ist ein überaus ausgedehnter Syrt. Letzteren, dessen Breite einen Tagesmarsch ausmacht, nennen die Karakirgisen „Taragaj“. Als erster sah ihn SEMJONOV vom Rücken des Terskei-Alatau. 1866 durchquerte SEVERZOFF, 1869 KAULBARS, 1904 MERZBACHER und KEIDEL den Taragaj-Syrt, desgleichen auch HUNTINGTON im Jahre 1902. Auch andere Forschungsreisende berührten den Rand des weiten Plateaus. Ich sammelte am südlichen, westlichen und nördlichen Randgebiete der Taragaj-Syrten Beobachtungen.

Am Nordrande des Taragaj-Syrt erhebt sich die Kette des Terskei-Alatau, die ersteren vom Stromgebiet des Issikkul scheidet. Der Gebirgsrücken des Terskei-Alatau ist auch hier nicht niedriger, als im Osten, am Nordrand des Saridschas, seine Pässe liegen auch hier in 4000 *m*, oder noch bedeutenderer Höhe. Jedoch finden wir keine Gipfel von 5000 *m* auf dem Rücken. Der letzte westliche hohe Gipfel ist der gerade deshalb so ausserordentlich auffallende Alexander-Berg KAULBARS'. Zwischen dem Alexander-Berg und der Gegend des Ton-Passes (Lo 77°—78° 15') zeigt der Bergrücken wieder eine gleichmässige Höhe. Zwischen 3800—4200 *m* hohen Pässen erheben sich 4200—4400 *m* hohe, an die norwegischen Fjelder erinnernde flache Bergrücken. Talgletscher befinden sich hier meines Wissens keine, die flachen Bergrücken jedoch sind zumeist vollkommen von Firn bedeckt. Diese typisch scheinenden Eisplateaus sind sehr interessant. Grösstenteils liegen sie in bedeutender Mächtigkeit auf steilwandigem Felssockel ausgebreitet, stellenweise trög fliessende, breite Eisfladen zum Wasserdurchtränkten Rand des sumpfigen Taragaj-Syrt entsendend. Diese Eisfladen sind in jeder Beziehung verschieden von den Eisströmen, besonders aber unterscheiden sie sich darin von diesen, dass sie fast gar keinen Schutt talwärts verfrachten, an ihren Rändern erglänzt daher das grünliche Firneis hell und rein.

Im nordwestlichen Winkel des Taragaj-Syrt vor den Pässen Barskaun, Suku und Kaschkatör befindet sich eine 7—8 *km* breite muldenförmige Talung, welcher die Kirgizen den Namen Arabel-Syrt beilegen.

Ich fand für den niedrigsten Punkt des Westendes des Arabel 3720 *m*. Dieser Arabel (bel = flacher Passweg) senkt sich allmählich gegen Osten, kann aber im Westen nur auf einem jäh aufsteigenden Pfad erklommen werden. Das Eisplateau der den Nordrand des Arabel-Syrt bildenden Fjelds befindet sich in etwa 80–100 *m* Höhe an der sanft ansteigenden Talwand. Der Rand des Eisplateaus ist eine konkave Wand, infolge der zusammenhängenden Kette der Eistore.

Allsommerlich durchtränken die unter dem Eisplateau hervorsickernden Schmelzwässer den ganzen Arabel, so, dass kaum ein Fuss breit trockener Boden zu finden ist. Die Talung ist in ihrer ganzen Ausdehnung mit schlammigen, rezenten, fluvioglazialen Ablagerungen bedeckt, auf deren unebener Oberfläche sich die Schmelzwässer zu einer Unzahl von grösseren und kleineren Seen ansammeln. Am Südrande des Arabel zieht sich ein mit regelmässigen Kargletschern verzierter Bergrücken hin. Die Länge des Arabel-Syrt beträgt etwa 35 *km* und sein Gefälle auf dieser Entfernung etwa 200 *m*.

Die nördlichen Fjeld-Eisplateaus werden durch eigenartige Cañontäler voneinander geschieden. Diese Engtäler sind 100–200 *m* breit und von steilen, oft fast senkrechten Felswänden eingefasst. Ihr Boden ist uneben, weil von Glazialschutt bedeckt, die Spiegel der Seen nehmen deren Sohle fast in ihrer ganzen Ausdehnung ein. Gegen den Taragaj zu ist kaum eine Hebung bemerkbar, nur die Unmassen von Schutt erschweren das Gehen. An ihrem nördlichen Tore enden sie plötzlich in einem Talabhang und kann man daselbst nur auf schwer gangbaren, unzähligen steilen Schuttkegeln talwärts gelangen. Von diesen Felsgängen beging ich den Kaschkatör, den dritten von Westen (s. Suku-Tal, p. 42.).

Im Engtal des Kaschkatör befinden sich die Spiegel der Seen in einem Niveau, da ja die die Sohle bedeckenden Moränenhügel vollkommen wasserdurchlässig sind. Auf einem Wege von mehr als 10 *km* blieben meine Aneroide überall unbeweglich. Durch beide Tore des seereichen Engtales strömt ein Gletscherbach, jedoch übertrifft der nördliche, dem Issikkul zuströmende um ein Vielfaches seinen südlichen Zwillingbruder in bezug auf die Wassermenge. Das Wasser der in die Pass-Seen stürzenden, kleinen Gletscherbäche bildet demnach eine Bifurkation. Unterhalb des nördlichen Tores befindet sich eine mächtige Moränenanhäufung, während ich, das südliche Tor verlassend, bloss einen niedrigen, rund geschliffenen, höckerigen Felsendamm sah, vor welchem sich eine gegen den Taragaj-Syrt sanft ansteigende, moränenbedeckte, sich stetig weitende Talung ausbreitet. Hier ist die Oberfläche eine wasserdurchtränkte Wiese mit einer Menge kleiner Seen und mit einem Gefälle von 20–25 *m* pro *km*. Das Ende des KAULBARS'schen mächtigen Petrow-Gletschers befindet sich kaum 15 *km* von hier, der Niveau-Unterschied ist fast gleich Null, es befindet sich bloss eine kaum 150 *m* tiefe,

weite und ausgedehnte Talung dazwischen. Zweifelsohne haben während der Burkhan-Vereisung der heutige Petrow-Gletscher und seine Nachbarn diese Talung vollkommen ausgefüllt und der zusammenfließenden Eismasse dieser Gletscher entströmte nach Norden ein Zweig in das, durch Denudation entstandene Urquertal und brachte durch Übertiefung des letzteren das steilwandige Engtal des Kaschkatör hervor.

Dass der vom Arabel-Syrt langsam herabfließende, pleistozäne Eisstrom (Gefälle höchstens 10 *m* pro *km*) und die in der Umgebung des Petrow befindliche Eismasse eine zusammenhängende Eisdecke bildeten, unterliegt wohl keinem Zweifel.

## 2. Der Westrand des Taragaj-Syrt.

Am Westrande des Taragaj von der Mündungsgegend der Flüsse Djaktasch und Karassaj bis zum Akurganköl breitet sich in erheblicher Höhe über dem Niveau der erwähnten Flüsse ein 5 *km* breites und 12 *km* langes unebenes Plateau aus. Der Südrand dieses Plateaus befindet sich in 3640—3700 *m* Höhe und macht darum aus der durch Vereinigung des Djaktasch und Karassaj entstandenen, etwa 3100 *m* hoch gelegenen Talung des Taragaj-su den Eindruck eines wirklichen Gebirges. Das Plateau neigt sich gegen Nordost, also gerade nicht gegen den benachbarten Taragaj-ssu, dem sämtliche Gewässer zufließen. Auf dem Plateau befinden sich zwei grössere Seen, von je über 4 *km*<sup>2</sup> Flächenausdehnung, der Ssariköl und der Akkurganköl.

In das Plateau mit welliger Oberfläche sind drei Täler eingeschnitten, Schorgo, Djamanitschke und Ssartör. Der Schorgo entsteht aus strahlenförmig zusammenströmenden, aus weiten glazialen Zirkustälern kommenden Bächen. Einer dieser letzteren zapft auch das überflüssige Wasser des Ssariköl ab. Ihn begleitet eine recht ansehnliche Terrasse. Der Ssartör ist ein ähnliches Tal von geringeren Dimensionen und es scheint ausser Zweifel zu stehen, dass seine von der pleistozänen Vereisung betroffenen Quelltäler sich verzweigen. In 3540 *m* Höhe fand ich in der westlichen Talabzweigung eine das gut entwickelte Tal absperrende Stirnmoräne.

In der östlichen Talabzweigung, in ähnlicher Höhe beobachtete ich einen heute bereits halbwegs verschütteten Moränen-See (Durchmesser etwa 250 *m*). In dem von Moränen bedeckten Tale sah ich etwas höher auch den Akkurganköl, der von ähnlichen Dimensionen sein mag, wie der Ssariköl. Es dunkelte bereits, als ich am 16. September 1906 das Seeufer erreichte und ich musste zu unserem Lager am Ssartör zurückkehren. Ich konnte bloss soviel feststellen, dass das Wasser des Akkurganköl nicht in den Ssartör, sondern nach Nordosten fliesse. Dieses

Tal besitzt in seiner ganzen Länge eine muldenförmige Gestalt und ist von Moränen bedeckt.

Die westliche Talabzweigung des Ssartör ist heute firnfrei, bloss die umliegenden Bergrücken zeigen den grünlichen Rand des Eises, hindeutend auf den Umstand, dass die Schneegrenze sich auf der Nordseite tiefer befindet.

Das dritte Quertal des Plateaus, das zwischen den Tälern Schorgo und Ssartör gelegene Djamanitschke ist das grösste und auch in Bezug auf Wasserreichtum das erste unter ihnen. Im Djamanitschke-Tal fand ich bloss eine Terrasse, diese jedoch ist ungewöhnlich mächtig entwickelt; sie ist ausgedehnt, zugleich nahezu 100 *m* über dem Flussniveau gelegen. Gegen das Gebirge zu nimmt die Höhe der Terrasse jäh ab, um dort, wo sich der Rand des Plateaus befindet, beziehungsweise wo die hohen Bergwände beginnen, zu enden. Diese Terrasse ist demnach nichts anderes, als der Scheitel eines mächtigen Schuttkegels, in welchen sich der Djamanitschke tief eingegraben hat. Die Terrasse des Schorgo dürfte eine ähnliche sein.

Das Djamanitschke-Tal ist am Rande des Gebirges bereits ein typisches, glaziales Trogtal (3500 *m*). Die Talwände sind vom pleistozänen Gletscher glattgeschliffen. Die Gestalt der diesem Tale zugekehrten Abhänge sämtlicher Bergrücken zeigt die Form eines Dreieckes, sie sind genau in einer Ebene gelegen. Sämtliche Nebentäler sind Hängetäler, bei deren Eingang Moränenanhäufungen liegen. Das Gefälle des Haupttales ist sehr gering (auf 12 *km* 100 *m* Senkung), seine weite, grasbedeckte Sohle führt unter einen Pass, der einen insgesamt 3770 *m* hohen, eisgeschliffenen Erdrücken darstellt. Die Sohle der unter ihm gelegenen Talmulde des Djamanitschke befindet sich in 3580 *m* Höhe. Der hügelige Pass ist asymmetrisch, sein Westabhang ist steiler, auch liegt dort der Talboden schon in 3480 *m* Höhe. Die Djamanitschke-Talung wird durch diesen Wasserscheide-Pass in den östlichen und westlichen Djamanitschke geteilt. Von der Passhöhe aus erkennt man gut, dass dieses Haupttal, der einstige Abzugskanal der pleistozänen Eisströme, die gesamte Firnmasse aus den ansehnlichen Nebentälern erhielt. Die Djamanitschke-Talung ist eine Längstalung und scheidet die nördliche Djamanitschke von der südlichen Djitim-tau-Kette. Auf den 4500—5000 *m* hohen Rücken dieser beiden Gebirge liegen auch heute noch grosse Firnmassen und sind ihre 2—5 *km* langen Gletscher auch nicht ansehnlich, so reichen sie doch auch heute noch bis zum Talboden und erstrecken sich bis zum Niveau von 3800—3900 *m* herab. Im Pleistozän bedeckte das Eis die Passgegend vollkommen.

### 3. Der Südrand der Taragaj-Syrt.

Über den Ischtik-Pass, dessen Höhe ich mit fast 3600 *m* bestimmte, gelangte ich zum erstenmal an den Rand des grossen Taragaj-Syrt. Ich

erwähnte bereits, gelegentlich der Beschreibung der pleistozänen Ablagerungen des Saridschas-Flussgebietes, dass es mir unmöglich war auf der Südseite unterhalb des Ischtik-Passes das Vorhandensein der letzten, gewöhnlich durch frische Spuren erkenntlich gemachten Vereisung nachzuweisen. Hingegen fand ich auf der Nordseite am Rande des Taragaj-Syrt ganz sichere Spuren. Westlich vom Ischtik-Passe erstreckt sich das auch heute noch in seiner ganzen Länge vereiste Nord-Borkoldaj-Gebirge. Östlich vom Jekaterina-Berg sah ich einen 4100–4200 *m* hohen, flachen Bergrücken (vom Borkoldaj-Pass mit Nivellierrohr geschätzt), westlich desselben endet jedes Tal in einem grösseren oder kleineren Eisstrom. Diese Eisströme gelangen heute, nach meiner Schätzung, bis in das Niveau von 3850–4000 *m* herab. Am Nordfuss des Gebirges liegt ein schmaler Schuttgürtel, welcher sich auf das im Niveau des Ischtik-Passes beginnende und von dort in einer Ausdehnung von 15 *km* Länge und 2·5–3 *km* Breite nach Westen abfallende Felsplateau stützt. Dieses Felsplateau endet im Westen in 3370 *m* Höhe.

Dieses, den Nordrand des Nord-Borkoldaj-Gebirges, zugleich auch den südöstlichen Rand des Taragaj-Syrt bildende Felsplateau war ganz sicher vereist. Ich fand am Nordrand des Plateaus schon früher abgetragene, infolge der Denudation in flache Hügelreihen zerlegte, lockere Schutthanhäufungen. Zwischen dem jungen Schuttgürtel des Gebirges und dieser älteren Schutthanhäufung fand ich auf einem zwar mit Schutt bedeckten Felde, aber in einem nur wenige Klafter tiefer gelegenen Niveau die senkrecht aufgefalteten, abgeschliffenen Schichtenköpfe des bereits gut bekannten Karbonkalks und der Schieferschichten. Diese denudierte Zone ist eine abgeschliffene, unebene Oberfläche, auf der sich Seen aneinander reihen. Unter diesen besitzt mit 2½ *km* Länge der Karaköl die grösste Ausdehnung. Ich zählte nahezu vierzig kleinerer und grösserer Seen auf dem 15 *km* langen Plateau.

Die pleistozäne Eisdecke des Ischtik-Karaköl-Plateaus kann kein Talgletscher gewesen sein, da an seinem westlichen, niederen Rande, die Spur der Stirnmoräne nicht vorhanden ist. Ich nehme an, dass aus den ansehnlichen Zirkus-Tälern des Nord-Borkoldaj-Gebirges, welche bis an den Fuss des Gebirges reichen, zahlreiche kleine Eisströme auf das Plateau geflossen sein mögen, wo sie sich fächerartig ausbreiteten und ineinander flossen. Die äussere, unregelmässige Moränenanhäufung ist als eine Folge des letzteren Umstandes zu betrachten.

Nördlich des Plateaus zeigt sich ein ausgedehnter flacher Berg Rücken, über diesen führt der Ak-bel (3700 *m*) zu den Pässen des Terskei-Alatau. Auf dem weiten, schotterreichen Überschwemmungsgebiete, zwischen dem Ischtik-Karaköl-Plateau und dem Akbel wälzen sich die Gewässer des Karassu. Unterhalb des Westrandes des Ischtik-Karaköl-Plateaus breitet sich das Karassu-Tal zu einer mehrere *km*

breiten Schotterwüste aus. In diese mündet der von der Umgebung des Jekaterina-Berges kommende Aschu-ssu und dessen westlicher Nachbar: das Tal des Teschiktasch (Fig. 20).

Beide Täler werden in ihrer ganzen Breite von jüngeren Schotterablagerungen bedeckt. Über der Ebene des Talbodens aber, in etwa 100 m Höhe können überall die dem Ischtik-Karaköl-Plateau entsprechenden Spuren des Urflächenniveaus beobachtet werden. Die unteren Abschnitte der erwähnten Täler Aschu-ssu und Teschiktasch sind in grossem Masse aufgeschüttet, so dass alle pleistozänen Erscheinungen verdeckt sind. Diese beiden grossen Täler des vereisten Nord-Borkoldaj-Gebirges leiten zweifelsohne Unmassen von Schmelzwässern ab, diese versiegen zum grössten Teil im Untergrund der Schotteranhäufung. Der Aschu-ssu ist ein kleines Bächlein in der Schotterwüste

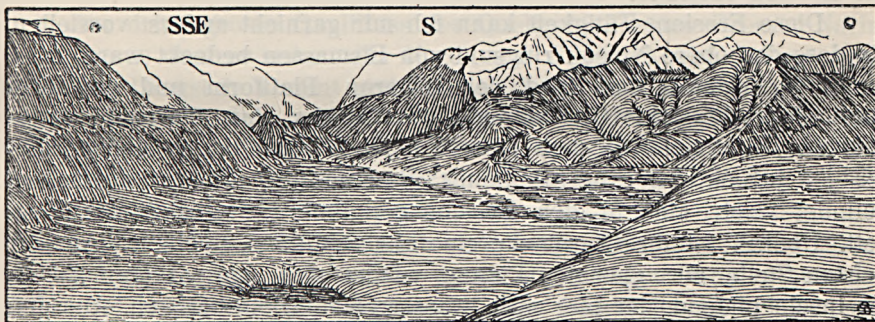


Fig. 20. Das Aschu-ssu-Tal des Borkoldaj. Im Vordergrund der Rand der Ischtik-Karaköl-Moräne.

das Teschiktasch, führt aber keinen Tropfen Wasser. Die südliche Ufergegend des Karassaj ist auch weiterhin eine alluviale Schutthalde, auf welcher das Wasser der von den Schneegebirgen kommenden Bäche versiegt. Überall sind Trockenbetten der bei eintretender Schneeschmelze talwärts eilenden Wassermassen anzutreffen. Bezeichnend ist, dass am Nordfuss des Nord-Borkoldaj-Gebirges sich eine gleichmässige Kalksteinterrasse von kaum einigen hundert Metern relativer Höhe dahinzieht, deren Oberfläche vielleicht der Fläche des Ischtik-Karaköl-Plateaus entspricht. Diese Terrasse durchbrechen die Bäche in steilwandigen Schluchten geringen Alters.

Karassaj und Jaktasch vereinigen sich am Südrand des Taragaj-Syrt, von da ab gegen Westen bis zur Mündung in den Karaköl führt der Fluss den Namen Taragaj-ssu, weiterhin aber Narin. Bis an den Karaköl bleibt die öde Schotterwüste dieselbe, die hier ansässigen Kirgisen fassen das ganze Gebiet unter dem Namen „Kumtala“ zusammen. Die Schneeberge des Nord-Borkoldaj entfernen sich hier vom Rande des Taragaj-Syrt und ein niedrigeres, heute vollkommen firnfreies Ton-

schiefer- und Kalksteingebirge (Tschakir-tau) trennen von diesem den geräumigen Tschakirkurum-Kessel.

Der Tschakirkurum-Kessel misst beiläufig 20 *km* in der Länge und 8 *km* in der Breite (von den umliegenden Kämmen gerechnet). Der Kessel besteht aus zwei verschiedenen morphologischen Teilen. Unmittelbar hinter dem Durchbruchstal des Tschakir-tau befindet sich ein von Flussablagerungen erfülltes, tiefer gelegenes Gebiet von 3—4 *km* Durchmesser. Es werden hier breite Schotterterrassen von Flüssen mit ebenfalls weiten, 2—300 *m* breiten Betten zerschnitten. In den Flussbetten befindet sich jedoch kaum etwas, oder überhaupt kein Wasser. Dieses tiefer gelegene Flächengebiet wird in durchschnittlich 3500 *m* Höhe von einer höheren Fläche umgeben. Es fällt sofort auf, dass dies eine ältere Oberfläche sei, aus welcher die untere auf dem Wege der Erosion entstand.

Diese Erosions-Tätigkeit kann ich mir garnicht anders vorstellen, als dass das obere Niveau ringsum von Eismassen bedeckt war.

Ich erklimm den Rand der höheren Plattform und gewahrte dann, dass dies eine Glazialmulde sei. Auf der dem Talgrund zugekehrten Seite sieht es dem Rücken eines felsigen Berges gleich, dieses ist jedoch ein abgeschliffener Rundhöcker. Hinter demselben befindet sich ein in den Felsen gegrabenes, verschüttetes Seebett. Überall ist die Oberfläche eine abgeschliffene, unebene. An der tiefsten Stelle der glazialen Pfanne windet sich, im rezenten Schotter Inseln bildend, der hier noch wasserreiche Gletscherbach. Aus den vollkommen vereisten, mit Eisvorhängen verzierten Seitenrücken des Nord-Borkoldaj-Gebirges blicken gut entwickelte Talgletscher in der Höhe von einigen hundert Metern hervor, ihnen entströmen wasserreiche Bäche und eilen über die mächtige Schuttzone. Langsam, stetig erhebt sich ein Trogtal aus dem Tschakirkurum-Kessel zur Höhe des gleichnamigen, 3770 *m* hohen Passes, welchen vor mir bereits HUNTINGTON besuchte. In der Umgebung des Passes befinden sich einige Berge, deren flacher, firnbedeckter Gipfel an den Jekaterina-Berg und die Fjelds der Arabel-Gegend erinnern. Mit letzteren haben sie auch die 3900—4000 *m* Höhen gemein. Auf dem vom Eise bearbeiteten, unebenen Nordhang des Tschakirkurum-Passes sammelte sich das Wasser zu einigen kleinen Seen.

Der grosse pleistozäne Tschakirkurum-Gletscher dürfte augenscheinlich bedeutende Mengen Schutt talwärts verfrachtet haben, müssen wir doch seine Oberfläche aus der letzten Gletscherzeit auf 70—80 *km*<sup>2</sup> schätzen. Die zweifelsohne ähnlich grossen Gletscher des Teschiktasch, Aschu-ssu u. s. w. dürften zusammen in ausserordentlicher Masse zur Bildung der unermesslichen Schuttanhäufungen des Kumtala beigetragen haben.

Auf der zwischen dem den Westrand des Taragaj-Syrt bildenden Ssariköl-Plateau und dem Tore des Tschakirkurum-Kessels befindlichen

Schotterwüste vereint sich der Djaktasch mit dem Karasaj. Hier ist die Schotterebene 4 km breit. Der ebene Talboden, auf welchem die zum Teil trockenen Flussläufe sich ausbreiten, ist stellenweise wasserdurchtränktes Moorfeld. Das Flusstal wird von einer ansehnlichen Terrasse begleitet. An dem Aufbau dieser Terrasse nehmen loser, sandiger Ton und in beträchtlicher Menge der Schutt verschiedener Gesteine Teil. Hie und da lugen kubikmetergrosse Felsblöcke aus letzterem hervor. Gegen Westen zu, in der Umgebung der Kogart-Mündung, vermehrt sich die Zahl der Terrassen um eine. Ich beobachtete bei der Mündung des Korumdu-Baches zwei wohlentwickelte Terrassen in 3000—3100 m Höhe.

#### 4. Das Borkoldaj-Karaköl-Tal.

Der dritte grosse Quellfluss des Quellgebietes des Grossen-Narin, welcher aus dem zwischen das Nord- und Süd-Borkoldaj-Gebirge sich keilenden Längstale kommt und den ich daher auch „Borkoldaj“ nenne, ist der Karaköl. Der vorhin erwähnte Tschakirkurum-Pass führt vom Taragaj-Syrt zum Karaköl. Der Tschakirkurum-Pass ist in vollstem Masse asymmetrisch. Gegenüber der sanft ansteigenden Nordseite, beginnt die Südseite mit einer 300 m hohen, fast senkrechten Kalksteinwand. Unterhalb des Passes befindet sich eine Reihe eigentümlicher Felskessel. Vier kaminartige, miteinander durch einen engen Gang verbundene Felskessel reihen sich hier aneinander. Den Boden der Kessel bedeckt reines, weisses Kalksteingeröll in wagerechter Lage. Die Länge der vier Kessel samt den Verbindungsgängen mag 1 km betragen. Zu der Kesselreihe gelangt man unterhalb des Passes über einen ausserordentlich steilen Schuttkegel. Vor dem vierten Kessel versperrt ein mächtiger Schuttdamm den Ausgang, dieser dürfte augenscheinlich einem Berg-rutsch seine Entstehung verdanken. Rings um den oberen Rand der Kesselreihe befindet sich ein eisgeschliffener, plateau-ähnlicher, breiter Bergrücken (Pass), von welchem auf Erosion hinweisende Rinnsale den Kesseln zustreben. In Anbetracht dessen, dass sich die Kesselreihe gerade auf der Wasserscheide befindet, können die zur Aushöhlung der Kessel nötigen Wasserfälle nur so entstanden sein, dass der Pass mit Firn bedeckt war. Die Schmelzwässer der Firnmasse müssen in dem hiezu sehr geeigneten Karbonkalk die Kessel erodiert haben und zwar der Reihe nach rückwärtsschreitend, indem sie mit dem Rückzug der Eisedecke Schritt gehalten. Die letzte pleistozäne Vergletscherung auf der Südseite des Tschakirkurum-Passes war nicht bedeutend, sie reichte nicht unter 3500 m herab. Unterhalb des die Kesselreihe abschliessenden Schuttdammes, bereits in dem den Fuss des Berges bedeckendem Teil befindet sich ein fluvioglazialer Schuttgürtel.

Das Karaköl-Tal erblickte ich dreimal im Laufe des Jahres 1906

Der obere Abschnitt dieses Tales, der das nördliche vom südlichen Borkoldaj-Gebirge trennt, ist seiner Ausdehnung nach unbekannt, denn die Gegend östlich des Tschakirkurum-Passes wurde bisher von niemandem besucht.

Im Oberlauf des Karaköl vereinigen sich die Schmelzwässer der ansehnlichen Gletscher der beiden Borkoldaj-Gebirge. Auf zahlreiche Eisströme von beträchtlicher Ausdehnung lässt die Wassermenge des Karaköl schliessen, denn am 12. September 1906 konnten wir bei kühlem, trockenem Wetter den Fluss gerade noch ohne namhafte Schwierigkeiten passieren. Zu beiden Seiten ziehen sich Reihen von Zirkus- und Kartälern hin, in denen sich Firn- und Eisströme von verschiedener Grösse befinden. An den Wänden sind die alten Hänge und Terrassen über dem Talboden von heute in 3—400 *m* Höhe ganz gut erkennbar. Unterhalb des Tschakirkurum-Passes mündet das Flüsschen Djangidjir

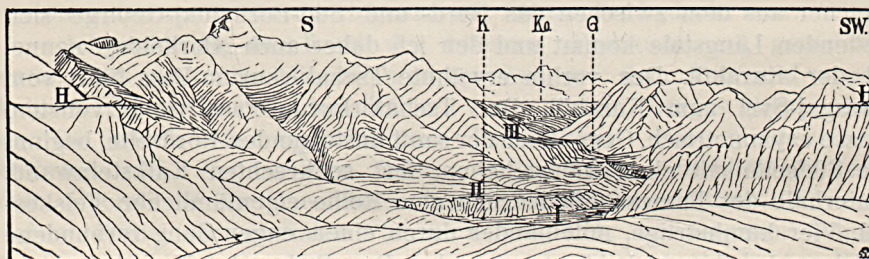


Fig. 21. Die Terrassen des Borkoldaj-Karaköl. (I. u. II.)  
K = Karaköl ; Ka = Kogeletschab ; G = Djangidjir. H = 3800 *m*

in den Karaköl. Sowohl der Djangidjir, als auch der Karaköl fließen zwischen durchschnittlich 140—160 *m* hohen fluvioglazialen Terrassen. Über diese Terrassen mit ausgedehnter, weiter Oberfläche ist aber der flache Rest noch einer terrassenartigen Fläche erkenntlich. Wenn wir diesen mit den Oberflächenresten des Karaköl, die zweifelsohne gleichen Ursprungs sind, vergleichen, lassen sich ausgedehnte, flache Muldentäler rekonstruieren. Die Reste dieses alten Muldentales sind ohne irgendwelche Messungen an den Wänden des rezenten Tales zu erkennen. Dieser Urtalboden mag sich etwa 300 *m* über dem rezenten Talboden befunden haben. Aus der sichtbaren Grenzlinie des Urtalbodens kann auf glaziale Tätigkeit gefolgert werden (Fig. 21.).

Der Urtalboden wurde vernichtet, da ein neuer Erosionszyklus mit tieferen Einschneidungen im Gefolge seinen Anfang nahm. Dieser neue Erosionszyklus brachte erst fluviatile, dann wieder glaziale Erosion, denn am Boden der oberen Mulde entstand ein neues Tal mit U-förmigem Querschnitt. Die in der Umgebung des Djangidjir in 140—160 *m* Höhe über dem rezenten Talboden befindlichen Fluvioglazial-Terrassen

sind dem letzteren an Alter gleich. Unterhalb des Tschakirkurum-Passes fand ich auf demselben Talboden und in demselben Niveau bereits rein glaziale Ablagerungen. Hier ist die Terrasse mit Moränenanhäufungen bedeckt, zwischen denen auch die als gutes Erkennungszeichen dienenden kleinen Seen nicht fehlen. Da ich unterhalb dieses Punktes im Unterlauf des Karaköl keine Spuren von Stirnmoränen entdeckte, muss ich annehmen, dass der letzte Pleistozän-Gletscher des Borkoldaj-Karaköl hier in 3250 *m* Höhe endete. Der jetzige Hauptgletscher endet bei 3800 *m*.

Die pleistozänen Ablagerungen in der Umgebung der Djangidjir-Mündung sind, wie erwähnt, fluvioglazialen Charakters. Sie zeigen ausgezeichnete Schichtung, grober Schotter und Schichtblätter aus feinem Sand, ja sogar Lehm wechseln häufig in ihnen, auch die grösseren Gerölle sind leicht geschliffen und, was ich für höchst charakteristisch halte, die Oberfläche der Terrassen ist glatt, wie jene der reinen Flussterrassen. In diese Terrasse, ganz so wie in den als Fortsetzung sich hinziehenden Moränen-Talboden, haben die Flüsse sich ein tiefes, steilwandiges Bett gegraben. Während wir doch anderwärts in Tälern ähnlichen Alters und ähnlichen Ursprungs überall weite, feuchte Talmulden vorfanden.

Eines der grossen Nebentäler des Borkoldaj-Karaköl, das Kilentajrak-Tal, ist mir in seiner ganzen Länge bekannt. Das Tal ist 20 *km* lang. Es ist dem Djangidjir und dem Oberlauf des Karaköl ganz ähnlich. Der Talboden ist eine breite, flache, mit Moränen bedeckte Terrasse, an deren Westrande zwischen steilen Wänden der Bach rauscht. Bezeichnend ist jedoch, dass die Höhe der Terrasse sich, im Verhältnis zu dem Niveau des Baches, schnell vermindert, bis endlich der fluviatile Graben gänzlich aufhört. Demzufolge ist das ganze Kilentajrak-Tal eine einheitliche Glazialmulde, in welche die rezente rückschreitende Erosion ein Tal einschneidet. Auf dem Moränen-Grund des Kilentajrak-Tales entstanden ebenfalls mehrere Seen von verschiedener Grösse, als unterstes Niveau derselben fand ich 3470 *m*. Dieser See war am 12. September 1906 bereits zugefroren, welcher Umstand bezeichnend für das Klima des Mittel-Tienschans ist.

Das Kilentajrak-Tal führt vom Kogeletschab-Syrt nach Norden abwärts. Seine heutige Wasserscheide befindet sich also bereits auf dem Syrt. Der Kogeletschab-Syrt wurde gelegentlich der letzten pleistozänen Vergletscherung vollkommen vom Eise überdeckt, von welchem auch auf das Kilentajrak-Tal etwas entfallen musste. Gemäss den heutigen Böschungsverhältnissen des Syrt entspringt zwar das Kilentajrak-Tal aus der Nachbarschaft der Transversal-Wasserscheide des Syrt, von der sich das Eis nach Westen und Osten bewegte, doch besitzt die Scharte eine entsprechende Tiefe. Die Kilentajrak-Scharte ist in 3800 *m* Höhe gelegen, ihr gegenüber reichen die grossartigen Eisströme des Nord-

hanges des Kokschal-tau auch heute noch herab, bis etwa zu diesem Niveau.

Besonderer Erwähnung verdienen vom Gesichtspunkte der pleistozänen Vergletscherung die östlichen Seitentäler des Kilentajrak, die drei Kokbulak. In diesen Tälern befinden sich mächtige Moränenanhäufungen, welche die Bäche in schluchtartigen Betten durchbrechen. Hinter denselben sind mächtige weisse Bergmassen sichtbar. Augenscheinlich wurde auch der Kilentajrak-Gletscher, gleich dem Tschakirkurum, Kaschkatör etc. im Pleistozän hauptsächlich durch die Firnmassen der Nebentäler gespeist, wie heute durch deren Schmelzwässer.

Nach Vereinigung des Djangidjir und Kilentajrak mit dem oberen Karaköl, vollführt das Borkoldaj-Karaköl-Tal eine weite Wendung nach NW, um sich danach mit dem Taragaj-ssu zu vereinigen. Der Unterlauf des Karaköl ist ein steilwandiges V-förmiges Tal, in welchem sich Terrassen befinden. Das Tal ist übertieft, die Gewässer der Nebentäler bilden Katarakte. Die Zahl der Terrassen konnte ich im engen Tal nicht genau ermitteln. Wahrscheinlich sind es längs des Tales zwei.

##### **5. Das Grosse-Narin-Tal bis zur Mündung des Kleinen-Narin-Tales.**

Die pleistozänen Ablagerungen des mächtigen Taragaj-Syrt kennen wir auf Grund der oben erwähnten Daten freilich noch lange nicht zur Genüge. Die Pflanzendecke ist zwar eine sehr schütterere; das ganze Syrt-Plateau mit den es umgebenden Talungen ist über der oberen Baumgrenze gelegen und darum auch ist es möglich schnell einen flüchtigen Überblick über ein grosses Gebiet zu gewinnen, vorsonderlich aber sind es die physiographisch charakteristischen Linien, die uns sofort ins Auge fallen. Hingegen wieder ist die Schuttanhäufung eine ausserordentlich grosse infolge des geringen Gefälles und die älteren pleistozänen Ablagerungen werden von den jüngeren zum grössten Teil verdeckt. Auch hier treten blos die Spuren der letzten Vereisung deutlich hervor. Zu dieser Zeit waren, wie wir sahen, die eine Hochfläche darstellenden Plateaus der Ränder des Taragaj-Syrt vom Eise bedeckt. Zwischen den hohen Plateaustücken jedoch, auf den breiten, schotterreichen Inundationsgebieten der Flüsse sind die Spuren der Vereisung nur mehr höchst selten zu sehen, oder doch so wenig augenfällig, dass sie gelegentlich schneller Forschungsreisen von 20—40 *km* täglich auch beim besten Willen unserer angespannten Aufmerksamkeit entgehen. In solchen Fällen kommt der Kenntnis des ableitenden Haupttales eine doppelte Bedeutung zu.

Den oberen Abschnitt des Grossen-Narin-Tales beging ich in den letzten Tagen des Novembers, wobei ich mir stellenweise durch meterhohen Schnee Bahn brechen musste. Es ist dies eines der „Kapscha-

gai“, der nur im Winter gangbaren Schluchttäler des Tienschan. SEWERZOFF war gezwungen im Oktober des Jahres 1866 hier umzukehren und die nahezu 48 *km* lange Schlucht war bis zu meiner Reise vollkommen unbekannt. Leider jedoch hatte auch meine Reise bloss topographische Erfolge aufzuweisen, da während der ersten Hälfte des Weges, bei einer Kälte von  $-20-30^{\circ}$  C ein schrecklicher Schneesturm tobte. Gewöhnlich sahen wir nicht über 10 *m* weit. Bis zum Ulan-Flusse ist das Tal breit, gleichmässig flach, unterhalb des letzteren führte unser Weg in einem Engtal. Hier befindet sich die obere Grenze der Nadelwälder (beiläufig 2900 *m*). Der Narin fließt zwischen Felswände eingezwängt. Erst bei der Mündung des aus den südlichen Eisströmen des Lóczy-Berges entspringenden Moldowasch weitet sich das Tal, aber im meterhohen Schnee konnte ich die Ursache hiefür nicht wahrnehmen. Einige *km* westlich des Moldowasch war der Narin noch nicht zugefroren, somit auch im Winter nicht gangbar, da er zwischen vollkommen steile Felswände gelangt; dies ist der bereits (aus meiner Mai-Reise) wohlbekannte Flusslauf am Südrande des Karatasch-Plateaus. Das Grosse-Narin-Tal weitet sich plötzlich zu einer 20 *km* breiten Talung aus und wird von hier an auf eine Entfernung von 220 *km* in der Luftlinie, bis zum Dschungal-Durchbruch, nicht wieder in ein V-förmiges Engtal eingezwängt.

Das Karatasch-Plateau, den ersten Abschnitt der sich weitenden Narin-Talung, beging ich kreuz und quer im Mai des Jahres 1906, im November desselben Jahres und im September 1909.

Die Grosse-Narin-Talung wird, nach Verlassen des Taragaj, im Norden vom Djitimtau, im Süden vom Alamischi-tau eingesäumt. (Die Namen beider entstammen der Karte SEWERZOFF's). Die beiden Gebirge verlaufen nicht parallel zu einander, sondern divergieren gegen Westen zu allmählich. Dies ist eine allgemeine Tendenz im Mittleren-Tienschan-Gebirge. Während jedoch bisher der nördliche, mächtige Djitimtau ausgedehnte Seitenrücken der Narin-Talung zusandte, bleiben in der westlichen Nachbarschaft des Lóczy-Berges die langen Seitenrücken plötzlich aus. Der Lóczy-Berg bildet den westlichen Eckstein der mächtigen Massen des Djitimtau, weiterhin wird der Hauptrücken schon zu einem schmalen, an Höhe stätig verlierenden Gebirge, wengleich dieses noch immer vereiste Gipfel von über 4000 *m* Höhe auszuweisen hat. Eine ähnliche Höhe besitzt diesem gegenüber der Alamischi-tau, der jedoch bloss von unbedeutenden Firnfeldern bedeckt ist. An den steilen Felswänden des Karbonkalkes kommt es nicht zur Anhäufung von Firnmassen.

An der Nordseite des Alamischi-tau bilden die glazialen Zirkus- und Kartäler eine lange Reihe. Vor denselben zieht sich nicht viel tiefer als der Grund der Nischentäler, längs des Gebirges eine Talreihe hin, so zwar, dass man aus dem einen nach Norden verlaufenden Quertal

bequem in das entsprechende Nachbartal gelangen kann. Diese Längstalung besteht aus lauter Muldentälern pleistozänen Alters. Dort, wo sich aus der längs des Gebirges sich hinziehenden Talung die einzelnen Quertäler abzweigen, verschwindet zusehends der U-förmige Querschnitt, um von der rein fluviatilen V-Talform ersetzt zu werden. Im Bajbitschesu-Tal trat dies in 2860 *m*, im Kaschkassu-Tale in 2760 *m* Höhe ein. Angesichts der beschränkten Ausdehnung des Firnsammelgebietes, erscheinen diese Zahlen auffallend niedrig.

Der Nordhang des Alamischitau bietet aus grösserer Entfernung, von dem nördlichen, gegenüberliegenden Gebirge aus betrachtet, ein eigenartiges Bild. Ausser der erwähnten Talung zieht sich ein Rücken hin, der sich 50—100 *m* über die letztere erhebt und von welchem eine ganz gleichmässige, fast glatt gescheuerte, rasenbedeckte Felshalde zum Narin-Fluss führt. Die Felshalde ist sehr steil, ihr Gefälle beträgt im Durchschnitt 30—35% und bildet eine fast vollkommene schiefe Oberfläche. Die Felshalde wird von parallel verlaufenden Rinnsalen längsgefurcht. Es sind dies sehr steilwandige Wasserrisse, 50—100 *m* tief in die Felshalde eingeschnitten, in denen sich dichte Nadelwälder verbergen.

Die obere Grenze des Nadelwaldes fand ich bei 2610 *m*. Die nördliche gleichmässige Felshalde ist übrigens nicht bloss hier vorhanden, sondern zum grössten Teil auch an der Nordseite des ganzen Alamischitau bis zum Atbaschi-Durchbruch.

Die Steile der Felshalde verschwindet am Südrand des Karatasch-Plateaus in beiläufig 2600 *m* Höhe, hier geht sie mit plötzlicher Wendung fast in die Horizontale über. Der Narin bildet bis zur Mündung des Kaschkassu die Grenze der Felshalde und des Karatasch-Plateaus. Der Narin fliesst hier in einer dunklen, engen Schlucht und ist darum auch die kirgisische Benennung „Kara-tasch“ (= schwarzer Fels) eine entsprechende. Die Wände der Schlucht erreichen 200 *m* Höhe. Unterhalb der Mündung des Kaschkassu bildet der Narin Windungen und durchschneidet das 2600 *m* hohe Karatasch-Plateau, um sich dann mit dem Kleinen-Narin zu vereinigen.

Das südliche, 2 *km* breite Randgebiet des Karatasch-Plateaus ist in seiner ganzen Länge (25 *km*) gleichmässig in 2600 *m* Höhe gelegen, oder neigt sich doch kaum merklich nach Westen. Auch auf diesem Teil des Plateaus führte mein Weg zu wiederholten Malen und immer konnte ich Höhen von 2590, 2600, 2610 *m* messen. Nur von der Linie des Kleinen-Narin und der Dangi-Schlucht (S. Fig. 2. in Földr. Közlem. 1906. p. 317.), an steigt die Höhe des Plateaus an. Hier bildet die Oberfläche bereits kein einheitliches Niveau, es sind hier ausgedehnte Flächen stufenartig aneinander geordnet. Wenn wir diese in ihrer Gesamtheit betrachten, die trennenden, tiefen Cañontäler ausgefüllt denkend, so ist es möglich, SW-NE und W-E streichende Mulden zu rekonstruieren. Die Mulden sind in 2700—2750 *m* Höhe gelegen. Am östlichen Ende des Kara-

tasch-Plateaus aber, unmittelbar vor dem Tor des grossen Narin-Kaptschagaj lässt sich eine Mulde von 4–5 km Durchmesser und 3000 m Solenhöhe nachweisen. Das Resultat meiner Beobachtungen lässt sich a' so dahin zusammenfassen, dass das Karatasch-Plateau eine ungleichmässige Oberfläche darstelle; im Süden ist es eine regelmässige, 2600 m hohe, W–E streichende Mulde, welcher sich SW–NE in 2700–2750 m Höhe gelegene Mulden zuneigen, während es im Osten von einer Höher gelegenen Mulde, mit 3000 m Solenhöhe begrenzt wird. Die Mulden sind alle flach und breit. Sie sind spärlich mit Schutt bedeckt. Schichtenköpfe von vertikalgefaltetem, steil aufstrebendem Kalk und Tonschiefer brechen auf Schritt und Tritt aus diesem hervor. Zwischen den auf diese Weise rekonstruierten Trogtälern erheben sich höckerartige, relativ niedrige Berge. Der zwischen den Tälern Artschalu und Ardakte befindliche Bergrücken erhebt sich zu 2860 m Höhe, der oberhalb des Dangi-Tales befindliche erreicht 3100 m.

Der westliche, wie erwähnt niedere, engere Abschnitt des Djitimtau besitzt heute nur mehr einige kleinere Nischen-Gletscher. Am östlichen Ende des Gebirgsabschnittes, am Passe des Kengssu fand ich auf einem Bergrücken von 3890 m keinen Firn (1. September 1909.). Auf der gegenüber liegenden, nach Osten gewendeten Bergwand befindet sich ein, aus dem Zusammenfluss zweier Nischentäler entstehender Hängegletscher. Sein Ende liegt in 3800 m Höhe. In der benachbarten, tiefer gelegenen Nische erwehrt sich ein zwerghaftes Firnfeld nur schwer des Zerschmelzens. Diese kleine Vergletscherung speist das Tal des Tujukssu. Der obere Abschnitt des Tujukssu ist eine Glazialmulde; ich beging sie bloss bis



Fig. 22. Das Karatasch-Plateau aus einer Höhe von 2970 m aus den Kaschkassu-Tale gesehen. Zwischen W–NW = Nuratau, NW im Hintergrund = Kitschime-Narin-Syrt. Von NW bis E = Djitimtau mit dem Lóczy-Berg in NE. Windungen des Narin-Flusses durch kleine Pfeile markiert. N = Artschalu-Berg.

zum Niveau von 3120 *m* und weiss somit nicht, wo die Mulde endet. In dem benachbarten Djakbolot-Tale befinden sich die Grenze der U- und V-förmigen Täler, sowie die obere Grenze des Nadelwaldes bei 2800 *m*. Von Bedeutung ist es, dass man vom Kisilbel in WSW Richtung am Südfuss des Djitimtau eine derjenigen Talungsserie (Depression) ganz ähnliche erblickt, wie sie sich am Nordfusse des Alamischitau befindet. (S. Fig. 2. in Földr. Közlem. 1908. p. 317.)

Die tiefen Schluchttäler des Karatasch-Plateaus sind — ich brauche es wohl nicht zu betonen — jüngeren Ursprunges. Aus der Tiefe dieser Schluchttäler kann auf eine gelegentlich der letzten Vereisung erhöhte Menge der Schmelzwässer, ausserdem aber möglicherweise auch auf ein Sinken der Erosionsbasis gefolgert werden. Die Schluchten weiten sich mitunter zu einem kesselähnlichen Tale aus. Der Djakbolot-Bach verbindet zwei dieser tiefen Kessel. Die Entstehung dieser Kessel lässt sich mit seitlicher Erosion nicht erklären, da ihre Seitenwände schwach geböschte, rasenbedeckte Berglehnen sind. Auf den schattigen Wiesen liegt der Schnee ziemlich lange. Mitte Juni des Jahres 1906 lagen hier noch einige Schneefelder. Die Wirkung der Schneekorrasion ist bedeutend. Sie lockert den Boden und das einmal entstandene, noch so geringe Gefälle der Bergwand wird allmählich zu einer Nische umgewandelt. Infolge der Wirkung der Schneekorrasion erscheinen die sanftgeneigten Berglehnen rau. Die Kessel sind nicht tektonischen Ursprunges. Sie sind viel zu regelmässig, auch könnte ich mir in vertikal stehenden Gesteinsmassen derartige lokale Senkungen garnicht vorstellen. Beim ersten Anblick konnte auch ich kein rechtes Bild von der genetischen Entwicklung des Karatasch-Plateaus gewinnen. Eine kurze Darstellung der physiognomischen Verhältnisse habe ich bereits veröffentlicht.<sup>1</sup> Da ich nunmehr zahlreiche ähnliche Bildungen des Tienschan kenne (Kaschkatör, Tschakirkurum usw.), bin ich der Ansicht, dass auch diese Kessel eine durch die Schmelzwässer der das Karatasch-Plateau bedeckenden Eisströme des älteren Pleistozäns hervorgerufene Erosionserscheinung seien. Die Entstehung eines der Verbindungs-Schluchttäler durch Einsturz der Decke eines unterirdischen Flusslaufes, steht ausser Zweifel. In der die beiden Djakbolot-Kessel verbindenden Schlucht ist auch heute noch ein kleiner Abschnitt des Tunnels vorhanden, den ich auch durchritt.

Am südwestlichen Teil des Karatasch-Plateaus, wo die Quellbäche des Irissu von den Firnfeldern des Alamischitau kommend, auf die flachen Bergrücken herabfliessen, befinden sich ebenfalls pleistozäne Glazialspuren. Die Berglehne Tschalkak wird von einer alten, verwaschenen Moräne bedeckt, welche gegen Westen gewendet, einen mächtigen Halbkreis bildet. Die Decke dieser Moräne befindet sich an ihrem unteren Ende in 2600 *m* Höhe. Ich nehme an, dass diese in diesem Teil bereits

<sup>1</sup> Reiseskizzen aus Zentral-Asien. Földr. Közlem. 1906. p. 314—318.

durchwaschene und von rezenten fluviatilen Ablagerungen bedeckte Moräne ein Resultat der Wirkung der zweiten Vergletscherung sei.

### 6. Das Burkhan-Tal.

Ich überschritt die, die Ränder der östlichen Hälfte des Kleinen-Narin-Syrt bildenden Bergketten an fünf Stellen. Im Süden auf den Pässen Djakbolot (3770 *m*) und Keng (3890 *m*), im Osten auf dem Djamanitschke (3770 *m*) und Arabel-Pass (3720 *m*) und im Norden auf dem Ton-Pass (3910 *m*). Zuerst will ich die Darstellung der Umgebung der Burkhan-Talung geben.

Der seenbedeckte Talboden des Arabel wird im Westen von der bereits erwähnten steilen Felslehne begrenzt (s. p. 181. (55.)). Die heute selbständigen, zur Zeit der zweiten Vereisung aber eine einzige Gletscherfamilie bildenden, schönen Eisströme des südlich vom Arabel sich erhebenden Djamanitschke-Gebirges verursachten die Bildung einer längs des Gebirgssusses sich hinziehenden Moränenanhäufung. Aus diesem Grunde kann das Schmelzwasser einiger Eisströme nicht auf den Arabel-Syrt gelangen, sondern nimmt seinen Lauf nach Westen, dem Burkhan zu. Die Eisströme reichen ausserordentlich tief herab. Der am tiefsten herabreichende (3560 *m*) ist ein Hängegletscher. Der Talboden jedoch ist vom Rande des Arabel-Syrt an durchwegs firnfrei. Vier *km* vom Arabel entfernt fand ich in 3440 *m* Höhe die erste pleistozäne Stirnmoräne. Grosse Massen eisverfrachteten, dunklen Gesteinschuttes liegen in den Mündungen aller südlichen Seitentäler. Die nördlichen Seitentäler sind viel ärmer in dieser Beziehung und ihre Wasserrisse sind auch heute noch trocken, oder doch bloss von spärlich fliessenden Äderchen durchrieselt. Die Nord- und Südseite des oberen Burkhan-Tales ist in Bezug auf Firnanhäufung äusserst verschieden. In einer Entfernung von sieben *km* vom Arabel wendet es sich plötzlich nach SSW. An dieser Stelle nimt es von Westen und Norden je ein grösseres Nebental auf. Beide münden mit einer Schwelle in das übertiefte Haupttal (3330 *m*). Das nördliche Tal ist durch die Seitenmoräne des Haupttales vollständig abgesperrt, im Talausgang des westlichen Tales aber wird die Stufe durch einen abgescheuerten Felsdamm gebildet. Letzterer zeigt die typische Form der Rundhöcker.

Auch weiter unten noch ist das Haupttal eine Moränen-Mulde. Moränenanhäufungen und hinter diesen seit langem verschüttete Seebecken nehmen den Talboden ein. Auf den Seebecken zerteilt sich der Fluss auch heute noch in zahlreiche Zweige. In 3240 *m* Höhe glaube ich die zweite, etwas verwaschene Stirnmoräne feststellen zu können.

Bemerkenswert ist es, dass hier zwei Terrassen in geringer Höhe über dem Flusse auftreten. In 3180 *m* Höhe (Talsohle) vermehrt sich die Zahl der Terrassen um eine neue. Auch über der Mündung des Kaltscha

sind drei unversehrte Terrassen erkenntlich, unter denen die oberste dort selbst in 3140 *m* Höhe gelegen ist. Während sich der Burkhan-Fluss auf einer Entfernung von 13 *km* von 3240 *m* auf 3070 senkt, erreicht die oberste Terrasse auf gleicher Entfernung und von gleicher Höhe das Niveau von 3180 *m*. In dieser Terrassen-Gegend, wo der Burkhan seine grossen Nebenflüsse, den Kaltscha, W. Djamanitschke, ausserdem fünf grosse, wasserreiche Bäche aus strahlenartig sich verzweigenden Tälern sammelt, weitet sich das Tal zu einem Becken aus. Auf den breiten Terrassen sah ich die blauen Spiegel zweier kleineren und eines grösseren Sees (Durchmesser 2-300 *m*). Das Haupttal ist auch hier übertieft, sämtliche Nebentäler, auch das des wasserreichen Djamanitschke, erreichen im Niveau der obersten Terrasse den Rand des Haupttales. Von den kleineren Tälern bildet das eine eine mächtige Schlucht im Boden der Mulde des Pleistozäns, um auf diesem Weg sein Wasser dem Burkhan zuzuführen. Ich bin geneigt diese Terrassen hier der Einwirkung eines heute verschütteten Sees der letzten Postglazialzeit zuzuschreiben. Der wasserreiche Burkhan mag bis zur vollständigen Auffüllung des Seebeckens an seinem östlichen Ende einen mächtigen Schuttkegel abgelagert haben, um nach Durchschneidung des Moränendamms diese Ablagerungen zum grössten Teil fortzuschaffen, so dass im Zusammenhange hiemit sein Tal wieder auf das ursprüngliche Niveau zurücksank. Heute ist im Gefälle des Burkhan dieser Zwischenfall überhaupt nicht mehr zu erkennen. Der Ort des, die Stauung bewirkenden Moränendamms mag nicht weit unterhalb der Kaltscha-Mündung gewesen sein, da über denselben hinaus die Terrassen fehlen.

Das W. Djamanitschke-Tal, das vom Djamanitschke-Pass (3770 *m*) in eine überaus ausgedehnte, zirkusartige Talung führt, besass im Pleistozän ein breites Firnsammelgebiet. Der tiefste Punkt des Zirkus ist in 3280 *m* gelegen, seine Sohle wird von einer mächtigen Lage glazialen Schuttes bedeckt, auf der die Bäche sich ziemlich träge dahinwinden und sich in einem Niveau vereinen. Am unteren Ende des Zirkus wendet sich das Tal des W. Djamanitschke-Flusses plötzlich nach NNW und zeigt noch auf eine Entfernung von 3 *km* ein schwaches Gefälle. Hier befindet sich die Mündung des Artschalu-Baches, welcher gegenüber dem W. Djamanitschke bereits ein übertieftes Tal ist. Der Artschalu wird von einem Moränendamm aufgestaut. Von hier an eilt der W. Djamanitschke in schnellem Lauf dem Burkhan zu. Überall befinden sich bedeutende Schuttanhäufungen alluvialen Alters, auch auf der pleistozänen Taloberfläche sind mächtige Schuttkegel ausgebreitet. In etwa 3200 *m* Höhe auf dem Boden des Kaltscha-Tales befindet sich ein abgeschauerter Rundhöcker, den der Schuttkegel der gegenüberliegenden Lehne vollkommen verdeckte und erst gelegentlich der Tieferenkung der Erosionsbasis des Burkhan-Tales war der Bach wieder fähig, den Schuttkegel abermals zu durchschneiden. Heute drängt zwischen

dem Steilufer des unterwaschenen Schuttkegels und dem Rundhöcker der Kaltscha vorwärts.

Unterhalb der Mündung des Djamanitschke und Kaltscha ist das Burkhan-Tal noch auf eine bedeutende Entfernung hin muldenförmig und trägt unwiderlegbare Zeugnisse pleistozäner Vergletscherung.

Hier ist die Über-tiefung des Haupttales eine gesteigerte. Auf der Nordseite des Tales bilden sämtliche Gewässer der Nebentäler bei ihrem Eintritt in das Haupttal Wasserfälle, oder aber sie sickern durch die Seitenmoränen des pleistozänen Burkhan-Gletschers. Die Bergwände sind glatt geschliffen. Ich erkletterte die Moränenstaudämme zweier nördlicher Nebentäler. Die Höhe des einen (Kokdscher II.) beträgt 3360 *m*, war also um 360 *m* höher gelegen, als die unter ihr befindliche Sohle des Burkhan-Tales. Das Tal Kokdscher II. ist eine ausgedehnte Mulde. Das Muldental entsteht aus der Vereinigung zweier Täler. Ein jedes der beiden wird durch je eine sehr ansehnliche Felsstufe in zwei in ver-



Fig. 23. Der Nordhang des Djittimtau zwischen dem Lóczy-Berg (L) und dem Djakbolot-Pass (D). Ds = Dschelangatsch-Fluss. Aussichtspunkt 2870 *m*.

schiedenen Niveau gelegene Muldenabschnitte geteilt. Auffallend ist, dass diese Stufe sich nicht an der Vereinigungsstelle der beiden Täler befindet, sondern erheblich weiter rückwärts liegt. Den südlichen Talhang des erwähnten Burkhan-Talabschnittes ziert eine ganze Reihe von Nischen-Tälern. Divergierende und konvergierende Felsnischen, mit beträchtlich ausgetiefter Sohle und tiefer liegenden, steilen Talstufen befinden sich unterhalb des felsigen Rückens, um sich dann in sanft geneigten Muldentälern gegen die am Rande des Burkhan sich erhebende Talstufe fortzusetzen. Wichtig ist der Umstand, dass am Rande des Burkhan-Tales, in einer Höhe von 350 *m* über der Sohle die Reste der präglazialen Tal-

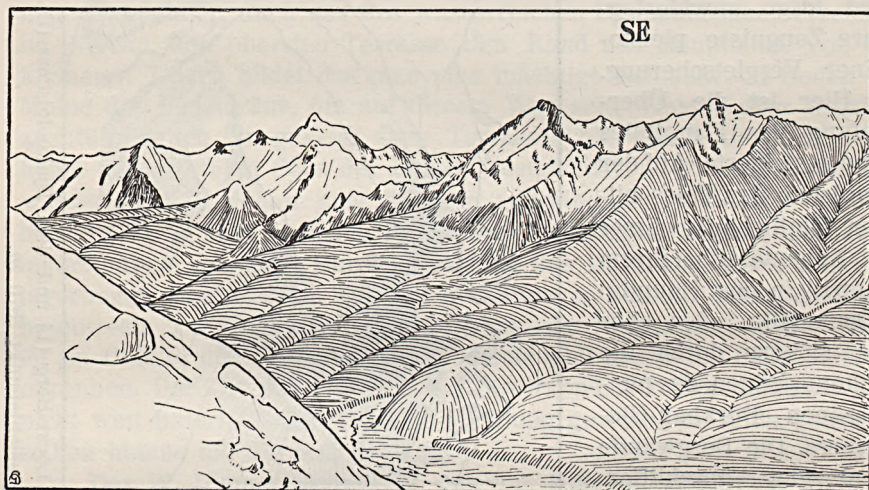


Fig. 24. Nordhang des Djitimtau westlich von dem Moldovasch. Der Hauptfluss ist der Dschelangatsch Aussichtspunkt 2870 *m*.

oberfläche gut sichtbar sind. Hierunter verstehe ich die Oberfläche vor der letzten Vereisung, da ich in ihnen Spuren der der letzteren vorgehenden Vergletscherung vermute.

In einer Entfernung von 55—58 *km* vom Arabel wird das Burkhan-Tal durch einen Moränendamm abgesperrt. Es ist dies eine der prächtigsten Stirnmooränen, die ich auf meinen weiten Reisen in Zentralasien gesehen habe (Tafel IX., Fig. 2.). Sie befindet sich zwischen den Höhen 2870 und 2900 *m* regelrecht zwischen den beiden Seiten des breiten Muldentales. Felsblöcke und Gesteinstrümmer verschiedenster Art, sowie Sand bilden das Baumaterial ihres ganzen Hügellandes. Zwischen den auf ihrem Rücken befindlichen Hügeln liegt eine ganze Gruppe dunkler Seen. Hier befinden sich die letzten und schönsten Daten der untrüglichen Vergletscherungsspuren des Burkhan-Tales. Weiter talabwärts bietet die Rekonstruktion der pleistozänen Vergletscherung grössere Schwierigkeiten.

Für die Höhe des Ton-Passes fand ich 3910 *m*. Seine Südseite ist eine steile Schutthalde. Firn ist hier nicht vorhanden. Auf seiner Nordseite befindet sich ein ausgedehntes Zirkustal, welches am 25. Juni 1906 noch vollkommen von Schnee erfüllt war. Ich weiss nicht, ob unser Weg auf einem Gletscher weiterführte, oder ob wir uns bloss auf einer schuttbedeckten Talsohle befanden. Südlich des Ton-Passes reicht in unmittelbarer Nachbarschaft desselben, von Osten her ein scheinbar ausgedehnter Eisstrom in das Niveau von 3700 *m* herab. Die grüne Wand des Gletscherendes schien fast über seine Stirnmoräne stürzen zu wollen. Dieser Eisstrom befindet sich also unbedingt im Stadium des Vorrückens. Unterhalb desselben folgt das Muldental des pleistozänen Eis-

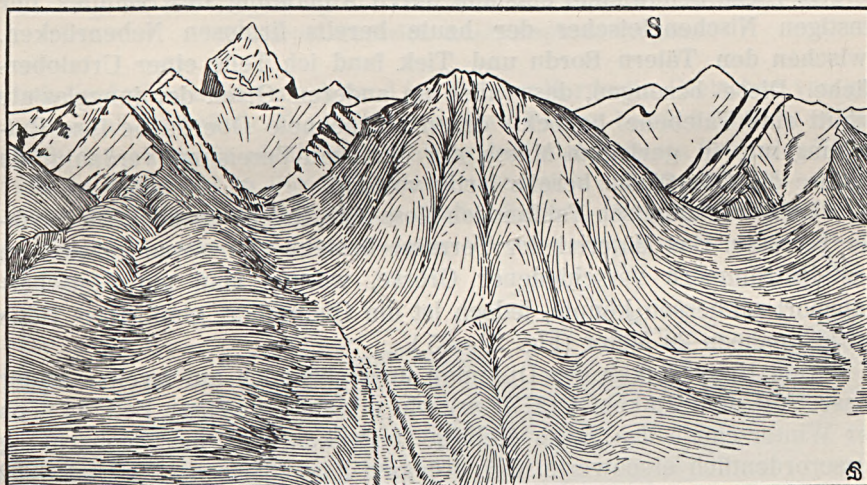


Fig. 25. Fortsetzung d Fig. 24. Der Lóczy-Berg, gegen S der Moldovasch.

stromes. Das grosse U-Tal endet in einer Höhe von 2950 *m*. (S. Földr. Közlem. 1906., Fig. 3., p. 319.)

### 7. Die Nordseite des Djitimtau.

Der Nordhang des Djitimtau ist mir westlich des Lóczy-Berges bis zum Durchbruch des Kitschine-Narin bekannt, da ich es von den hervorragenden Punkten des nördlich des Gebirges liegenden Kitschine-Narin-Syrt wiederholt gesehen habe, sowohl auf meiner ersten, als auch auf meiner zweiten Reise. Das Tal des am Nordruss des Djitimtau fliessenden Dschelangatsch-Flusses war gelegentlich der letzten Vereisung (zur Zeit der Bildung der Stirnmoräne des Burkhan) unbedingt gletscherfrei. Die der mächtigen Nischenreihe des Djitimtau entströmenden Gletscher mögen sich in dieser Zeit fast herab bis in das Dschelangatsch-Tal erstreckt haben. Es ist ein sehr häufig vorkommender Fall in den Längstälern des

Tianschan, dass die Seitengletscher das gletscherlose Haupttal erreichen. Heute befinden sich nur Nischengletscher unterhalb des Rückens. Das Ende der sich auf die steile Seite des Lóczy-Berges stützenden Firnmasse dürfte nach meiner Schätzung nicht viel über 3600 *m* liegen. Unterhalb der Nischengletscher folgen breite, rasenbedeckte Muldentäler, welche am Rande des Dschelangatsch in Schuttkegeln enden. Diese Schuttkegel sind durchwaschene Moränen. Die Bäche des Djitim stürzten hier über Talstufen zum Dschelangatsch ab und haben in die Schuttkegel ein tiefes, von Terrassen begleitetes Bett geschnitten. Zwischen den unteren Abschnitten der Nebentäler erheben sich keine hohen Bergrücken, sondern eine erodierte, unebene, breite Schutthalde lehnt sich an den Fuss des Berges. Diese Schutthalde entstand durch Anhäufung des Schuttes der einstigen Nischengletscher der heute bereits firnlosen Nebenrücken. Zwischen den Tälern Bordu und Tiek fand ich Teile einer Urtaloberfläche. Diese bezeugen, dass auch an anderen Orten der jungglaziale Schutt eine Talebene bedeckt, deren eingeebnete Oberfläche ihre Entstehung nur in geringem Masse der Burkhan-Vereisung verdankt, da letztere die Oberfläche bereits fertig vorfand.

Im Dsche'angatsch-Tal fand ich bloss eine, jedoch ansehnliche fluviale Terrasse. Das Material der Terrasse besteht aus etwas gerunden Gesteinstrümmern verschiedener Grösse, woraus man auf Gletschertransport schliessen könnte, jedoch ist die Oberfläche glatt. Ihre Höhe beträgt nahezu 20 Meter (Fig. 23—25.).

Den Hauptrücken des Djitimtau überschritt ich auf zweien seiner Pässe. Auf dem Djakbolot (3770 *m*) wie erwähnt, zu einer Zeit, da noch der Winterschnee das ganze Gebirge bedeckte, was die Beobachtung ausserordentlich erschwerte. Den Kengssu-Pass (3890 *m*) fand ich 1909 vollkommen firnfrei, obzwar die Passhänge nicht übermässig steil genannt werden können. Am 1. September (1909) fand ich auf der Nordseite in 3400 *m* Höhe an einer nicht einmal all zu sehr versteckten Stelle ein Schneefeld aus dem vergangenen Jahr. Auf dem Passe fällt die Schneedecke augenscheinlich der durch den Wind begünstigten Verdunstung zum Opfer. In den Nischen, die in den schützenden Armen der Nebenrücken liegen, befinden sich in 3800 *m* bereits überall Firnfelder. Hier sind 3900 *m* für die klimatische Schneegrenze ein eher zu hoch, als zu tief gegriffener Wert. Die Burkhan-Gletscher des Djitimtau jedoch senkten sich bis auf 2900—3000 *m* herab gegen den Dschelangatsch, hievon konnte ich mich mit Sicherheit überzeugen.

## 8. Die Nordseite des Nuratau.

Die orographische Fortsetzung des Djitimtau bildet westlich des Kitschine-Narin-Durchbruches der Nuratau. Der Nuratau erhebt sich in unmittelbarer nördlicher Nachbarschaft von Narinskoje, so zwar, dass

man von da in einem Tag auf den Hauptrücken gelangen kann. Trotzdem hat noch kein Forscher vor mir das Innere dieses Gebirges besucht. Bezeichnend ist, dass selbst von den Offizieren des benachbarten Narinskoje ein dem Westabschnitt des Dжитимтау ganz ebenbürtiges Gebirge für firnfrei gehalten werden konnte. Die Südseite des Nuratau scheint tatsäch-

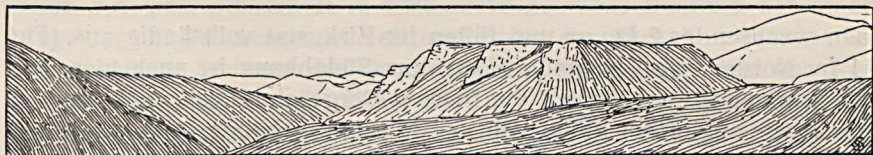


Fig. 26. Ein Zeugenberg der Urtaloberfläche aus der Vor-Burkhan-Zeit.  
Kokturpak-Dscheilö, Aussichtspunkt 3050 *m*.

lich firnfrei zu sein, jedoch fand ich auf der Nordseite Gletscher von ganz respektabler Grösse. Die Höhe des Nura-Passes beträgt 3890 *m*. Unterhalb desselben, in südlicher Richtung befindet sich ein firnfreies Zirkustal. Ja sogar der in der Nähe des Passes sich erhebende, 4100—4150 *m* hohe Bergrücken ist auf dieser Seite firnfrei. Auf der Nordseite des



Fig. 27. Ein Gletscher am Nordhange des Nuratau, gegenüber d. Kumbel. Vorne Moränen aus der Burkhan-Zeit. Links die Urtaloberfläche der Vor-Burkhan-Zeit.  
H = 3620 *m*.

Passes sind auf den nach Westen und Norden blickenden Hängen, in 3800—3900 *m* Höhe bereits kleinere Firnfelder vorhanden, jedoch kommt es nicht zur Bildung von Gletschereis. Unterhalb des Passes befindet sich ein Zirkustal mit 3380 *m* Sohlenhöhe. Letzteres trifft in 3200 *m* Höhe mit dem Ausgang des benachbarten westlichen Zirkustales zusammen, worauf dann der Bach Kokturpak aus dem letzteren in 3050 *m* Höhe in das Längstal Ssektör eintritt. In 3050 *m* Höhe findet das U-förmige Tal noch nicht seinen Abschluss.

Das Längstal des Ssektör nimmt die Schmelzwässer der nördlichen Eisströme des Nuratau auf, von Norden her münden in das erstere aus



einem grossen, weiten Muldental bloss unbedeutende Bäche. Oberhalb der Kokturpak-Mündung nimmt das Fluss, bezw. Firngebiet von heute und der Burkhan-Periode bedeutend mehr als 100 *km*<sup>2</sup> ein. (Fig. 26.) Dieser Umstand erklärt das weite Herabreichen des Muldentales, in welchem ein mächtiger Eisstrom tätig gewesen sein muss. Die nördlichen Eisströme des Nuratau enden in 3700—3800 *m* Höhe, die längeren unter ihnen wachsen bis 2 *km* an und füllen ihr Zirkustal vollständig aus. (Fig. 27.) Im Norden, also gegenüber auf dem Südabhang ist auch hier kein Firn vorhanden, wengleich die flachen Bergrücken sich auch hier bis zu 4400 *m*, zu gleicher Höhe wie der Nuratau, erheben. Auf dem Nordabhang dieses nördlichen Rückens sind sicherlich ebenfalls Eisströme vorhanden, jedoch hatte ich nicht Gelegenheit diese Seite zu besichtigen.

Das Längstal des Ssektör führt auf den Bajbitschebel, einen flachen, insgesamt 3610 *m* hohen Bergrücken. Es ist dies die Wasserscheide des Kitschine-Narin. (Fig. 28.) Von hier nach Osten führt das tiefe, steile Schluchttal des Tschitschardin. Die Seitenwände der Tschitschardin-Schlucht bilden die Ränder eines Hochplateaus. Das Plateau nimmt seinen Anfang in 4000—4100 *m* Höhe, in den Rumpfbirgen des Hauptrückens des Nuratau, an seiner tiefsten Stelle reicht seine in Gedanken rekonstruierte Oberfläche am Horizont des Bajbitsche-Passes bis zu 3600 *m*. Der Bajbitsche-Pass selbst befindet sich in der Sohlenlinie der plateauähnlichen Mulde. Nördlich des Passes dehnt sich eine zweite, gegen Norden sich erhebende Wand aus, welche in 6—7 *km* Entfernung auf dem Rücken des erwähnten nördlichen Ssektör-Gebirges endet. Auch dieser Rücken fällt allmählich nach Osten ab und verschmilzt im Horizont des Bajbitsche-Passes, in 3600 *m* Höhe mit dem vorerwähnten Plateauabschnitt. (Fig. 29.) Auch hier haben wir also Urtalmulden von Dimensionen, welche die heutigen um vieles übertreffen. Die Eisströme des Nuratau aus der Burkhan-Zeit waren in die Urtalmulde eingebettet und unterbrechen dessen gleichmässige Oberfläche mit ihren kleinen, parallel verlaufenden Muldentälern. Diese Muldentäler sind am Hang des Nuratau scharf vom Urtalboden abgegrenzt und bilden ineinanderfliessend, wenig tiefe Konkavitäten in den heute vollkommen firnfreien nördlichen Teilen.

### 9. Der Kitschine-Narin-Syrt.

Nördlich des soeben beschriebenen Nuratau und Djitimtau, südlich des Terskei-Alatau, dehnt sich der Kitschine-Narin-Syrt aus. Sämtliche Gewässer dieses Syrt sammelt in etwa 2500 *m* Höhe der Kitschine Narin-Fluss im nördlichen Tor des die Nura- und Djitim-Gebirge scheidenden Durchbruchtales. Die Länge des Syrt beträgt vom Ausgang des Burkhan-Tales bis zum Bajbitschebel des Nuratau 67 *km* nach von mir angestellten Messungen, in der Breite misst er aber durchschnittlich 15 *km*. Seine Form unterscheidet sich wesentlich von der auf seinen



bisherigen Darstellungen gebotenen, wo er fast so lang, als breit erscheint. (Die amtliche Vierzig-Werst-Karte lässt ein 90 Werst langes und 40 Werst breites Becken vermuten.) Der Syrt zerfällt — wenn man die Urtaloberfläche rekonstruiert — in zwei Teile, in das östliche Becken und den an eine Doppelmulde erinnernden westlichen Teil. Der Durchmesser des östlichen, beckenähnlichen Teiles beträgt  $20 \times 15$  km. Längs der NE-SW-Achse des letzteren fließt der Burkhangsu (2900—2600 m), an seinem Südrand der Dschelangatsch (3000—2600 m), am Westrand der Dscheletübessu (2900—2650 m), an seinem Nordabhang aber der wasserreiche Karagaman (3000—2670 m). Die Ränder des Beckens sind im Durchschnitt 3000—3300 m hoch gelegen. Die Flüsse strömen in schluchtartigen Betten. Der westliche Teil ist nahezu 50 km lang. Zwei Urtalböden von beiläufig gleicher Breite und Sohlentiefe, deren Ränder in 4200—4300 m Höhe liegen, ziehen sich von hier gegen Osten hin. In

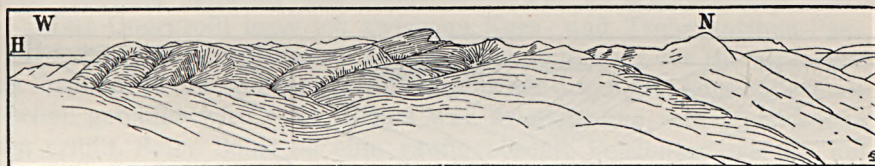


Fig. 28. Bajbitschebel, Aussicht gegen Nordwesten. H = 3610 m.

etwa 3600 m Höhe verschmelzen die beiden Talböden zu einer Ebene; diese Ebene senkt sich weiter gegen Osten und endet in etwa 3400 m Höhe am Westende des Beckens. Auf dem nördlichen Talboden und weiter östlich fließt der träge, stellenweise in wasserreichen, feuchten Wiesen sich verlierende Bach der Dscheletübe-Pfanne (3500—2900 m). Auf dem südlichen Talboden aber eilt der brausende Tschitschardin talwärts zur Schlucht des Kleinen-Narin (4000—2500 m). (Fig. 29.)

KAULBARS, vor mir der erste Forschungsreisende in diesen Tälern (1869), war der Meinung, der die beiden Urtalmulden trennende Rücken sei mit Firn bedeckt, der Nuratau aber firnfrei. Ich kann mir diesen Irrtum des berühmten Forschers nicht anders, als durch die Annahme erklären, er habe das Tschitschardin-Tal zu einer Zeit besucht (vor oder nach dem Monat August), da es mit Schnee bedeckt war und den Nuratau im folgenden Sommer von den in der Umgebung des Atbaschi gelegenen Bergen aus gesehen und habe nicht an den nördlichen Abhang gedacht. Ich fand am 29. August 1909 das ganze Plateau firnfrei. Den höchsten Punkt des Plateaus gelegentlich meiner Reise, erreichte ich auf 3940 m. Die sanften Böschungen und die tiefe Sohle der Tschitschardin-Schlucht sind mit ganz jungem Schutt bedeckt, so dass pleistozäne Ablagerungen auf der Oberfläche kaum zu finden sind.

Den erwähnten, 3940 m hohen Teil des Plateaus bezeichnen die Kirgisen mit dem Namen Kumbel, Sandiger-Rücken, wozu wohl die

ansehnlichen Schutt- und Schotter-Massen mögen Anlass gegeben haben. Auf dem ganzen Gebiet der nördlichen Sultanssary-Dscheletübe-Mulde und dem die beiden scheidenden Tepschibel konnte ich keinerlei handgreifliche Beweise für eine einstige Vergletscherung finden, obzwar ich mir darüber im klaren war, dass in der Burkhan-Zeit, in der einzelne Eisströme in unmittelbarer Nachbarschaft unter 3000 *m* herabreichten, der um tausend Meter höhere Kumbel, der 3500 *m* hohe Tepschibel vereist gewesen sein müssen. Junge, wohl alt-alluviale Ablagerung bedeckt die Talung vollkommen. Einzelne Felsklippen ragen als Inseln aus dem Schutt hervor. Der Bach fließt träge vorwärts, stellenweise stagniert er, Sümpfe bildend, vollständig. Sein östlicher Abschnitt führt den Namen Karasas. Hier breite sich der Tafeleis in der Burkhan-Zeit aus.

Ich halte es für unanfechtbar, dass der ganze Kitschine-Narin-Syrt in der Vor-Burkhan-Zeit (Akkija-Periode) von Firmmassen bedeckt war. In der Mündungsgegend des Karagaman und Burkhan erstreckt sich

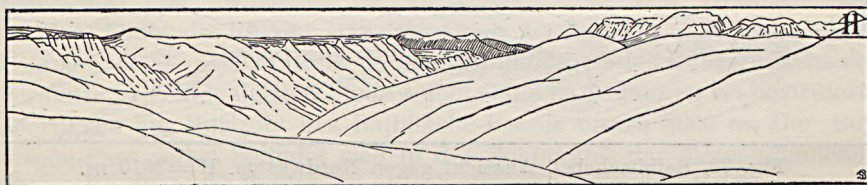


Fig. 29. Der Ssar-Kungej-Syrt und die Tschitschardin-Schlucht. Aussicht vom Bajbitschebel gegen Osten. H = 3610 *m*.

200 *m* (abs. 2840 *m*) über dem heutigen Niveau des Flusses ein Plateau als Teilstück der Urtaloberfläche. Der Burkhan fließt hier in einem Bett von mehr als hundert Meter Breite und wird von zwei Terrassen begleitet. Die höhere ist 30 *m* über dem Niveau des Flusses gelegen und besteht aus kubikmetergrossen Felsblöcken, reinem Glazialschutt. In diesem ist das Bett der Burkhan-Zeit, mit seiner 2—3 *m* hohen Terrasse, eingesenkt. Die Gerölle des Schotter der Burkhan-Terrasse erreichen selten einen Durchmesser von 30 *cm* und sind fluvioglazialen Ursprungs. Die Gerölle des heutigen Flussbettes zeigen selten einen Durchmesser von 10 *cm*. In 2730 *m* Höhe und 20 *km* Entfernung von der grossen Burkhan-Stirnmoräne glaube ich ganz sicher Gletscherspuren festgestellt zu haben.

In der Richtung des Dschelangatsch-Tales erhebt sich steil zu 2870—3240 *m* Höhe der Rand des Kitschine-Narin-Syrt. Das Dschelangatsch-Tal scheidet diesen von den genetisch ihm zugehörigen Teilen der Urtaloberfläche des Djitimtau. Das Dschelangatsch-Tal dürfte kaum präglazialen Ursprungs sein, oder wenigstens ist es zweifelhaft, dass die Einheitlichkeit, die das Tal heute aufweist, eine frühere sei. Die Uroberfläche im Neogen neigte sich, auf die Hänge des Djitimtau gestützt, der Gegend des heutigen Burkhan-Tales zu. Im Dschelangatsch-Burkhan-Zwischenland bieten die die Oberfläche bildenden har-

ten kristallinen Gesteine der Denudation trefflichen Widerstand, diese ragen einigermaßen aus der Oberfläche hervor und mögen gelegentlich der ersten Vereisung des Pleistozäns den Eisstrom nach Westen gelenkt haben. Soviel steht jedenfalls fest, dass die Urfläche älter ist, als das Dschelangatsch-Tal. (Fig. 30.)

#### 10. Das Narin-Tal zwischen Kitschine-Narin und Atbaschi-Mündung.

In der Kosakensiedlung Narinskoje verbrachte ich in den Jahren 1906 und 1909 fünfmal je eine Woche. Wenngleich ich diese Zeit der Ruhe und Erholung widmen musste — und jeder, der meine Reise einigermaßen mit Aufmerksamkeit verfolgt, kann feststellen, dass ich dieser Ruhe sicherlich bedurfte — konnte ich doch auf einigen kurzen Spaziergängen die Pleistozän-Ablagerungen der Umgebung näher kennen lernen. Ich nahm ein vollständiges Längs und Querprofil des Tales auf.

Das Querprofil legte ich zwischen Nura- und Tscharkaritma-Pass. Am Südhang des Nura-Passes befindet sich unterhalb des Hauptrückens des Nuratau ein ansehnliches Zirkustal, welches durch drei konvergierende Nischen gebildet wird. Der Zirkus war zweifelsohne vom pleistozänen Firn erfüllt. Seine Sohle ist eine sanftgeböschte Felslehne, welche auf der Südseite des Gebirges plötzlich in einem Rand endet. Unterhalb des Passes ist die Sohle des Zirkus in 3170 *m* Höhe, der äussere Rand in 3150 *m* Höhe gelegen, die beiden in 3 *km* Entfernung von einander. Diese wenigen Daten genügen zur Orientierung bezüglich des orometrischen Charakters. Die heutigen Bäche der beiden westlichen Nischen vereinigen sich noch im Zirkus, der Bach der östlichen Nische jedoch fliesst mit letzterem parallel bis an den Rand des Zirkus und vereinigt sich erst nachher mit diesem. Die Bäche rauschen in tiefen Schluchten dahin. Die Höhe der Aussenwand des Randes beträgt vom Niveau des heutigen Baches gerechnet 350 *m*. Der Eisstrom der Burkhan-Zeit gelangte bis an diesen Felsrand, erreichte also 3150 *m*. Die Arbeit der Schmelzwässer auf der Sohle des Zirkus war keine schwere, da das den Felsrand bildende, rote Tertiär-Konglomerat der auswaschenden Tätigkeit des Wassers nur geringen Widerstand leistet. Die den Zirkus verlassenden Bäche führen nach ihrer Vereinigung den Namen Orto-Nura. Dieser Bach eilt nach dem Verlassen des Hochgebirges in einem breiten, flachen Tal, welches er in den an den Fuss des Gebirges gelehnten Schuttgürtel tertiären und pleistozänen Alters gewaschen, dem Narin zu.

Westlich vom 2710 *m* Sohlen-Punkt des Orto-Nura-Tales beträgt die Höhe des Rückens der Schuttzone 2830 *m*, das Tor des benachbarten Tschet-Nura-Tales, durch welches der Bach das Nura-Gebirge verlässt, ist 2730 *m* hoch gelegen. Auch der Tschet-Nura entspringt einem pleistozän-glazialen Zirkus, dessen Boden sich auch aus der Entfernung aus nackten Oberflächenstücken rekonstruieren lässt. Die rückschreitende Erosion des



Fig. 30. Der Kitschine-Narin-Syrt. Der Aussichtspunkt ist ein Zeugenberg der Urtaloberfläche an der nördlichen Dyakbolot-Mündung. K = Karagaman-Tal, Aussichtspunkt der Fig. 30; B = Burkhan-Fluss von der Artschala, links die Deschelangatsch-Schlucht. H = 2870 m. (Anstatt N in der Mitte des Bildes sollte NE stehen.)

Tschet-Nura hat sich in seinen pleistozänen Taltrog noch weit mehr eingeschnitten, als der Orto-Nura. Auch hier stimmt die obere Grenze der Nadelwälder mit der unteren Grenze der vollkommen glatten Taloberflächen, also der Burkhan-Vereisung überein. Nach Austritt des Tschet-Nura aus dem Gebirge besitzt er ebenfalls ein breites Tal und wird von einer schönen Terrasse begleitet.

Von hier gelangt man in das Itschkessu-Tal; es ist dies das westliche Nachbartal. Der mit Nadelwald bewachsene Streifen ist sehr schmal, er ist zwischen den Niveaus von 2700 und 3200 m gelegen. Laubbäume konnte ich nicht beobachten, talwärts folgt dem Nadelwaldgürtel unmittelbar die *Lasiagrostis*-Zone. Der Rand des Nura-tau zeigt eine scharfe Grenzlinie. Das Vorgebirge hat bloss runde Bergmen, und eine wellenförmige Oberfläche aufzuweisen, die ihre Entstehung dem Einwirken der Erosion auf die lose gefügte, noch kaum verkittete Schuttanhäufung verdankt. Nur auf dem zwischen Tschet-Nura und Orto-Nura gelegenen Zwischenland erhebt sich ein Gebirgsblock auf breitem Sockel in über 3000 m Höhe. Die Höhe des Randes der Schuttzone beträgt 3000–3100 m und senkt sich allmählich gegen den Narin zu. In der Schuttzone lassen sich zwei Schichtengruppen unterscheiden. Die zweifelsohne ältere, grobkörnigere, stellenweise Konglomeratbänke enthaltende Schichtengruppe von grauem Aussehen, welche im allgemeinen bloss in

der Nähe des Fusses des Nuratau zu Tage tritt und ein steileres Fallen aufweist. Ihr Niveau ist 2600—3100 *m*. Auf dieser Schichtengruppe ruht diskordant ein vorwiegend gelblich gefärbter, sandiger, feiner gekörnter, vollkommen lockerer Schutt, oftmals so sehr wagerecht gelagert, dass er das Bild einer Seeablagerung darbietet. In dieser jüngeren Schichtgruppe vollführen die fliessenden Gewässer bereits eine ausgleichende Arbeit. Sie waschen breite, mit Gestrüpp bewachsene, oder auch kahle, flache, ebene Streifen aus und füllen sie wieder. Die Bäche des Nuratau versiegen hier grösstenteils vollkommen und nur gelegentlich sommerlicher



Fig. 31. Der Kitschine-Narin-Syrt von Norden. Im Hintergrund der Nuratau.

Regengüsse, plötzlicher Schneeschmelzen wälzt sich in ihnen der Strom. Eine dünne Lössdecke überzieht diese wüstenähnliche Zone und auf dieser bebauen die Kirgisen auch einige Joch Feldes mit Zuhilfenahme künstlicher Bewässerung.

Der Narin dringt nirgends in diese lockere Schuttzone ein, sondern schmiegt sich bereits von der Mündung des Kitschine-Narin eng an den Fuss des Alamischitau. Der Alamischitau ist auch in der Umgebung des Tscharkaritma-Passes grösstenteils kahl, fällt in auffallend glatten, gleichmässigen Bergwänden gegen den Narin ab, in welche die Erosion steilwandige Schluchten gegraben hat. (Fig. 33.) An der Oberfläche der Schuttzone konnte ich — innerhalb der genannten beiden Schichtgrup-

pen — weder über das relative Alter der Ablagerungen, noch über die Art der Entstehung sichere Anhaltspunkte finden. Von umso grösserem Werte und Ausdruckskraft war das Datenmaterial, dass ich im tief erodierten Bett des Narin-Flusses selbst, von der Mündung des Kitschine-Narin angefangen zu sammeln Gelegenheit hatte.

Im Niveau des Karatasch-Plateaus hat der Narin sein Bett durchschnittlich 400 *m* tief eingegraben. Denselben Wert erhalten wir beim Vergleich des Höhenunterschiedes der südlichen Muldentäler des Nura-tau und der rezenten Schluchten. Der Kitschine-Narin besitzt oberhalb seiner Mündung zwei sehr ausgedehnte Terrassen. Die obere Terrasse befindet sich etwa 50 *m* über dem heutigen Flussbett,<sup>1</sup> es ist dies eine fluviatile Auffüllung. Die untere Terrasse ist in 30 *m* Höhe gelegen, ihre Oberfläche bildet das eingeebnete Niveau roter Konglomerate, das

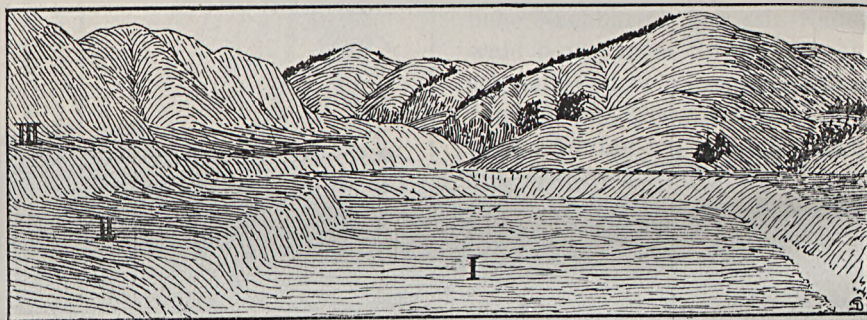


Fig. 32. Die Terrassen des Grossen-Narin-Flusses in der Karatasch-Schlucht.  
(+ 5, 20, 50 *m*.)

nur spärlich mit Löss und Schotter bedeckt ist. Die 2600 *m* hohe Oberfläche des Karatasch-Plateaus endet gegenüber der Mündung des Kitschine-Narin in einem steilen Felsrand und der Narin tritt zwischen 300 *m* hohen Felswänden hervor. In den zwischen den Felswänden befindlichen Windungen nahm ich 1909 auf die Höhen der Terrassen bezügliche Messungen vor und auch dort fand ich 50 *m* für die obere Terrasse, für die untere 20 *m*. Auch fand ich eine dritte oberhalb des Flussniveaus in 5 *m* Höhe. (Fig. 32.) Diese Terrassen entsprechen vollkommen den erwähnten des Kitschine Narin. Die beiden Narin fliessen auch nach ihrer Vereinigung noch bis zur Mündung des Kaündü-Baches in einem in rotes Konglomerat eingeschnittenen Bett, dringen jedoch auch in das festere Gestein der Wand des Karatasch-Plateaus ein.

In der Gegend des Schorbulak und Irissu (rechtseitige Nebenflüsse des Narin) gestaltet sich das Narin-Bett folgendermassen. Gegen Norden ist ein, auf ein Plateau hinweisender Rand sichtbar. Unterhalb desselben

<sup>1</sup> Im Winter 1906—7 besass ich kein Aneroid.

folgt eine abwechslungsreiche, durch fliessendes Wasser nicht eingeebnete Oberfläche (Decke der jüngeren Schichtgruppe), dann folgen nacheinander vier gleich hohe, in die Wandung der jüngeren Schichtgruppe eingeschnittene Terrassen bis an das Narin-Bett. Die linkseitigen Nebenflüsse besitzen 3 Terrassen. Auch bei der Mündung des Orto-Nura treten drei Terrassen in vorerwähnter Höhe auf und hinter der Mündung zeigen sich in grosser, mehrere hundert Meter betragender Höhe wagerecht gelagerte, blutrote Konglomeratbänke. Der Narin fliesst von der Orto-Nura-Mündung bis Narinskoje, ja sogar auch noch weiterhin, überall zu Füssen steiler Bergwände. Die Konglomeratschichten befinden sich auch hier meistens in wagerechter Lage. Nördlich Narinskoje in der Nähe der Poststrasse bestimmte ich zwar den Grad des Fallens einiger Schichtbänke mit 2–3° NW und beobachtete an den Bänken eines in unmittelbarer Nähe von Narinskoje gelegenen, kegelförmig ausgewaschenen Ber-



Fig. 33. Der Nordhang des Alamischitau mit dem Tscharkaritma-Joel (rechts).

ges ein Fallen der Schichten unter 15° WNW, dem Akkija gegenüber fallen die Schichten etwa unter 8° N ein. Der Schutt besteht aus überaus abwechslungsreich zusammengesetztem Material. Grober Kies, Mergel, Sand wechseln darin. Seine grosse Mächtigkeit — die ganze Masse darf wohl auf 500 m geschätzt werden — lässt es wahrscheinlich erscheinen, dass wir es hier mit Ablagerungen langer Zeiträume zu tun haben und zwar mit solchen fluviatilen und lakustren Ursprungs vermengt. An Fossilien sind diese Schichten, welche auch ich nach ihrem alten Sammelnamen Hanhai nenne, äusserst arm. Ich wenigstens konnte, nach zwar nicht sehr fleissigem Suchen, nichts in ihnen entdecken. Die Hanhai-Ablagerungen sind zweifelsohne pliozänen und möglicherweise noch höheren Alters. Das Pleistozän wird durch die Tieferlegung der Erosionsbasis und im Zusammenhang mit diesem Vorgang, durch die Ausbildung des heutigen Narin-Tales gekennzeichnet. Das vorpleistozäne Flusstal ist auf derselben Linie zu suchen, da ich gegen Norden in dem bis zum Nura-tau ununterbrochen an Höhe zunehmenden Gebirge keinerlei Spuren einer in der Längsrichtung tätigen Erosionsarbeit beobachten konnte.

Bei Narinskoje befindet sich die höchste Narin-Terrasse 90 m über dem Flussbett. Diese Terrasse lässt sich im Westen bis zu dem das Tal absperrenden, Akkija genannten Riegel verfolgen, dessen Decke

genau in 2190 m Höhe gelegen, sich in gleichem Niveau mit der höchsten Terrasse bei Narinskoje befindet. Auf einer Strecke von 12 km also ist diese Terrasse horizontal, während doch hiebei der Narin sich heute um etwa 200 m senkt (1990 m). Oberhalb Narinskoje zeigen die Überreste dieser Terrasse unebene Oberflächen, ihre Seitenwände werden von der durch abgewaschenen Schutt verursachten, sanften Böschung gebildet. Unterhalb dieser letzteren befindet sich die ausgezeichnete erhaltene, obere Terrasse von 50 m. Am ausgedehntesten ist die 20 Meter-Terrasse, auf dieser liegt auch Narinskoje. Zwischen

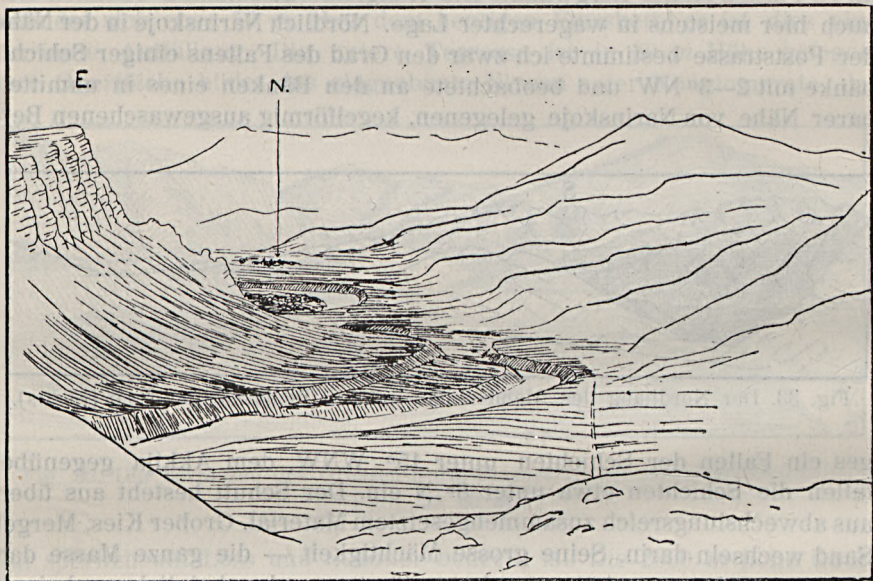


Fig. 34. Die Akkija-Stürrmoräne (im Vordergrund) und das Tal des Grossen-Narin-Flusses. N = Narinskoje.

Dorf und Fluss erhebt sich aus der Terrasse ein langer, niederer, dammartiger Hügel aus hartem, rotem Konglomerat. Die Böschungen des rezenten Bettes bestehen ebenfalls aus Konglomerat. Der Narin hat hier nach der Burkhan-Zeit mit seinen Schottern ebenfalls bloss ebend gewirkt.<sup>1</sup> (Fig. 33.)

Der obgenannte Akkija-Damm hatte bereits im Jahre 1906, als ich ihn zum erstenmale sah, mein Interesse erregt. Die Ostseite des Dammes ist steil, die westliche etwas sanfter gebösch. Er lehnt sich an die Karbonkalk-Wände des Alamischi-Gebirges und ist um hundertfünfzig Meter höher, als die Terrasse des Dorfes Narinskoje. Der Damm besteht aus 8—10° N fallendem, dünnbänkigem, rotem Sandstein. Der

<sup>1</sup> Földr. Közl. 1906. p. 314.

Narin durchbricht ihn in einer steilwandigen, tiefen Schlucht. Die Decke des Dammes ist flach und dieser Umstand eben ist überraschend. Granitblöcke von Kubikmetergrösse liegen im Gerölle aus gemischtem Material fauf einer Strecke von einem ganzen Kilometer. Die Höhe des Wessuses des Dammes beträgt 2070 *m*. Auf dem, dem Narin zugekehrnt Abhang des Alamischitau befinden sich Spuren zahlreicher Terrassen. Eine in der Nähe des Einganges zum Tscharkaritma-Tal, in 2200 *m* Höhe grauem, grobem, hartem Konglomerat aufgelagerte Terrasse entspricht der nördlichen in ähnlicher Höhe befindlichen Terrasse. Mit einem Wort, die hierorts befindlichen, höchstgelegenen Terrassen des Narin-Tales führen direkt auf den Akkija. Granit fand ich in der Umgebung des Akkija nirgends vor, somit können die hier befindlichen Riesenblöcke auch nicht als durch Bergsturz entstanden betrachtet werden. Schon in den etwas all zu eilig geschriebenen Reisenotizen meiner ersten Reise sprach ich den Akkija, ohne jede besondere Überlegung, als Stirn moräne an. Heute, nachdem ich weiss, dass der Akkija, im Falle meine Beobachtung richtig wäre, der tiefste von pleistozänem Gletscher berührte Punkt des Tienschan wäre, fühle ich mich zu einiger Vorsicht gezwungen. Unleugbar befindet sich hinter dem Rücken des Akkija das mächtigste Firnsammelgebiet des Tienschan. Dabei aber ist die heutige Schneegrenze und die Grenze der Vergletscherung hier bedeutend höher, als im nördlichen Tienschan, woselbst die Grenze der pleistozänen Vereisung nirgends das Niveau des Akkija erreicht hat. Ich teile meine Beobachtungen getreulich mit, ohne eine unbedingte Annahme meiner Folgerungen zu beanspruchen.

**Zusammenfassung.** Der Taragaj-Narin ist die mächtigste Längstalung des ganzen Tienschan-Gebirgsystems und können wir daher in ihm noch zahlreiche, in glaziologischer, wie in klimatologischer Hinsicht interessante Daten sammeln. Der mächtigste rezente Eisstrom, der Petrow-Gletscher, reicht etwas unter das 3600 *m* Niveau. Späteren, eingehenderen Untersuchungen bleibt es vorbehalten, zu entscheiden, ob der Vorläufer des Petrow-Gletschers aus der Burkhan-Zeit, der die heutige Djaktasch-Mulde einnahm, tatsächlich bis zum Taragaj-Talboden sich erstreckte, wie ich dies annehme und wie es aus meinen Beobachtungen, Berechnungen folgt. Im Gebiete des Kitschine-Narin konnte ich mit voller Gewissheit und Genauigkeit feststellen, dass die heute bis auf 3560 *m* herabreichenden Gletscher zur Burkhan-Zeit bis zum Niveau von 2870 *m* herabreichten, woraus auf die Ausdehnung des Djaktasch-Gletschers geschlossen werden kann. In allen auf den breiten Syrt des Djaktasch-Taragaj sich öffnenden Tälern befanden sich Eisströme im Burkhan-Zeitalter bis zum Eingang dieser Täler, woselbst die Talgletscher ineinanderfliessend das Plateau-Eis des Taragaj-Narin in riesiger Ausdehnung bildeten.

## III. Vergleichstabelle.

Tal	Obere Grenze der Steppengräser	Obere Grenze der Laubwälder	Obere Grenze der Nadelwälder	Untere Grenze der Schneefelder	Gletscherende	Grenze der V- und U-förmigen Täler	Stirnmoränen
1. Petrow-Arabel	—	—	—	3900	3600?	?	?
2. Djaktasch-Ssartör	—	—	—	4000?	—	3540	—
3. Djaktasch-Akkurgan	—	—	—	?	—	3450	—
4. Östl. Djamanitschke	—	—	—	?	3900	3500	—
5. Ischtik-Karaköl	—	—	—	4000	3850?	3600	—
6. Borkoldaj-Aschussaj	—	—	—	?	?	3500	—
7. Nördl. Tschakirkurum	—	—	—	?	3850?	3500	—
8. Borkoldaj-Karakol-Narin-Kaptschagaj	2500	—	2900?	?	3800?	3250	?
9. Süd. Tschakirkurum	—	—	—	?	—	3500	—
10. Kilentajrak	—	—	—	?	?	3400	II. 3470
11. Karatasch-Bajbitsche	—	—	2610	3700	—	2860	?
12. „ Kaschkassu	—	—	2610	?	—	2760	?
13. „ Tujuk	—	—	—	?	3800	3000?	?
14. Süd. Djakbolot	—	—	2800	?	—	2800	?
15. Irissu	—	—	2600	?	?	2600	II. (?) 2600
16. Burkhan	—	—	—	?	3560	?	I. 2730
17. Nordtal des Löczy-Berges	—	—	—	?	3600?	3000	II <sub>1</sub> 2870, II <sub>2</sub> 3200, II <sub>3</sub> 3440, II. 3000
18. Dschelangatsch-Keng	—	—	—	3800 (3400)	3800	2900	II. 2900
19. Kokturpak	—	—	—	3800	—	3000?	?
20. Ssektör	—	—	—	3800	3700	3000?	?
21. Tschitschardin	—	—	—	?	3700	?	?
22. Orto-Nura	2700	—	3150	—	—	3150	?
23. Grosser-Narin-Burkhan	2500	2200	2900	?	3560?	2900?	I <sub>1</sub> 2100, I <sub>2</sub> 2730, II <sub>1</sub> 2870

Auf der III. Vergleichstabelle zeigen die unter „V und U-förmige Täler“ angeführten Täler sehr hohe Werte, diese bedeuten jedoch nichts anderes, als die Höhe der Taleingänge der U-förmigen Trogtäler. Im Osten, in der Umgebung des Taragaj-Syrt reichten die Eisströme herab bis auf das Niveau von 3200—3500 m, in den Gebirgen westlich des Kaptschagaj bis auf 2600—3000 m, auf den Südabhängen bis auf 2800—3200 m.

Spuren der der Burkhan-Vereisung vorausgehenden Akkija-Vereisung zeigt das Grundmoränengebiet des Kitschine-Narin-Syrt, das Karatasch-Plateau und die Akkija-Stirnmoräne. In der Tabelle ist letztere mit I., die Stirnmoräne der Burkhan-Moräne mit II. bezeichnet.

## D) Das Becken des Atbaschi und des Grossen-Narin.

### 1. Das Ulan-Tal.

Der 3690 *m* hohe Bajbitschebel des Alamischitau bildet die Wasserscheide zwischen Narin und Atbaschi. Der Passrücken ist auch hier asymmetrisch, die steilere, tiefer greifende Bergwand befindet sich an der Südseite. Diese unterhalb des Passes, auf der Südseite befindliche Übertiefung wird durch die, aus einem unmittelbar neben dem Haupt Rücken gelegenen Zirkustal ihren Ausgang nehmende Erosion verursacht. Heute sind in 3900 *m* Höhe, also 200 *m* über dem Passe, die Berge ausnahmslos mit Firn bedeckt. Auf dem Grunde der tiefen Felsnischen aber befinden sich in 3650 *m* Höhe beständige Schneefelder. Dies konnte ich in der zur Beobachtung geeignetesten Zeit, am 5. September 1909 feststellen. Hier auf der Nordseite ist die Firnmenge bedeutend geringer als auf der Südseite. Die höchsten Gipfel des Alamischitau erheben sich auf den südlichen Nebenrücken, die Zirkusse sind umfasst von den Hauptrücken und den südlichen Nebenrücken, mehr geschützt vor Sonnenstrahlen und Wind.

Unterhalb des Bajbitsche-Passes befinden sich mächtige, eisgeschliffene Rundhöcker. Auf dem kahlen Felsgrund des Trogtales, in den sich der Bach einschneidet, sind die Spuren des Eises in grosser Anzahl sichtbar. Die untersten Gletscherspuren (Eisschliff) fand ich in 3200 *m* Höhe, das Trogtal jedoch setzt sich weiter fort, in 3090 *m* Höhe wendet es sich nach Südwesten und mündet in das Ulan-Tal.

Der Bajbitschessu erreicht den Ulan-Fluss in 2810 *m* Höhe, vorher jedoch muss er eine mächtige, 100 *m* über dem Ulan gelegene Terrasse durchbrechen. Diese Terrasse nahm mein Interesse zuerst in Anspruch, da es eine vollkommene Analogie des oberhalb des Akkija befindlichen Abschnittes des Narin-Tales bildet. Die riesenhafte Terrasse des Ulan scheint in ihrer ganzen Ausdehnung aus rotem Konglomerat aufgebaut zu sein. Die Konglomeratbänke zeigen, wie ich beobachten konnte, vorwiegend ein steiles Fallen, im ganzen Tal in NW-Richtung. Der Grad des Fallens beträgt stellenweise sogar 40°. Dabei steht es ausser Zweifel, dass soweit das Auge von der Mündung des Bajbitsche reicht, die Wände des Ulan aus hellem Kalkgestein bestehen, dass also das rote Konglomerat am Aufbau des Gebirges nicht beteiligt ist. Es füllt das Ulan-Tal gänzlich aus, ist aber gleichmässig abradiert. Der Ulan schneidet eine 100–120 *m* tiefe Schlucht in dasselbe, so dass es einer wirklichen Terrasse ähnelt. Die Oberfläche der grossen Terrasse ist uneben, eine leicht gewellte Fläche, jedoch kann unschwer beobachtet werden, dass alle Hügel eine gleiche Höhe aufweisen und dass das Gefälle heute ein weit grösseres ist, als jenes der Konglomerat-Oberfläche gegen das Atbaschi-Becken zu. Das Ulan-Tal ist muldenartig,

die Bergwände sind die gleichmässig abgestumpften Nebenrücken des Gebirges. Zweifelsohne eine auf Vergletscherung hinweisende Talform. Das in das Konglomerat eingetiepte Flussbett besitzt eine bedeutende fluviatile Terrasse. Die Wände des Konglomerates sind in dieser Schlucht voller Rinnsale, Folgeerscheinungen der Arbeit des Schmelz- und Regenwassers. Diese Wasserrisse werden durch die rückschreitende Erosion unaufhaltsam gegen das Gebirge vorgetragen.

Der Burkhan-Gletscher des Bajbitschessu kann wohl nicht in den Ulan gemündet haben, da die Konglomeratfläche keinerlei Spuren einer



Fig. 35. Aussicht von dem Bajbitsche-Pass gegen Süden.

Vergletscherung aus dieser Zeit aufweist, hauptsächlich aber, weil in diesem Falle bemerkbare Spuren eines Zusammentreffens der beiden Gletscher an der Talmündung vorhanden sein müssten. In der Umgebung des Bajbitschessu ist heute die Obergrenze der Nadelwälder etwa in 3000 *m* gelegen. Hier befindet sich auch das Ende des Trogtales und ich denke, hier wäre auch das Ende des Burkhan-Gletschers zu suchen.

Von den nördlichen Nebentälern der Ulan-Talung besuchte ich auch noch das Költör benannte. Dieses Tal beginnt mit dem aus unterhalb des Hauptrückens des Alamischitau konvergierenden Nischen gebildeten Zirkustal, nach welchem ein mehrere Kilometer langes, durch einen Schuttdamm abgesperrtes Trogtal folgt. Den grössten Teil des Trogtales bedeckt der Lilly-See, ein 300 *m* breiter und etwa 2 *km* lan-

ger Alpensee, dessen Spiegel sich in 3050 *m* Höhe befindet. Den Schuttdamm betrachtete ich, angesichts des Umstandes, dass das Material vollkommen einheitlich ist und ganz mit dem Gestein der beiden Talseiten übereinstimmt, als durch einen Bergsturz entstanden. Angesichts jedoch des Umstandes, dass allem Anscheine nach die mittlere Zone des ganzen Alamischitau einheitlich aus Karbonkalk besteht, was sich nachträglich bei der Konstruktion der geologischen Querschnitte herausstellte und was ich an Ort und Stelle noch nicht in Betracht zog, ist dies noch kein Beweis für die Annahme eines Bergsturzes. Der das Tal absperrende Damm



Fig. 36. Fortsetzung der Fig. 35.

dürfte sich wohl kaum zufälliger Weise am unteren Ende des glazialen Trogtales befinden. Auch sein Niveau von 3050 *m* entspricht vollkommen der Grenze der Burkhan-Vereisung des benachbarten Bajbitschetales. Der Damm hat gegen den Seespiegel zu eine Höhe von 50 *m* (3100 *m*). Hierher mündet von Osten her auch ein ebenfalls glaziale Form aufweisendes, kleineres Zirkustal, welches durch denselben Damm abgesperrt wird, so jedoch, dass die Sperrung unvollkommen bleibt und nicht die Anstauung des kleinen Baches zur Folge hat.

Unterhalb des Schuttdammes, dessen Deckenhöhe 3100 *m* beträgt, befindet sich in 2890 *m* Tiefe ein kleines, verschüttetes Seebett. Drei kleine Lachen bilden Reste des einstigen Moränensees. Die Stauung des Wassers des unteren kleinen Seebeckens mag allenfalls noch glazialer Schutt

verursacht haben, heute jedoch befinden sich an der Oberfläche Schuttkegel, die von den steilen Hängen des hier plötzlich in V-Form übergehenden, schluchtartigen Tales kommend, sich ansammeln und ein neuerliches Stauen des Baches hervorrufen.

Im steilen, tiefen Tal fand ich, bezeichnend für das heutige Klima der Südhänge des Alamischitau, am 6. September (1909) ein noch fest gefügtes Schneefeldchen in 2850 *m* Höhe. Unterhalb des unter dem verschütteten Seebett gelegenen Schuttkegelpaares, befindet sich im Niveau von 2870 *m* ein kleiner See von etwa 100—120 *m* Länge und 30—40 *m* Breite, welcher zweifelsohne durch ein Schuttkegelpaar alluvialen Alters aufgestaut wurde. Das erwähnte Schneefeld befindet sich noch unterhalb desselben, es nimmt das Költör-Bett gänzlich ein, der Bach schlüpft unter dem Schneefeld hindurch und die Mächtigkeit des Schneefeldes beträgt über dem Bache 8—10 *m*. Der Költör verlässt unweit unterhalb des Schneefeldes bereits die Schlucht und schneidet den unteren Abschnitt seines Bettes in die Terrasse der roten Konglomerate. Er schliesst die letzteren in seinem Bette gut auf. Hier auf der Westseite beobachtete ich ein Fallen von 85° (NW), zweifelsohne ein Beweis, dass die Konglomeratbänke starken tektonischen Störungen ausgesetzt waren. Im Ulan-Tale ritt ich auf der durch die Oberfläche abradierter Konglomerate geschaffenen Terrasse noch einige *km* nach Westen bis zum Punkte von 2740 *m* Höhe und stellte fest, dass die Terrasse auf diesem Abschnitte ein Gefälle von 17 *m* pro Kilometer aufweist, also den rezenten Ulan begleitet, während sich eine andere, höhergelegene Oberfläche von der Terrasse allmählich ablöst, welche ihre ursprüngliche Höhe von etwa 2900 *m* beibehaltend, in Gestalt flacher Hügelrücken weiter zieht nach Westen, dem Atbaschi-Becken zu.

## 2. Der westliche Djangidjir.

Der Djangidjir entsteht aus der Vereinigung des Dügüreme mit dem Akbeit und ist ein ebenbürtiger Nebenfluss des Ulan. Auch der Akbeitssu entsteht aus dem Zusammenfluss der Gewässer zweier grossen Täler, das erste ist der vom Djangidjir-Pass kommende Akbeit, das zweite der Akkorum. Das Akkorum-Tal scheidet die Gebirge Ssaritasch und Kubergenty. Aus einem Zirkustal mit 3600 *m* Sohlenhöhe entspringen zwei Bäche, der nördliche und südliche Akkorum. Die Wässer dieses Zirkustales verteilen sich auf den Aral-See und den Lopnor, da der nördliche Akkorum zum Sammelgebiete des Narin, der südliche aber zu dem des Tauschkandarja gehört. Die Kirgisen nennen auch diesen Talungsabschnitt „dscheilö“, da der Talgrund breit und flach ist. Auf der sumpfigen, nassen Wiese schlängeln sich die Bäche in tragem Lauf dahin, so dass man die Wasserscheide fast nicht wahrnimmt. Das Zirkustal wird von abwechslungsreich gegliederten Bergen aus Karbonkalk umgeben, deren

Rücken durchschnittlich 4000—4100 *m* Höhe erreichen. Aus ihren kleinen Nischen leuchten Firnfelder hervor, die sich jedoch nicht zu Eisströmen entwickeln.

Das die Wasserscheide enthaltende Zirkustal schliesst sich mit breitem Tor an ein folgendes, bedeutend breiteres Zirkustal von etwas geringerer Sohlenhöhe (3560 *m*) an. Auf dem Grunde des letzteren entstand eine nach Norden an Tiefe stetig zunehmende Schlucht, an deren im Schatten gelegenen Orten kleine, perennierende Schneefelder leuchten. Die Schlucht durchschneidet, einen das Tal absperrenden Felsriegel. Die Deckenhöhe des Felsriegels beträgt 3560 *m*, liegt demnach in gleichem Niveau mit der Sohlenhöhe des Zirkustales. Der Felsriegel bildet eine bedeutende Talstufe. Der vor kurzem noch ziemlich trüg fliessende Bach eilt hier in raschem Laufe dahin, um sich jedoch bald wieder zu beruhigen, da er in das unter dem Felsriegel in 3330 *m* Höhe gelegene, verschüttete Seebett mündet. Das Tal wird hier von Schutt bedeckt, welcher auch das Seebett entzweiteilt, wobei sich das Wasser der beiden Teile auf dem mittleren Schuttdamm in einem unterirdischen Bett vereinigt. Das in seiner ganzen Länge mit Schutt bedeckte Trogtal des Akkorum vereinigt sich in 3150 *m* Höhe mit dem Akbeit dessen Züge dem ersteren sehr ähnlich sind.

Nach der Wassermenge und dem Aussehen der umliegenden Berge geurteilt, befinden sich heute im Akbeit kaum bedeutendere Eisströme, doch leuchten auch dort aus den Nischen der Bergrücken Firnfelder hervor. Sowohl im Akkorum, als im Akbeit hat das Wasser des Baches zweifelsohne in glazialen Schutt eine tiefe Schlucht ausgewaschen. Den unteren Abschnitt des Djangidjir charakterisiert dasselbe Bild. Breites, trogartiges Tal, dessen Sohle in mächtiger Lage von glazialen, eine wellige Oberfläche bildendem Schutt bedeckt wird. Zwischen den Hügeln fand ich auch einen kleinen See in 2960 *m* Höhe, 7 *km* oberhalb der Mündung des Djangidjir. Der Fluss eilt ständig in einer Tiefe von 60—80 *m*, am Boden einer Schlucht dahin. Die aus Süden kommenden Bäche der grösseren Nebentäler durchschneiden ebenfalls den Schutt, können jedoch mit der Erosion des wasserreichen Djangidjir nicht Schritt halten. Unmittelbar vor der Mündung biegt der Djangidjir nach Nordwest ab, da ihm hier eine mächtige Stirnmoräne den Weg vertritt. Das Wasser des Djangidjir fliesst hier rascher, da das Niveau des Ulan tiefer liegt. Die Decke der Stirnmoräne befindet sich in 2960 *m* Höhe und liegt um 150 *m* höher, als das heutige Niveau des Djangidjir. Der heute rasenbedeckte Moränenendamm kann nicht mehr als dem Djangidjir-Gletscher der Burkhan-Zeit angehörig betrachtet werden. Das ganze Tal des Djangidjir ist Moränenboden, darüber dürften kaum Zweifel herrschen. Der Gletscher der Burkhan-Zeit jedoch dürfte kaum bis zu dem Niveau von 2900 *m* herabgereicht und die 2900 *m* Stirnmoräne aufgeführt haben, da meiner Ansicht nach die in 3500—3600 *m* Höhe

gelegenen Firnsammelkessel kaum im Stande waren, das zwischen 2900—3200 *m* Höhe gelegene, 30 *km* lange Haupttal mit Eis zu füllen. Aus den nördlichen Nebentälern des Ssaritasch dürften die Eisströme der Burkhan-Zeit bis an den Rand des Haupttales herabgereicht haben, was ihre Talstufen und ihr Aussehen auch tatsächlich beweisen, die Arbeit des grossen Talgletschers jedoch ist höheren Alters, sie konnte sich nicht neuerdings entwickeln. Ich muss demnach das Alter der grossen, das Tal sperrenden Djangidjir-Moräne in die Akkija-Zeit verlegen. Es ist bezeichnend, dass in der Gegend der Vereinigung des



Fig. 37. Die Fluvioglazialen Terrassen des Nördl. Bogushti. In der Mitte des Bildes der Atbaschi-Fluss. Hintergrund: Alamischitau.

Akbeit, Düngüreme und Akkorum die Vereisung der Burkhan-Zeit nicht mit den gewohnten, scharfen Grenzen auftrat.

### 3. Die Umgebung des Araschanbel.

Zwischen der langen Gebirgskette Üjürmentau und der Ssaritasch-Gebirgsgruppe öffnet sich eine tiefe, weite Scharte, durch welche sich der Ulan-Fluss hindurch schlängelt um sich hier mit dem Balikssu zu vereinigen und den Namen Atbaschi anzunehmen. Dieser Abschnitt des Flusses befindet sich im 2600—2650 *m* Niveau. Der Rand des riesigen Aksaj-Plateaus bildet hier zugleich den Rand des Atbaschi-Beckens

und durch diese Scharte führen zahlreiche Pfade auf den Aksaj. Am 2. Dezember 1906 stieg ich auf einem dieser Pfade empor, jedoch in tiefem Schnee und entsetzlichem Schneesturm. Diese Winterexkursion, deren topographische und klimatologische Resultate, wie ich annehme, wertvoll sind, konnte in glaziologischer Hinsicht keinesfalls gleichwertig sein mit jenen der Sommerexkursionen. Zu glaziologischen Beobachtungen, sowohl auf solche pleistozänen, als auch rezenten Alters bezüglich, eignet sich zweifelsohne die zweite Hälfte des Sommers am besten. Bei der genannten Gelegenheit benützte ich zu dem Aufstieg den Krdschol-Pass. Drei Jahre später, am 29. September 1909, durchquerte ich, aus Kelpin kommend, den benachbarten Araschanbel. Die Resultate beider Exkursionen sind folgende.

Der vom Tüssaschu bis zum Kajnar sich hinziehende Gebirgsrand war während der Burkhan-Zeit nicht vereist, es fehlen ihm die frischen Nischen und Spuren der Moränenanhäufung. Heute beträgt die Höhe, des den Rand bildenden Rückens 3200—3300 Meter, auf der Nordseite liegt die obere Grenze der Nadelwälder in 3100 *m* Höhe.

Zwischen dem Mündungsgebiet des Ulan und Balikssu und dem Atschakamandi, erheben sich Hügel auf einem aus Phylliten und Karbonkalk bestehenden Sockel. Die Oberfläche der Hügel bedeckt loser Schutt. Das Aussehen dieses Hügellandes weist auf glaziale Ablagerung hin. Die Schuttanhäufungen werden allseitig von den umliegenden, hohen Bergen durch Talungen abgesondert. In dieser Schuttanhäufung die ich nicht näher in Augenschein nehmen konnte, ahne ich die aus der Akkija-Zeit stammende Moräne des Ulan.

#### 4. Das nördliche Bogushti-Tal.

Die Höhe des Bogushti-Passes des Üjürmentau beträgt 3860 *m*. In seiner Umgebung erheben sich sämtliche Bergrücken über 4000 *m* und tragen zweifelsohne auch heute noch kleinere und grössere Firnfelder. Ein echter Talgletscher ist im Bogushti-Tal jedoch nicht vorhanden. Unterhalb des Passes befindet sich ein weites, aus zwei Nischen konvergierendes Zirkus-Tal, das, als ich es besuchte, noch vollständig vom Winterschnee bedeckt war (29. Mai, 1909). Der Zirkus ist etwa 7 *km* lang und zeigt in seinem Tore Spuren einer Stirnmoräne in 3530 *m* Höhe. Unter letzterer aber setzt sich das Trogtal fort. Die Oberfläche des Trogtalgrundes erlangte infolge allmählichen Eintiefens des Baches ein terrassenähnliches Aussehen.

Am Rande des Atlaschi-Beckens befindet sich das Niveau des Bogushti-Baches in etwa 2800 *m*, die Sohlenfläche des Trogtales aber in etwa 3000 *m* Höhe und diese Glazialfläche breitet sich hier aus, als Zeichen dessen, dass der pleistozäne Gletscher bis an den Rand des Atlaschi-Beckens vordrang. Unterhalb dieser glazialen Sohlenfläche

folgt plötzlich eine Böschung, deren bedeutender Teil mit Glazialschutt bedeckt ist. Der untere Rand des Schuttgesteins erreicht beim Nord-Boguschti-Tal das Niveau von 2500 Meter. Der steile Hang bildet zugleich die Nadelwaldzone des Ostabschnittes des Üjürmentau, welche sich genau dem Hang und hiemit dem Niveau von 2500—3000 *m* anpasst. Unterhalb dieses Hanges folgt die Schotterwüste, eine grösstenteils fluvioglaziale Akkumulation, in welche die dem Atbaschi-Flusse zu-eilenden Bäche steilwandige Gräben von 20—30 Meter Tiefe einschneiden. (Fig. 37.)

Das nördliche Boguschti-Tal war demnach im Pleistozän zweifels-

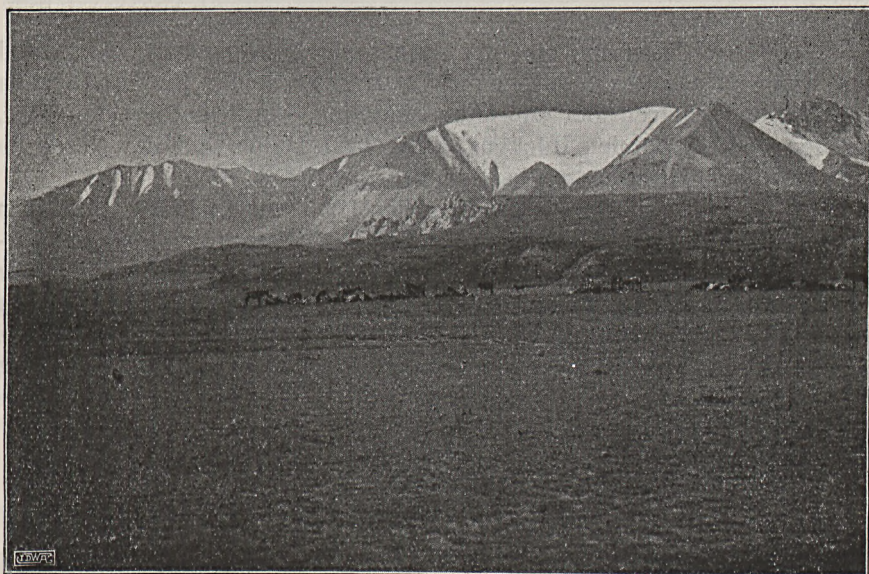


Fig. 38. Der Nordhang des Kurpetau (Zirkustal, Burkhan-Moränen und Arpa-Syrt).  
Aussichtspunkt 3160 *m*.

ohne in seiner ganzen Ausdehnung vereist. Zwei Vereisungen lassen sich jedoch hier kaum feststellen, wenigstens nicht nach so flüchtiger Untersuchung, wie der meinigen. Die Akkija-Vereisung kann also von der Burkhan-Zeit nicht getrennt werden, da die in 3530 *m* Höhe gelegenen, spärlichen Stirnmoränen-Reste nicht als Grenze der letzteren angesehen werden können. Anbetracht dessen, dass die Gletscher im Ulan-Tale bis auf 3000 *m* herabreichten, scheint eine Vereisung von so geringem Masse ein Ding der Unmöglichkeit. Ich bin der Ansicht, dass die Stirnmoräne in 3530 *m* Höhe bloss ein Rückzugsstadium bedeutet; die bis zu 2500 *m* Höhe (die Zahl bedeutet das untere Niveau des Schuttes der den Steilhang erreichenden Stirnmoräne) erforschte, maximale Ausdehnung jedoch ist ein Resultat der Akkija-Zeit.

### 5. Das Basch-Keltebuk-Tal.

Im Südwestabschnitt des Üjürmentau befinden sich sehr hohe Berggipfel und Bergrücken. Den höchsten Gipfel schätze ich auf 5500 *m* und in dessen Umgebung beträgt auch die Höhe des Hauptrückens des Gebirges 4400—4800 *m*. Der tiefste Pass, der Taschrabat selbst liegt in 3930 *m* Höhe, der Basch-Keltebuk-Pass aber liegt 4150 *m* hoch. Vom Atlaschi-Becken aus lässt sich beobachten, dass dieses Hochgebirge von einer ganzen Reihe von Firnfeldern und kleineren Nischengletschern geschmückt wird, jedoch fand ich weder auf dem



Fig. 39. Fortsetzung der Fig. 38.

Boguschti, dem Basch-Keltebuk, noch aber auf dem Taschrabat Eis auf meinen quer durch das Gebirge führenden Wegen. Wie ich erwähnte, ist dies auf den Boguschti bezüglich nicht ganz sicher, jedoch wahrscheinlich. Im Üjürmentau liegt demnach die Schneegrenze ungewöhnlich hoch.

Unterhalb des Basch-Keltebuk-Passes befindet sich im Norden ein weites Niscental. Die Nische ist voller Moränen, ihr tiefster Punkt befindet sich in 3630 *m* Höhe, unterhalb dessen ich eine schönentwickelte Stirnmoräne vorfand. Unterhalb der Stirnmoräne beginnt das Trogtal des Basch-Keltebuk, in welches kleinere und grössere Täler einmünden. Im dritten und vierten östlichen Tal befinden sich heute Nischengletscher (Tujuktör). In 3350 *m* Höhe vereinigen sich fünf konvergierende Niscentäler, das Tal des Passes mit eingerechnet und

diese bilden zusammen einen mächtigen Zirkus von glazialen Äusseren. In der Umgebung der Vereinigung dieser Täler fand ich keine den Stirnmoränen ähnliche Anhäufung. Der Typus des Tales gleicht vollkommen jenem des Nord-Boguschi: ein geräumiger Trog, mit ständiger Grundmoräne und einem Bach, dessen Bett in letztere eingeschnitten ist. Moränenanhäufungen von grösserer Ausdehnung fand ich jedoch um vieles tiefer, in 3050 *m* Höhe im Eingang des Tales „Tujukajrik“. Unterhalb dieses Punktes traf ich keinerlei glaziale Spuren mehr an. Die nördliche Gebirgskette des Üjürmentau ist der schmale Karbonkalk-Rücken



Fig. 40. Trogtal der Nördl. Ssujok und Fladenmoränenzone des Arpa.

des Aktasch, den auch der Basch-Keltebuk in einer Schlucht durchbricht. In 2685 *m* Höhe traf ich den ersten Busch von *Lasiagrostis* an und mit diesem zugleich nimmt das steppenartige, kiesbedeckte Gebiet seinen Anfang. In 2440 *m* Höhe mündet der Basch-Keltebuk in den über-tiefen, von hohen Terrassen begleiteten Karakoin.

## 6. Das Taschrabat-Tal.

Den Taschrabat-Pass überschritt als erster OSTEN-SACKEN im Jahre 1867. Auch unser Landsmann LADISLAUS BERZENCZEY dürfte im Jahre 1874 über den Taschrabat-Pass nach Kaschgar gelangt sein. Das einzige Tal des Üjürmentau, welches den Hauptgebirgsrücken vollkommen durch-

bricht und bis zum südlichen Vorgebirge dringt, ist das Taschrabat-Tal. Die Höhe des Passes beträgt auch so noch 3930 *m*. Das Quellgebiet des Taschrabat ist heute ein firnfreies, geräumiges Zirkustal, dessen Sohlenhöhe 3620 *m* beträgt. Das dem Zirkustal entspringende Trogtal vereinigt sich mit mehreren konvergierenden Nischentälern. Der Bach hat sich in den Moränenboden tief eingeschnitten und wendet sich nach Vereinigung mit den erwähnten Tälern, in 3240 *m* Höhe nach NNW. In der Physiognomie des Tales treten auch noch weiter hin solche Linien zu Tage, die auf einen glazialen Ursprung hindeuten. Der Talabschnitt unzweifelhaft fluviatilen Ursprungs beginnt erst bei 3030 *m* Sohlenhöhe, woselbst der Fluss in eine Felsschlucht eintritt. Am unteren Eingang dieser Schlucht nehmen die Terrassen, das aufgeschüttete und eingeebnete Gebiet des Atbaschi-Beckens ihren Anfang. Stirnmoränen traf ich im Taschrabat-Tal keine an. Zur Zeit meiner Reise (13. Mai) lag noch zu viel Winterschnee, so dass ich mir auch bezüglich der heutigen Schneegrenze kein annähernd klares Bild schaffen konnte. Ausserdem nahm in diesem, jedenfalls sehr mühevollen Abschnitt meiner Reise, die sehr komplizierte Tektonik des Gebirges meine an sich schon gestörte Aufmerksamkeit ganz in Anspruch.

### 7. Arpa-Syrt.

Am Westende des Kurpetau trägt der östliche der beiden Ssujok-Pässe die russisch-chinesische Grenze und die Narin-Tarim-Wasserscheide. Der westliche, höher gelegene Pass (3990 *m*) bildet die Scheide zwischen Karadarja und Narin. Dieser westliche Pass ist zwar firnfrei, jedoch zeigen sich bereits in den benachbarten, mehr geschützten Tälern ähnlicher Höhe Anfänge kleinerer Nischengletscher. In Bezug auf die Vereisung zeigt die Nord- und Südseite des Kurpetau einen riesengrossen Unterschied.

Der Ssujok-Pass befindet sich am Rande eines mächtigen Zirkustales. Auf dem Boden des Zirkustales vereinigen sich in 3550 *m* Höhe die Bäche der auch heute noch teilweise mit Firn bedeckten Nischentäler. Der Gegensatz ist vom Tarim-Becken her kommend, auch heute noch ein auffallender. Hier eilen geschwätzig die Schmelzwässer der Firnfelder über grüne Alpenwiesen, während kaum eine halbe Tagesreise von hier und in ähnlicher Höhe bereits alles dürr ist. Auch die Spuren des pleistozänen Gletschers sind ausgeprägter und ausgedehnter. Der in 3550 *m* Höhe gelegene Zirkustalboden bedeutet noch nicht die Grenze der pleistozänen Vereisung. Vom Zirkustal geht ein schönes Trogtal aus und dieses nimmt erst nach Vereinigung mit einem anderen Trogtal, in 3400 *m* Höhe die V-Gestalt eines Erosionstales an. Der Bach des letzteren mündet kurz darauf in das schottererfüllte Tschongtör-Tal. (Fig. 40.)

Das Tschongtör-Tal ist sehr geräumig; es nimmt das Schmelzwasser zahlreicher kleinerer Eisströme auf. In der Nähe der Ssujok-Mündung besitzt es bereits zwei mächtige Terrassen (20 und 50 *m*). Sein pleistozäner Gletscher muss bis auf 3400 Meter herabgestiegen sein. Der Ssujok tritt in 3200 *m* Höhe hinaus auf den Rand des Arpa-Syrt. Vorher aber nimmt er noch zwei von dem Nordhang des Kurpetau kommende Gletscherbäche auf. Im Pleistozän war der Kurpetau vom Scheitel bis zur Sohle mit Eis bedeckt. Auch oberhalb der Mündung der beiden Gletscherbäche fand ich in 3210 *m* Höhe Spuren von Stirn-*moränen*.

Die rezenten Eisströme des Kurpetau reichen herab bis auf 3600—3800 *m*. Im Pleistozän entstand zu Füßen des Berges bis an den in 3150—3200 *m* Höhe ü. d. M. gelegenen Rand ein zusammenhängender *Moränengürtel*. Besonders im Kuguntasch-Tal reichen die Eisströme tief herab und erreichen hier ganz sicher 3600 Meter. Der Rand des *Moränengürtels* liegt hier in 3150 *m* Höhe. Der pleistozäne Gletscher des Kuguntasch schob seine Massen auf den Arpa-Syrt, auf welchem er sich ausbreitete. Daher kommt es wohl, dass der Niveauunterschied zwischen dem pleistozänen und dem heutigen Gletscherende kein bedeutenderer ist. Der Gletscherbach gelangt nach Verlassen des *Moränengürtels* sofort zwischen fluviale Terrassen, zwei an der Zahl. Ich muss hier erwähnen, dass sämtliche vom Kurpetau nördlich fließende Bäche zwei Terrassen aufbauten. Ähnlich sind auch die pleistozänen Gebilde des Kisiltübessu. (Fig. 38—40.)

Besondere Erwähnung verdient jedoch das Djagalmaï-Tal. Der rezente Gletscher reicht auch hier ausserordentlich tief herab, möglicherweise auch noch unter 3600 Meter. Der Eisstrom entspringt einem geräumigen, Firn sammelnden Zirkustal. Vor dem Eisstrom breitet sich eine mächtige *Stirn*moräne** aus, hinweisend darauf, dass der Eisstrom auch in den letzten Jahrhunderten noch von bedeutender Ausdehnung gewesen sein muss. Unterhalb der *Stirn*moräne** und seitlich erheben sich zur Höhe von einigen hundert Metern eisgeschliffene, höckerige Bergrücken und zeugen von einer einstigen starken glazialen Abrasionstätigkeit. Von der *Stirn*moräne** gehen zwei Bachbetten aus, welche einige hundert Meter von einander entfernt, auf breiter, aufgeschütteter Schotterfläche talwärts eilen. Es ist dies ebenfalls ein Zeichen rezenter Bettveränderung, die Schmelzwässer eines Gletschers von unbeständiger Ausdehnung können an verschiedenen Stellen der *Stirn*moräne** den Weg ins Freie finden. Die gemeinsame Talsohle der beiden Betten wird zu beiden Seiten von mächtigen *Seiten*moränen** begleitet, welche bis zur Vereinigung des Djagalmaï und Mustör reichen (ca 3200 *m*). Der pleistozäne Eisstrom des Djagalmaï trat demnach nicht bloss hinaus auf den Arpa-Syrt, sondern drang auf demselben noch 5 *km* vor. Die zwischen Djagalmaï und Mustör befindliche *Moräne* ist nicht bloss

eine Anhäufung unverkennbar glazialen Ursprungs, es befinden sich auch noch kleine Seen auf ihrer unebenen Oberfläche. Im Zwischenraum der grossen Seitenmoränen befinden sich jedoch auch fluviatile Terrassen, die niedrigere derselben ist zwar ganz unbedeutend, die höhere aber begleitet die Moräne auf charakteristische Weise bis zum Ende. Ich sehe in diesem Umstand einen Beweis für das Schwanken der Burkhan-Vereisung, eine interglaziale fluviatile Ablagerung. Meiner Ansicht nach sind die Seitenmoränen (im Raum zwischen Djagalmaj und Mustör Mittelmoräne) Ablagerungen der auf dem Rande des Arpa-Syrt sich ausbreitenden, fächerförmigen Endung der vereinigten Gletscher des Mustör und Djamalgaj. Nach dem Rückzug des Gletschers entstehen infolge fluviatiler Erosion zwischen den Moränen breite Täler und es kommt die Schotteranhäufung, welche das Niveau der höheren Terrasse bildet. Diese Anhäufung weist auf die Senilität des fliessenden Wassers hin. Die Erosion tritt dann verjüngt wieder in Tätigkeit und dies steht mit der Entstehung der in der Talung im Raume zwischen den alten Moränen etwa bis in die Höhe von 3250 *m* reichenden Stirnmoräne im Zusammenhang. Im benachbarten Mustör-Tale fand ich vollkommene Identität der Verhältnisse in Bezug auf das Landschaftsbild und den Aufbau. Verhältnismässig geringfügige pleistozäne Gletscherschwankungen andeutende Erscheinungen dieser Art bewogen HUNTINGTON zu der Annahme einer grossen Anzahl von Vereisungen. Die hier skizzierte Schwankung dürfte jedenfalls innerhalb der sogenannten Burkhan-Zeit vorsichgegangen sein.

#### 8. Bitschanssu.

Der Tschitti-Pass der Fergana-Kette (3860 *m*) ist dem Namen nach auf den russischen Militärkarten schon seit Langem bekannt. Der östlich dieses Passes abfallende Nebenrücken ist die Wasserscheide des Arpa- und Bitschanssu, die beiden bilden nach ihrer Vereinigung den Alabuga-Fluss.

Unterhalb des Tschitti-Passes im Norden fand ich ein mächtiges Zirkustal, zweifelsohne glazialen Ursprungs. Aus dem Zirkustal mag in nordöstlicher Richtung ein kleinerer Eisstrom geflossen sein. Die Wasserscheide des Bitschanssu und Arpassu, der Tüssbel, liegt in 3130 *m* Höhe, ihr nördlicher Hang ist unterwaschen, steil, während sie sich gegen den Arpassu langsam und gleichmässig senkt. Am Nordfusse des Tüssbel beginnt in 2900 *m* Höhe der auf ausschliessliche Erosion des fliessenden Wassers hindeutende, V-förmige Talabschnitt. In 2540 *m* Höhe nehmen die fluviatilen Terrassen ihren Anfang.

Fast sämtliche Bäche des Bitschanssu entspringen aus glazialen Zirkustälern, die rezente Vereisung jedoch ist ausserordentlich gering. Vom 3100 *m* hohen Scharbel aus konnte ich auf der im Raume zwischen Arpa-Kaptschagaj und Bitschanssu sich erhebenden Gebirgsmasse einen einzigen kleinen Nischengletscher beobachten.

### 9. Das Kogart-Tal.

Der bestbekannte Pass der Fergana-Bergkette ist der 3100 *m* hohe Kogart, welchen bereits mehrere Forschungsreisende beschrieben. Die Länge des Passrückens beträgt nahezu 5 *km*. Er liegt auf einem gleichmässig 3100—3200 *m* hohen Bergrücken, zwischen zwei beiläufig 3400 *m* hohen Bergspitzen. Auf beiden Seiten dieses Rückens befinden sich Zirkustäler glazialen Ursprungs. Das Tor des westlichen Zirkus liegt in 2100 *m* Höhe, der östliche liegt etwas höher, etwa 2200 *m* hoch. Die Bergwände sind abgerundet, auf dem Osthang fand ich in 2800—2900 *m* Höhe typische Rundhöcker. Auf diesem Niveau befinden sich in der Bergwand Felsterrassen. Die Vereisung zeigt demnach zwei Zeitabschnitte, einen älteren, da das Eis die Zirkusse gänzlich erfüllte und einen jüngeren, da an den Wänden des Zirkustales bloss kleinere Vorhanggletscher vorhanden waren. Die klimatologische Schneegrenze mag in diesem zweiten Stadium zweifelsohne etwas tiefer gereicht haben, als in der im Süden von MUSCHKETOW besuchten Sseid-Gegend (3200 *m*), mindestens bis zur Höhe von 3100 *m*, dem tiefsten Punkte des Rückens. Den Boden des östlichen Zirkus bedeckt grober Schutt, dessen gemischtes Material den glazialen Ursprung wahrscheinlich erscheinen lässt.

Ich fand am Nordhang des östlichen Kogart-Tales, auf einer 2310 *m* hohen Scharte ähnliches grobes Geröll. Hier scheint bei vorherrschender sanfter Böschung die Annahme eines Bergrutsches ausgeschlossen. Kalksteinbrocken von der Grösse eines Kopfes liegen hier mit Phyllit, Kalksteinschiefer und dunkelgrauem Kalkstein vermengt. Der Schutt scheint identisch mit jenem zu sein, den ich als Material der am Boden des Zirkustales befindlichen Moräne antraf. Dieser Fund erlaubt anzunehmen, dass der Eisstrom des älteren Pleistozäns auf den Gebirgsrand geflossen sei. Der ältere pleistozäne Talboden, auf welchem der Eisstrom herausgekommen sein mag, befindet sich an diesem Ort bereits 300 *m* über dem heutigen Kogart-Tal. Nördlich des 2310 *m* hohen Passes besteht die Basis des gegen den Kaldamassu geneigten Tales aus Phyllit, Phyllitbreccia, dunkelgrauem Kalk, Kalkschiefer und weissem Kalkstein (die drei letztgenannten Gesteine sind karbonischen Alters), welchem ungefalteter Sandstein und Konglomerat aufgelagert ist, ein Resultat pliozäner Denudation. Infolge Vorhandenseins mächtiger Steinblöcke im Sandstein entstehen an den an Wasserrissen reichen Ufern Erdpilze und Erdpyramiden. Dem Sandstein sind diskordant, unregelmässig zerstreut, ungeschichtete Schottermassen aufgelagert, die fluvioglazialen Ursprungs zu sein scheinen. Der fluvioglaziale Schotter bildet ein sich ausbreitendes Hügelland, welches sich nicht nach den Tälern der Kaldama-Gegend richtet. Gegen den Togustorau zu wird es von an Mächtigkeit zunehmendem Löss bedeckt. Die heutigen Täler

sind in dem Hügellande durch Erosion entstanden. Aus umgelagertem Schotter wurden hier Terrassen gebildet. Ihre Zahl beträgt zwei.

Der Terrassen des westlichen Kogart-Tales soll im Zusammenhange mit dem Fergana-Becken an anderer Stelle Erwähnung getan werden.

#### 10. Das Tschitti- und Bitschan-Tal.

Der 3860 *m* hohe Tschitti-Pass ist ein echter Kamm-Pass, auf dem felsigen, kammartigen Rücken befindet sich kein tiefer gelegener Einschnitt. Auf der Nordseite dieses Passes liegen tiefe Zirkustäler, mit nach Norden geöffnetem Tor: der Ssemiss (Bodenhöhe etwa 2700 *m*) und ein unbenannter Zirkus (Bodenhöhe 3000 *m*). Auf den Ost- und Westhängen des Rückens befinden sich Spuren glazialer Nischenhöhlungen, die Nebenrücken sind viel zu kurz, als dass sie echte Zirkustäler umfassen könnten. Unterhalb des Rückens des Tschitti-Passes zieht sich im Osten eine Längstalung hin, welche das Bitschan-Tal mit dem Arpa-Syrt verbindet. Ich fand für die Höhe des höchsten Punktes der Sohlenlinie der Talung 3130 *m*. Es ist dies der Tüsbel. Die Nordseite des Tüsbel endet mit einer steilen Bergwand, während sich an seiner Südwestseite ein gleichmässiges, leichtgeneigtes Trogtal hinzieht, in der Richtung gegen den Arpa-Syrt. Der pleistozäne Gletscher des Tschitti-Rückens reichte auf den Tüsbel herab, hierauf weisen auch die auf dem flachen Talboden zerstreuten Steinblöcke hin. In der Nähe seines Nordrandes, wo die Talung ihre grösste Enge erreicht, fand sich ein Gletscher der Fergana-Kette dem Eisstrom des Djaman-Dawan-Gebirges gegenüber. Auf diese Weise konnte die verdoppelte Erosion die Asymmetrie des Tüsbel hervorgebracht haben. In der Burkhan-Zeit mögen hier die Eisströme tiefer, etwa bis auf 2900 *m* herabgereicht haben, während sich auf der Südwestseite in 3050—3100 *m* die Spuren ihrer Endung vorfinden.

Auf der Westseite sah ich zwei schöne Trogtäler, Tajgak und Agatau mit Namen. Das Tajgak-Trogtal endet ebenfalls in einer Höhe von etwa 3000 *m*, mit einer steilen Talstufe. Der Boden des Zirkustales liegt 3270 *m* hoch. Die Länge des Burkhan-Gletschers mag 5 *km* überstiegen haben. Unterhalb der das Ende des Burkhan-Gletschers bezeichnenden Talstufe befindet sich eine Schlucht mit Nadelwald. In 2830 *m* Höhe weitet sich das Tal in V-Form wieder aus und befindet man sich hier schon in der Zone der Laubbäume.

In der Umgebung des Tschitti-Passes ist kein Firn vorhanden, der Rücken besteht bloss aus steilen Hängen, Felswänden. Oberhalb des Ssemiss-Tales jedoch beobachtete ich einen stumpferen, firnbedeckten Berg und auch in dessen Nachbarschaft einige Firnfelder, jedoch alle auf der Nordseite. Die Schneegrenze befindet sich demnach im Norden etwa in 3800 *m*, auf der Südseite jedenfalls über 3900 *m*. In der Burkhan-Zeit mag sie sich, angesichts der Sohlenhöhe und der Nischen

der Zirkustäler (im Norden 3000 *m*, im Süden 3270 *m*) nicht sehr viel von den Höhenwerten 3150—3200 *m* entfernt haben.

**Zusammenfassung.** Das neogene Becken des Grossen Narin und das benachbarte Atbaschi-Becken waren während der ganzen Eiszeit zweifelsohne vollkommen eisfreie Gebiete. Alamischitau, Kurpetau und Fergana-Kette sind jene Gebirge, auf welche sich meine auf die beiden Vereisungen der Akkija- und Burkhan-Zeit bezüglichen Feststellungen hauptsächlich stützen. Bezüglich der Altersbestimmungen der einzelnen Glazialspuren muss ich bemerken, dass es mir bloss auf der Nordseite des Kurpetau und in der Umgebung des Tschitti-Passes gelang, die Ausbreitung der Burkhan-Vereisung mit voller Sicherheit festzustellen. An diesen Orten ist die Grenze eine ganz scharfe. Auch in der Ulan-Gegend ist die Feststellung der maximalen Vereisung als sicher anzunehmen, auf Grund der Stirn- moränen des Djangidjir in 2900 und des Nord-Bogushti in 2500 *m*.

#### IV. Vergleichstabelle.

Täler	Obere Grenze der Steppengräser	Obere Grenze der Laubwälder	Obere Grenze der Nadelwälder	Untere Grenze der Schneefelder	Gletscherende	Grenze der V- und U-förmigen Täler	Stirnmoränen
1. Ulan	2570	?	3000	?	?	?	I. 2600?
2. Ulan-Bajbitsche	—	—	3000	3650	3900?	3090	?
3. Költör	—	—	—	?	?	2950	II. 2950
4. West-Djangidjir	—	—	—	3560	—	—	I. 2900, II. 3330
5. Nord-Bogushti	2500	—	3000	?	?	?	I. 2500, II. 3530
6. Basch-Keltebuk	2685	—	3000	4030?	?	3050	II. 3600
7. Taschrabat	2900	—	3000	4000?	—	3030	—
8. Ssujok-Arpa	2350	—	2800?	3900	3950	3400	—
9. Djagalmaj-Arpa	2350	—	2800?	3900	3600—700	3200	—
10. Bitschanssu	2350	—	2900	3700	?	2900	—
11. Ost-Kogart	2100	—	2300	—	—	?	—
Fergana:							
12. West-Kogart	1800	?	2100	—	—	?	—
13. Tschitti	2400	2830	3000	3700	—	3000	—

#### E) Die Üsüngegusch-Akssaj-Tschatirkul-Gegend.

##### 1. Üsüngegusch-Karassaj.

Im Raume zwischen dem Süd-Borkoldaj-Gebirge und dem „Bedel-Bogen“ (KEIDEL) des Kokschtaltau ist die Üsüngegusch-Talung gelegen. Über das Vorhandensein dieser 70 *km* langen Talung von 20—30 *km* schwankender Breite war uns vor meiner Winterreise im Jahre 1906 garnichts bekannt. In glaziologischer Hinsicht gehört dieses Gebiet

zweifelsohne zu den interessantesten Gegenden des Tienschan, dem die nach mir kommenden Reisenden in erster Linie ihre Aufmerksamkeit zuwenden müssen. Überhaupt wird die 250 *km* lange Gebirgskette des Kokschartau als eine sowohl hinsichtlich pleistozäner, als auch rezenter Vereisung nunmehr, nach den Forschungen FRIEDERICHSEN'S, HUNTINGTON'S, MACHATSCHEK'S und den meinigen am wenigsten bekannte und an glaziologischen Daten reichste Gegend, in Zukunft das dankbarste Gebiet für ähnliche übersichtliche Aufnahmen bilden. Umsomehr, als ich ja auf meiner Reise im Jahre 1906 nicht einmal ein Aneroid besass, so dass die Gruppierung der beobachteten Phänomene nach deren Niveau nicht einmal annähernd möglich war. Trotzdem aber teile ich hier, dem Rate v. RICHTHOFEN'S folgend,<sup>1</sup> die auf Hunderter abgerundeten Daten mit.

Der flache, beiläufig 3600 *m* hohe, die Täler des Bosdjalpak und Karassu scheidende Pass ist ein aus den die ganze Üsüנגegusch-Bedel-Talung ausfüllenden roten Konglomeraten ausgewaschener, flacher Rücken. Gegen Westen wird das erwähnte, etwa 3600 *m* hoch gelegene Plateau des roten Konglomerates durch fluviatile Erosion zerstückelt. Der Hauptfluss, der Karassaj strebt dem Südrande der Konglomerat-Füllung zu, so dass die ausgewaschenen Rücken quer zu der Talung gerichtet sind. Die zwischen diesen befindlichen Quertäler vertiefen sich gegen Westen zu allmählich. Ansehnliche Firnfelder des Süd-Borkoldaj-Gebirges speisen diese Talungen mit ihren Schmelzwässern und ist somit die Intensität der Erosion keine geringe. Die Nebenflüsse sind: Itschkessu, Aschussu, Kajnar, Emegen, alles Flüsse mit breitem Bett, schotterreichem Inundationsgebiet, ohne Terrassen. Das Tal des Itschkessu ist reich an romantischen Konglomerat-Ruinen, welche an die Felsgebilde der Sächsischen-Schweiz erinnern. In dieser Gegend gehen a'le glazialen Talformen schnell zugrunde und der eisverfrachtete Schutt wird schnell verschüttet. Die Tätigkeit der Gletscher des Süd-Borkoldaj-Gebirges wird auf diesem lockeren Untergrund und bei einer Schuttbildung von solcher Grösse kaum leichterdinge erkenntlich sein. Dazu kam noch, dass gelegentlich meines Besuches dieser Gegend alles von Schnee bedeckt war. Möglicherweise ist dieses Fehlen der Glazialformen in der Üsüנגegusch-Karassaj-Talung ein negativer Beweis für die Vereisung, denn in einem Tal, dem Tassmadschon, fand ich eine schöne Trog-Form.

Im Raume zwischen Üsüנגegusch und Karassaj befindet sich ein

<sup>1</sup> „Es ist aber weit befriedigender, auf einer Karte des Reiseweges die relative Höhe der Gipfel in einem Bergzug beispielsweise, zu 2000 *m* mit einer möglichen Irrung von 200 *m* zu viel oder zu wenig, angegeben zu sehen, als deshalb, weil der Verfasser aus übermässiger Gewissenhaftigkeit nur das genau Bekannte angebracht hat, in der Vermutung über die Höhe des aufgezeichneten Gebirges von 500 *m* bis 3000 *m* schwanken zu müssen“. NEUMAYER'S Anleitung zu wiss. Beob. auf R. III. Aufl. p. 231.

reich gegliederter Bergrücken von wenigstens 4600—4800 *m* Höhe, auf welchem sich auch heute noch Gletscher befinden. Die Schneegrenze ist hier heute jedenfalls höher gelegen, als in den benachbarten Gebieten im Westen, Norden oder Osten. Ich schätze ihre Höhe auf der Nordseite auf 4100 *m*, sie dürfte kaum niedriger verlaufen. Am Nordfusse dieses Bergrückens befindet sich ein tiefes Schluchttal, in welches sich die Schmelzwässer der Nischengletscher des vorerwähnten Bergrückens ergiessen. Das Schluchttal durchschneidet auch die, nach dem sie aufbauenden roten Konglomerat „Kisil-bel“ benannte Gegend, ich nenne es daher Kisilssu. Das Schluchttal des Kisilssu ist aussergewöhnlich tief. Ich schätze die Tiefe im Gebiete des Kisilbel auf 300 *m*, 5 *km* weiter talwärts auf 500 *m*. Die Schlucht des Kisilssu scheidet das erwähnte Hochgebirge von dem Plateau-ähnlichen, flachen Trogtal des Tasmadschon. Wenn wir die teilweise auch heute noch vereisten Trogtäler des Hochgebirges und den Trog des Tasmadschon zusammen betrachten, werden wir gewahr, dass sich bloss die Kisilssu-Schlucht zwischen zwei, einst einheitliche Berghangabschnitte einkeilt. Das Tasmadschon-Trogtal war zweifelsohne einstmals von Eis bedeckt. Hier herrschte pleistozäne Vereisung, auch ihre Spuren jedoch gehören in die Kategorie der unsicher umschriebenen, der verwischten. Ich betrachte diesen Trog als einzigen Rest der Burkhan-Vereisung, den ich in dem inneren Gebiet zwischen den beiden Gebirgsketten wahrnahm. Auf dem über den Kisilssu sich erhebenden Hochgebirge kann man gut beobachten, dass die glazialen Zirkustäler der Burkhan-Zeit unter die heutigen Nischen-Gletscher weit herabreichen, welche dort 3500—3600 Meter, das heisst gerade das Niveau des Kisilbel mögen erreicht haben.

## 2. Der Tura-Gletscher und der obere Abschnitt des Üsüngegusch.

Der Tschong-Tura-Gletscher gehört, abgesehen von den Riesen der Khantengri-Gegend in die Gruppe der grössten Eisströme des Tianschan. Seine Länge beträgt mindestens 15 *km*, ich selbst legte einen Weg von 6 *km* auf seinem Rücken zurück. Aus mächtigen, zwischen über 5000 Meter sich erhebenden Gebirgsrücken gelegenen Zirkustälern kommend, vereinigt er zahlreiche Zweige und reicht in Begleitung mächtiger Seitenmoränen, wenigstens bis auf 3300 Meter herab. Sein unterer Abschnitt wird auf einer Strecke von 2 *km* vom Schutt bereits vollkommen bedeckt. Unterhalb des Tschong-Tura traf ich ein breites Trogtal, mit verschüttetem Seebett auf dem Talboden und unterhalb desselben, etwa in 3050 *m* Höhe eine gut erhaltene, vollständige Stirnmoräne. Die Entfernung der Stirnmoräne vom heutigen Gletscherende beträgt beiläufig zwei Kilometer. Auch bei der Tschong-Tura-Mündung befindet sich ein mächtiger Moränenhügel. Der wasserreiche Fluss,

dessen Überschreitung in der zweiten Hälfte des Novembers, als die Temperatur bereits seit Wochen auf  $-15-20^{\circ}$  C gesunken war, noch immer keine leichte Sache ist, hat sich ein breites Bett in die Moräne gewaschen. Die Hügelrücken erheben sich wohl auf mehr als hundert Meter über den Fluss, auf ihnen liegen grosse Blöcke ( $5-10 m^3$ ) zerstreut.

Der Üsüנגegusch-Fluss gelangt unterhalb der Tschong-Tura-Mündung in ein engeres, trogähnliches Tal. Es scheint mir, dass sich hier noch das Bett des Gletschers der Burkhan-Zeit fortsetze. Westlich des Tschong-Tura folgt in  $5 km$  Länge das moränenbedeckte, breite Tal des Üsüנגegusch. Der erste Nebenfluss desselben ist oberhalb des Tschong-Tura der Kitschine-Tura. Zwischen Tschong-Tura und Kitschine-Tura, in der Nachbarschaft des Kitschine-Tura sind die Moränenhügel verwaschen, terrassiert, unmittelbar hinter dem Kitschine-Tura jedoch erhebt sich wieder eine Stirnmoräne von ziemlicher Ausdehnung. Es scheint die letztere nicht eine Stirnmoräne des Kitschine-Tura, sondern eine der verlassenen Stirnmoränen des Haupttales des Üsüנגegusch zu sein, jedenfalls stammt sie aus der Burkhan-Zeit.

Oberhalb der Üsüנגegusch-Stirnmoräne, in der Höhe von einigen hundert Metern erhebt sich ein burgruinenförmiger Felsturm, von den Kirgisen Ksilompol genannt. Ksilompol besteht aus roten Konglomerat-Bänken, Reste eines die ganze Üsüנגegusch-Gegend einst in grosser Mächtigkeit bedeckenden Gesteins. Dieser Konglomerat-Koloss sitzt auf einem Kalkstein-Rücken des unteren Karbons. Ich kletterte, das Heulen des Windes nicht achtend, welcher auf den Felsscharten des Ksilompol eine höllische Musik hervorbrachte, zu dem Fusse des Ksilompol empor. Hier bot sich mir ein volles Rundbild. Die Höhe des Ksilompol dürfte nach meiner Schätzung  $3600 m$  betragen. Die Eisströme des Kitschine-Tura entspringen aus einem mit Firn vollkommen bedeckten Gebirge und enden heute in einem Niveau ( $3600 m$ ) mit dem Aussichtspunkte. Unterhalb der Gletscher folgen konvergierende Trogtäler, deren Vereinigung den Kitschine-Tura bildet. (S. Földr. Közlem. 1908., p. 21—23. u. Fig. 8.)

Die Üsüנגegusch-Talung ist auch westlich des Kitschine-Tura ein moränenbedecktes Trogtal. Es wird auch heute von den Schmelzwässern  $5-10 km$  langer Gletscher gespeist. Diese Gletscher dürften in der Burkhan-Zeit das anderthalb Kilometer breite Üsüנגegusch-Tal zweifels- ohne vollkommen ausgefüllt haben.

Das geräumigste Tal des Üsüנגegusch ist der Trog des Kössu, den ich zweimal beging. Der Trog des Kössu ist ein Teil des bereits erwähnten Kogeletschab-Syrt. Die Höhe der Wasserscheide des Kilentajrak (Narin-Karakol) und des Kössu beträgt nicht mehr, als  $3700 m$  und ist ein flacher, mit Seen reichlich besetzter Moränenrücken, von welchem der Burkhan-Gletscher nach Norden bis auf nahezu  $3000$

*m* herabreichte. Das heutige Tal des Kössu entwickelt sich aus dem die Gewässer scheidenden Rücken allmählich zu einem Trogtal mit flachem Boden und in einer Länge von 12 *km* fliesst sein Bach in seinem rasenbewachsenen, mit Granitblöcken besäten Bett sich windend dahin. Im Norden lagern die Schmelzwässer der von der plateauartigen Firnmasse des Süd-Borkoldaj-Gebirges herabhängenden kleinen Gletscher einen sumpfigen Schuttgürtel ab, während im Süden sich ein trockenes, welliges Hügelland ausbreitet. Die grossen Eisströme des Kokschartau senden heute ihre Gewässer in das hinter diesem Hügelland gegrabene, tiefe Bett. In 3450 *m* Höhe schneidet der Kössu bereits einen Cañon in den Talboden und stürzt sich nach einigen Kilometern schäumend in das übertiefte Üsüנגegusch-Tal. (S. das Panoramabild in Földr. Közlem., 1907, Taf. XVI.)

Es ist bezeichnend, dass ich am Rande des Süd-Borkoldaj-Gebirges, sowie auf dem Durchschnitt des Kilentajrak-Tales keinen Granit vorfand. Die Granitblöcke des Kössu mögen vielleicht mit den Kokschartau-Gletschern an ihrem jetzigen Ort gelangt sein. Der am Nordfusse des Kokschartau sich gegen den Üsüנגegusch, bezw. gegen den Akssaj hinziehende Graben wiederum, welcher seine heutigen Schmelzwässer ableitet, konnte nicht in der Burkhan-Zeit entstanden sein, da diese Vereisung bei ihrer nicht überaus bedeutenden Ausdehnung nicht fähig gewesen wäre, eine so grosse Arbeit in verhältnismässig kurzer Zeit zu vollenden. Ich muss also auch hier Spuren zweier Vereisungen annehmen.

Die Rekonstruktion des Werdeganges der Üsüנגegusch-Talung ist voll und ganz nur auf Grund eingehenden Studiums der dortigen Konglomerate möglich. Das rote Konglomerat zeigt sich von Westen her in 3500 *m* Höhe über dem Cañon des Kössu. Von hier beginnend befindet sich das Trogtal des Kössu auf den roten Konglomerat-Bänken und sein Cañon ist in dieselben eingeschnitten. Die Sohle des Kisilompol befindet sich in 3600 *m* Höhe und besteht aus nach Norden einfallenden Bänken. Auch an der Nordseite des Üsüנגegusch kann man überall die Schichtenköpfe der nach Norden einfallenden (10—15°) Konglomerat-Bänke beobachten. Dasselbe kann unterhalb des Karakosu-Passes beobachtet und auf dem benachbarten Krkmojnok nach Osten bis zum Bedel verfolgt werden. Grünlichgrauer Sandstein befindet sich zu unterst, auf diesem folgt das nach Norden zu sich auskeilende rote Konglomerat, dann wieder der vorerwähnte Sandstein, endlich, nun schon in bedeutender Mächtigkeit neuerdings roter, oft ganz hellroter Sandstein und Konglomerat. Auf den ersten Blick lässt sich erkennen, dass das Konglomerat unmittelbar vor der pleistozänen Vereisung am Nordfusse des Kokschartau einen zusammenhängenden Schuttgürtel bildete. Akssaj, Üsüנגegusch und Akschirjak bildeten demnach auch im Pliozän eine zusammenhängende Talserie. Am mächtigsten sind die Konglomerate vor den

Bergriesen des Tschong-Tura, hier liegen sie sogar noch in 4000 *m* Höhe, auch der Kisilompol ist an die 3800 *m* hoch. Dieser Ort der Schuttzone mag einst sicherlich eine Wasserscheide in der Talserie gebildet haben. Das Schluchttal des Üsüngegusch ist bei der Durchschneidung des Kokschartau auch auf die obersten Konglomerat-Bänke ohne Einfluss, war also zur Zeit der Ablagerung derselben noch nicht vorhanden. Befindet sich doch der mächtigste Schutt gerade der Schlucht gegenüber. Nun sind aber alle Täler von heute in das aus dieser Schuttzone gebildete Konglomerat eingebettet. Die Spuren der aus der Ablagerungszeit des roten Konglomerats stammenden Taloberfläche sind auf den plateauartigen Bergen des Üsüngegusch zwischen dem Aktasch und den Tura-Bergriesen gut erkennbar. Hier stimmen alle Felsplateaustücke mit dem Fallen der Konglomerate überein. Auch die zweite Taloberfläche, welche nach den Konglomeraten entstand, lässt sich gut aus den Rücken ausnahmslos identischer Höhe der Karassaj-Gegend rekonstruieren. In dem nach Norden sich neigenden Schuttgürtel bildete sich eine zwischen 3800—3400 *m* gelegene, SW—NE gerichtete Talreihe (S. Reiseskizz. aus Zentralasien, VII., Földr. Közl. 1907, p. 21—23., Fig. 8.).

Die heutige Verbreitung der Konglomerate, besonders die vielen, wiederholt umgelagerten, roten Konglomerate in der Bedel-Gegend deuten darauf hin, dass die Neigungsrichtung des Tales NE war. Der dritte und vierte Zeitabschnitt im Lebenslauf dieser Talung ist die Entstehung der Üsüngegusch-Schlucht und die totale Vereisung. Diese beiden Zeitabschnitte können allenfalls auch einen einzigen bedeuten, natürlich können jedoch ohne Kenntnis der Üsüngegusch-Schlucht diesbezüglich keinerlei Folgerungen gezogen werden. Im dritten-vierten Zeitabschnitt entsteht unmittelbar am Fusse des Kokschartau der neue Cañon. In Anbetracht dessen, dass wir aus dem Gebiete des Kössu eine, wenigstens einigermaßen wahrscheinliche Angabe darüber besitzen, dass der Cañon jüngeren Alters ist, als die erste (Akkija) Vereisung, darf angenommen werden, dass etwas weiter östlich, in der Gegend des Üsüngegusch-Karassaj der neue Cañon aus demselben Grunde entstanden sei. Demnach wäre also auch der Üsüngegusch-Durchbruch pleistozänen Alters. Die Folgerungen weiter zu führen wäre nur mit Zuhilfenahme der Phantasie möglich. Erwähnen muss ich jedoch, dass der Üsüngegusch-Durchbruch zu Beginn der Ablagerung der roten Konglomerate vielleicht bereits vorhanden gewesen sein mag, er wurde bloss verstopft; hierauf erstrecken sich meine Erörterungen nicht.

Sicher jedoch ist, dass die roten Konglomerate in ihrer Totalität tertiären Alters sind.

### 3. Süd-Akkorum und Karakorum.

Die Höhe der Wasserscheide des Djangidjir und Müdürüm (Mudurum) bildenden Akkorum-Passes beträgt 3600 *m* und wird, wie

ich bereits erwähnte, durch den Boden eines geräumigen, glazialen Zirkustales gebildet. In der östlichen Nachbarschaft dieses Zirkus befindet sich ein anderes Zirkustal ähnlicher Grösse. Die beiden Zirkustäler besitzen einen gemeinsamen Ausgang gegen den Kogeletschab-Syrt zu, wo unmittelbar an der Pforte des Tales eine ausgedehnte glaziale Schuttregion ihren Anfang nimmt. Das kurze, aus den beiden Zirkustälern führende Quertal ist ein ausgesprochen U-förmiges Trogtal, auf dessen Boden sich bereits ein breiter, durch die Erosion des fließenden Wassers auf 30–50 m vertiefter Graben befindet. Im Inneren des Zirkus erheben sich abgerundete, breite Bergrücken von einigen



Fig. 41. Grundmoränengebiet des Kegeletschab vor dem Tor des Akkorum-Tales.

hundert Metern relativer Höhe. Aus den Niscentälern der 4200–4300 m hohen Bergrücken, die den Rand des östlichen Zirkus bilden, blinken ansehnliche Firnfelder hervor. Ich schätze die Höhe ihres unteren Randes auf 4100 m. Am Talausgang befindet sich keine ausgesprochene Stirnmoräne, es sind da bloss unregelmässig zerstreute Moränenhügel in etwa 3500 m Höhe vorhanden. Ich glaube annehmen zu dürfen, dass wir es hier doch mit den verwaschenen Resten einer Stirnmoräne zu tun haben.

Die Wasserscheide der Kilentajrak-Gegend befindet sich etwa in einer Entfernung von 27 km vom Eingang des Süd-Akkorum-Tales ent-

fernt. Gegen Osten breitet sich das breite Plateau des Kogeletschab-Syrt aus. (Fig. 41.) Dieses Syrt-Plateau ist jedoch nicht im entferntesten eine ebene Fläche, sondern es wechseln auf ihm, wie das eine Beilage meiner „Utazásaim Belső-Ázsiában“ betitelten volkstümlichen Reisebeschreibung bildende, von JOSEF ÁRPÁD DERY nach meinen Skizzen gezeichnete Bild zeigt, breite, flache Taltröge mit ausgedehnten Hügelrücken ab. Tröge und Hügelrücken breiten sich in der Längsrichtung der Talung aus und in der Nähe des Kilentajrak sind zwischen ihnen dunkle Seen zu Dutzenden vorhanden. Aus den Bergrücken erhebt sich nirgends anstehender Fels, sie sind aus vollkommen lockerem Schutt aufgebaut. Dieses Bild zeigt die Landschaft auch  $3-3\frac{1}{2}$  km westlich des Einganges des Akkorum, woselbst plötzlich eine Talstufe folgt und eine Terrassengegend ihren Anfang nimmt. Der Fuss des Westrandes dieses Moränengebietes liegt in 3400 m Höhe und ist 30 km von der Kilentajrak-Wasserscheide entfernt. Die Moränenanhäufung auf dem Talboden nimmt hiemit ein Ende, sie beschränkt sich weiterhin im Westen nur mehr auf die Ränder der Gebirgshänge. Es kann mit voller Sicherheit festgestellt werden, dass sich hier die Grenze der Burkhan-Vereisung des Kogeletschab-Syrt befindet. Das Gefälle des breiten, mächtigen Pleistozän-Gletschers betrug auf einer Strecke von 30 km höchstens 300 m.

Die Gewässer der Westhälfte des Kogeletschab-Syrt sammelt heute der Karakorum-Fluss. Die mächtigen Eisströme des Kokschartau speisen diesen. Vierzehn-fünfzehn Gletscher von einzeln 5–8 km Länge reichen aus den nördlichen Zirkustälern des Kokschartau auch heute noch herab auf den Rand des Kogeletschab-Syrt. Im Pleistozän aber war das ganze Gebirge vom Scheitel bis zur Sohle von Firn bedeckt. Die heute bereits firnfreien, tiefer herabreichenden Rücken selbst sind durchwegs abgescheuerte, eisgeschliffene Rippen.

Bis an den Moränenrand in 3400 m Höhe fließt der Karakorum-Fluss in einem sich allmählich verbreiternden Bett. Sein Gefälle ist auch heute ein geringes. Von da an ist sein Bett breit, schotterführend und in mehrere Zweige geteilt. Sein erster rechtseitiger Nebenfluss, der Kenssu, gelangt in einem tiefen Bett herab zu ihm. Das westlich des Akkorum sich hinziehende Gebirge, in welches das Längstal des Balikssu eingebettet ist, nenne ich nach SJEWERZOFF Ssaritasch-Gebirge, wenn gleich den Kirgisen dieser Name nicht bekannt ist. Die Südkette des Ssaritasch-Gebirges ist im Raume zwischen Balikssu und Müdürüm, heute allem Anscheine nach vollkommen firnfrei. Zwischen Müdürüm-Karakorum und dem Ssaritasch-Gebirge erhebt sich ein 2–3 km breites, weiter westlich sich noch mehr erweiterndes Felsplateau in 3200–3400 m Höhe, welches, wie es scheint, mit einer Länge von 45 km bis in die Gegend des Araschanbel reicht. Granit, Glimmerschiefer, Karbonkalk tauchen aus dem Schutt empor und die Decke des Plateaus ist ebener

als die des Kogeletschab-Syrt, wenngleich ebenfalls gewellt. Die Grenzlinie zwischen dem Plateau und dem Ssaritasch-Gebirge ist lange nicht scharf, lässt sich jedoch entschieden feststellen, was der Ur-peneplain-Form widerspricht. Auch dieses Plateaustück, das den Eindruck hervorruft, als wäre es abgehobelt, ist eine jener Erscheinungen, die ich geneigt wäre auf die Einwirkung der Akkija-Vereisung zurückzuführen. Die Feststellung der alten Vereisung ist auch hier sehr schwer, da die der pleistozänen Vereisung vorangehende Abtragungs-Periode mit ihren auch heute noch gut eruibaren Formen, den öftmals

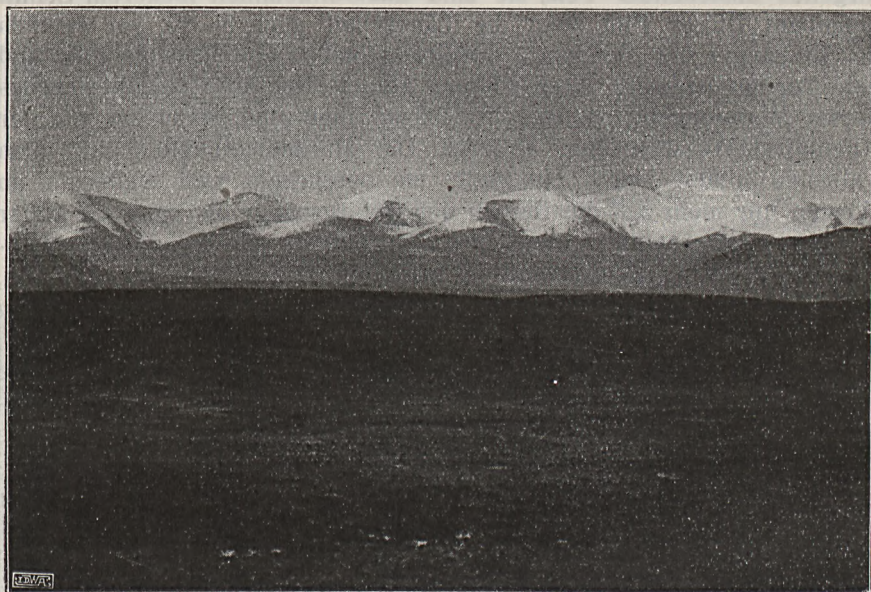


Fig. 42. Nischentäler des Karakorum-Gebirges.

identischen Oberflächenstücken sehr leicht Irrungen verursachen kann. Auf der Nordseite des Kokschtal sind aus der Entfernung einzelne Plateaustücke sichtbar, grösstenteils jedoch in 4000 *m*, ja sogar noch bedeutenderer Höhe und sind in letzterem Falle von Firn bedeckt. Diese Plateaustücke erheben sich oberhalb der Gebirgsrücken und wurden niemals von der abscheuernden Tätigkeit des Gletschers betroffen, da auf ihnen der Firn unbewegliches Tafeleis bildet. Oder wenn auch irgend eine Firnmasse in Bewegung gerät, so kann diese an dem Plateaucharakter doch kaum eine Veränderung hervorbringen.

Der im Karakorum in 3250 *m* Höhe fliessende Djamani'schke gelangt ebenfalls zwischen solchen Schutthügeln auf den Syrt hinaus, welche auf eine Stirnmoräne hinweisen. Die Nebenrücken des Kokschtal tragen eine prächtige Reihe firnerfüllter Zirkusse (Fig. 42.) und hier

zwischen den Tälern Djamanitschke und Tujuk-Kogart in 3400—3500 *m* Höhe fand ich eine mächtige Moränen-Anhäufung pleistozänen Alters.

#### 4. Nord-Kokschal-Kogart.

Der Rücken des Kokschaltau wurde westlich des Bedel-Passes noch niemals von einem Forscher überschritten. Darum eben strebte ich (9. Sept. 1919.) dem meines Wissens einzigen Passe des Kokschal zu, welcher nahezu 150 *km* vom Bedel entfernt gelegen ist. Die Höhe des „Kogart“ genannten Passes des Kokschal beträgt nach meinen Messungen 4060 *m*.

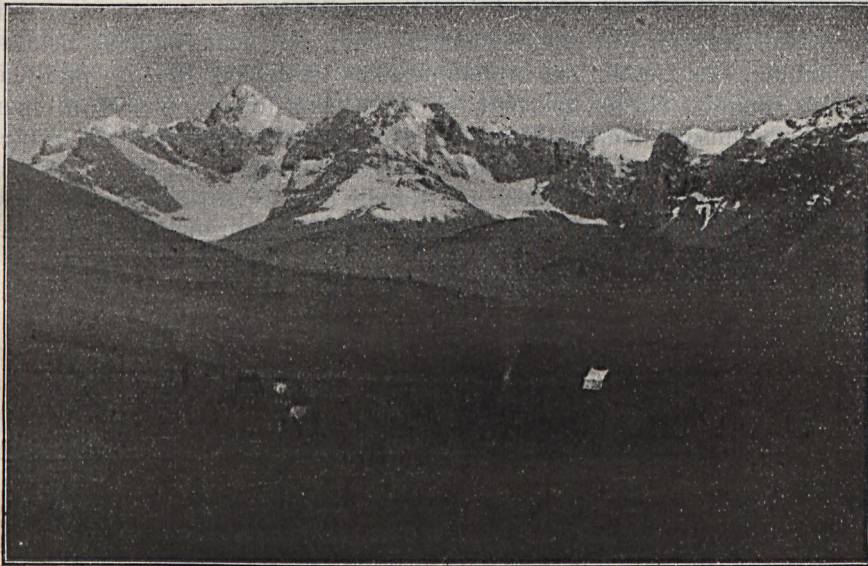


Fig. 43. Moränengebiet vor dem grossen Trogtal des Nördl. Kokschal-Kogart.

Unterhalb desselben zieht sich ein kleines Firnfeld bis zur Höhe von 3830 *m* herab, dann folgt ein kleiner Taltrog. Letzterer trifft in 3640 *m* Höhe mit einen anderen, ähnlichen zusammen. In 3300 *m* Höhe verwandelt sich der Taltrog in ein auf fluviatile Erosion hinweisendes, steilwandiges Tal, obzwar dieses mehr cañonartig ist, als V-förmig, während südlich dieses Punktes sich ein typisches U-förmiges Tal hinzieht. Auf der Westseite des Tales erhebt sich ein etwa 4500 *m* hoher Berggipfel und ein sich auf diesen stützender, 4200 *m* hoher Gebirgsrücken. Rings um den Berggipfel entstehen Eisströme, welche ebenfalls bis auf 3800 *m* herabreichen. Auch am Fusse des Gebirges werden die Schuttkegel bis zu ähnlicher Höhe mit Firn bedeckt.

Östlich des Nord-Kokschal-Kogart-Tales, auf der Nordseite der Gebirgskette reihen sich Zirkus- und Nischentäler aneinander, die heute

vom Firn bedeckt sind, aus denen jedoch in der Burkhan-Zeit Eisströme bis an den Fuss des Gebirges vordrangen. Der moränenbedeckte, abgeseuerte Gebirgsrand ist ein verschüttete kleine Seebecken aufweisendes Vorgebirge, mit Bodenwellen zeigender Oberfläche.

### 5. Das Süd-Boguschti-Tal.

Unterhalb des vorher schon erwähnten, 3860 *m* hohen Boguschti-Passes vereinigen sich in 3360 *m* Höhe zwei firnfreie, oder doch bloss unbedeutende Firnfelder enthaltende, konvergierende Zirkustäler. An den Wänden der Zirkustäler befinden sich verschieden grosse Niscentäler in grosser Anzahl. Auf dem Talboden befindet sich ansehnliche Schuttanhäufung. Das Gefälle des Ableitungstales ist gering. In 3570 *m* Höhe ist das Haupttal bereits übertieft, ein östliches Seitental erreicht in einer Schlucht mühsam den Süd-Boguschti. Hinter dieser Schlucht jedoch zeigt sich ein in der Burkhan-Zeit ebenfalls gletscherführendes Zirkustal. Die Pforte des Tales befindet sich am Rande des Akssaj-Syrt in 3440 *m* Höhe und es breitet sich hier eine Burkhan-Stirnmoräne von bedeutender Ausdehnung aus.

### 6. Das Nord-Terekti-Tal und seine Umgebung.

Der Terekti-Fluss (Oberlauf des Akssaj) entspringt im Terektintau-Gebirge. Dieses Gebirge ist auf der PETERMANN'schen Karte nach Angaben der ersten russischen Forscher als vergletschert dargestellt. Zwar kenne ich nicht das ganze Gebirge, ich habe jedoch einen grösseren Teil desselben gesehen, als die mir vorangegangenen Reisenden und ich bin der Ansicht, dass auf der Nordseite des Gebirges sich nur ganz unbedeutende Firnfelder befinden können, während auf der Südseite ganz sicher auch hiefür die Möglichkeit nicht vorhanden ist. Jedenfalls ist diese Erscheinung auffallend, da REINTHAL für die Höhe des Terekti-Passes 3840 *m* findet, während ich gelegentlich der Höhenbestimmung des unweit gelegenen Kiptschak-Passes 3980 *m* erhielt. Nordöstlich des Kiptschak-Passes erhebt sich der Rücken des Terekti-Passes zu 4200—4400 *m* Höhe und ich fand ihn firnfrei. Anfangs Juni sah ich bloss kleine, abgesonderte Schneefelder, während um diese Zeit auch im Üjürmentau der Schnee noch auf 3600 *m* Höhe vorhanden war.

Im Pleistozän jedoch war auch das Nord-Terekti-Tal vom Gletschereis erfüllt. Nördlich des Hauptrückens, in etwa 6 *km* Entfernung, verläuft parallel zu diesem ein zweiter, heute bereits zerstückelter Gebirgsrücken, das „Korumdu-Gebirge“ der PETERMANN'schen Karte. Diese Gebirgskette durchbricht der Terekti-Bach in einer 3640—3710 *m* hoch gelegenen, durch fluviale Erosion entstandenen Schlucht. Zwischen der Schlucht und dem Hauptwasserscheiderücken befindet sich ein geräumiges Zirkus-

ähnliches Tal. Bekanntlich ist letzteres eine im Tienschan bekannte und häufige Erscheinung, weshalb ich ihr auch Aufmerksamkeit schenkte. Der Haupt Rücken befindet sich etwa 10 *km* von der Schlucht entfernt, das Gefälle aber beträgt insgesamt 130–300 *m*. Das Material des Schuttes ist stellenweise überaus bunt, während ich grössere Blöcke nicht beobachten konnte. Die Verhältnisse des Bodenreliefs bieten wenige Stützpunkte, denn die Furchen der der Urpenepain-Oberfläche ähnlichen Berghänge, wenn sie auch breit sind, sind sie doch nicht genügend übertieft. Alldies in Betracht ziehend und ermutigt durch die ausserordentlich grosse Höhe über dem Meere, muss ich in dem bezeichneten Masse eine Vereisung voraussetzen. Die Vereisung ist jedenfalls die der Burkhan-Zeit und einer jener wenigen Orte, wo ich dies nicht im ersten Augenblicke feststellen konnte.

Unterhalb der Schlucht erweitert sich das Tal und es breitet sich hier in 3600–3500 *m* Höhe und nahezu 6 *km* Länge ein aufgeschüttetes Seebett aus. Zwischen den Niveaus von 3600–3500 *m* fliesst der Terekti in seinem von Terrassen begleiteten Bett, dann dehnen sich die Terrassen aus und das Bett verwandelt sich in eine 1½–2 *km* breite Schotterebene. Dasselbe wiederholt sich noch zweimal bis an den Nordrand des KAULBARS'schen Kuldschasch-Zuges. Der Fluss wird in einen kurzen Felscañon von geringen Dimensionen gezwängt, um sich nachher wieder auszubreiten. Auf glaziale Ablagerungen des Pleistozäns bin ich im unteren Abschnitt des Tales nicht gestossen.

### 7. Das Kokkija-Tal.

Parallel zu dem Terekti-Tale fliesst der aus derselben Gebirgskette entspringende Kokkija-Fluss auf einer Strecke von nahezu 40 *km*. Hier ist unter dem Namen Kokkija ein Teil der Gegend des Weidegebietes zu verstehen. Der Fluss selbst wird verschiedentlich benannt (Korumdu, Koschkarabel, der unterhalb des Sees befindliche Abschnitt Köl-ssu etc.), da ihn jedoch SJEVERZOFF in dieser Form in die Literatur eingeführt, werde auch ich ihn so erwähnen. Ich besuchte das Tal im Dezember des Jahres 1906, leider ebenfalls ohne Höhenmessinstrumente, die Höhen sind demnach mit Zuhilfenahme der SJEVERZOFF'schen Daten und jener der 40-Werst-Karte geschätzt.

Die Wasserscheide des Kokkija-Quellgebietes erreichte ich am Karabel. Die Höhe dieses Passes mag etwa 3800 *m* betragen. Von Vereisung fand ich keine Spur. Das Tal ist spärlich mit Geröll bedeckt, felsig, die Felsen sind verwittert, regellos zerstreut, hervorstehend. Die Form des Tales ist weder die des U, noch die des V, die Erosion wirkt langsam und ist auch heute noch unbedeutend. Derart gestaltet sind auch die strahlenförmig sich vereinigenden übrigen Täler, ausgenommen vielleicht das Korumdu-Tal, welches, wie es scheint, in der Entfer-

nung eine schöne Troggestalt annimmt. Gestützt auf meine Erfahrungen, glaube ich annehmen zu dürfen, dass sich im Quellgebiet des Kokkija, trotz dessen grosser Höhe, während der Burkhanzeit bloss sehr unbedeutende kleine Firnfelder und unterhalb des Hauptrückens des Terktintau einige kleinere, höchstens bis auf 3700—3800 *m* herabreichende Gletscher bildeten. Diese meine Beobachtung steht in vollem Einklang mit dem, was ich im Terekti-Tale erfahren habe.

Die strahlenförmig zusammenlaufenden, im Dezember nicht einen tropfen Wasser führenden, also ausschliesslich durch Schneewasser genährten Bäche treffen sich am Ufer des Kokkijaköl. Das Niveau des Kokkija-Sees mag sich in einer Höhe von 3350 *m* befinden und entstand infolge Einsturzes des unterirdischen Ganges des Kokkija-Baches. Das Kokkija-Gebirge ist ein schmaler Karbonkalk-Horst, entzwei geteilt durch die Schlucht des Kokkija-Sees. Das Dach des Kokkija-Gebirges ist flach, mindestens 4400 *m* hoch und mit Firn bedeckt. In der Richtung gegen die Schlucht des Sees zu hängen zwei kleine Vorhanggletscher an der Felswand herab. Den Nordausgang der Schlucht versperrt ein mächtiger Schutzdamm. (S. Reiseskizz. aus Zentralasien, VIII., Fig. 2—4. Abrégé du Bull. Soc. Géogr. Budapest, 1908.)

Ich fand, dass der Damm durchwegs aus hellgrauem, dem Gesteinsmaterial der gegenüber liegenden Felswände des Kokkijatau entstammenden Karbonkalk besteht, so dass ich seine Entstehung auf einen Bergrutsch glaube zurückführen zu müssen. Eigentümlich ist jedoch der Umstand, dass die abgerutschte Masse genau im Eingang zum Schluchttal liegt, wie die Tschakirkurum-Stirnmoräne vor ihrer vollkommen ähnlichen Schlucht.

Das westlich letzte, sich in grösserem Masse erhebende Horststück des Kokkijatau ist oben ebenso flach, als seine östlichen Angehörigen, ist jedoch heute bereits firnfrei. Schon aus weiter Entfernung sieht man, dass sich auf dem flachen Dache ein gegen den Rand zu sich mehr und mehr ausgestaltender, flacher Trog befindet, welcher die Bewegungsrichtung der Burkhan-zeitlichen Eisdecke anzeigt.

Der untere Abschnitt des Kokkija-Tales ist im Weiteren dem des Terekti-Tales ähnlich. Es folgt ein breites, verschüttetes Seebett, dann ein langes Cañontal, eingeschnitten in das Plateau des Kuldscha-basch. Die Oberfläche des Plateaus ist gewellt, die Wände des Cañons sind steil. Wasser aber, welches diese 100—200 *m* tiefen und hier sehr langen Cañons hätte ausgraben können, ist nirgends vorhanden. Die Cañons sind bereits fertig, die Erosion hat ihr Bett vollkommen ausgeglichen. Unabsehbare Zeiträume brauchte die heutige Wassermenge, um ein derartiges Cañontalsystem hervorbringen zu können. Es ist dies eine Tatsache, der wir besondere Aufmerksamkeit widmen müssen. Vielleicht täusche ich mich nicht, wenn ich das Vorhandensein dieser bedeutenden Wassermenge nicht in die Burkhan-Zeit verlege, die wie

wir sehen, in diesem Sammelgebiet nicht sehr bedeutend war, sondern in die ältere Akkija-Zeit.

### 8. Das Innengebiet des Akssaj.

Ich kartierte vier Profile des Akssaj, je eines zwischen Araschanbel und Kokkija, zwischen Bogushti und Terekti, zwischen Araschan und Müdürüm und zwischen Terekti und Kokkija.

Vor dem Bogushti und anscheinend vor allen anderen Nachbar-tälern der Hochregion des Üjürmentau liegt ein Moränengürtel. Während also am Südrand des Akssaj in der Burkhan-Zeit die Eisströme von ähnlich hohen Gebirgen bis auf 3700—3800 *m* herabreichten, liegt diese Grenze auf dem Nordrande in 3400—3500 *m* Höhe. Den Fuss des Üjürmentau verlassend, durchquerte ich das Akssaj-Gebiet in südwestlicher Richtung. Sämtliche Nebenflüsse des Akssaj flossen in südöstlicher Richtung, rechtwinkelig zu der meines Reiseweges. Allgemein streben sämtliche Gewässer auf kürzestem Wege der Kokschal-Schlucht zu. Zwischen den Flüssen befinden sich Terrassen von 30—50 *m* Höhe, die ausschliesslich aus Flussschotter bestehen. Es lassen sich eine höhere, die Rücken bildende Schotterterrasse und eine jüngere Terrasse unterscheiden, welche letztere die Flussbetten heute in geringer, 5—8 *m* betragender Höhe begleitet. Die höhere Terrasse besteht aus grobem Schotter, ihre Oberfläche ist gewellt; die untere Terrasse ist eben, in ihrem Material befinden sich höchstens faustgrosse Gerölle. Heute befinden sich im Material der Flussbetten bloss nussgrosse Gerölle. Aus der hohen Terrasse erheben sich in der Nähe des Terekti einige flache, gesondert stehende Kalksteinberge, deren relative Höhe jedoch kaum 200 *m* erreicht.

Das oben geschilderte Tal des Terekti liegt cañonartig eingegraben in der hohen Terrasse. Wo das Bett des Terekti schluchtartig ist, erhebt sich auch das Grundgebirge bis auf 50—100 *m* aus der hohen Terrasse: Kalkstein, Tonschiefer verschiedentlich gefaltet, jedoch immer steilgestellt und an der Oberfläche abgehobelt. Die hohe Terrasse besteht auch hier aus Schotter. Die Schotterschichten sind allgemein gegen die Linie des Akssaj zu geneigt. An zahlreichen Stellen sind sie eingesunken und fallen unter 5—8° ein. Dies konnte ich westlich des Terekti-Tales auch an den Hängen des Kisilkur-Passes (ca. 3900 *m*) beobachten. Der die russisch-chinesische Grenze bezeichnende Kisilkur-Pass befindet sich auf dem kahlen Nebenrücken, welcher die Gebirgszüge des Terekitau und des Kuldschasbasch verbindet. Dieser flache, denudierte Nebenrücken besitzt heute einen Peneplaine-Charakter, an dessen Seiten jedoch cañonartige Täler mit moosbewachsener Sohle abwärtsführen. Auch die Entstehung der Kisilkur-Cañons muss in eine der Erosion günstiger gewesene Zeit verlegt werden. Es ist nicht schwer anzunehmen, dass die Schmelzwässer des den Kisilkur-Rücken bedeckenden Tafel-

eises leichterdings ähnliche Cañontäler auswaschen. Die Schotterschichten der Akssaj-Deckenterrasse nehmen genau am Ende dieser Cañontäler ihren Anfang, was wohl für die Annahme spricht, dass die Vereisung des Kisilkur-Rückens vielleicht in die Akkija-Zeit zu verlegen ist.

Unter der Deckterrasse befindet sich roter Sandstein und Konglomerat. Ich beobachtete dies auf meinem 50 *km* langen Reiseweg vom Kokkija bis zum Kisilkur. Die sich oft wiederholende Bezeichnung „kisil“ in den Ortsnamen bezieht sich stets auf den roten Sandstein. Der östlich des Terekti befindliche grössere, wasserreiche Fluss Kisilssu hat die Deckenterrasse auf grossem Gebiet in breitem Streifen fortgeführt und sich samt seinen Nebenflüssen in den roten Sandstein eingeschnitten. Die beiden Arme des Atscha-Kisilssu vereinigen sich zwischen vertikalen Wänden des roten Sandsteines. Grobkörniges Konglomerat wechselt mit Sandsteinbänken aus ganz feinkörnigem Material. Die Schichten liegen ziemlich ruhig, nirgends fand ich für das Fallen derselben einen grösseren Wert als 10°. Ihre Deckschicht besteht aus mehr oder minder mächtigen Schotterflecken, eingemengt in tonige Ablagerungen. Dieser feine Ton, der in trockenem Zustand zu Staub zerfällt, ist gleichmässig verbreitet und scheint nicht fluviatilen Ursprungs zu sein.

In der Osthälfte des Akssaj konnte ich diese oben aufliegenden Schotterschichten nicht beobachten. Die Abdachung des Kuldshabasch-Zuges in der Gegend des Kokkija, sowie die steil aufgerichteten, oben abgehobelten Karbonkalkbänke östlich des Kaündü-Baches sind fast vollkommen kahl, kaum spannhoch mit Gras bedeckt. Nördlich des Akssaj, auf dem aus der Gegend des Araschan- bzw. Tüs-bel nach Süden streichenden Abhänge beobachtete ich Granitblöcke von 1—2 *m* Durchmesser. Ich bin der Ansicht, dass diese hier nicht anstehend sind, da ich auf dem ebenen Gebiete des Akssaj überall ausschliesslich Schichtköpfe des Tonschiefers hervortreten sah, wenn auch nicht in unmittelbarer Umgebung der Granitblöcke. Gelegentlich meiner zweiten Reise konnte ich dann sicher feststellen, dass nicht sehr weit östlich der Gegend dieser Blöcke, in 3200—3300 *m* Höhe tatsächlich ein Gemisch von Karbonkalk, Tonschiefer und Granitschutt den Berghang bedeckt. Im Osten fand ich auf dem linken Ufer des Müdürüm zweifellos anstehenden Granit, jedoch bildet dieser dort bereits Gebirge. Ich überschritt hier auf der Wasserscheide des Müdürüm und Bossaj einen Pass, dessen Höhe ich mit 3430 *m* bestimmte. Rings um den Pass, zu beiden Seiten dehnen sich breite, flache Täler mit geringem Gefälle aus, welche zweifelsohne einst vereist waren, jedoch kaum in der Burkhan-Zeit. Zwar sind hier auf der Seite des Bossaj in 3360 *m* Höhe die U- und V-förmigen Talabschnitte scharf begrenzt, jedoch befinden sich zwischen den U-Tälern keine gegliederten Bergrücken, die regelmässigen Begleiter und Erkennungsmerkmale der glazialen Trogtäler, sie können deshalb auch als peneplain-artig

angesprochen werden. Ich nehme deshalb diese unverlässliche physiographische Angabe nicht weiter in Betracht.

Auf Grund der hier angeführten Daten kann auf ein, den Akssaj in der Akkija-Zeit bedeckendes Plateau eis gefolgt werden. Natürlich ist auch das nicht ausgeschlossen, dass der Akssaj auch in der Burkhan-Zeit teilweise, oder ganz von Firn bedeckt war.

### 9. Die Umgebung des Tschatirkul.

In westlicher Nachbarschaft des Akssaj, in gleicher Höhe über dem Meere mit ihm, befindet sich das abflusslose Becken des Tschatirkul. Ich beging zwei Profile dieses Beckens, der eine Weg verläuft am Ostufer des Tschatirkul, zwischen den Pässen Taschrabat und Toragart, der zweite führt am Südufer des Sees, vom Tschirmatsch-Pass zum Keltebuk-Pass.

Der Taschrabat-Pass (3930 *m*) befindet sich auf einem, dem Hauptücken parallel verlaufenden, hohen Vorrücken der südlichen Abdachung des Üjürmentau, denn das nördliche Taschrabat-Tal durchbricht den Hauptücken. Der Rücken in der Nähe des Taschrabat-Passes befindet sich in 4–4200 *m* Höhe, auf seiner Südseite befindet sich ein grosses Zirkustal und auf dessen Grund eine Moräne. Die Moränenablagerungen lassen sich bis an den schmalen Ausgang des Tales verfolgen, jedoch fehlt eine gutentwickelte Stirnmoräne. Am Talausgang ist das Gefälle des Baches bedeutend. In der beträchtlichen Höhe von etwa 3450 *m* nimmt ein Schuttkegel seinen Anfang, der sich zu Füßen des Gebirges ausbreitet. Es ist wahrscheinlich, dass der Burkhan-Zeit-Gletscher bis an den Taleingang reichte, da über diesen hinaus die Oberfläche bereits aus Aufschüttungen fluviatilen Ursprungs besteht. Der Schuttkegel reicht bis an die Fläche des Sees hinunter. Längs des ganzen Südfusses des Üjürmentau findet man eine ähnliche Schutzzone.

Die Schutzzone entwickelt sich jedoch nicht bloss aus den an die Pforten der grösseren Täler sich anschmiegenden Schuttkegeln, sondern bedeckt in gleichmässiger Höhe den Fuss des Gebirges, fast vollkommen unabhängig von den heutigen Tälern. Ja, es scheint sogar, als ob das fliessende Wasser einen Teil des Schuttes vor den Taleingängen weggeführt und umgelangt hätte. Vor dem Keltebuk-Tal legt sich der Glazialschutt auf von fliessendem Wasser dorthin transportierten Schotter. Diese Schutzzone mag also noch vor der Burkhanzeit zum grössten Teile bereits vorhanden gewesen sein, bloss die Schmelzwässer der Burkhan-Zeit-Gletscher mögen sie vor den Taleingängen weggeschwemmt und neue Schuttkegel gebaut haben.

Ich fand für die Höhe des Keltebuk-Passes 4150 *m*. Hier vereinigen sich bloss zwei kleine Niscentäler unterhalb des schmalen Rückens, in 3800 *m* Höhe, woselbst sich unleugbare Spuren glazialer Scheuerung

vorfunden. Die Schuttzone reicht bis auf 3750 *m* hinauf und ist hier im Keltebuk-Tal bezeichnend glazialen Ursprungs. Dass der Moränenboden bis in 3600 *m* Höhe reicht, steht ausser allem Zweifel. Aber auch in 3500—3480 *m* Höhe neben dem Kogargen-Bache befinden sich Hügel, die sich aus der glatten, aus sandigem Ton bestehenden Oberfläche des Talbodens erheben und aus Glazialschutt zusammengehäuft wurden. Zwischen den Hügeln fand ich ein heute bereits verschüttetes Seebett. Es ist offenkundig, und hievon überzeugt uns auch der physiographische Charakter der Gegend, dass während der Burkhan-Zeit aus den Nischentälern der hohen Bergrücken Eisströme hervortretend, sich vereinigten und einen bis auf 3480—3500 *m* herabreichenden Eisfladen bildeten. Heute trägt die sonnenbeschienene Berghalde des Keltebuk auch in 4150 *m* Höhe keinen Firn. In der Umgebung des benachbarten Scharikti-Tales jedoch, wo der Üjürmentau seine grösste Höhe erreicht, wo dessen etwa bis 5500 *m* sich erhebenden Bergspitzen emporragen, befinden sich auch die grössten Firnfelder des Üjürmentau von heute. Mit dem Nivellierglas geschätzt, fand ich für die Höhe der Firnfelder 3900—4000 *m*.

Der Spiegel des Tschatirkul (3210 *m*) scheint sehr zu schwanken. Die Oberfläche des Sees übersteigt 100 *km*<sup>2</sup>, seine grösste Länge beträgt 22·5 *km*, seine grösste Breite 8·7 *km*. (Auf der PETERMANN'schen Karte 19×10 *km*, auf der 40-Werst-Militärkarte 24·5×8·5 *km*.) Die Gestalt des Sees ist auf der PETERMANN'schen, der Militärkarte und der meinigen verschieden. KAULBARS (auf der PETERMANN'schen Karte) und der Militärkartograph beobachteten in der östlichen Nachbarschaft des Sees einige Quadratkilometer ausmachende, abgesonderte Seen. Ich sah die Os'hälfte des Sees zuerst im Mai 1909 als zusammenhängenden Wasserspiegel, den ich auch photographierte (Fig. 44.). Dieses Bild zeigt zwar einige Uferbuchtungen durch einige Inseln und Landzungen vom See getrennt, jedoch sind bloss einige kleine Uferseen ohne Zusammenhang mit dem Wasserspiegel. Ein anderesmal, Mitte August desselben Jahres, fand ich das Niveau des Sees tiefer gelegen, die früheren offenen Einbuchtungen standen nur mehr durch einige schmale Kanäle mit dem See in Verbindung. Sicher ist, dass der Spiegel des Sees sich im Jahre 1909 vor August auch nicht für einen Tag zerteilte, seit diesem Datum konnte das Niveau des Wassers bloss sehr langsam und gleichmässig gesunken sein. Bezeichnend ist jedoch der Umstand, dass sowohl im Mai, als auch im August, also zur Zeit der grössten Schneeschmelze, breite Streifen des Seebettes noch immer trocken lagen. Längs der südlichen und östlichen Ufer des Sees befinden sich bedeutende Gebiete, die von den stellenweise sandigen, grösstenteils jedoch in ausgetrocknetem Zustande harten, tonigen Ablagerungen des Sees bedeckt sind. Auf diesem Gebiete konnte der Pflanzenwuchs noch nicht Wurzel fassen und es ist sicher, dass es vor einigen Jahren noch unter Wasser stand. Das Niveau des Sees ist also im Sinken begriffen.

An das Ostufer des Tschatirkul gelangte ich zuerst von dem die russisch-chinesische Grenze bezeichnenden Toragart-Pass her kommend. Der Pass ist 3880 *m* hoch, gegen Norden zu zieht sich ein geräumiges Trogtal von der Passhöhe vollkommen gleichmässig herab bis auf 3600 *m*. Die Länge des Hanges zwischen den beiden Höhenpunkten beträgt fast 6 *km*. Das geräumige Trogtal deutet auf glazialen Ursprung hin. Das Tal befindet sich auf dem Gebiet des roten Konglomerats und die postglaziale Erosion hat in diesem losen Material tiefgreifende Veränderungen an ihm hervorgerufen. In 3600 *m* Höhe



Fig. 44. Nordostbucht des Tschatirkul.

nimmt das Tal plötzlich eine Wendung nach Nordwest und zeigt eine V-Form.

Am Westrand des Tschatirkul-Beckens ist der Tirmatschbel 3300 *m* hoch. Nördlich von diesem erheben sich einige höhere felsige Hügel, zwischen breiten, flachen Tälern, im Süden aber liegt der hohe Rücken des Kurpetau, voller Zirkus- und Niscentäler. Der erste Rücken erhebt sich nicht viel über 4000 *m*, seine Nordseite ist firnfrei. Dieser Rücken wird durch ein Quertal (Karassai) zerrissen, durch welches die Schmelzwässer des zweiten, vergletscherten Rückens in den Tschatirkul gelangen. Eines dieser Quertäler ist ein von Niscentälern umgebenes schönes, ansehnliches Trogtal, welches heute zum Flussgebiet des Narin gehört, sein Name ist Musstör. Der Tschirmatschbel scheint die Seitenmoräne

des pleistozänen Musstör-Gletschers zu sein, diese trennt im Westen den Tschatirkul vom Arpa-Syrt.

**Zusammenfassung.** Der mächtige Plateau-Gürtel des Üsüingegusch-Akssaj-Tschatirkul breitet sich in seiner Gesamtheit über der oberen Nadelwaldgrenze aus. Die heutigen Vereisungsverhältnisse werden charakterisiert durch die bis auf das Niveau von 3800—4100 *m* herabreichenden kleineren Gletscherserien, durch die in etwa 4400 *m* Höhe befindlichen typischen Tafeleisbildungen und die in der Umgebung der Bergriesen des Üsüingegusch befindlichen mächtigen, ausserordentlich weit herabreichenden Talgletscher.

#### V. Vergleichstabelle.

Tal	Gletscherende	Grenze des V- und U-förmigen Talabschnittes	Stürnmoränen
1. Nord-Toragart --	—	3600	—
2. Kokkija ---	4400 ?	3700—3800	—
3. Nord-Terekti ---	—	3710	—
4. Süd-Taschrabat ---	—	3450	—
5. Süd-Keltobuk ---	—	—	3480—3500
6. Süd-Bogusehti ---	—	—	3440
7. Nord-Kogart ---	3800	3300	3640
8. Karakorum ---	3800—4100	—	3400
9. Süd-Akkorum ---	4100 ?	—	3550 ?
10. Kössu ---	3900	3450	—
11. Tura-Üsüingegusch	3300 ?	?	3000 ?
12. Kogeletschab-Syrt	3500—4100	—	3400

Auf den Südhängen des, den Plateau-Gürtel im Norden begrenzenden Üjürmen-Borkoldaj-Gebirgszuges befinden sich stellenweise Nischen-, Zirkus-, ja sogar auch kleinere Talgletscher, jedoch auch die am tiefsten herabreichenden (zwischen Kilentajrak und Kössu) bleiben erheblich über 4000 *m*. Dem gegenüber entfaltet sich auf den den Hochplateau-Gürtel im Süden einsäumenden Nordhängen des Kokschal-Terektin-Kurpetau-Zuges, auf dem Üsüingegusch-Abschnitt eine wahrhaft grossartige Gletscherwelt und hier reicht der grosse Tura-Gletscher so tief herab, wie die Riesen der Ssaridschas-Gegend. Jedoch selbst unter diesen Verhältnissen gelangt kein einziger Eisstrom aus dem Gebirge auf den Plateau-Gürtel herab.

In der Burkhan-Zeit erhielt das Kogeletschab-Üsüingegusch-Syrt-Gebiet zweifellos eine Eisdecke durch die aus den umliegenden Gebirgen zusammenfliessenden Eisströme. Es musste dies ein typischer Tienschan-Gletscher gewesen sein, von der Art etwa, wie der heutige Tschagir-Kaündü-Gletscher (Fig. 14.), er dürfte sich von diesem bloss durch seine Masse unterschieden haben. Die Moränenbildung des sich überaus langsam fortbewegenden Gletschers ist im Verhältnis zu den

Massen des Gletschers gering, die feineren klimatischen Schwankungen verspürt ein Eisstrom dieser Art fast gar nicht. Die von der trägen Firnmasse zurückgelassenen Moränen sind von gleichmässiger Mächtigkeit, jedoch regellos verteilt. Ausdrückliche Stadienränder fehlen. Der grosse Talgletscher der Burkhan-Zeit bewegte sich nach zwei entgegengesetzten Richtungen, der langsamer fliessende, westliche reichte bis 3400 *m*, der reichlicher gespeiste, östliche Arm jedoch unter das Niveau von 3000 *m* herab.

Auf dem Akksaj-Tschatirkul-Plateaugebiet kann hie und da auf Tafeleisbildung der Burkhan-Zeit gefolgert werden, die südlichen und nördlichen Randgebirge jedoch waren vom Scheitel bis zur Sohle vergletschert und bildeten zumeist lange, ineinander fliessende Moränengürtel. Auf den Plateaus weisen die abgescheuerte Oberfläche sowie mächtige erratische Blöcke und wurzellose Felsklötze fremder Herkunft darauf hin, dass in der Akkija-Zeit das ganze Gebiet bis zur Kokkija-Mündung mit Firn bedeckt war. Die Akkija-Firngrenze verlief im Durchschnitt wenigstens 400 *m* tiefer, als die der folgenden Burkhan-Zeit.

## F) Kokschal-Talung und Karatake-Gebirge.

### 1. Die Kokschal-Schlucht.

Das den Ableitungskanal des Akssaj bildende Kokschal-Tal, welches der „Kumar“-Schlucht des Ssaridschas gleicht, besuchte ich im September des Jahres 1909. Am Ostrand des Akssaj erhebt sich der bereits erwähnte Bossaj-Pass zu einer Höhe von 3430 *m* und rings um ihn befinden sich 3500, etwas weiter gegen Osten 3600 *m* hohe Berg Rücken. Der breite Talkessel zerfällt in mehrere trogartige Täler, unter denen das unterhalb des Bossaj-Passes befindliche, in 3280 *m* Höhe die V-Form annimmt. Das Bossaj-Tal nimmt in der Richtung gegen den Kokschal an Tiefe zu, es verengt sich zugleich und sein unterer Abschnitt ist bereits ein schwer gangbares Schluchttal. Der Pfad führt auf den Ostrand des Bossaj hinauf, hier ist die Schlucht 200 *m* tief und zweifellos fluviatilen Ursprungs. Das östlich benachbarte Tal ist das Tschong-Tschitschar-Tal, an dessen Ostrande die russisch-chinesische Grenze verläuft (der Tschitscharbel 3380 *m*). Von hier aus hat man einen guten Überblick über die ganze Gegend der Kokschal-Schlucht.

Im Norden bildet den westlichen Teil der Kokschal-Gebirgsgruppe der Bossadir, im Süden erhebt sich der diesem parallel verlaufende Urutau. Die beiden Berg Rücken befinden sich in etwa 25 *km* Entfernung von einander. Urutau ist ein Gebirge von grosser Höhe, dessen Gipfel 5000 *m* erreichen. Es ist in seiner ganzen Länge von Firn bedeckt und seinen Zirkustälern entspringen ansehnliche Eisströme. Vor dem Haupt Rücken befindet sich eine hochgelagene Längstal-Serie, in dieser liegen

die grossen Gletscher. Der nördliche Felsrand der Talungsserie liegt in 4200—4300 *m* Höhe, möglich jedoch auch, dass er höher oder tiefer gelegen ist, da ich bloss nach Augenmass schätzen konnte. Nördlich von diesem Rücken senkt sich ein ausgedehnter, welliger, im Grossen jedoch eine gleichmässige Ebene bildender Berghang in der Richtung zur Tschitscharbel-Linie herab, um gegen Norden zum Fusse des Bossadir-Gebirges anzusteigen. Diese Urtalfläche lässt sich sehr leicht rekonstruieren, sie befindet sich in unversehrtem Zustand. Der Kokschal-



Fig. 45. Das Uru-Gebirge von Beschmojnok.

Cañon ist in diese Urtalfläche eingebettet und zwar nicht in deren Ursohlenlinie, sondern in der gegen den Urutau zu gelegenen Talseite. Der Cañon ist durchschnittlich 500 *m* tief und in gleicher Tiefe liegen sämtliche Nebenflüsse, die den Hauptfluss in nahezu gleichem Niveau erreichen. Auf diese Weise entwickelt sich eine mächtige Cañon-Landschaft, welche durch ihre riesigen Masse wahrhaftig überraschend wirkt. Am Grunde des Cañons führt kein Pfad, der Karawanenweg zieht auf der Sohlenlinie der Urtalfläche hin, welche heute bereits in so viele Querrücken zerschnitten ist, als Bäche auf ihr fliessen.

Die Höhe der Querrücken bzw. ihrer Pässe, beträgt heute in der Reihenfolge von West nach Ost: 3270, 3380, 3290, 3370, 3280, 3070, 3090,

3260, 3000 *m.* Auf den Rücken befinden sich hie und da Reste von Konglomerat-Bänken, deren Mächtigkeit gegen Osten hin zunimmt. Das Fallen dieser Bänke stimmt mit jenem der nördlichen Urtalfläche des Urutau überein, diese Bänke entstammen also zweifellos dem Urutau.

Die den Höhen der Querrücken aufliegenden Konglomerat-Bänke liefern auch Belege dafür, dass die Urtalfläche Resultat einer alten Abtragung sei, dass sie einen Peneplain-Charakter besitze.

Die nördliche Taloberfläche des Urutau war im Pleistozän zweifels-



Fig. 46. (Fortsetzung des Fig. 45.) Die Zirkusse der Urutau und der grosse Felsenhang.

ohne vereist und zwar augenscheinlich auch während der letzten Burkhan-Zeit, anders könnte ich mir die trogähnlichen, sanftgeneigten Täler ihrer Oberfläche nicht erklären, in denen kaum eine Spur fluviatiler Erosion zu entdecken ist. Auf den höher gelegenen Partien des Randkammes der Urtaloberfläche, kann man Spuren der Nischenbildung und stellenweise (Altschimbej-dschilga) die Ausbildung typischer Nischen mit 3600 *m* Sohlenhöhe beobachten. Das grosse Cañon-Tal des Kokschal ist in seiner ganzen Länge in Karbonkalkstein eingeschnitten. Es ist sehr tief und von mächtigen Dimensionen, so dass ich die Behauptung wage, seine Entstehung gehöre einer Epoche vor der Burkhan-Zeit an. Während der Burkhan-Zeit reichten weder die Gletscher des Urutau, noch die des Nord-Bossadir-Gebirges herab zu der über dem Cañon befindlichen

Talung. Ob nun das Tafeleis des Akssaj der Akkija-Zeit den Gletscher in das Tal sandte, weiss ich nicht, da ich die Spuren seiner Wirksamkeit nicht finden konnte. Einen der Nebencañons des Cañontales, den Ssarbulak beging ich bis zur Mündung und beobachtete, dass der kleine Bach die Flut des Kokschal im Niveau erreicht. Auch der Cañon des Ssarbulak ist breit, der Boden desselben flach, grasbewachsen. Ein Ort, den die Kirgisen zur Zeit der Winterstürme gerne aufsuchen. Der Umstand, dass der Kokschal trotz seiner bedeutenden Wassermenge



Fig. 47. (Fortsetzung der Fig. 46.) Der Urutan.

nicht im Stande ist, in seinem Bett eine Übertiefung von Bedeutung hervorzubringen, darf allein schon als Beweis für das reife Stadium des Cañon angesehen werden. (Fig. 45—47. Ausserdem: Földr. Közlem. XXXVIII. 1910, Taf. XV.)

In der Nachbarschaft des Ssarbulak hatte ich Gelegenheit eine Beobachtung zu machen, der ich einen besonderen Wert beilege. Die grauen und roten Konglomerate des über dem Cañon befindlichen Bergrückens gelangten nicht auf einer eingeebneten, glatten Bodenfläche zur Ablagerung, sondern im Gegenteil, auf einer stark korrodierten Felsenfläche mit unruhigen Konturen. Wie nun kann ich diese Erscheinung mit der heutigen glatten Taloberfläche in Einklang bringen? Es scheint nun festzustehen, dass die zwischen Urutau—Bossadir gelegene Talung vor Ablagerung der Konglomerate nicht im entferntesten einen Peneplain-Charakter besessen habe. In diesem Falle konnte das Abschleifen

nur durch das Eis bewirkt worden sein. Wenn diese meine Beobachtung, die ich bloss an einem Punkte vornehmen konnte, da ich anderwärts die Berührungsfläche des Konglomerates mit dem Karbonkalk nicht gewahrte, sich allgemein feststellen lässt, dann war die Cañonlandschaft in der Akkija-Zeit von einem Gletscher bedeckt, — mag es nun der vom Akssaj niederfliessende Gletscher, oder aber ein neuer, aus den von den benachbarten Bergen herabfliessenden Eisströmen gebildeter Gletscher gewesen sein.

Die Existenz des Gletschers wird durch diese eine Angabe wohl kaum bewiesen, jedoch spricht doch auch nichts gegen dieselbe.

## 2. Beschmojnok.

Der Kokschal tritt aus dem Cañon in 2888 *m* Höhe hervor. An diesem Punkte beginnen die grossen fluviatilen Terrassen, sowie die für das heutige Klima bezeichnenden Steppengräser. Der Fluss schmiegt sich auch weiterhin dem Urutau an, er wird hiezu durch die die breite Talung ausfüllende Konglomerat-Zone gezwungen. Augenscheinlich war dies im Neogen auch weiter westlich der Fall und wir wissen nunmehr, dass das Cañon-Tal früher entstand, zu einer Zeit, als die Konglomerate die ganze Talung ausfüllten. Und da die Konglomerate älter sind, als die Akkija-Vereisung, wenn sie in Gestalt eines solchen Hauptalgletschers überhaupt existierte, sind sie demnach vielleicht pliozänen Alters. Die Terrassen des Kokschal unterhalb des Cañontales sind natürlich pleistozänen Alters. Sie sind drei an der Zahl, auch im ersten Seitental, im Ssulu-Ssarbje. Nennenswert ist hier die südlich des Kokschal sich erhebende Bergwand. Etwa bis auf 400–600 *m* über dem Kokschal ist die Bergwand steil, auf ihr sind Spuren alter Felsterrassen auch noch in 200 *m* relativer Höhe sichtbar. Oberhalb des Randes des steilen Abhangstreifens folgt eine sanft geneigte Abdachung, die bis zum Rücken des Urutau anhält, in ihr bilden die abfliessenden Schmelzwässer tiefe Schluchten. Diese Abdachung ist ein Teil der obgenannten Urtalfläche.

Bei der Mündung des Kogart-Flusses fand ich in 2850 *m* Höhe einige Granitblöcke von Kubikmetergrösse, die scheinbar über dem Konglomerat liegen, jedoch ist es natürlich nicht ausgeschlossen, dass die stark erodierten Konglomeratbänke rings um dieselben der Wirkung des Wassers zum Opfer fielen. Die Konglomeratbänke sind in guten Aufschlüssen sichtbar. Unter einem einige Meter mächtigen Streifen gemischten Materials, das unter dem 30–40 *m* mächtigen grauen Konglomerat liegt, folgt das grellrote Konglomerat. Die neuen Terrassen, grauen und roten Konglomerate bezeichnen drei Zeitabschnitte der jungen Anhäufungen.

Die Beschmojnok benannte Konglomeratgegend beging ich auf



der Weglinie des Kokschal-Tales und ausserdem auch noch auf einer zweiten, welche aus dem Ojlama-Tal über den Bergrücken zur Ajaktik-Mündung führt. Die Resultate der letzteren Reise sind die folgenden. In der Nachbarschaft der südlich gelegenen Karbonkalksteinwand des Bossadir-Gebirges bildet das rote Konglomerat Berge, die sich bis zu einer Höhe von 3500 *m* erheben. Das Ojlama-Tal ist ein stark über-tieftes, cañonartiges Tal. An seinen Wänden sind Faltungen des Konglomerats sichtbar. Die Bänke zeigen am Fusse des Gebirges ein W—E-Streichen und ein Fallen von 50—60° gegen S, mit darauffolgender saigerer Stellung. Die 3300—3500 *m* hohen, gefalteten Konglomeratberge enden plözlich; an dem Rande, von einer 3200 *m* betragenden Durchschnittshöhe beginnen die fast horizontal gelagerten, höchstens unter 15° geneigten Konglomerate. Ein steileres Fallen konnte ich im ganzen Beschmojnok-Gebiet nicht feststellen.

### 3. Süd-Kogart.

Der 4030 *m* hohe Kogart-Pass liegt zwischen vereisten Bergrücken von etwa 4500—4800 *m* Höhe. Von ihm aus bewegte sich in der Burkhan-Zeit nicht bloss in NW-licher, sondern auch in direkt östlicher Richtung ein Gletscher talwärts. Vom Passe zieht sich ein breites, typisch U-förmiges Tal nach Osten. Bis hinauf zu 3650 *m* zeigen die Felswände Spuren glazialer Scheuerung, hier entdeckte ich sehr verwaschene Reste einer Stirnmoräne. Weiterhin sind die Linien des Trogtales infolge kräftigerer Arbeit der fluviatilen Erosion weniger scharf, auch die Berghalden sind tiefer gefurcht. In der Höhe von 3270 *m* gelangt der Bach nach scharfer Biegung in eine kurze Schlucht. Unterhalb der Schlucht folgt ein mehr geräumiger Kessel, umgeben von durch Nischen-täler gegliederten, hohen, etwa 4000 *m* erreichenden Bergen. Hier häuft der Bach, bevor er in 3130 *m* Höhe in einer wilden Schlucht mit senkrechten Wänden verschwindet, eine ziemliche Menge Schutt an. In der zweiten Schlucht bildet der Bach Schwellen. Der Ausgang der Schlucht befindet sich in 3000 *m* Höhe, hier tritt er in das Gebiet der Steppen-gräser ein. In dem, zwischen der in 3650 *m* Höhe festgestellten Stirnmoräne und dem 3130 *m* hoch gelegenen Felsentor befindlichen Talabschnitt, traf ich keine Gletscherspuren vor, Schuld daran mag jedoch der Umstand sein, dass ich mich stets auf dem felsigen Boden des Tales fortbewegte, von wo mir die Aussicht beschränkt war. Es kann angenommen werden, dass die Vereisung bis in eine Höhe von 3130 *m* reicht. Und insoferne der pleistozäne Eisstrom des Süd-Bossaj-Tales tatsächlich bis auf 3280 *m* herabreichte, müsste er in dem von hohen Bergen umgebenen, vor Sonnenstrahlen geschützten Süd-Kogart-Tal umso tiefer gereicht haben.



#### 4. Die nördlichen Nebentäler des Kokschal zwischen den Ajaktik- und Apatalkan-Mündungen.

Östlich des Süd-Kogart kommen die folgenden Nebentäler des Kokschal: Teschiktschap, Kurussaj, Balgandi und Töömojun aus heute firnfreien Vorgebirgen, und waren dementsprechend in der ersten Hälfte des Septembers (1909) trocken. Der Kokschartau jedoch nimmt gegen Osten ständig an Höhe zu und östlich des Töömojun braust sein Schmelzwasser in mächtigen Gebirgsbächen dem Kokschal zu. Der erste unter diesen ist der Tschitschirganak, welchen ich in 2820 *m* Höhe durchquerte, in einem Abschnitt, der auch im Pleistozän eisfrei war. Darauf gelangte ich auf den 3190 *m* hohen Krgobel, von wo aus sich mir ein Überblick über das ganze Tal des Ssinghardjar bot. Der Ssinghardjar ist ein mächtiger Gebirgsbach, die Pferde konnten selbst am frühen Vormittag nur mit schwerer Mühe seine dahinrollenden Fluten durchwaten. Es ist daher kein Wunder, dass der Bach die aus rotem Konglomerat bestehende Wand des Krgobel vollständig unterwäscht und zu einer steilen Mauer umwandelt, deren Höhe durchschnittlich 150 *m* beträgt. Östlich der roten Konglomeratwand des Ssinghardjar folgt eine herrliche Moränenlandschaft. Es ist die mächtigste Moränenanhäufung, die ich auf meinen sämtlichen Asienreisen gesehen. Der rote Konglomeratgürtel wird in 16 *km* Länge und 12 *km* Breite vollkommen vom Glazialschutt bedeckt. Der Ssinghardjar entsteht hier auf diesem Moränengebiet aus der Vereinigung mehrerer Bäche. Im Zwischenland des westlichen Armes und des Kengssu zeigt das Moränengebiet eine eigentümliche Stufenbildung. Die untere Stufe ist ein zwischen dem Niveau von 3300–3200 *m* gelegenes Hügelland, auf welchem Steinblöcke von hundert und mehr Kubikmeter Grösse umherliegen. Die obere Stufe ist eine zwischen dem Niveau von 3400–3900 *m* gelegene, riesige Schutthalde, welche sich vom Rande des auch heute noch firnbedeckten Gebirges hinabzieht, in das Tal des Ssinghardjar. Ich glaube wohl niemand könnte sich bei Betrachtung dieses Bildes der Überzeugung verschliessen, dass die beiden Stufen zwei Anhäufungsperioden bedeuten. Die erste bedeckte die unebene Niveaufläche des Konglomeratgürtels, die zweite jedoch nahm bloss die Berghalde ein und lagerte sich auf die Schuttmassen der ersten. Die Bäche fliessen vom Moränengebiet herab auf die Ränder und unterwaschen die moränenfreien Konglomerathügel. Ebenso auffallend tief reichen auch die Eisströme herab. Der schätzungsweise 15 *km* lange Eisstrom von heute des Kengssu reicht wenigstens bis auf 3700 *m* herab. Sein Gletscherbach befindet sich in 3380 Höhe noch in einem typischen Trogtal, auch reicht der U-förmige Abschnitt sicherlich bis auf das Niveau von 3200 *m* herab, wenn es nicht sogar in 2800–2900 *m* Höhe die Terrassen des in 2650 *m* Höhe fliessenden Kokschal erreicht.

Noch überraschender wirkt das benachbarte, östliche Tal des Kengssu, das Tschunkurtschak-Tal. Auf der Ostseite des Kengssu-Tales führt der 3830 *m* hohe Kumbel in das Tschunkurtschak-Tal. Der Kumbel befindet sich selbst am Ende einer eisgescheuerten Bergrippe, am Rande des Moränengebietes. Dies ist der höchste Punkt des riesigen Ssinghardjar-Tschunkurtschak-Moränengebietes. Auf dem östlich des Kumbel gelegenen, welligen Moränenfeldern befinden sich etwa fünfzig, mehr oder weniger grosse Seen. Der Kokschal betritt zwischen den Mündungen des Ajaktik und Upatalkan aufs neue eine in Karbonkalkstein befindliche Schlucht. Die Moränengegend des Tschunkurtschak reicht bis an den Rand der steilwandigen Schlucht herab. Ich fand für den unteren Rand der Moränenschutt-Anhäufungen 3050 *m*. Zwischen dem Moränenrand und den in der Umgebung der Kokschalschlucht befindlichen Karbonkalkklippen stellte ich das Vorhandensein horizontal gelagerter grauen Konglomerates fest, das augenscheinlich als eine Ablagerung der Schmelzwässer pleistozäner Gletscher anzusehen ist.

Das seenreiche Moränenfeld des Tschunkurtschak liegt auf einem hohen Felsplateau, von dem steile Wasserrisse zum Kokschal-Flusse hinabführen. Unmittelbar am Fusse des Felsplateaus, in 2780 *m* Höhe erscheinen bereits die Steppengräser und im Verein mit diesen die auf rein fluviatilen Ursprung hinweisenden Talformen.

### 5. Das Apatalkan-Gebirge.

MÄRZBACHER war im Jahre 1903 der erste Forscher, der seinen Weg durch die Apatalkan- oder Upatalkan-Talung nahm. Ich erstieg im Kurgakajrik, einem Nebental des Upatalkan die Höhe des Keltebuk-Passes (3730 *m*) und gelangte von dort durch das Terskei-Ssarbulak-Tal zurück in das Kokschal-Tal. Die Gegend des Keltebuk-Passes erhob sich in der Burkhan-Zeit zweifellos über die Schneegrenze, deren breite, abgerundete Rücken, die sich etwas über 3800 *m* erheben, ja der Bildung von Firnfeldern günstig waren. Spuren, die jeden Zweifel ausschliessen würden, fand ich jedoch im Kurgakajrik-Tale nicht. Es ist dies ein eintöniges, kahles, V-förmiges Tal, welches unterhalb des Keltebuk-Passes, aus 3350 *m* Höhe gleichmässig zum Kokschal verläuft, den es in 2550 *m* Höhe erreicht. Unter dem Keltebuk-Pass befinden sich von jäh emporstrebenden Berghängen umgebene, zirkusähnliche Täler, die in der Burkhan-Zeit Nischengletscher mögen enthalten haben.

Auf dem Westabhang des Keltebuk-Passes jedoch beobachtete ich zwei parallel verlaufende, prächtige Trogtäler. Hier, unterhalb des Passes führen bereits felsige, steilere Berghänge talwärts. Die beiden Trogtäler vereinigen sich in 3040 *m* Höhe. In dem hier beginnenden Terskei-Ssarbulak-Tale gelangt jedoch die pleistozäne Vereisung wieder wenig zum Ausdruck. Die Grenze zwischen dem U- und V-Profil ist in einem

Abschnitt von 8 *km* verschwommen, worauf in 2890 *m* Höhe ein ausgesprochen V-förmiger Talabschnitt folgt. — Auf dem Talboden ist der Glazialschutt infolge starker fluviatiler Umlagerung (das Tal ist unbewaldet, kahl!) nicht sichtbar.

Über das Talgehänge des Terskei-Ssarbulaک gelangte ich auf einen Bergrücken von 3500 *m* Höhe, auf welchem ich Reste einer Grundmoräne und Spuren glazialer Scheuerung vorfand. Die Decke des aus Tonschiefer bestehenden Bergrückens ist abgehobelt und hauptsächlich mit Granitblöcken und Kantengeröll bedeckt. Es ist wahrscheinlich, dass ein aus südwestlicher Richtung kommender Eisstrom diese Spuren zurückgelassen hat. Ähnlicher Schutt befindet sich auf den Hängen des Bergrückens, dorthin dürfte er jedoch wahrscheinlich durch das Regenwasser verfrachtet worden sein. Zwischen den auf dem Tonschiefer liegenden Granitblöcken befinden sich auch solche von 2—3 *m*<sup>3</sup> Grösse.

#### 6. Der Unterlauf des Kokschal.

Der Karbonkalkzug des Merketschdagh geht in das Uru-Gebirge über, den genetischen Zusammenhang der beiden beweisend. Dieser Gebirgszug wird in orographischem Sinne vom Kokschal, bezw. dessen erwähnter Sarbulak-Schlucht unterbrochen. Unterhalb der Schlucht beginnt das Gebiet fluviatiler Akkumulation. Auch weiter aufwärts ist die Existenz des Haupttalgletschers im Pleistozän eine fragliche, hier suchen wir wohl für immer vergebens nach seinen Spuren. Das Wasser des Kokschal breitet sich aus, es verzweigt sich. Seine Ufer werden von zwei Terrassen begleitet, die am Rande der Zone des roten Konglomerates gelegen sind. Die dritte Terrasse wird durch die Oberfläche des roten Konglomerates gebildet. Während in der Gegend des Ssinghardjar die Moränen die Zone des roten Konglomerates fast vollständig bedecken, bleiben diese hier in grösserer Entfernung am Fusse des Gebirges, einen fast zusammenhängenden Moränengürtel bildend. Auf der Decke des roten Konglomerates sind fluvioglaziale Schotterschichten aufgelagert, die die Oberfläche ausgleichen, an zahlreichen Stellen vollkommen eben gestalten.

Eigentümlich ist die Lage des zweifelsohne praepleistozänen, roten Konglomerates. In der Umgebung des Tschitscharbel zeigt es ein ständiges Fallen nach Norden. Doch beobachtete ich nicht, dass es 15° überstieg. Vor dem südlichen Kogart-Tal treten echte Antiklinalen, vertikale Schichtenstellungen auf, hier aber wird eine andere Schichtengruppe ganz ähnlichen Gesteins abgegrenzt, welche der ersten diskordant aufliegt und verhältnismässig wenig Störung aufweist. Im Merketschdagh zeigt das rote Konglomerat noch immer ein nördlich gerichtetes Fallen und es hat den Anschein, als schlüpfte es unter den erwähnten Karbonkalkzug. Aus diesem eigentümlichen Umstand folgerte

KEIDEL auf eine Überschiebung des Karbonkalkes auf das Konglomerat von angeblich pliozänem Alter. Ich muss bemerken, dass diese Schichtenstellung auch durch einfache Verwerfung erklärt werden kann und diese tektonische Bewegung muss nicht gerade in Pleistozän vor sich gegangen sein, denn es ist sehr fraglich, ob dieses rote Konglomerat tatsächlich pliozänen Alters ist. Mit den roten terrestrischen Bildungen Zentralasiens gedenke ich mich an anderer Stelle zu beschäftigen und werde ich dann dartun, dass die roten Konglomeratbildungen bei weitem nicht alle gleichartige, ähnlich aufgebaute Ablagerungen derselben Zeitperiode sind.

Merketschdagh ist ein mächtiges, gletscherreiches Gebirge, das wasserreiche Bäche in den Kokschal sendet. Diese schneiden tiefe Gräben in die Niveaufläche des roten Konglomerates. Die Bäche treten aus steilen V-förmigen, tannenbewachsenen Schluchttälern auf den Rand des Kokschal-Tales hinaus. Die beiden Terrassen des Kokschal begleiten ungestört den Hauptfluss. Unterhalb der Karakol-Mündung nimmt die ausgiebigere, einige Fuss mächtige Lössdecke der zweiten, höheren Terrasse ihren Anfang. Der Kokschal fliesst beständig am Südrand der Talung, da von Norden her mächtige pleistozäne Schuttkegel sich auf die Terrassen lagern. Der Schuttkegel des Tisekterdi bildet einen Halbkreis mit einem Radius von 5 *km*, dessen Rand sich über dem Kokschal in 2150 *m*, dessen Gipfel in 2400 *m* Höhe befindet. Ich halte es für zweifellos, dass dieser Schuttkegel, wie alle seine Nachbarn, eine fluvioglaziale Akkumulation aus der Burkhan-Zeit und gleichzeitig mit der jüngeren Kokschal-Terrasse entstanden sei. Dieser gegenüber mag die lössbedeckte, ältere Kokschal-Terrasse der Burkhan-Zeit vorangegangen sein. Auf der Südseite befinden sich einige hundert *m* hohe Berge, die fast bis zur Hälfte im Schutt begraben sind. Auf den hervorragenden Bergrücken grünen Nadelwälder bereits in 2400—2500 *m* Höhe, unmittelbar am Rande der wüsten Schuttzone. Den Tisekterdi-Schuttkegel übertrifft an Grösse ganz bedeutend der riesige Üsüngegusch-Schuttkegel, der in der Kokschal-Talung infolge des tieferen Niveaus des Kokschal-Flusses entstand. Der riesige Kokschal-Schuttkegel, dessen Ausdehnung sich auf mehrere hundert *km*<sup>2</sup> beläuft, blickt nach Südosten, der heutige Fluss verlässt ihn aber in südlicher Richtung und trifft den Kokschal im rechten Winkel. In dem grossen Schuttkegel befindet sich heute ein 20—25 *m* tiefes, von steilen Schotterwänden umgebenes Flussbett und auch der Kokschal mag eine wenigstens 30 *m* hohe Wand am Rande des Schuttkegels ausgewaschen haben. Auch in dem in den Schutt eingeschnittenen Flussbett befindet sich eine Terrasse. Das Material des Schuttes ist am grössten in der die Originalschuttkegelfläche bildenden alten Ablagerung, es ist feiner in der ersten Terrasse und ganz fein in der heutigen, ausgenommen die Orte, wo in den unterwaschenen Betten aus der alten Ablagerung stammender Schutt

sich ausbreitet. Auch hier lassen sich seit dem Pleistozän zwei Schuttanhäufungsperioden feststellen. (S. das Bild pag. 304. in PRINZ: Utazásaim Belső Ázsiában, Budapest, 1911.).

### 7. Die Umgebung des Bülötü-Passes.

Im östlichen Teil des Apatakan-Gebirges münden die Täler Karadschilga, Ssassikbulak und Bülötü in die Kokschal-Talung. Diese Gegend bereiste vor mir bloss JOUNGHOUSBAND, dessen Messungen für die Höhe des durch das Apatakan-Gebirge führenden Bülötü-Passes 3460 *m* ergaben. Auch der flache Pass zwischen den Tälern Bülötü und Ssassikbulak, der jedoch bloss 3130 *m* hoch ist, führt den Namen „Bülötü“-Pass. Den letzteren scheinen die Kirgisen in der ersten Hälfte des Sommers zu benützen, wenn längs des Kokschal der hohe Wasserstand den Verkehr unterbindet.

Auf dem Bülötü—Ssassikbulak-Pass sind keine Spuren irgendeiner Vergletscherung vorhanden. Auch in der Richtung des JOUNGHOUSBAND'schen Passes schien das Talbild ebenfalls auf fluviale Erosion hinzudeuten. Bereits in 3000 *m* Höhe versiegt der Bach auf dem hier beginnenden Schuttkegel, dessen Länge 18 *km* beträgt und dessen Breite ständig zunimmt, bis er in 2270 *m* Höhe den Rand des Kokschal erreicht. Es ist charakteristisch, dass der Bülötü-Schuttkegel keine Terrassenbildung aufweist und dass die Oberfläche des Schuttkegels mit der Niveaufläche der alten, grossen Terrasse des Kokschal verschmilzt. Hier handelt es sich demnach bloss um eine Periode der Schuttanhäufung und diese fällt mit der Entstehungszeit der grossen Schuttkegel des Üsüngegusch, Tisekterdi usw. zusammen.

Ein vollkommen ähnliches Bild zeigte sich mir im Ssassikbulak-Tale. Die Höhe des Togusbulak-Passes beträgt 3300 *m*, Spuren irgendwelcher Vereisung sind auf ihm nicht vorhanden. Auch die Ssassikbulak-Talung ist vollkommen trocken. Hier reicht die den Talboden bedeckende Schuttanhäufung bis in 3300—3400 *m* Höhe. Ähnliche Verhältnisse zeigt auch der Karadschilga.

### 8. Der Nordhang des Karateke-Gebirges.

Mit dem Schuttkegel des Bülötü vereinigt sich auch der des Kisilkaptschagaj (Aktschiaul). Die Höhe des Kisilkaptschagaj-Passes beträgt 3380 *m*, das nach Norden sich neigende Tal zeigt zwei Abschnitte von verschiedenem physiographischem Charakter. Von der Passhöhe bis zum Niveau von 3000 *m* zieht sich ein breites trogartiges, aber keine auffallenden glazialen Spuren zeigendes Tal dahin, auf dessen Sohlenlinie ein schluchtartiger Graben folgt. (Fig. 9., auf Taf. XVII. in Földr. Közlem., XXXVIII., 1910.) Unterhalb des 3000 *m*-Niveaus breitet sich das Schluchttal

aus und an die Stelle der gebrochenen Profillinie tritt ein hier bereits gleichmässiges Talgehänge, im Zusammenhange hiemit verwandelt sich der Erosions-Talboden zu einem sich verbreitenden, schottererfüllten Talboden. Die Steppengräser klettern auch in dem oberen Talabschnitt etwa bis zu einer Höhe von 3085 *m* empor.

Mein Weg führte mich auch durch das 40 *km* östlich des Kisilkaptschagaj gelegenen Kitschik-Musduk-Tal. Die Benennung des Tales „das Eisige“ würde darauf hinweisen, dass wenigstens ein Teil desselben über der Schneegrenze liege. Wie ich bereits in meinem vorläufigen Bericht hervorhob, kann von einer derzeitigen Vereisung in diesem Teile des Tienschan nicht gesprochen werden. Der auf dem Hauptrücken des Karateke-Gebirges befindliche Musduk-Pass liegt in 3440 *m* Höhe, übertrifft also in dieser Beziehung den Pass des Kisilkaptschagaj-Tales kaum um ein Geringes. Trotzdem ziehen sich vom Passrücken zwei schöne Trogtäler abwärts. Diese Täler und das Aussehen des zwischen ihnen in mässiger Höhe emporragenden Nebenrückens weisen auf einstige Vereisung hin. Hier musste es im Pleistozän zur Bildung kleiner, 1½–2 *km* langer Eisströme kommen. Etwa im Niveau von 3100 *m* befindet sich die Talstufe, über welche die im Trogtale trüg fliessenden Bäche in Gestalt von Wasserfällen herabstürzen. Von hier an zeigt die Physiognomie des Tales Beweise fluviatiler Erosion. Bezeichnend für das Klima des Tales ist, dass sich die Nadelwälder bloss auf die nördlich gelegenen Hänge beschränken.

### 9. Der Südhang des Karateke-Gebirges.

Auf der Südseite des Karateke-Gebirges sind mir drei Quertäler bekannt, von Westen her das erste Tal heisst Arpatschötschök, dessen Namen wir bereits auf der Karte HEDIN's vorfinden, das zweite führt den Namen Kurgaktör, das dritte heisst Kargadseilö. Ich durchquerte ausserdem noch den obersten Abschnitt des Tschong-Musduk.

Ein sicherer Beweis für die Ausbreitung der pleistozänen Vereisung im Karateke-Gebirge ist meiner Ansicht nach der Unterschied in den physiognomischen Zügen der nördlichen und südlichen Gebirgsseite. Die über dem Niveau von 3000 *m* gelegenen, von feuchten, oder doch wenigstens üppigen Alpenwiesen bedeckten, sanft abfallenden, geräumigen Trogtäler der nördlichen Gebirgsseite sind auf der südlichen nicht mehr zu finden. Auf der Ostseite des Kisilkaptschagajbel beginnt unmittelbar die fluviatile Aufschüttungszone, die den Fuss der Gebirgsrücken bedeckt. Südlich des Passes erhebt sich in etwa 5 *km* Entfernung ein höchstens 3800 *m* Höhe erreichender Kalkfelsrücken, auf der nach Norden vorgeschobenen Seite desselben sind Linien sichtbar, die an glaziale Nischen gemahnen. Es ist bezeichnend, dass an jener Stelle, wo die Gewässer des „Tschoku-tegerek“ benannten Gebirges in das

Haupttal gelangen, auf der aufgefüllten Oberfläche unmittelbar eine Terrasse ihren Anfang nimmt. Die hier auftretende, kleine Terrasse verschwindet in Kürze talabwärts. Ich beging den oberen Abschnitt des Arpatschötschök-Tales talabwärts bis zu dem 2630 *m* Höhenpunkt und erreichte die obere Grenze der Steppengräser in der Höhe von 2930 *m*. Die Schotter des Talbodens werden durch eine talabwärts mehr und mehr zunehmende Lössdecke bedeckt. In einem trockenen Seitental des Arpatschötschök liegt die obere Grenze der Steppengräser in 2900 *m* Höhe.

Auf der Wasserscheide des Arpatschötschök und Kurgaktör bestimmte ich die Höhe des Passes mit 3380 *m*. Das vom Passe östlich in den Kurgaktör führende Tal wird von den Kirgisen Karagaj genannt, da auf der das Tal im Süden einfassenden, felsigen Bergwand (Nordhang) in 3500–3600 *m* Höhe Nadelwälder stehen. Zwischen den einzelnen Nadelwaldflecken deuten kleine Felsnischen auf die schwache pleistozäne Vereisung hin. Am 22. September waren bereits Schneeflecken auf diesem Berg Rücken sichtbar, nur 5 *km* von der heißen Degene-Wüste entfernt und auf einem Niveau, welches kaum 1600 *m* höher, als die letztere gelegen ist. Die Steppengräser reichen im Karagaj-Tal bloss bis zu 2880 *m* Höhe. Der Kurgaktör durchbricht in 2420 *m* Höhe den südlichen Höhenzug des Karateke-Gebirges und versiegt an der Austrittsstelle aus dem Schluchttal, am Rande der Degene-Wüste.

Der Musduk-Pass (3440 *m*) und der Sseki-Pass (3470 *m*), auf dem dem ersteren südlich gegenüber sich erhebenden Rücken sind die höchsten Punkte, die ich im Karateke-Gebirge bestimmte. Der Musduk-Rücken übersteigt kaum an irgendeinem Punkte 3800 *m*, der Sseki-Rücken jedoch erreicht nach meiner Schätzung, zwischen den Pässen Sseki und Djargak wenigstens die Höhe von 4200 *m*. Diese Gegend stellt die Photographie auf Seite 306. meines Buches „Utazásaim Belső-Ázsiában“ dar, die ich aus 3400 *m* Höhe aufnahm. Am 17. September des Jahres 1909 war das Gebirge bereits bis zum Niveau von 3300 *m* vom Winterschnee bedeckt, während die Nordseite des Musduk-Passes vollkommen schneefrei war. Die Bedeutung des Ortsnamens „Musduk“ ist hier also verständlich. Ich konnte von den den Musduk-Pass umgebenden Höhen aus zwar keine ausgedehnteren Firnfelder beobachten und ich glaube, dass diese im Gebirge auch nicht mehr vorhanden sind, jedoch erreichen einzelne Punkte und Spitzen des Gebirges die klimatische Schneegrenze. Die einstige Vereisung hinterliess aber deutliche Spuren in den physiographischen Linien des Gebirges. Auf den Berghängen befinden sich geräumige Nischentäler, welche sich zu weiten Trogtälern vereinigen. Das Trogtal zieht sich gegen Osten hin und die U-Form des Talquerschnittes hält in 3200 *m* Höhe, wo ich in das Seitental des Sseki-Passes einbog, noch an.

Der Sseki-Pass ist ein eisgescheuerter Rundhöckerrücken. In südlicher Richtung befindet sich ein geräumiges Zirkustal, von steilen,

felsigen Bergwänden, stellenweise von Felswänden umgeben. Die Sohlenhöhe des Zirkustales beträgt 3220 *m*. Die Erosion schnitt tiefe Schluchten in den Boden des Sseki-Zirkus und zerteilte hiedurch den Talboden in mehrere Plateaustücke. Das Bodengebiet des glazialen Zirkus zerfällt demnach in kleinere, von steilen Seitenwänden umgebene Randflächen. Bis an den Saum der Randflächen klettern auch die Nadelwälder empor, somit ist das Niveau von 3220 *m* die obere Grenze derselben. Bezeichnend ist, dass die Kirgisen diese Gegend, ein gutes Weidegebiet, „dscheilö“ (Kara-dscheilö) nennen.

Unterhalb der Randflächen beginnt das Gebiet fluviatiler Erosion. Das Wasser des Baches verschwindet im Schutt, um einige *km* weiter talwärts als Quelle wieder zu Tage zu treten. Hier befindet sich in 2600 *m* Höhe die obere Grenze der Steppengräser. Bald verschwindet der Bach wieder von der Oberfläche. Am Rande des Gebirges, wo die Schotterablagerung den Boden einer mächtigen Felsschlucht ausfüllt, ist das Bett des Baches bereits trocken. In 2230 *m* Höhe beginnt die Wüste.

Die pleistozänen und alluvialen Ablagerungen der nördlich und westlich vom Kalpin sich ausbreitenden Wüste bilden jene mächtige Schuttmasse, welche die südlichen Ketten der Karatake-Gebirgsgruppe fast vollkommen verschüttet. Der obere Rand der Schotterwüste befindet sich in 2200—2400 *m* Höhe. Von hier bis zum Rande der Ebene des Tarim-Beckens beträgt die Entfernung etwa 80 *km* und die Höhe dortselbst über dem Meeresspiegel 1000—1100 *m*. Der riesenhafte Schuttgürtel zeigt eine ziemlich regelmässige, gleichrässige Abdachung mit einem Gefälle, welches zwischen 10—32 *m* pro *km* variiert. Die verhältnismässig geringen Veränderungen der Gefällsverhältnisse werden von den sich aus dem Schuttgürtel noch erhebenden, parallelen Felsrücken verursacht. Gelegentlich der Auffüllung füllten sich die zwischen den Felsrücken gelegenen Terrainstreifen der Reihe nach. Die Querschluchten der Felsrücken bildeten naturgemäss Hindernisse für die vollkommen gleichmässige Ausfüllung.

Die Masse des Materials der grossen Schuttzone und dessen eingebnete Oberfläche lassen für sich allein schon auf ein vom heutigen verschiedenes Klima schliessen. — Die rezente Auffüllung ist gering. Zur Zeit der Frühlingsschneeschmelze bleiben die Schmelzwässer zweifellos länger an der Oberfläche, als die Bäche zu Ende des Sommers und kommt es auf diese Weise zu Umlagerungen auf der Decke des Schuttgürtels. In der Schotterwüste befinden sich rezente Flussbetten. Untersucht man jedoch das Material der Betten, findet man ausschliesslich die durch die Seitenerosion bewegten Gerölle der Schuttzone und sandige Streifen in ihnen. Die rezenten Gewässer bringen demnach aus dem Gebirge nur mehr ein Minimum des Materials und ist somit die Intensität der Auffüllung bereits sehr gering. Die rezenten Gewässer

leisten auf der Schuttzzone Erosionsarbeit und häufen das aus der Schuttzzone erhaltene Material in tiefer gelegenen Regionen an. Der das Gebirge verlassende Bach lagert das wenige mitgeführte Geröll am Rande der Wüste ab, oder lässt es bereits zwischen den Bergen im unteren Abschnitt des Tales liegen, wie der Sseki. Vor dem Felstor, am Rande der Wüste, befinden sich Schuttkegel von verschiedener Grösse, an deren Grenze der Bach gelegentlich des periodischen Auftretens von Wildwässern sich ein Bett schafft und darinnen neues Geschiebe verfrachtet. An einem der Felstore des Klippenzuges der Wüste angelangt, breitet er dieses Material auf der Südseite des Klippenzuges in Gestalt eines neuen Schuttkegels aus. Der Sseki vollführt diesen Prozess viermal, der Kurgaktör dreimal, endlich vereinigen sich die beiden im Ssubaschi und ihr Wasser tritt an die Oberfläche. Unterhalb des Ssubaschi wiederholt sich dann dieser Prozess noch zweimal.

Die Anhäufung der in der Kelpin-Gegend befindlichen Schottermassen ist, wie ich bereits erwähnte, mit der heutigen Wassermenge nicht zu erklären. Auch hier können wir nur an Klimaänderungen denken. Die Schotterablagerungen repräsentieren zweifellos eine längere Zeitperiode, sie nahmen wahrscheinlich bereits in der Mitte des Tertiärs, mit der damaligen Senkung der Erosionsbasis ihren Anfang. Die Geschichte der Anhäufungen zu rekonstruieren, dürfte mit Hilfe der herrlichen Aufschlüsse nicht schwer fallen, grosse Schwierigkeiten jedoch birgt der längere Aufenthalt in der Wüste in sich, woselbst auf die Entfernung von einigen Tagereisen im Umkreis weder Trinkwasser, noch Weide, noch Brennmaterial zu finden ist. Ich möchte die Aufmerksamkeit bloss auf folgende Daten lenken.

Im Inneren des Gebirges fand ich keine Spur einer vorpleistozänen Schuttanhäufung und falls diese auch vorhanden wäre, kommt sie doch in bedeutenderen Massen nicht vor. Da es ausser allem Zweifel steht, dass die Entstehung der in der Umgebung des Musduk-Passes befindlichen, sowie der übrigen Trogtäler in das Pleistozän zu verlegen ist, muss die Ausräumung des ebenfalls zweifellos vorhanden gewesenen, vorpleistozänen, oder doch der Vergletscherung vorangehend entstandenen Schuttes aus dem Gebirge der Vereisung zugeschrieben werden. Demnach mag sich der Schutt in der Zeit vor der Vereisung im Gebirge und am Fusse desselben mit einer steileren Abdachung als heute und eine schmälere Zone bildend abgelagert haben. Wir müssen in dieser Zeit ein arides Klima annehmen. Am Nordrand der Tumschukhak-Wüste, in der Schlucht des Sseki-Baches befinden sich Schotterhügel, die in einem, die heutige eingeebnete Schuttzzone an Höhe weit übertreffendem Niveau gelegen, Zeugen der alten Schuttzzone darstellen. Das Material dieses älteren Schuttes untersuchte ich, wenn auch nur in aller Eile, fand jedoch keine auf ein humides Klima hinweisenden tonigen, mehr verfestigten Schichten in ihm. Es besteht aus trockenem, losem Geröll

und wengleich fast durchwegs Kalkstein, ist es nicht einmal zu Konglomerat verbunden und zeigt eine rötliche Färbung.

Nach der älteren Schuttanhäufung musste die niederschlagsreichere Zeit eingetreten sein, welche für das Innere des Gebirges ein nivales Klima bedeutete. Ich betone, dass nicht bloss ein Sinken der Temperatur, sondern auch eine Zunahme des Niederschlages eintreten musste. Auf den Südhängen des Karateke-Gebirges zeigen sich die Resultate einer sehr energischen Erosion. Tiefe, schluchtartige Täler befinden sich hier, die zweifelsohne in vollem genetischen Zusammenhang stehen mit den Trogtälern des hohen, zentralen Teiles. Die Schluchttäler führen zur tiefer gelegenen Niveaufläche der Schuttzone. Der alte Schutt wurde von den Gewässern umgelagert und bildete die Wüste der ausgedehnten schiefen Ebene.

Unter Einwirkung des voreiszeitlichen ariden Klimas, mögen die schmalen Klippenzüge des Ssonkotau, Djagala, Ssubaschintau, Karaschagatschtau, Kermetau usw. von selbständigen Schutthalden umgeben gewesen sein, welche die Gewässer der nivalen Zeit ebenfalls mögen eingeebnet haben. Zwischen den Klippenzügen wurden die Becken aufgefüllt und verwischt. Folgendes Phänomen erweckt noch unser Interesse. Zwischen den präglazialen Schotterhügeln des Tumschukkhak, am Fuss des Karatake-Gebirges befindet sich auf der aus glazialer Zeit stammenden Schotterebene eine dünne Lössdecke. Der Löss gelangte demzufolge in der Eiszeit zur Ablagerung. Die Schotterebene bildet eine Terrasse, da das heutige, gewöhnlich trockene Bachbett aus ihr herausgerodiert wurde. Zweifellos sind es bloss zeitweilig auftretende Regengüsse und die Wassermassen der Frühlingsschneeschmelze, die auch dieses Bett zeitweise überschwemmen.

Die Wüstenteile Degene und Djagala gehören zur eingeebneten Niveaufläche der nivalen Zeit, jedoch bedeutet diese Zeit hier kein nivales, sondern ein Wüstenklima. Die Umlagerung ging ebenfalls ohne Fussfassen der Pflanzen vor sich. Das dritte Becken ist die zwischen Djagala und Ssubaschintau befindliche Beschkap (= fünf Säcke)-Wüste. (S. Panorama pag. 308. in PRINZ: Utazásaim Belső Ázsiában, Budapest, 1911.). Die präglaziale Schuttanhäufung ist auch hier vollkommen eingeebnet. Die Zahl der Terrassen jedoch ist bereits zwei. Der Schutt der kahlen Rücken des Ssubaschintau und Djagala spielt kaum irgendwelche Rolle. Der Zwischenraum der beiden Randgebirge wird nämlich durch eine horizontale Schotterterrasse ausgefüllt. Das geringe Gefälle dieser grossen Terrasse weist auf Seeablagerungen hin. Das Material derselben besteht aus Sand und feinkörnigem Kies. Das durchbrochene Felstor des Ssubaschintau scheint jüngeren Ursprungs zu sein. Eine zweite Terrasse befindet sich 6–8 m tiefer, die ich in die Eiszeit verlegen muss, da sie das breite, aus dem Niveau der hohen Terrasse ausgewaschene Bett ausfüllt. Auf der Decke der unteren Terrasse zeigt

sich das fast verschwindend unbedeutende Bett der rezenten Frühlings-schmelzwässer bis zum 1810 *m* Höhenpunkt der Beschkap. Hier mündet dieses Bett in eine tiefe Schlucht. In der Schlucht vegetieren Sträucher, Bäume (*Populus*), was auf einen gewissen Grad von Feuchtigkeit des Bodens hinweist. Die Schlucht beginnt am Fusse des Djagalatau. Die Entstehung der Schlucht ist der Erosion des Wassers der am Fusse des Djagalatau zutagetretenden Quelle zuzuschreiben. Der Ort bietet auch Aufklärung bezüglich der Entstehung der Tore der Felsrücken. Augenscheinlich sammelt sich das Wasser der versiegenden Bäche des Karatake-Gebirges, Sseki, Dünge, Kutschuk, Tschong-Musduk unter den Schottern der Djagala-Wüste, durchbricht den Karbonkalk-Zug des Djagalatau in unterirdischem Gang und tritt auf diese Weise in der Quelle der Schlucht Beschkap zutage. Die Entstehung der Felstore ist demnach auf den Einsturz von Höhlen zurückzuführen. In der zweiten Hälfte des Sommers jedoch genügt das Wasser der Bäche nicht mehr zur Saturierung der Schotter-schichten, so dass auch die Quelle versiegt. Der in der Quelle zutage tretende Bach bleibt den grösseren Teil des Jahres nur auf einer kurzen Strecke an der Oberfläche, da die Pappelbäume gar bald ausbleiben und in der Nähe des Felstores des Ssubaschintau die Gegend bereits das Bild einer Wüste zeigt.

Die obere Terrasse der Beschkap wird durch die Deflation heftig angegriffen. Von ihrer unebenen Oberfläche entfernt der Wind das feinere Material. Die zu Konglomerat verkitteten, festeren Teile zeigen Ausblasungserscheinungen, ich sah eine wirkliche Sphinx, einige schöne Zeugenberge, die das Niveau der alten Ebene angeben.

Der Radius des vor dem Felstor des Ssubaschintau in südlicher Richtung sich ausbreitenden, mächtigen Schuttkegels misst 4 *km*. Auch die Trockenbetten verzweigen sich in radialer Richtung. Die Spitze des Schuttkegels ist in 1680, der Rand in 1540 *m* Höhe gelegen. Dieses bedeutende Gefälle ist an sich bereits ein Beweis für das jugendliche Alter des Schuttkegels. Die Schuttanhäufung nahm hier in der Glazialzeit ihren Anfang. Die kleine Ssubaschi-Oase verdankt ihre Entstehung dem jugendlichen Alter des Schuttkegels. Die geringe Auffüllung genügt nämlich nicht, um das zwischen Ssubaschintau und Karadschagatschtau gelegene Becken vollkommen zu bedecken und tritt an dessen Südrand das Wasser der Bäche wieder an die Oberfläche. An der Mündung des Karadschagatsch-Tales befindet sich die Terrasse der Glazialzeit bereits in 10 *m* Höhe.

**Zusammenfassung.** Der Kokschal sammelt die Gewässer der hohen Akssaj—Üsüngegusch-Syrtreihe des Mittleren Tienschan in zwei Toren, das eine ist die Tschitscharbel-, das zweite die Üsüngegusch-Schlucht. Diese beiden mächtigen Durchbrüche öffnen den Wässern der Syrie das Tarin-Becken. Natürlicherweise spiegelt die Anhäufung des

Kokschalshuttes jede, in der Vereisung der Syrtgegenden eintretende Veränderung getreulich wieder. Die Kokschal-Talung befindet sich zwischen zwei, auch in der Burkhan-Zeit in bedeutendem Masse vereisten Gebirgsreihen. Die nördliche der letzteren ist seit Jahrzehnten unter dem Namen Kokschaltau bekannt. Die mächtigen Eisströme des Kokschaltau reichen auch heute noch weit herab, in der Burkhan-Zeit erreichten einige sogar die Linie des Kokschal-Flusses.

#### VI. Vergleichstabelle,

T a l	Obere Grenze der Steppen-gräser	Obere Grenze der Nadel-hölzer	Gletscherende	Grenze der V- und U-förmigen Täler	Sfirnmeränen
1. Südliches Bossaj	—	—	—	3280	—
2. Südl. Kogart	3000	—	4200	3130	3650
3. Kokschal-Haupttal	2880	—	—	—	—
4. Kengssu	?	—	3700?	3200?	—
5. Tschunkurtschak-Ssarbulak	2780	—	?	3050	3050
6. Terskej-Ssarbulak	?	—	—	3040?	—
7. Ksil-Kaptschagaj	3085	—	—	3000?	—
8. Nördl. Musduk	2470	3200	—	3100	—
9. Arpatschötschök	2930	—	—	3500?	—
10. Kurgaktör	2880	3600?	—	3600?	—
11. Musduk-Sseki	2600	3220	—	3220	—

Die am Südrande des Tienschan und im Karateke-Gebirge angestellten Beobachtungen, lassen alle auf ein Anwachsen der Niederschlagsmenge im Pleistozän schliessen. Die Akkija-Zeit in der Kokschal-Gegend lässt sich aus der zwiefachen Schuttanhäufungsperiode vermuten. In der Burkhan-Zeit sind Kokschaltau und Usutau vom Scheitel bis zur Sohle vereist, stellenweise kam es am Fusse des Gebirges zu fladenartigen Zusammenflüssen (Singhardjar).

#### G) Das nördliche Flussgebiet des Kaschgardarja.

##### 1. Der Tangitar-Terekssaj.

Der Kiptschak-Pass ist die Wasserscheide für drei Flüsse. Nach Norden fliesst der bereits beschriebene Akksaj-Terekti, nach Süden der Terekssaj und einer von dessen Nebenflüssen, der Kiptschakssu. Das Sammelgebiet des Terekssaj und Kiptschakssu wird durch den vom Kiptschak-Pass sich nach Süden hinziehenden Rücken getrennt. Dieser Rücken zeigt gerundete Formen, seine Linien weisen auf glaziale Scheuerung hin, sein tiefster Punkt ist in 3920 m Höhe gelegen. Westlich und östlich von diesem Rücken befindet sich ebenfalls je ein U-förmiger

Trog, mit vollkommen ausgebildeten, flachen Seiten. Der östliche Trog, aus welchem der Kiptschakssu entspringt, erreicht in 3700 *m* Höhe seinen tiefsten Punkt und setzt sich von da aus in nordöstlicher Richtung in einem asymmetrischen, schmalen Tal fort. Die Nordwestseite des Talabschnittes ist steil, die Schichtköpfe des Karbonkalkes bilden auf ihr lange Streifen, — die Südostseite ist sanft abgedacht, hier fallen die Gesteinstafeln gegen das Tal zu. Hier fand ich keine Spuren glazialer Arbeit oder Ablagerung. Nadelhölzer gibt es im Tale nicht. In 3400 *m* Höhe wendet sich das Tal, durchbricht die erste Gebirgskette und gelangt auf deren Südseite. Hier treten bereits Dornbüsche auf. Das Tal erweitert sich allmählich und es entwickelt sich eine grosse Terrasse. In 3050 *m* Höhe erscheinen die ersten Steppengräser.

Zwischen dem Niveau von 2900 und 2730 *m* durchbricht der Kiptschakssu die zweite Gebirgskette. Hier endet die Terrasse, mit dem unteren Ende der Schlucht nimmt das Schwemmgebiet des Flusswassers seinen Anfang. In 2600 *m* Höhe wird das Flussbett bereits von Pappeln begleitet; in 2380 *m* Höhe aber tritt der Fluss an den Rand einer 15 *km* breiten Schotterwüste, wo sein Wasser auch sogleich versiegt. Die Körner des Schotters der Wüste sind wenig gerundet, ich untersuchte die Gesteine der letzteren, konnte jedoch nichts anderes, als zwei dem Karbon angehörende Kalkarten finden. Aus der Schotterwüste erheben sich einzelne vollkommen kahle Kalkfelsen, deren Gesteinsmaterial mit dem in *sum* ausgebreiteten vollkommen identisch ist. Am Nordrand der Schotterwüste stiess ich auf einen Berieselungskanal. Die Schotterwüste ist von 2380 *m* auf 2030 *m* gleichmässig abgedacht. Ich glaube mich nicht zu irren, wenn ich die Entstehung dieser eingeebneten Niveauläche in die Zeit der Entstehung der niedrigeren Beschkap-Terrasse, also in die Glazialzeit verlege.

Am Südrand der Wüste befinden sich die verschwommenen Spuren einer höher gelegenen Terrasse.

Am Südrand der Schotterwüste ist die Abdachung gegen ein Felstor gerichtet, das seine Entstehung zweifelsohne einem Höhlen-Einsturz fluviatilen Ursprungs verdankt. Es kann jedoch auch zweifellos festgestellt werden, dass derzeit oberirdische Gewässer in dieser Schlucht jährlich bloss sehr kurze Zeit hindurch Erosionsarbeit zu leisten vermögen und zwar nur in dem Falle, wenn die nördliche, sehr ausgedehnte Wüste, die das Wasser einem Schwamme gleich aufsaugt, bereits vollkommen gesättigt ist. Ich kenne den Winter der Akssai-Gegend und ich weis, dass die übrigens sehr geringe Winterschneemenge zum grössten Teil einfach verdunstet, so dass es gar nicht zur Bildung von Schmelzwässern kommt. Regengüsse aber können gar nicht so ausgiebig sein, dass sie grössere Kraft entfalten könnten, da die Wüste im Sommer ausgedörrt, des Wassers harrt. Auch hier muss also eine, dem heutigen Klima vorangehende, niederschlagsreichere Zeit angenommen werden.

Nach dem kurzen Abschnitt der Schlucht, erweitert sich das Tal wieder und hier mündet von Ost und West je ein Seitental in dasselbe. Das westliche: Khak, ist ein einfaches Trockental, das östliche: Ges, oder Kiës, jedoch ist eine ansehnliche Talung. Das Bett des Ges führte am 2. Juni 1909 ebenfalls kein Wasser mehr, aber es scheint der Ort nicht entfernt zu sein, an welchem sein Wasser versiegt, da im Tale sog. „Tschöpkana“ (berieselte Kleegärten und Pappeln) vorhanden sind. Im Ges versiegt das Wasser zweifellos nur des Sommers vollständig. Die Erosion seines Bettes ist *juvenile*. Die Anschwemmung fluviatilen Ursprungs des aus der obgenannten Schotterwüste führenden Felstores, ist von dem Wasser des Ges unterwaschen und es gelang uns nur mit Mühe und Not unsere Packpferde von dort herabzubringen. Bei der Untersuchung des Randes der Schotteranhäufung ist es mir klar geworden, dass, seit der Ges die Unterwaschung ausgeführt, vom Felstore her kein Wasser an der Oberfläche dem Ges zugeflossen sein kann. Da der Ges die mehr als einen Meter Niveauunterschied zeigende Unterwaschung und die Vertiefung des Bettes nicht in einem Jahr, ja nicht in Jahrzehnten hat ausführen können, steht es fest, dass in der grossen Schotterwüste oberflächliche Wasser seit Jahrzehnten, ja seit Jahrhunderten nicht können geflossen sein. Diesem beweiskräftigen Moment darf also nicht zu wenig Bedeutung beigelegt werden.

Nach der Vereinigung der drei Täler folgt neuerdings eine steilwandige Schlucht. Diese durchschritt im Jahre 1903 auch die MERZBACHER'sche Expedition. Am Süden der Schlucht tritt eine mächtige Quelle, Tangitar-masar zutage, die schon seit langem bekannt ist. Die Höhe dieses Ortes bestimmte ich mit 1840 *m* (MERZBACHER 1762 *m*). Hier tritt das Wasser des Kiptschakssu und Ges wiederum an die Oberfläche, wodurch auch das Aussehen der pleistozänen Ablagerung eine Änderung erleidet.

Südlich der Tangitar-masar erheben sich quer vor dem Tale aus Karbonkalk und Artisch-Schichten (tertiärer Sandstein) bestehende, aufgefaltete Bergrücken. Der Fluss durchbricht sie sämtlich, sein Gefälle ist bereits ein gleichmässiges, seine Erosion eine beendete, senile, also sehr alte.

Vor Tangitar-masar liegt ein aus grobem Schotter gebildeter, etwa 200 *m* mächtiger Schuttkegel. Aus dem letzteren hat der Fluss erst ein breites Tal ausgewaschen, in dessen eingeebnete Niveaufläche dann eine neuere Erosion das heutige Bett einsenkte. Die Entstehung des Schuttkegels ist jedenfalls vor die der Tangitar-Schlucht zu verlegen. Die Durchbrechung der Schlucht, die Auswaschung des Flussbettes aus dem Schuttkegel, dann die Vertiefung dieses Bettes, all dies kann ebenfalls nur durch die Annahme einer niederschlagsreicheren Zeitperiode Erklärung finden. Die fluviatile Terrasse begleitet nunmehr den Fluss in 10–20 *m* Höhe bis zu dem Zollgebäude von Argu. Dieser Talabschnitt führt den Namen Togatak (Djajosu-Togatak).

Das chinesische Zollgebäude von Argu wurde vor einem neueren Felstore aufgeführt. Der Fluss durchbricht eine aus Artisch-Sandstein aufgebaute Bergkette. Dieser Ort befindet sich nur mehr in 1660 *m* Höhe. Auch hier tritt der Fluss in die Schotterwüste ein, sein Wasser jedoch versiegt nun nicht mehr, sein durch Erosion entstandenes Bett führt noch weiter, bis wohin, weiss ich nicht, denn von hier an machte ich einen Umweg nach Osten. Sieben Kilometer weiter unten gelangte ich zu dem vereinigten Bett des Terekssaj und des oben beschriebenen Kiptschak-Ges, hier war der Fluss recht ansehnlich. Der Terekssaj betritt am Südende der Argu-Oase neuerdings ein Schluchttal. Die 20-Meter-Terrasse ist auch hier vorhanden. Am Ende des Schluchttales beginnt die Altin-Artisch-Oase, am Rande der Tarim-Ebene.

## 2. Oberer Abschnitt des Tojun-Tales.

Vom Toragart-Pass bis in die Gegend von Kaschgar zieht sich in einer Länge von 120 *km*, in der Luftlinie gemessen, und vom Ssujok-Pass bis zum Terekti-Kisilkur in einer 80 *km* betragenden Breite, die Tojun-Talung hin. Zur Kenntnis dieser Gegend lieferten die FORSYTH- und MERZBACHER-KEIDEL-Expeditionen die wertvollsten Daten. Die MERZBACHER'sche Expedition, die sich auch mit der Sammlung von auf die pleistozäne Vereisung bezüglichen Daten befasste, besuchte jedoch bloss den unteren Abschnitt der Talung, während der von mir nur in dieser Talung zurückgelegte Weg die 500 *km* bedeutend übersteigt.

Die Höhe des Toragart beträgt 3880 *m*, er reichte im Pleistozän zweifelsohne in die Region des ewigen Schnees hinein. Das Mass der Vereisung jedoch kann kein grosses gewesen sein. Am Südhang des Passes befinden sich einige trogartige Täler, begrenzt von dem steileren Gefälle des Tales, die auf eine Glazialerosion von kaum einigen hundert Metern hinweisen. Unterhalb dieses Ortes traf ich auf keine durch Eisbewegung hervorgebrachten Spuren mehr. Das Tal bleibt zwar auch weiterhin trogförmig, breit, ist jedoch nicht unbedingt glazialen Ursprungs. Der Talboden ist in seiner ganzen Ausdehnung von fluviatilen Ablagerungen bedeckt. In der Umgebung des Tojuntübe und auf den Talseiten östlich von diesem (Bostschuk-Pass) fand ich an vielen Stellen die von mir für pleistozänen Alters gehaltenen Ablagerungen. Das Tertiär ist hier durch rote Konglomerate vertreten, unter denen die ältere Gruppe starke Faltung aufweist, während die jüngere Gruppe von Brüchen durchsetzt, bloss auf Senkungen hinweist. Im geräumigen Becken des Tojuntübe gelangte nach diesen Dislokationen roter Ton zur Ablagerung, dann fluviatiler Schotter, endlich Löss in geringer Menge. Die roten Konglomerate ragen Klippen gleich über die pleistozäne Decke empor. Die pleistozänen Schotterablagerungen passen sich ganz und garnicht dem Bett des rezenten Tojun-Flusses an, sondern bilden in etwa 200—300

*m* Höhe (3700–3800 *m*) sich ausbreitende, flache Bergrücken. Der pleistozäne Schotter ist feinkörnig, faustgrosse Stücke fehlen fast gänzlich, auch ist er im Gegensatz zum roten Konglomerat fast vollkommen horizontal gelagert und befindet sich ungestört, in originaler Lage. Diese Schotter beweisen, dass auch hier zwischen zwei trockenen eine feuchte Periode anzunehmen sei. (S. Fig. 7., pag. 159. in Földr. Közlem. 1908.)

Der Tojun-Bach fliesst vom Karaul (3710 *m*) an auf aufgefülltem Talboden. Bezeichnend ist, dass Mitte Mai des Jahres 1909, als in den geschützteren Winkeln des Tales, in 3300–3400 *m* Höhe noch schmutzige Fetzen des Winterschnees vorhanden waren, die Bäche kaum etwas Wasser führten. Hingegen steht ebenfalls fest, dass oberhalb des Tojuntübe nicht ein einziger kleiner Schneefleck anzutreffen war. Mitunter aber muss der Tojun doch eine grössere Wassermenge führen, da seine Ufer stellenweise Spuren bedeutender seitlicher Erosion aufweisen.

Das Tojuntübe-Becken steht durch ein Felsentor mit dem niederen (3300–3230 *m*) Kisilmojnok-Becken in Verbindung. Ein Charakterzug dieses ellipsoidalen Beckens ist es, dass hier der Bach in einem in eine eingeebnete breite Schotterfläche gegrabenen Bett fliesst, wenngleich dessen Tiefe kaum 2–3 *m* beträgt. Dann aber wird auch die ausgedehnte Schotterwüste hier von einer, im Osten von zwei noch höheren Schotterterrassen umgeben. Das Landschaftsbild und der Aufbau ist eine vollkommene Analogie des Südhanges des Karateke-Gebirges.

Kaum hat das Wasser des Tojun dieses geräumige Becken verlassen, versiegt es auch schon in 3200 *m* Höhe. Es folgt nun auf einer Strecke von 10 *km* ein aufgefülltes, trockenes Kiesbett, die Terrassen bleiben zurück. Interessant ist es, dass ich in einer Höhe von 3060–3100 *m* ein Schneefeld von zwei *km* Länge und über ein Meter Mächtigkeit vorfand und zwar am 9. Mai 1909, als das Thermometer ein Minimum von 0° C morgens, um 7 Uhr +8° C und mittags im Schatten 15° zeigte. Trotz starkem Sonnenschein wurde der Boden sieben Schritte vom Schneefeld nicht feucht, so gierig verschluckte der Boden das Schmelzwasser. In 3000 *m* Höhe tritt das Wasser wiederum zu Tage, im Zusammenhange hiemit steht die Flussbettvertiefung und die Entstehung von Terrassen. Am Mündungsorte des Tojun in den Ssujok besitzt ersterer bereits eine 2 *m* hoch mit Löss bedeckte Schotterterrasse, hier wurden die Grüfte von Kisilkur aus Lösslehm errichtet (2920 *m*).

### 3. Das Tojun-Ssujok-Tal.

Auf dem Zwischenland des Arpa-Syrt und Tschatirkul, sowie der Ssujok-Talung, erhebt sich der Kurpetau. Auf der Nordseite des letzteren befinden sich ansehnliche Gletscher, die Südseite jedoch ist vollkommen firnfrei. Am Westende des Kurpetau entspringen am Ssujok-

Pass die drei Ssujok-Flüsse. Der eine fließt nach Norden in den Arpa (Narin), der andere nach Südwesten in den Kogart (Karadarja), der dritte nach Südosten in den Tojun (Tarim). Das Tojun-Ssujok-Tal nimmt seinen Anfang auf einem 3900 *m* hohen Pass. Von hier führt ein glaziales Trogtal in 45 *km* Länge bis zu einer Talstufe, auf welcher grober Glazialschutt vorhanden ist: die verwischten Reste einer Stirnmoräne. Unterhalb der Talstufe nehmen mächtige fluviatile Terrassen ihren Anfang, in + 5, + 15, + 60 *m* Höhe über dem Niveau des Flusses. Weiter unten, in der Gegend der Djitim-Mündung verschmelzen die beiden untersten Terrassen miteinander. In den tiefer als 3500 *m* gelegenen Höhen sind die Terrassen stellenweise verschwommen, unterhalb der Ejranssu-Mündung (3240) jedoch verlaufen die beiden Terrassen wieder unversehrt bis zur Mündung, nur werden sie niedriger und verflachen (+ 10 und + 20 *m*.)

Ich erforschte vier von den Seitentälern des Tojun-Ssujok-Tales. In Djitim-Tale drang ich am 9. Dezember 1906 durch hohen Schnee empor zum Djitim-Pass, dessen Höhe etwa 3900 *m* beträgt. Auf der Ostseite des Passes weist ein geräumiges Zirkustal auf einstige glaziale Arbeit hin. (S. Földr. Közlem. 1908, pag. 161., Fig. 8.)

Das Tepschi-Tal führt von dem 3820 *m* hohen Tepschibel zum Tojun-Ssujok, welches es in 3340 *m* Höhe erreicht. Der Tepschibel befand sich im Pleistozän unter einer Firndecke, wofür die Spuren kräftiger Erosion auf dem Nordhang des Passes Beweise liefern. — Der Nordhang des Passes fällt jäh von 3820 *m* auf 3690 *m* ab und unterhalb dieser Höhe zieht sich bis zu 3600 *m* ein enges, U-förmiges Talherab. Die Länge des einst hier befindlichen Eisstromes mag wohl kaum mehr als ein Kilometer betragen haben.

Der Dscherüj ist eine 3900—4200 *m* hohe, flache Bergkuppe in der Mitte des Kockantau gelegen. Auf ihr kreuzte ich zweimal die Wasserscheide der Tojun-Talung. Die Höhe des einen Passes beträgt auf Grund der von mir angestellten Messungen 4060, die des anderen 3940 *m*. In der ersten Hälfte des Mai 1909 war der Dscherüj noch von meterhohem Schnee bedeckt. — Von dem 4060 *m* hohen Sattel zieht sich in nördlicher Richtung ein flaches Trogtal hin. Es vereinigt sich in 3900 *m* Höhe mit einem anderen Trogtal, welches aus einem Nischental entspringt. Unterhalb des 3940 *m* hohen Sattels vereinigen sich zwei Taltröge in 3830 *m* Höhe; in 3750 *m* Höhe sind die vereinigten Taltröge noch entschieden U-förmig und weisen auf einstige Vereisung hin. Die vom Dscherüj ausgehenden Täler vereinigen sich in 3630 *m* Höhe mit dem aus der Gegend des Kogart-Passes kommenden Tal (Dscherüj-Kogart), hier sind die obersten Ablagerungen fluviatile Terrassenschotter. Mir scheint, dass auf der Nordseite des Dscherüj hier die Grenze pleistozäner Vereisung zu suchen ist. Der Terrassenschotter des Dscherüj-Kogart lagert sich vor die Mündung der Dscherüj-Talung.

Dscherüj-Kogart entspringt aus Nischantälern glazialen Ursprungs. An seinem Nordrande befindet sich der erwähnte Tepschibel, auf dessen Nordseite das Vorhandensein des pleistozänen Gletschers ausser Zweifel steht. Für die Südseite kann ich dies nicht mit ähnlicher Bestimmtheit behaupten. Wenngleich die Höhe des 3800 *m* betragenden Rückens unter gegebenen Verhältnissen allein das Fehlen einer Vereisung unwahrscheinlich macht, können die Züge der flachen, gleichmässigen, nicht vertieften, bis auf 3750 *m* herabreichenden Seitentäler nicht ausdrücklich als glazial bezeichnet werden. Dieses unausgeprägte Äussere fand ich auch anderwärts an vollkommen nach Süden gerichteten, sonnenbeschienenen Berglehnen vor. Ich glaube jedoch annehmen zu dürfen, dass das flache Tal von einer wenig bewegten und wirk-samen Firnmasse bedeckt war.

Im unteren Abschnitt des Dscherüj, in einer Höhe von 3480 *m* fand ich an geschützteren Stellen des Bettes im Schatten der Terrassen im Mai noch den Winterschnee vor. Aus den Flussschottern baute sich hier eine Terrasse auf.

#### 4. Ürukssaj.

Südlich des Dscherüj-Passes zieht sich eine geräumige Talung hin, die im Range dem Ütschasch gleich kommt, dessen östlicher Nachbar sie ist. Östlich von ihr ist die Tojun-Talung gelegen. Die vom Dscherüj sich nach Süden hinziehenden Trogtäler vereinigen sich in 3800 *m* Höhe. Auf dem Hang des Dscherüj befinden sich hier einigermaßen verflachende Nischantäler, das vereinigte Trogtal selbst ist U-förmig, die Sohle ist nass und zeigt geringes Gefälle. In 3800 *m* beginnt der Kemirtschek benannte Talabschnitt, der ausgesprochene V-Form aufweist und ungewöhnlich hoch, bis auf 3300 Höhe reichen auch die Steppengräser herauf. Bedeutendere Dimensionen nimmt die Schotteranhäufung oberhalb der Mündung des Ssassek an, etwa in 3000 *m* Höhe. Von hier beginnend nimmt die Erosionsarbeit des Flusses im aufgehäuften Schotter ihren Anfang und den Fluss begleiten bald darauf 30 *m* hohe Terrassen.

In der Umgebung des Tschigatschak-Karaul (2830 *m*) bedeckt pleistozäner Schutt die ganze Talung. (S. das Panoramabild in Utazásaim Belsőáziában, pag. 274.) Aus den Nebentälern erstrecken sich mächtige Schuttfelder in das Haupttal, die der Ürukssaj nicht mehr im stande ist weiter zu führen. Der Fluss hat sich im pleistozänen und rezenten Schuttfelde einen kaum 3–4 *m* eingetieften, breiten Graben geschaffen, auf welchem er sich in mehrere Zweige zerteilt, ausbreitet. In den Nebentälern des Ürukssaj, wie dies auch aus deren Namen Karagaj, Artschalidjüga ersichtlich ist, kommen auch Nadelhölzer vor, jedoch weit entfernt von der Mündung, in etwa 3300–3500 *m* Höhe.

### 5. Die beiden Quelltäler des Ütschasch.

Das in der Nähe der Station Ulugtschat der grossen Karawanenstrasse Andischan-Kaschgar, in den Ksilssu mündende Ütschasch-Tal ist bereits seit langem bekannt. Ich beging seine beiden Quelltäler am 4–6. Mai 1909, zwischen Kalmakaschu und Dscherüj. Damals war der Dscherüj noch hoch mit Schnee bedeckt. Von dem im Pleistozän zweifelsohne eisbedeckten Plateau reichten in westlicher und östlicher Richtung Eiszungen herab. Die Grenzen derselben sind jedoch schwer zu erkennen, da ihr Transport an Schutt ein äusserst geringer war. Soviel jedoch darf ich als unzweifelhaft behaupten, dass das Haupttal bereits in einer Höhe von 3600 *m* eisfrei war, da von hier an das Pleistozän ausschliesslich durch fluviatile Ablagerungen vertreten ist. Das untere Ende des pleistozänen Gletschers mag im Niveau von 3780–3800 *m* gelegen sein. Die Grenze der V- und U-förmigen Täler ist verschwommen, das Eis hat die Form des pleistozänen Tales wenig geändert.

In 3540 *m* Höhe vereinigen sich drei grosse Täler. Die Zahl der Terrassen beträgt hier drei, die erste in 4, die zweite in 6–10, die dritte in 30 *m* Höhe. Von hier bis zur Mündung des Temirgen (3280 *m*) ist die geräumige, ständig von zwei Terrassen begleitete Talung in horizontal gelagerten, grau-grünen Sandstein (Jura?) eingebettet. Der Sandstein wird von rotem Konglomerat bedeckt.

Auf meinem Weg durch das Attei-Karatäsch-Tal machte ein grausamer Schneesturm jedwede Beobachtung unmöglich.

**Zusammenfassung.** Koktantau, sowie der benachbarte Kurpetau und die südlichen Abhänge des Terekitau, sind heute vollkommen firnfrei. Die bis 4200 *m* hohen Bergrücken sind zwar mit Ausnahme einiger Wochen das ganze Jahr über von Schnee bedeckt, jedoch verhindert der ständig über die Bergrücken streichende Wind in Ermangelung von Schutzwänden, die Bildung einer Firndecke. Auf der südlichen, steilen Felswand des Kurpe au kann es trotz erheblicherer Höhe nicht zur Bildung von Eisströmen kommen. Die Schutthäufungen der wüsten Gebiete der Umgebung, sowie die konkaven Hänge der Bergrücken, lassen die Annahme als berechtigt erscheinen, dass auch hier das dem heutigen Klima vorangehende Burkhan-Klima eine Rolle gespielt habe. Im Koktantau sowohl, als auch im Terekitau finden sich in fast gleicher Höhe Zirkusse mit niederen Wänden und in Begleitung sehr beschränkter Moränenbildung mehr oder weniger lange, jedoch niemals bedeutende Trogtäler. Aus den Daten der acht Trogtäler lässt sich die Firngrenze der Burkhan-Zeit leicht bestimmen. Die unterhalb des Trogtales beginnende, fluviatile Auffüllung verdeckt die Linien der älteren Akkija-Vereisung vollständig. Dem nivalen Klima der Burkhan-Zeit entsprechend, zeigen die Schuttgürtel der Umgebung ganz deutlich die

Folgen der Verfrachtungsarbeit eines zwischen die beiden Trockenperioden eingeschalteten, wasserreichen Zeitabschnittes. In dieser Beziehung stimmt der Koktantau mit dem Karateketau vollkommen überein.

#### VII. Vergleichstabelle.

Täler	Obere Grenze der Steppen-gräser	Obere Grenze der Laub-bäume	Obere Grenze der Nadel-hölzer	Grenze der V- u. U-förmigen Talabschnitte	Stirnmoränen
1. Kiptschak-Terekssaj --	3050	3400	—	3700	—
2. Toragart-Tojun ---	3000	—	—	3760	—
3. Tojun-Ssujok ---	3000	—	—	3650	3650
4. Tepschi ---	—	—	—	3600	—
5. Dscherüj ---	—	—	—	3630	—
6. Dscherüj-Kogart ---	—	—	—	3750	—
7. Ürukssaj ---	3300	2900	3500	3800?	—
8. Ütschtasch-Temirgen---	—	—	—	3750	—

#### H) Der Nordhang des Bolor-Gebirges.<sup>1</sup>

##### 1. Die Kisilart-Talung.

Das Bolor-Gebirge wird vom Kisilart-Gebirge durch ein mächtiges Durchbruchsquertal des Karaart geschieden. Die russische Pamir-Expedition (PUTJATA, IVANOV, BENDERSKIJ) vom Jahre 1883 entdeckte diese Enge, besuchte jedoch bloss die Quellgegend des Karaart, um von dort ihren Weg nach Süden zu nehmen. Von glaziologischen Beobachtungen ist kaum die Rede. Topographische Beobachtungen mag ein russischer Militärkartograph später angestellt haben, hierauf weist die Zehn-Werst-Karte hin (zusammengestellt von KUSMIN 1896), die jedoch nicht einmal die Richtung des Tales zur Genüge zum Ausdruck bringt und auch bezüglich der Höhenangaben bloss Daten einiger Punkte des Talbodens aufweist.

Ich gelangte vom Kiakbaschi-pamir aus auf dem Ojürmabel zur Wasserscheide der Talung, für deren Höhe ich 4070 *m* fand. Unterhalb des Ojürma, auf der Nordseite beträgt die Höhe des Karaart-Tales 3630 *m* und hier endet dessen mächtiger Trogtalabschnitt. Der aus dem Karakol-Becken führende Pass ist weit über viertausend *m* hoch und war im Pleistozän zweifelsohne von Eis bedeckt, heute ist er firnfrei. Dem Ojürma-Tale gegenüber beobachtete ich eine verwaschene terrassenähnliche Schuttanhäufung, die wahrscheinlich als Überrest der Stirn-

<sup>1</sup> S. Taf. 12.

moräne des pleistozänen Karaart-Gletschers zu betrachten ist. Ihr Material besteht aus Stücken verschiedener Gesteine, die in geringem Grade abgeschliffen sind. Zwar zeigt auch die unmittelbare Umgebung ein Bild äusserst abwechslungsreichen Aufbaues — Phyllit (Serizitalbitphyllit), Gneis (Sillimanitgneis), Granit (Biotitgranit), quarzhaltiger Kalkschiefer, Porphyroid und zweierlei Karbonkalke folgen einander wechselweise — auf dem benachbarten Berghang jedoch befindet sich keinerlei Wasserriess, mit dem man diese Schuttanhäufung in Zusammenhang bringen könnte.

Unterhalb des Ojürma beginnt die wilde Muk-Schlucht, in welcher bereits jede Spur des pleistozänen Eises fehlt. Die derzeitige Vereisung ist durch einige kleine, in 4600—4800 *m* Höhe befindliche Nischengletscher vertreten, von denen wasserreiche Kaskaden in die Schlucht hinabstürzen.

Der Karaart mündet in 3210 *m* Höhe in den grösseren Kisilart-Fluss, von wo an sie den Namen Markanssu führen. Von hier an nimmt der Markanssu seinen Lauf auf einer Strecke von etwa 30 *km* in einem von rotem Konglomerat erfüllten Becken, um bald darauf neuerdings in eine Kalksteinschlucht einzutreten, welche das Aigart-Plateau vom Maltabar-Gebirge scheidet. Die Zahl der Flussterrassen im Becken beträgt zwei, was am Eingang der Seitentäler gut erkenntlich ist.

In 2770 *m* Höhe mündet der Dongusbulak in den Markanssu, mein Weg führte durch dieses Seitental. Auch im Tale des Dongusbulak sind zwei Terrassen vorhanden. An Stelle des roten, grobkörnigen Sandsteins und Konglomerates tritt hier bereits der feinkörnigere, graue Angara-Sandstein. Am Eingang eines kleinen Seitentales des Dongusbulak bot sich mir ein eigenartiges Bild dar. In nächster Nähe des Dongusbulak-Bettes erheben sich in 2950 *m* Höhe die beiden Terrassen, von denen die obere Terrasse einen, den Eingang des Seitentales sperrenden Schuttdamm bildet, welchen ich im ersten Augenblick für eine Stirn moräne hielt. Das hinter diesem befindliche, V-förmige Tal, das einheitliche Material, sowie die jugendliche Erosion des Baches auf den Terrassen des Haupttales verriet jedoch, das wir es hier nicht mit durch Eis verfrachtetem Geschiebe zutun haben. Den Ursprungsort des zweifelsohne durch Bergsturz angehäuften Materials hat die Zeit bereits verwischt. Auf 2 *km* Entfernung in südlicher Richtung fand ich in 3020 *m* Höhe eine weitere, ebenfalls durch Bergsturz hervorgerufene Schuttanhäufung. Bezeichnend ist, dass die ältere Flussterrasse, wie mir scheint, den erwähnten Schutt bedeckt.

Die Dongusbulak-Quelle befindet sich etwa anderthalb Kilometer vom zweiten Schuttdamm entfernt. Das breite, grasbewachsene Tal des Dongusbulak bildet den Westhang des 3850 *m* hohen Aigart-Passes. Spuren der Arbeit des Eises fand ich hier trotzdem nicht.

Das aus der Richtung des Markanata in die Nachbarschaft des

Aigart-Passes sich hinziehende Minteke-Gebirge durchbricht ein Bach, Kogrim genannt, dieser entspringt aus den Gletschern der Nordseite des Kingtau.

## 2. Das Tal des Aigartssu.

Das Tal des Aigartssu beging ich vom Aigart-Pass (3850 *m*) bis zur Mündung des Targalik-Tales (2285 *m*), von wo mein Weg mich in letzterem Tale auf den Atdjeilö-Pass (3910 *m*) führte.

Die Seitenwände des Aigart-Tales bestehen fast ausschliesslich aus grauem Kalksteinkonglomerat. Das ganze Aigart-Plateau ist aus Konglomerat aufgebaut. Wie aus der Lage der Tschimgenssas-Ablagerungen (Kreide-Eozän) ersichtlich, muss die Entstehung der Konglomerate in die erste Hälfte des Mesozoikums verlegt werden. Ich fand in dem das Konglomerat bildenden Material kein anderes Gestein, als den südlich des Aigart-Plateaus anstehenden und wahrscheinlich den ganzen Minteke-Gebirgszug bildenden Karbonkalkstein. Im ersten Entwicklungsstadium des Aigart-Tales entstanden infolge Auswitterung und Abrasion neue Schutthäufungen, deren Farbe sehr oft eine rote ist. Die letzteren Schutthügel sind heute zu kleinen Rücken erodierte, ausgewaschene Hügelreihen, die bedeckt sind von der, einer neueren Zeit der Schuttbildung angehörenden Schottermasse mit eingeebener Oberfläche.

Der rezente, wasserarme Bach entspringt an der ziemlich steilen Ostseite des Aigart-Passes, entfaltet jedoch keine bedeutende Erosionstätigkeit. Unterhalb des Passes und an den Passhängen befindet sich aus mächtigen Felsblöcken bestehendes, loses Material, an dessen Ablagerung möglicherweise ein kleineres Firnfeld, das bestrebt, sich in einen Nischen-Gletscher umzuwandeln, mitgewirkt haben mag, echte Kare jedoch gibt es hier nicht und das lose Material mag wohl an der von den Schmelzwässern der Firnfelder durchtränkten Berglehne leicht abgerutscht sein. Unterhalb derselben im Tale befindet sich keine Terrasse. Die Arbeit der Eiszeit dürfte bloss in der Ausgestaltung der eingeebneten Schutthalden zum Ausdruck gekommen sein. Demnach war also unterhalb des Aigart-Passes in der Burkhan-Zeit kein echtes Gletscherbett vorhanden.

Das erste südliche Seitental des Bogoldscheilö führte am 29. Juni 1909 noch so grosse Wassermengen, dass ich hieraus auf Schmelzwässer rezenter Gletscher schliessen muss. Die ausgedehnten Firnfelder des östlichen Nachbartales, des Külgünek, sowie die auffallend tief herabreichende Zunge eines Gletschers sind auch aus dem Aigart-Tale gut sichtbar. Schätzungsweise, freilich aus sehr grosser Entfernung, nehme ich an, dass das Ende dieses Gletschers unter das Niveau von 4000 *m* herabreicht. Külgünek ist ein typisches Trogtal. In seinem

unteren Abschnitt ist infolge von bedeutender Schuttanhäufung (rotes Konglomerat) die Form des Tales verwischt, zweifelsohne aber befand sich das Ende des pleistozänen Gletschers zwischen den Niveaus von 3300 und 3500 *m*.

Im Aigartssu-Tale verwischen die massenhaft auftretenden Erdbeben alle älteren physiographischen Charakterzüge. Vom Aigart-Passe ziehen sich gegen Osten in einer Länge von über 5 *km*, den Rand des Aigart-Plateaus bildend, stark zerklüftete graue Kalkkonglomeratwände dahin. Alte und frische Bergstürze haben ihr Material zu einer Masse angehäuft. Auch die Aufstauung des Tüschkentaschköl ist die Folge eines Bergsturzes; ein über letzterem befindliches, kleines, verschüttetes Seebett ist gleichen Ursprungs. (S. die Bilder in Utazásaim Belsőáziában, Budapest, 1911, pag. 202. u. 236.)

In den Aigartssu ergießt sich in 2900 *m* Höhe ein Musduk benannter Bach. Der Wasserreichtum des brausenden Gebirgsbaches verrät sofort dessen Herkunft aus Firnfeldern. Von hier an fließt der Aigartssu in einem breiten Cañon-Tale, das in das Ujugur-Plateau eingeschnitten ist. Der südliche, höhere Rand des Aigart-Plateaus hat eine mittlere Höhe von 4000—4100 *m* und senkt sich allmählich nach Nordost. Die zwischen dem Bolor-Gebirge und dem Aigart-Plateau gelegene Aigart-Talung verwandelt sich zu einer flachen Konglomeratmulde, dort, wo der Rand des Aigart-Plateaus an Steilheit verliert und somit für die Entstehung von Erdbeben weniger günstig wird. Allem Anscheine nach haben hier die Beben bereits ein Ende genommen. Die flache Konglomeratmulde führt den Namen Ujugur. Ujugur ist ein vollkommen aufgefüllter Talboden, während in der oberhalb desselben gelegenen Gegend des Tüschkentaschköl der Anfüllungsprozess noch nicht zum Abschluss gelangt ist. Sobald der Aigartssu den alten Talboden betritt, gräbt er sich ein Cañon-Tal. In diesem breiten Cañon-Tal erbaute der Fluss Schotterterrassen von 1.5—2.5 *m* Höhe, die von den Kirgisen bereits für den Ackerbau herangezogen werden, wobei auf denselben bereits einige primitive Berieselungsanlagen eingerichtet wurden. Das Aigart-Plateau ist als ein aus einer riesigen Schutthalde herausgenagtes Stück anzusehen. Der Kreide-Eozän-Transgression ging eine Senkung des östlichen Teiles der Aigart-Talung voraus. Bis Ende des Tertiärs ist die Aigart-Talung infolge von Einstürzen, Einbrüchen und Erosionswirkung ausgebaut und zwar zweifelsohne entlang eines W—E streichenden Längsrandbruches. Der Talboden wird an den unteren Teilen dieser Talung gegen Ende der Tertiärs durch die senil gewordene Erosion geglättet. Das Tarim-Becken ist ein Senkungsgebiet, daher vertieft sich die Erosionsbasis. Dieser Umstand allein ermöglicht eine Verjüngung der Erosion. Jedoch ist es wahrscheinlich, dass in der Glazialzeit auch eine Vermehrung der abfließenden Wassermenge eingetreten war. Ein bedeutenderer Faktor, als der letztere, ist im Formungsprozess der Schluchttäler

das Sinken der Erosionsbasis, da hier die ebenfalls schluchttalartigen, wohl eines eigenen vergletscherten Sammelgebietes ermangelnden Nebentäler in einem Niveau mit dem Haupttale an dasselbe herantreten, es fehlt also die charakteristische Übertiefung. Während wiederum die für das Haupttal bezeichnende, 1,5—2 *m* hohe fluviatile Terrasse sich in den nördlichen Nebentälern nicht vorfindet, in den südlichen, zum Teile auch heute noch vereisten Nebentälern aber vorhanden ist. Das Gesagte zusammenfassend, kann die Wirkung der pleistozänen Vergletscherung als eine wenig bedeutsame, fluviatile Akkumulation bezeichnet werden, da die fluvioglaziale Arbeit durch die Senkung beeinflusst wurde. Der praepleistozäne Talboden (Ujugur-Plateau) befindet sich 60—80 *m* über dem rezenten Talboden. (S. PRINZ: Bolor-tag. Földr. Közlem. L. 1922, Taf. III., Fig. 4.)

### 3. Das Targalik-Tal.

Am 30. Juni und 1. Juli 1909 bestieg ich von der Quelle des Targalik-Baches aus (2285 *m*) den Atdjeilö-Pass (3910 *m*) und erforschte ein Nebental zweiter Ordnung der Kaschgarer-Alpen.

Ich zeichnete eine Skizze von dem weit ausgedehnten Panorama, dass sich dem Blick auf dem Atdjeilö-Pass darbietet und welches sowohl in physiographischer Beziehung, als auch in Bezug auf den Aufbau des aus Gesteinschutt gebildeten Randes, eine Menge interessanter Daten enthält. Der östliche Atdjeilö-Pass (3910 *m*) befindet sich auf dem Rücken der Wasserscheide des Targalik und des Kur-Tschimgen. Auf seiner westlichen Seite befindet sich ein schönes Zirkustal, an dessen Seite ein Pfad auf den westlichen Nebenrücken, den West-Atdjeilö-Pass (3765 *m*) führt, unter dem sich ein zweites pleistozänes Zirkustal befindet, geräumiger, als das erstgenannte.

Die beiden Zirkustäler werden von Nischen eingefasst und sind ausgesprochen glazialen Ursprungs. Die pleistozäne Firnmasse beider dürfte etwa bis auf das Niveau von 3400 *m* herabgereicht haben. In dieser Höhe verengt sich das breite Zirkustal plötzlich, es entsteht eine Talstufe und hier befindet sich auch zugleich die obere Grenze der Tannenwälder. Die obere Grenze der Tannenwälder im westlichen Tal liegt in 3380 *m* Höhe. Der Gürtel der Tannenwälder endet in einer Höhe von 2780 *m*. In 2745 *m* Höhe mündet das Tal in den Rand des Tarim-Beckens, wo sofort die Region der Steppengräser beginnt. Der untere Abschnitt des Targalik ist ein Zweiterrassen-Tal, auf der unteren Terrasse (+ 3—2 *m*) befinden sich berieselte Felder und Winterlager. Das Tal vereint sich mit dem Aigart in einem Niveau, in 2285 *m* Höhe.

### 4. Tschimgenssu.

Als östlicher Nachbar des Targalik erstreckt sich das Kur-Tschimgen-Tal, dessen Bach sich in 2560 *m* Höhe in den dem ihm parallel ver-

laufenden Tal entströmenden Tschingenssu ergiesst. Zwischen den beiden Tschingen-Tälern erhebt sich ein Bergrücken von 4000—4200 *m* Höhe; einer seiner Pässe, der Djanbulak-Pass bietet auf 6·5 *km* Entfernung von der Mündung der beiden Tschingen, einen bequemen Übergang, in einer Höhe von insgesamt 3800 *m*.

Im Kur-Tschingen-Tal liegt die obere Grenze der Tannenwälder und mit ihr der Anfang des engen, felsigen, V-förmigen Tales auffallend tief, in kaum 3200 *m* Höhe. Im Tale drang ich bloss bis zu einer Höhe von 3685 *m* empor, von wo aus mein Weg auf den Djanbulak-Pass führte. Vom Passe selbst, sowie von dem dahin führenden Weg aus jedoch war das Antlitz fast des ganzen Tales gut zu sehen. Der Bach des Kur-Tschingen sammelt die Schmelzwässer sehr ausgedehnter Firnfelder. Die Firnfelder füllen flache Kessel aus. Es konnte mittels des Horizontglases schätzungsweise festgestellt werden, dass im oberen Abschnitt des Kur-Tschingen-Tales die untere Grenze der Firnfelder zwischen 4100—4200 *m* liegt. Der sich bis auf das Niveau von 3200 *m* herabsenkende, pleistozäne Taltrog wendet sich unterhalb des erwähnten Djanbulak-Passes mit schwacher Biegung und wird zum Quertal, ohne hiedurch in Bezug auf seine Form eine Änderung zu erleiden. An den Hängen des Trogtales bezeichnen zwei typische Uferlinien die Mächtigkeit des pleistozänen Gletschers. Der Talboden ist breit, von glazialen Schutt bedeckt. Ein unmittelbar unterhalb des Djanbulak befindlicher, dammähnlicher Hügel lässt auf eine Endmoräne schliessen, die jedoch durch das von der südlichen Kalksteinwand herstammende Geröll fast ganz verschüttet wird. Der Bach hat sich einen 6—8 *m* tiefen Cañon in den Talboden eingeschnitten. (Fig. 48.)

Auf den, den oberen Abschnitt des Kur-Tschingen-Tales umgebenden Bergrücken zieht sich eine Reihe glazialer Nischentäler hin, deren untere Randhöhenlage zwischen 3700—4000 *m* schwankt. Der Djanbulak-Pass dürfte allwahrrscheinlich eisfrei gewesen sein, da seine Hänge keine nischenähnlichen Talbildungen aufweisen.

Das in der Nähe des Kur-Tschingen gelegene Tschingenssu-Tal ist eines der ansehnlichsten am Nordhang des Bolor-Gebirges. Aus einem unterhalb des Djanbulak-Passes gelegenen, amphitheatralischen Taltrog bricht sich der Tschingen durch ein schmäleres, fast schluchtartiges Tal hindurch einen Weg zum Tarim-Becken. Ansehnliche Seitentäler münden in das Tal-Amphitheater. Aus den Seitentälern blinkt das grünsilberne Eis der Gletscher herüber. Der Boden des Amphitheaters ist bedeckt von Rundhöckern, zwischen denen sich feuchte Wiesen über die wenig gerundeten, zumeist aus scharfkantigen Schieferstücken bestehenden Gesteinstrümmer glazialen Ursprungs ausbreiten.

Am Südhang des Djanbulak-Passes befanden wir uns in 3365 *m* Höhe. Der Bach des Djanbulak mündet hier in den Kölssu. Vom Djanbulak aus bietet sich ein guter Ausblick auf das ganze Tal des Kölssu. Sein

Bach entspringt aus zwei Zirkustälern. Zwei Nischengletscher des nördlichen Zirkus und den Talgletscher dritten Ranges konnte man gut wahrnehmen. Der pleistozäne Gletscher vereinigte sich mit dem Gletscher des Tschingenssu, die Stelle wird durch eine Stirnmoräne angedeutet. Die Seitenmoräne des Hauptgletschers des Tschingenssu befindet sich in dem unteren Abschnitt des linken Ufers des Kölssu, unterhalb der Djanbulak-Mündung. Sie besteht aus mächtigen, sich an die Bergwand anschmiegenden Anhäufungen. Inmitten des welligen Hügellandes,



Fig. 48. Das in die Akkija-Oberfläche eingeschnittene, Burkhan-zeitliche Trogtal und die altalluviale Schlucht des Kur-Tschingen-Tales.

bereits drinnen im schluchtartigen Taleingang, befindet sich der Durssun-Masar, ein Heiligtum der Kirgisen, bestehend aus zwei weissen Marmorklötzen auf einem mächtigen Moränenblock, umringt von den üblichen, mit Tuchfetzen behängten Tannen, gleichsam als wäre er ein Grenzstein des pleistozänen Gletschers. Das Tor des Amphitheaters, an der Grenze pleistozäner Vergletscherung, vormals vereister Gebiete gelegen, wo der schmale Streifen Tannenwald auf der im Pleistozän unvereisten Berghalde bis an das Bett des Tschingenssu heranreicht, befindet sich in 3000—3100 *m* Höhe.

Eine primitive Brücke, bestehend aus einem über den Bach gelegten Baumstamm, liegt nach meiner mittels Aneroid vorgenommenen

Messung in 2990 *m* Höhe, wo auch die fluvioglazialen Terrassen ihren Anfang nehmen. An den Seitenwänden des Tschimgenssu-Amphitheaters, besonders zwischen dem Aktaman- und Kölssu-Tale, also an der Westseite, sind Gletscheruferlinien von seltener Schönheit zu sehen.

Die Flüsse haben sich am Boden des Amphitheaters Cañons von 5–10 *m* Tiefe gegraben. Der Aktaman dürfte aus seinen ausgedehnten Firnbecken und einem recht ansehnlichen Gletscher entsprungen sein, der pleistozäne Zirkus des zwischen ihm selbst und dem Kölssu gelegenen Kepek-dscheilö jedoch ist derzeit firnfrei. Der Tschimgenbaschi und der oberhalb des Aktaman, diesem parallel verlaufende Demtör, befindet sich unmittelbar unterhalb des Hauptrückens des Ulugarttau. Hier sind auch heute noch recht ansehnliche Gletscher vorhanden, ist doch der Abhang des Ulugarttau bis zur halben Höhe von Firn bedeckt.

Von der 6000 *m* überragenden Hauptgebirgskette reicht die Firndecke bis auf 3800–3900 *m* herab, während ich mit Hilfe des Horizontalglases feststellen konnte, dass das Ende eines kleineren Nebengletschers sich in 3700 *m* Höhe, einem allerdings auffallend niederen Niveau befindet.

Unterhalb des Höhenpunktes von 2990 *m* beginnen die Fluvio-glazialterrassen. Das erste Seitental Kajin ist das einzige, das derzeit Nischengletscher aufzuweisen hat. Eine Seite des, die Gletscher hoch überragenden, an den Watzmann im Salzkammergut erinnernden Gipfels ist ebenfalls mit Firn bedeckt. Im Pleistozän befand sich auch in diesem Tal ein Gletscher. Etwa ein *km* oberhalb der Mündung des Tales, in einer Höhe von etwa 3250–3300 *m*, befindet sich eine Stirn-moräne und über dieser ein von frischem, grünem Rasen bedecktes Trogtal.

Auf der Hauptterrasse des Tschimgenssu in 2850 *m* Höhe finden wir bereits Berieselungskanäle. Die breite Terrasse ist 20 *m* hoch, die zweite Terrasse befindet sich im Bett des Baches und ist unbedeutend. Hier liegt der Nadelwaldgürtel auf der Bergwand bereits in beträchtlicher Höhe. Tschimgen und Kur-Tschimgen vereinigen sich in 2560 *m* Höhe, jedoch bereits am Rande des Tarim-Beckens. (S. PRINZ: Bolor-tag; Földr. Közlem., L. 1922, Taf. III., Fig. 4.)

### 5. Ulugart-Bostanartscha.

Der erste und vor mir der einzige europäische Besucher des Inneren des Bolor-Gebirges, HEDIN, nahm seinen Weg im Ulugart-Tale aufwärts auf den Ulugart-Pass und von da auf das Kiakbaschi-Pamir. Vom 13–15. Juni 1909 führte mich mein Weg durch den unteren Abschnitt des Ulugart-Tales in das Bostanartscha-Tal, von wo aus ich den Atojnok-Pass erreichte.

Ich fand für die Höhe des Atojnok-Passes 4195 *m*. Während auf der Passhöhe die schmelzenden Reste des Winterschnees blinkten,

trug die in der Nähe befindliche, steile Bergwand in 4250 *m* Höhe ein mächtiges Firnfeld, von dessen Rand die sich loslösenden Firnmassen im Begriffe waren, in der Richtung gegen das Bostanartscha-Tal abzustürzen. Unterhalb des Passes lässt das Vorhandensein eines glazialen Nischentales auf einen pleistozänen Nischengletscher schliessen. Die Hänge der Nische sind bereits mit rezentem Geröll bedeckt, jedoch kann noch beobachtet werden, dass das Ende des Nischengletschers sich in etwa 3800 *m* Höhe befand. Die Höhe des Hauptrückens des Bolor-Gebirges ist hier eine beträchtliche und von ihm aus erstreckt sich auch der Hauptgletscher tief herab in das Bostanartscha-Tal. Die derzeitige Höhenlage seines Endes schätze ich auf 3500—3550 *m*. Der pleistozäne Gletscher dürfte sich zweifelsohne bis in die Nähe der Artschalajrik-Mündung erstreckt haben. Das Bostanartscha-Tal zeigt in 3250 *m* bereits einen V-förmigen Querschnitt, hier ist der Rand der grössten Ausdehnung der Burkhan-Vergletscherung zu suchen. Eine Stirnmoräne fehlt, kann auch gar nicht da sein, da der Bach zwischen den ständig anwachsenden Schuttkegeln kaum Platz findet. Talaufwärts erweitert sich das Tal zu einem schönen, wenngleich engen U-Querschnitt.

In 3150 *m* Höhe vereinigen sich die Täler Bostanartscha und Artschalajrik. Das letztere Tal sah ich bloss von der Gegend der Mündung aus. Der untere Abschnitt des Tales ist geräumig, breit, die Talhänge werden von Schutthalden gebildet. Die Pforte des Tales ist eng, der Eingang durch einen Felshügel versperrt, wahrscheinlich infolge eines Bergrutsches. Etwa drei *km* von der Mündung entfernt, nimmt der obere Abschnitt des Tales seinen Anfang, der vom unteren durch einen Damm getrennt ist, gebildet aus Hügeln, die aus losem Material aufgebaut sind. Es handelt sich hier um einen Bergsturz, oder eine Moräne, die nach der Wirkung der Ablation an ihrer Oberfläche geurteilt, nicht als rezentes Gebilde angesprochen werden kann.

Sowohl der Bostanartscha, als auch der Artschalajrik betreten bereits vor ihrer Vereinigung ein cañonartiges Bett, gelangen jedoch in nicht all zu grosser Entfernung nach diesem in ein flaches, an Windungen reiches Bett. Die beiden wasserreichen Gebirgsbäche vereinigen sich im Niveau; weiter talabwärts halten die Seitentäler nicht mehr Schritt mit ihnen, das Haupttal zeigt von hier an bereits den Charakter der Über-tiefung. Die Bäche der Nebentäler bilden in den schluchtartigen Betten Katarakte, bevor sie in das Hauptbett eintreten. Das Haupttal besitzt eine einzige ansehnliche fluvioglaziale Terrasse. Ich fand für die obere Grenze der Laubbäume 3160 *m*, für die *Lasiagrostis*-Grenze 2950 *m*.

Etwa in 2640 *m* Höhe mündet der Bostanartscha im gleichen Niveau in den Ulugart-Fluss. Von hier an wächst die Zahl der pleistozänen Terrassen. So, wie der Fluss das Tarim-Becken betritt, treten auch drei mächtige Terrassen auf, über die ich bei der Beschreibung des innerasiatischen Beckens näher berichten werde.

## 6. Das Atojnok-Tal.

Im östlichen Teil des Bolor-Gebirges (Kaschgarer-Alpen) befinden sich die mächtigsten Gletscher der nördlichen Abdachung. Vom Atojnok-Pass aus gelangte ich auf dessen östlicher Geröllhalde bereits in 3489 *m* Höhe auf die rezente Seitenmoräne des West-Atojnok-Gletschers, deren fichtenbewachsene Schutthügel dieses Nebental vollständig abschliessen. Der vom Pass kommende Bach fliesst in einem zwischen der Seitenmoräne des grossen Gletschers und die Bergwand eingeschnittenen Bett, parallel zum Gletscher. Hier liegt die obere Grenze der Nadelwälder. Auf der Seitenmoräne drang ich bis zur Höhe von 3900 *m* vor. Im Zirkus des West-Atojnok-Gletschers bot sich mir ein in seinen Verhältnissen überaus mächtiges Gletscherpanorama dar. (S. PRINZ: Bolor-tag; Földr. Közlem., L. 1922, Taf. III., Fig. 3.) An der Westseite fliesst ein aus einem Zirkustal des den Bostanartscha und Atojnok scheidenden Rückens steil herabfallender Gletscher talwärts. Ich nenne ihn Klein-Atojnok. Der Klein-Atojnok-Gletscher fliesst auf den Boden des grossen Atojnok-Zirkus herab und überlagert eine kahle Schotterebene. Der Gletscher ist 60–80 *m* mächtig, mit abgerundetem Ende, von wo aus Gletscherbäche sich auf die Schotterebene ergiessen. Vor der Schotterebene erhebt sich eine mächtige Stirnmoräne in einer Entfernung von kaum 100 *m*. Das Niveau der Schotterebene lässt erkennen, dass sie als eine Seenablagerung anzusprechen sei. Der Klein-Atojnok-Gletscher hat sich demnach um etwa 100 *m* zurückgezogen.

In der Nähe des Klein-Atojnok-Gletschers, jedoch in einem tieferen Niveau — was zweifelsohne auf die grössere Erosionskraft der grösseren Eismasse zurückzuführen ist — hat die Seitenmoräne des West-Atojnok die Vereinigung der beiden Eismassen stets verhindert. Die Seitenmoräne wandelte sich nicht in eine Mittelmoräne um, nahm nicht Teil an der Verfrachtung, so dass wir hier einer sonderbaren Erscheinung gegenüber stehen, die uns in ein und demselben Tal zwei von einander ganz unabhängige Eisströme zeigt, — wenigstens in einem Abschnitt. Natürlich würde der Klein-Atojnok, nach entsprechendem Wachstum, über die grosse Seitenmoräne hinüber stürzend, sich in den Hauptgletscher ergiessen. Der West-Atojnok-Gletscher folgt in einem einige *km* langen Abschnitt dem Haupt Rücken und nimmt die Vorhanggletscher desselben mit Ausnahme einiger in sich auf. Hie und da gelangen die vorhangartigen Nischengletscher, gerade infolge der beträchtlichen Austiefung des Eisstrombettes, auf die steilwandige Felsschulter des Hauptgletschers, an der sie nun nichtmehr herabgleiten, sondern abbrechen und hinabstürzen. Die Ebenheit der Oberfläche des Hauptgletschers wird durch die auf sie niederstürzenden Firnmassen gestört.

Die Länge des West-Atojnok-Gletschers beträgt 5.5 *km*, er endet in einer Höhe von 3370 *m*. Der interessanteste Charakterzug des

Gletschertales ist wohl, dass die Eismasse das Tal nicht gänzlich auszufüllen vermag. Kaum  $\frac{2}{3}$  des nahezu 1000 *m* breiten Tales werden von dem Eisstrom eingenommen. Das Tal weist auf die einstige Arbeit einer vielfach mächtigeren Eismasse hin. Die Schulter des pleistozänen Eisstromes befindet sich wenigstens 200 *m* über der Oberfläche des rezenten Gletschers. Der unausgefüllt bleibende Talbodenstreifen ist ein durch mit Moränen wechselnden Rundhöckern bezeichneter Eisstromboden, in welchen das Schmelzwasser des Klein-Atojnok längs der grossen Seitenmoräne einen kleinen Graben eingeschnitten hat. Diese meine Beobachtung glaube ich auch aus allgemeinen glaziologischen Gesichtspunkten erwähnen zu müssen. Zwischen dem Niveau des pleistozänen und des rezenten Gletscherbodens zeigt sich ein bedeutender Unterschied. Dieser Niveauunterschied lässt sich nur mit Hilfe der Glazialerosion erklären. Die Arbeit der Erosion war vom Ende der pleistozänen Glazialperiode an, bis auf den heutigen Tag eine derart intensive, dass der rezente Gletscher imstande war, einen seiner Mächtigkeit entsprechenden Taltrog auszuschauern.

Bezeichnend ist weiter, dass sich in 3700 *m* Höhe auf dem pleistozänen Gletscherboden Überbleibsel einer jüngeren Stirnmoräne vorfinden und hinter diesen das rezente, bis an die wohl erst vor kurzem verlassene Stirnmoräne heranreichende, flache Schottergebiet lakustren Charakters. Diese Stirnmoräne ist ein besonderes Produkt des Klein-Atojnok-Gletschers, kam also nach der, der grossen Vereisung folgenden Trennung zustande. Nach dem gänzlichen Rückzug der grossen Vereisung, die nötig war zur Ausscheidung des Klein-Atojnok-Gletschers, stiess der Klein-Atojnok nochmals, nunmehr selbständig, auf dem alten Gletscherboden etwa  $1\frac{1}{2}$  *km* vor. Auch wenn mir ausser diesem keine anderen Beweise zur Verfügung ständen, dieser eine würde die Tatsache zweier Glazialperioden über jeden Zweifel erheben.

Das Ende des West-Atojnok ist jüngeren Ursprungs, zeigt jedoch Spuren geringen Rückganges. Die rezente Stirnmoräne steht frei und ist vom Gletscher durch eine Talfurche getrennt.

Der Ost-Atojnok-Gletscher ist mächtiger, als sein westlicher Nachbar. Es ist dies der am tiefsten (3040 *m*) herabreichende Eisstrom auf dem Nordhang des Bolor-Gebirges. Der Ost-Atojnok-Gletscher senkt sich demnach ungewöhnlich tief in die Nadelwaldzone herab. Nicht nur durch sein ausgedehnteres Firngebiet wird er hiebei unterstützt, sondern auch durch seine orographische Lage: seine durchwegs nördlich gerichteten und hohen westlichen und östlichen Nebenrücken beschränken die Insolation auf ein sehr enges Gebiet. Der Ost-Atojnok-Gletscher weist keinerlei Rückgang auf. Der Gletscher nimmt auch heute noch sein allerdings engeres Tal in dessen ganzer Weite ein um, angelangt an der Vereinigungsstelle des Ost- und West-Atojnktales, das östliche Tal fast abzusperren, so dass für die Schmelzwässer des östlichen Eisstromes

kaum der nötige Abflussraum vorhanden ist. (S. PRINZ: Bolor-tag, Földr. Közlem., L. 1922, Taf. I., Fig. 1.)

Die Schmelzwässer des West-Atojnok-Gletschers laufen strahlenförmig auseinander, etliche Bäche vereinigen sich unverzüglich mit den Schmelzwässern des östlichen Gletschers, der Hauptbach jedoch nimmt seinen Lauf geradewegs nach Norden und strebt einer 60 *m* tiefen Schlucht zu. Am Schluchteingang vereinigt sich dieser östliche Eisstrom mit seinem Bache. Zwischen den soeben angeführten Bächen befinden sich die rezenten Stirnmoränen des Ost-Atojnok-Gletschers. Ihre Ausdehnung entspricht nicht der grossen Masse des Eisstromes, so dass kaum von einem Gletscherrückgang gesprochen werden kann.

Die Vereinigung der beiden Atojnok-Bäche bezeichnet den Anfang des zweiten Abschnittes des Atojnok-Tales, den etwa 7 *km* langen Trog der Burkhanzeit. (S. Taf. VIII.) Den Boden des Troges nehmen Moränenhügel und zwischen diesen, aufgefüllte Seebecken ein. In 3080 *m* Höhe befindet sich die Kuppe des Moränenhügels Karatschüge, welcher einen Teil der das Tal verschliessenden Stirnmoräne bildet. Unterhalb des Djamandara-Baches befindet sich eine zweite Stirnmoräne in etwa 2900 *m* Höhe. Die letzten Stirnmoränen des Atojnok liegen in 2650 *m* Höhe, unterhalb welchen der nackte Glazialtrog endet; es folgt ein Talabschnitt mit Terrassen. Im unteren Teil des Glazialtroges finden wir bereits Berieselungsanlagen, Winterquartiere, Mausoleen.

Die maximale Ausbreitung der pleistozänen Vereisung wird durch die in 2650 *m* Höhe befindliche Kokmorum-Stirmoräne zwar nicht bezeichnet, diese spielt jedoch auf jeden Fall als Markstein eine bedeutende Rolle in der Geschichte der Atojnok-Gletscher. Übrigens könnte man auf Grund der drei Stirnmoränen in den Höhenlagen von 2650, 2900, 3080 *m* auch von drei Vereisungen sprechen, eigentlich aber verzeichnen diese bloss die Rückzugsstadien in der Zeit von der Burkhan-Periode bis auf den heutigen Tag. Die Terrassen aufweisende Talung unterhalb der Kokmorum-Stirmoräne ist mir bis an das Gebiet der Tüb-Mündung bekannt. Also bis zu dem Niveau, in welchem der Fluss die Höhe von 2300 *m* erreicht. Hier wird das weite Tal von Schuttmassen von überaus grosser Mächtigkeit (60–80 *m*) ausgefüllt, durch welche der Fluss sich einen breiten Cañon ausgewaschen hat. Auf dem breiten Boden des Cañons erhebt sich 20–30 *m* über das Niveau des Flusses ein Hügel-land, in diesem aber ist die postpleistozäne, mit 1–2 *m* hohen Stauden bewachsene Terrasse des Flusses gelegen.

Das das Tal ausfüllende Geröll ist nicht fluviatilen Ursprungs. Zwischen Sand, geschlämmten Ton, wenig abgeschliffene Schottermassen, die ganz unregelmässige Schichtung aufweisen, sind riesige Felsblöcke mit rauher Oberfläche eingebettet. An den unterwaschenen, steilen Wänden tritt diese Struktur klar zutage.

Die Oberfläche der Schuttmasse ist ein welliges Terrain und an

den weniger steilen Hängen erheben sich schöne Erdpyramiden. Das sich längs des Flusses erstreckende Hügelland ist eine aus gleichem Material bestehende, wie es scheint aus der ersten Masse umgelagerte fluvioglaziale Ablagerung, zu der sich stellenweise die Bergrutsche der unterwaschenen Steilufer gesellen. Die ganze Geröllmasse darf wohl als Grundmoräne angesprochen werden und zwar zweifelsohne aus dem Zeitraum vor der Kokmurum-Periode. Die Schmelzwässer dieser letzteren dürften das rezente Tal in die Grundmoräne eingeschnitten haben.

### 7. Das Tüb-Tal.

Tüb und Atojnok vereinigen sich in 2370 *m* Höhe (S. Utazásaim Belsóázsiában, pag. 218.). Nach der Vereinigung nennen die Kirgisen den Fluss Argos. Das mächtige Geröll des Tüb lässt, angesichts des beschränkten Stromgebietes, sofort auf einen Gletscher schliessen. Es war nur in den frühen Vormittagsstunden möglich den Fluss zu übersetzen und auch dann nur mit der grössten Vorsicht.

Das Bild, das uns der untere Abschnitt des Tüb-Tales bietet, entspricht vollkommen demjenigen des unteren Abschnittes des Atojnok. Die grosse Terrasse, die ich für eine Grundmoräne halte, tritt auch in das Tüb-Tal ein, jedoch mit stetig abnehmender Niveauhöhe über dem Flusse. Die untere, hügelige Terrasse besitzt eine mehr eingeebnete Oberfläche, eignet sich besser zur Einrichtung von Berieselungsanlagen. Die Nebentäler öffnen sich auf beträchtlich hoher Stufe gegen das Tüb-Tal, sie sind schluchtenreich, V-förmig. Aus der Talöffnung des Arpa-Tales zeigt sich in einer Höhe von 2590 *m* bereits das Grün der Nadelwälder, während das Tüb-Tal Steppencharakter aufweist. Der obere Abschnitt des Tüb-Tales wird von den Kirgisen Tschekir genannt. Vom Berghang aus konnte ich den mächtigen, aus dem Zusammenfluss zweier Arme entstehenden Gletscher sehen. Mittels Horizontglases gemessen dürfte sich das Gletscherende in 2950 *m* Höhe befinden. In etwa 2500 *m* Höhe wird das Tal von einer pleistozänen, nadelwaldbewachsenen Stirnmoräne gesperrt, unterhalb welcher bereits die Region der Steppengräser beginnt.

Durch das Arpa benannte Nebental des Tüb, gelangte ich auf den Djagos-Pass (S. das Bild in Utazásaim Belsóázsiában, pag. 220.), der sich auf der Wasserscheide des Argos und des Ges befindet. Der obere Abschnitt des Arpa-Tales ist ein pleistozänes, glaziales Zirkustal, in welchem sich heute bloss kleinere Firnfelder befinden. Der Eingang zum Zirkustal, welcher das Gletscherende in der Burkhanzeit andeutet, liegt in 3320 *m* Höhe.

**Zusammenfassung.** Auf dem Nordhang des Bolor-Gebirges befinden sich auch heute noch grosse Eisströme. Nicht bloss einzelne

Gipfel, sondern ganze Abschnitte des Atojnoktau-Rückens erheben sich über das 6000 *m* Niveau, und fand ich dem entsprechend in ihrer Umgebung eine ganze Reihe bisher unbekannter Eisströme. Die grössten Gletscher befinden sich zwischen dem Ulugart- (5150) und dem Djagos (4080 *m*)-Pass. Die Länge der beiden Atojnok-Gletscher, sowie des Tüb-Gletschers betragen fünf—zehn Kilometer. Entsprechend der Situation der firnbildenden Hochgebirge, zeigen die glaziologischen Werte auf den Nordhängen des Bolor-Gebirges ganz wesentliche Unterschiede. In der Nähe des grossen Gletschergebietes verändert sich auch das Bild der Pflanzendecke. Die obere Grenze der Steppenflora sinkt fast um tausend Meter, die Laubbäume können einen grösseren Raum einnehmen, der Gürtel der an anderen Stellen kaum vegetierenden Nadelhölzer z. B. entwickelt sich im Arpa-Tal zu ansehnlichen Fichtenwäldern von 700 *m* betragender, also ausserordentlich ausgedehnter vertikaler Breite. Die grossen Gletscher reichen, indem sie von einer ganzen Reihe von Nischen-, Zirkus-, Vorhang-, ja sogar von einigen kleineren Nebental-Gletschern genährt werden, sehr tief herab, unter ihnen der Tüb-Gletscher auch unter das 3000 *m* Niveau. Dem gegenüber zeigen die unteren Grenzen der Vereisung der Burkhan-Periode kleinere Abweichungen von den rezenten Verhältnissen, als im Tienschan-Gebirge. Die Vereisung der Akija-Zeit wiederum kommt nach meiner Impression der Vergletscherung der Burkhan-Zeit noch näher.

## VIII. Vergleichstabelle.

Name des Tales	Obere Grenze der Steppen-gräser	Obere Grenze der Laubbäume	Obere Grenze der Nadelbäume	Untere Grenze der perennierenden Schneefelder	Ende der Gletscher	Grenze der V- u. U-förmigen Talabschnitte	Stirnmoränen
1. Karaart-Mukssu	3680	3680	—	—	4600—4800	3830	3830
2. Külgünek-Aigart	3600?	3050	?	?	3900 ?	3400?	—
3. Targalik	2745	—	3380	—	—	3400	—
4. Kur-Tschimgen	2990	2990	3200	4100—4200	?	3200	3685
5. Tschimgenssu	2990	2990	3100	3800	3700*	3100	3300
6. Ulugart-Bosstanartscha	2950	3160	3400	4200	3530—3600	3250	—
7. West-Atojnok	2500	2580	3480	4000	3370	2650	IIa. 2650, b. 2700 (?), c. 2900, d. 3080.
8. Ost-Atojnok	2500	2580	?	?	3040	2650	
9. Tüb	2700	2500?	2700	?	2950	?	2700
10. Arpa	2590	—	3500	3800	—	3320	—
11. Tschotschil	2850	2850	3600	3800	—	3600	—
12. Kokssel-Ges	2800	2700	—	3700	2850	2450	2420

\* Einziger gemessener Gletscher, jedoch senkt sich der Hauptgletscher tiefer herab.

Das eine der beiden Atojnok-Gletschertäler ist ein sehr ausgedehntes Trogtal, in welchem eine Vergletscherung von sehr langer Dauer die formende Arbeit verrichten musste. Es ist dies die Akkija-Zeit, nach welcher der Gletscher sich hinter die heutigen Grenzen zurückgezogen haben muss. In dem einzigen grossen Trogtal befinden sich zwei Tröge der Burkhanzeit. Oberhalb der untersten Stirnmoräne sind im Atojnok-Tal noch zwei Stirnmoränen vorhanden, die eine längere Rast bedeuten.

### I) Das Gebiet des Kiakbaschi-Ges.

#### 1. Kiakbaschi-Pamir.

Das Bolor-Gebirge wird von fünf, sich kulissenartig hintereinander erhebenden Gebirgsketten gebildet. Es sind dies vom Norden beginnend:

1. M i n t e k e (zwischen der Muk-Schlucht und dem Aigart).
2. K ü r k k u h, Kingtau (zwischen Muk-Schlucht und Bostanterek), begrenzt durch die Talung des Tschingenbaschi und des Bostanterekbaschi.
3. U l u g a r t t a u, im Süden von dem West- und Ost-Ulugart-Tale begrenzt (Ulugart-Pass).
4. A t o j n o k t a u, südlich vom Engtal des Ulugart-Atojnok, zwischen dem Kutimbepamir und dem Argos-Tüb.
5. D j a g o s t a u, an der Nordseite der Ges-Schlucht.

Den Minteketau ausgenommen, tragen derzeit alle Ketten Firnfelder und Gletscher. Die mächtigen Gletscher, die eine Länge von 5–6 km erreichen, befinden sich in den schattigen, hochgelegenen Längstälern zwischen den erwähnten Gebirgsketten.

Von der Nordseite des Kürkkuh-Gebirges werden die Schmelzwässer eines ansehnlichen vergletscherten Gebietes durch die Flüsse Kogrim und Koldossun zu Tale befördert, worauf ich aus dem grossen Wasserreichtum zur Sommerzeit schliesse. Zwischen den kurzen Nebenrücken der Südseite desselben Gebirges tritt uns eine lange Reihe Gletscher-erfüllter Zirkustäler entgegen. Die Gipfel der steilwandigen Nebenrücken erscheinen vom Kiakbaschi-Pamir aus gesehen, als recht ansehnliche Erhebungen und es scheint, dass der Name Kürkkuh hierauf zurück zu führen ist. Ich konnte allerdings zwischen der Muk-Schlucht und dem Atschikssu-Tale nicht 40, sondern bloss 28 dieser Berggipfel-ähnlichen Nebenrücken zählen. Südlich des grossen Atschikssu-Tales befinden sich die Gipfel des Ulugarttau bereits so weit ausserhalb des Gipfelzuges, dass sie nicht mehr zur Gipfelreihe des Kürkkuh gerechnet werden können.

Auf dem Kürkkuh-Rücken überragt keiner der Berggipfel die übrigen. (S. das Bild pag. 232. in Utazásaim Belsőáziában). In den

Räumen zwischen den von gleich hohen Gipfeln gekrönten Berg-  
rücken befindet sich je ein Gletscher. Insgesamt sind es drei  
Gletscher, die sich zu wirklichen Talgletschern entwickeln, diese rei-  
chen bis auf das 4600—4700 *m* Niveau herab, wenn meine, mit freiem  
Auge vorgenommenen Bestimmungen der orographischen Werte des  
Kürkkuhtau nicht etwas zu hoch gegriffen sind. Die Höhenlagen meiner  
Ausblickspunkte bewegten sich zwischen 3800—4070 *m* und die Glet-  
scher befinden sich in bedeutender Höhe über diesen Plätzen, somit  
können die eventuellen Fehler meiner Angaben keine allzu bedeuten-  
den sein. Bezeichnend ist demnach der Umstand, dass auf der ganz der  
Sonne ausgesetzten Südseite des Kürkkuh die Firngrenze um etwa  
1000 *m* höher gelegen ist, als auf der Nordseite desselben Gebirges.

In der Umgebung des Bulukssu-Berges verbirgt sich der Kürkkuh  
hinter die Kulisse des Ulugarttau so, dass auf diese Weise die Südseite  
bereits teilweise in den Bereich des Schattens fällt, was zur Folge hat,  
dass sich unverzüglich ansehnlichere, tiefer herabreichende Gletscher  
entwickeln.

Sämtliche Gletscher der Südseite des Kürkkuh sind durch das  
Vorhandensein einer ausgedehnten Stirnmoränenanhäufung ausgezeich-  
net. In der Nähe des Ulugarttau bildete sich aus dem Glazialschutt  
ein wirkliches Hügelland, in welchem die Reife der Denudationsarbeit  
zu verstehen gibt, dass es sich hier um pleistozäne Ablagerungen han-  
delt. Fossile und rezente Stirnmoränen fließen hier ganz ineinander  
und lassen Spuren eines Rückzuges nicht erkennen, wenigstens nicht  
in grossen, auch aus der Entfernung sichtbaren Zügen. Bloss ein Glet-  
scher hat seine Stirnmoräne verlassen und bei diesem ist im Raume  
zwischen dem nackten Gletscherende und der Stirnmoräne das bezeich-  
nende Spatium sichtbar.

Aus den Tälern erstrecken sich mächtige Schuttkegel gegen den  
Kiakbaschi-Pamir, die jedoch bereits am Rande des Gebirges zu einer  
einzigen, mächtigen Schutthalde zusammenfliessen. Im Ostabschnitt der  
Schutthalde befinden sich, scharf umgrenzt, die Stirnmoränen. Die Schutt-  
halde zeigt eine wellige Oberfläche, der die rezenten fliessenden Ge-  
wässer, die Schmelzwässer der Gletscher wenig anhaben können, da  
das Wasser in dem losen Ablagerungsmaterial sofort versinkt, um erst  
tief auf dem Talboden aufs neue hervorzubrechen.<sup>1</sup>

Den Südrand des Kiakbaschi-Pamir bildet ein aus kristallinem  
Gestein aufgebautes Gebirge von 400—500 *m* relativer Höhe. Derzeit  
ist dieses Gebirge nicht vergletschert. Spuren einer pleistozänen Verei-  
sung fanden sich nicht. Über das Gebiet des Kiakbaschi-Pamir-Bodens  
seien folgende Beobachtungen mitgeteilt.

<sup>1</sup> Nach der Beschreibung IVANOV's reichen die Gletscher des „Kürkkuh“  
herab bis auf den Talboden; dies beruht auf irrtümlicher Beobachtung. Siehe:  
GEIGER, Die Pamir-Gebiete, 1887., p. 113.

Von dem 4070 *m* hohen Ojürmabel zieht sich eine vollkommen glatte Schutthalde von 3 *km* Länge talwärts, um in 4000 *m* Höhe zu enden.

Ausschliesslich in der Umgebung des Passes erheben sich Gneisfelsen aus ihr, unterhalb 4000 *m* nehmen Erosionstäler ihren Anfang, doch wird der Erosionsgraben durch Schutthalden des Kürkkuh an den Südrand des Pamir gedrängt. Die Schuttkegel des südlichen Bergrandes haben geringe Ausdehnung. Die Gegend hier zeigt das Bild einer wahren Schotterwüste. Nur längs des Erosionsgrabens, unterhalb der Korumdu-Mündung (3880 *m*) zeigt sich ein grasbewachsener Streifen. Der Raum zwischen südlichem Gebirgsrand und Schutthalde wird allmählich breiter, das Wasser verlässt hier und da die Schottermassen und umschlingt eine ausgedehnte Sandterrasse, um unterhalb dieser das Sumpfgebiet des Muschdu zu bilden.

In etwa 3700 *m* Höhe vereinigt sich der Bach des Kiakbaschi-Pamir mit dem Rangssu und hier beginnt das Sumpfgebiet des Muschdu. Nördlich des Rangssu erstreckt sich eine 40–50 *m* hohe, lössbedeckte Terrasse, auf deren welliger Oberfläche sich aus Lehm geformte Grabmäler und das Okssalarata masar befinden (S. das Bild pag. 230. in Utazásaim Belsóáziában). Teile der Terrasse von derselben Höhe trifft man auch noch 3 *km* weiter südöstlich in der Nähe des Karasok-Karauls, im Zwischenraum der Bäche Karasok und Aramete. Von der Okssalarata-Terrasse bis zum Kutimbes-Sumpf kommt das senile Wasser zwischen den auf einer Strecke von 15 *km* unterwaschenen Schotterterrassen nur schwerfällig vorwärts. Der Weg wurde in einem Tag zurückgelegt und wenngleich das Aneroid-barometer sowohl in der vorhergehenden, als der folgenden Nacht (von der Ankunft in das Lager bis zum Aufbruch am nächsten Tag) gleicherweise um 2 *mm* gestiegen war, — wenn wir dies auch für den in-zwischenliegenden Tag annehmen — beträgt die absolute Höhe des Kutimbesaul 3685 *m*, die des Karasok-Karauls kaum mehr, als 3710 *m*. Auf der 15 *km* langen Wegstrecke ist das Gefälle demnach ein sehr unbedeutendes; dem entspricht übrigens die grosse Zahl versumpfter Strecken und die Kürze der zwischen diesen eingeschalteten Flussabschnitte mit stärkerer Strömung.

In diesem Abschnitt des Pamir ist die grösste Schuttanhäufung vorhanden. Hier leuchten die mächtigen Gletscher der Südseite des Ulugarttau in der Nähe. Der Ulugart-Gletscher reicht, trotzdem diese Flanke des Berges die Sonnenseite ist, wahrscheinlich bis zu dem 4200 *m* Niveau. Die mächtige Schuttmasse, die sich vom Gebirgsrande bis an den gegenüberliegenden Talrand hinabzieht, ist unzweifelhaft glazialen Ursprungs. Der riesigen relativen Höhe des Bolor-Gebirges zufolge ergossen sich die pleistozänen Gletscher kurzer, jedoch steil abfallender Täler über das Pamir, um sich dort, wie man das ja auch heute

noch an einigen Gletschern des Kiakbaschi-Pamir beobachten kann, fächerförmig auszubreiten. Die am Rande des Gletscherfächers vormals entstandenen Stirnmoränen lassen sich heute kaum mehr ahnen, da der nach dem Rückgang des Gletschers gebildete, fluvioglaziale Schuttkegel das Innere der Stirnmoräne vollständig ausgefüllt hat. Die pleistozänen Glazialablagerungen gehen hier ohne scharfe Grenze in die alluvialen Geröllablagerungen über. In der ungeheuer grossen Schuttmasse verschwinden die Schmelzwässer der rezenten, immer noch mächtigen Gletscher vollkommen, um erst am Rande der Schuttmasse in zahllosen Quellen wiederum zutage zu treten. Durch den Ulugart-Schuttkegel wird auch die Entstehung der Kiakbaschi-Sandterrasse erklärt. Es ist klar, dass dessen pleistozäner Gletscher auf dem Kiakbaschi die Entstehung eines Stausees bewirkte und die horizontalen Sandschichten eben Seeablagerungen sind. Am Südostrande der den Talboden bedeckenden Ulugart-Moräne nimmt die zweite lakustre Gegend ihren Anfang. Sie trägt den Namen Kotimbess (Kotimess der russischen 40 Werst-Karte, Kontimess 3380 der französischen Karte). Wie erwähnt, befindet sich nach meinen Messungen der Talboden in einer Höhe von 3685 *m*. Der ein halbes *km* in der Breite, ein *km* in der Länge messende Talboden bildet eine vollkommen horizontale Oberfläche. An der Südwestseite des Talbodens windet sich, Inseln bildend, der träge Fluss, das übrige Gebiet wird von einem Salzmoor ausgefüllt, in dem sich zahlreiche Raseninseln befinden. Am Nordoststrand des Salzmoors befinden sich weissgraue, aus Seeablagerungen entstandene, horizontale Bänke feinkörnigen, sandigen Lehms. Über den Ablagerungen befinden sich grobe Schotter, glazialer und fluvioglazialer Gesteinsschutt. Ich bin geneigt, auch diese Stelle als Beweis für zwei Phasen der Vergletscherung anzusehen. Die Aufstauung des pleistozänen Muschdu-Sees ist zweifelsohne durch die Ulugart-Moräne bewirkt worden. Die Entstehung des gleichalterigen Kutimbess-Sees ist wohl auf ähnliche Ursachen zurückzuführen.

Im Becken des interglazialen Kutimbess-Sees entstand eine wenigstens 6–8 *m* mächtige Seenablagerung, die weder Schotter, noch grobkörnigen Sand aufweist. Die beträchtliche Stosskraft der Schmelzwässer, die eine grosse Schuttmenge verfrachten, ist erlahmt, ihre Erosionskraft und Transportfähigkeit hat sich vermindert. Die Seeabsätze dieser Periode wurden dann wieder vom Eis und dem vom Eise verfrachteten Schutt überdeckt. Das Mass der Schwankung des Eisrandes konnte ich natürlich nicht feststellen, doch darf die Tatsache nicht unerwähnt bleiben, dass zwischen einer, gerade den lakustren Absatz bewirkenden, älteren und einer diesen Absatz bedeckenden, jüngeren glazialen Ablagerung, ein überaus mächtiger, vollkommen feinkörniger, rein lakustrer Absatz eingebettet ist. Angesichts der Masse der Ablagerungen, kann nach meiner Meinung diese Erscheinung nicht auf einfache Gletscherbewegungen zurückgeführt werden.

Am unteren Rand des Kutimbess-Seebeckens wird der Moränen-damm durch die pleistozäne Moräne des Kürs-Gletschers gebildet. Es ist bezeichnend, dass der Ulugart-Gletscher auch zur Zeit der zweiten Vergletscherung den Talboden erreichte, wogegen von hier an, alle übrigen Gletscher bloss zur Zeit der ersten Vergletscherung vollständig, oder teilweise bis zum Talboden gelangten, gelegentlich der zweiten aber sich nur am Rande des Pamir fächerartig ausbreiteten. Dies wird aus der Lagerung der Schuttmassen auf dem Berghange des Atojnoktau offenbar. Unterhalb der Kürs-Mündung sind auf dem Tarbaschi-Pamir die Seeterrassen nicht mehr von Glazialschutt mit welliger, unebener Oberfläche bedeckt. Zwischen die Schuttanhäufungen der ersten Vergletscherung haben sich breit ausladende, fluvioglaziale Schuttkegel zwischengelagert. Die Moränen der zweiten Vergletscherung sperren den Weg der rezenten fliessenden Gewässer erst in einer Höhe von 2–400 *m* ab.

Unterhalb der das Seebecken des Kutimbess abdämmenden Kürs-Moräne befindet sich ein kleineres, aufgeschüttetes Seebecken, derzeit eine nasse Wiese, wo noch ein kleiner See sein Dasein fristet. Dieser pleistozäne See wurde durch die Börkös-Moräne aufgestaut. Heute wird die Hälfte der die Aufstauung verursachenden Moräne von den umgelagerten Schuttkegeln eingenommen, jedoch lassen die Seeabsätze keinen Zweifel zu, inbezug auf den jüngeren Ursprung des erst jetzt im Zunehmen begriffenen Schuttkegels, der die Reste der zum grossen Teil weggeschwemmten Moräne bedeckt. Von Südwest her mündete nämlich der Tumatschi-Bach auf die Börkös-Moräne, so dass die verfrachtende Energie der Gewässer zweier grosser Seitentäler sich mit denen des Hauptflusses an dieser engen Stelle vereinte.

Unterhalb der Börkös-Moräne weitet sich das Tal aus und verwandelt sich in das breite, ausgedehnte Tarbaschi-Pamir. Eine ausserordentliche Erscheinung ist es, dass die Gletscher der Nordostseite des Tarbaschi-Pamir unverhältnismässig tiefer herabreichen, als auf dem Kiakbaschi-Pamir, während die orographische Lage hier fast dieselbe ist. Die Gipfel und Rücken sind zwar mächtiger, die Firnsammelgebiete zwar ausgedehnter, doch ist die Berglehne zur Genüge nach Süden gewendet, sonnenbeschienen und liegt diese Gegend ausserdem unter  $38\frac{3}{4}^{\circ}$  geographischer Breite. Die Gletscher erstrecken sich hier bis zu dem Niveau von 4000–4100 *m*.

Südöstlich des Tarbaschi-Pamir erhebt sich der nahezu 7200 *m* hohe Bergriese Kungurtübe. (STEIN: Kongurdeba 23600 Fuss, auf der französischen Karte: Tcharkoum-Taou 7190 *m*). Nördlich der Gesschlucht fand STEIN für einen Berggipfel 22070, für einen anderen 21480, für einen dritten 20570 Fuss. Entsprechend der bedeutenden Höhe der Gebirge sehen wir auch ein Zunehmen der Firnmasse. Auf der Nordseite des Kungurtübe (Abbild. 49.) erstreckt sich ein mächtiger Gletscher

durch ein tiefeingeschnittenes, steilwandiges Tal zur nördlichen Pforte der Ges-Schlucht. Das Ende des Gletschers befindet sich nach meiner Schätzung zwischen 3600 und 3700 *m*. Die pleistozänen Moränen des Gletschers tragen auch zur Auffüllung des Bodens der Ges-Schlucht bei und der Gletscher hatte zur Zeit der letzten (zweiten) Vereisung die Schlucht ebenfalls versperrt. Die Kirgisen gaben diesem Moränenland den Namen Akkorum, vielleicht im Hinblick auf die Felsblöcke, die fast ausschliesslich aus hellem Granit und Gneisquarzit bestehen. Ich belegte den Gletscher mit dem Namen Akkorum-Gletscher. Westlich, von der Mündung des Akkorum-Gletscherbaches etwa 1 *km* entfernt, mündet der ebenfalls wasserreiche und einem Gletscher entspringende Bektargak-Bach in den Ges in einer Höhe von 3390 *m*. Die pleistozäne Stirnmoräne des Bektargak-Baches reicht auch bis an das Bett des Ges heran.

Von der Stirnmoräne des Bektargak bis zur Börkös-Moräne, dehnt sich ein zusammenfliessendes Moränengebiet aus. Die rezenten Gletscher

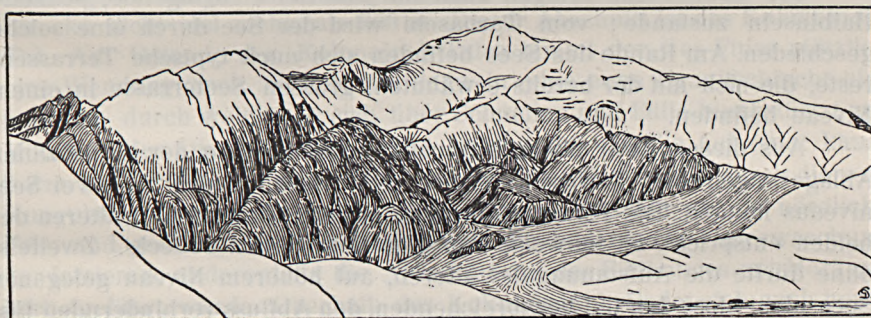


Fig 49. Der Kungurtübe (7200 *m*).

schieben sich aus den zwischen Bergriesen befindlichen, engen Tälern fast bis zum pleistozänen Moränengürtel vor. Ihre Schmelzwässer verschwinden teils im Schutt, teils aber schneiden sie tiefe Gräben in denselben. Vor dem Moränengürtel breitet sich feuchtes Wiesenland aus. Jedoch lässt sich von der gegenüberliegenden Berglehne aus gut wahrnehmen, dass sich unter der Moränenanhäufung horizontal gelagerte Bänke befinden, ausserdem lässt sich hie und da auch noch eine freiliegende, glatte Terrassenoberfläche erkennen. Zwischen dem Bektargak und Tschakargal befindet sich eine mächtigere Terrassenfläche von etwa 100—150 *m* relativer Höhe, während in der Gegend des Artschalu-masar die ausgedehnte, allerdings heute bereits durch die Erosion zerschnittene Terrasse von 20—30 *m* relativer Höhe anzutreffen ist. Ich fand für die absolute Höhe dieser Terrassenfläche, als auch für die vor dem Tschakargil-See gelegene den gleichen Wert (3610 *m*), während ich die Höhe der zwischen dem Bektargak und Tschakaragl gelegenen Terrasse, aus einer Höhe von 3500 *m* mit freiem Auge auf + 100—150 *m* schätzte. Diese Daten, sowie

das feinkörnige, sandig-lehmige Material der Terrassen, gestatten uns mit Sicherheit auf Seeabsätze zu schliessen.

Die Erscheinungen sind demnach übereinstimmend: Glazialschutt über Seeablagerungen.

In der westlichen, weiten Buchtung des Tarbaschi-Pamir, die sich tief zwischen die Berge erstreckt, befindet sich der Tschakaragl-See. Das Niveau dieses ziemlich ausgedehnten, etwa 3 *km* langen Sees liegt höher, als die nasse Wiese des Tarbaschi-Pamir und das Niveau des auf dieser, träge dem Eingang der Ges-Schlucht zufließenden Flusses. Die Aufstauung des Tschakaragl-Sees (S. das Bild in Utazásaim Belső-áziában, pag. 230.) wird durch einen Schuttkegel ermöglicht. Im Aufbau der die Umgebung des Sees bildenden Berge spielen leicht zu Sand verwitternde Gesteine eine grosse Rolle und sind in den meisten Tälern wahre Sandflüsse zu sehen, hervorgerufen durch die Durchweichung des Sandes gelegentlich der Schneeschmelze.

Die Sandströme bringen auch im See tief eindringende, schmale Halbinseln zustande; vom Tarbaschi wird der See durch eine solche geschieden. Am Rande des Sees befinden sich auch typische Terrassenreste, die sich mit der bereits erwähnten, grossen Seeterrasse in einem Niveau befinden.

Aus dieser, zwar überaus flüchtigen Betrachtung der pleistozänen Ablagerungen des Tarbaschi ergibt sich, dass es sich um zwei Seeniveaus handelt. Die Terrasse, die dem ersten, höheren und älteren der beiden entspricht, ist teilweise von glazialen Schutt bedeckt. Zweifels- ohne dürfte die Aufstauung des älteren, auf höherem Niveau gelegenen Sees nicht bloss den tief herabreichenden, den Abfluss verhindernden Eisströmen, sondern auch Berggrutschen zuzuschreiben sein. Spuren dieser letzteren sind heute ebensowenig vorhanden, als solche des meiner Meinung nach die Aufstauung verursachenden Herabreichens der Gletscher, denn die zweite Vergletscherung hat hier die Ges-Schlucht vollständig verschüttet und somit notwendigerweise auch die bereits durchschnittenen Überreste des die erste Sperrung bewirkenden Dammes. Gegenüber dieser Lage der Tatsachen bietet sich keine andere Erklärung der Talentwicklung, als die folgende:

Das Vordringen der Gletscher Akkorum und Bektargak auf den Talboden hat die Aufstauung des auf dem firnfreien Tarbaschi zusammenströmenden Wassers bewirkt. Die Absätze des auf diese Weise entstandenen Sees erreichten ein Niveau von 3600—3620 *m*. Der Rückzug der Gletscher öffnete den Wassermassen des Sees freien Abfluss. Eine langandauernde, interglaziale Erosionstätigkeit hat einen beträchtlichen Teil der Seeablagerung durch die Ges-Schucht wieder herausgeschafft. Dieser Tätigkeit wurde durch erneutes Vordringen der Gletscher ein Ziel gesetzt, es kam nun zu einer zweiten Aufstauung; die hierbei entstandenen Seeabsätze dürften das Niveau von 3400—3450 *m* erreicht haben.

Der zweite See wurde im Alluvium, nachdem sich die Gletscher neuerdings zurückgezogen, abgezapft.

## 2. Kokmojnok.

Der 6500—7200 *m* hohe Rücken des Kungurtübe-Gebirges ist 20 *km* vom Tschakaragl-Gebirge entfernt, dessen Gipfel ebenfalls fast die Höhe vom 7000 *m* erreichen. Die in 3400—2400 *m* Höhe gelegene Geschlucht befindet sich demnach in einer tiefen Talung. Das Gehänge des Kungurtübe ist nach Norden gerichtet und infolge seiner Steilheit überaus schattig. Dieses Gebirgsgehänge ist einer Vergletscherung von bedeutenderem Umfang überaus günstig. Hier reichen die Gletscher auch heute noch ungewöhnlich tief herab. 17 *km* von der Mündung des Akkorum-Gletscherbaches erweitert sich die Ges-Talung. Der Fluss wird an den Nordrand des Tales gedrängt, wo er sich dem Fuss des Baktargak-Gebirges anschmiegt. Sein Gefälle beträgt auf dieser 17 *km*-Strecke nicht viel mehr, als 300 *m*. Dieser Abschnitt ist das Kokmojnok-Tal. Am Ostende des Kokmojnok-Tales nimmt der Ges-Fluss plötzlich eine Wendung nach Norden, um dann in eine enge Granitschlucht einzutreten, durch welche er sich über Schnellen und Fälle hinabstürzt zur Mündung des Djagos-Baches. Hier beträgt das Gefälle auf einer kaum 3 *km* langen Strecke neuerdings 300 *m*. Der Ges wurde durch die vom Kungurtübe herabströmenden, pleistozänen Gletscher an die nördliche Felswand gedrängt, wodurch einesteils die bedeutende Unterwaschung der letzteren, anderenteils die Aufschüttung des Südhanges mit Moränen herbeigeführt wurde. Oberhalb des Kokmojnok befindet sich auch heute noch ein ausgedehnter Zirkusgletscher. Von meinem Beobachtungsort im Tale aus gesehen, schien es mir, dass dies ein von kleineren, vorgehängähnlichen Nischengletschern gespeister, ausgedehnter Zirkusgletscher sei. Vor dem Zirkusgletscher befindet sich eine 3700—3800 *m* hohe Stirnmoränenreihe, zwischen deren Kuppen der Gletscher hervorblinkt. Vor der Stirnmoräne breitet sich eine leichtgewellte, jungpleistozäne Moränenmasse in Form eines Schuttkegels aus. Vor der Stirnmoräne breitet sich, Unebenheiten bildendes, jungpleistozänes Moränen-Material schuttkegelartig aus, dringt abwärts bis an das Bett des Ges-Flusses vor und veranlasst den Ges-Fluss zu erhöhter, die Felswand angreifender Tätigkeit. Diese Arbeit hat auch bereits eine ziemlich tiefe viertelkreisförmige Auskolkung gezeitigt. Die Schmelzwässer von heute gelangen durch zwei Lücken der rezenten Stirnmoräne auf den Moränenkegel des Kokmojnok-Gletschers, um auf diesem sich verzweigende, wasserreiche Bäche zu bilden. Diese zwingen den Pfad eine Höhe von 3365 *m* zu erklimmen, etwa 250 *m* über dem Niveau des Ges, auf dem Rücken der pleistozänen Moräne.

Ein grosser Teil der Kokmojnok-Moräne wurde durch die von

ihr herabstürzenden Schmelzwässer und den, auch die Moräne selbst unterwaschenden Ges-Fluss fortgeschafft. Der von jungpleistozänem Eis verfrachtete Schutt bedeckte jedoch den Kokmojnok wenigstens bis zu einer Höhe von 3450—3500 *m* und hätte somit allein schon, auch ohne Hinzutreten der Bektargak- und Akkorum-Moräne das Wasser des Tarbaschi aufgestaut. Die Gletscher Akkorum und Kokmojnok verschmolzen miteinander in jungpleistozäner Zeit.

In östlicher Nachbarschaft der Kokmojnok-Moräne befindet sich ein Tal von bedeutenderer Tiefe, in dessen unterem Abschnitt das Ütschkepe benannte Lehmgebäude errichtet wurde (3090 *m*). Im östlichen Teile des Kokmojnok-Tales lassen ein tiefer herabreichender kleiner Gletscher und die unter der Kokmojnok-Stirnmoräne hervorbrechenden Schmelzwässer einen kleinen Bach entstehen. In der Ütschkepe-Talung ist die Mächtigkeit der pleistozänen Moräne keine beträchtliche, anstatt dessen aber treten auch aus dem Talboden schön eisgeschliffene Rundhöcker (Gneisquarzit, Quarzit und Glimmerschiefer) hervor. Auch der Ges-Fluss entrinnt dem Bereich der ihn beengenden Moränen und teilt sich in Zweige, bevor er unter der ersten Ges-Brücke sich in die Felschlucht stürzt, unterhalb welcher man bereits das Gebiet der Steppen-gräser und Laubbäume betritt. Die Zone der Nadelwälder fehlt hier vollständig.

### 3. Der Koxsel-Gletscher und der Unterlauf des Ges.

Den mächtigen Gletscher der Nordgehänge des Kungurtübe-Gebirges entdeckte AUREL STEIN, der diesen unter dem Namen „Koxsel (Sarguluk) Gl.“ in die Literatur einführte. Es scheint, dass STEIN den Gletscher nicht besuchte, ihn bloss vom Ges-Tale aus gesehen hatte. Ich konnte feststellen, dass den Kirgisen in der Umgegend des Gletschers die Namen Koxsel und Sarguluk nicht bekannt sind, was in Zentralasien des öfteren vorzukommen pflegt. Mir wurde als Name des Gletscher-Tales „Köldschailak“ genannt. Trotz alledem behielt ich die Benennung Koxsel bei, wie in allen Fällen, wo die Benennung des ersten Entdeckungsreisenden sich nicht ganz sicher auf eine andere Stelle bezieht.

Auf der östlichen Seitenmoräne des Koxsel-Gletschers drang ich bis zu einer Höhe von 3600 *m* empor. Diese Stelle ist vom unteren Ende des Gletschers 13 *km* weit entfernt. Für die Höhe des unteren Gletscherendes fand ich 2850 *m*, somit dürfte der Koxsel-Gletscher der am tiefsten vordringende Gletscher Zentralasiens sein. Er entsteht aus der Vereinigung zweier Gletscher in einer Höhe von 3500 *m*, 7 *km* entfernt vom unteren Ende des Gletschers. In einer Entfernung von weiteren 4 *km* befindet sich die Stelle der zweiten Vereinigung, wo der östliche Gletscher selbst aus dem Zusammenfluss zweier mächtiger Eisströme entsteht. Das ganze Firngebiet dürfte wohl weit über 150 *km*<sup>2</sup> betragen,

also dem Aletsch-Gletscher in jeder Beziehung nahe kommen. Vom Kungurtübe bis zu dem, von letzterem gerade gegen Osten 27 *km* entfernt sich erhebenden, 7160 *m* hohen Bergriesen, zieht sich ein zusammenhängender, sich durchwegs über 6000 *m* erhebender, stumpfer Berg Rücken hin, dessen nördliche Gehänge vollständig von Firn bedeckt sind. Hier liegt die orographische Schneegrenze nicht höher als 3700 *m*, da oberhalb dieses Niveaus nur mehr einige steile Felsgrate aus der Firndecke sichtbar hervortreten. Zwischen der östlichen Seitenmoräne des Gross-Koksel-Gletschers und dem wahrscheinlich ausschliesslich aus Quarzsandstein (Devon?) bestehenden Gebirge fliesst ein wasserreicher Bach, der von einem in 7160 *m* Höhe befindlichen, kleineren Gletscher auf der Westseite des Berges und vielleicht auch von dem durch die Seitenmoräne sickernden Schmelzwasser des grossen Gletschers gespeist wird. Die Priorität der STEIN'schen Namengebung respektierend, sei bloss der kleine Gletscher und das Tal des letzterem entströmenden Baches mit dem Namen Ködschailak belegt. (Fig. 50—51.)

Will man auf den Zustand des Koksel-Gletschers im Pleistozän schliessen, ist vor allem der Umstand zu beachten, dass die rezenten Gletscher nicht mehr imstande sind, die ihnen zur Verfügung stehenden glazialen Tröge auszufüllen.

Das Firstniveau der ausgedehnten Seitenmoräne ist 30—50 *m* höher gelegen, als die Oberfläche des rezenten Gletschers und es hat den Anschein, als wäre der Gletscher zwischen seine Seitenmoränen eingesunken. Auch zwischen der Seitenmoräne und der Gebirgswand findet der Bach bequem Platz. (S. das Bild pag. 222. in Utazásaim Belső-áziában). Der rezente Gletscher vermag also das Tal nicht mehr auszufüllen.

Im Jahre 1909 wies das Gletscherende keinerlei Anzeichen eines Rückzuges auf. Die Oberfläche des Gletschers ist schmutzig und schuttbedeckt, in seinem unteren Abschnitt ist das Eis fast kaum mehr sichtbar. Auch der geringe Rückgang eines Gletschers mit so reichlichem Schutttransport zeigt sich an der Stirnmoräne. Eine solche Spur aber konnte am Koksel-Gletscher nicht festgestellt werden. Vor der schuttbedeckten Stirn des rezenten Gletschers dehnt sich ein fluvioglaziales Schotterfeld mit Terrassen aus, welches an der Stelle der Einmündung in das Ges-Tal durch eine pleistozäne Moränenlandschaft abgelöst wird. Auch die grosse, östliche Seitenmoräne ist pleistozänen Alters, denn sie verläuft — unbekümmert um das Gletscherende — ungestört in der Richtung des Gez-Tales, um mit der dortselbst befindlichen, ausgedehnten Moränenlandschaft zu verschmelzen.

Aus dem Koksel-Gletscher entspringt ein mächtiger Fluss, dessen Fluten sich sommers in den Abendstunden mit wildem Getöse in den Ges ergiessen. Unweit der Mündung wurde eine Brücke errichtet (2580 *m*). Als der pleistozäne Koksel-Gletscher das heutige Ges-Tal betrat,

breitete sich derselbe fächerartig aus, worauf die Lage der heutigen Moränen hinweist. Der untere Rand der jungpleistozänen (Burkhanzeitlichen) Stirnmoräne befindet sich in 2420 *m* Höhe.

Über den unteren, folgenden Abschnitt des Ges weiss ich wenig zu berichten, da mir bloss der Abschnitt zwischen Ges-Karaul (Korgonkol) und Tschotschil-Mündung bekannt ist. Das Ges-Tal weitet sich hier aus, jedoch ist sein Trogcharakter nicht zu erkennen. Die HEIM'sche Auffassung, nach welcher der U-Querschnitt bloss eine, durch das Zusammenfliessen



Fig. 50. Der mittlere Abschnitt des Koxel-Gletschers.

der zu beiden Seiten entstandenen Schuttkegel hervorgerufene Täuschung wäre, löst hier sowohl, als auch anderwärts Widerspruch aus, da es gerade die Schuttkegel sind, die ein Erkennen des Trogcharakters erschweren, bezw. unmöglich machen. Auf Grund meiner in Zentralasien gesammelten Erfahrungen muss ich annehmen, dass der mächtige Koxel-Gletscher zur Zeit der Hauptvergletscherung auch unter die Korgonkol-Mündung herabreichte. Eine Spur hiervon konnte ich jedoch nicht entdecken. Das Haupttal wird von den mächtigen Schuttkegeln Kuruk-Tschutschuk und Tschotschil bedeckt. Der Fluss schneidet sich tief in die Hauptterrasse des Ges ein und auch die Nebentäler sind gezwungen, sich seiner energischen Erosion anzupassen.

#### 4. Das Tschotschil-Tal.

Auf der Ostseite des 4080 *m* hohen Djagos-Passes befindet sich ein Zirkustal. Der Untere Rand des Zirkustales ist in etwa 3600 *m* Höhe gelegen. Während sich auf der Westseite des Djagos-Passes der Rand des Zirkustales (zweifelsohne als Folgeerscheinung der orographischen Lage) in 3320 *m* Höhe befindet, liegt derselbe auf der Ostseite nahezu 300 *m* höher. Die Ostseite ist gegen das Tarimbecken zu geöffnet, trockener,

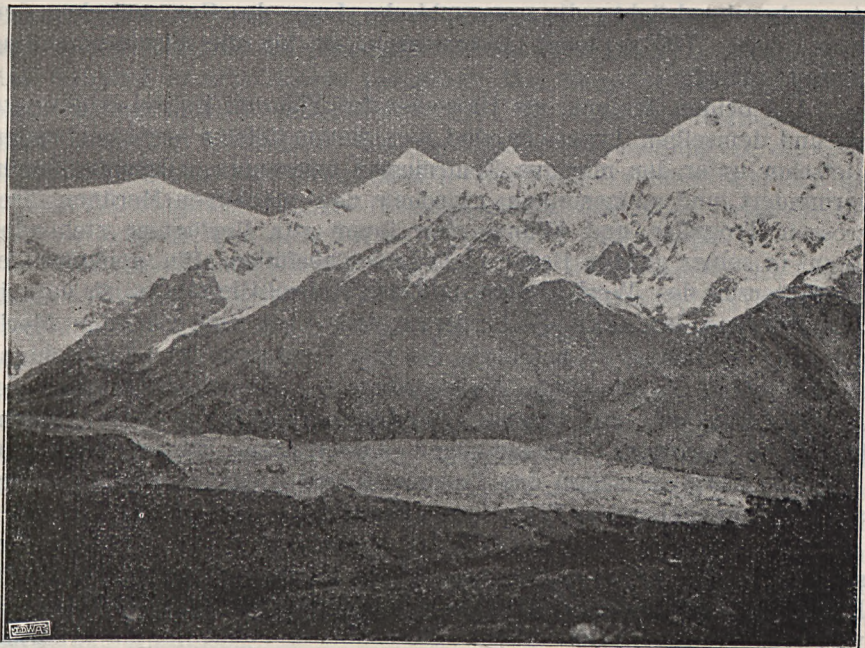


Fig. 51. Der untere Abschnitt des Koxsel-Gletschers.  
(Im Vordergrund Seitenmoräne aus der Burkhan-Zeit.)

sonniger. Dem entsprechend ist die Westseite steiler, in grösserem Masse exkaviert, die östliche Seite sanfter abfallend. Vom Rande des Zirkustales führen tiefe, V-förmige Täler zum Ges. Das Gefälle des Tschotschil-Tales verringert sich in 2850 *m* Höhe ganz bedeutend, es zeigen sich Terrassen und bald erscheinen auch die Steppengräser und Laubbäume. In 2500 *m* Höhe befindet sich der Taleingang, von wo aus sich ein ausgedehnter Schuttkegel gegen den Ges zu erstreckt.

**Zusammenfassung.** Das Kiakbaschi-Pamir und das zwischen das Bolor-Gebirge und die Gebirgsmassen des Kungurtübe-Mustagata eingekleitete, tiefe Ges-Tal zeigten in glaziologischer Hinsicht ein sehr ver-

schiedenes Verhalten. Trotz der unmittelbaren Nachbarschaft, sind auf dem Kiakbaschi-Pamir die in 4000—4800 *m* Höhe gelegenen, flachen Talböden, sowie die schattigen Täler des gegliederten Gebirges gänzlich firnfrei, an einzelnen Stellen wasserarmes Ödland, in der Ges-Talung aber ist der den Südrand bildende Kungurtübe-Zug bis zu dem Niveau von 3800—4000 *m* in einen Firmantel gehüllt und der Koksel-Gletscher reicht tief unter das 3000 *m* Niveau herab. Es ist dies ein Gegensatz, der mit Recht als geographische Merkwürdigkeit bezeichnet werden darf.

In unmittelbarer Nähe der grossen Firmmassen wird die Firngrenze etwas herabgedrückt; die orographische Lage des Ges, zwischen den beiden 6000—7000 *m* hohen Bergmassen, ist für die Firnansammlung überaus günstig.

Die beiden Atojnok, die Gletscher des Tüb und Koksel gehören zu ein und demselben Typus. Es sind dies die am tiefsten herabreichenden Gletscher unter den mir aus Zentralasien bekannten. Allesamt fliessen vermindert und eingesunken zwischen den mächtigen Moränen ihrer grossen Trogtäler und können den ihnen zur Verfügung stehenden Raum in seiner ganzen Breite nicht mehr ausfüllen. Ein gemeinsamer Charakterzug des West-Atojnok und des Koksel-Gletschers ist, dass in dem während der Akkija-Zeit entstandenen Trog sich mächtige Moränen der Burkhan-Zeit befinden, die das Trogtal in der Längsrichtung entzweiteilen. Die räumliche Ausbreitung in horizontaler Richtung der Akkija-, Burkhan- und rezenten Vergletscherung hat in dieser Gegend bedeutend geringere Abweichungen aufzuweisen, als im Tienschan.

Die Vergleichsdaten des Tschotschil und Koksel-Ges befinden sich auf der vorangehenden, VIII. Vergleichstabelle.

Die auf das Kiakbaschi-Pamir blickenden Alpen scheiden sich scharf von dem grossen, nunmehr schon in Gebirgsketten gegliederten Pamir, das während der Eiszeit infolge der verjüngten Erosion ein abwechslungsreiches Relief erhielt. Das östliche Pamir ist ein firnarmes Gebiet und das bewegte Eis konnte sich auf ihm auch während der Eiszeit nicht entwickeln. Die Abdachung der Pamire ist hier eine äusserst mässige, so dass der sich anhäufende Firnschnee bloss Tafeleis bildet. Das Tafeleis aber hinterlässt kaum irgendwelche Spuren. So hat das Pamir kaum irgendwelche Spuren, die für eine pleistozäne Vergletscherung sprechen würden, aufzuweisen. Das Kiakbaschi-Pamir zerfällt in so viele Becken, als pleistozäne Gletscher aus dem Bolor-Gebirge auf die Bodenfläche des Pamir flossen. Die Reste der Akkija-Vergletscherung sind auf dem Kiakbaschi-Pamir die durch Wasser zerstörten Moränenhügel des Talbodens, die Reste der Burkhan-Vergletscherung sind in dem Moränenkranz auf den Hängen der Alpen erhalten, hervorgebracht durch ineinander geflossene Fladengletscher.

## J) Die Gegend des Üssendarja und des Jarkanddarja.

### 1. Die obere Gegend des Üssendarja.

Der Üssendarja kommt auf unseren bisherigen Karten unter dem Namen „Karatasch“ vor. Einer der vom Pamir nach Jarkand führenden Karawanenwege kreuzt das obere Flussgebiet des Üssendarja, zieht vom Karatasch-Pass durch das Karatasch-Tal auf den fast gegenüber liegenden Gidjek-Pass. Dieser Weg verläuft bloss etwa 5 *km* weit im Haupttal, andere Teile des über 100 *km* langen Haupttales wurden vor mir von europäischen Forschungsreisenden nicht besucht. So kam auch das Haupttal zu dem Namen Karatasch. Das Haupttal wird durch zwei pfadlose, ungangbare Schluchten in drei Teile geteilt. Karatasch und Merki sind die Quellflüsse, die nach ihrer Vereinigung in die erste Schlucht gelangen. Der zwischen der ersten und zweiten Schlucht gelegene Teil trägt den Namen Tschimgendarja, derjenige zwischen der zweiten Schlucht und dem Tarim-Becken aber Üssendarja.

Der 4100 *m* hohe Kismak-Pass ist auf der Wasserscheide des Üssendarja und Kengkol gelegen. Die Spuren der pleistozänen Vergletscherung sind hier gering. An der Westseite des Passes befinden sich nischenartige Täler, die auf die Tätigkeit von Gletschern hindeuten. Auch auf der gegenüberliegenden, westlichen Bergwand gewahrte ich in entsprechender Höhe Zeichen von Nischentalbildung. Auf der dem Merki-Tale zugewandten Seite des westlichen Bergrückens reihen sich — so, wie der letztere sich über das 3800 *m* Niveau erhebt — Täler von glazialen Typus aneinander. Die Bodenpartie der Nischentäler befindet sich in 3700—3800 *m* Höhe. Die Vereinigung der Täler Merki, Ssogot und Karatasch erfolgt in ein und demselben Niveau. Pleistozäne Bildungen sah ich in grösserer Menge bloss in der Gegend der Vereinigung des Merki und Karatasch.

Der Karatasch-Pass selbst ist in fast 5000 *m* Höhe gelegen, das Tal befindet sich zwischen den Gebirgsgruppen des Mustagata und Kungurtübe, und der Südwestseite des Kungurtübe entströmen auch heute noch ganz beträchtliche Gletscher. Im Pleistozän befand sich im Karatasch wahrscheinlich ein grosser Talgletscher. Die Mündungsstelle des Karatasch und Merki ist nach meinen Messungen in einer Höhe von 3000 *m* gelegen (auf der russischen 40 Werst-Karte 2780 *m*). Der pleistozäne Karatasch-Gletscher hat diese Stelle nicht erreicht. In der Nähe der Vereinigungsstelle befindet sich die Mündung des Ssujok-Baches. Das Ssujok-Tal wird im Westen und Nordwesten von einem 4500 *m* überragenden Gebirge eingeschlossen.

Vom Karatasch-Tale aus konnte ich beobachten, dass sich zwischen den Bergen ein kleinerer Gletscher befindet, dessen Ende bis zu dem 4000 *m* Niveau herabreicht. Der grünlich schimmernde Gletscher ist auf

einer steil abfallenden Stirn­moräne gelegen und befindet sich heute gewiss nicht im Rückzugsstadium. Dieser Ssujok-Gletscher blickt aus einer Nebennische eines grösseren Zirkustales hervor. Vor dem Zirkustale breitet sich eine mächtige Moränenlandschaft aus, deren First 3700 *m* hoch ist und in Stufen bis an das Karatasch-Tal hinabfällt. Die erste Stufe der Moräne liegt in 3520—3550 *m* Höhe. Über diese stürzen sich die dem Firste der grossen Moräne enteilenden Schmelzwässer des rezenten Ssujok-Gletschers. Auf der Stufe befindet sich ein kleines, aufgefülltes Seebett in 3510 *m* Höhe. Die zweite Stufe liegt im Niveau von 3300—3350 *m*. Auch auf diese stürzt der Bach in Wasserfällen herab. Diese Moräne dehnt sich im Osten bis an den Tschimgendarja aus, im Süden reicht sie bis in die Gegend der Ssujok-Mündung, ihr Unterer Rand liegt in einer Höhe von 3100 *m*. Unterhalb der zweiten Stufe (= dritte Stirn­moräne) befindet sich noch Glazialschutt, doch glaube ich annehmen zu dürfen, dass es sich hier bloss um umgelagerten Schutt handelt, der dem oberen, steilabfallenden und somit ziemlich labilen Moränengebiet entstammt. Im westlichen Gebirge des Ssujok-Tales besuchte ich noch ein abgesondert liegendes Nischental, dessen Bodenhöhe etwa 3650 *m* beträgt. Auch dieses wird durch eine zum Teil bereits hinweggeschwemmte Moräne abgesperrt. Der in dem Tale fließende Bach eilt, sich an den zwischen Ssujok und Karatasch befindlichen Berg­rück­en schmiegend, an der Seite der grossen Moränenmasse talwärts und vereinigt sich in 3110 *m* Höhe mit dem grossen Ssujok-Bache.

Aus den mächtigen Moränenmassen des Ssujok-Tales lässt sich auf ein ausgedehntes Firngebiet im oberen Abschnitt des Tales schliessen und als im Pleistozän der Gletscher über dessen Rand heraus­trat, stürzte er vorhangartig an der steilen Wand des tiefen Tschimgen-Tales herab. Der Steilheit des Tales ist es zuzuschreiben, dass der Gletscher sich verhältnismässig ausserordentlich tief herabsenkte, anderseits aber in seiner Ausdehnung auf die geringste Klimaschwankung sehr empfindlich reagierte.

## 2. Die Terrassen des Tschimgendarja und das Kisiltschirken-Tal.

Auf der Wasserscheide des Üssendarja und Kengkol, etwa in 18·5 *km* Entfernung NNE-lich vom Kissmak-Pass befindet sich der bereits erwähnte Gidjek-Pass (4025 *m*). Es ist dies ein echter Kammpass, die Gipfel des Gebirgsrückens selbst erreichen kaum 4100—4200 *m*. Auf der Westseite des Passes wird die pleistozäne Vergletscherung durch eine schwachumrissene, nischenartige Talung angedeutet. Der Boden einer auf der Nordseite eines südlich des Passes gelegenen, bis zu 4200 *m* sich erhebenden Berges gelegenen Glazialnische befindet sich in 3850 *m* Höhe. Unterhalb derselben folgt starkes Gefälle, auch kommt es zur

Bildung eines kleinen Wasserfalles. In einer Höhe von 3685 *m* verringert sich das Gefälle des Tales und hier treffen wir bereits Steppengräser an.

Auch in den südlich gelegenen Nebentälern des Kisiltschirken findet man Nischen glazialen Ursprungs, die jedoch derzeit eisfrei sind. Das nördliche Seitental leitet die Gewässer des sich weit ausdehnenden Abhanges des Djamankol und des südöstlichen, vergletscherten Abhanges des Pittiktau talwärts. Es ist nicht ausgeschlossen, dass es hier auch heute noch kleine Gletscher gibt. Den südwestlichen Teil des Pittiktau sah ich von der dritten Terrasse des Tschimgendarja aus und entdeckte dort einen grösseren Gletscher, dessen Schmelzwässer jedoch in das bisher noch unbekannte, obere Schluchttal des Tschimgendarja abfliessen. Das Ende dieses Gletschers reicht, wie ich mit Hilfe des Horizontalglases feststellen konnte, wenigstens bis auf 3800 *m* herab.

Im Tschimgendarja-Tale befinden sich zwischen der Karatasch- und der Kisiltschirken-Mündung mächtige Terrassen. Am Eingang des Kalmakmasar-Tales, in 3140 *m* Höhe ist eine Schotter-Terrasse gelegen, über dieser aber etwa in 60 *m* Höhe (beiläufig 3200 *m*) liegt noch eine höhere Terrasse. Die Terrassen stehen mit dem Durchbruch des Tschimgendarja im Zusammenhang.

Bevor der Karatasch-Fluss sich mit dem Merki vereinigen könnte, arbeitet er sich, nach Beschreibung eines weiten Bogens, durch eine etwa 3200 *m* hohe, schwarze Kalkschiefermasse, deren flacher Kegel die Niveaufläche eines alten Talbodens erkennen lässt. Oberhalb der Mündungsgegend des Karatasch-Merki ist der Urtalboden auf einer Strecke von 8—9 *km* breit und doppelt. Im östlichen Abschnitt des Urtalbodens befindet sich die 150—200 *m* tiefe Schlucht des Merki. Westlich von dieser befindet sich der erwähnte, durch die Erosion aus dem Urtalboden herausgearbeitete Felszug. Ssogot und Karatasch sind gezwungen bevor sie in den Merki münden, in grossem Bogen diese Felsmasse zu durchschneiden; durch seitliche Erosion wird diese in einen schmalen Rücken verwandelt. Der felsige Urtalboden setzt sich fort im Tschimgendarja-Tal im gleichen Niveau mit der obersten Schotterterrasse. Das Gefälle der obersten Terrasse beträgt auf einer Strecke von 5 *km* wenigstens 50 *m*, da sie sich oberhalb der Mündung des Kisiltschirken bereits in einer Höhe von 3150 *m* befindet. Die folgende Kalmakmasar-Terrasse steigt auf einer ähnlichen Strecke von 3140 *m* auf 3050 *m* herab. Das Gefälle des Tschimgendarja beträgt heute von der Karatasch-Mündung (3040 *m*) bis zur Mündung des Kisiltschirken (2895 *m*), ebenfalls auf einer Strecke von 5 *km* etwa 150 *m*. Das Gefälle der beiden jüngsten Terrassen versuchte ich nicht zu bestimmen, da hierzu feinere Messungen nötig gewesen wären, konnte jedoch bereits auf einem 2 *km*-Abschnitt feststellen, dass auch die jüngste Terrasse in der Richtung talwärts an Mächtigkeit zunimmt und sich von 2,5 *m* auf 15 *m* erhöht. Im all-



gemeinen also entspricht die Richtung des Gefälles der Terrassen dem der Flüsse, ist bei den älteren Terrassen geringer, als bei den jüngeren und noch geringer als das des Flusses. (Fig. 52.)

### 3. Das Otrake-Tal.

Nördlich des Kisiltschirken-Tales erhebt sich, wie bereits erwähnt, ein vergletschertes Hochgebirge. Östlich des STEIN'schen 7160 *m*-Berges nimmt die Höhe des Kungürtübe-Gebirges jäh ab und endet in der oberen Schlucht des Tschimgendarja. Östlich der Schlucht, in dem zwischen dem Tarim-Becken und dem Jarkanddarja gelegenen Gebirge, erhebt sich, wie ich dies auf meinen Reisen beobachten konnte, bloss

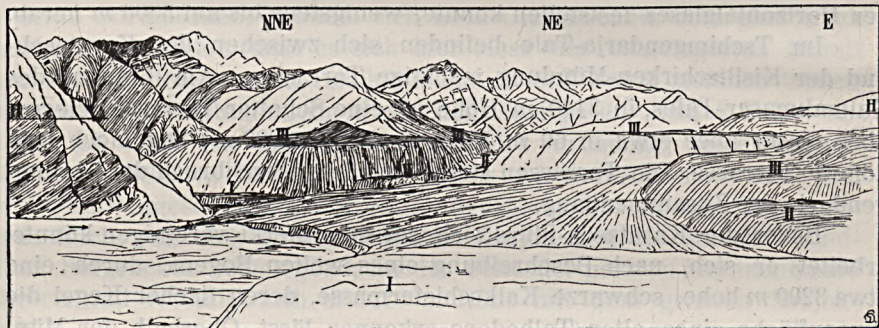


Fig. 52. Die Terrassen des Tschimgendarja oberhalb der grossen Schlucht. Im Hintergrund gegen NNE der Pittiktau. (Statt E ist ENE zu lesen.)

eine Berggruppe über die heutige Schneegrenze, es ist dies der Pittiktau. Auf der Südseite des Pittiktau erstreckt sich ein Gletscher auf 3800 *m*, also verhältnismässig tief herab. Auf der Nordseite des Gebirges verläuft die Schneegrenze eigentümlicherweise Höher, als auf der Südseite. Der Unterschied ist ein so bedeutender, dass ich nicht an einen Fehler in meinen Aneroid-Messungen denken durfte, umso weniger, als meine Messungen mit den von mehreren Forschungsreisenden in dieser Gegend an gewissen Punkten vorgenommenen gut übereinstimmten. Auf der Nordseite des Pittiktau befindet sich ein flacher, von Seen bedeckter Bergrücken, von den Kirgisen bezeichnenderweise Költüsdümkel benannt. Östlich dieser Rückenlandschaft fliesst der Ordolon in den Kengkol, nordöstlich fliessen die Bäche Terekketschü und Tschutek dem Rande des Tarim-Beckens zu, in die Gegend der Stadt Jangihissar; in westlicher Richtung strömt der Pittik-Bach in die obere Schlucht des Tschimgendarja. Der Pfad führt entlang des Randes der steileren Bergkuppen des Pittiktau. Dieser zwischen Ordolon und Tschutek gelegene Rücken beginnt in 4185 *m*, derjenige zwischen

Tschutek und Terekketschü aber in 4140 *m* Höhe, der tiefste Punkt der Wasserscheide des Terekketschü und Pittik liegt in einer Höhe von 4120 *m*.

Der Tschutek entspringt aus einem kleinen Nischengletscher. Die unterhalb des Gletschers befindliche Moränenlandschaft deutet darauf hin, dass der aus der glazialen Nische kommende pleistozäne Gletscher sich mit dem den ganzen Költüsdümbel bedeckenden grossen Gletscher vereinigte. Die Länge des heutigen Terekeschü-Gletschers beträgt wenigstens 4–5 *km*, sein Ende fliesst auf das pleistozäne Moränengebiet des Költüsdümbel. Eine Stirnmoräne ist nicht vorhanden, er ist demnach im Vordringen begriffen. So weit er sich erstreckt, füllt er sein Tal vollkommen aus und bedeckt seine Seitenmoränen. Die maximale Ausdehnung in rezenter Zeit wird durch eine Moränenhügelgruppe angedeutet, die sich an den Nordwestrand des Gletschers schmiegt, was auf der einen Seite des Gletschers eine Verlängerung von 200–250 *m* und eine grössere Tiefe von höchstens 20–25 *m* bedeutet. Diese Hügelgruppe ist jedoch bereits von Gräsern überwachsen. Vor dem Gletscher breiten sich zwei mächtige, von 40–50 *m* hohen Seitenmoränen eingesäumte, sumpfige Grundmoränengebiete aus. In der Grundmoräne befinden sich Einsenkungen, in einer derselben liegt ein kleiner See eingebettet.

Die westlich benachbarten beiden Pittik-Gletscher sind kleiner und unterscheiden sich vom Terekketschü-Gletscher dadurch, dass sich vor ihnen weniger ausgedehnte, in rezenter Zeit verlassene Stirnmoränen befinden. Westlich des Pittik-Gletschers befindet sich auch noch ein Nischengletscher. Die beiden Pittik-Gletscher vereinigten sich mit dem Nischengletscher im Pleistozän etwa in 3400 *m* Höhe und endeten nach Einmündung in den von dem heute firnfreien, 3940 *m* hohen Otrake-Pass in südlicher Richtung herabfliessenden Gletscher, in einer Höhe von etwa 3250 *m*. Unterhalb dieses Punktes ist mir der Pittik nicht bekannt. Der Pittik-Gletscher war also während der Burkhan-Zeit wenigstens um 3 *km* länger als heute. Die Moränenanhäufung des Pittikbaschi ist eine ganz bedeutende. Zwischen den vom Költüsdümbel und dem Otrake-Pass her stetig zunehmenden und eine Mächtigkeit von 200–300 *m* erreichenden Moränen haben sich die Bäche tiefe Täler eingeschnitten.

Das vom Otrake-Pass aus gegen Westen verlaufende Otrake-Tal war, als ich es besuchte (16–17. Juli 1909.) in dichten Nebel gehüllt, was die Beobachtungen stark beeinträchtigte. Die Umrisse des Zirkustales des Otrakebaschi liessen sich schwer feststellen. Die Seiten des Zirkustales sind steil, die Höhe des Talbodens beträgt etwa 3400 *m*. Unterhalb desselben beginnt das V-förmige, enge Tal mit grossem Gefälle. Dieser schmale Talabschnitt endet in 2950 *m* Höhe. Hier befindet sich der Artschamasar, auf welchem bereits Steppengräser und Laubbäume auftreten. Der Nadelwaldgürtel fehlt vollständig.

#### 4. Das Dscheinage-Kajündü-Tal.

In östlicher Nachbarschaft des 7160 *m* hohen Bergriesen des Kungurtübe-Gebirges erstrecken sich von dem firnbedeckten Hauptrücken ansehnliche Gletscher nach Norden. Die Schmelzwässer dieser Gletscher werden durch den Kajündü-Bach zum Tschingendarja abgeleitet. Zum Unterschied von den vielen Kajündüs, nenne ich dieses Tal Dscheinage-Kajündü. Den Namen Dscheinage trägt das äusserste westliche Seitental. Vom 3270 *m* hohen Kaindawan aus hat man einen guten Überblick über das ganze Dscheinage-Tal. Ein ausgedehntes Firngebiet entsendet einen ansehnlichen Gletscher in das Dscheinage-Tal. Die Höhe des Endes dieses Gletschers schätzte ich mit Hilfe des Horizontalglases auf 3500 *m*. Selbstredend dürften sich hier den schätzungsweise erhaltenen Zahlen gegenüber Abweichungen von von 50–60 *m* unschwer nachweisen lassen. Unterhalb des Gletschers dehnt sich ein weites Moränenfeld aus, eine etwa 100 *m* mächtige Stirnmoräne verriegelt das Tal mit U-förmigem Querschnitt. Der Untere Rand der Stirnmoräne ist in 3250 *m* Höhe gelegen, die zugleich die obere Grenze der Nadelhölzer bedeutet.

Das Firngebiet des benachbarten Korumdu-Gletschers scheint ausgedehnter zu sein, jedoch befindet sich das Gletscherende in ähnlicher Höhe. In etwa 3500 *m* Höhe sah ich vom Kaindawan aus eine rezente Stirnmoräne, die das Tal mit hohem Damm sperrt. Unterhalb der grossen Stirnmoräne wird das Tal weit und breit durch schmutziggrauen Glazialschutt ausgefüllt, dessen Grenze wenigstens um 200 *m* tiefer gelegen ist, als die der Dscheinage-Moräne. Ein Zeugnis für die ansehnlichen Dimensionen des Korumdu-Gletschers liefern auch die dem Gletscher entströmenden, gewaltigen Wassermassen des Baches. Unterhalb der Vereinigungsstelle des Dscheinage und Korumdu waren die Kirgisen schon gezwungen eine Brücke über den Fluss zu schlagen. Wer Zentralasien bereist, weiss was das zu bedeuten hat. Solange es möglich ist, im ruhigsten Abschnitt des Tages den Fluss ohne wirkliche Lebensgefahr zu durchwaten, schlägt der Kirgise keine Brücken.

Der Querschnitt des Korumdu-Tales zeigt in seinem unteren Abschnitt eine in einer weiten U-Form übertiefte V-Form. Die Gebirgswand zeigt also an ihren höchstgelegenen Stellen die Umrisse des Urtalbodens, unterhalb dieser die konkaven Wände des Glazialtroges, am Boden aber das Erosionstal aus postglazialer Zeit. Unterhalb der pleistozänen Moränenendung des Dscheinage-Tales fehlt die eingetiefte V-Form noch vollkommen im Boden des U-förmigen Tales, talabwärts jedoch zeigt der trogartige Urtalboden immer weitergehende Zerstückelung, um allmählich nur mehr in leicht geneigten Bergschultern verschiedener Grösse erhalten zu bleiben. Das Gefälle des durch diese Relikte angedeuteten Urtalbodens war jedoch viel geringer als dies im heutigen Tale der Fall ist. Während das Gefälle des rezenten Tales vom Rande der

Stirnmoräne bis zur Mündung des Korumdu 420 *m* beträgt, befinden sich oberhalb der Korumdu-Mündung die Felsbänke in 3150 *m* Höhe, das Gefälle des Urtalbodens betrug demnach in demselben Talabschnitt nicht mehr als 100 *m*. Das Urtalbodenstück befindet sich auf dem Hang des Kaindawan in 3180 *m* Höhe. Bis hierher reichen auch die Nadelwälder des Kaindawan-Gebirges empor. In den zerstückelten Urtalboden ist der Glazialtrog mit bedeutendem Gefälle eingetieft. Der Glazialtrog verwandelt sich erst in der Gegend der Korumdu-Mündung in ein typisches, V-förmiges, fluviatiles Tal. Hier hat der Dscheinage sein Tal, dem des Korumdu gegenüber übertieft. Das Bild des etwa auf 2800 *m* herabreichenden Glazialtroges wird durch die grosse Anzahl der mit Nadelwäldern bedeckten, postglazialen Schuttkegel sehr stark verändert. Die Behauptung HEIM's, der Trogtal-Typus sei lediglich infolge einer durch die zu beiden Seiten der breiteren Täler befindlichen Schuttkegel hervorgerufenen Täuschung entstanden, wird durch das Dscheinage-Tal widerlegt, denn hier sind es gerade die Schuttkegel, die es uns erschweren den Trogtaltypus festzustellen.

Das Dscheinage-Kajündü-Tal ist eng, hat grosses Gefälle und zwei grosse Schotterterrassen, die mit der einzigen, in der Nähe der Mündung befindlichen Tschimgendarja-Terrasse verschmelzen.

### 5. Das Keklidschül-Tal.

Nordöstlich vom Kungurtübe-Gebirge nimmt das Gebirgsland rapid den Charakter des Randes des Tarim-Beckens an. Nördlich von dem 7160 *m* hohen Berg bis zur Gegend des Korgonkol, dehnen sich die Hochgebirgscharakter tragenden Bergrücken aus; auf der Südseite des Korgonkol befinden sich die nördlichsten Nischengletscher. Zwischen diesen Gebirgsrücken muss sich ein bislang unbekanntes Tal befinden, was aus dem grossen Wasserreichtum des Korgonkol-Baches gefolgert werden kann.

Zwischen dem unbekanntem Tal und dem Kaindawan-Gebirge befindet sich das sich nach Nordosten zu erweiternde Keklidschül-Tal. Auf der Nordseite des Kaindawan-Passes befindet sich zwischen 2820—3200 *m* Höhe ein Nadelwaldgürtel. Die Pleistozän-Zeit wird hier durch eine einzige, fluviatile Terrasse vertreten, die von einer nordwärts allmählich an Mächtigkeit zunehmenden Lösshülle bedeckt ist.

### 6. Das Karaagll-Tal.

Zwischen dem Merki und dem oberen Abschnitt des Kengkol erhebt sich ein Gebirge über 4000 *m*, dem ich nach dem Kissmak-Passe,

der sich auf einem der nordseitlich sich hinziehenden Nebenrücken befindet, den Namen Kissmak-Gebirge beilege. Der WSW—ENE streichende Rücken des Kissmak-Gebirges wird durch einen NW—SE gerichteten Querbruch zerrissen, von wo an das Gebirge einen Plateau-Charakter annimmt und das 4000 *m* Niveau nicht mehr erreicht. Längs des Querbruches bildet grauer Kalk des unteren Karbons eine lange, gerade Wand. Die Scheitellinie dieser Wand verläuft gleichmässig in 4200—4300 *m* Höhe und sind auf ihr weder Spuren pleistozäner, noch solche rezenter Vergletscherung zu finden. Das Plateau besteht aus zerstückeltem, rotem Konglomerat, der höchste Punkt des über dasselbe führenden Pfades liegt in 3960 *m* Höhe. Dies ist der Karaagilbel. (S. das Bild pag. 250. in „Utazásaim Belsőáziában.) Auf der Südseite des Karaagilbel befinden sich tiefe, V-förmige Erosionstäler. Es ist nicht ausgeschlossen, ja sogar wahrscheinlich, dass sich während der Eiszeit in den Vertiefungen des Karaagil-Plateaus kleinere Firnfelder befanden, was sich jedoch nicht ganz einwandfrei nachweisen liess. Die Steppenflora erstreckt sich ziemlich hoch, bis etwa 3280 *m* empor. Der Karaagil mündet in 3030 *m* Höhe in den Kengkol.

### 7. Das Kissmak-Tschumbus-Tal.

Auf der Südwestseite des bereits erwähnten, 4095 *m* hohen Kissmak-Passes konnte ich drei Nischentäler von glazialen Typus feststellen, die darauf hindeuten, dass hier kleinere, kaum unter 4000 *m* reichende Nischengletscher vorhanden waren. Es scheint die orographische Schneegrenze im Pleistozän auf der westlichen Seite etwa um 100 *m* tiefer gewesen zu sein, als auf der östlichen. Das Tal des unterhalb des heute vollkommen firnfreien Passes entspringenden, kleinen Baches mündet in 3715 *m* Höhe in ein mit Fluvioglazialschotter erfülltes, weiteres Tal.

Auch in dem Kogele-Tschunkur genannten Nebentale des Haupttales fand ich auf dem südlichen Felsrücken nischenähnliche Vertiefungen. Unterhalb der Vereinigungsstelle des östlichen Kissmak und des Kogele-Tschunkur (3510 *m*) erstreckt sich ein Schluchttal, in dessen unterem Taleingang die Steppenvegetation ihren Anfang nimmt. Wirkliche Terrassen besitzt dieses auch heute wasserarme Tal nicht. In 3110 *m* Höhe vereinigt sich der östliche Kissmak mit dem vom Karaagil-Pass kommenden Karaagil-Tale. Die Nordseite des Karaagil-Passes unterscheidet sich unwesentlich von der Südseite. Die Firnfelder überdauern den Sommer zwar leichter auf den nördlichen Hängen des Passes, jedoch kann die Entwicklung des Tales auch durch die Erosionsarbeit der heutigen Wassermengen erklärt werden. In der ganzen Talung ist allein das Fluvioglazialgerölle des oberen Ost-Kissmak als unzweideutig pleistozäne Ablagerung anzusehen.

### 8. Das Ssugurluk-Tal.

Der die Wasserscheide zwischen dem Jarkanddarja und Kengkol bildende Ssugurluk-Pass ist ein in 3785 *m* Höhe gelegener, grasbedeckter Berggrücken, unter dessen sanft abfallenden Kuppen jählings steil abstürzende Hänge erscheinen, als Produkt der rückschreitenden Erosion des Ssugurluk und Karadjilga im Norden und des Koschötök im Süden. Die Nordseite fällt steiler ab, als die Südseite. In den letzteren Tälern ist keine Spur der pleistozänen Vergletscherung vorhanden. Während der Eiszeit können auch hier auf dem Gebirgsrücken Firnfelder den Sommer überdauert haben, heute jedoch dürfte die Schneedecke gewiss bereits im April oder Mai verschwunden sein, wenn der Schnee überhaupt den ganzen Winter hindurch anhält. Nach Angaben der Kirgisen ist der Verkehr im Winter weder über den Karaagil-Pass, noch über den Ssugurluk-Pass behindert, während die Überschreitung des Kissmak-Passes auf Schwierigkeiten stösst. Dagegen erhebt sich östlich vom Ssugurluk-Passe ein 4500—4600 *m* hohes, durch Glazialnischen gegliedertes, hohes Gebirge. Das Wasser der nordwestlichen Kare dieses Gebirges wird durch den Kardschilga talwärts befördert. Vom Karaagil-Passe aus konnte ich feststellen, dass dieses Gebirge auch heute noch Firnfelder trägt, und dass das Niveau des Bodens der heute firnfreien Kare sich im Niveau des Karaagil-Passes, in einer Höhe von etwa 4000 *m* befindet.

### 9. Das Gidjek-Tal.

Am Westhange in der Nachbarschaft des 4025 *m* hohen Gidjek-Passes sind — wie bereits erwähnt wurde — die Spuren pleistozäner Vergletscherung vorhanden. Am Osthange konnte ich nicht einmal Spuren davon entdecken. Der Rücken des Gidjektau setzt sich zwar in 4200—4300 *m* Höhe noch weiter nach Osten zu fort, jedoch lassen die zwischen seine Nebenrücken eingebetteten Talungen nicht unzweideutig die Charakterzüge der Kare erkennen.

Die *Lasiagrostis*-Arten steigen auch heute noch im Tale auffallend hoch, bis zu 3480 *m* Höhe empor und trifft man in 2950 *m* Höhe noch Berieselungsanlagen an. Das wasserarme Tal besitzt eine grosse, 20—30 *m* hohe Terrasse, die aus grobkörnigem Kies aufgebaut ist, die zweite Terrasse ist bloss 1—2 *m* höher gelegen, als das Niveau des Baches und besteht aus feinkörnigem Kies. An den Talhängen befinden sich grosse, trockene Schuttkegel. Auch im Kengkol-Tale gibt es unterhalb der Gidjek-Mündung bloss eine grosse Schotterterrasse, die zweite Terrasse ist unbedeutend.

### 10. Das Ordolon-Tal.

Auf dem Nordhang des Pittiktau liegen verhältnismässig grosse Gletscher, auch auf der Südseite befindet sich ein kleinerer Gletscher.

Die nordöstlichen Felsvorsprünge des Pittiktau sind in 4160–4185 *m* Höhe gelegen. Östlich dieses Felsrandes erstrecken sich in einer Breite von 1–1,2 *km* leichtgeneigte Schutthügel, deren Rand sich in 3935 *m* Höhe befindet. In diese Schutthügel haben die Schmelzwässer der Schmelze- und Firnfelder des Pittiktau eine tiefe Talung eingeschnitten. Unterhalb des Randes der nach ihrem durchwegs aus rötlichem Konglomerat bestehenden Material Kisil-bel benannten Rücken folgt eine steil geneigte Schutthalde, dann tauchen in etwa 3600 *m* Höhe die anstehenden, eisen- und glimmerhaltigen roten Sandsteinbänke auf. Der flache Scheitel der Schuttmasse, sowie ihre Lagerung deutet auf glaziale Verfrachtung hin. Während der Eiszeit entströmten den in der Umgebung des Kisilbel befindlichen Niscentälern die Gletscher, die nach der Vereinigung eine mächtige Moränenmasse schufen. Nach den auf diese blickenden Kanten geurteilt, kann das Gerölle nicht ausschliesslich auf Glazialtransport zurückgeführt werden, wahrscheinlich ist es, dass es auch bereits vor der Vergletscherung zur Anhäufung von Geröll kam. Der talwärts dringende Gletscher schuf in dem Schuttkegel einen flachen Rücken, ja sogar gegen das Gebirge geneigte Hügel. Bezeichnender Weise zeigen die hier und da an Schichtung erinnernden, rötlich gefärbten Sandsteingeröllwände eine leichte Neigung gegen das Gebirge zu, was ausschliesslich der Umlagerndes Tätigkeit des Gletschers zuzuschreiben ist. Zu einer eingehenden Untersuchung des Gerölles fehlte mir die Zeit. In den unteren Lagen desselben konnte ich an den Geröllen keine auf Gletscherschliff hinweisenden Flächen finden, so dass als sichere Grenze der Arbeit des Gletschers der Rand des Schuttrückens anzusehen ist, d. h. etwa 3900 *m*.

Tiefer reichte der pleistozäne Gletscher des auch heute noch gletscherführenden, von Süden kommenden Tales herab. Die oben beschriebene Schuttmasse lagert sich quer vor dieses Tal, bis zu dessen Fusse sich ein schönes, glaziales Trogtal erstreckt. Dieses Tal habe ich nicht besucht, bloss in der Nähe der Vereinigung der beiden Ordolon-Bäche betrat ich den Talboden, in einer Höhe von 3245 *m*. Hier trägt das Tal bereits ein kräftiges Gefälle und einen rein fluviatilen Charakter zur Schau. Ich schätzte die Höhe des Unteren Randes des südlichen Ordolon-Trogtales auf beiläufig 3400 *m*. Dem entsprechend beginnt die Steppenvegetation auch heute noch tiefer, in 3025 *m* Höhe. Im Unteren Abschnitt des Tales befinden sich zwei Terrassen.

#### **11. Der Koschötök, Tscharleng und die Talserie von Kuscherabi (Jarkanddarja.)**

Auf der Südseite des die Wasserscheide zwischen Kengkol und Jarkanddarja bildenden Ssugurluk-Passes, nimmt mit dem Koschötök-Tal das Einzugsgebiet des Jarkanddarja seinen Anfang. Im Koschötök-

Tal ist es schwierig, die ausgesprochen pleistozänen Gebilde von denen des Alluvium zu trennen. In einer Höhe von 2730 *m* vereinigt sich das Koschötök- mit dem Taschkerem-Tale. Der Taschkerem-Bach ist auffallend wasserreich. Er kommt von dem Südwesthang des östlich des Ssurguluk-Passes sich erhebenden Hochgebirges. Die grosse Wassermenge zu einer Zeit, (25. VII. 1909) wo in sämtlichen, unterhalb der Schneegrenze gelegenen Tälern, die Quellen ausgenommen, kaum ein Tropfen Wasser vorhanden ist, deutet darauf hin, dass sich im Taschkerem-Gebirge ständige Firnfelder befinden. Von der Taschkerem-Mündung an verändert sich das Aussehen des Tales, es führt Terrassen. Abgesehen von der 1 *m* hohen holozänen Terrasse, befindet sich in etwa 50 *m* Höhe eine abgeschliffene und lössbedeckte, pleistozäne Terrasse. In grosser Höhe (etwa 120 *m*) befinden sich noch Überreste einer älteren, wahrscheinlich praepleistozänen Terrasse. Weiter unten wird das Tal vom Gerölle ausgefüllt, so dass das Wasser des Taschkerem in Kürze versiegt. Bei der Terekmasar-Quelle ist das Bett bereits vollkommen trocken.

Das Taschkerem-Tal mündet in 2390 *m* Höhe in das Tscharling-Tal. Von hier an führte mein Weg in dem engen, steilwandigen Tal. In der Gegend von Bag treten auch auf dem Talboden bereits 5–8 *m* hohe Lösswände auf. Das Tal nimmt allmählich Schluchtcharakter an und unterhalb Kisilto stehen die Seitenwände nahezu senkrecht. In 1700 *m* Höhe mündet der Tscharling in den Jarkanddarja. Hier liegt das Dörichen Kuscherab auf einer 3 *m* über den Rand des Überschwemmungsgebietes des Jarkanddarja sich erhebenden Terrasse. Diese, von einem Gemenge aus Flussschlamm und windverfrachtetem Löss bedeckte Terrasse ist durch Berieselung zu einem ausgezeichneten Kulturboden umgewandelt worden. Kaum 25–30 *m* über dieser befindet sich eine vollkommen unfruchtbare Schotterterrasse, die auf den in meinem Werke *Utazásaim Belsőáziában* (pag. 252. u. 254.) publizierten Photographien gut zu erkennen ist. Der Jarkanddarja verfrachtet heute feinen Schlamm und Sand, nur zeitweise Kies, welcher letzterer aus den nahen Seitentälern stammt. Der Schlamm des Flusses bedeckt die Schotterlagen seines Überschwemmungsgebietes. Diese Schlammschichte wird von den Tadschiks, selbst wenn dieselbe kaum spannhoch ist, unverzüglich dem Feldbau dienstbar gemacht.

Das grösste östliche Seitental des Tscharling, das Djanbulak-Tal durchwanderte ich von dem 3605 *m* hohen Djanbulak-Pass an bis zur Mündung. Vom Pass führt ein grasbewachsenes Erosionstal mit geringem Gefälle bis zur Höhe von 3400 *m* herab, woselbst sich eine kleinere Talstufe befindet, hervorgerufen durch eine W—E-lich streichende, also quer durch das Tal ziehende, harte Gesteinsbank. Unterhalb dieser treten die Steppengräser in 3200 *m* Höhe auf. In 2700 *m* Höhe vereinigen sich die Djanbulak- und Kais-Täler mit bereits aufge-

fülltem Talboden, aus welchem die senile Erosion nur mit Mühe eine Terrasse zu formen vermag. Hernach folgt auf der Strecke bis zum Karaskamasar (2230 *m*) eine Granitschlucht, schliesslich der Terrassen führende, untere Talabschnitt. Das Tal wird von einer einzigen, 70–80 *m* hohen, lössbedeckten Schotterterrasse begleitet.

### 12. Das Arpalik-Tal.

Der vorerwähnte Djanbulak-Pass führt in das Örtöngtüs-Tal. Das geräumige, flache Örtöngtüs-Tal wird im Nordwesten von steilen Bergwänden umrahmt, über denen sich trogartige Täler befinden. Die Fusslinie der steilen Berghänge befindet sich in 3750–3800 *m*, die Oberfläche der Talstufe beiläufig in 4000 *m* Höhe. Die auf höherem Niveau gelegenen Täler glazialen Charakters führen von den südöstlichen Hängen des in östlicher Nachbarschaft des Ssugurluk-Passes sich erhebenden, 4500–4600 *m* hohen Gebirges herab. Es ist mir nicht bekannt, ob heute auf dieser Seite Firnfelder vorkommen, während der Burkhanzeit reichten hier zweifelsohne Gletscher bis nahe an die 4000 *m* Höhe herab.

Das Örtöngtüs-Tal mündet in eine enge Klamm, bei deren unterem Eingang, wo sich das Tal ausbreitet, Schotterterrassen und *Lasiagrostis*-Arten auftreten. Der Arpalik-Bach wird von zwei niederen Schotterterrassen begleitet, von denen jede im Durchschnitt 3 *m* hoch ist.

### 13. Das Döngörek-Tschimgen-Tal.

Auf der Nordseite des Arpalik-Tales führt der 3490 *m* hohe Döngörekbel (S. das Bild pag. 262. in Utazásaim Belsóáziában) in das Tschimgen-Tal hinüber. Unterhalb des Passes wird der erste Abschnitt durch das Chanköl-Tal gebildet, welches seine Entstehung einem Einbruch verdankt. Hiernach folgt eine Talstufe, dann ein kurzes Schluchtal, endlich der intermittierende See, der durch Bergrutsch aufgestaute Ssulukköl in 2900 *m* Höhe. (S. die Bilder pag. 264. u. 266. in Utazásaim Belsóáziában.) Auf dem Schutt des Bergrutsches befinden sich bereits *Lasiagrostis*-Arten. In 2400–2450 *m* Höhe folgt eine zweite Kalksteinschlucht, unterhalb dieser aber lössbedeckte Terrassen, die schon zum Randgebiet des Tarimbeckens gehören und somit an anderer Stelle besprochen werden sollen.

**Zusammenfassung.** In östlicher Nachbarschaft der 6000–7860 *m* hohen Bergmassen des Musstagata-Kungürtübe-Atojnok, in den nordwestlichen Verzweigungen des West-Kuenlun zeigt sich eine Steigerung sämtlicher glaziologischer Werte, das heisst der Umfang der Vergletscherung nimmt ab. Die Flora zeigt auch heute noch getreulich an, dass diese Gegend bereits dem Einfluss des „Vaters der Eisberge“ und seiner Familie entrückt ist.

Hier finden sich kaum mehr Spuren, die auf die Vergletscherung der Akkija-Zeit hinweisen. Der Talboden liegt begraben unter intensiv angehäuften Schuttmassen. Die Spuren der Vergletscherung aus der Burkhan-Zeit sind frisch, unversehrt. Im Ssujok-Tale des Tschimgendarja lassen sich auch Schwankungen aus der Burkhan-Zeit nachweisen. Die Gegend des Dscheinage-Kajündü und des Keklidschül gehören in glazial-morphologischer Hinsicht noch zur Region des Musstagata-Atojnok, dementsprechend zeigt ihr Bild auch wesentliche Abweichungen von den übrigen.

IX. Vergleichstabelle.

Tal	Obere Grenze der Steppen-gräser	Obere Grenze der Laub-bäume	Obere Grenze der Nadel-bäume	Grenze der perrennierenden Schneefelder	Ende des Gletschers	Grenze der V. u. U-förmigen Täler	Stirnmoränen
1. Tschingen-Ssujok	3040	—	—	?	4000?	3300	II. a. 3700, b. 3550, e. 3300
2. Kisiltschirken	3685	—	—	—	—	3850	
3. Terekketschü	?	?	?	4300	4120	?	—
4. Pittik	?	?	?	4350	4150	3250	—
5. Otrake	2950	2950	—	—	—	3400	—
6. Dscheinage-Kajündü	2850	3180	3250	?	3500	2800	II. 3250
7. Keklidschül	2820	2820	3200	—	—	—	—
8. Karaagil	3280	—	—	—	—	—	—
9. Kissmak-Tschumbus	3300	?	—	?	—	4000	—
10. Ssugurluk	3325	—	—	?	—	4000	—
11. Gidjek	3480	2600	—	—	—	—	—
12. Ordolon	3015	3015	—	?	?	3400	—
13. Koschötök-Tscharling	3285	2700	—	—	—	—	—
14. Djanbulak	3260	2300	—	—	—	—	—
15. Arpalik	3200	—	—	—	—	—	—

## KLIMAÄNDERUNGEN IM PLEISTOZÄN.

Zur genaueren Kenntnis des Klimas der Eiszeit ist die Bestimmung der pleistozänen klimatischen Schneegrenze unerlässlich, wenn gleich entsprechend der Natur der Sache, unbedingt genaue Daten nicht zu erwarten sind. Es gelang mir für den Vergleich der pleistozänen und holozänen Firngrenze aus den von mir bereisten Gebieten solche Daten beizustellen, die einige Schlüsse auf das heutige Klima gestatten. Die obere und untere Grenze der Nadelhölzer wurde für jedes Tal sorgsam aufgezeichnet, dergleichen wurde auch stets nach Möglichkeit, die obere Grenze der Steppengräser (*Lasiagrostis*-Arten) festgestellt. Wenn wir noch die Höhenlinie des unteren Randes der derzeit firnerfüllten Glazialnischen hinzunehmen, so konnte ich mich, in Anbetracht der Quantität, sowie der ziemlich günstigen Gruppierung der von mir zurückgelegten Wegstrecken, über die von geographischem Standpunkt aus bedeutendsten klimatischen Verhältnisse einigermaßen orientieren.

Zweifelsohne ist die orographische Lage besonders auf die obere Grenze der Steppengräser von grossem Einfluss. Steppengräser treten erst in den schutterfüllten Abschnitten der Täler auf, wo der Boden wasserdurchlässig ist. In den engen Schluchten einzelner Täler sinkt die obere Grenze der *Lasiagrostis* verhältnismässig tief herab, während sie an den der Sonne frei ausgesetzten Berghängen hoch ansteigt. Auf ähnliche Weise wird auch die Verbreitung der Nadelhölzer durch die orographische Lage beeinflusst, wie auch die Schneegrenze nicht ausschliesslich auf klimatische Ursachen zurückzuführen ist. Meine sämtlichen Daten beziehen sich auf etwa 130 Talungen und dürften so wohl zur Bildung von Mittelwerten einigermaßen geeignet sein.

Die obere Grenze der Steppengräser liegt im Fergana nach meinen Beobachtungen in 2600–2830 *m* Höhe. Im Atbaschi-Becken, am Nordhang des Üjürmentau ist unter drei Tälern das westliche in 2900 *m*, das mittlere in 2685 *m*, das östliche in 2500 *m* Höhe gelegen. In den 14 Tälern des Nordhanges des Terskei-Alatau ist 2300 *m* das Maximum, 2120 *m* das Minimum der Daten, während die Werte für den nahegelegenen Kuldschaer Nanschan, auf dessen Südhang 2700 *m*, auf dem Nordhang aber 2500 *m* betragen. Für den Südhang des Kokschartau und den Kurpetau sind diese Höhenwerte 2470–3085 (11 Daten), für

den Kокtантау 3000—3300 *m*, für den Nordhang der Kaschgarer-Alpen (Bolortag) von West nach Ost 3680, 3600, 2745, 2990, 2950, 2500, 2700, 2650 *m*, am Südhang des Gebirges 2800, 2850 *m*, zwischen dem Üssen- und Jarkanddarja 2750—3550 *m* (14 Daten). In der zuletzt erwähnten Gegend liegt diese Grenze jedoch bloss in einem besonders schattigen, nördlichen Tal in 2750 *m* Höhe.

Tabellarisch dargestellt ergeben die erwähnten Daten folgendes Resultat:

Fergana, östlicher Teil	2700 <i>m</i>
Nord-Tienschan	2600 „
Mittel-Tienschan, Nordhang	2170 „
„ „ Mittlerer Teil	2700 „
„ „ Südhang	2910 „
Pamir-Kuenlun	3070 „

In drei Tälern der Linie Pamir—Kuenlun steigen die *Lasiagrostis*-Arten besonders hoch empor. Übrigens sind innerhalb je eines Gebietes die Schwankungen des Grenzniveaus leicht zu verstehen. Im allgemeinen steigt die obere Grenze der *Lasiagrostis*-Arten gegen das Tarim-Becken zu an und im allgemeinen gegen Osten, gegen Innerasien zu. In der Gegend der Trockenbecken (Narin-Becken) steigt die Grenze sprunghaft, während sie in der Nähe der vergletscherten Hochgebirge herabsinkt (Mittel-Tienschan, Nordseite; Gegend der Mustagata).

Die Zone der Steppengräser umgibt die Hochgebirge Zentral-Asiens und klimmt hoch empor in den Tälern derselben. Geringe Niederschlagsmengen und wasserdampfarme Luft sind ihre Verbreitungsbedingungen. Die grösste, von Steppengräsern erreichte Höhe (3680 *m*), sowie die sehr hohen Durchschnittswerte sind bezeichnend für das trockene Klima unseres Gebietes. Ich fand den „Tschì“ (*Lasiagrostis splendens*) auch um 130 *m* höher, als den von MACHATSCHEK für Russisch-Turkestan angegebenen Maximalwert (S. Landeskunde von Russisch-Turkestan, Stuttgart, 1921, pag. 98.)

Eine echte Laubwaldzone gibt es auf unserem Gebiete nicht. Die Pappel und die Weide wird in der Zone der Steppengräser auf den weniger wasserarmen Landstreifen angetroffen, der am weitesten verbreitete Obstbaum Innerasiens, die Aprikose aber auf den Berieselungsgebieten. In der Zone der Steppengräser werden Laubbäume nur in den allerseltensten Fällen zu finden sein. Die Zone der Steppengräser ist von der der Nadelhölzer gewöhnlich scharf abge sondert und kann somit leicht bestimmt werden. Meine auf die obere Grenze der Steppengräser bezüglichen Daten bezeichnen fast in allen Fällen zugleich die untere Grenze der Nadelwälder. Es ist mir kaum möglich, diese Daten mit denen anderer Forschungsreisender zu vergleichen, dies wäre eine Untersuchung für sich. Ich weise bloss auf einige Daten FRIEDERICHSEN'S hin.

Nach den Angaben FRIEDERICHSEN's ziehen sich die Nadelwälder im Dschungar-Alatau bereits viel tiefer herab. So befinden sie sich auf den Südhängen der Uitasch-Gebirgskette in 1500—1550 m Höhe, im westlichen Ojssass-Tale des Alatau etwa auf 1100 m, nördlich auf 1965 m (Urta-Biön-Tal), dann weiterhin nach Lepssinsk zu etwa auf 1350 m (Basskan und Agonakattü). Wenn wir von den streng lokalen Einflüssen absehen, die die Grenze z. B. auf dem sich abgesondert, zwischen Becken erhebenden Üjürmentau hoch ansteigen lassen, so zeigt es sich,

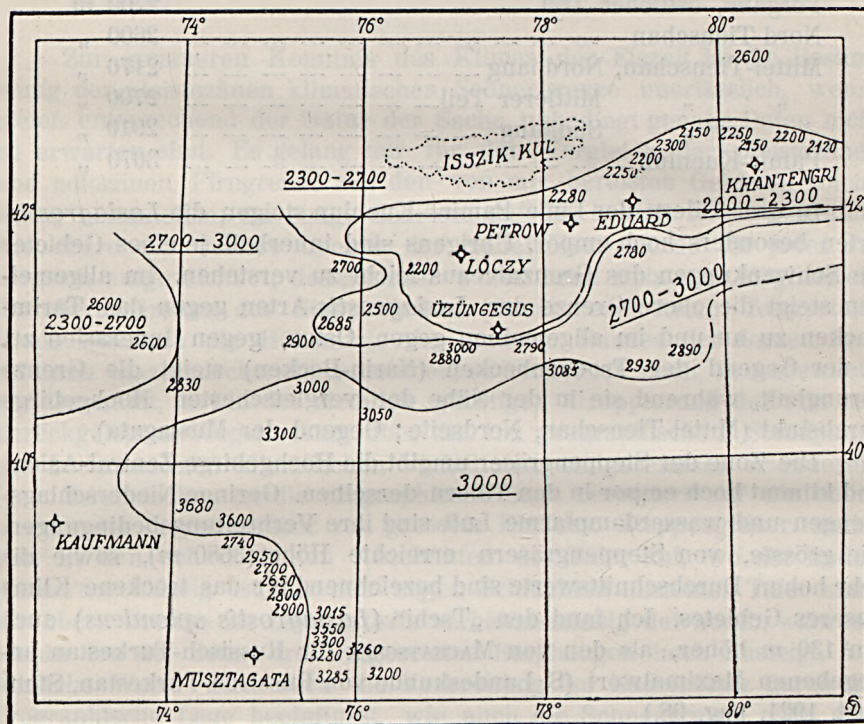


Fig. 53. Obere Grenze der *Lasiagrostis* mit Höhenkoten. Die Kurven verbinden Angaben gleicher Höhe.

dass sich die Grenze vom Westende des Kuenlun an (76° östl. Länge) bis in die Gegend von Lepssinsk (80° östl. L.) allmählich von 3000 m auf 1350 m senkt.

Auf Fig. 53. sind die Höhengrenzen der Steppengräser in Bezug auf unser Gebiet dargestellt. Diejenigen Orte, wo die obere Grenze der Steppengräser 2000, 2300, 2700, bzw. 3000 m betrug, wurden ergänzt durch anderweitige, nicht auf Messungen fussende Beobachtungen und durch Kurven miteinander verbunden. Das auf diese Weise entstandene Bild ist für das Klima des von mir bereisten Teiles von

Zentralasien bezeichnend. Wenn wir uns auf die Erfahrungstatsache stützen, dass im grossen ganzen die Verbreitung der Steppenflora vom Dampfgehalt der Atmosphäre und der Niederschlagsmenge abhängt, so folgt aus obiger Kartenskizze offensichtlich die Trockenheit des Tarim-Beckens, des weiteren die ausserordentliche Einwirkung des Firngbietes des Mustagata, besonders aber der Firnwelt des Hochtienschan auf den Wasserdampfgehalt der Luft und die Vermehrung des Niederschlages in deren Umgebung.

Es wurde auch die obere Grenze der Nadelwäldungen in sämtlichen besuchten Tälern bestimmt. Unsere Kenntnisse über die Verbreitung der Nadelwäldungen erfahren hiedurch natürlich eine nicht unerhebliche Erweiterung. GEIGER<sup>1</sup> spricht sich in seiner auf Grund der Fachliteratur gegebenen Zusammenstellung hierüber noch folgendermassen aus:

„Nadelwäldungen sind auf den Tienschan beschränkt und erreichen hier in einer Höhe von 2100 *m* bis 2200 *m* ihre bedeutendste Entwicklung. Stellenweise reichen die Fichtenwälder bis zur Höhe von 3200 *m* (nach Angaben von KAULBARS). Im Pamir fehlen Nadelhölzer überhaupt . . .“. Ich traf auf den Nord- und Nordosthängen des Pamir fast überall Nadelwäldungen an. Auf den Nordhängen des Bolor-Gebirges befinden sich dichte Nadelwäldungen in einer Höhe von 2745—3380 *m* im Targalik-Tal, 2990—3100 *m* im Tschimgen-Tal, 2950—3400 *m* im Bostanartscha-Tal, 2580—3480 im Atojnok-Tal, 2700—3500 *m* im Tüb-Tal, 2850—3600 *m* im Tschotschil-Tal. SCHULTZ (Landeskundliche Forschungen im Pamir, Hamburg, 1916, pag. 210.) behauptet, dass im östlichen Pamir geschlossene Baumbestände „bis 2700 *m* Höhe hinaufdringen.“ Es sollte umgekehrt heissen: sie drängen bis 2700 *m* herab, steigen aber bis 3600 *m* hinauf. Bei schwankender unterer Grenze zeigt sich ein ständiges, allmähliches Ansteigen der oberen Grenze gegen Osten zu (auf einer Strecke von 85 *km* 3380, 3100, 3400, 3480, 3500, 3600). Dem gegenüber nehmen die Nadelwäldungen östlich des Üssendarja jäh ab. Zwischen Üssen- und Jarkand-darja traf ich bloss in zwei Tälern Nadelwäldungen an, u. zw. in einer Höhe von 2820—3250 *m*. Auffallend ist, dass sich die Nadelwaldzone in der Nähe der heutigen ausgedehnteren Firnfelder befindet, während sie in den nichtvergletscherten Gebirgen von beliebiger Höhe und Struktur vollkommen fehlt.

Auf der Nordseite des Tarim-Beckens, auf den Südhängen des Tienschan zeigen die Nadelwälder unter ähnlichen Umständen ebenfalls eine geringe Ausdehnung. Auf dem Karateke-Gebirge, das am tiefsten in das Tarim-Becken vordringt, befinden sich Nadelwäldungen im Niveau von 2470—3200, 2600—3220, 2880—3600 *m*, jedoch diese drei Täler ausgenommen, traf ich nirgends Waldungen an. Die erwähnten Waldungen

<sup>1</sup> Die Pamir-Gebiete, p. 56.

befinden sich in geschlossenen, engen Tälern. In der Gegend des Üsün-  
gusch, des Akssaj und des Tschatirkul fehlen die Nadelwälder voll-  
kommen. Auf dem Südhang des zwischen Akssaj und Atbaschi sich  
erhebenden Üjürmentau befinden sich keine Nadelwaldungen, während  
sie auf dem Nordhang in 2500–3100 *m* Höhe vorkommen. In dem  
zwischen Atbaschi und Narin-Tal sich erhebenden Alamischi-Gebirge  
zieht sich der Nadelwaldgürtel auf der Südseite in 2700–3000 *m* Höhe, auf

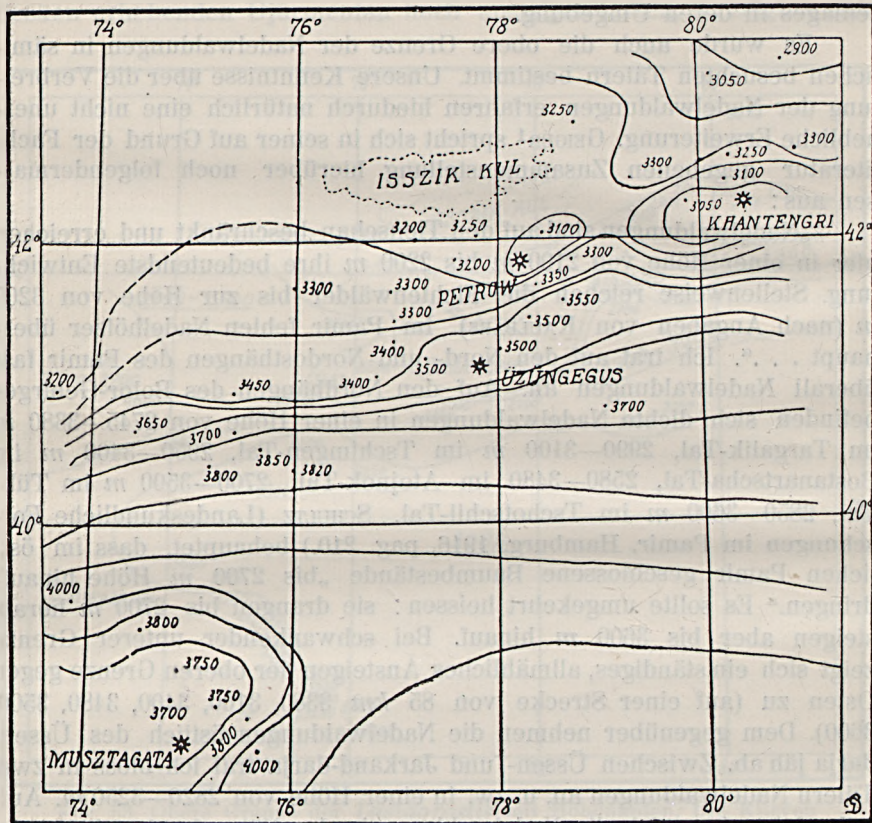


Fig. 54. Obere Grenze der Nadelhölzer, mit den wichtigsten Höhenkoten.  
Die Kurven verbinden Angaben gleicher Höhe.

der Nordseite in 2200–2600 *m* Höhe hin. Auf der Südseite des benach-  
barten, nördlichen Gebirgszuges (Nura-Djitimtau) sind in 2700–3200  
*m* Höhe Nadelwälder vorhanden, während sie auf der Nordseite fehlen.  
Die Südseite des Terskei-Alatau schien gänzlich unbewaldet zu sein, ich  
sah bloss im Ssaridschass und seinen Seitentälern Nadelwaldungen. Im  
Kölü-Tal liegt diese Grenze in 2900 *m* Höhe, im Karagaiki-Tal ist sie  
nicht bekannt. Auf der Nordseite des Terskei-Alatau schwanken die  
diesbezüglichen Daten von zehn Tälern zwischen 2800–3250 *m* Höhe.

Auf der Südseite des Kuldshaer Nanschan, in dem westlichen, der Sonne ausgesetzten, offenen Teil gibt es keine Nadelwälder, in dem mehr geschlossenen östlichen Teil verläuft ihre Grenze in 2890 *m* Höhe, auf der Nordseite schwankt diese zwischen 2800–3250 *m* (Fig. 54.).

Auf der inneren, dem Narin-Becken zugekehrten Seite der Fergana-Gebirgskette, liegt die Grenze in 2930 *m* Höhe (Bitschanssu). Wenn wir nun die auf die Grenze bezüglichen Daten gruppieren, so erhalten wir folgende Resultate in Durchschnittswerten:

		Obere Grenze d. Nadelw.							
Nord-Tienschan		3000 <i>m</i>	obere Grenze d. Steppengr. niedr. um 500–1300 <i>m</i>						
Mittel-	" Nordseite	2950	"	"	"	"	"	780	
"	" Innerer Teil	2760	"	"	"	"	"	60	
"	" Südseite	3000	"	"	"	"	"	90	
Pamir-Kuenlun		3080	"	"	"	"	"	10	

Diese Daten dürften fürs erste jedermann wertlos erscheinen, zeigt sich doch nach den einzelnen Daten der Beobachtungen in den meisten Fällen ein bedeutender vertikaler Abstand zwischen der oberen Grenze der Steppengräser und der unteren Grenze der Nadelhölzer, wenngleich diese Angaben sich in Innerasien bedeutend näher rücken, als im Kaukasus, oder in Europa. Einen wertvollen Überblick gewinnen wir, wenn wir die auf die Steppenzone und Nadelholzzone bezüglichen Daten der Nordseite des Terskei-Alatau, sowie der Nordseite des Pamir-Kuenlun vergleichen (S. Vergleichstabelle X.).

#### X. Vergleichstabelle.

Terskei-Alatau	1.	2.	3.	4.
obere Gr. d. Steppengräser--	2286	2250	2200	2200
Nadelwaldzone - - - - -	2500–2950	2350–?	2300–?	2270–2700
Terskei-Alatau	5.	6.	7.	8.
obere Gr. d. Steppengräser--	2150	2250	2150	2000
Nadelwaldzone - - - - -	2350–3000	2500–3250	2200–2820	2000–3150
Pamir-Kuenlun	1.	2.	3.	4.
obere Gr. d. Steppengräser--	3680	3600	2745	2990
Nadelwaldzone - - - - -	—	—	2745–3380	2990–3100
Pamir-Kuenlun	5.	6.	7.	
obere Gr. d. Steppengräser--	2950	2500	2700	—
Nadelwaldzone - - - - -	3160–3400	2580–3480	2200–3500	—

Diese Vergleichstabelle zeigt uns, dass die Mittelwerte der auf die obere Grenze der Nadelwaldungen und der Steppengräser bezüglichen Daten sich im Inneren des Tienschan und in der Umgebung des Tarim-Beckens deshalb einander nähern, weil in einzelnen Tälern die Zone der Steppengräser die Nadelwaldzone bereits vollständig verdrängt.

Diese Erscheinung ist vom Gesichtspunkte der Klimabeurteilung aus betrachtet, von nicht geringer Wichtigkeit.

Ihrer Verbreitung nach erhebt sich die Steppenvegetation am höchsten im Gebiet zwischen dem Transalaer- und dem Kürkkuh-Gebirgszuge, dem von mir besuchten Gebiet ist dies also die Gegend mit dem trockensten Klima. Von dem 3680 *m*-Niveau senkt sich die obere *Lasiagrostis*-Grenze mit ziemlicher Regelmässigkeit gegen Nordwest, Nord, Nordost, Ost und Südost. In anderen Himmelsrichtungen kenne ich dieses Grenz-niveau nicht, jedoch herrscht in südlicher Richtung bekanntlich bereits überall eine wasserdampfreichere Atmosphäre. Die obere Grenze der Nadelhölzer erreicht in der Umgebung des Tarim-Beckens auf einem grossen, breiten Gebiet stellenweise das Niveau von 3600 *m*, beschränkt sich jedoch, wie bereits erwähnt, auf die Gegenden mit Firnfeldern und so kann gesagt werden, die Nadelwaldungen vegetieren hauptsächlich aus dem Wasserdampf, der aus den Firnfeldern entsteht.

Wir übergeben nunmehr zur Frage der heutigen klimatischen Schneegrenze. Die schwankenden Talgletscher ausser Acht lassend, war ich bestrebt, so oft ich in das Hochgebirge kam, Pässe und Berg-rücken erstieg, die orographische Schneegrenze durch die Bestimmung der unteren Grenze von freiliegenden, perennierenden Schneefeldern festzustellen. Natürlich kann diese Feststellung bloss in der zweiten Hälfte des Sommers eine erfolgreiche sein, bevor noch der Neuschnee sich zu grösseren Mengen ansammelt und nachdem die Sommerschmelze den grössten Teil ihrer Arbeit bereits beendet hat. Auch nach meiner Ansicht wird die Lage der klimatischen Schneegrenze aus den für die orographische Schneegrenze gefundenen Daten, durch die Berechnung des Mittelwertes der ersteren erhalten. Der Unterschied in der Firn-anhäufung an den nördlichen und südlichen Gebirgshängen bleibt in ein und demselben Gebirgssystem unverändert, wenn die Abdachung keinen grösseren Unterschied aufweist, die Gebirgskette also einen mehr oder weniger symmetrischen Aufbau besitzt. Wenn wir die östlich und westlich gelegenen Berghänge ausser Acht lassen und nur die Schneegrenze der nördlichen und südlichen Berghänge heranziehen, so wird der Mittelwert der beiden letzteren im grossen ganzen als klimatische Schneegrenze angesprochen werden dürfen.

Es seien folgende Daten über den Nordhang des Hauptrückens des Terskei-Alatau mitgeteilt.

1. Ton-Pass, 3910 *m*. Auf dem Südhang Spuren von Schneefeldern, auf dem Nordhang zusammenhängende Schneedecke bis zu einer Höhe von etwa 3300 *m* (25. VI. 1906.). Die Südhänge sind also firnfrei, für die Nordhänge konnte ich dies nicht nachweisen. In östlicher Nachbarschaft des Passes, zwischen zwei Gebirgsrücken, also im Schatten, ein Gletscher, sein Ende in 3700 *m* Höhe. Klimatische Schneegrenze 3800–3900 *m*.

2. *Arabel-Pass*, 3750 *m*, firnfrei. Nördlich des Passes sind die Flachrücken auf dem Hauptrücken des Terskei-Alatau firnbedeckt. Die fladenartigen Anhängsel des Plateau-eises reichen bis auf 3800 *m* herab. Klim. Schneegr. 3900—3920 *m*. Im Osten ist der Itischi-Rücken in 3870 *m* Höhe firnfrei.

3. *Kaschkatör*, 3800 *m*. Pass firnfrei. Die in der Nähe des Passes befindlichen Flachrücken firnbedeckt. Aus dem Rande des Firns fladenartige Anhängsel bis auf 3900 *m*. Klim. Schneegr. 3920—3950 *m*.

4. *Tiek-Pass*, 3450 *m*. Am 23. August 1906 fand ich in 3240 *m* Höhe, am Nordfuss einer steilen Berghalde perennierende kleine Schneefelder.

5. *Igilik-Pass*, 3470 *m*. Pass schneefrei. In einem nach W offenen Nischen-Tal des Karaköl-Tales Firn in 3650 *m* Höhe. In der Nähe des Dschassilköl in nach N geöffnetem, von steilen Bergwänden umgebenem Zirkustal Firn in 3450 *m* Höhe. Ende des von hier aus talwärts fließenden Gletschers 3380 *m*. Auf dem östlich des Karaköl-Tales, in N—S Richtung sich hinziehenden Bergrücken (3800 *m*) sind nach Osten geöffnete Nischentäler firnfrei, am Treffpunkt dieses und des sich zwischen dem Karaköl-Akköl erhebenden Gebirgsrückens ist in einem nach NE geöffneten Nischental Firn vorhanden in 3600 *m* Höhe. Orographische Schneegrenze also auf der N-Seite 3450, NE-Seite 3600, W-Seite 3650, E-Seite über 3800 *m*, klim. Schneegrenze wenigstens 3900 *m*. Der aus dem Akköl-Tale zum Karaköl führende Pass, in 3530 *m* Höhe gegen NW geöffnet, noch firnfrei.

6. *Aschutör-Akköl-Rücken*. Pass 3825 *m*, SSW firnfrei, NNE-Seite Firn bis zu 3600 *m* Höhe. In nach SSE offenem Kessel des südlichen Aschussai-Tales Firn 3550 *m*. Perennierende Schneefeldreste 3500 *m*. Orograph. Schneegrenze 3600 *m*, klim. Schneegrenze zweifelsohne weniger als 3900 *m*.

7. *Aschutörbaschi*. Aussichtspunkt auf nach S blickender Halde bei 3420 *m* schneefrei. Auf den nördlich blickenden Hängen des Tales Schneefelder bei 3450 *m*, auf N-wärts blickender, steiler Bergwand Ende eines Firnvorhangs etwa bei 3550 *m*, jedoch abstürzend, Lavinien häufig, so dass hier die orograph. Schneegrenze bei 3600 *m* gelegen ist. Gletscherende bei 3320 *m*. Südlich gerichtete Halden firnfrei wenigstens bis 3900 *m*. Klimat. Schneegrenze nicht höher als 3800 *m*.

8. *Torajgir-Alaajgir-Rücken*. Pass 3770 *m*. Schneefeld, vielleicht Firn bei 3700 *m*. Offene Südhänge firnfrei bis zu 3800 *m*. Auf nördlich geöffnetem Talhang fladenartig abfließendes Firnfeldende bei 3600 *m*. Klimat. Schneegr. bei 3750 *m*.

9. *Narinkolbaschi*. Aussichtspunkt 3350 *m*. In nach N blickenden, tiefen, schattigen Tälern Schneefelder bei 3200 *m*, Firn bei 3450 *m*. Gletscher endet bei 3380 *m*. Südwärts blickende, offene Hänge wenigstens bis 3700—3800 *m* firnfrei. Klimat. Schneegr. bei 3700 *m*.

10. Gebirgsrücken südlich des Tschedschinbulak-Aussichtspunktes (3260 *m*) gelegen. Firnfelder auf Nordhang etwa bei 3450 *m*.

Im Gebirgszug des Terskei-Alatau ist also das Aufsteigen der klimatischen Schneegrenze dort, wo sie sich geräumigen, trockenen Beckengebieten nähert (Arabel) zur Genüge wahrnehmbar, desgleichen ihr Sinken in der Nähe der riesigen Firngebiete des Khantengri. Es liegt auf der Hand, den Grund dieser Erscheinung in der grösseren Niederschlagsmenge zu suchen.

Im Inneren des Tienschan, also zwischen den mächtigen Bergketten des Terskei-Alatau und des Kokschartau liessen sich folgende Resultate feststellen.

1. Djamantschke-Pass, 3770 *m*. Nach W und E geöffnete Täler vollkommen firnfrei. Nordhänge bis 3750 *m* mit Firn bedeckt. Klimat. Schneegrenze jedenfalls über 3900 *m* gelegen, wahrscheinlich um 4000 *m*.

2. Kölü-Pass, 4100 *m*. Auf dem NE-Hang perennierende Schneeflecken bis zu 3450 *m*. N-Hänge firnbedeckt bis zu 3600 *m*. Das fast horizontale, freie Kölü-Plateau ist bei 4050—4100 *m* firnbedeckt. S-Hänge bis 4150 *m* firnfrei. Mittlere orograph. Schneegrenze bis 3775 *m*. Klim. Schneegrenze etwa bei 4020—4050 *m*.

3. Karakoltörbaschi. Aussichtspunkt 3620 *m*, auf N-Hängen Firn bei 3700 *m*, unterer Rand des fladenartig abfliessenden Firns durchschnittlich bei 3620 *m*, E-Hang (etwas schattig) Firn etwa bei 3800 *m*, auf NW-Hang bei 3700—3750 *m*; auf S-Hang unter 4000 *m* kein Firn vorhanden. Ende des Hauptgletschers bei 3300 *m*. Orographische Schneegrenze bei 3840 *m*. Klimat. Schneeogr. etwa bei 4000 *m*.

4. Ssaritschatbaschi. Aussichtspunkt bei 3400 *m*. Abfliessender Rand des Firnfladens auf E-Hang bei 3500 *m*, auf NE-Hang bei 3450 *m*. Ende der Vorhanggletscher auch auf der Südseite bei 3550 *m*. Ende des Hauptgletschers bei 3350 *m*. Auf die Schneegrenze bezügliche Werte gleichen denen des Karakoltör.

Die oben erwähnten vier Gegenden befinden sich zwischen den südlichen Nebenrücken des Terskei-Alatau, oder in unmittelbarer Nähe derselben. Ihnen schliesst sich unmittelbar, wenngleich in etlicher Entfernung, jedoch ohne ein inzwischen gelagertes, trockenes Becken, die Gegend des Ischigart-Passes an.

5. Ischigart-Kaündübaschi. Aussichtspunkt auf dem Hauptgletscher 3800 *m*, auf dem Passe 3860 *m*. Der Pass und in seiner Nähe das 3800 *m* hohe Plateau sind vollkommen firnfrei. Ende des grossen Gletschers bei 3650 *m*; im schattigen, tiefen Kaündü-Tal perennierende Schneeflecken bei 3590 *m*, auf dem NE-Hang Firn bei 3800 *m*, auf dem N-Hang bei 3750 *m*, auf dem Südhang etwa bei 4100—4150 *m*, auf vollkommen freien, sonnigen Hängen in noch grösserer Höhe. Orographische Schneegrenze etwa bei 3900 *m*. Klimat. Schneeogr. etwas über 4000 *m*.

Über den Gebirgszug zwischen dem Kleinen-Narin-Syrt und dem Grossen-Narin-Tal haben wir drei Daten.

6. Nura-Pass 3890 *m.* S, W, E-Hänge vollkommen firnfrei, N, NW-Hänge bis zu 3900 *m* firnbedeckt. Orogr. Schneegrenze also weit über 4000 *m* gelegen.

7. Kumbel 3935 *m.* Plateau bei 4000 *m* firnfrei, selbst perennierende Schneefelder fehlen. Auf der Nordseite des gegenüberliegenden Nuratau endet der Gletscher etwa bei 4000 *m*; auf dem W-Hang Firn bei etwa 4050 *m.* Orograph. Schneegrenze wenigstens bei 4100 *m.*

8. Tujukssu-Pass 3890 *m.* S, E, W-Hänge firnfrei, auf dem N-Hang Firn bei 3900 *m.* Ende des Lóczy-Gletschers bei 3600—3700 *m.* Im Kengssu-Tale bei 3400 *m* bereits perennierende Schneefelder. Orogr. Schneegrenze nicht viel über 4000 *m* gelegen.

Der zwischen den Trockenbecken des Atbaschi und Akssaj-Tchatirkul sich erhebende Üjürmentau, dann der zwischen den Taragaj- und Üsüngegusch-Becken gelegene Borkoldajtau, sowie die Gegend zwischen den nördlichen Nebenrücken des Kokschartau zeigen in Bezug auf die Schneegrenze folgende Daten:

9. Taschrabat-Pass. 3930 *m.* Der Pass ist bereits Mitte Mai schneefrei. Am Nordfuss der steilen Felswand des Hauptrückens befinden sich hier und da perennierende Schneeflecken. Firnfelder fehlen. Orographische Schneegrenze berührt den 4100—4200 *m* hohen Hauptrücken nicht.

10. Keltebuk-Pass 4150 *m.* Pass firnfrei (Mitte August 1909 kleine Schneeflecken). Auf dem N-Hang Firn 4200—4250 *m.* S-Hang 4300—4400 *m.* Orograph. Schneegr. etwa bei 4250—4300 *m.* fällt mit der klimatischen Schneegrenze zusammen.

11. Bogushti-Pass 3860 *m.* Pass wahrscheinlich firnfrei (Ende Mai 1909). Schneefeld auf dem N-Hang bei 3550 *m.* S-Hang bei 3700 *m.*

12. Akkorum. Höchster Aussichtspunkt 3560 *m.* Auf dem N-Hang Firn etwa bei 4300 *m*; sonst firnfrei.

13. Kilentajrak 3800 *m.* Firnfrei. Auf dem N-Hang Firn bei 3800—3850 *m.* W-Hang 3850, E-Hang 3900—3950, S-Hang 4100—4200 *m.* Die fast horizontalen, 4000—4050 *m* hohen Plateaus sind firnfrei. Orograph. Schneegrenze etwa bei 3940 *m.* Klimat. Schneegr. bei 4100 *m.*

14. Tschakirkurum-Pass 3800 *m.* Firnfrei. In den N gelegenen Tälern Ende der Nischengletscher etwa bei 3760 *m.* Firnfelder bei 3800 *m.* Auf der W-Seite Firn bei 3900 *m.* S-Seite über 4000 *m.* Auf den Plateau-Stücken Firn bei etwa 4000 *m.* Orograph. Schneegrenze beiläufig bei 3900 *m.* Klimat. Schneegrenze bei 4000 *m.*

15. Borkoldaj-Pass 3980 *m.* Pass firnfrei. In der Umgebung des Katharina-Berges, auf dem N-Hang Firn bei 3900 *m.* In 4000 *m* Höhe Plateau eis. Orograph. Schneegrenze etwa bei 4000 *m.*

16. Karabel 3830 *m.* Pass firnfrei. Auf dem N-Hang Firn bei 3850 *m.* Orograph. Schneegrenze um 4000 *m.*

17. *Kajtschi-Dschanart-Pass*. Der in W—E Richtung geöffnete Pass ist firnfrei. Firn auf dem N-Hang bei 3900 *m*, auf dem S-Hang zwischen 4100—4150 *m*; 4050 *m* hohes Plateau firnfrei. Gletscherende am tiefsten herabreichend bei 3240 *m*. Orogr. Schneegrenze etwas unter 4000 *m*. Klimat. Schneegrenze bei 4100 *m*.

In der den „Hoch-Tienschan“ südlich abschliessenden Gebirgskette, also im Zuge des Fergana-Kurpetau, Koktantau und Kokschartau gelang es mir folgende Daten zu ermitteln:

1. *Kalmakaschu* 3910 *m*. Firnfrei. In den Bergen der Umgebung ist die Firngrenze unsicher (in den ersten Tagen des Mai 1909 mächtige Schneedecke).

2. *Ssûjok-Pass* 3900 *m*. Firn- und schneefrei (14.VIII. 1909). Auf dem Kurpetau, S-Hang, etliche kleine Firnfelder bei 4200 *m*. Auf den N-Hängen zahlreiche Gletscher, hier liegt die Firngrenze unter 4000 *m*. Orograph. Schneegrenze etwa bei 4100 *m*. Klimat. Schneegrenze 4150 *m*.

3. *Dscherüj* 3900—4100 *m* hohes Plateau firnfrei (im August schneefrei).

4. *Toragart-Pass* 3880 *m*. Firnfrei, bereits im Mai gänzlich schneefrei (1909).

5. *Kiptschak-Pass* 3980 *m*. Ganze Gegend firnfrei. Am 1. Juni 1909 schmelzende Schneedecke nördlich bei 3800 *m*, südlich bei 3900 *m* gelegen, 4100 *m* hohe Berge firnfrei.

6. *Kogart-Pass* 4030 *m*. Pass firnfrei. Auf dem N-Hang Firn bei 4100 *m*, NW-Hang von 3600 *m* an perennierende mächtige Schneedecke, E- und S-Hang firnfrei. Ende Sommers völlig schneefrei (1. September 1909).

Aus der Gegend des Üsüngegusch stehen mir keine Höhenmessungen zur Verfügung, es scheint jedoch sicher, dass dort die Firngrenze wieder sinkt. Die mächtigen Gletscher reichen tief herab. Bezeichnend ist es, dass sich westlich der Üsüngegusch-Gegend die Firngrenze ganz sicher überall oberhalb der 4200 *m* Höhe hinzieht, bloss in der Nähe des Fergana-Beckens senkt sie sich wieder auf höchstens 4100 *m*.

In den der W-Seite des Tarim-Beckens benachbarten Gebirgen sammelte ich die folgenden Daten:

1. *Ojürmabel* 4070 *m*. Pass firnfrei. SW-Gebirge bis zu 4400 *m* vollkommen firnfrei. Auf der SW-Seite des östlichen Gebirges verläuft die Firngrenze etwa zwischen 4400—4500 *m*.

2. *Atdjeilö-Pass* 3910 *m*. Firnfrei, am 1. Juli 1909 vollkommen schneefrei. In seiner Nachbarschaft N-Hang bis zu 4200 *m* firnfrei.

3. *Bostanartscha-Pass* 4195 *m*. Pass firnfrei. Ihm gegenüber E-Seite des westlich gelegenen Berges Firn bei 4200 *m*, W-Seite der E-Berge Firn bei 4200—4250, auf den N-Hängen 4000—4100 *m*, klimatische Schneegrenze in 4250 *m*.

4. *Atojnokbaschi*. Aussichtspunkt 3900 *m*. Firnfreie Moränen-

fläche. Auf dem S-Hang bei 4300—4350 *m* Firn, auf d. N-Hang bei 3900—3950 *m*. Hier die orogr. Schneegrenze bei 4200 *m*.

5. D j a g o s-P a s s. 4080 *m*. Pass firnfrei. Auf einem flachen, etwa 4200 *m* hohen Tafelberg Plateauais.

6. K ö l t ü s d ü m b e l-K i s i l b e l. Flaches, geschlossenes Hochtal, bei 4095 *m* firnfrei. Auf dem N-Hang Firn bei 4200—4250 *m*, S-Hang bei 4400 *m* firnfrei. Orograph. Schneegrenze kaum tiefer als 4400 *m*.

7. G i d j e k-P a s s 4025 *m*, Firnfrei.

8. K i s s m a k-P a s s 4100 *m*, Firnfrei.

9. K a r a a g i l-P a s s 3960 *m*, Firnfrei. In diesen drei Gegenden liegt die orogr. Schneegrenze wenigstens bei 4400 *m*.

10. K o k s e l-G l e t s c h e r. Aussichtspunkt 3600 *m*. Auf dem N-Hang Firngrenze etwa bei 3700 *m*. Auf dem S-Hang über 4000 *m*. Orogr. Schneegrenze 3900—4000 *m*.

Mögen diese Daten noch so unsicher und gering an Zahl sein, mögen auch die Aneroidmessungen selbst noch so viele Fehlerquellen enthalten, ich habe es trotzdem versucht, diese Daten und meine Beobachtungen auf der Karte zusammen zu stellen und mit ihrer Hilfe die Gebiete gleicher orographischer Schneegrenze mittels Kurven gleicher Schneegrenze zu bezeichnen. Aus der umstehenden Kartenskizze (s. Fig. 55.) ist ersichtlich, dass im allgemeinen die Firngrenze in Nord-Südrichtung zwischen 42° 30' und 38° 15' geogr. Br., also etwa auf einer Strecke von 472 *km*, von 3800 *m* auf 4400 *m* ansteigt. Dieses Ansteigen erfolgt jedoch nicht gleichmässig. Gegen Westen, in der Richtung des Fergana-Beckens, sowie in der Umgebung von vier vollkommen vergletscherten Gebirgsgegenden, sinkt sie wieder. Auffallend ist der Einfluss der mächtigen Gletscherwelt des Kantengri und des Mustagata. Hieraus kann geschlossen werden, dass in der Umgebung von Hochgebirgen das häufige Vorkommen wasserdampfreicher Luft die Firngrenze sinken lässt, da an reichlicheren Niederschlag in fester Form — in Anbetracht der anderen Orte bereits dargelegten Beobachtungen — nicht zu denken ist. Hinwiederum zeigt die Firngrenze zwischen Narin- und Tarim-Becken eine bedeutende Hebung.

Nach alledem nun soll die Bestimmung der pleistozänen Schneegrenze versucht werden. Ob eine, oder mehrere Vergletscherungen eine Rolle gespielt, muss hier ausseracht gelassen werden. Übrigens haben die glaziologischen Beobachtungen von FRIEDERICHSEN, MACHATSCHEK, MUSCHKETOW und die von mir angestellten im Wesentlichen zu übereinstimmenden Resultaten geführt, somit erheischen bloss noch meine auf eine ältere, ausgedehntere Vergletscherung bezüglichen Daten eine eingehende kritische Untersuchung, zwecks Klärung der Frage, ob der überall durch ähnliche Spuren angedeuteten und leicht festzustellenden, meiner Ansicht nach „letzten“ oder „zweiten“ Vergletscherung tatsächlich eine grössere, heute jedoch bloss an verwischten Spuren erkennbare Vergletscherung voran-

ging. Wenn es eine solche gegeben, was mehrere Gründe als sehr wahrscheinlich erscheinen lassen, muss auch die damalige Firngrenze festzustellen sein. Nun soll aber von einer Firngrenze des Pleistozäns die Rede sein, die ich die der Burkhan-Zeit nenne, eine mit der Entstehung der wunderbar unversehrt erhaltenen, mächtigen Stirn moräne des Burkhan-Tales im Klein-Narin-Syrt simultane Firngrenze.

Von den Gletschern der Burkhan-Zeit konnten die in der XI. Vergleichstabelle (pag. 329—332.) zusammengefasste Serie festgestellt werden.

Wenn aus den in den Tafeln enthaltenen Daten der orographischen Firngrenzen einfach die Mitte der numerischen Werte der Nord- und Süd-Hänge als klimatische Firngrenze angenommen werden, so erhalten wir den einzelnen Gebirgen entsprechend folgende Werte (siehe auch Fig. 55.):

1. Kungej-Alatau	3250	20. Terekti (Ssaridschass)	3300
2. Temurliktau	3050	21. Ssujok	3650
3. Kaschan-Gegend	2900	22. Toragart	3700
4. Ton	3200	23. Dscherüj	3800
5. Burkhan-Quellgegend	3200	24. Kisilkur	3850
6. Zuku-Kaschkatör	3250	25. Terekti (Akssaj)	3820
7. Kölü-Irtasch-Karaköl	3100	26. Bossaj-Gebirge	3400
8. Tiek-Tekesbaschi-Kakpak	3300	27. Kogeletschab	3500
9. Ssaridschass	3050	28. Üsüingegusch	3500
10. Bajum-Aschutör	3100	29. Karateke	3700
11. Narinkol	3250	30. Karabel	3550
12. Tsheddschin-Bulak	3300	31. Kajtschi-Dschanart	3550
13. Nuratau	3300	32. Karaart-Gegend	4000
14. Djilittau	3300	33. Ulugart-Gegend	3800
15. Alamischitau	3300	34. Musstagata-Ges	3700
16. Üjürmentau	3450	35. Atojnoktau	3750
17. Djangidjir-Kilentajrak	3400	36. Dscheinage-Karatasch-Ssujok	3750
18. Ost-Borkoldaj	3500	37. Pittikttau	3800
19. Ischigart	3500	38. Kissmak-Gegend	4000

Die Differenz zwischen burkhanzeitlicher und jetztzeitlicher Schneegrenze ergibt nicht immer gleiche Werte. Der grösste Niveauunterschied zeigt sich in der Gegend des Kuldschaer Nanschan, wo er wenigstens 800 *m* beträgt, sowie in der Umgebung des Issikul im Terskei-Alatau, wo ich Werte von 700—800 *m* erhielt. Für die inneren Ketten des Mittel-Tienschan verringert sich der Unterschied rapid. Wenn man vom Tekes-Becken ausgehend durch das Karkara-Becken zur Quellgegend des Türgen-Aksu und von hier aus entlang des Rückens des Terskei-Alatau, dann längs des Westrandes des Taragaj-Syrt, schliesslich längs des Südrandes des Akssaj-Tschatirkul-Syrt eine Linie legt, so sondert man hiedurch zwei Gebiete, deren eines, das nördliche, als Differenz der burkhanzeitlichen und jetztzeitlichen Schneegrenze 600—800 *m* aufweist, deren anderes, das südliche 300—600 *m* zeigt. Die Grenze zwischen den beiden

Gebieten scheint eine auffallend scharfe zu sein und weist auf die grosse Bedeutung der an Niederschlägen reicheren Nord- Nordwest-Seite hin. Fast scheint es uns, als zeigte das niederschlagsreiche Gebiet eine grössere Schneegrenzen-Amplitude, als das innerasiatische, an Niederschlag auch diesem nachstehende Gebiet. (Fig. 56.)

Trotz der geringen Zahl der uns zur Verfügung stehenden Daten

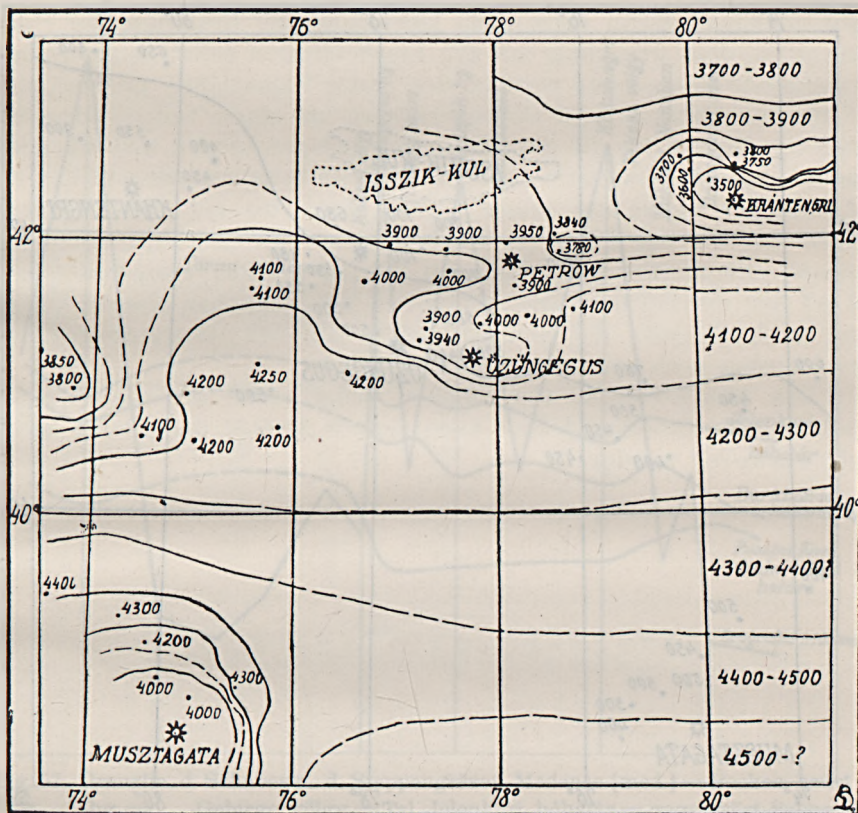


Fig. 55. Die wichtigsten Höhenwerte der klimatischen Schneegrenze. Die Kurven verbinden Angaben gleicher Höhe.

(einige hundert Beobachtungen sind gegenüber der riesigen Ausdehnung des Gebietes keineswegs genügend, um für die Bestimmung der Schneegrenze jegliche Korrektur unnötig erscheinen zu lassen) und mag die Bestimmung sowohl der pleistozänen als auch der jetztzeitlichen Schneegrenze, aus der wir auf die Depression der pleistozänen Schneegrenze folgern, noch so unsicher sein und mögen die Höhenbestimmungen noch so viele Fehler enthalten, so war es, wie aus der umstehenden Darstellung ersichtlich, doch möglich, in Bezug auf die Schneegrenzen ein

allgemeines Bild zu entwerfen, das im Grossen und Ganzen wohl entsprechen dürfte. Das gebotene Bild bestätigt voll und ganz die Wahrheit der Feststellungen MACHATSCHEK's.\* Diesen braucht bloss ein bedeutsames Resultat hinzugefügt werden, das nämlich, dass in der Umgebung des firnbedeckten Hochgebirges die Schneegrenze sowohl im Pleistozän, als auch in der Jetztzeit stark

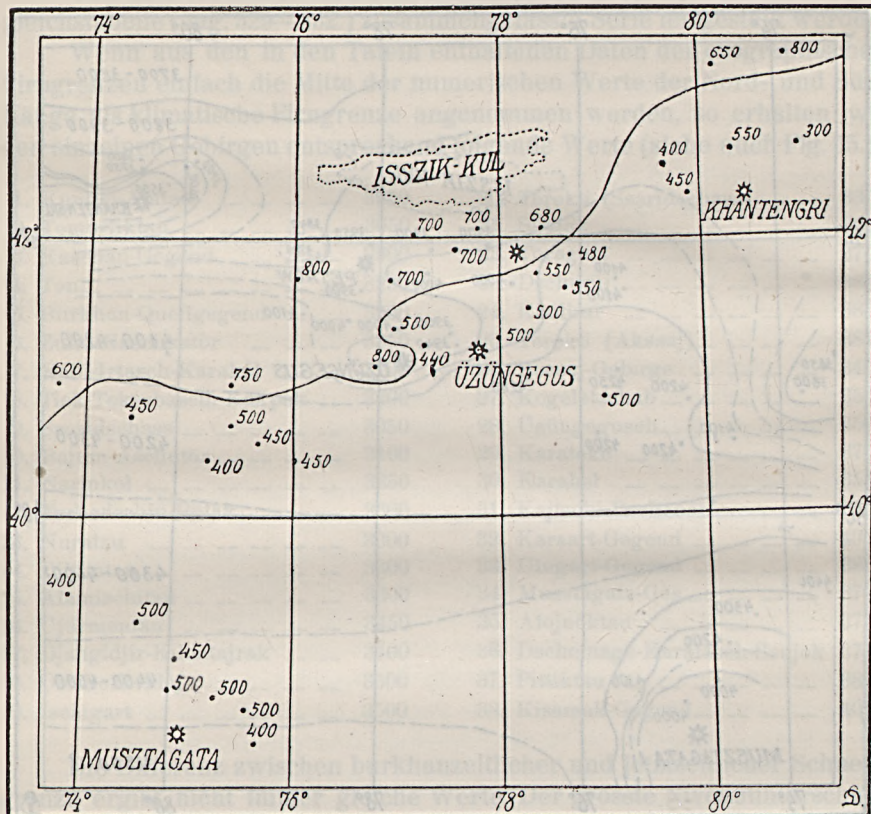


Fig. 56. Angaben der Niveaudifferenz zwischen der burkhanzeitlichen und der rezenten klimatischen Firngrenze, durch eine Linie in zwei Gebiete geteilt.

herabsinkt (S. das Grafikon Fig. 57.). Es tritt also auch hier, wie im allgemeinen zwischen den die Schneegrenze beeinflussenden Faktoren die Feuchtigkeit in den Vordergrund, als wirksamster Faktor auch bezüglich der lokalen Abweichungen. Während wir für das Kühlerwerden des Klimas kaum irgendwo handgreifliche Beweise finden, steht die

\* Die Depression der eiszeitlichen Schneegrenze, (Zeitschrift für Gletscherkunde, Bd. VIII. 1913. p. 121.)

Niederschlagsvermehrung immer in Begleitung von Erscheinungen vor uns, die nicht bezweifelt werden können.

Die überwiegende Mehrheit der Glazialsuren entfällt auf die Burkhan-Zeit, auf die den altalluvialen Ablagerungen unmittelbar vorausgehende Glazialperiode, die also der europäischen (alpinen) Würm-Zeit gleichzustellen wäre. Ausser diesen fand ich noch einige Spuren einer

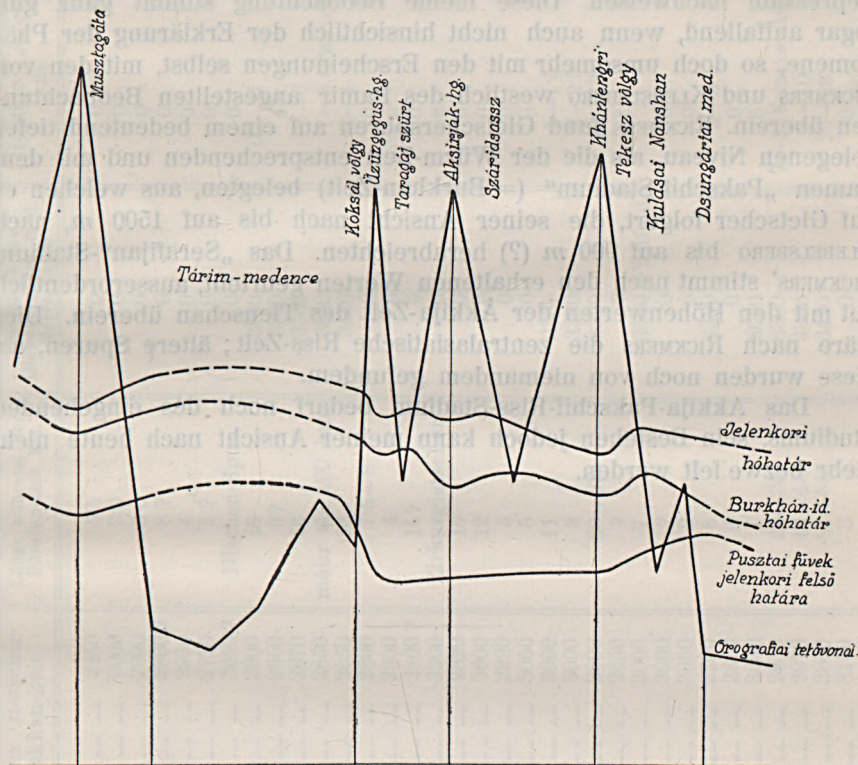


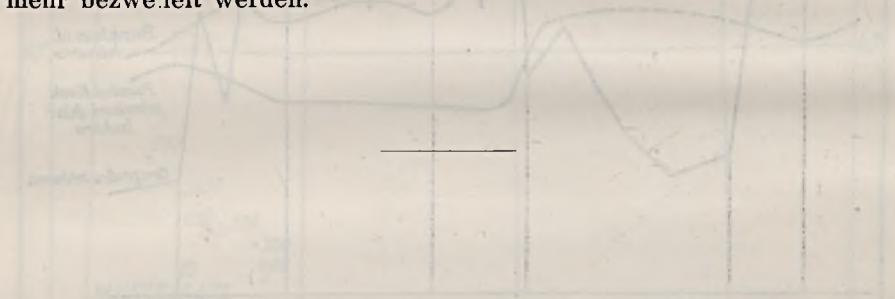
Fig. 57. Grenzlin. d. Schnees u. d. Steppengräser. Medence (med.) = Becken, szirt = Syrt, ...-hg. = ...-Gebirge, völgy = Tal, Jelenkori hóhatár = gegenwärt. Schneeegr., Burkhan-id. hóhatár = Burkhanzeitl. Schneeegr., Pusztai füvek jelenkori felső határa = gegenw. ob. grenze d. Steppengräser, Orográfiai tetővonal = orographische Scheitellinie.

älteren Glazialperiode, die die vorerwähnte an Mächtigkeit weit übertraf. Nach der Stirnmoräne des Grossen-Narin, unterhalb Narinskoje gab ich dieser Periode den Namen Akkija-Zeit. Während dieser Zeit waren Akssaj, Tschatirkul, Arpa-Syrt, der ganze Kitschine-Narin-Syrt firnbedeckt, wofür mächtige erratische Blöcke Zeugenschaft ablegen.

Der Grosse-Narin-Gletscher, dessen Ende während der Burkhan-Zeit etwa bei 2850 m lag, senkte sich in der Akkija-Zeit bis auf 2070

*m* herab. In der Umgebung des Issikkul sind an einzelnen Stellen die Glazialnischen, sowie ein schönes Zirkustal (Kengetasch) noch ganz gut wahrzunehmen. Die bei 2300 *m* liegende Sohlenhöhe des letzteren gibt uns auch einigermaßen Aufklärung über die damalige Schneegrenze. An diesem Orte lässt sich gegenüber der Depression der burkhanzeitlichen Schneegrenze eine ältere, um 600—700 *m* grössere Schneegrenzen-Depression nachweisen. Diese meine Beobachtung stimmt ganz gut, sogar auffallend, wenn auch nicht hinsichtlich der Erklärung der Phänomene, so doch umsomehr mit den Erscheinungen selbst, mit den von RICKMERS und KLEBELSBERG westlich des Pamir angestellten Beobachtungen überein. RICKMERS fand Gletscherspuren auf einem bedeutend tiefer gelegenen Niveau, als die der Würm-Zeit entsprechenden und mit dem Namen „Pakschif-Stadium“ (= Burkhan-Zeit) belegten, aus welchen er auf Gletscher folgert, die seiner Ansicht nach bis auf 1500 *m*, nach KLEBELSBERG bis auf 900 *m* (?) herabreichten. Das „Serafijan“-Stadium RICKMERS' stimmt nach den erhaltenen Werten geurteilt, ausserordentlich gut mit den Höhenwerten der Akkija-Zeit des Tienschan überein. Dies wäre nach RICKMERS die zentralasiatische Riss-Zeit; ältere Spuren, als diese wurden noch von niemandem gefunden.

Das Akkija-Pakschif-Riss-Stadium bedarf noch des eingehenden Studiums, sein Bestehen jedoch kann meiner Ansicht nach heute nicht mehr bezweifelt werden.



Das Serafijan-Stadium ist ein Stadium der Riss-Zeit, das in der Umgebung des Issikkul beobachtet wurde. Es ist ein Stadium, das sich durch die Beobachtung der Gletscherspuren und der Höhenwerte nachweisen lässt. Die Höhenwerte des Serafijan-Stadiums stimmen mit den Höhenwerten der Akkija-Zeit überein. Dies ist ein wichtiger Befund, der die Zusammenhänge zwischen den verschiedenen Stadien der Riss-Zeit verdeutlicht. Die Beobachtung der Gletscherspuren auf dem Issikkul zeigt, dass die Schneegrenze in dieser Zeit höher lag als heute. Dies ist ein Hinweis auf die klimatischen Bedingungen der Riss-Zeit. Die Beobachtung der Höhenwerte des Serafijan-Stadiums zeigt, dass die Gletscher in dieser Zeit bis auf 1500 m herabreichten. Dies ist ein weiterer Hinweis auf die klimatischen Bedingungen der Riss-Zeit. Die Beobachtung der Höhenwerte der Akkija-Zeit zeigt, dass die Gletscher in dieser Zeit bis auf 900 m herabreichten. Dies ist ein weiterer Hinweis auf die klimatischen Bedingungen der Riss-Zeit. Die Beobachtung der Höhenwerte des Serafijan-Stadiums zeigt, dass die Gletscher in dieser Zeit bis auf 1500 m herabreichten. Dies ist ein weiterer Hinweis auf die klimatischen Bedingungen der Riss-Zeit.

XI. Tabelle der Gletscher in der Burkhan-Zeit.

Name des Gletschers, Höhenlage des Gletscherendes über d. Meere in der Burkhan-Zeit	Länge während der Burkhan-Zeit km.	Höhenlage des Gletscherendes ü. d. Meere heute	Heutige Länge km.	Firngrenze während der Burkhan-Zeit
1. Nord-Korumdu	5.5	0	0	3250
2. Süd-Korumdu	3.0	0	0	"
3. Nord-Kaschan	6.0	0	0	3000
4. Bödötü	8?	0	0	"
5. Ssatl-Kaschan	4	0	0	2800
6. Ssuburma-Kaschan	5?	0	0	"
7. Dardampe	Nischen-Spur	0	0	3050
8. Suku-Kaschkator	13	3850	0.5-1	3250
9. Ton	8?	3700	4?	3200
10. Burkhan	56	3560	2-3	3200
11. Gross-Narin	2850	3850	7-8 (Petrov)	3250-3300
12. Türgen-Akssu	23	3450	3-4	3000
13. Orto-Turuk	7.5-8	0	0	3150-3250
14. Uralma	4	0	0	"
15. Kokscher-Mintör	15?	0	0	"
16. Süd-Tiek	Zirkusgletscher	0	0	3400
17. Nord-Tiek	15	0	0	3250-3300
18. Tekess	12	0	0	3200
19. Kakpak	5	0	0	3300-3400
20. Igrilik	5	0	0	3250-3300
21. Kakpak-Karaköl	11	3380	1-1.5	3200
22. Bajum-Akköl	8	3380	2-2.5	3200
23. Bajum-Aschutör	20-22	3320	10-12	3000
24. Bajumkol	?	?	?	3000
25. Alaajgir	?	3500 (Firnfeld)	-	3100
26. Westlicher Ssaikol	?	0	0	3250
27. Östlicher Ssaikol	2	0	0	"
28. Narinkol	6	3380	2-3	3200
29. Tschedschinbulak	4	0	0	3200
30. Westlicher Külü	7	3650	5	3300
31. Irtasch	28-30	3300	7-8 (Koipakovskii)	3250-3300
32. Östlicher Külü (Karakoltör)	42-43	3300	9-10	3150-3200
33. Ssardschass	82-85	3410	25-26	3050-3100
34. Orto-Nura I.	3	0	0	3250
35. " II.	3	0	0	"

Name des Gletschers, Höhenlage des Gletscherendes über d. Meere in der Burkhan-Zeit	Länge während der Burkhan-Zeit km.	Höhenlage des Gletscherendes ü. d. Meere heute	Heutige Länge km.	Firnrenze während der Burkhan-Zeit
36. Kokturpak	8-9	3700 (Firnfeld)	1	3200
37. Sektör	15-16	3700-8000	2	3200
38. Keng (Djithtau)	4	3850 (Firnfeld)	—	3200
39. Tjujnk	4	3800 (Firnfeld)	—	3200-3360
40. Südlicher Diakbolot	2-7	0	0	3300
41. Nördlicher Kaschkator	6	0	0	3200-3300
42. Bajbitsche (Alamusch)	7	0	0	3200-3350
43. Lilly-See-Gletscher	9	?	?	3200
44. Südlicher Bajbitsche	12-5	3900 (Firnfeld)	—	3200-3500
45. Nördlicher Taschrabat	12	0	0	3300-3500
46. " " Basch-Keltebuk	12-13	0	0	3300-3500
47. " " Boguschit	?	0	0	3300-3600
48. Südlicher Taschrabat	3	0	0	3500-3600
49. " " Basch-Keltebuk	3	0	0	3600
50. " " Boguschit	11	0	0	3600
51. Westlicher Djangridjir	45	3900 (Firnfeld)	0	3200-3300
52. Klientajrak	22	?	?	3300-3400
53. Borkoldaj-Karakol	30	3700-3800	?	3300-3400
54. Stid-Alkorum	10	4100 ? (Firn f.)	—	3500-3600
55. " Borkoldaj	2-7	0	0	3700-3800
56. Nord-Borkoldaj	17-18	4100	?	3400-3500
57. Djaman-su	8-10	?	?	3300-3350
58. Tschigart	12-15	?	?	3250-3300
59. Tschagir-Kaündil	19-30	3650	8	3400
60. Terekti	22-23	3700 ?	?	3200-3300
61. Tschongtör	10-11	4000 ?	?	3500-3550
62. Nord-Saujok	4-5	3950 ?	?	3500-3550
63. Kurpetau, umbenannt	9	3850 ?	1-2	3400
64. " "	6	0	0	3400
65. Kusguntasch	12-5	?	?	3400
66. Kislitibe	20	?	?	3400
67. Diagalmai	25-28	?	?	3450
68. Mustör	12-13	?	?	3450
69. Kurpetau, umbenannt III.	5	?	?	3500-3550
70. " " IV.	4-5	?	?	3500-3550

Name des Gletschers, Höhenlage des Gletscherendes über d. Meere in der Burkhan-Zeit	Länge während der Burkhan-Zeit km.	Höhenlage des Gletscherendes i. d. Meere heute	Heutige Länge km.	Eingrenze während der Burkhan-Zeit
71. Kurpetau, unbenannt V. . . . .	3	0	0	3550—3600
72. Nördlicher Toragart . . . . .	4	0	0	3650
73. Südlicher Sujok . . . . .	?	0	0	3750
74. Östlicher Sujok . . . . .	5	0	0	3820—3850
75. Südlicher Toragart . . . . .	1—1.2	0	0	3850
76. Ksilkur (Plateauis) . . . . .	—	0	0	3850
77. Bokassindä Firnfeld . . . . .	—	0	0	3800?
78. Östlicher Djitim . . . . .	2	0	0	3750—3800
79. " Kogaschr (Koktan) . . . . .	5	0	0	3750—3800
80. Nördlicher Tepschi . . . . .	1	0	0	3750
81. Südlicher " . . . . .	2.5	0	0	3900
82. Dscherij-Kogart I. . . . .	1	0	0	3850—3900
83. " II. . . . .	6	0	0	3850—3900
84. " III. . . . .	4—5	0	0	3850—3900
85. Nördlicher Dscherij . . . . .	4.5	0	0	3800
86. Südöstlicher " . . . . .	3	0	0	3850—3900
87. Südlicher Kalmakaschu . . . . .	2—3	0	0	3850—3900
88. Ütschasch-Temirgen . . . . .	7.5—8	0	0	3850—3900
89. Nördlicher Terekti . . . . .	10	0	0	3800—3850
90. Südlicher " (Kiptschak) . . . . .	2.3	0	0	3800—3850
91. Südwestlicher Bossaj . . . . .	3?	0	0	3350—3400
92. Südöstlicher " I. . . . .	2.5	0	0	3350—3400
93. " II. . . . .	12—13	0	0	3350—3400
94. Tschong-Tschitschardin . . . . .	7—8	0	0	3350—3400
95. Könöksaj . . . . .	16—18	3500—3600	3—6	3300—3350
96. Aschu-Kogart (Bossaj) . . . . .	12—?	3830	2—3	3350—3400
97. Tujuk " . . . . .	12—13	3800—3900	?	3400—3450
98. Djamanitschke . . . . .	?	?	?	3350—3400
99. Kogelitschab . . . . .	42—44	3600?	6—8	3500
100. Tura-Ustingegusch . . . . .	45—48	3200?	12.5	3400—3500
101. Tasmadschön . . . . .	4	0	0	3400?
102. Atschinbej . . . . .	3	0	0	3550—3600
103. Südlicher Kogart (Bossaj) . . . . .	11	0	0	3600—3650
104. Ssinghardjar . . . . .	25	3900?	5—6	3600—3700
105. Kengssu . . . . .	25	3700—3720	10—11	3600—3700



Name des Gletschers, Höhenlage des Gletscherendes über d. Meere in der Burkhan-Zeit	Länge während der Burkhan-Zeit km.	Höhenlage des Gletscherendes u. d. Meere heute	Heutige Länge km.	Früh- bzw. während der Burkhan-Zeit
106. Tschungurtschak	25	3900 ?	3-4	3600-3700
107. Terskej-Ssarbula	7	3040 ?	0	3600-3700
108. Nördlicher Musduk	2-3	0	0	3650-3600
109. Westl. Karabel (Kukurtuk)	7½-8	?	?	3600
110. Ostl. "	Zirkusgletscher	0	0	3550
111. Kajtschi	34-35	3740	5-8	3500-3550
112. Dschanart	35-38	3450	12-13	3500-3550
113. Karnart	?	?	?	?
114. Aigart	1-2	0	0	3800
115. Bogoldsehella	9-10	4000 ?	?	3700-3800
116. Kilg'inek	10-11	4000 ?	?	3700-3800
117. Targalk	3	0	0	3650
118. Kur-Tschimgen	15-16	4100-4200	?	3650-3700
119. Tschimgen	22-23	3700	?	3600-3650
120. Bostanartscha	12-13	3500-3550	?	3650-3700
121. Atojnok	22-23	3040	11-12	3600
122. Tib	17-20	2950	12-13	3600
123. Westlicher Arpa	3	0	0	3600
124. Ojurma-Akssaj	6	4700-4800 ?	1-12	4200-4300
125. Ungar	25-27	4200 ?	12-14	4000-4100
126. Kürs	12-17	?	5-10	3900-4000
127. Börkös	12-17	?	5-10	3900-4000
128. Kungurtübe-Kokmojnok	26-27	3600-3700	6-6½	3500-3600
129. Kossel	28	2850	20	3500
130. Tschotschil (Zirkusgletscher)	2	0	0	3650
131. Dschernage-Kändü	10-11	3500	1-2	3650-3700
132. Westlicher Kismak	Nischengletscher	0	0	3800
133. Karatsch-Ssu'ok	3-4	4000 ?	?	3650
134. Kisiltschirken	1-2	0	0	3880-3900
135. Pittik	5	4100 ?	2-3	3500
136. Terektschü	?	4120	2-3	3500
137. Orake	Zirkusgletscher	0	0	3600-3700
138. Östlicher Kismak	Nischengletscher	0	0	3950
139. Karadschilga	6	0	0	4000
140. Ordolona	6	4000-4100	1-2	3600-3700



## INHALTSVERZEICHNIS.

Einleitung .....	130 (4)
------------------	---------

### Beschreibender Teil.

A) Der Nordabhang der Terskei-Alatau .....	131 (5)
1. Das Quellgebiet des Tekos .....	131 (5)
2. Das Tiék-Tal .....	135 (9)
3. Das Kokdscher-Tal .....	137 (11)
4. Der Nordabhang der Gebirgsgegend zwischen Agias und Musart .....	141 (15)
5. Das Suku-Tal .....	144 (18)
Zusammenfassung .....	145 (19)
B) Das Gebiet des Saridschas-Kumarik .....	146 (20)
1. Der Saridschas oberhalb der Mündung des Kölü .....	146 (20)
2. Kölü .....	148 (22)
3. Der Saridschas unterhalb der Kölü-Mündung und das Terekti-Tal .....	157 (31)
4. Das Ütschkül-Tal .....	162 (36)
5. Das Akschirjak-Tal und der Kumar-Abschnitt des Saridschas .....	164 (38)
Zusammenfassung .....	177 (51)
C) Das Gebiet des Taragaj-Narin .....	180 (54)
1. Der Nordrand des Taragaj .....	180 (54)
2. Der Westrand der Taragaj-Syrt .....	182 (56)
3. Der Südrand des Taragaj-Syrt .....	183 (57)
4. Das Borkoldaj-Karaköl-Tal .....	187 (61)
5. Das Grosse-Narin-Tal bis zur Mündung des Kleinen-Narin-Tales .....	190 (64)
6. Das Burkhan-Tal .....	195 (69)
7. Die Nordseite des Djitimtau .....	199 (73)
8. Die Nordseite des Nuratau .....	200 (74)
9. Der Kitschine-Narin-Syrt .....	202 (76)
10. Das Narin-Tal zwischen Kitschine-Narin und Atbaschi-Mündung .....	205 (79)
Zusammenfassung .....	211 (85)
D) Das Becken des Atbaschi und des Grossen-Narin .....	213 (87)
1. Das Ulan-Tal .....	213 (87)
2. Der westliche Djangidjir .....	216 (90)
3. Die Umgebung des Araschanbel .....	218 (92)
4. Das nördliche Bogushti-Tal .....	219 (93)
5. Das Basch-Keltebuk-Tal .....	221 (95)

6. Das Taschrabat-Tal	222 (96)
7. Arpa-Syrt	223 (97)
8. Bitschanssu	225 (99)
9. Das Kogart-Tal	226 (100)
10. Das Tschitti- und Bitschan-Tal	227 (101)
Zusammenfassung	228 (102)
<i>E) Die Üsüingegusch-Akssaj-Tschatirkul-Gegend</i>	228 (102)
1. Üsüingegusch-Karassaj	228 (102)
2. Der Tura-Gletscher und der obere Abschnitt des Üsüingegusch	230 (104)
3. Süd-Akkorum und Karakorum	233 (107)
4. Nord-Kokschal-Kogart	237 (111)
5. Das Süd-Boguschti-Tal	238 (112)
6. Das Nord-Terekti-Tal und seine Umgebung	238 (112)
7. Das Kokkiija-Tal	239 (113)
8. Das Innengebiet des Akssaj	241 (115)
9. Die Umgebung des Tschatirkul	243 (117)
Zusammenfassung	246 (120)
<i>F) Kokschal-Talung und Karatake-Gebirge</i>	247 (121)
1. Die Kokschal-Schlucht	247 (121)
2. Beschmojnok	251 (125)
3. Süd-Kogart	252 (126)
4. Die nördlichen Nebentäler des Kokschal zwischen den Ajaktik- und Apatakan-Mündungen	253 (127)
5. Das Apatakan-Gebirge	254 (128)
6. Der Unterlauf des Kokschal	255 (129)
7. Die Umgebung des Bülötü-Passes	257 (131)
8. Der Nordhang des Karateke-Gebirges	257 (131)
9. Der Südhang des Karateke-Gebirges	258 (132)
Zusammenfassung	263 (137)
<i>G) Das nördliche Flussgebiet des Kaschgardarja</i>	264 (138)
1. Der Tangitar-Terekssaj	264 (138)
2. Oberer Abschnitt des Tojun-Tales	267 (141)
3. Das Tojun-Ssujok-Tal	268 (142)
4. Ürukssaj	270 (144)
5. Die beiden Quelltäler des Ütschtasch	271 (145)
Zusammenfassung	271 (145)
<i>H) Der Nordhang des Bolor-Gebirges</i>	272 (146)
1. Die Kisilart-Talung	272 (146)
2. Das Tal des Aigartssu	274 (148)
3. Das Targalik-Tal	276 (150)
4. Tschimgenssu	276 (150)
5. Ulugart-Bostanartscha	279 (153)
6. Das Atojnok-Tal	281 (155)
7. Das Tüb-Tal	284 (158)
Zusammenfassung	284 (158)
<i>I) Das Gebiet des Kiakbaschi-Ges</i>	286 (160)
1. Kiakbaschi-Pamir	286 (160)
2. Kokmojnok	293 (167)

3. Der Koxsel-Gletscher und der Unterlauf des Ges	294 (168)
4. Das Tschotschil-Tal	297 (171)
Zusammenfassung	297 (171)
J) Die Gegend des Üssendarja und des Jarkanddarja	299 (173)
1. Die obere Gegend des Üssendarja	299 (173)
2. Die Terrassen des Tschimgendarja und das Kisiltschirken-Tal	300 (174)
3. Das Otrake-Tal	302 (176)
4. Das Dscheinage-Kajündü-Tal	304 (178)
5. Das Keklidschül-Tal	305 (179)
6. Das Karaagil-Tal	305 (179)
7. Das Kissmak-Tschumbus-Tal	306 (180)
8. Das Ssugurluk-Tal	307 (181)
9. Das Gidjek-Tal	307 (181)
10. Das Ordolon-Tal	307 (181)
11. Der Koschötök, Tscharling und die Talserie von Kuscherabi (Jarkanddarja)	308 (182)
12. Das Arpalik-Tal	310 (184)
13. Das Düngürek-Tschimgen-Tal	310 (184)
Zusammenfassung	310 (184)
Klimaänderungen in Pleistozän	312 (186)
Tabelle der Gletscher in der Burkhan-Zeit	329 (203)







Burkhanzeitliche  
Seitenmoräne des  
Atojnok-Gletschers }

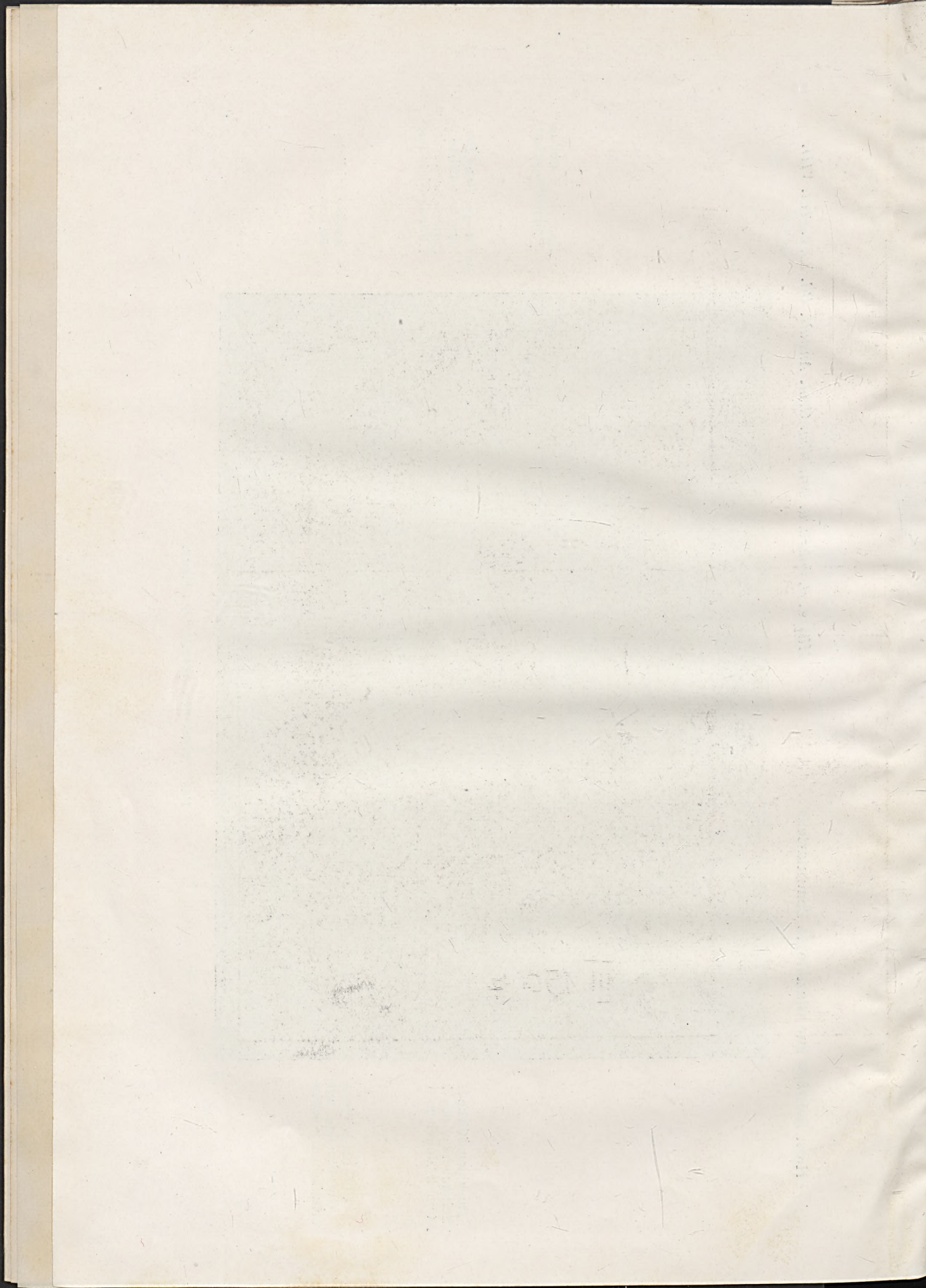
Burkhanzeitliche  
Grundmoräne mit  
erratischen Blöcken

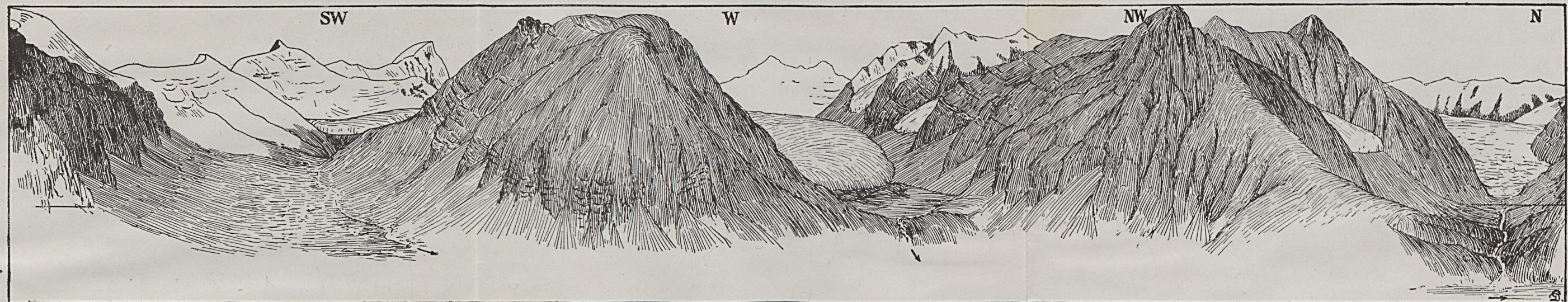
← Ende des östlichen  
Atojnok-Gletschers

← Unterer Rand der  
holozänen Stirn-  
moräne des östlichen  
Atojnok-Gletschers

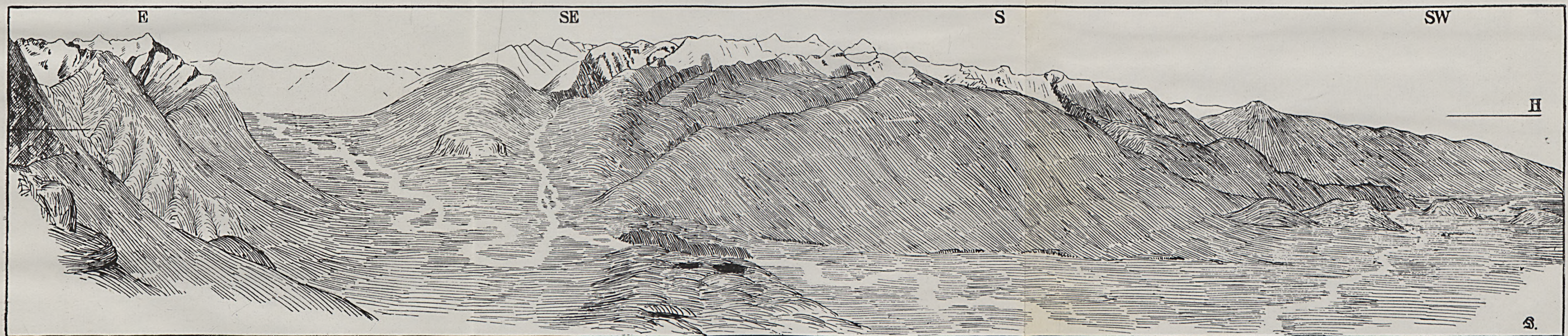
← Burkhanzeitliche  
Seitenmoräne

Das Trogtal des Atojnok-Gletschers.

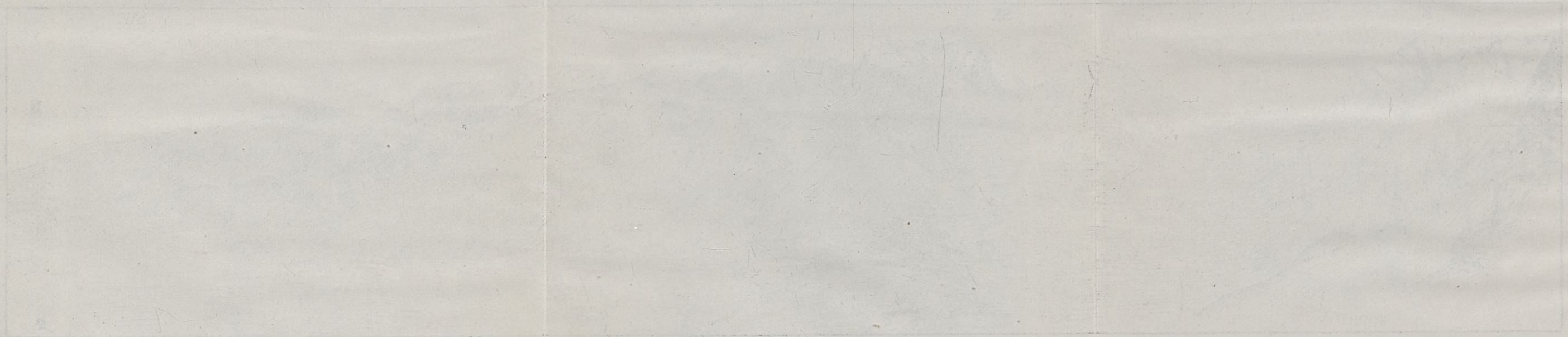




1. Die verlassenen burkhanzeitlichen Tröge der Gletscher des Kölü-Ssaritschat-Tales.



2. Die grosse Stirnmoräne des Burkhan.





### ERKLÄRUNG ZUR TAFEL X.

Die Isohypsenkarte ist eine Zeichnung des Autors auf Grund eigener Aufnahmen. Die heutigen Gletschergebiete sind durch schwarze Flecken dargestellt.

- |                  |                              |
|------------------|------------------------------|
| Kolpakow         | = Kolpakowskij-Gletscher.    |
| K I. und K II.   | = Kölü-Karakoltör-Gletscher. |
| Ka               | = Tschagir-Kaündü-Gletscher. |
| A                | = Ajre-Gletscher.            |
| Ki               | = Kajtschi-Gletscher.        |
| D I, II, III, IV | = Tujuk-Dschanart-Gletscher. |

Die weissen Flecken bedeuten Vergletscherungsgebiete während der Burkhan-Zeit. Die untersten Stirnmoränen sind punktiert.



ISOH: -2500 -3000 -3500 -4000 -4500

Karte der burkhanzeitlichen Vereisung des Saridschas-Akschirjak-Gebietes.





1. Tokos	31. Tokos	61. Tokos
2. Tok	32. Tok	62. Tok
3. Koldoban	33. Koldoban	63. Koldoban
4. Agass	34. Agass	64. Agass
5. Sain-Kasch	35. Sain-Kasch	65. Sain-Kasch
6. Sain-Kasch	36. Sain-Kasch	66. Sain-Kasch
7. Kold	37. Kold	67. Kold
8. Sain-Kasch	38. Sain-Kasch	68. Sain-Kasch
9. Akshinsk	39. Akshinsk	69. Akshinsk
10. Sain-Kasch	40. Sain-Kasch	70. Sain-Kasch
11. Koldoban	41. Koldoban	71. Koldoban
12. Koldoban	42. Koldoban	72. Koldoban
13. Koldoban	43. Koldoban	73. Koldoban
14. Koldoban	44. Koldoban	74. Koldoban
15. Sain-Kasch	45. Sain-Kasch	75. Sain-Kasch
16. Sain-Kasch	46. Sain-Kasch	76. Sain-Kasch
17. Sain-Kasch	47. Sain-Kasch	77. Sain-Kasch
18. Sain-Kasch	48. Sain-Kasch	78. Sain-Kasch
19. Sain-Kasch	49. Sain-Kasch	79. Sain-Kasch
20. Sain-Kasch	50. Sain-Kasch	80. Sain-Kasch
21. Sain-Kasch	51. Sain-Kasch	81. Sain-Kasch
22. Sain-Kasch	52. Sain-Kasch	82. Sain-Kasch
23. Sain-Kasch	53. Sain-Kasch	83. Sain-Kasch
24. Sain-Kasch	54. Sain-Kasch	84. Sain-Kasch
25. Sain-Kasch	55. Sain-Kasch	85. Sain-Kasch
26. Sain-Kasch	56. Sain-Kasch	86. Sain-Kasch
27. Sain-Kasch	57. Sain-Kasch	87. Sain-Kasch
28. Sain-Kasch	58. Sain-Kasch	88. Sain-Kasch
29. Sain-Kasch	59. Sain-Kasch	89. Sain-Kasch
30. Sain-Kasch	60. Sain-Kasch	90. Sain-Kasch

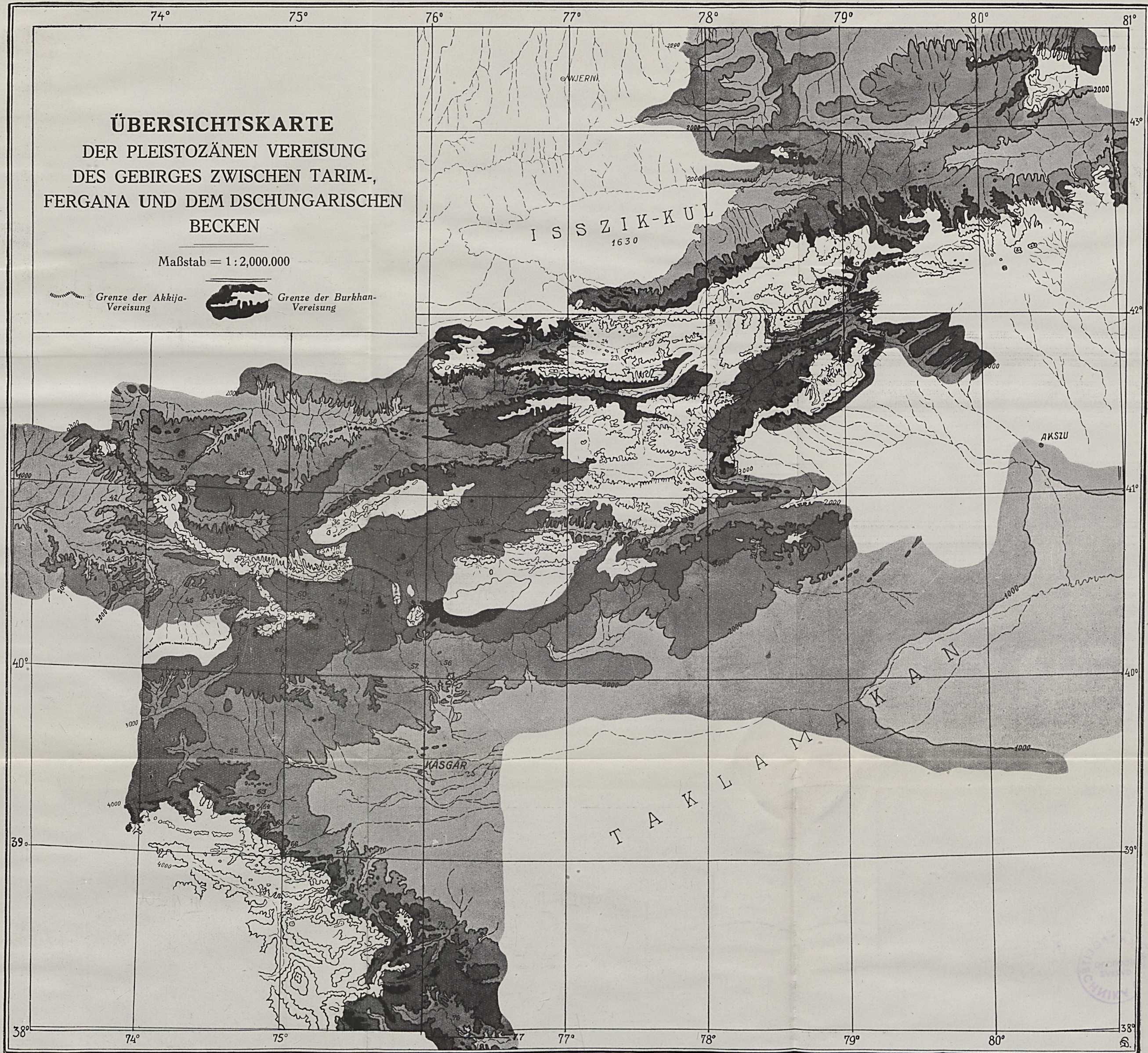


## ERKLÄRUNG ZUR TAFEL XI.

Verzeichnis der Täler auf der Übersichtskarte, welche die pleistozäne Vereisung des zwischen Tarim-, Fergana- und dem Dschungarischen-Becken gelegenen Gebirges darstellt.

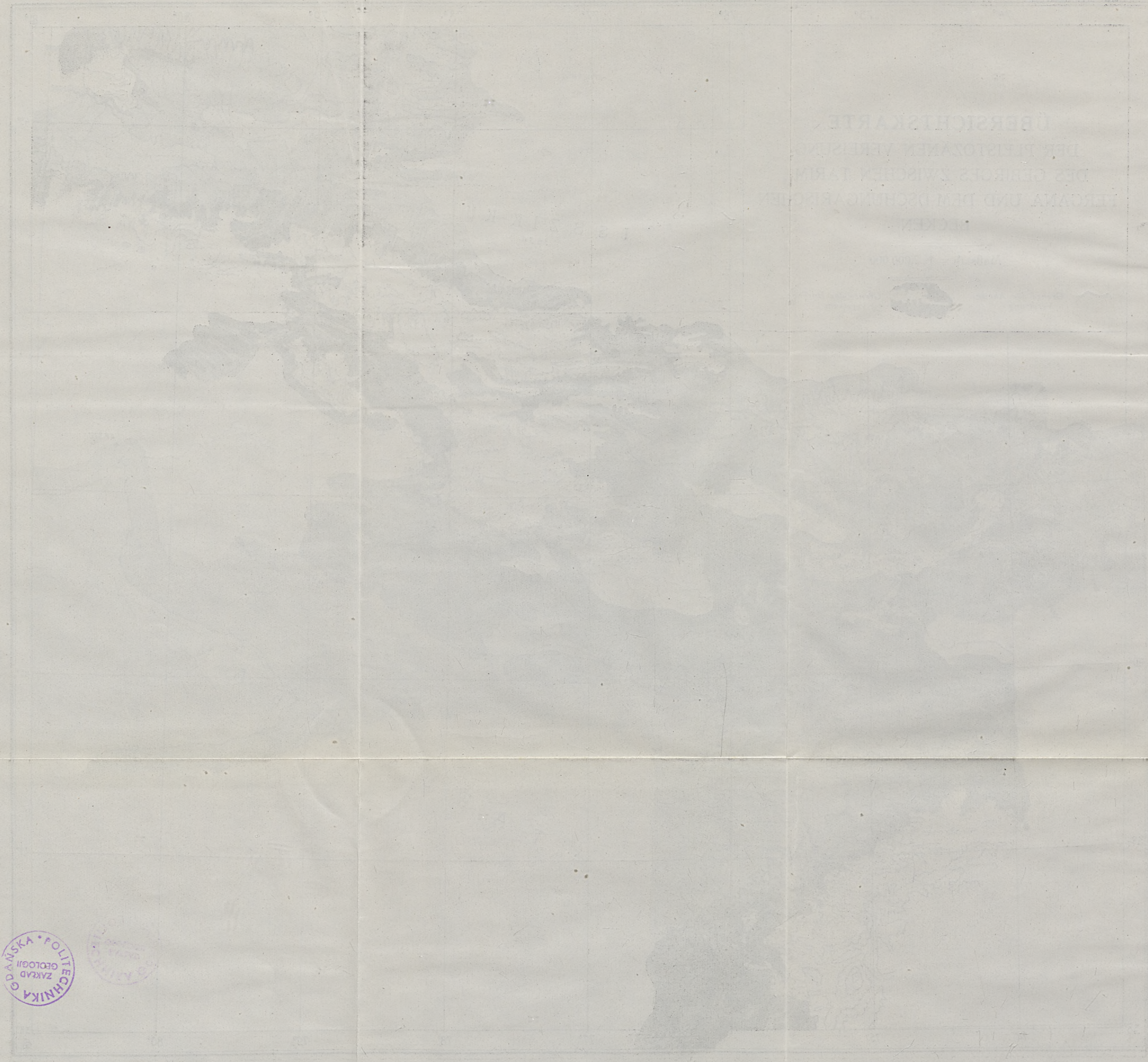
- |  |                           |  |
|--|---------------------------|--|
| 1. Tekess.                                   | 26. Dscheletübe-ssu.      | 53. Kokschal.                              |
| 2. Tiek.                                     | 27. Kitschine-Narin.      | 54. Musduk.                                |
| 3. Kokdscher.                                | 28. Ssultanssari-Karaköl. | 55. Arpatschötschök.                       |
| 4. Agiass.                                   | 29. Nura.                 | 56. Kiptschak-ssu.                         |
| 5. Suku-Kaschkatör.                          | 30. Gross-Narin.          | 57. Terek-ssaj.                            |
| 6. Ssaridschass.                             | 31. Ulan.                 | 58. Tschakmak.                             |
| 7. Kölü.                                     | 32. Djangidjir.           | 59. Tojun.                                 |
| 8. Szaridschass-Terekti.                     | 33. Atbaschi.             | 60. Ssujok.                                |
| 9. Akschirjak.                               | 34. Nord-Bogushti.        | 61. Üruk-ssaj.                             |
| 10. Dschanart.                               | 35. Keltebuk.             | 62. Ütschtasch-Kisilssu.                   |
| 11. Kajtschi.                                | 36. Tasehrabat.           | 63. Aigart.                                |
| 12. Bikirtik.                                | 37. Karakojin.            | 64. Tschimngen-ssu.                        |
| 13. Borkoldaj.                               | 38. Alabuga.              | 65. Bosstanterek.                          |
| 14. Bosdjalpak.                              | 39. Arpa.                 | 66. Bosstanartscha.                        |
| 15. Ssaridschass-Kumar<br>(=Kumarik, Akssu). | 40. Arpa-Djagalmaj.       | 67. Atojnok-Argos.                         |
| 16. Borkoldaj-Karassaj.                      | 41. Arpa-Ssujok.          | 68. Ges.                                   |
| 17. Taragaj-Akkurgan.                        | 42. West-Tschitti.        | 69. Kiakbaschi-pamir.                      |
| 18. Arabel-Djaktasch.                        | 43. Fergana-Kogart.       | 70. Üssen-darja.                           |
| 19. Tschakirkurum.                           | 44. Karakuldscha.         | 71. Tschimngen-darja<br>(Karatasch-Merki). |
| 20. Borkoldaj-Karakol.                       | 45. Karadarja-Tar.        | 72. Tschutek.                              |
| 21. Külgünök.                                | 46. Alaiku.               | 73. Kengkol.                               |
| 22. Karatasch.                               | 47. Akssaj-Terekti.       | 74. Kisil-Tschimngen.                      |
| 23. Djamanitsehke.                           | 48. Akssaj.               | 75. Arpalik.                               |
| 24. Burkhan.                                 | 49. Müdürüm.              | 76. Tscharling.                            |
| 25. Dschelangatsch.                          | 50. Kokkija.              | 77. Jarkand-darja.                         |
|  | 51. Üsüngegusch.          |  |
|  | 52. Üsüngegusch-Karassaj. |  |





Geologische Karte

ÜBERSICHTSKARTE  
DER PERMIANEN VERBUNDUNG  
DES GEBIRGES ZWISCHEN TÄRM  
TERRANA UND DEM DORSCHEN BERG  
MÖCKEN



ODAVSKA POLITECHNIKA  
ZAKLAD  
GEOLOGII

1910



Geological description and legend text, including terms like 'Kalkstein', 'Sandstein', and 'Schieferung'. The text is arranged in two columns, with the left column containing a legend and the right column containing a detailed description of the geological formations and their distribution in the region.



## ERKLÄRUNG ZUR TAFEL XII.

Wörterverzeichnis der auf der Karte aufgenommenen ungarischen Ausdrücke.

<p>A. karbon mészkő = Unterkarbon Kalkstein</p> <p>Barkhánok = Barchane</p> <p>Burkhan-morénák határa = Die Grenze der Burkhan-Moränen</p> <p>Csillámpala } = Glimmerschiefer</p> <p>Csillámp. } = Glimmerschiefer</p> <p>Diabáz = Diabas</p> <p>Felvette... = Aufgenommen von...</p> <p>Fillit = Phyllit</p> <p>F. kréta mészkő = Oberkretazischer Kalkstein</p> <p>Gnejsz = Gneis</p> <p>Gránit = Granit</p> <p>Halomvidék = Hügeland</p> <p>— hágó = Gebirgspass</p> <p>— hegy, hg., h. = Berg</p> <p>Hegygerinc = Bergrücken</p> <p>Homoksivatag } = Sandwüste</p> <p>Homoksiv. } = Sandwüste</p> <p>Ismeretlen = Unbekannt</p>	<p>Jégár = Gletscher</p> <p>Kavicsivatag } Schotterwüste</p> <p>„ siv. } = Schotterwüste</p> <p>Kvareit = Quarzit</p> <p>Kvarcitfal = Quarzitwand</p> <p>Kvarchomokkő } = Quarzsandstein</p> <p>Kv. homokkő } = Quarzsandstein</p> <p>Kongl. = Konglomerat</p> <p>Mészkő = Kalkstein</p> <p>Mészkő kongl. = Kalksteinkonglomerat</p> <p>Méspala = Kalkschiefer</p> <p>Szpilozit = Spilosit</p> <p>Szürke homokkő = Grauer Sandstein</p> <p>Takaró-rátolódás = Decke-Überschiebung</p> <p>Tavaszi kivételével száraz = Mit Ausnahme des Frühlings trocken</p> <p>Vöröshomokkő = Roter Sandstein</p> <p>Vörös konglomerát } = Rotes Konglomerat</p> <p>Vörös kongl. } = Rotes Konglomerat</p>
---	---

**Anmerkung:** Die Ortsnamen sind fonetisch nach der ungarischen Schreibweise aufgenommen. (Also: s = sch, sz = ss, z = s, gy = dj, es = tsch, ty = tj.)





Übersichtskarte des Bolor-tag Gebietes.

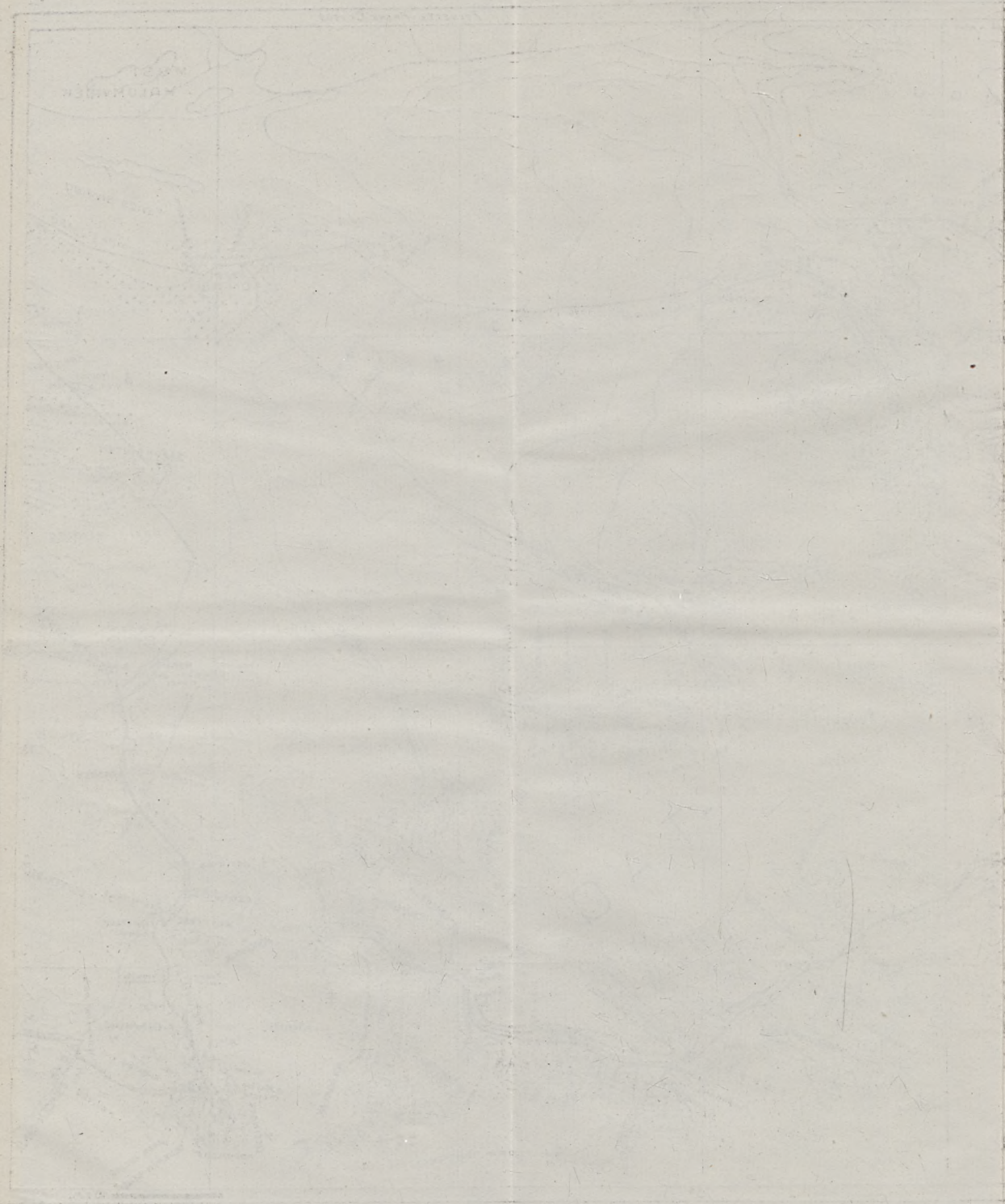
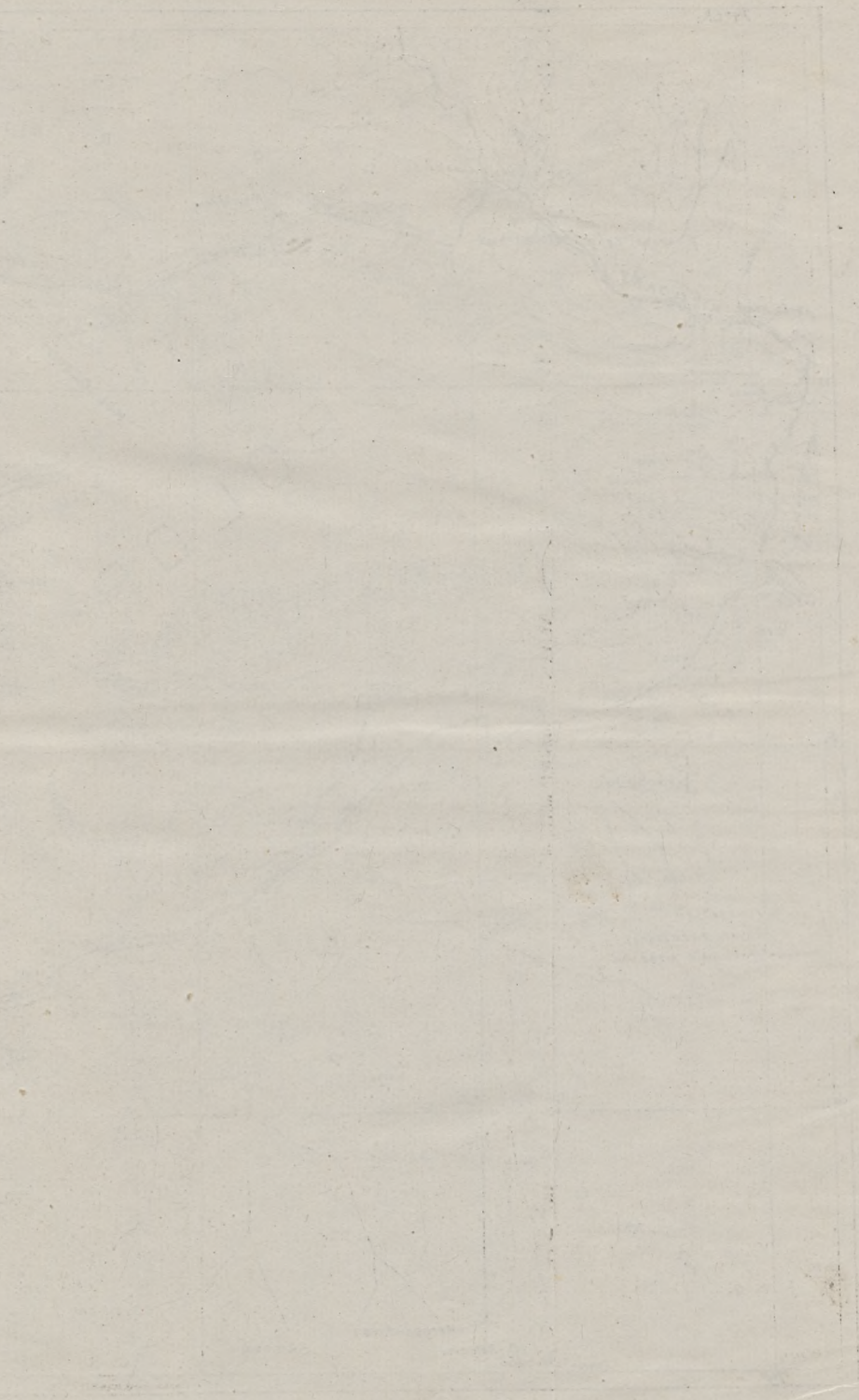
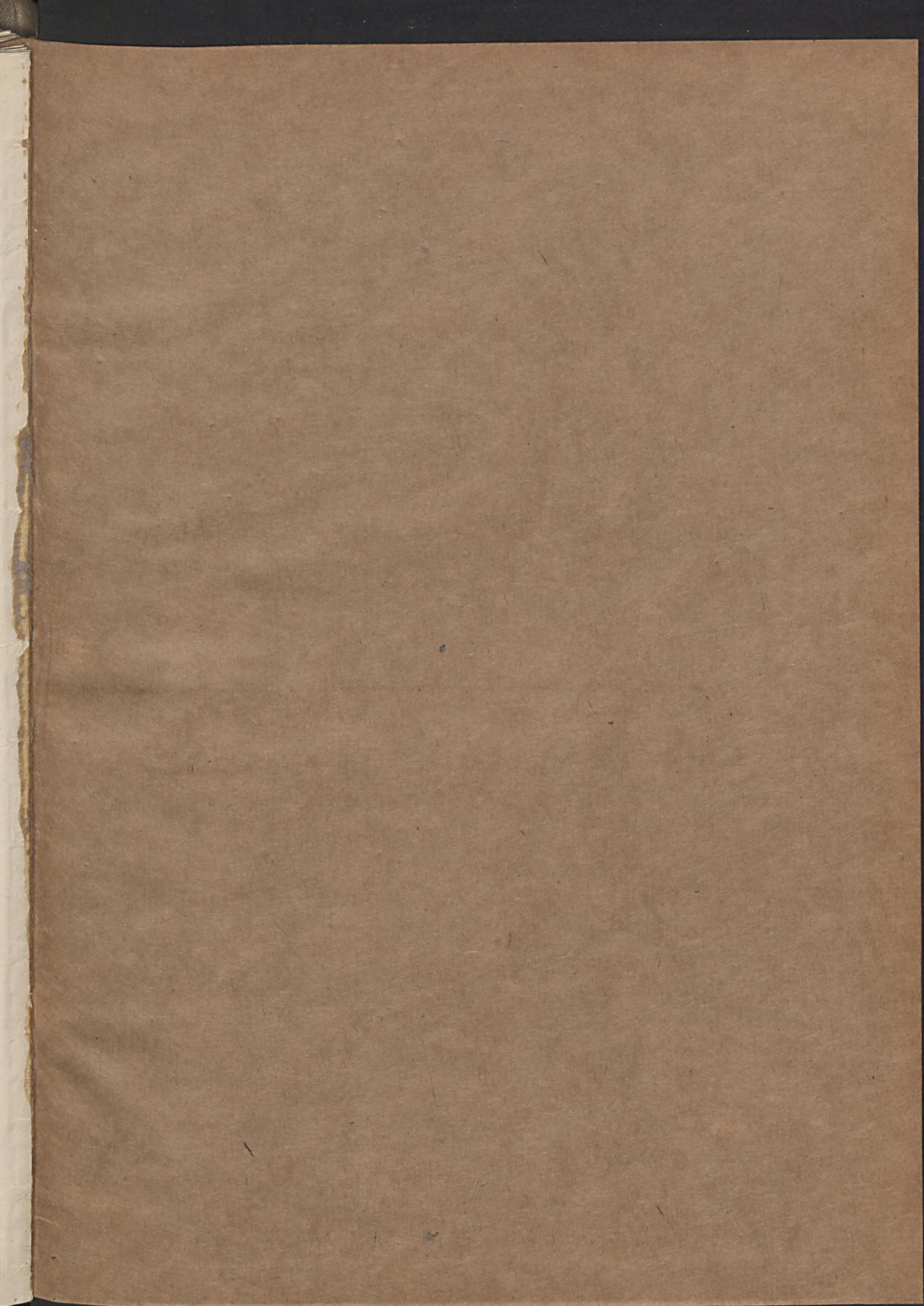
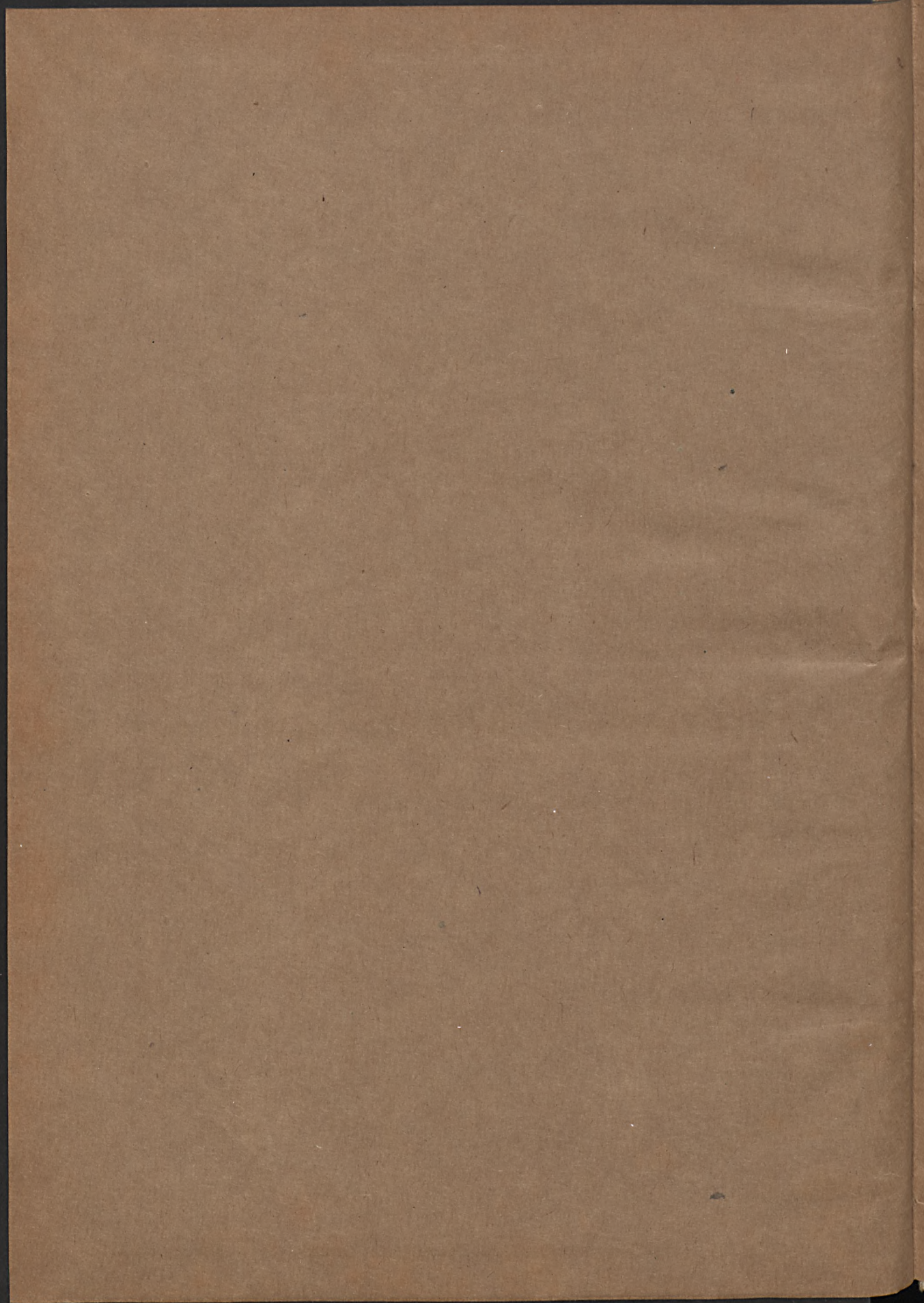


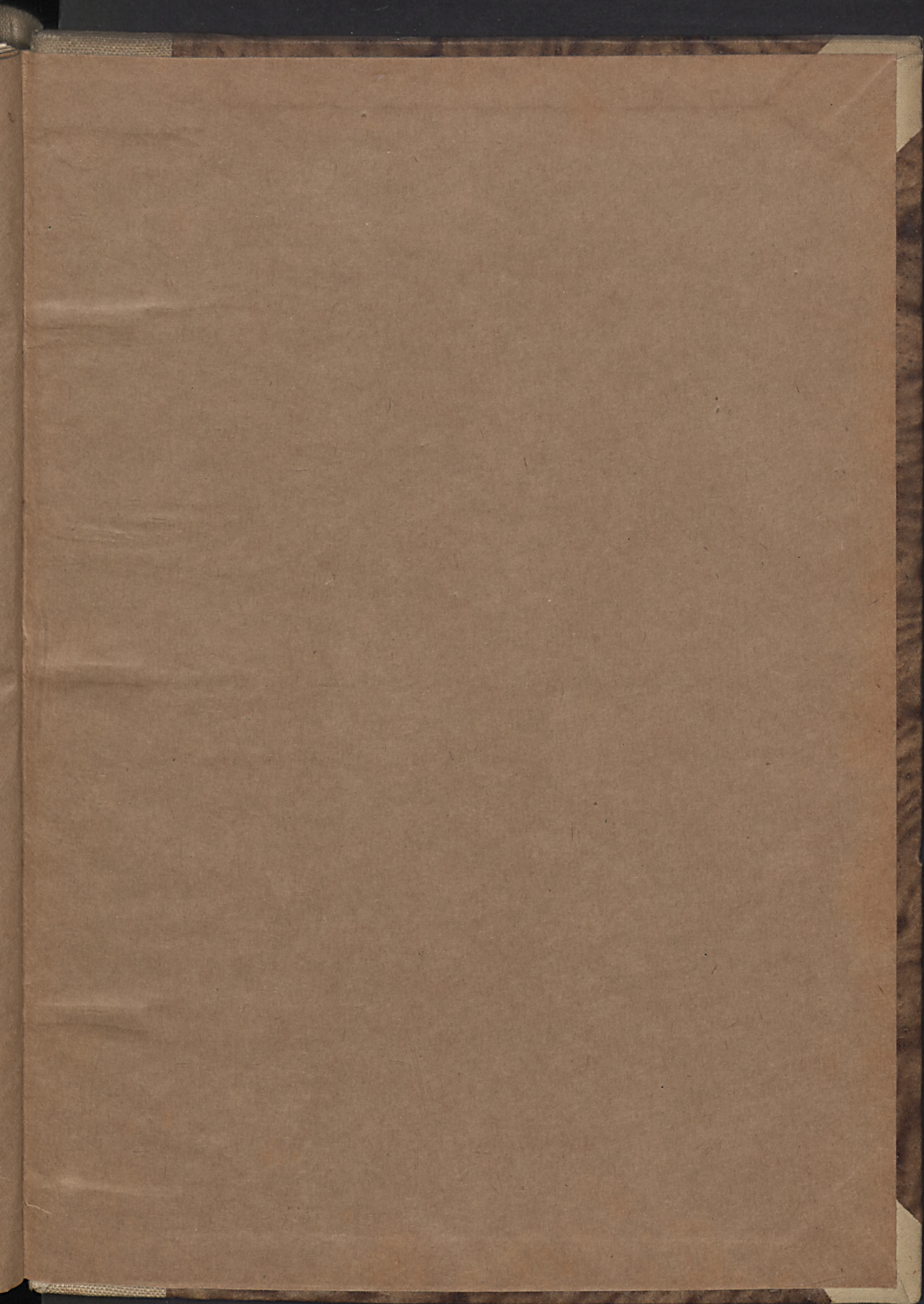
Abbildung des Gebietes

der Provinz wie des Bistums Gales









BIBLIOTEKA  
KATEDRY NAUK O ZIEMI  
Politechniki Gdańskiej